R E G I O N E S I C I L I A

P r o v i n c i a d i C a t a n i a

C O M U N I D I M I N E O E C A L T A G I R O N E

PROGETTO

IMPIANTO FOTOVOLTAICO "MINEO-CALTAGIRONE"

PROGETTO PER LA REALIZZAZIONE DI UN IMPIANTO FOTOVOLTAICO DI POTENZA MASSIMA PARI A 66,9 MW (60 MW + 20 MW DI BESS IN IMMISSIONE) E RELATIVE OPERE DI CONNESSIONE ALLA RETE DI DISTRIBUZIONE DI ALTA TENSIONE RICADENTI IN AGRO DEI COMUNI DI MINEO E CALTAGIRONE

PROGETTO DEFINITIVO

COMMITTENTE

Blusolar Mineo 1 Srl

BLUSOLAR MINEO 1 S.r.l.
Via Caravaggio, 125 - 65125 Pescara
P.I. 02292100688
Blusolarmineo1@legpec.it

PROGETTISTA:

Hydro Engineering s.s.
di Damiano e Mariano Galbo
via Rossotti, 39
91011 Alcamo (TP) Italy

galbo mariano
20.02.2023
16:21:00
GMT+01:00

ISO 14001 TÜV SÜD ISO 9001 OHSAS 18001

ORDINE DEGLI INGEGNERI Ing. Mariano Galbo N. 724 PROV. TRAPANI

OGGETTO DELL'ELABORATO:

RELAZIONE GEOTECNICA E SISMICA

CODICE ELABORATO	DATA	SCALA	FOGLIO	FORMATO	CODICE COMMITTENTE
PD – R.2	07/2022	-	1 di 286	A4	

ID ELABORATO (HE): MARE649PDRrgn002R0

NOME FILE: PD.R.6-MARE649PDRrgt006R0

BLUSOLAR MINEO 1 S.r.l. si riserva tutti i diritti su questo documento che non può essere riprodotto neppure parzialmente senza la sua autorizzazione scritta.

Storia delle revisioni del documento

REV.	DATA	DESCRIZIONE REVISIONE	REDATTO	VERIFICATO	APPROVATO
00	07-2022	Prima emissione	EG	MG	DG

INDICE

1 PREMESSA 5

2 NORMATIVA DI RIFERIMENTO 6

3 INQUADRAMENTO TERRITORIALE 7

4 DATI GENERALI IMPIANTO 13

5 DESCRIZIONE DELL'OPERA DI ELEVAZIONE E FONDAZIONE 18

6 CARATTERIZZAZIONE SISMICA AREA DI CALTAGIRONE 21

6.1 CARATTERIZZAZIONE SISMICA DEL SOTTOSUOLO 22

7 INQUADRAMENTO GEOLOGICO AREA DI CALTAGIRONE 24

8 INQUADRAMENTO GEOMORFOLOGICO AREA DI CALTAGIRONE 30

9 CARATTERIZZAZIONE LITOTECNICA AREA DI CALTAGIRONE 32

10 CARATTERIZZAZIONE SISMICA AREA DI MINEO 34

10.1 CARATTERIZZAZIONE SISMICA DEL SOTTOSUOLO 35

11 INQUADRAMENTO GEOLOGICO AREA DI MINEO 37

12 INQUADRAMENTO GEOMORFOLOGICO AREA DI MINEO 43

13 CARATTERIZZAZIONE LITOTECNICA AREA DI MINEO 46

14 INQUADRAMENTO GEOLOGICO E GEOMORFOLOGICO AREA SSE 48

15 CARATTERIZZAZIONE SISMICA AREA SSE 50

16 CARATTERIZZAZIONE E MODELLO GETOECNICO 51

17 FONDAZIONI DI PROGETTO: VERIFICHE ALLO STATO LIMITE DI TIPO GEOTECNICO 54

17.1 GENERALITA' 54
17.2 CARATTERISTICHE DEI MICROPALI E CARICHI DI PROGETTO 54
17.3 VERIFICA DEL CARICO LIMITE VERTICALE DI COMPRESSIONE 55
17.4 VERIFICA DEL CARICO LIMITE VERTICALE DI TRAZIONE 56
17.5 RESISTENZA LATERALE AL FUSTO DEL PALO 57
17.6 RESISTENZA ALLA PUNTA DEL PALO 58
17.7 CAPACITA' PORTANTE PER CARICHI ORIZZONTALI 58
17.8 SOLLECITAZIONI SCARICATE DALLA STRUTTURA DI ELEVAZIONE IN TESTA AI PALI DI FONDAZIONE (STRUTTURE AD INSEGUIMENTO MONOASSIALE) 60
17.9 SOLLECITAZIONI SCARICATE DALLA STRUTTURA DI ELEVAZIONE IN TESTA AI PALI – STRUTTURE FISSE 62

18 FONDAZIONI DEI TRACKER (INSEGUITORI MONOASSIALI) – AREA CALTAGIRONE (MODELLO STRATIGRAFICO 1) 63

18.1 (STRUTTURE FISSE) – AREA CALTAGIRONE 63
18.2 STRUTTURE AD INSEGUIMENTO MONOASSIALE AREA CALTAGIRONE – MODELLO STRATIGRAFICO 1 75
18.3 STRUTTURE AD INSEGUIMENTO MONOASSIALE AREA CALTAGIRONE – MODELLO STRATIGRAFICO 2 87
18.4 STRUTTURE AD INSEGUIMENTO MONOASSIALE AREA MINEO 99

19 FONDAZIONE DELLE PIASTRE: VRIFICHE ALLO STATO LIMITE DI TIPO GEOTECNICO 111

19.1 VERIFICA ALLO SCORRIMENTO 111
19.2 VERIFICA DEL CARICO LIMITE 111
19.3 CALCOLO DEI CEDIMENTI 114

20 PROGETTO E VERIFICA FONDAZIONI CONTROL ROOM 115

20.1 FONDAZIONE CONTROL ROOM: ANALISI DEI CARICHI 116

21 PROGETTO E VERIFICA FONDAZIONI POWER STATION.....117

21.1 FONDAZIONE POWER STATION: ANALISI DEI CARICHI..... 118

22 PROGETTO E VERIFICA FONDAZIONI CABINA MTR MINEO..... 120

22.1 FONDAZIONE MTR: ANALISI DEI CARICHI 121

23 PROGETTO E VERIFICA FONDAZIONI CABINA MTR CALTAGIRONE 122

23.1 FONDAZIONE MTR: ANALISI DEI CARICHI 123

24 PROGETTO E VERIFICA FONDAZIONI EDIFICIO PRODUTTORE 36 KV 124

25 TABULATI DI CALCOLO FONDAZIONI CONTROL ROOM.....77

26 TABULATI DI CALCOLO FONDAZINI POWER STATION..... 204

27 TABULATI DI CALCOLO FONDAZIONE LOCALE MTR MINEO..... 222

28 TABULATI DI CALCOLO FONDAZIONE LOCALE MTR CALTAGIRONE 253

1 PREMESSA

In linea con gli indirizzi di politica energetica nazionale ed internazionale relativi alla promozione dell'utilizzo delle fonti rinnovabili e alla riduzione delle emissioni di gas climalteranti, Blusolar Mineo 1 S.r.l. ha avviato un progetto per la realizzazione di un impianto di produzione di energia elettrica da fonte rinnovabile del tipo fotovoltaico, su un sito ricadente nel territorio dei Comuni di Caltagirone e Mineo, in provincia di Catania, incaricando la società Hydro Engineering s.s. di redigere il progetto definitivo ai fini autorizzativi.

Il progetto consiste nella realizzazione di un impianto fotovoltaico a terra, su strutture sia fisse che ad inseguimento monoassiale (trackers), composto elettricamente da n. 18 aree, ciascuna attribuita ad una Power Station (8 aree nel lotto di impianto di Caltagirone e 10 aree nel lotto di impianto di Mineo) della potenza media variabile da 2,59 a 4,57 MW cadauno, per complessivi 66,900 MW (60 in immissione) collegati fra loro attraverso una rete di distribuzione interna a 36 kV.

Presso ciascun lotto di impianto verranno realizzate le Power Station, la cabina di Controllo (Control Room) e la cabina principale di impianto (MTR), dalla quale si dipartono le linee di collegamento a 36 kV interrate verso il punto di consegna, ubicato in un lotto di terreno a pochi km di distanza; in questa area sorgerà la nuova Stazione elettrica Terna "SE RTN 150/36 kV Caltagirone" da inserire in entra/esce alle linee RTN 150 kV "S.Cono-Caltagirone 2" e "Barrafranca-Caltagirone". In adiacenza alla SE Terna sarà realizzato un edificio produttore per la messa a terra, la misura e il parallelo delle linee a 36 kV.

Il progetto prevede inoltre, in adiacenza all'edificio, la realizzazione di un sistema di BESS (storage) di accumulo per circa 20MW ovvero 40 MWh.

La potenza complessiva in rete sarà pertanto pari a 80 MW in immissione e 20 MW in prelievo.

Il presente documento si propone di descrivere la caratterizzazione geotecnica e sismica dei siti in oggetto in uno con le verifiche geotecniche e strutturali relative alle fondazioni dei tracker e alle strutture di servizio dell'impianto fotovoltaico (MTR, PS, Control Room, edificio produttore). Le caratteristiche geologiche e geotecniche dei terreni sono state desunte dallo studio geologico redatto dal Dott. Geologo Carlo Cibella allegato al presente progetto.

2 NORMATIVA DI RIFERIMENTO

La normativa cui viene fatto riferimento nelle fasi di calcolo e progettazione sono le "Norme Tecniche per le Costruzioni", D.M. 17/01/2018.
Si farà, inoltre, riferimento alle seguenti normative:

- Circolare esplicativa n° 7 del 21/01/2019 "Istruzioni per l'applicazione delle Norme tecniche per le costruzioni di cui al D.M. 17/01/2018";
- Legge n. 1086 del 05.11.1971 "Norme per la disciplina delle opere in c.a. normale e precompresso, ed a struttura metallica";
- Legge n. 64 del 02.02.1974 – "Provvedimenti per le costruzioni con particolari prescrizioni per le zone sismiche".
- IEC 60400-1 "Wind Turbine safety and design";
- Eurocodice 2 "Design of concrete structures".
- Eurocodice 3 "Design of steel structures".
- Eurocodice 4 "Design of composite steel and concrete structures".
- Eurocodice 7 "Geotechnical design".
- Eurocodice 8 "Design of structures for earthquake resistance".

3 INQUADRAMENTO TERRITORIALE

L'impianto fotovoltaico in oggetto insisterà su due distinti lotti, uno sito nel territorio del Comune di Caltagirone (CT) e uno sito nel territorio del comune di Mineo (CT), dell'estensione rispettivamente di 42,7 ettari e 51,33 ettari per complessivi 95 ettari circa.
Anche le realizzande opere di connessione alla rete elettrica del distributore ricadono per intero nei territori dei Comuni di Caltagirone e Mineo (CT).
Dal punto di vista cartografico, le opere in progetto sono individuate all'interno delle seguenti cartografie e Fogli di Mappa.

1) **Impianto Fotovoltaico "FV MINEO CALTAGIRONE" – lotto Caltagirone:**

- Fogli I.G.M. in scala 1:25.000, di cui alle seguenti codifiche 273_IV_NO-Monte Frasca, 273_IV_NE-Mineo;
- Carta tecnica regionale CTR, scala 1:10.000, fogli n° 639110;
- Foglio di mappa catastale del Comune di Caltagirone n° 25, p.lle 194, 165, 195 e 198; Foglio di mappa catastale del Comune di Caltagirone n° 50, p.lle 22, 134, 23, 45, 24, 25, 26, 103, 122, 82, 116, 115, 80, 81, 121, 117, 79, 114, 77, 76, 96, 112, 73, 75, 172, 102, 78, 119, 151, 123, 118, 122, 29, 30, 31, 83, 84, 86, 124, 125, 87, 85, 126, 127, 88, 89, 93, 90, 91, 92, 94, 95, 97, 98, 99 100, 101
  Foglio di mappa catastale del Comune di Caltagirone n° 23, p.lla 174

2) **Impianto Fotovoltaico "FV MINEO CALTAGIRONE" – lotto Mineo:**

- Fogli I.G.M. in scala 1:25.000, di cui alle seguenti codifiche 269_III_SE-Ramacca,
- Carta tecnica regionale CTR, scala 1:10.000, fogli n° 639080;
- Foglio di mappa catastale del Comune di Mineo n° 15, p.lle 113, 114, 163, 159, 158; Foglio di mappa catastale Comune di Mineo n. 17 p.lle 42, 44 e 45; Foglio di mappa catastale del Comune di Mineo n. 28 p.lla 56.

3) **Area Bess – storage e Stazione Terna 36/150 kV**

- Fogli I.G.M. in scala 1:25.000, di cui alle seguenti codifiche 273_IV_NO-Monte Frasca, 273_IV_NE-Mineo;
- Carta tecnica regionale CTR, scala 1:10.000, fogli n° 639100;
- Foglio di Mappa catastale del comune di Caltagirone n.4 p.lla 15;

4) **Cavidotto AT 36 kV di connessione alla SE Terna**

- Fogli I.G.M. in scala 1:25.000, di cui alle seguenti codifiche 269_III_SE-Ramacca, Fogli I.G.M. in scala 1:25.000, di cui alle seguenti codifiche 273_IV_NO-Monte Frasca, 273_IV_NE-Mineo;
- Carta tecnica regionale CTR, scala 1:10.000, fogli n° 639080, 639070, 639110 e 639100;

- Foglio di Mappa catastale del comune di Mineo n.27 p.lla 180;
- Foglio di mappa catastale del Comune di Mineo n.7 p.lle 30, 45, 82, 85, 69;
- Foglio di mappa catastale del Comune di Mineo n.6 p.lle 181, 182, 140, 21 e 17.

Di seguito le coordinate assolute nel sistema UTM 33 WGS84 del sito dell'impianto fotovoltaico e dell'area di storage e della stazione SE Terna di connessione:

COORDINATE ASSOLUTE NEL SISTEMA UTM 33 WGS84			
DESCRIZIONE	**E**	**N**	**H_{media} [s.l.m.]**
Parco fotovoltaico (lotto Mineo)	464220	4132427	H=360 m
Parco fotovoltaico (lotto Caltagirone)	462350	4123618	H=290 m
Area Storage	454425	4125946	H=410 m
Area SE Terna	454338	4125849	H=410 m

Tabella 1 - Coordinate assolute del parco FV e della SE Terna di consegna

Figura 1 - Ubicazione area di impianto da satellite

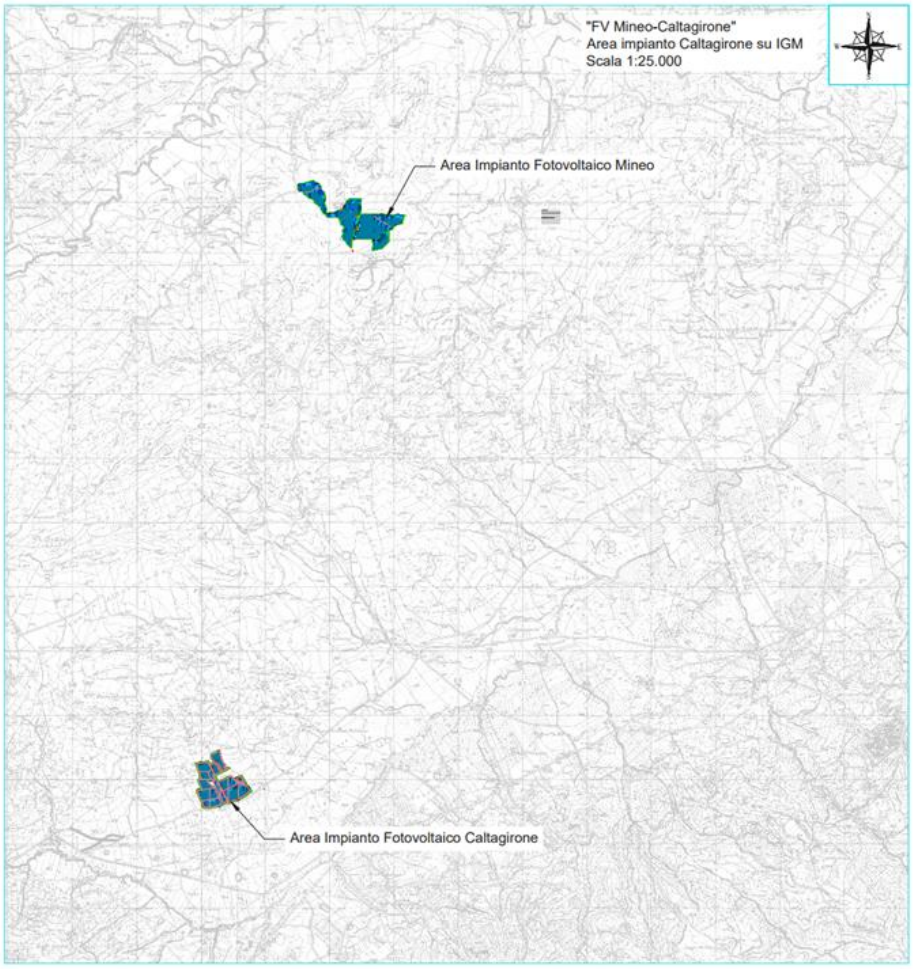

Figura 2 - Inquadramento impianto fotovoltaico su IGM 1:25.000

Figura 3 - Inquadramento Impianto FV su ortofoto – area di Caltagirone

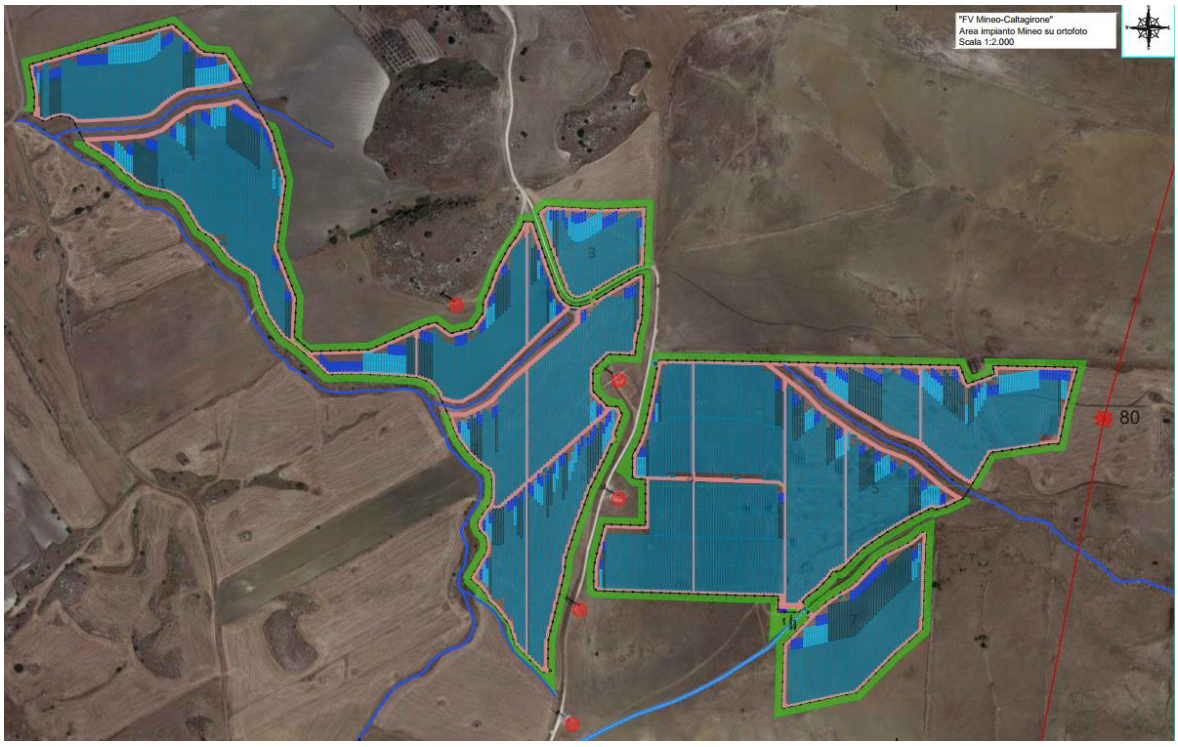

Figura 4 - Inquadramento Impianto FV su ortofoto – area di Mineo

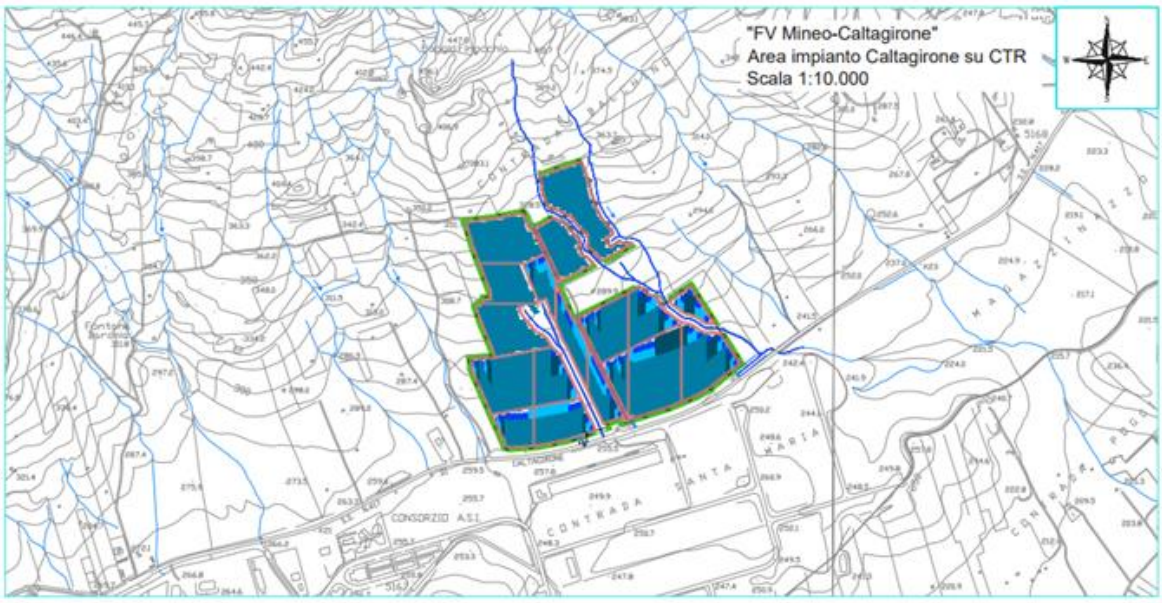

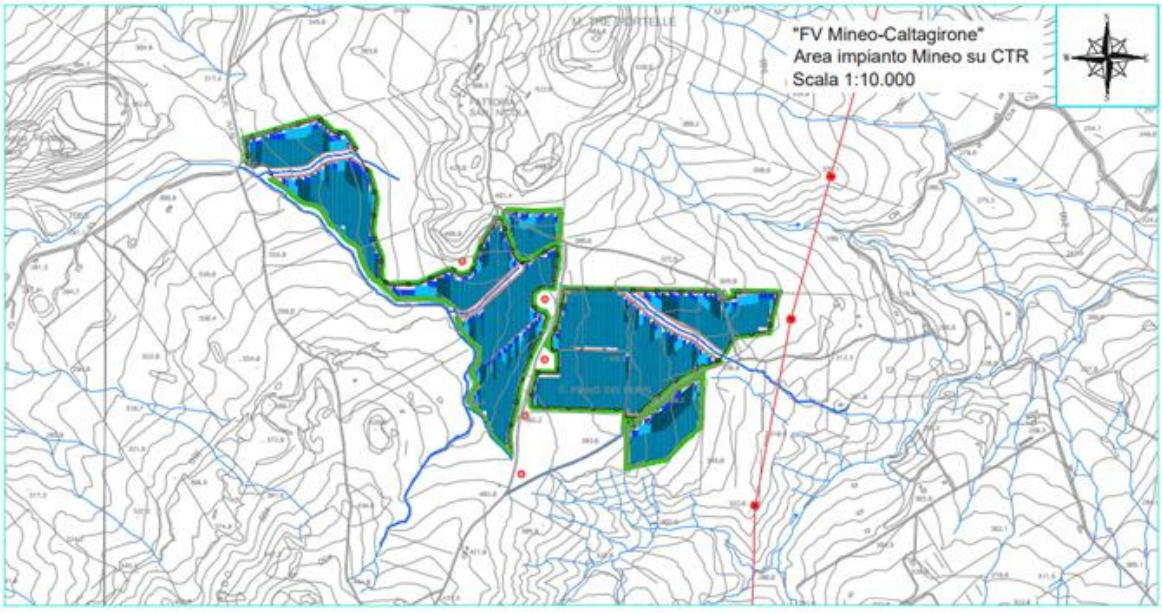

Figura 5 - Inquadramento Impianto FV su CTR

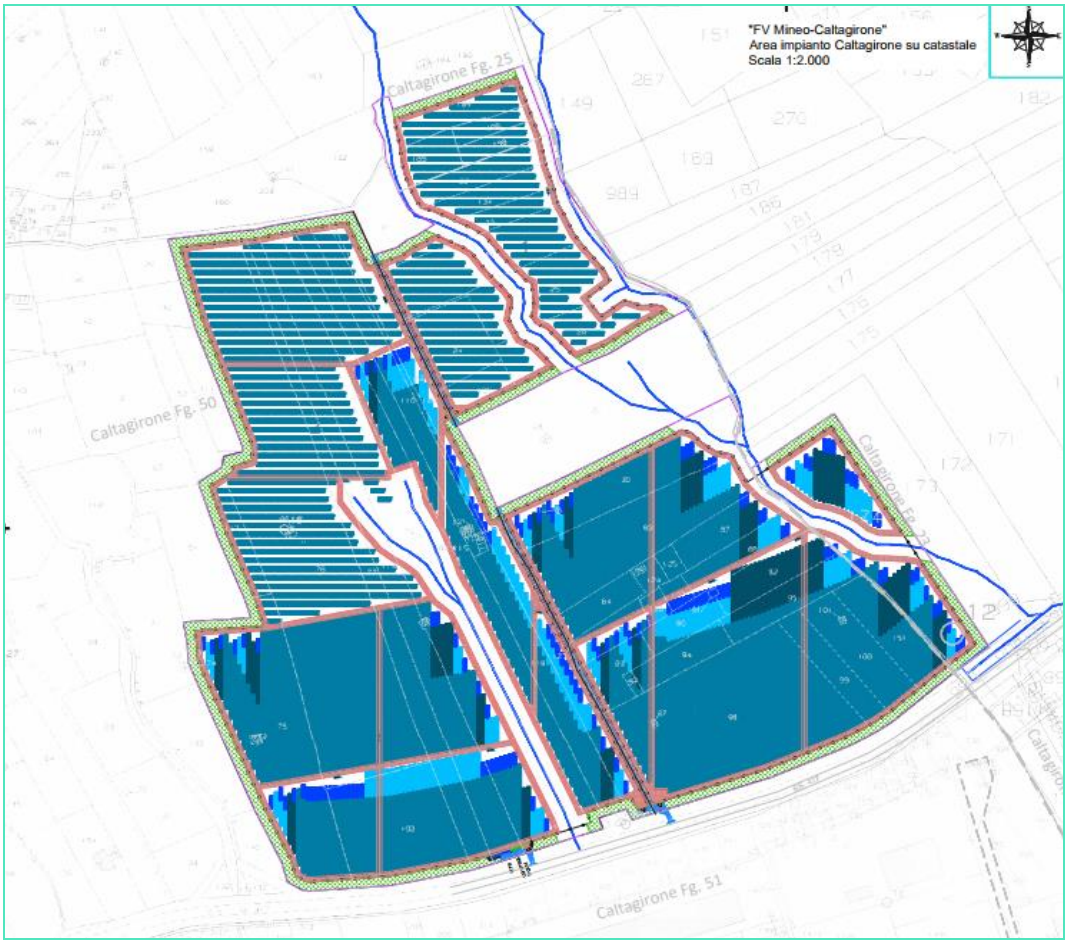

Figura 6 - Inquadramento Impianto FV su catastale – area di Caltagirone

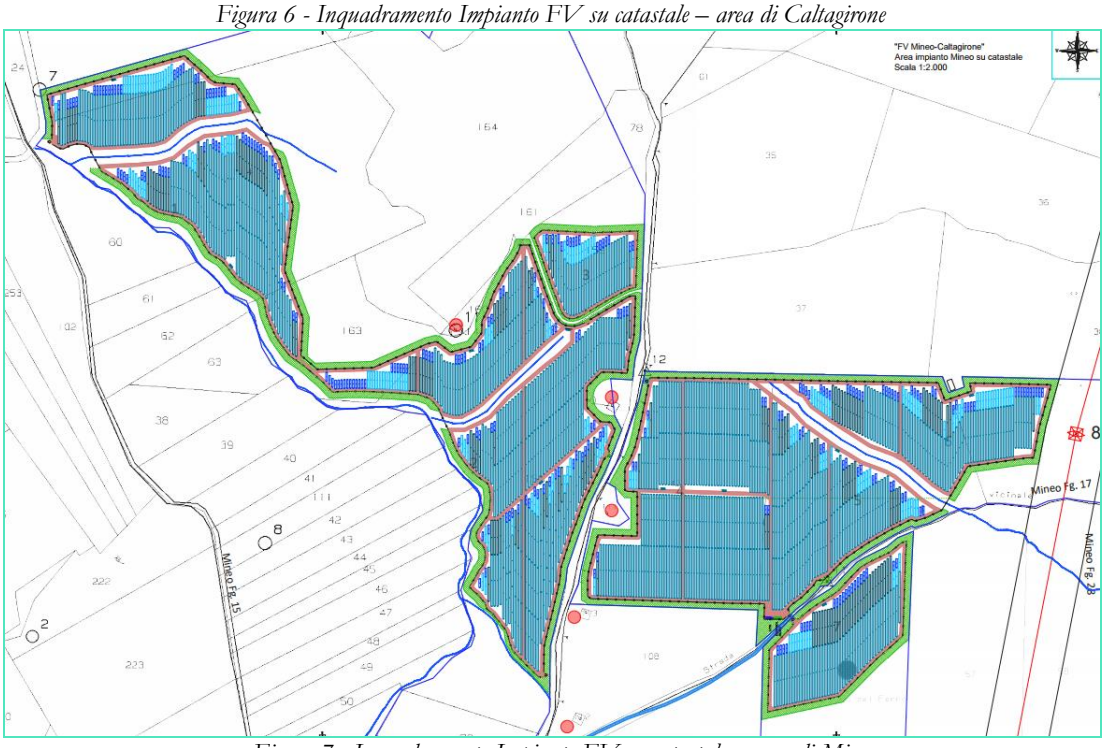

Figura 7 - Inquadramento Impianto FV su catastale – area di Mineo

4 DATI GENERALI IMPIANTO

L'impianto nel suo complesso è costituito delle seguenti componenti – Lotto Caltagirone:

- n. 52.392 moduli fotovoltaici, di cui 16.944 che saranno installati su apposite strutture fisse e 35.448 moduli installati su strutture metalliche di sostegno del tipo ad inseguimento monoassiale (trackers); entrambe le tipologie saranno fissate al terreno attraverso pali metallici infissi;
- n. 141 string-box che hanno lo scopo di ricevere i cavi BT provenienti dalle stringhe di impianto e "parallelare" gli stessi verso gli inverter centralizzati ubicati all'interno delle power station;
- n.. 8 Power Station (PS). Le Power Station o cabine di campo hanno la duplice funzione di raccogliere l'energia elettrica in BT proveniente dalle stringhe di impianto ed elevare prima da corrente continua a corrente atlternata attraverso idonei inverter in esse presenti ed elevare poi la tensione da bassa ad alta attraverso idoneo trasformatore BT/36kV. Le PS saranno collegate tra loro in entra-esce su tutti e tre i sottocampi: Sottocampo A, Sottocampo B e Sottocampo C. Ciascun sottocampo trasporterà una potenza variabile da 7,23 a 13,506 MW e convergerà su un quadro a 36 kV verso la cabina di distribuzione MTR. Alle Power Station saranno convogliati i cavi provenienti dagli string box di impianto, che raccolgono i cavi provenienti dalle stringhe dei moduli fotovoltaici;
- una cabina principale di impianto (MTR – Main Technical Room), per la connessione e la distribuzione, nella quale verranno convogliate le linee a 36 kV relative ai sottocampi A,B e C che collegano le Power Station alla MTR, come meglio dettagliato nei successivi capitoli. All'interno della MTR avverranno le misure per mezzo di idonei quadri di misura e l'uscita verso il punto di consegna presso la SE Terna di progetto 36/150 kV;
- una cabina denominata Control Room destinata ad ospitare uffici e relativi servizi: monitoraggio della strumentazione di sicurezza e locale deposito;
- una linea interrata a 36 kV di collegamento fra la cabina MTR e il punto di consegna, individuato nella Stazione elettrica Terna "SE RTN 150/36 kV Caltagirone". La connessione a 36 kV non rende necessaria la realizzazione di una sottostazione elettrica; il cavo entrerà direttamente all'interno della SE Terna dove avverrà l'innalzamento a 150 kV e la distribuzione da parte dell'ente gestore Nazionale. Prima dell'ingresso in SE è presente un edificio produttore che consentirà la messa a terra della linea, la misura e il convogliamento in SE.

L'impianto nel suo complesso è costituito delle seguenti componenti – Area Mineo:

- n. 61.968 moduli fotovoltaici installati su strutture metalliche di sostegno del tipo ad inseguimento monoassiale (trackers) fissate al terreno attraverso pali metallici infissi;
- n. 165 string-box che hanno lo scopo di ricevere i cavi BT provenienti dalle stringhe di impianto e "parallelare" gli stessi verso gli inverter centralizzati ubicati all'interno delle power station;
- n.. 10 Power Station (PS). Le Power Station o cabine di campo hanno la duplice funzione di raccogliere l'energia elettrica in BT proveniente dalle stringhe di impianto ed elevare prima da corrente continua a corrente atlternata attraverso idonei inverter in esse presenti ed elevare poi la tensione da bassa a alta attraverso idoneo trasformatore. Le PS saranno collegate tra loro in entra-esce sui vari Sottocampi (sottocampo D, sottocampo E, sottocampo F, sottocampo G) o direttamente alla MTR di impianto (sottocampo H – PS18). Ciascun sottocampo trasporterà una potenza variabile da 2,79 a 9,786 MW e convergerà su un quadro a 36 kV verso la cabina di distribuzione MTR. Alle Power Station saranno convogliati i cavi provenienti dagli string box di impianto, che raccolgono i cavi provenienti dalle stringhe dei moduli fotovoltaici;
- una cabina principale di impianto (MTR – Main Technical Room), per la connessione e la distribuzione, nella quale verranno convogliate le linee a 36 kV relative ai sottocampi D, E, F, G e H che collegano le Power Station alla MTR, come meglio dettagliato nei successivi capitoli. All'interno della MTR avverranno le misure per mezzo di idonei quadri di misura e l'uscita verso il punto di consegna presso la SE Terna di progetto 36/150 kV;
- una cabina denominata Control Room destinata ad ospitare uffici e relativi servizi: monitoraggio della strumentazione di sicurezza e locale deposito;
- una linea interrata a 36 kV di collegamento fra la cabina MTR e il punto di consegna, individuato nella Stazione elettrica Terna "SE RTN 150/36 kV Caltagirone". La connessione a 36 kV non rende necessaria la realizzazione di una sottostazione elettrica; il cavo entrerà direttamente all'interno della SE Terna dove avverrà l'innalzamento a 150 kV e la distribuzione da parte dell'ente gestore Nazionale. Prima dell'ingresso in SE è presente un edificio produttore che consentirà la messa a terra della linea, la misura e il convogliamento in SE.

L'impianto, in entrambi i lotti, è completato da:

- tutte le infrastrutture tecniche necessarie alla conversione DC/AC della potenza generata dall'impianto e dalla sua consegna alla rete di trasmissione nazionale;
- opere accessorie, quali: impianti di illuminazione, videosorveglianza, antintrusione, monitoraggio, viabilità di servizio, cancelli e recinzioni.

Da quanto progettato discendono i seguenti dati di progetto – Area Mineo

Elementi fisici impianto	Superficie impegnata [m²]	Superficie impegnata [ha]	Incidenza percentuale
Proprietà	513.250,1	51,33	100,0%
Area a verde	67.223,8	6,72	13,10%
Viabilità di servizio	54.363,4	5,44	10,6%
Area occupata da pannelli	173.301,6	17,33	33,77%
Cabine elettriche	264	0,03	0,05%
Area occupata dagli impluvi interni all'impianto	20.886,8	2,1	4,07%
Corridoi tra pannelli	197.210,5	19,72	38,42%

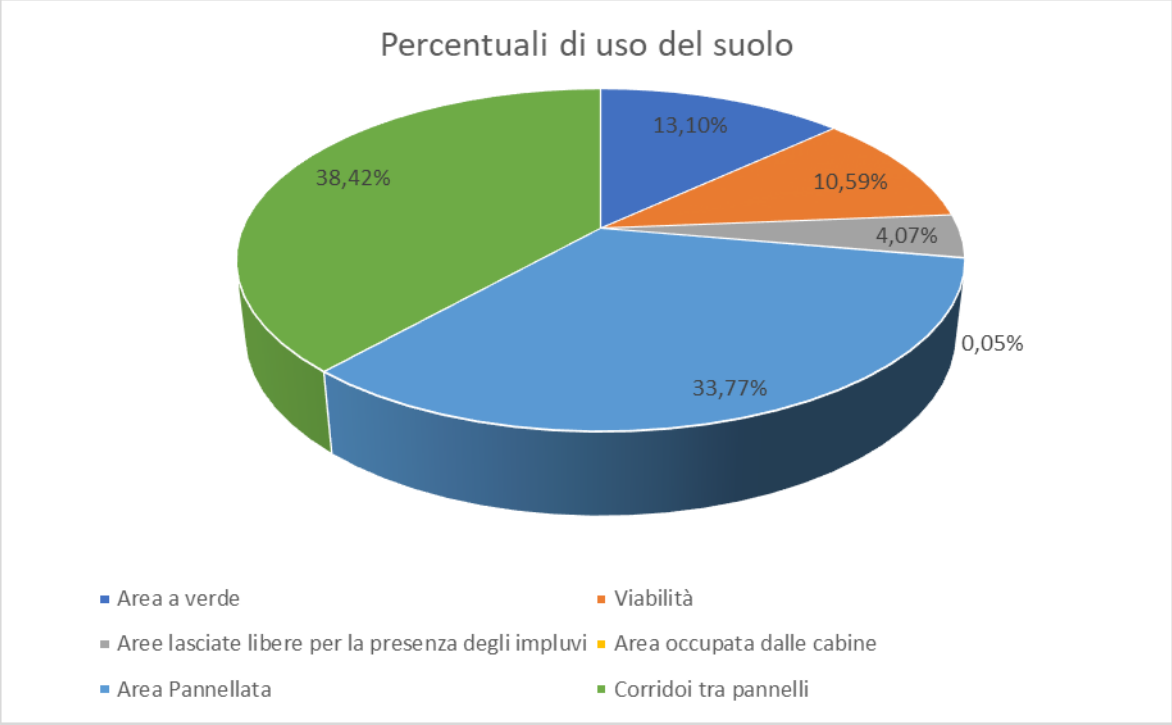

Figura 8 - Incidenza percentuale della copertura di suolo sul totale disponibile- Area Mineo

Da quanto progettato discendono i seguenti dati di progetto – Area Caltagirone

Elementi fisici impianto	Superficie impegnata [m²]	Superficie impegnata [ha]	Incidenza percentuale
Proprietà	427.125,75	42,71	100,0%
Area a verde	29.464	2,95	6,90%
Viabilità di servizio	45.802,65	4,58	10,72%
Area occupata da pannelli	138.355,2	13,84	32,39%
Cabine elettriche	228	0,02	0,05%
Area occupata dagli impluvi interni all'impianto	20.173,01	2,02	4,72%
Area esterna alla recinzione complementare all'area catastale	19.611,7	1,96	5%
Corridoi tra pannelli	173.490,44	17,35	40,62%

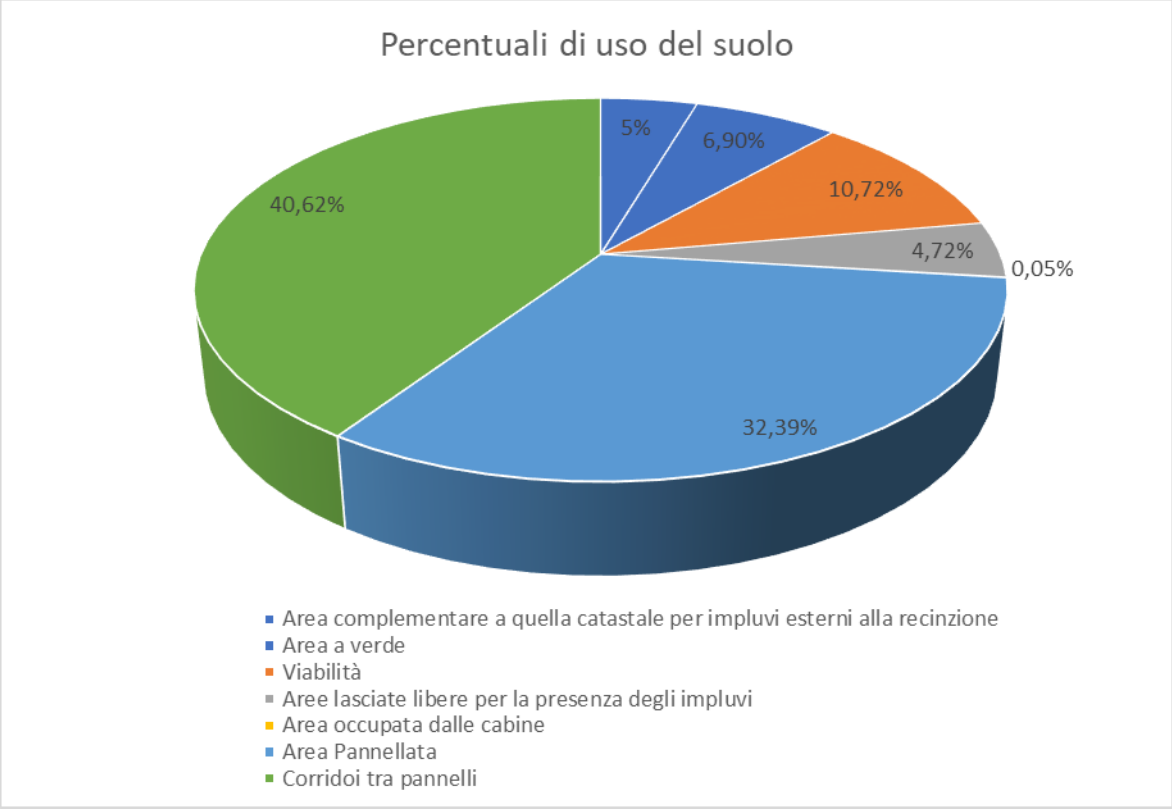

Figura 9 - Incidenza percentuale della copertura di suolo sul totale disponibile- Area Caltagirnoe

Come anticipato in premessa, ai fini della connessione alla rete di distribuzione dell'impianto fotovoltaico in progetto, la società promotrice, Blusolar Mineo 1 s.r.l., ha richiesto e ottenuto dal distributore apposito preventivo di connessione identificato con codice 201901508

condizionato all'autorizzazione, contestualmente alle opere di cui al presente progetto, delle opere necessarie per la connessione alla rete, sopra rappresentate, consistenti in:

- una nuova Stazione elettrica Terna "SE RTN 150/36 kV Caltagirone" da inserire in entra/esce alle linee RTN 150 kV "S.Cono-Caltagirone 2" e "Barrafranca-Caltagirone";

Tali opere di rete, rientrando negli interventi di adeguamento e/o sviluppo della rete di distribuzione e/o della Rete di Trasmissione Nazionale (RTN), risultano essere **Opere di Pubblica Utilità.**

Tali opere connesse, come indicato ai sensi dall'art. 1 octies della L. n.129/2010, costituiscono un unicum dal punto di vista funzionale con il progetto dell'impianto fotovoltaico in esame, e pertanto dovranno essere autorizzate in uno con lo stesso impianto fotovoltaico, ai sensi del D.Lgs. 387/03, art. 12 commi 3 e 4bis.

L'impianto nel suo complesso è in grado di alimentare dalla rete tutti i carichi rilevanti (ad es: quadri di alimentazione, illuminazione, trackers ad insegumento monoassiale).

Di seguito si riporta la descrizione sintetica dei principali componenti d'impianto; per dati di tecnici maggior dettaglio si rimanda a tutti i relativi elaborati specialistici.

5 DESCRIZIONE DELL'OPERA DI ELEVAZIONE E FONDAZIONE

Le strutture di sostegno dei moduli fotovoltaici sono di due tipologie e più precisamente:

- Area impianto di Caltagirone – strutture sia fisse che ad inseguimento monoassiale con asse di rotazione lungo la direttrice Nord – Sud e permettono al piano dei pannelli di seguire la rotazione del sole E-O;
- Area impianto di Mineo – strutture ad inseguimento monoassiale con asse di rotazione lungo la direttrice Nord – Sud e permettono al piano dei pannelli di seguire la rotazione del sole E-O.

<u>La struttura fissa modulare</u> è costituita da tre campate, ed è composta da n° 24 pannelli affiancati lungo il lato maggiore, disposti su due file. La struttura presenta larghezza complessiva pari 4,84 m, con un ingombro sul piano orizzontale di circa 4,21 m (inclinazione dei pannelli sull'orizzontale pari a 30°), e la lunghezza complessiva pari a circa 13,7 m.

Sezione trasversale
scala 1:50

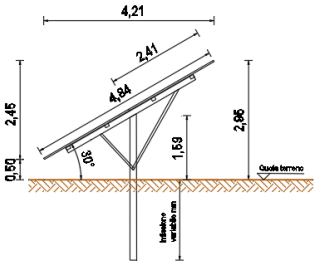

Prospetto strutture fisse di supporto tracker - Struttura da 24 moduli
Scala 1:50

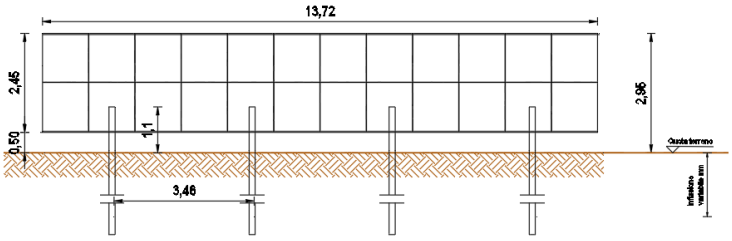

Pianta strutture fisse di supporto tracker - Struttura da 24 moduli
Scala 1:50

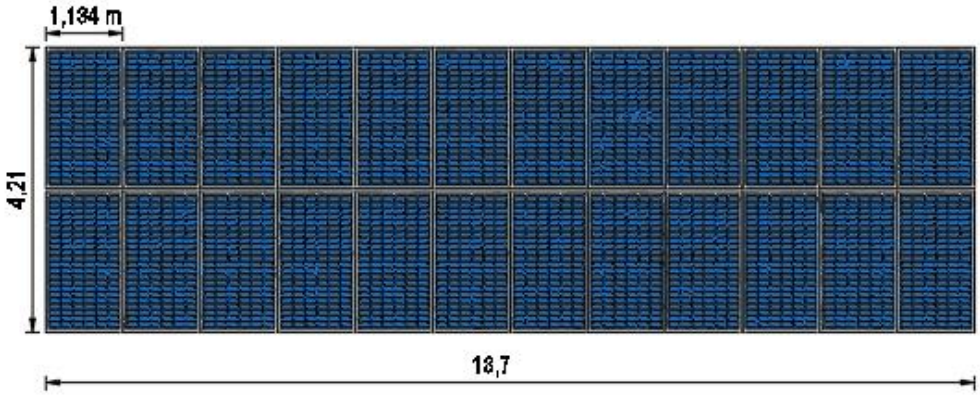

La restanze porzione dell'impianto è costituita da strutture ad inseguimento monoassiale con asse di rotazione lungo la direttrice Nord – Sud e permettono al piano dei pannelli di seguire la rotazione del sole E-O.

Le strutture sono suddivise in 4 tipologie, tutte di larghezza complessiva pari a 2,411 m (ovvero la larghezza del modulo) e lunghezza variabile in funzione del numero di moduli come a seguire esplicitato:

- strutture (semi-stringa) da 12 pannelli – lunghezza complessiva pari a circa 14,20 m, costituita da 2 campate complessive;
- strutture da 24 pannelli (stringa) – lunghezza complessiva pari a circa 28,00 m, costituita da 4 campate complessive;
- strutture costituite da 48 pannelli (2 stringhe) – lunghezza complessiva pari a circa 54,3 m, costituita da 8 campate complessive;
- strutture costituite da 72 pannelli (3 stringhe) – lunghezza complessiva pari a circa 82,8 m, costituita da 10 campate complessive.

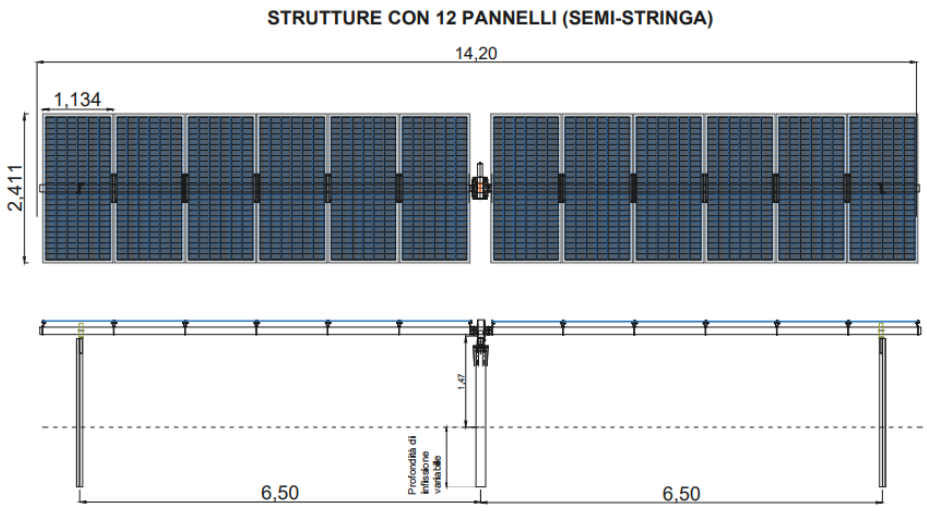

Figura 10 – Struttura da 12 pannelli ad inseguimento monoassiale

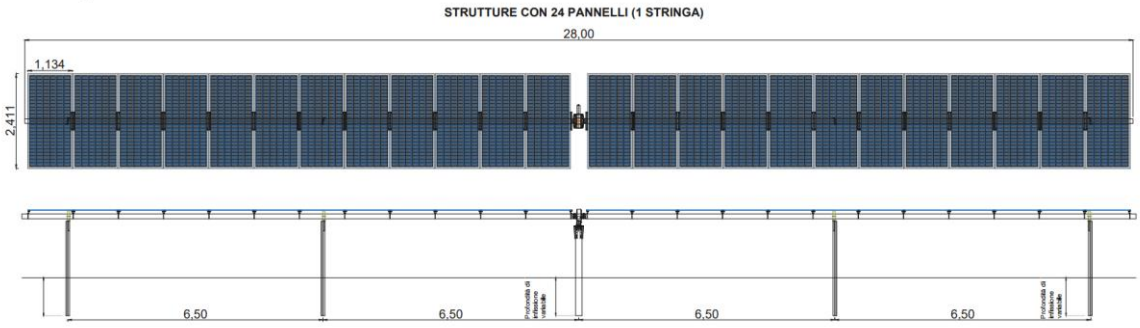

Figura 11 – Struttura da 24 pannelli ad inseguimento monoassiale

I pannelli sono collegati a dei profilati ad omega trasversali alla struttura, che a loro volta sono connessi mediante un corrente longitudinale con sezione quadrata. Grazie a questo sistema la parte mobile è in grado di ruotare intorno ad un asse orizzontale posto ad una altezza pari a circa 1,50 m fuori terra, con un angolo di rotazione di +/- 55°, sfruttando così al meglio l'assorbimento dell'energia solare. Il corrente che governa il moto della struttura è sostenuto da pilastri cui è collegato mediante delle cerniere con asse parallelo al tubolare. Nella cerniera centrale trova collocazione una ghiera metallica che, collegata ad un motore ad azionamento remoto, regola l'inclinazione del piano dei pannelli.
Per maggiori informazioni si rimanda alle tavole strutturali PD-G.2.3.2.1 e PD-G.2.3.2.1.
La struttura potrà all'occorrenza anche essere realizzata in modo da accostare un numero diverso di pannelli. Anche in queste configurazioni la struttura rimarrà del tutto similare a quella modulare, a meno della lunghezza, e presenterà la medesima sezione.

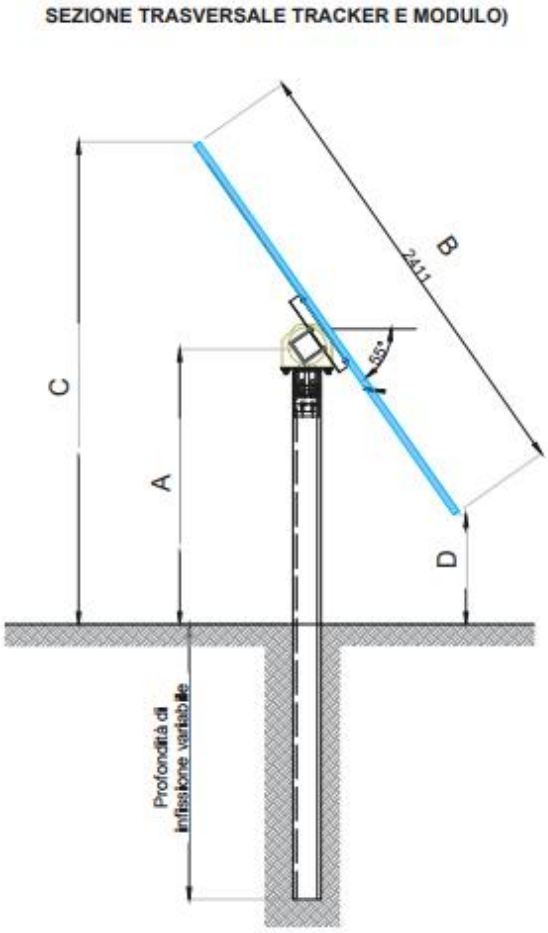

Figura 12 – Tipologico struttura sostegno moduli – sezione trasversale

6 CARATTERIZZAZIONE SISMICA AREA DI CALTAGIRONE

Nel 2003 sono stati emanati i criteri di nuova classificazione sismica del territorio nazionale, basati sugli studi e le elaborazioni più recenti relative alla pericolosità sismica locale, ossia sull'analisi della probabilità che il territorio venga interessato in un certo intervallo di tempo (generalmente 50 anni) da un evento che superi una determinata soglia di intensità o magnitudo. A tal fine è stata pubblicata l'Ordinanza del Presidente del Consiglio dei Ministri n. 3274 del 20 marzo 2003, sulla Gazzetta Ufficiale n. 105 dell'8 maggio 2003.
Con tale provvedimento lo Stato ha delegato le Regioni per l'adozione della classificazione sismica del territorio, le quali hanno compilato l'elenco dei comuni con la relativa attribuzione ad una delle quattro zone, a pericolosità decrescente, nelle quali è stato riclassificato il territorio nazionale.
Un aggiornamento dello studio di pericolosità di riferimento nazionale, previsto dall'O.P.C.M. 3274/03, è stato adottato con l'Ordinanza del Presidente del Consiglio dei Ministri n. 3519 del 28 aprile 2006. Il nuovo studio di pericolosità ha fornito alle Regioni uno strumento aggiornato per la classificazione del proprio territorio, introducendo degli in-tervalli di accelerazione (ag), con probabilità di superamento pari al 10% in 50 anni, da attribuire alle 4 zone sismiche.
Per la zona sismica 1, l'accelerazione con probabilità di superamento pari al 10% in 50 anni (ag) è maggiore di 0,25; Per la zona sismica 2, ag è compresa tra 0,15 e 0,25; Per la zona sismica 3, ag è compresa tra 0,05 e 0,15; Per la zona sismica 4, ag è minore di 0,05.
L'area in esame ricade, secondo la descritta classificazione aggiornata al mese di gennaio 2019, nella seconda categoria.

Zona Sismica	**Accelerazione con probabilità di superamento pari al 10% in 50 anni (ag)**
1	ag > 0,25 g
2	0,15< ag ≤ 0,25 g
3	0,05< ag ≤ 0,15 g
4	ag ≤ 0,05 g

Suddivisione delle zone sismiche in relazione all'accelerazione di picco su terreno rigido

Le attuali Norme Tecniche per le Costruzioni (Decreto Ministeriale del 17 Gennaio 2018 e ss.mm.ii) hanno modificato il ruolo che la classificazione sismica aveva ai fini progettuali, riferendo ad ogni costruzione una accelerazione di riferimento "propria" individuata sulla base delle coordinate geografiche dell'area di progetto e in funzione della vita nominale dell'opera. Un valore di pericolosità di base, dunque, definito per ogni punto del territorio nazionale, su una maglia quadrata di 5 km di lato, indipendentemente dai confini amministrativi comunali.

La classificazione sismica (zona sismica di appartenenza del comune) rimane utile solo per la gestione della pianificazione e per il controllo del territorio da parte degli enti preposti

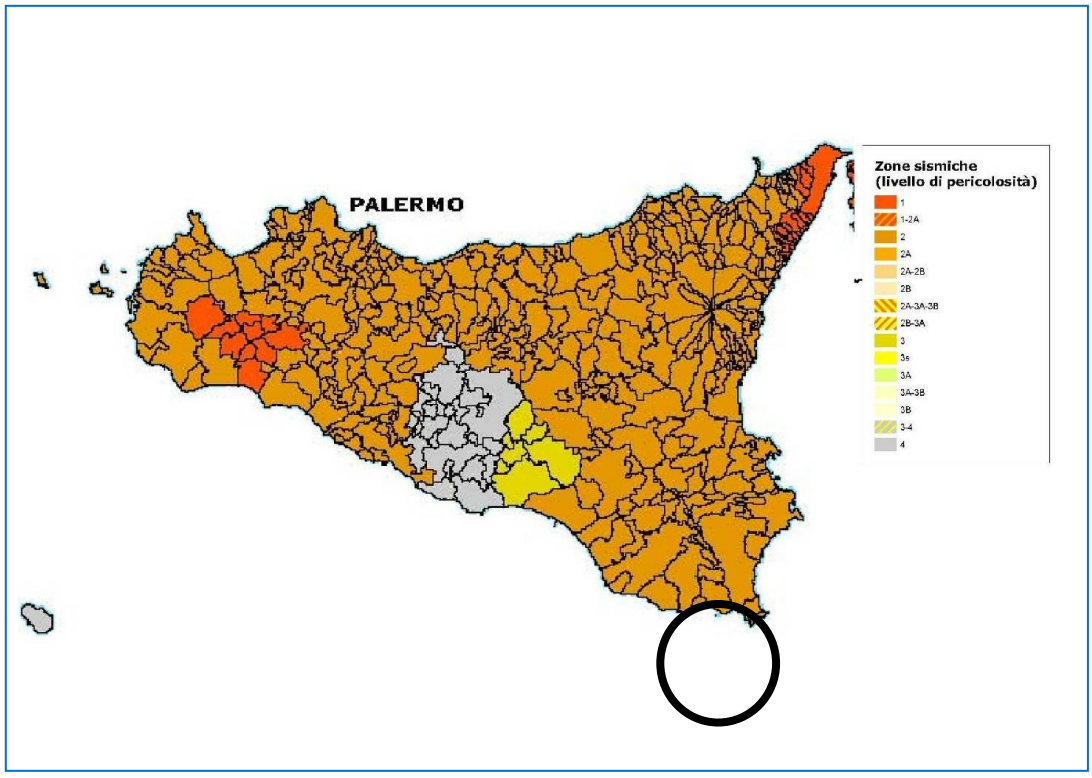

In particolare l'esame della risposta sismica locale consente di affermare che nell'area interessata dal progetto, di cui al presente studio, si può escludere "la presenza di aree soggette a fenomeni di liquefazione".

In definitiva si osserva che l'area strettamente oggetto di interventi risulta sismicamente stabile in relazione alle caratteristiche geomorfologiche, litologiche, stratigrafiche e sismiche. Inoltre, non si riscontrano aree nelle quali durante un evento sismico si possano creare fenomeni di amplificazione sismica locale.

6.1 CARATTERIZZAZIONE SISMICA DEL SOTTOSUOLO

Nel sito in esame sono stati acquisiti N° 4 profili sismici secondo la metodologia MASW.

Tale indagine ha avuto lo scopo di individuare le velocità di propagazione delle onde sismiche secondarie (onde S) all'interno dei terreni che costituiscono i primi 30 metri di sottosuolo, secondo la normativa vigente (D.M. 17/01/2018 e ss.mm.ii.)

Il sondaggio è stato realizzato posizionando, lungo un allineamento definito, 12 geofoni prodotti dalla PASI s.r.l. aventi una frequenza di 4,5 hz, con equidistanza pari a 3 metri. L'offset (scoppio) è stato posto a cinque metri dal primo geofono.

Per l'acquisizione dei dati è stato utilizzato il sismografo digitale 16SG24N a 24 canali della PASI srl ad alta risoluzione, matricola n° 09036062N.

Per l'energizzazione è stata utilizzata una mazza di battuta del peso di 8 kg con interruttore starter battente su una piastra metallica che è stata utilizzata come dispositivo in grado di generare onde sismiche.

Poiché la profondità H del substrato (definito come quella formazione di roccia o terreno molto rigido) caratterizzato da Vs non inferiore a 800 m/s è maggiore di 30 metri, di seguito si fornisce come velocità equivalente delle onde di taglio il parametro Vs_{30}, così come descritto nel paragrafo 3.2.2. delle NTC 2018.

Nella pagina successiva si allegano gli elaborati ottenuti dal processo di elaborazione dei quattro sondaggi Masw acquisiti denominati Masw 1, Masw2, Masw3 e Masw 4. La Vs eq_{30} misurata risulta compresa tra **290** e **347 m/s** per cui il sottosuolo ricade nella categoria sismica **C** ovvero: "*Depositi di terreni a grana grossa mediamente addensati o terreni a grana fina mediamente consistenti con profondità del substrato superiori a 30 m, caratterizzati da un miglioramento delle proprietà meccaniche con la profondità e da valori di velocità equivalente compresi tra 180 m/s e 360 m/s*".

7 INQUADRAMENTO GEOLOGICO AREA DI CALTAGIRONE

L'area in studio si inquadra in una zona di transizione tra il margine nord-occidentale del plateau ibleo ed il margine sud-occidentale della struttura geologica nota come Avanfossa Gela-Catania. Quest'ultima rappresenta la porzione sud-orientale della più ampia Fossa di Caltanissetta, incuneata tra l'Avampaese Ibleo-Ragusano e la Catena Appenninico-Maghrebide. L'Avanfossa Gela-Catania, il cui substrato è dato da depositi carbonatici del Plateau Ibleo ribassati fa parte quindi di quell'ampio bacino attivamente subsidente durante il Neogene ed il Pleistocene inf. comprendente tutta la Sicilia centro-meridionale. In essa, infatti, associati all'episodio gravitativo della Falda di Gela, sono presenti ingenti coperture di materiali terrigeni a tendenza regressiva con al tetto arenarie o conglomerati.

Il rilevamento geologico di superficie, opportunamente esteso ad un'ampia fascia perimetrale esterna rispetto al sito di progetto, e successivamente integrato con le indagini geognostiche eseguite, ha permesso di ricostruire in modo soddisfacente la successione dei terreni presenti nell'area studiata.

Le formazioni geologiche che affiorano nell'area in studio (si veda la carta geologica allegata), procedendo da quelle di deposizione più recente verso quelle più antiche, sono le seguenti:

- Depositi alluvionali (Olocene)
- Argille grigio-azzurre (Pleistocene)
- Calcari marnosi e marne biancastre (Trubi - Pliocene inf.)
- Calcari di base e gessi della serie evaporitica (Miocene superiore - Messiniano)
- Marne grigie argillose e sabbiose (Miocene superiore - Tortoniano)

Depositi alluvionali

Si riscontrano all'interno degli alvei fluviali e all'interno dei solchi torrentizi di maggiore entità. In particolare, nell'area n studio, si ritrovano a formare la piana alluvionale sulla quale scorre il fiume Caltagirone, che scorre poco a valle del sito di impianto.

Tali depositi sono prevalentemente incoerenti, costituiti da limi, limi sabbiosi, sabbie, sabbie limose e ghiaie con giacitura sub orizzontale ed assetto lenticolare embriciato.

I limi sono costituiti in prevalenza da minerali argillosi e sono privi di tessitura; le sabbie, che presentano granulometria variabile da fine a grossa, sono costituite per la maggior parte da elementi quarzosi e calcarei.

Argille grigio-azzurre

Affiorano nel settore più meridionale dell'area interessata dal progetto.

Fanno parte di una potente successione bioclastica depositatasi nel Pleistocene Inferiore, avente nel suo complesso uno spessore di oltre 300 metri, caratterizzata da quattro diverse facies. Alcune di esse sono di natura arenitico-sabbiosa ed altre di natura pelitica. Il sito in

esame risulta composto da argille marnose e marne argillose di colore grigio-azzurro (AA), a luoghi ad elevato contenuto sabbioso, con abbondanti fossili tra cui citiamo la *Artica Islandica*.
Nella porzione più superficiale appaiono di colore beige-giallastro perché ossidate dagli agenti atmosferici mentre in profondità assumono la colorazione tipica grigiastra.
Le indagini eseguite hanno messo in evidenza che localmente presentano un elevato contenuto in sabbie e ghiaie, quest'ultime costituite da elementi lapidei a spigoli vivi o sub angolari di natura calcarea immersi in una matrice limo-sabbiosa. La matrice limo-sabbiosa presenta una colorazione marrone chiaro-beige.
Il periodo di deposizione risale al Pleistocene inferiore.

Calcari marnosi e marne biancastre (Trubi - Pliocene inf.), si tratta di marne e calcari marnosi a microforaminiferi planctonici, di colore generalmente bianco-crema, a frattura concoide. Tali depositi segnano al tetto la fine della serie evaporitica ed il ritorno a condizioni di mare profondo, come evidenziato dalla ricca fauna fossile. Gli spessori possono raggiungere anche i 100 metri. Si presentano alterati in superficie e variano molto dal punto di vista litologico in base alla percentuale di argilla presente, passando così da terreni calcareo marnosi duri e tenaci a marne consistenti ad argille marnose tenere.

Calcare di base (Messiniano)
La *formazione calcareo-solfifera* è costituita da un calcare bianco e grigio chiaro, talora ben stratificato o, più frequentemente, massivo, brecciato, fratturato, cavernoso e poroso. Non sono rare, a vari livelli, intercalazioni di spessore decimetrico di natura argillosa o argilloso-marnosa. Tale orizzonte calcareo si trova alla base della serie gessoso solfifera e la sua posizione stratigrafica normale è interposta tra il Tripoli al letto ed i gessi al tetto. Di norma il calcare si trova disposto in banchi grossolani, mal distinguibili, di spessore metrico, e la stratificazione è segnata quasi sempre da intercalazioni di marne grigie o di sottili livelli argillosi. Nell'area in esame si presenta piuttosto degradato, pulverulento, facilmente disgregabile.

Marne grigie argillose e sabbiose
Tali depositi affiorano estesamente nell'area di intervento.
Costituiscono il substrato sul quale si è depositata la successione evaporitica presente in maniera diffusa in Sicilia, rappresentata nel sito in esame soltanto dai calcari di base.
Si tratta di argille, argille sabbiose, siltose o marnose di colore grigio-azzurro e grigio-verdastro quando inalterate, superficialmente assumono una colorazione giallastra, rossastra o marrone chiaro. Contengono spesso cristalli di gesso, si presentano dure e compatte, a frattura concoide e con intercalati sottili livelli sabbiosi che ne marcano la stratificazione. Dal punto di vista mineralogico sono costituite da un abbondante scheletro sabbioso in cui prevalgono quarzo, gesso, calcite, tracce di dolomite, feldspati, pirite, ossidi di ferro, mentre la frazione argillosa è costituita da kaolinite, illite, montmorillonite e scarsa clorite, cui si aggiungono in

minori quantità interlami-nazioni illitiche-montmorillonitiche. La tessitura è brecciata e talora a scaglie; la stratificazione è marcata dai sottili livelli sabbiosi intercalati. Le argille spesso si presentano piuttosto tettonizzate con giunti variamente orientati caratterizzati da superfici lucide. Il grado di erodibilità è elevato.
Il periodo di deposizione risale al Tortoniano (Miocene superiore).

Tramite l'impiego di un escavatore meccanico sono stati realizzati cinque pozzetti esplorativi spinti sino a raggiungere una profondità non superiore ai 3,0 metri rispetto il piano di campagna.
I pozzetti, denominati P1, P3 e P4, hanno mostrato la presenza di depositi composti da limi argillosi e limi sabbiosi destrutturati, mediamente consistenti e plastici i, di colore beige-biancastro, aventi uno spessore di poco inferiore ai due metri.
Il pozzetto P2 ha evidenziato la presenza di limi argilloso-marnosi di colore beige-biancastro, consistenti e non plastici, destrutturati, aventi uno spessore di circa 1,9 metri.
Il pozzetto P2 bis ha evidenziato la presenza, al di sotto limi argilloso-marnosi di colore beige-biancastro, di inclusioni lapidee decimetriche di natura prevalentemente calcarenitica.
Nel corso dei saggi esplorativi sono stati prelevati due campioni indisturbati, sui quali sono state eseguite le prove geotecniche di laboratorio. A seguire le stratigrafie, ricostruite per ciascun pozzetto, ed estrapolate dallo studio geologico.

Committente	Blusolar Mineo 1 s.r.l.	SONDAGGIO	FOGLIO
Cantiere	Impianto fotovoltaico Caltagirone	P1	
Località	Caltagirone (CT)	Il geologo Dott. C. Cibella	
Data Inizio	11/04/22 — Coordinate 37.261122° - 14.571777°		

Scala 1:50	Stratigrafia	Profondita'	Potenza	Descrizione	Campioni
0.5		0.60	0.60	Terreno vegetale	
1.0, 1.5, 2.0, 2.5		2.50	1.90	Limo sabbioso di colore beige biancastro consistente e plastico, destrutturato.	
3.0					

Committente	Blusolar Mineo 1 s.r.l.	SONDAGGIO	FOGLIO
Cantiere	Impianto fotovoltaico Caltagirone	P2	
Località	Caltagirone (CT)	Il geologo Dott. C. Cibella	
Data Inizio	11/04/22 — Coordinate 37.262565° - 14.573742°		

Scala 1:50	Stratigrafia	Profondita'	Potenza	Descrizione	Campioni
0.5		0.60	0.60	Terreno vegetale	
1.0, 1.5, 2.0, 2.5		2.50	1.90	Limo argillo - marnoso di colore beige biancastro consistente e non plastico, destrutturato. Presenti inclusioni lapidee con dimensioni variabili dal millimetro al centimetro a spigoli vivi.	1.60 P2C1 1.90
3.0					

Committente		SONDAGGIO	FOGLIO
Cantiere	Impianto fotovoltaico Caltagirone	P2 bis	
Località	Caltagirone (CT)		
Data Inizio	11/04/22 — Coordinate 37.262565° - 14.573742°	Il geologo Dott. C. Cibella	

Scala 1:100	Stratigrafia	Profondita'	Potenza	Descrizione	Campioni
1		0.70	0.70	Terreno vegetale	
2		2.50	1.80	Limo sabbioso di colore beige biancastro consistente e plastico, destrutturato. Presenti inclusioni lapidee talora decimetriche	
3					

Committente	Blusolar Mineo 1 s.r.l.	SONDAGGIO	FOGLIO
Cantiere	Impianto fotovoltaico Caltagirone	P3	
Località	Caltagirone (CT)		
Data Inizio	12/04/22 — Coordinate 37.256419 ° - 14.571583°	Il geologo Dott. C. Cibella	

Scala 1:50	Stratigrafia	Profondita'	Potenza	Descrizione	Campioni
0.5		0.70	0.70	Terreno vegetale	
1.0		2.50	1.80	Limo sabbioso di colore beige biancastro consistente e plastico, destrutturato	
1.5					
2.0					
2.5					
3.0					

Committente	Blusolar Mineo 1 s.r.l.	SONDAGGIO	FOGLIO
Cantiere	Impianto fotovoltaico Caltagirone	P4	
Località	Caltagirone (CT)	Il geologo Dott. C. Cibella	
Data Inizio	12/04/22 — Coordinate 37.258995° - 14.575893°		

Scala 1:50	Stratigrafia	Profondita'	Potenza	Descrizione	Campioni
0.5 1.0 1.5 2.0			2.00	Terreno vegetale	1.60 P4C1 1.90
2.5		2.00	0.50	Limo sabbioso di colore beige biancastro consistente e plastico, destrutturato. Presenti inclusioni lapidee talora decimetriche.	
3.0		2.50			

8 INQUADRAMENTO GEOMORFOLOGICO AREA DI CALTAGIRONE

L'area in studio ricade all'interno del territorio comunale di Caltagirone (Pv. di Catania), immediatamente a monte della SS417, direzione Caltagirone-Catania.

Dal punto di vista cartografico il sito ricade nelle tavole della CTR n°639070 e 639080, nella cartografia IGM al foglio 273 IV NO MONTE FRASCA.

L'assetto geomorfologico di un territorio è determinato dall'interazione tra le caratteristiche geologico-strutturali dei terreni presenti in affioramento e gli agenti morfogenetici predominanti in quella particolare area.

Una prima notevole differenza si ha a seconda che siano presenti in affioramento rocce lapidee, coerenti, pseudocoerenti o incoerenti.

Partendo dalla tettonica, che deforma i corpi litologici di un'area dando luogo a forme cosiddette "strutturali", la risposta di queste due grandi categorie di terreni agli agenti morfodinamici esterni risulta profondamente diversa.

Le litologie di tipo pseudocoerente e incoerenti si conformano secondo rilievi dall'andamento spesso mammellonare, regolari, interrotti localmente da forme geomorfologiche legate ad attività erosiva intensa; mentre le litologie coerenti e/o lapidee danno luogo a forme più acclivi, dall'andamento più accidentato ed irregolare.

Questa marcata differenziazione di origine "strutturale" viene ulteriormente accentuata dalla cosiddetta "erosione selettiva", ossia dalla differente risposta dei terreni agli agenti morfogenetici, che nel sistema morfoclimatico attuale viene esercitata essenzialmente dalle acque di precipitazione meteorica.

Le litologie coerenti vengono erose in misura ridotta e tendono quindi a risaltare nei confronti delle circostanti litologie pseudocoerenti che, differentemente, vengono maggiormente aggredite dagli agenti esogeni.

Il sito in esame è caratterizzato della presenza di depositi prevalentemente argillosi ed argilloso-marnosi (facilmente erodibili); procedendo verso monte tali terreni lasciano il posto, in affioramento, a terreni di natura calcarea (maggiormente resistenti agli agenti atmosferici).

Dal punto di vista geomorfologico il risultato è quello di un'area caratterizzata nel tratto di monte da pendenze più accentuata, mentre nel tratto medio basso si hanno pendenze meno accentuate.

Le buone condizioni di stabilità dell'area in cui andranno ad insistere le opere in progetto sono garantite in prima analisi dalle deboli pendenze del versante ed altresì dall'assenza di agenti morfodinamici attivi che possano turbare l'attuale equilibrio morfologico. Per tali motivi non è stato ritenuto opportuno eseguire verifiche della stabilità dell'area in quanto le stesse avrebbero fornito valori del coefficiente di sicurezza di gran lunga superiori rispetto a

quello minimo previsto dalla vigente legge.

Ciò è confermato dal **Piano Stralcio di Bacino per l'Assetto Idrogeologico della Regione Sicilia che non inserisce il sito di progetto in nessuna delle tipologie di rischio previste.**

Si rimanda alla carta dei dissesti edita dall'A.R.T.A. nell'ambito del P.A.I. La cartografia consultata è quella relativa al "*Bacino idrografico del Fiume Simeto (094), area tra i bacini del Simeto e del S. Leonardo (094A), Laghi di Pergusa (094B) e Maletto (094C) - anno 2005*".

Gli unici elementi da attenzionare nella progettazione dell'impianto sono alcune linee di impluvio che attraversano o lambiscono l'area di intervento sul margine orientale: si tratta di impluvi poco incisi e di modesta rilevanza; tuttavia lungo tali incisioni, durante i mesi autunno-invernali, in occasione di eventi meteorici particolarmente abbondanti, si possono innescare fenomeni erosivi di una certa rilevanza, sia erosione di fondo che laterale, che potrebbero interferire con le opere in progetto.

La progettazione idraulica effettuata nel rispetto del R.D. 523/1904 ha tenuto conto delle opportune distanze dovute alle fasce di pertinenza fluviale e pertanto si ritiene che tali potenziali fenomeni erosivi, possano non interessare le aree di impianto.

9 CARATTERIZZAZIONE LITOTECNICA AREA DI CALTAGIRONE

Tramite l'impiego di un escavatore meccanico sono stati realizzati cinque pozzetti esplorativi spi nti sino a raggiungere una profondità non superiore ai 3,0 metri rispetto al piano di campagna.
Di seguito si descrive brevemente la stratigrafia riscontrata in ogni singolo pozzetto:

Saggio esplorativo P1:

- Da 0.0. a 0.6 m dal pc.: Terreno vegetale
- Da 0.6 a 2,5 metri dal p.c.: limi argillosi e limi sabbiosi destrutturati, mediamente consist en- ti e plastici, di colore beige-biancastro

Saggio esplorativo P2:

- Da 0.0. a 0.6 m dal pc.: Terreno vegetale
- Da 0.6 a – 2,5 metri dal p.c.: limi argilloso-marnosi di colore beige-biancastro, consistenti e non plastici, destrutturati, contenenti elementi lapidei a spigoli vivi aventi di mensioni millimetri- che e centimetriche di natura prevalentemente calcarenitica.

Saggio esplorativo P2bis:

- Da 0.0. a 0.7 m dal pc.: Terreno vegetale
- Da 0.7 a – 2,5 metri dal p.c.: limi argilloso-marnosi di colore beige-biancastro, consistenti e non plastici, destrutturati, contenenti elementi lapidei a spigoli vivi aventi di mensioni millimetriche e centimetriche di natura prevalentemente calcarenitica.

Saggio esplorativo P3:

- Da 0.0. a 0.7 m dal pc.: Terreno vegetale
- Da 0.7 a 2,5 metri dal p.c.: limi sabbiosi destrutturati, consistenti e plastici, di colore beig e-biancastro;

Saggio esplorativo P4:

- Da 0.0. a 2.0 m dal pc.: Terreno vegetale;
- DA 2,0 a 2,5 m dal p.c. limi sabbiosi destrutturati, consistenti e plastici, di colore beige-biancastro, contenenti inclusioni lapidee talora decimetriche di natura prevalentemente calcarenitica.

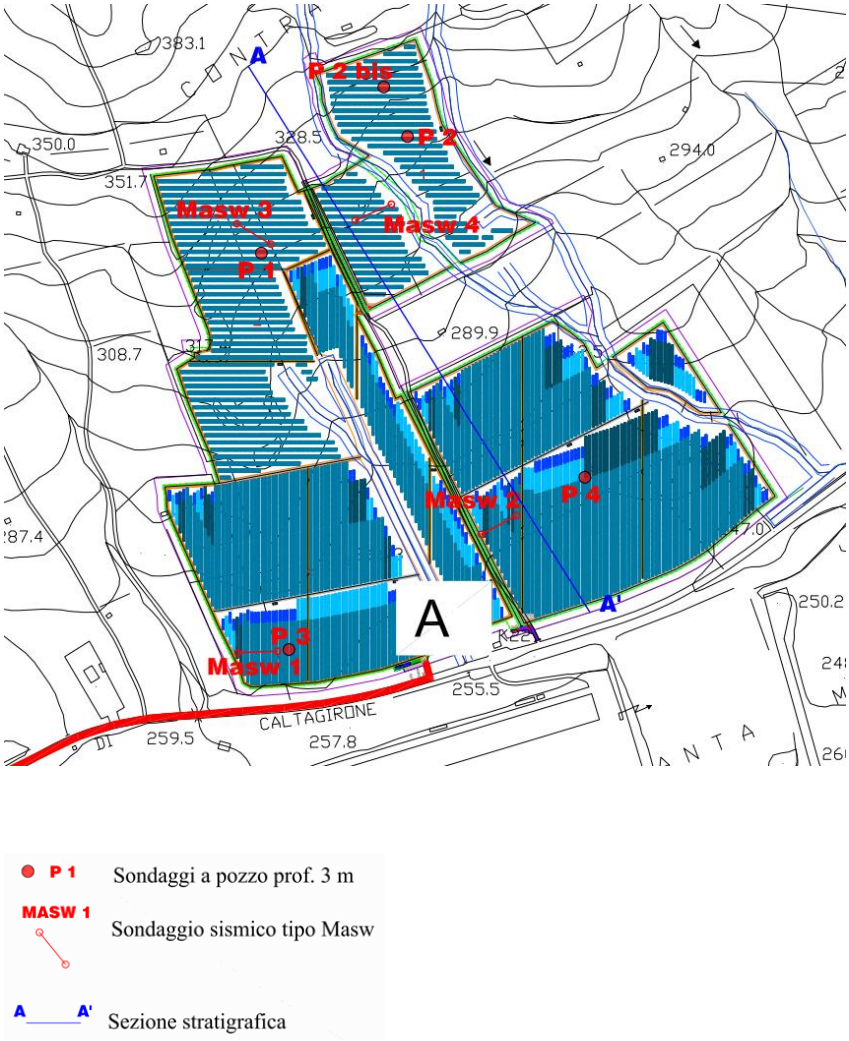

Figura 13 – Ubicazione sondaggi geognostici area Caltagirone

La modellazione geotecnica è stata condotta a partire dallo studio geologico effettuato dal Dott. Geologo Carlo Cibella ed allegato al presente progetto definitivo "R.24-MARE649PDRsge024R0".

La definizione dei parametri fisico-meccanici del sottosuolo è stata effettuata. In via del tutto preliminare, tramite l'interpretazione di prove geotecniche di laboratorio eseguite su due campioni indisturbati prelevati e denominati rispettivamente P1C1e P2C1.

Lo strato di limo sabbioso/marnoso è pertanto stato caratterizzato come segue:

- Il peso dell'unità di volume **(γ)** è pari 17.2-19,03 KN/m^3.

La coesione e l'angolo di attrito in condizioni drenate sono i seguenti:

- **c'** = 7-18 KPa;
- **φ'** = 19-32°;
- La coesione non drenata **c_u** = 29-160 KPa;

10 CARATTERIZZAZIONE SISMICA AREA DI MINEO

Nel 2003 sono stati emanati i criteri di nuova classificazione sismica del territorio nazionale, basati sugli studi e le elaborazioni più recenti relative alla pericolosità sismica locale, ossia sull'analisi della probabilità che il territorio venga interessato in un certo intervallo di tempo (generalmente 50 anni) da un evento che superi una determinata soglia di intensità o magnitudo. A tal fine è stata pubblicata l'Ordinanza del Presidente del Consiglio dei Ministri n. 3274 del 20 marzo 2003, sulla Gazzetta Ufficiale n. 105 dell'8 maggio 2003.
Con tale provvedimento lo Stato ha delegato le Regioni per l'adozione della classificazione sismica del territorio, le quali hanno compilato l'elenco dei comuni con la relativa attribuzione ad una delle quattro zone, a pericolosità decrescente, nelle quali è stato riclassificato il territorio nazionale.
Un aggiornamento dello studio di pericolosità di riferimento nazionale, previsto dall'O.P.C.M. 3274/03, è stato adottato con l'Ordinanza del Presidente del Consiglio dei Ministri n. 3519 del 28 aprile 2006. Il nuovo studio di pericolosità ha fornito alle Regioni uno strumento aggiornato per la classificazione del proprio territorio, introducendo degli in-tervalli di accelerazione (ag), con probabilità di superamento pari al 10% in 50 anni, da attribuire alle 4 zone sismiche.
Per la zona sismica 1, l'accelerazione con probabilità di superamento pari al 10% in 50 anni (ag) è maggiore di 0,25; Per la zona sismica 2, ag è compresa tra 0,15 e 0,25; Per la zona sismica 3, ag è compresa tra 0,05 e 0,15; Per la zona sismica 4, ag è minore di 0,05.
L'area in esame ricade, secondo la descritta classificazione aggiornata al mese di gennaio 2019, nella seconda categoria.

Zona Sismica	**Accelerazione con probabilità di superamento pari al 10% in 50 anni (ag)**
1	ag > 0,25 g
2	0,15< ag ≤ 0,25 g
3	0,05< ag ≤ 0,15 g
4	ag ≤ 0,05 g

Suddivisione delle zone sismiche in relazione all'accelerazione di picco su terreno rigido

Le attuali Norme Tecniche per le Costruzioni (Decreto Ministeriale del 17 Gennaio 2018 e ss.mm.ii) hanno modificato il ruolo che la classificazione sismica aveva ai fini progettuali, riferendo ad ogni costruzione una accelerazione di riferimento "propria" individuata sulla base delle coordinate geografiche dell'area di progetto e in funzione della vita nominale dell'opera. Un valore di pericolosità di base, dunque, definito per ogni punto del territorio nazionale, su una maglia quadrata di 5 km di lato, indipendentemente dai confini amministrativi comunali.

La classificazione sismica (zona sismica di appartenenza del comune) rimane utile solo per la gestione della pianificazione e per il controllo del territorio da parte degli enti preposti

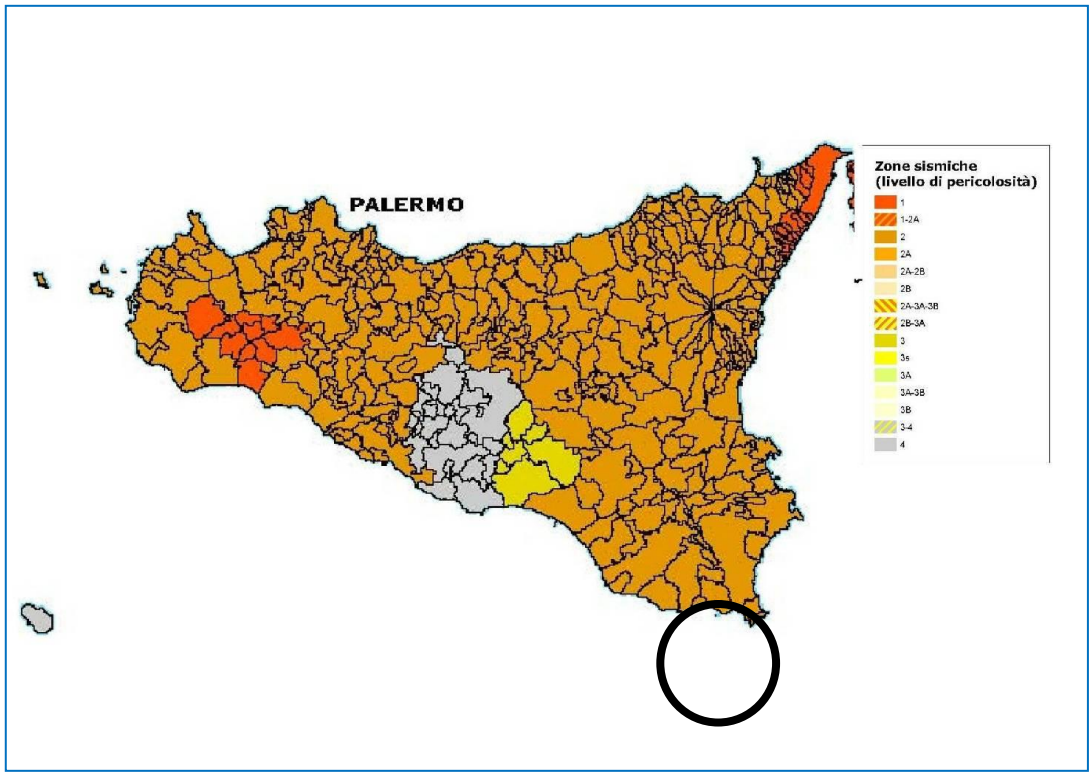

In particolare l'esame della risposta sismica locale consente di affermare che nell'area interessata dal progetto, di cui al presente studio, si può escludere "la presenza di aree soggette a fenomeni di liquefazione".

In definitiva si osserva che l'area strettamente oggetto di interventi risulta sismicamente stabile in relazione alle caratteristiche geomorfologiche, litologiche, stratigrafiche e sismiche. Inoltre, non si riscontrano aree nelle quali durante un evento sismico si possano creare fenomeni di amplificazione sismica locale.

10.1 Caratterizzazione sismica del sottosuolo

Nel sito in esame sono stati acquisiti N° 4 profili sismici secondo la metodologia MASW.

Tale indagine ha avuto lo scopo di individuare le velocità di propagazione delle onde sismiche secondarie (onde S) all'interno dei terreni che costituiscono i primi 30 metri di sottosuolo, secondo la normativa vigente (D.M. 17/01/2018 e ss.mm.ii.)

Il sondaggio è stato realizzato posizionando, lungo un allineamento definito, 12 geofoni prodotti dalla PASI s.r.l. aventi una frequenza di 4,5 hz, con equidistanza pari a 3 metri. L'offset (scoppio) è stato posto a cinque metri dal primo geofono.

Per l'acquisizione dei dati è stato utilizzato il sismografo digitale 16SG24N a 24 canali della PASI srl ad alta risoluzione, matricola n° 09036062N.

Per l'energizzazione è stata utilizzata una mazza di battuta del peso di 8 kg con interruttore starter battente su una piastra metallica che è stata utilizzata come dispositivo in grado di generare onde sismiche.

Poiché la profondità H del substrato (definito come quella formazione di roccia o terreno molto rigido) caratterizzato da Vs non inferiore a 800 m/s è maggiore di 30 metri, di seguito si fornisce come velocità equivalente delle onde di taglio il parametro Vs_{30}, così come descritto nel paragrafo 3.2.2. delle NTC 2018.

Nella pagina successiva si allegano gli elaborati ottenuti dal processo di elaborazione dei quattro sondaggi Masw acquisiti denominati Masw 5, Masw 6, Masw 7 e Masw 8. La $Vs\ eq_{30}$ misurata risulta compresa tra **300** e **349 m/s** per cui il sottosuolo ricade nella categoria sismica **C** ovvero: "*Depositi di terreni a grana grossa mediamente addensati o terreni a grana fina mediamente consistenti con profondità del substrato superiori a 30 m, caratterizzati da un miglioramento delle proprietà meccaniche con la profondità e da valori di velocità equivalente compresi tra 180 m/s e 360 m/s*".

11 INQUADRAMENTO GEOLOGICO AREA DI MINEO

L'area in studio si inquadra in una zona di transizione tra il margine nord-occidentale del plateau ibleo ed il margine sud-occidentale della struttura geologica nota come Avanfossa Gela-Catania. Quest'ultima rappresenta la porzione sud-orientale della più ampia Fossa di Caltanissetta, incuneata tra l'Avampaese Ibleo-Ragusano e la Catena Appenninico-Maghrebide. L'Avanfossa Gela-Catania, il cui substrato è dato da depositi carbonatici del Plateau Ibleo ribassati fa parte quindi di quell'ampio bacino attivamente subsidente durante il Neogene ed il Pleistocene inf. comprendente tutta la Sicilia centro-meridionale. In essa, infatti, associati all'episodio gravitativo della Falda di Gela, sono presenti ingenti coperture di materiali terrigeni a tendenza regressiva con al tetto arenarie o conglomerati. L'area interessata dal Plateau Ibleo, che occupa l'estremità sud-orientale della Sicilia, si presenta come un altopiano sub-circolare culminante al centro con Monte Lauro (987 m s.l.m.), dal quale si dipartono a raggiera numerose propaggini; la propaggine che punta a N-O in direzione Caltagirone, passando per Vizzini e Grammichele, fa da raccordo con i monti Erei, nella Sicilia centro-orientale. L'altopiano ibleo è dapprima ribassato da sistemi di faglie ad orientazione NE-SW le quali danno luogo ad una depressione strutturale che assume il significato di avanfossa esterna e nella quale si collocano le depressioni strutturali di Vittoria ed il graben di Scordia-Lentini, riempiti da sedimenti quaternari. Verso NW poi un ulteriore ribassamento fa si che il Plateau venga definitivamente ribassato, sempre al di sotto delle coperture quaternarie, fino ad immergersi sotto il fronte della Falda di Gela a profondità molto elevate, deducibili dall'elaborazione di dati geofisici. Tale falda è costituita da terreni prepliocenici e pliocenici, e rappresenta il fronte più avanzato della Falda della Catena Appenninico-Maghrebide, inserita a cuneo entro orizzonti da medio-pliocenici a quaternari della Fossa di Gela-Catania, pertanto generalmente non visibile in affioramento perché coperta dai depositi quaternari ed accertata solo attraverso perforazioni. Nell'area oggetto degli interventi si rinvengono in affioramento depositi ascrivibili alla Falda di Gela, che nelle restanti aree della Sicilia centro meridionale, sono invece quasi sempre occultate da più o meno potenti coperture quaternarie.

Il rilevamento geologico di superficie, opportunamente esteso ad un'ampia fascia perimetrale esterna rispetto al sito di progetto, e successivamente integrato con le indagini geognostiche eseguite, ha permesso di ricostruire in modo soddisfacente la successione dei terreni presenti nell'area studiata. Le formazioni geologiche che affiorano nell'area in studio (si veda la carta geologica allegata), procedendo da quelle di deposizione più recente verso quelle più antiche, sono le seguenti:

- Trubi (Pliocene inf.)
- Calcari di base e gessi della serie evaporitica (Miocene superiore - Messiniano)
- Marne grigie argillose e sabbiose (Miocene superiore - Tortoniano)

Trubi (marne calcaree a Globigerine)

Si tratta di marne e calcari marnosi a microforaminiferi planctonici, di colore generalmente bianco-crema, a frattura concoide. Tali depositi segnano al tetto la fine della serie evaporitica ed il ritorno a condizioni di mare profondo, come evidenziato dalla ricca fauna fossile. Gli spessori possono raggiungere anche i 100 metri. Tali depositi spesso si presentano alterati in superficie e variano molto dal punto di vista litologico in base alla percentuale di argilla presente, passando così da terreni calcareo marnosi duri e tenaci a marne tenere. Nell'area in esame si rinvengono in estesi affioramenti, prevalentemente nella zona meridionale dell'area interessata dal parco eolico.

Tali depositi si rinvengono estesamente lungo i versanti posti a Sud-ovest dell'area strettamente interessata dal progetto.

Calcare di base (Messiniano)

La formazione calcareo-solfifera è costituita da un calcare bianco e grigio chiaro, talora ben stratificato o, più frequentemente, massivo, brecciato, fratturato, cavernoso e poroso. Non sono rare, a vari livelli, intercalazioni di spessore decimetrico di natura argillosa o argilloso-marnosa. Tale orizzonte calcareo si trova alla base della serie gessoso solfifera e la sua posizione stratigrafica normale è interposta tra il Tripoli al letto ed i gessi al tetto. Di norma il calcare si trova disposto in banchi grossolani, mal distinguibili, di spessore metrico, e la stratificazione è segnata quasi sempre da intercalazioni di marne grigie o di sottili livelli argillosi. Nell'area in esame si presenta piuttosto degradato, pulverulento, facilmente disgregabile.

In particolare nella zona in studio i calcari affiorano in lembi più o meno estesi al margine nord e sudoccidentale del sito di intervento

Marne grigie argillose e sabbiose

Tali depositi affiorano estesamente nell'area di intervento.

Costituiscono il substrato sul quale si è depositata la successione evaporitica presente in maniera diffusa in Sicilia, rappresentata nel sito in esame soltanto dai calcari di base.

Si tratta di argille, argille sabbiose, siltose o marnose di colore grigio-azzurro e grigio-verdastro quando inalterate, superficialmente assumono una colorazione giallastra, rossastra o marrone chiaro. Contengono spesso cristalli di gesso, si presentano dure e compatte, a frattura concoide e con intercalati sottili livelli sabbiosi che ne marcano la stratificazione. Dal punto di vista mineralogico sono costituite da un abbondante scheletro sabbioso in cui prevalgono quarzo, gesso, calcite, tracce di dolomite, feldspati, pirite, ossidi di ferro, mentre la frazione argillosa è costituita da kaolinite, illite, montmorillonite e scarsa clorite, cui si aggiungono in minori quantità interlami-nazioni illitiche-montmorillonitiche. La tessitura è brecciata e talora a scaglie; la stratificazione è marcata dai sottili livelli sabbiosi intercalati. Le argille spesso si

presentano piuttosto tettonizzate con giunti variamente orientati caratterizzati da superfici lucide. Il grado di erodibilità è elevato.
Il periodo di deposizione risale al Tortoniano (Miocene superiore).

Tramite l'impiego di un escavatore meccanico sono stati realizzati cinque pozzetti esplorativi spinti sino a raggiungere una profondità non superiore a 3,0 metri rispetto il piano di campagna.
I pozzetti, denominati P5, P6, P7, P8 e P9, hanno mostrato la presenza di depositi argillosi composti da argille di colore beige, da mediamente consistenti a consistenti, plastiche e a struttura omogenea, aventi uno spessore compreso tra 1,4 e 1.7 metri.
Il pozzetto P7 ha evidenziato la presenza di uno spessore modesto (0.7 m) di limi sabbiosi di colore beige-giallastro, destrutturati, consistenti e plastici, sovrastanti le argille sopra descritte.
Nel corso dei saggi esplorativi sono stati prelevati tre campioni indisturbati, sui quali sono state eseguite le prove geotecniche di laboratorio.
A seguire le stratigrafie, ricostruite per ciascun pozzetto, ed estrapolate dallo studio geologico

Committente	Blusolar Mineo 1 s.r.l.	SONDAGGIO	FOGLIO
Cantiere	Impianto fotovoltaico Caltagirone	P5	
Località	Caltagirone (CT)	Il geologo Dott. C. Cibella	
Data Inizio	12/04/22 — Coordinate 37.343058 ° - 14.588271°		

Scala 1:50	Stratigrafia	Profondita'	Potenza	Descrizione	Campioni
0.5, 1.0, 1.5, 2.0, 2.5, 3.0	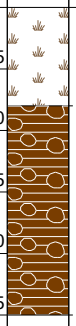	0.80 2.50	0.80 1.70	Terreno vegetale Limo sabbioso di colore beige biancastro consistente e plastico, destrutturato. Prsenti inclusioni lapidee talora decimetriche	1.80 P5C1 2.10

Committente	Blusolar Mineo 1 s.r.l.	SONDAGGIO	FOGLIO
Cantiere	Impianto fotovoltaico Mineo	P6	
Località	Mineo (CT)	Il geologo Dott. C. Cibella	
Data Inizio	11/04/22 — Coordinate 37.340626° - 14.597114°		

Scala 1:50	Stratigrafia	Profondita'	Potenza	Descrizione	Campioni
0.5, 1.0, 1.5, 2.0, 2.5, 3.0	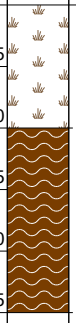	1.00 2.50	1.00 1.50	Terreno vegetale Argilla di colore beige da mediamente consistente a consistente, plastica, a struttura omogenea.	1.80 P6C1 2.10

Committente	Blusolar Mineo 1 s.r.l.	SONDAGGIO	FOGLIO
Cantiere	Impianto fotovoltaico Mineo	P7	
Località	Mineo (CT)		
Data Inizio	11/04/22 — Coordinate 37.337324° - 14.598845°	Il geologo Dott. C. Cibella	

Scala 1:50	Stratigrafia	Profondita'	Potenza	Descrizione	Campioni
0.5			0.60	Terreno vegetale	
1.0		0.60	0.70	Limo sabbioso di colore beige biancastro consistente e plastico, destrutturato. Presenti inclusioni lapidee talora decimetriche.	1.00 P7C1 1.30
1.5		1.30	1.40	Argilla di colore beige mediamente consistente e plastica a struttura omogenea.	
2.0					
2.5		2.70			
3.0					

Committente	Blusolar Mineo 1 s.r.l.	SONDAGGIO	FOGLIO
Cantiere	Impianto fotovoltaico Mineo	P8	
Località	Mineo (CT)		
Data Inizio	11/04/22 — Coordinate 37.334402° - 14.595947°	Il geologo Dott. C. Cibella	

Scala 1:50	Stratigrafia	Profondita'	Potenza	Descrizione	Campioni
0.5			0.60	Terreno vegetale	
1.0		0.60	1.40	Argilla di colore beige da mediamente consistente a consistente, plastica, a struttura omogenea.	1.50 P8C1 1.80
1.5					
2.0		2.00	0.50	Argilla di colore beige con livelli grigiastri consistente e plastica, a struttura omogenea.	
2.5		2.50			
3.0					

Committente	Blusolar Mineo 1 s.r.l.	SONDAGGIO	FOGLIO
Cantiere	Impianto fotovoltaico Mineo	P9	
Località	Mineo (CT)	Il geologo Dott. C. Cibella	
Data Inizio	11/04/22	Coordinate	37.335835° - 14.606374°

Scala 1:50	Stratigrafia	Profondita'	Potenza	Descrizione	Campioni
0.5 1.0			1.20	Terreno vegetale	
1.5 2.0 2.5 3.0		1.20 2.70	1.50	Argilla di colore beige da mediamente consistente a consistente, plastica, a struttura omogenea. Presenti microcristalli di gesso.	

12 INQUADRAMENTO GEOMORFOLOGICO AREA DI MINEO

L'area in studio ricade all'interno del territorio comunale di Mineo (Pv. di Catania), in C.da Magazzinaccio, all'interno di un'area rurale, priva di insediamenti antropici significativi.
Dal punto di vista cartografico il sito ricade nella CTR n° 639100 e 639110, nella cartografia IGM al foglio 273 IV NE MINEO E 269 III SE RAMACCA.
L'assetto geomorfologico di un territorio è determinato dall'interazione tra le caratteristiche geologico-strutturali dei terreni presenti in affioramento e gli agenti morfogenetici predominanti in quella particolare area.
Una prima notevole differenza si ha a seconda che siano presenti in affioramento rocce lapidee, coerenti, pseudocoerenti o incoerenti.
Partendo dalla tettonica, che deforma i corpi litologici di un'area dando luogo a forme cosiddette "strutturali", la risposta di queste due grandi categorie di terreni agli agenti morfodinamici esterni risulta profondamente diversa.
Le litologie di tipo pseudocoerente ed incoerente si conformano secondo rilievi dall'andamento spesso mammellonare, regolari, interrotti localmente da forme geomorfologiche legate ad attività erosiva intensa; mentre le litologie coerenti e/o lapidee danno luogo a forme più acclivi, dall'andamento più accidentato ed irregolare.
Questa marcata differenziazione di origine "strutturale" viene ulteriormente accentuata dalla cosiddetta "erosione selettiva", ossia dalla differente risposta dei terreni agli agenti morfogenetici, che nel sistema morfoclimatico attuale viene esercitata essenzialmente dalle acque di precipitazione meteorica.
Le litologie coerenti vengono erose in misura ridotta e tendono quindi a risaltare nei confronti delle circostanti litologie pseudocoerenti che, differentemente, vengono maggiormente aggredite dagli agenti esogeni.
Il sito in esame è caratterizzato della presenza di depositi prevalentemente argillosi, argilloso-marnosi (facilmente erodibili); procedendo verso monte e verso i versanti posti a Sud-ovest del sito in oggetto, tali terreni lasciano il posto, in affioramento, a terreni di natura calcarea (maggiormente resistenti agli agenti atmosferici). Dal punto di vista geomorfologico il risultato è quello di un'area caratterizzata da pendenze medio-basse. Soltanto ai margini settentrionali e nei versanti a sud rispetto a quelli di intervento sono presenti affioramenti calcarei con pendenze più accentuate. Pertanto il sito oggetto di intervento ricade prevalentemente nella porzione del territorio sub-pianeggiante o poco acclive, caratterizzata da affioramenti argilloso-marnosi e solo in minima parte interessa l'area leggermente più acclive.
L'impianto andrà ad interessare pertanto un'area litologicamente composta da depositi argillo-sabbiosi e argillo-marnosi, caratterizzata da deboli pendenze.
Le buone condizioni di stabilità dell'area in cui andranno ad insistere le opere in progetto sono

garantite in prima analisi dalle deboli pendenze del versante ed altresì dall'assenza di agenti morfodinamici attivi che possano turbare l'attuale equilibrio morfologico. Per tali motivi non è stato ritenuto opportuno eseguire verifiche della stabilità dell'area in quanto le stesse avrebbero fornito valori del coefficiente di sicurezza di gran lunga superiori rispetto a quello minimo previsto dalla vigente legge.

Ciò è confermato dal Piano Stralcio di Bacino per l'Assetto Idrogeologico della Regione Sicilia che non inserisce il sito di progetto in nessuna delle tipologie di rischio previste.

Si rimanda alla carta dei dissesti edita dall'A.R.T.A. nell'ambito del P.A.I. La cartografia consultata è quella relativa al "*Bacino idrografico del Fiume Simeto (094), area tra i bacini del Simeto e del S. Leonardo (094A), Laghi di Pergusa (094B) e Maletto (094C) - anno 2005*".

Tuttavia, nel settore orientale dell'area in cui verrà realizzato l'impianto fotovoltaico sono state riscontrate alcune situazioni riconducibili a fenomeni di erosione incanalata diffusa ad opera delle acque di ruscellamento, che coinvolgono la coltre alterata dei terreni argillosi affioranti, e nelle aree maggiormente acclivi, si riscontrano pertanto locali condizioni di instabilità (vedi Immagine a seguire e Carta delle pericolosità geologiche allegata allo studio geologico di progetto). Si tratta comunque di fenomeni alquanto superficiali che si attivano, localmente, in occasione di eventi meteorici particolarmente significativi, coinvolgendo modesti spessori di terreno. <u>In tali aree occorrerà effettuare una regimentazione idraulica adeguata finalizzata alla mitigazione del potere erosivo delle incisioni durante il verificarsi di precipitazioni meteoriche intense.</u>

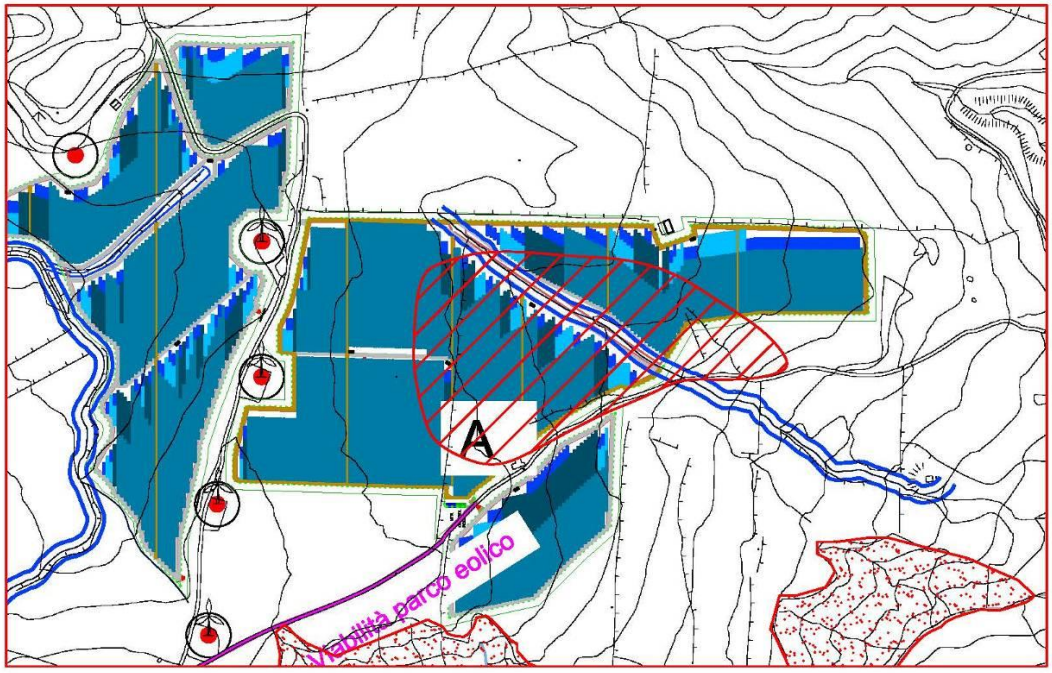

Figura 14 - Con il retino di colore rosso indichiamo l'area dell'impianto di Mineo nella quale si riscontrano fattori di instabilità superficiale a causa di fenomeni di erosione incanalata ad opera di modeste linee di impluvio.

Altri elementi da attenzionare nella progettazione dell'impianto sono alcune linee di impluvio che attraversano o lambiscono l'area di intervento sul margine occiedentale e su quello sud-orientale: si tratta di impluvi poco incisi e di modesta rilevanza, tuttavia lungo tali incisioni, durante i mesi autunno-invernali, in occasione di eventi meteorici particolarmente abbondanti, si possono innescare fenomeni erosive di una certa rilevanza, sia erosione di fondo che laterale, che potrebbe interferire con le opere in progetto.

13 Caratterizzazione litotecnica area di mineo

Tramite l'impiego di un escavatore meccanico sono stati realizzati cinque pozzetti esplorativi spi nti sino a raggiungere una profondità non superiore ai 3,0 metri rispetto al piano di campagna.
Di seguito si descrive brevemente la stratigrafia riscontrata in ogni singolo pozzetto:

Saggio esplorativo P5:

- Da 0.0. a 0.8 m dal pc.: Terreno vegetale
- Da 0.8 a 2,5 metri dal p.c.: limi sabbiosi destrutturati, consistenti e plastici, di colore beige-biancastro, contenenti elementi lapidei aventi dimensioni talora decimetriche

Saggio esplorativo P6:

- Da 0.0. a 1.0 m dal pc.: Terreno vegetale
- Da 1.0 a – 2,5 metri dal p.c.: Argille a struttura omogenea di colore beige, da mediamente consistenti a consistenti, plastiche.

Saggio esplorativo P7:

- Da 0.0. a 0.6 m dal pc.: Terreno vegetale
- Da 0.6 a 1.3 metri dal p.c.: limi sabbiosi destrutturati, consistenti e plastici, di colore beig e- biancastro, contenenti elementi lapidei aventi dimensioni talora decimetriche
- Da 1.3 a 2.7 metri dal p.c.: Argille a struttura omogenea di colore beige, mediamente con si- stenti e plastiche.

Saggio esplorativo P8:

- Da 0.0. a 0.6 m dal pc.: Terreno vegetale
- Da 0.6 a – 2,0 metri dal p.c.: Argille a struttura omogenea di colore beige, da mediamente consistenti a consistenti, plastiche.
- Da 2.0 a 2.5 metri dal p.c.: Argille a struttura omogenea di colore beige con livelli grigias tri, consistenti e plastiche.

Saggio esplorativo P9:

- Da 0.0. a 1.2 m dal pc.: Terreno vegetale
- Da 1.2 a – 2,7 metri dal p.c.: Argille a struttura omogenea di colore beige, da mediamente consistenti a consistenti, plastiche. Si riscontrano microcristalli di gesso.

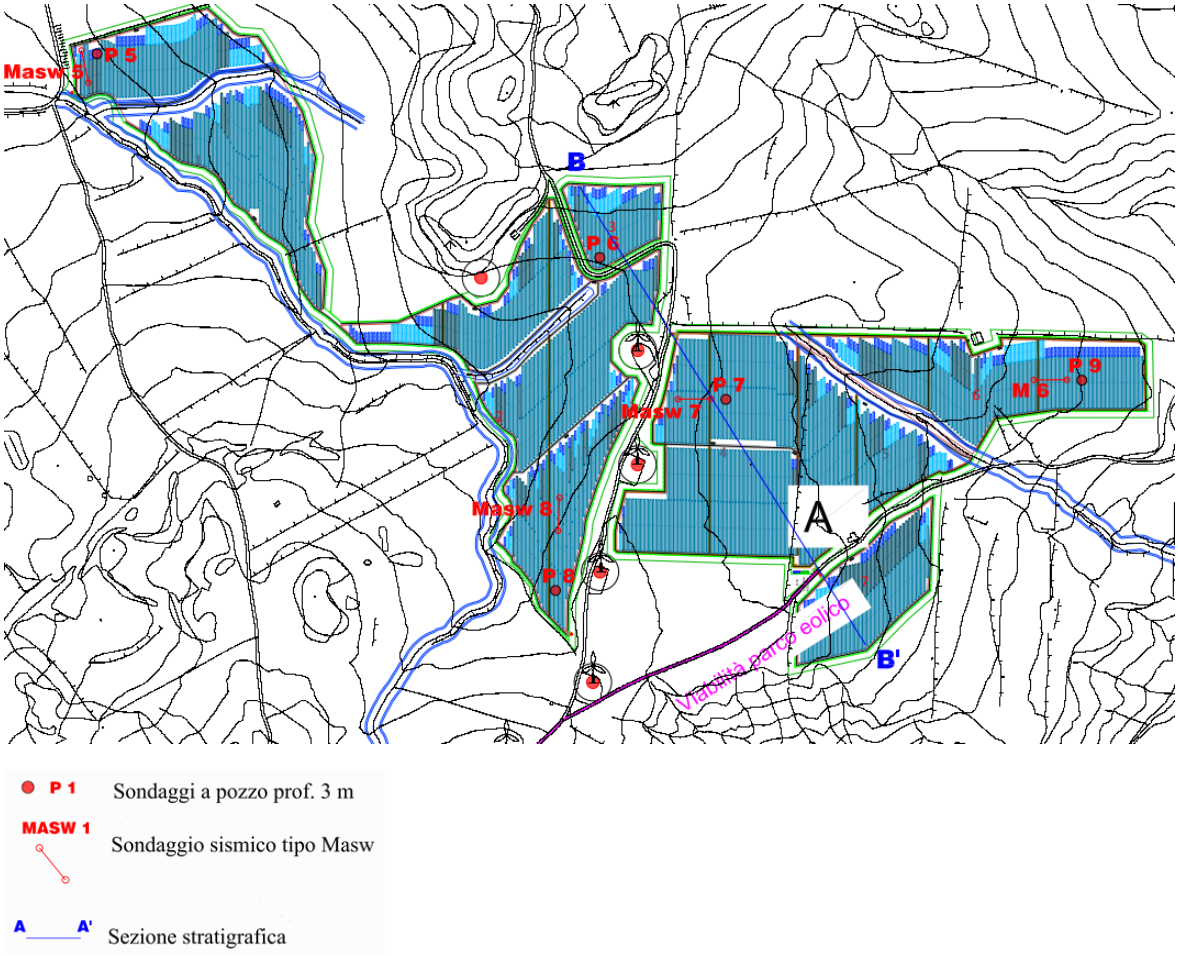

Figura 15 – Ubicazione sondaggi geognostici area Mineo

La modellazione geotecnica è stata condotta a partire dallo studio geologico effettuato dal Dott. Geologo Carlo Cibella ed allegato al presente progetto definitivo "R.24-MARE649PDRsge024R0".

La definizione dei parametri fisico-meccanici del sottosuolo è stata effettuata. In via del tutto preliminare, tramite l'interpretazione di prove geotecniche di laboratorio eseguite su due campioni indisturbati prelevati e denominati rispettivamente P5C1e P8C1.

Lo strato di limo sabbioso/marnoso è pertanto stato caratterizzato come segue:

- Il peso dell'unità di volume (γ) è pari 17.2-19,03 KN/m^3.

La coesione e l'angolo di attrito in condizioni drenate sono i seguenti:

- **c'** = 7-18 KPa;
- **φ'** = 19-32°;
- La coesione non drenata **c_u** = 29-160 KPa;

14 INQUADRAMENTO GEOLOGICO E GEOMORFOLOGICO AREA SSE

Il rilevamento geologico di superficie, opportunamente esteso ad un'ampia fascia perimetra- le esterna rispetto al sito di p rogetto e successivamente integrato con le indagini geognostiche eseguite, ha permesso di ricostruire in modo soddisfacente la successione dei terreni presenti nell'area studiata.

Le formazioni geologiche che affiorano nell'area in studio (si veda la carta geologica allegata),procedendo da quelle di deposizione più recente verso quelle più antiche, sonole seguenti:

- Trubi (Pliocene inf.)
- Calcari di base e gessi della serie evaporitica (Miocene superiore-Messiniano)

Trubi (marne calcaree a Globigerine)

Si tratta di marne e calcari marnosi a microforaminiferi planctonici, di colore generalmente bianco-crema,a frattura concoide.Tali depositi segnano al tetto la fine della serie evaporitica ed il ritorno a condizioni di mare profondo, come evidenziato dalla ricca fauna fossile. Gli spessori possono raggiungere anche i 100 metri.Tali depositi spesso si presentano alterati in superficie e variano molto dal punto di vista litologico in base alla percentuale di argilla presente, passando così da terrenic alcareo marnosi duri e tenaci a marne tenere. Nell'area in esame si rinvengono in estesi affioramenti e rappresentano i terreni di base sui quali andranno ad insistere le opere in progetto.

Calcare di base(Messiniano)

La formazione calcareo-solfifera è costituita da un calcare bianco e grigio chiaro, talora ben stratificato o, più frequentemente, massivo, brecciato, fratturato, cavernoso e poroso. Non sono rare, a vari livelli, intercalazioni di spessore decimetrico di natura argillosa o argilloso-marnosa.Tale orizzonte calcareo si trova alla base della serie gessoso solfifera e la sua posizione stratigrafica normale è interposta tra il Tripoli al letto ed i gessi al tetto.Di norma il calcare si trova di- sposto in banchi grossolani, mal distinguibili, di spessore metrico, e la stratificazione è segnata quasi sempre da intercalazioni di marne grigie o di sottili livelli argillosi. Nell'area in esame si presenta piuttosto degradato, pulverulento, facilmente disgregabile. In particolare nella zona in studio i calcari affiorano in lembi piuttosto estesi ai margini settentrionali e sud-orientali.

Dal punto di vista geomorfologico il risultato è quello di un'area pianeggiante. Soltanto incorrispondenza dei margini settentrionali e nei versanti a sud-est rispetto a quelli di intervento sono presenti affioramenti calcarei con pendenze più accentuate.Pertanto il sito oggetto di in- tervento ricade prevalentemente nella porzione del territorio sub-pianeggiante

o poco acclive,caratterizzata da affioramenti argilloso-marnosi.In tale area si segnala la presenza di un modesto impluvio che si manifesta come un solco di ruscellamento.

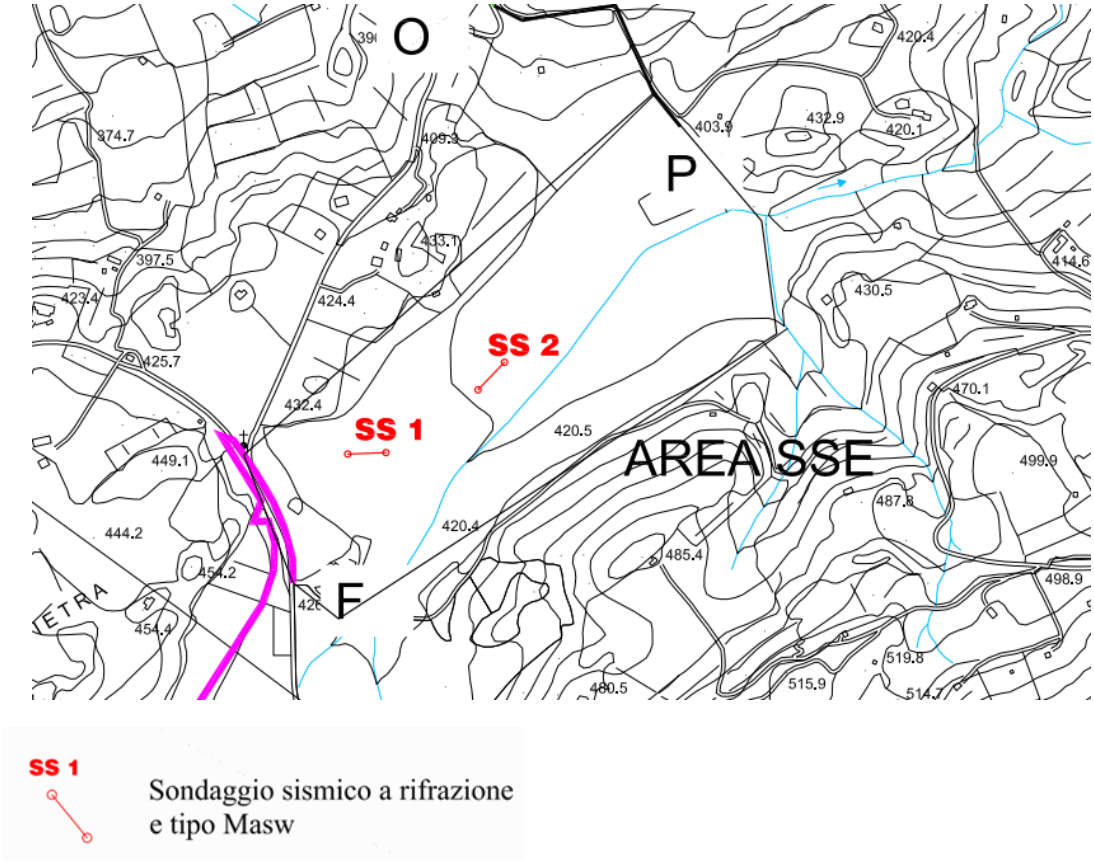

Figura 16 – Ubicazione sondaggi geognostici area SSE

Nell'area in esame, le indagini sismiche a rifrazione eseguite hanno individuato una coltre superficiale composta da terreno vegetale e/o limi marnosi a consistenza medio-bassa avente uno spessore compreso tra 1 e 1,5 m. Segue in profondità uno strato composto verosimilmente da marne argillose mediamente consistenti avente uno spessore di circa sei metri. Il terzo strato è composto dallo stesso litotipo del secondo strato ma dotato di una maggiore consistenza. Su tale litotipo non sono state effettuate prove geotecniche di laboratorio pertanto di seguito si forniscono parametri cautelativi proposti dalla letteratura scientifica.

- peso dell'unità di volume è pari a 19-19.2 KN/m3;
- coesione drenata (c') =10-12 KPa;
- angolo di attrito in condizioni drenate φ'=26-28°.

15 CARATTERIZZAZIONE SISMICA AREA SSE

Grazie alle conoscenze geologiche dell'area in esame, si è stabilito per l'interpretazione dei dati acquisiti una modellistica a 3 strati.Le curve di dispersione relative al sondaggio sismico eseguito sono mostrate di seguito. Le Vs eq30 misurate risultano comprese tra 368 e 370 m/s per cui il sottosuolo ricade nella categoria sismica B ovvero: "*Depositi di terreni a grana grossa molto addensati o terreni a grana fina molto consistenti con profondità del substrato superiori a 30 m,caratterizzati da un miglioramento delle proprietà meccaniche con la profondità e da valori di velocità equivalente compresi tra 360 m/s e 800m/s*".

16 CARATTERIZZAZIONE E MODELLO GETOECNICO

A partire dai risultati dello studio geologico condotto a cui si rimanda per ogni dettaglio (elaborato di progetto "PD-MARE649PDRsge024R0" è stato possibile costruire un modello geotecnico di calcolo ai sensi delle NTC2018, ai fini delle verifiche geotecniche obbligatorie.

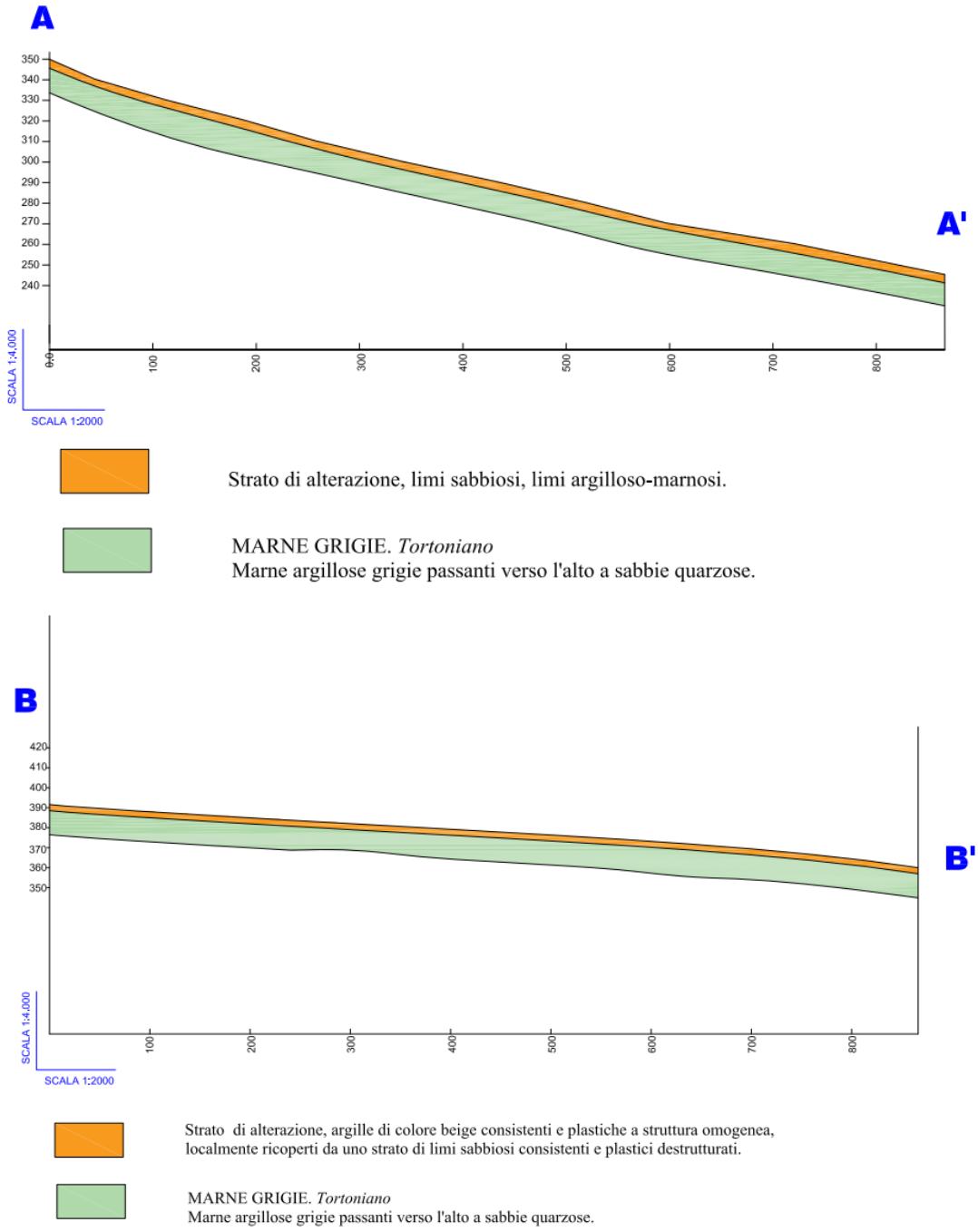

Peri i riferimenti alle sopra riportate sezioni si vedano le Figure 13 e 15 della presente relazione specialistica.

Sono stati individuati in funzione delle stratigrafie e dei risultati delle indagini condotte in sito, 3 modelli geognostici di progetto (Area Caltagirone, Area Mineo e Area SSE) e 4 modelli stratigrafici di calcolo (per Caltagirone, in funzione delle stratigrafie, sono stati distinti due diferenti modelli stratigrafici) come di seguito riportato.

Modello geologico/stratigrafico area di Caltagirone:

Modello Geotecnico - Caltagirone				
	γ [kN/m3]	c' [kPa]	ϕ' [°]	Cu [kPa]
TV	18,5	4	20	2
L_{AM}	19	15	26	50

TV	Terreno Vegetale
L_{AM}	Litologia Argillo-Marnosa (argilla limosa, di colore nocciola, mediamente consistente e plastica a struttura caotica.

Modello stratigrafico 1 Caltagirone	
Profondità [m]	Litologia
0-0,6	TV
0,6 - 1	L_{AM}
1,0 - 2,0	L_{AM}
2,0 -3,0	L_{AM}
3,0 - 4,0	L_{AM}

Modello stratigrafico 2 Caltagirone	
Profondità [m]	Litologia
0 - 2,0	TV
2,0 -3,0	L_{AM}
3,0 - 4,0	L_{AM}
3,0 -4,0	L_{AM}
4,0 - 5,0	L_{AM}

Modello geologico/stratigrafico area di Mineo:

Modello Geotecnico - Mineo				
	γ [kN/m3]	c' [kPa]	ϕ' [°]	Cu [kPa]
TV	18,5	4	20	2
L_{AM}	19	15	26	50

TV	Terreno Vegetale
L_{AM}	Litologia Argillo-Marnosa (argilla limosa, di colore nocciola, mediamente consistente e plastica a struttura caotica.

Modello stratigrafico Mineo	
Profondità [m]	Litologia
0 - 1,0	TV
1,0 - 2,0	L_{AM}
2,0 -3,0	L_{AM}
3,0 - 4,0	L_{AM}
4,0 - 5,0	L_{AM}

Modello geologico/stratigrafico area SSE:

Modello Geotecnico SSE				
	γ [kN/m3]	c' [kPa]	ϕ' [°]	Cu [kPa]
TV	18	0	20	2
M_A	19	10	27	/

TV	Terreno Vegetale
M_A	Marne Argillose mediamente consistenti per uno spessore complessivo di circa 6 m

Modello stratigrafico SSE	
Profondità [m]	Litologia
0 - 1,0	TV
1,0 - 2,0	M_A
2,0 -3,0	M_A
3,0 - 4,0	M_A
4,0 - 5,0	M_A
4,0 - 5,0	M_A

I modelli sopra-descritti, sono quelli mediante i quali somo state condotte le verifiche geotecniche delle fondazioni delle strutture di sostegno dell'impianto fotovoltaico e delle opere civili a servizio dell'impianto in oggetto (MTR, PS e control room).

17 FONDAZIONI DI PROGETTO: VERIFICHE ALLO STATO LIMITE DI TIPO GEOTECNICO

17.1 GENERALITA'

Nel presente paragrafo vengono riportate le teorie di calcolo e i risultati delle verifiche geotecniche della fondazione tipo. Si riporta pertanto quanto prescritto in merito dalla nuova NTC 2018.

Nelle verifiche di sicurezza devono essere presi in considerazione tutti i meccanismi di stato limite ultimo, sia a breve sia a lungo termine. Gli stati limite ultimi delle fondazioni su pali si riferiscono allo sviluppo di meccanismi di collasso determinati dalla mobilitazione della resistenza del terreno e al raggiungimento della resistenza degli elementi strutturali che compongono la fondazione stessa.

Le verifiche delle fondazioni indirette devono essere effettuate con riferimento almeno ai seguenti stati limite, accertando che la condizione [6.2.1 – $E_D<R_D$] sia soddisfatta per ogni stato limite considerato:

- SLU di tipo geotecnico (GEO)
  - collasso per carico limite della palificata nei riguardi dei carichi assiali;
  - collasso per carico limite della palifica nei riguardi dei carichi trasversali;
  - collasso per carico limite di sfilamento nei riguardi dei carichi assiali di trazione;
  - stabilità globale.

Nel caso specifico la NTC 17/01/2018 prescrive che:

- la verifica di stabilità globale deve essere effettuata secondo la Combinazione 2 (A2+M2+R2) dell'Approccio 1 tenendo conto dei coefficienti parziali riportati nelle tabelle 6.2.I e 6.2.II per le azioni e parametri geotecnici, e nella tabella 6.8.I per le resistenze globali.
- Le rimanenti verifiche devono essere effettuate secondo l'Approccio 2, con la combinazione (A1+M1+R3), tenendo conto dei valori dei coefficienti parziali riportati nelle tabelle 6.2.I, 6.2.II, 6.4.II e 6.4.VI.

17.2 CARATTERISTICHE DEI MICROPALI E CARICHI DI PROGETTO

Lo studio geologico dell'area in oggetto ha condotto alla progettazione di strutture di fondazione da realizzarsi con micropali in acciaio, infissi con profondità di circa dai 3.5 m dal p.c.. Ogni struttura è caratterizzata da micropali di fondazione, a sostegno della struttura in elevazione, posti ad un'interasse di circa 4m.

I micropali frutto della progettazione, sono da realizzarsi con profilati metallici ad omega.
Per le verifiche geotecniche, oggetto del presente elaborato, si è adottato il software MP della casa produttrice *Geostru*.
In funzione delle stratigrafie, provenienti dallo studio geologico condotto ed allegato al presente progetto, sarà talvolta necessaria la predisposizione di pali trivellati in luogo di quelli infissi.

17.3 VERIFICA DEL CARICO LIMITE VERTICALE DI COMPRESSIONE

La capacità portante di un palo viene valutata come somma di due contributi: portata di base (o di punta) e portata per attrito laterale lungo il fusto. Cioè si assume valida l'espressione:

$$Q_T = Q_P + Q_L - W_P$$

dove:
Q_T =portanza totale del palo;
Q_P =portanza di base del palo;
Q_L=portanza per attrito laterale del palo;
W_P = peso proprio del palo,
Le due componenti Q_P e Q_L sono calcolate in modo indipendente fra loro.
La portanza limite per ciascun micropalo è calcolata in base alle caratteristiche geotecniche dei vari strati attraversati. Secondo quanto previsto al punto 6.4.3.1.1 del D:M. 17/01/2018, a partire dal valore così calcolato della portanza Q_t si ricava il valore caratteristico, dividendo Qt per i coefficienti ξ3 e ξ4, per la determinazione della resistenza caratteristica in funzione del numero di verticali indagate, riportati in tabella 6.4.IV

Numero di verticali indagate							
	1	2	3	4	5	7	>10
ξ_3	1,7	1,65	1,6	1,55	1,5	1,45	1,4
ξ_4	1,7	1,55	1,48	1,42	1,34	1,28	1,21

Nel caso in esame, si è condotto un solo sondaggio per ogni postazione. Per cui si farà riferimento al coefficiente 1.70. A partire dal valore caratteristico così ottenuto, si calcola il valore di progetto applicando i coefficienti γ_R riportati nella tabella 6.4.II:

Coefficiente di sicurezza normativo R3		
	R3 (pali infissi)	R3 (pali trivellati)
Base	1,15	1,35
Laterale in compressione	1,15	1,15
Totale	1,15	1,3
Laterale in Trazione	1,25	1,25

Il valore di progetto così determinato della capacità portante deve risultare non minore del valore caratteristico ottenuto dal calcolo.
La portanza per attrito laterale viene calcolata tramite la relazione:

$$Q_l = \pi \cdot \int_0^L D\tau s dl$$

Rappresentando τs le tensioni tangenziali che si mobilitano all'interfaccia palo terreno e D il diametro del palo. La portanza di base del palo è calcolata come:

$$Q_p = qb * Ab$$

Dove qb esprime il valore ultimo della pressione alla base. Tuttavia, è noto che il carico limite verticale di pali di piccolo diametro immersi in terreni omogenei dipende in maggiore misura dalla resistenza allo scorrimento che si mobilia lungo il fusto; la resistenza teorica alla punta è, infatti, penalizzata per il fatto che essa si mobilita solo a seguito di cedimenti elevati, dell'ordine del 10% del diametro del palo. Nel caso di pali di piccolo diametro, inoltre, la resistenza alla punta assume valori trascurabili per il basso rapporto fra la superficie della punta e quella laterale. Pertanto, trascurando la resistenza alla punta, il valore del carico limite verticale del palo di piccolo diametro è pari a quello della resistenza laterale.
In aggiunta, considerando quanto previsto al punto 6.4.3.1.1 del D:M. 17/01/2018, a partire dal valore così calcolato di Q_{lim} si ricava il valore caratteristico, dividendo tale valore per i coefficienti ζ funzione del numero di verticali indagate, e per il coefficiente γ_R riportati nella tabella 6.4.II precedente.

17.4 VERIFICA DEL CARICO LIMITE VERTICALE DI TRAZIONE

Dai calcoli eseguiti (si rimanda alla relazione di calcolo strutturale) risulta che i pali possono essere soggetti a sforzi di trazione con un massimo pari a circa T = 27.4 kN. Si tratta di valori molto bassi in parte compensati dal peso proprio del palo. In ogni caso anche trascurando tale effetto, tenuto conto che la resistenza allo sfilamento del palo è, secondo Puolos, prossima al 50% della resistenza laterale si ha un risultato positivo della verifica come riportato negli appositi tabulati nei paragrafi a seguire.
Il carico limite verticale è stato calcolato con le formule statiche, che esprimono il medesimo in funzione della geometria del palo, delle caratteristiche del terreno e dell'interfaccia palo-terreno.

A riguardo, poiché la realizzazione di un palo, sia esso infisso o trivellato, modifica sempre le caratteristiche del terreno nell'intorno dello stesso, si propone di assumere un angolo di resistenza a taglio pari a:

$$\varphi' = (\varphi'_b + 40°)/2 \text{ (nei pali infissi)}$$

$$\varphi' = \varphi'_b - 3° \text{ (nei pali trivellati)}$$

dove:

- Φ è l'angolo di resistenza a taglio prima dell'esecuzione del palo. Di seguito indicheremo con Φ il parametro di resistenza scelto;

Ai fini del calcolo, il carico limite Q_{lim} viene convenzionalmente suddiviso in due aliquote, la resistenza alla punta Q_p e la resistenza laterale Q_l.

17.5 RESISTENZA LATERALE AL FUSTO DEL PALO

Il metodo utilizzato per il calcolo della capacità portante laterale è il metodo α, proposto da Tomlinson (1971); la resistenza laterale viene calcolata nel seguente modo.

$$Q_l = (\alpha c + \sigma K \tan\delta)\ Al\ f_w$$

- Al superficie laterale del palo;
- Fw, fattore di correzione legato alla tronco-conicità del palo, ossia la diminuzione percentuale del diametro del palo con:
- c, valore medio della coesione (o della resistenza a taglio in condizioni non drenate);
- σ pressione efficace verticale del terreno;
- K coefficiente di spinta orizzontale, dipendente dalla tecnologia di esecuzione del palo e dal precedente stato di addensamento, viene calcolato come segue:

Per pali infissi:

$$K = 1 - \tan^2\phi$$

o, nel caso specifico, è possibile assegnare i seguenti valori proposti in tabella:

Palo	K	
	Terreno sciolto	Terreno denso
Acciaio	0,5	1
Calcestruzzo Prefabbricato	1	2
Legno	1	3

δ = attrito palo-terreno funzione della scabrezza della superficie del palo;

Per pali infissi:

$$\delta = 3/4 \tan\phi$$

Pali infissi:

Coefficiente α per palo infisso	
2,5< c <5 t/m^2	α = 1,00
5,0 < c < 10	α = 0,70
10 < c < 15	α = 0,5
15 < c < 20	α = 0,40
c > 20	α = 0,30

α=1 per 2.5 < c < 5 t/m^2 (caso di progetto).

17.6 RESISTENZA ALLA PUNTA DEL PALO

Formula di Terzaghi

La soluzione proposta da Terzaghi assume che il terreno esistente al disopra della profondità raggiunta dalla punta del palo possa essere sostituito da un sovraccarico equivalente pari alla tensione verticale efficace (trascurando pertanto il fatto che l'interazione tra palo e terreno di fondazione possa modificare tale valore) e riconduce l'analisi al problema di capacità portante di una fondazione superficiale.

La formula di Terzaghi può essere scritta:

$$Q_p = c \cdot N_c \cdot s_c + \gamma \cdot L \cdot N_q + 0.5 \cdot \gamma \cdot D \cdot N_\gamma \cdot s_\gamma$$

Dove:

$$N_q = \frac{a^2}{2\cos^2(45+\phi/2)}$$

$$a = e^{(0.75\pi-\phi/2)\tan\phi}$$

$$N_c = (N_q - 1)\cot\phi$$

$$N_\gamma = \frac{\tan\phi}{2}\left(\frac{K_{p\gamma}}{\cos^2\phi} - 1\right)$$

17.7 CAPACITA' PORTANTE PER CARICHI ORIZZONTALI

L'analisi del palo soggetto a forze orizzontali non risulta sicuramente più agevole del caso di palo soggetto a forze assiali. Trattasi di un problema d'interazione parzialmente risolto solo per casi più semplici ed adottando notevoli semplificazioni d'analisi.

In particolare sono stati analizzati da Broms il caso di palo in un mezzo omogeneo puramente coesivo ed in un mezzo omogeneo incoerente, nei casi in cui il palo sia libero di ruotare in testa o sia incastrato. Le soluzioni ottenute da Broms si basano sull'utilizzo dei teoremi dell'analisi

limite e sull'ipotesi che si verifichino alcuni meccanismi di rottura (meccanismo di palo corto, meccanismo di palo lungo, etc).

La resistenza limite laterale di un palo è determinata dal minimo valore fra il carico orizzontale, necessario per produrre il collasso del terreno lungo il fusto del palo, ed il carico orizzontale necessario per produrre la plasticizzazione del palo. Il primo meccanismo (plasticizzazione del terreno) si verifica nel caso di pali molto rigidi in terreni poco resistenti (meccanismo di palo corto), mentre il secondo meccanismo si verifica nel caso di pali aventi rigidezze non eccessive rispetto al terreno d'infissione (meccanismo di palo lungo o intermedio).

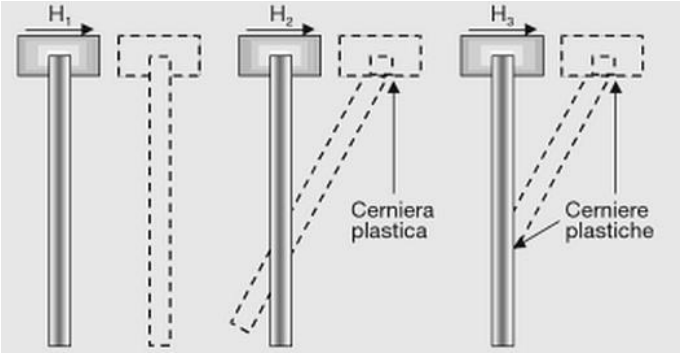

Per la verifica dei micropali nei riguardi del carico limite orizzontale, si è fato riferimento al noto metodo proposto da Broms, per pali incastrati in testa.

Il calcolo è stato eseguito facendo riferimento alle formulazioni che fanno riferimento alla presenza di terreni puramente coesivi, come nel caso in esame.

La trattazione si differenzia, inoltre, per pali corti, lunghi o di lunghezza intermedia. La classificazione è condotta nel modo seguente:

- nel caso di pali corti, la rottura del complesso "palo-terreno" è provocata dalla traslazione rigida del palo; il valore del carico limite dipende, quindi, solo dalla geometria del palo e dalla resistenza del terreno. Il momento massimo si verifica in testa al palo ed è inferiore al momento di plasticizzazione My della sezione retta del palo;
- nel caso di pali lunghi, si raggiunge la rottura del complesso "palo-terreno" a causa della formazione di due cerniere plastiche, in corrispondenza delle quali il momento raggiunge il valore di plasticizzazione My. La prima cerniera si forma nella sezione di incastro, la seconda in una sezione intermedia. Il valore del carico limite dipende, oltre che dalla geometria e dalla resistenza del terreno, anche dalla resistenza propria del palo.
- nel caso di pali di lunghezza intermedia, si raggiungono le condizioni di rottura del complesso "palo-terreno" prima della formazione della seconda cerniera plastica. Il momento di incastro è, quindi, pari ad My mentre il momento massimo lungo il palo è inferiore ad My.

Per i terreni coesivi Broms propone di adottare una reazione del terreno costante con la profondità pari a:

$$p = 9 \cdot c_u \cdot B$$

con reazione nulla fino alla profondità di 1.5 d; avendo indicato con:

- c_u = Coesione non drenata,
- B = Diametro del palo
- p = Reazione del terreno per unità di lunghezza del palo.

Per i terreni incoerenti si assume che la resistenza vari linearmente con la profondità secondo la legge:

$$p = 3K_p \, \gamma \, z \cdot B$$

avendo indicato con:

- p = Reazione del terreno per unità di lunghezza del palo;
- K_p = Coefficiente di spinta passiva;
- γ = Peso unità di volume del terreno;
- z = Profondità;
- B = Diametro del palo.

17.8 SOLLECITAZIONI SCARICATE DALLA STRUTTURA DI ELEVAZIONE IN TESTA AI PALI DI FONDAZIONE (STRUTTURE AD INSEGUIMENTO MONOASSIALE)

Il dimensionamento delle fondazioni nell'attuale fase di progetto è avvenuta tenendo conto degli scarichi in fondazione di strutture in elevazione usualmente utilizzate per questa tipologia di impianti.

I carichi agenti, valutati come scarico in fondazione delle strutture in sopraelevazione a sostegno dei pannelli fotovoltaici, sono stati desunti dal documento "Tracker - Preliminary Calculation Report" .

Al fine di valutare le combinazioni più gravose sul palo di fondazione sono state implementate nel software di camcolo MP (Casa produttrice GEOSTRU) le seguenti combinazioni:

I carichi agenti, valutati come scarico in fondazione delle strutture in sopraelevazione a sostegno dei pannelli fotovoltaici, sono stati desunti dal documento "Relazione strutturale Preliminare" definito a partire da un calcolo esecutivo di una struttura similare, realizzata in contesti analoghi, al fine di comprovare una potenziale soluzione tecnica realistica delle fondazioni.

Al fine di valutare le combinazioni più gravose sul palo di fondazione sono state implementate nel software di camcolo MP (Casa produttrice GEOSTRU) le seguenti combinazioni:

		G1	G2	W	S
n°	Combination	Dead load	Pannels	Wind	Snow
1	$(W_{+0°})$	1.00	1.00	1.30	
2	$(W_{-0°})$	1.00	1.00	1.30	
3	$(W_{+0°} + S)$	1.00	1.00	1.30	0.65
4	$(S + W_{+0°})$	1.00	1.00	0.78	1.30
5	$(W_{+30°})$	1.00	1.00	1.30	
6	$(W_{-30°})$	1.00	1.00	1.30	
7	$(W_{+30°} + S)$	1.00	1.00	1.30	0.65
8	$(S + W_{+30°})$	1.00	1.00	0.78	1.30
9	$(W_{+55°})$	1.00	1.00	1.30	
10	$(W_{-55°})$	1.00	1.00	1.30	
11	$(W_{+55°} + S)$	1.00	1.00	1.30	0.65
12	$(S + W_{+55°})$	1.00	1.00	0.78	1.30

N *(N)*	T *(N)*	Combination	tilt α
3184	0	(W+0°)	0
-1777	0	(W-0°)	0
5556	0	(W+0° + S)	0
7349	0	(S + W+0°)	0
2916	679	(W+30°)	30
-5	-1008	(W-30°)	30
5288	679	(W+30° + S)	30
7189	407	(S + W+30°)	30
2655	1307	(W+55°)	55
613	-1610	(W-55°)	55
5027	1307	(W+55° + S)	55
7032	784	(S + W+55°)	55

N *(N)*	T *(N)*	Combination	tilt α
4763	0	(W+0°)	0
-2955	0	(W-0°)	0
8451	0	(W+0° + S)	0
11242	0	(S + W+0°)	0
4345	1056	(W+30°)	30
-199	-1568	(W-30°)	30
8034	1056	(W+30° + S)	30
10991	634	(S + W+30°)	30
3940	2033	(W+55°)	55
763	-2504	(W-55°)	55
7628	2033	(W+55° + S)	55
10748	1220	(S + W+55°)	55

N (N)	T (N)	Combination	tilt α
4763	0	(W+0°)	0
-2955	0	(W-0°)	0
8451	0	(W+0° + S)	0
11242	0	(S + W+0°)	0
4345	1056	(W+30°)	30
-199	-1568	(W-30°)	30
8034	1056	(W+30° + S)	30
10991	634	(S + W+30°)	30
3940	2033	(W+55°)	55
763	-2504	(W-55°)	55
7628	2033	(W+55° + S)	55
10748	1220	(S + W+55°)	55

17.9 SOLLECITAZIONI SCARICATE DALLA STRUTTURA DI ELEVAZIONE IN TESTA AI PALI – STRUTTURE FISSE

I carichi agenti, valutati come scarico in fondazione delle strutture in sopraelevazione a sostegno dei pannelli fotovoltaici, sono stati desunti dal documento "Relazione strutturale Preliminare" definito a partire da un calcolo preliminare della struttura. Le sollecitazioni massime agenti sono riportate nelle seguenti tabelle. Di seguito si riportano gli scarichi massimi agenti in fondazione.

REAZIONI VINCOLARI COMBINAZIONE 11- S.L.V. (Fz massima)						
Nodo 3D	Fx (t)	Fy (t)	Fz (t)	Mx (t*m)	My (t*m)	Mz (t*m)
1	0,011	-1,199	3,527	-0,827	0,018	0,003
3	-0,011	-1,199	3,527	-0,827	-0,018	-0,003

REAZIONI VINCOLARI COMBINAZIONE 14- S.L.V. (Fz minima)						
Nodo 3D	Fx (t)	Fy (t)	Fz (t)	Mx (t*m)	My (t*m)	Mz (t*m)
1	0,011	1,387	-1,545	-5,749	0,019	-0,002
3	-0,011	1,387	-1,545	-5,749	-0,019	0,002

Questi sono stati utilizzati nelle verifiche geotecniche sui pali eseguite per mezzo del software di camcolo MP (Casa produttrice GEOSTRU).

A seguire il modello utilizzato per il calcolo dei profili di fondazione.

18 FONDAZIONI DEI TRACKER (INSEGUITORI MONOASSIALI) – AREA CALTAGIRONE (MODELLO STRATIGRAFICO 1)

18.1 (STRUTTURE FISSE) – AREA CALTAGIRONE

Le strutture di sostegno, dimensionate mediante il software di calcolo MP della casa produttrice Geostru, sono pali infissi nel terreno ad una profondità di 3.5 m.

PALI DI FONDAZIONE

NORMATIVE DI RIFERIMENTO

NTC2018 - Aggiornamento delle «Norme tecniche per le costruzioni» - D.M. 17 gennaio 2018

NTC2008 - Norme tecniche per le costruzioni - D.M. 14 Gennaio 2008.

CIRCOLARE 2 febbraio 2009, n. 617 - Istruzioni per l'applicazione delle 'Nuove norme tecniche per le costruzioni' di cui al decreto ministeriale 14 gennaio 2008. (GU n. 47 del 26-2-2009 - Suppl. Ordinario n.27)

Eurocodice 7: Progettazione geotecnica – Parte 1: Regole generali.

Eurocodice 8: Indicazioni progettuali per la resistenza sismica delle strutture - Parte 5: Fondazioni, strutture di contenimento ed aspetti geotecnici.

Carico limite verticale
Il carico limite verticale è stato calcolato con le formule statiche, che esprimono il medesimo in funzione della geometria del palo, delle caratteristiche del terreno e dell'interfaccia palo-terreno. A riguardo, poiché la realizzazione di un palo, sia esso infisso o trivellato, modifica sempre le caratteristiche del terreno nell'intorno dello stesso, si propone di assumere un angolo di resistenza a taglio pari a:

nei pali infissi

nei pali trivellati

dove ϕ è l'angolo di resistenza a taglio prima dell'esecuzione del palo. Di seguito indicheremo con ϕ il parametro di resistenza scelto.te.
Ai fini del calcolo, il carico limite Q_{lim} viene convenzionalmente suddiviso in due aliquote, la resistenza alla punta Q_p e la resistenza laterale Q_l.

Resistenza unitaria alla punta

Formula di Terzaghi
La soluzione proposta da Terzaghi assume che il terreno esistente al disopra della profondità raggiunta dalla punta del palo possa essere sostituito da un sovraccarico equivalente pari alla tensione verticale efficace (trascurando pertanto il fatto che l'interazione tra palo e terreno di fondazione possa modificare tale valore) e riconduce l'analisi al problema di capacità portante di una fondazione superficiale.
La formula di *Terzaghi* può essere scritta:

$$Q_p = c \cdot N_c \cdot s_c + \gamma \cdot L \cdot N_q + 0.5 \cdot \gamma \cdot D \cdot N_\gamma \cdot s_\gamma$$

dove:

Metodo di Berezantzev
Fondamentalmente *Berezantzev* fa riferimento ad una superficie di scorrimento "alla Terzaghi" che si arresta sul piano di posa (punta del palo); tuttavia egli considera che il cilindro di terreno coassiale al palo ed avente

diametro pari all'estensione in sezione della superficie di scorrimento, sia in parte "sostenuto" per azione tangenziale dal rimanente terreno lungo la superficie laterale. Ne consegue un valore della pressione alla base inferiore a γD, e tanto minore quanto più questo "effetto silo" è marcato, cioè quanto più grande è il rapporto D/B; di ciò tiene conto il coefficiente N_q, che quindi è funzione decrescente di D/B.

La resistenza unitaria Q_p alla punta, per il caso di terreno dotato di attrito (ϕ) e di coesione (c), è data dall'espressione:

$$Q_p = c \cdot N_c + \gamma \cdot L \cdot N_q$$

Avendo indicato con:

- γ peso unità di volume del terreno;
- L lunghezza del palo;
- N_c e N_q sono i fattori di capacità portante già comprensivi dell'effetto forma (circolare);

Metodo di Vesic

Vesic ha assimilato il problema della rottura intorno alla punta del palo a quello di espansione di una cavità cilindrica in mezzo elasto-plastico, in modo da tener conto anche della compressibilità del mezzo.
Secondo *Vesic* i coefficienti di capacità portante N_q e N_c si possono calcolare come segue:

L'indice di rigidezza ridotto I_{rr} nella precedente espressione viene calcolato a partire dalla deformazione volumetrica ε_v.
L'indice di rigidezza I_r si calcola utilizzando il modulo di elasticità tangenziale G' e la resistenza a taglio *s* del terreno.
Quando si hanno condizioni non drenate o il suolo il suolo si trova in uno stato addensato, il termine ε_v può essere assunto pari a zero e si ottiene $I_{rr}=I_r$
E' possibile fare una stima di I_r con i valori seguenti:

TERRENO	**Ir**
Sabbia	75-150
Limo	50-75
Argilla	150-250

Il termine N_c della capacità portante viene calcolato:

Quando $\phi = 0$ (condizioni non drenate)

Metodo di Janbu

Janbu calcola N_q (con l'angolo ψ espresso in radianti) come segue:

N_c si può ricavare dalla (a) quando $\phi > 0$.

Per $\phi = 0$ si usa $N_c = 5.74$

Formula di Hansen
La formula di Hansen vale per qualsiasi rapporto *D/B*, quindi sia per fondazioni superficiali che profonde, ma lo stesso autore introdusse dei coefficienti per meglio interpretare il comportamento reale della fondazione, senza di essi, infatti, si avrebbe un aumento troppo forte del carico limite con la profondità.

Per valori L/D>1:

Nel caso $\phi = 0$

D/B	*0*	*1*	*1.1*	*2*	*5*	*10*	*20*	*100*
d'_c	*0*	*0.40*	*0.33*	*0.44*	*0.55*	*0.59*	*0.61*	*0.62*

Nei fattori seguenti le espressioni con apici (') valgono quando ϕ =0.

Fattore di forma:

Fattore di profondità:

Resistenza del fusto
Il metodo utilizzato per il calcolo della capacità portante laterale è il metodo α, proposto da *Tomlinson (1971)*; la resistenza laterale viene calcolata nel seguente modo:

Al = superficie laterale del palo;
f_W = fattore di correzione legato alla tronco-conicità del palo, ossia la diminuzione percentuale del diametro del palo con
c = valore medio della coesione (o della resistenza a taglio in condizioni non drenate);
σ = pressione verticale efficace del terreno**;**

K = coefficiente di spinta orizzontale, dipendente dalla tecnologia di esecuzione del palo e dal precedente stato di addensamento, viene calcolato come segue:

Per pali infissi

$$K = 1 - \tan^2\phi$$

o, nel caso specifico, è possibile assegnare i seguenti valori proposti in tabella:

Palo	K	
	Terreno sciolto	Terreno denso
Acciaio	0.5	1
Calcestr. Pref.	1	2
Legno	1	3

Per pali trivellati

$$K = 1 - \mathrm{sen}\phi$$

δ = attrito palo-terreno funzione della scabrezza della superficie del palo;

Per pali infissi

$$\delta = 3/4\tan\phi$$

Per pali trivellati

$$\delta = \tan\phi$$

α = coefficiente d'adesione ricavato come di seguito riportato:

Pali trivellati:

Caquot – Kerisel

Meyerhof – Murdock (1963)

per c<5 t/m^2

per c ³ 5 t/m2

Whitaker – Cooke (1966)

$\alpha = 0.9$ per $c < 2.5$ t/m^2
$\alpha = 0.8$ per $2.5 \leq c < 5$ t/m^2
$\alpha = 0.6$ per $5 \leq c \leq 7.5$ t/m^2
$\alpha = 0.9$ per $c > 7.5$ t/m^2

Woodward (1961)

$\alpha = 0.9$ per $c < 4$ t/m^2
$\alpha = 0.6$ per $4 \leq c < 8$ t/m^2
$\alpha = 0.5$ per $8 \leq c < 12$ t/m^2
$\alpha = 0.4$ per $12 \leq c \leq 20$ t/m^2
$\alpha = 0.20$ per $c > 20$ t/m^2

Pali infissi

Coefficiente α per palo infisso	
$2.5 \leq c < 5$ t/m^2	$\alpha = 1.00$
$5 \leq c < 10$	$\alpha = 0.70$
$10 \leq c < 15$	$\alpha = 0.50$
$15 \leq c < 20$	$\alpha = 0.40$
$c \geq 20$	$\alpha = 0.30$

Attrito negativo
Quando un palo viene infisso o passa attraverso uno strato di materiale compressibile prima che si sia esaurito il processo di consolidazione, il terreno si muoverà rispetto al palo facendo insorgere sforzi attritivi tra palo e terreno che inducono al cosiddetto fenomeno dell'attrito negativo. L'effetto dell'attrito negativo è quello di aumentare il carico assiale sul palo, con conseguente aumento del cedimento, dovuto all'accorciamento elastico del palo stesso per effetto dell'aumento di carico. La forza che nasce per effetto dell'attrito negativo è stimata pari alla componente attritiva della resistenza laterale (vedi Resistenza del fusto) lungo la superficie laterale a contatto con lo strato in cui si genera tale fenomeno, ma di verso opposto all'attrito positivo. La risultante così determinata non viene detratta dal carico limite, ma da quello di esercizio.

Fattore di correzione in condizioni sismiche.

Criterio di Vesic
Secondo questo autore per tenere conto del fenomeno della dilatanza nel calcolo della capacità portante è sufficiente diminuire di *2°* l'angolo d'attrito degli strati di fondazione. Il limite di questo suggerimento è nel fatto che non tiene conto dell'intensità della sollecitazione sismica (espressa attraverso il parametro dell'accelerazione sismica orizzontale massima). Questo criterio pare però trovare conferma nelle osservazioni fatte in occasione di diversi eventi sismici.

Criterio di Sano
L'autore propone di diminuire l'angolo d'attrito degli strati portanti di una quantità data dalla relazione:

dove a_{max} è l'accelerazione sismica orizzontale massima.
Questo criterio, rispetto a quello di ***Vesic***, ha il vantaggio di prendere in considerazione anche l'intensità della sollecitazione sismica. L'esperienza però dimostra che l'applicazione acritica di questa relazione può condurre a valori eccessivamente cautelativi di ***Qlim***.
Le correzioni di ***Sano*** e di ***Vesic*** si applicano esclusivamente a terreni incoerenti ben addensati. È errato applicarle a terreni sciolti o mediamente addensati, dove le vibrazioni sismiche producono il fenomeno opposto a quello della dilatanza, con aumento del grado di addensamento e dell'angolo d'attrito.

Cedimenti metodo di Davis-Poulos
Il cedimento verticale è stato calcolato con il metodo di *Davis-Poulos*, secondo il quale il palo viene considerato rigido (indeformabile) immerso in un mezzo elastico, semispazio o strato di spessore finito.
Si ipotizza che l'interazione palo-terreno sia costante a tratti lungo *n* superfici cilindriche in cui viene suddivisa la superficie laterale del palo.
Il cedimento della generica superficie *i* per effetto del carico trasmesso dal palo al terreno lungo la superficie j-esima può essere espresso:

$$W_{i,j} = (\tau_j / E) \cdot B \cdot I_{i,j}$$

Avendo indicato con:

τ_j = Incremento di tensione relativo al punto medio della striscia
E = Modulo elastico del terreno
B = Diametro del palo

$I_{i,j}$ = Coefficiente di influenza

Il cedimento complessivo si ottiene sommando $W_{i,j}$ per tutte le j aree

Cedimento Metodo Iperbolico
Il metodo iperbolico modificato rappresenta uno sviluppo dello studio di Chin (1970,1972,1983) che consente di stimare il cedimento di pali singoli partendo dall'idea che il diagramma carico-cedimento, per il corpo di un palo e la sua base, abbia un andamento iperbolico. I valori del *carico ultimo laterale* (Qsu) e la *resistenza di base ultima* (Qbu) rappresentano i termini asintotici della curva (figura a) *(Terzaghi, 1943)*. Sotto queste ipotesi è possibile giungere ad una rappresentazione linearizzata del problema considerando la variazione della quantità S/Q rispetto allo spostamento S (figura b).

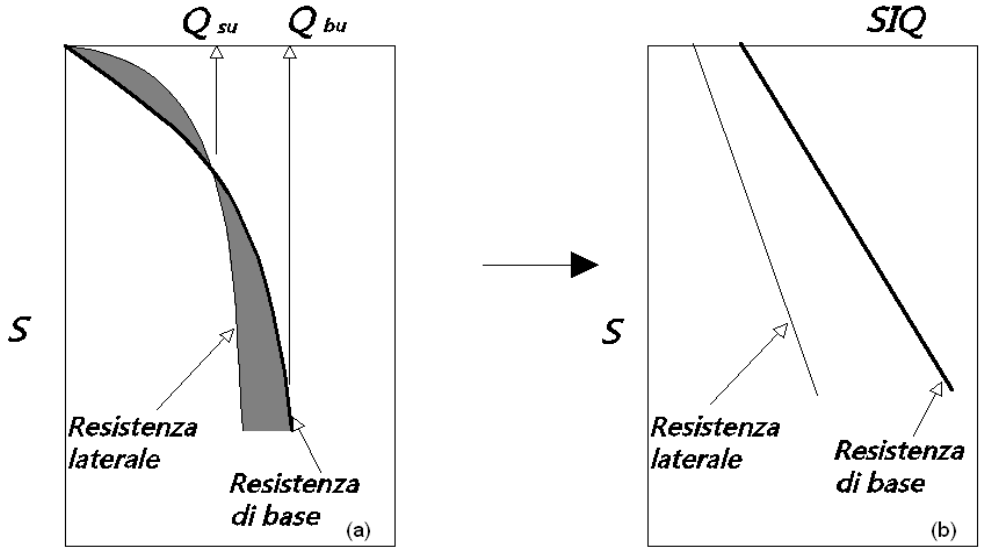

Grafici cedimento iperbolico (a) e linearizzato (b).

Grafici cedimento iperbolico (a) e linearizzato (b)

Lo studio di *Fleming* ha dimostrato che gli spostamenti totali stimati col metodo di *Chin* erano distorti dall'*accorciamento elastico* del corpo del palo e suggerì una tecnica semplificata per la quale la deformazione elastica del palo può essere determinata, con sufficiente accuratezza, sottraendo alla stima di *Chin* l'accorciamento del palo.

Considerando lo schema in figura l'accorciamento elastico del palo dipende dal carico applicato Q in rapporto all'attrito laterale ultimo Q_{su}. In particolare se $Q \leq Q_{su}$ la deformazione elastica del corpo del palo corrisponde alla somma dell'accorciamento elastico lungo la zona ad *attrito basso o nullo* e quello che si sviluppa lungo la parte *attiva* del fusto:

$$S_e = \frac{4}{\pi}\frac{Q(L_o + K_e L_a)}{d_s^2 E_c}$$

Se, invece, si ha che $Q > Q_{su}$ bisogna considerare un ulteriore accorciamento legato alla parte attiva del palo che deve essere aggiunta alla deformazione elastica:

$$S_e = \frac{4}{\pi}\frac{1}{d_s^2 E_C}[Q(L_o + L_a) - L_a Q_{su}(1 - k_e)]$$

I parametri della formula sono:

- ds: diametro testa del palo.

- Ec: modulo di elasticità del materiale del palo il cui valore può essere ricavato da una interpolazione lineare tra i valori di $Ec=26\cdot10^6$ kN/m^2 per calcestruzzo con forza specifica di 20 N/mm^2 e il valore di
- $Ec=40\cdot10^6$ kN/m^2 per calcestruzzo da 40 N/mm^2.
- Lo: lunghezza del palo ad attrito basso o nullo.
- La: lunghezza attiva del palo.
- ke: rapporto della lunghezza equivalente del fusto del palo rispetto alla lunghezza attiva La. Si può considerare un valore di 0.5 quando si ha un attrito che si sviluppa uniformemente lungo La oppure quando il palo è inserito in sabbia o ghiaia. Per pali in argilla caratterizzati da uno sforzo che cresce in profondità si può usare un valore di 0.45.

Lo spostamento del *palo rigido* può essere calcolato sapendo che la somma dell'attrito laterale e della resistenza di base corrisponde al carico totale applicato alla testa del palo.

$$Q=Q_s+Q_b$$

Considerando il palo rigido lo spostamento totale in testa è uguale a quello che si ottiene lungo il fusto ed è uguale a quello misurato alla base del palo:

$$S_t=S_s=S_b$$

Dal grafico linearizzato si può vedere che lo spostamento lungo il fusto del palo può essere calcolato come:

$$S_s = \frac{M_s d_s Q_s}{Q_{su} - Q_s}$$

In cui

- M_s: fattore adimensionale di flessibilità terreno/fusto.
- d_s: diametro testa.
- Q_s: attrito.
- Q_{su}: attrito ultimo determinato col metodo statico (condizione drenata)

L'equazione dello spostamento alla base del palo ricavata da Fleming è:

$$S_b = \frac{0.6 Q_{bu} Q_b}{d_b E_b (Q_{bu} - Q_b)}$$

dove

- d_b: diametro della base del palo.
- Q_b: resistenza alla base.
- Q_{bu}: resistenza ultima alla base
- E_b: modulo di taglio corrispondente a $Q_{bu}/4$

Infine, ponendo la condizione di uguaglianza Ss=Sb e considerando il carico totale applicato Q si ottiene lo spostamento totale di un palo rigido considerando solo i valori positivi della relazione:

$$S_t = \frac{-g \pm \sqrt{g^2 - 4fh}}{2f}$$

In cui le variabili sono così definite:

- $f = \eta(Q - \alpha) - \beta$
- $g = Q(\delta + \lambda\eta) - \alpha\delta - \beta\lambda$
- $h = \lambda\delta Q$
- $\alpha = Q_{su}$
- $\beta = d_b E_b Q_{bu}$
- $\lambda = M_s d_s$
- $\delta = 0.6 Q_{bu}$
- $\eta = d_b E_b$

Lo spostamento complessivo del palo comprende la componente di spostamento rigido e quella di accorciamento elastico.

Il modulo elastico del terreno E_b al di sotto della base del palo è legato alle caratteristiche del terreno ed è fortemente influenzato dalla tecnica di costruzione del palo. Fleming sostiene che è consigliabile che questo parametro di progetto sia determinato da un insieme accurato di prove in cui i pali sono caricati fino al punto in cui viene mobilitata una sostanziale quota della resistenza di punta. In mancanza di questi dati si può scegliere, cautelativamente, il valore di E_b da range di valori relativi al tipo di terreno e alla tecnica di costruzione del palo.

CARICO LIMITE ORIZZONTALE

Il carico limite orizzontale è stato calcolato secondo la teoria sviluppata da Broms il quale assume che il comportamento dell'interfaccia palo-terreno sia di tipo rigido perfettamente plastico, e cioè che la resistenza del terreno si mobiliti interamente per un qualsiasi valore non nullo dello spostamento a rimanga costante al crescere dello spostamento stesso.
Si assume che il comportamento flessionale del palo sia di tipo rigido-perfettamente plastico, vale a dire che le rotazioni elastiche del palo sono trascurabili finché il momento flettente non raggiunge il valore M_y di plasticizzazione.

Per i terreni coesivi Broms propone di adottare una reazione del terreno costante con la profondità pari a:

$$p = 9 \cdot c_u \cdot B$$

con reazione nulla fino alla profondità di 1.5 d; avendo indicato con:

c_u = Coesione non drenata,
B = Diametro del palo
p = Reazione del terreno per unità di lunghezza del palo.

Per i terreni incoerenti si assume che la resistenza vari linearmente con la profondità secondo la legge:

$$p = 3K_p \gamma z \cdot B$$

avendo indicato con:

p = Reazione del terreno per unità di lunghezza del palo;
K_p = Coefficiente di spinta passiva;
γ = Peso unità di volume del terreno;

z = Profondità;
B = Diametro del palo.

Palo in condizioni d'esercizio
Analisi del palo in condizioni di esercizio: **Metodo degli elementi finiti**.
Il metodo degli elementi finiti modella il palo di fondazione, sottoposto a carichi trasversali, in modo realistico in quanto fa uso sia degli spostamenti che delle rotazioni ai nodi per definire la linea elastica del palo, pertanto rappresenta il metodo più razionale ed efficace attualmente disponibile per analizzare questo tipo di strutture.
Di seguito si richiamano i fondamenti teorici del metodo indicando con **P** la matrice delle forze nodali esterne, con **F** quella delle forze interne e con **A** la matrice dei coefficienti di influenza che, per l'equilibrio tra forze esterne ed interne, lega le prime due secondo la ben nota forma:

$$\mathbf{P} = \mathbf{AF}$$

Gli spostamenti interni **e** (traslazioni e rotazioni) dell'elemento nel generico nodo sono legati agli spostamenti esterni **X** (traslazioni e rotazioni) applicati ai nodi, dalla seguente relazione:

$$\mathbf{e} = \mathbf{BX}$$

dove la matrice **B** è dimostrato essere la trasposta della matrice **A**.
D'altra parte, le forze interne **F** sono legate agli spostamenti interni **e** dalla seguente espressione:

$$\mathbf{F} = \mathbf{Se}$$

Applicando le consuete sostituzioni, si ottiene:

$$\mathbf{F} = \mathbf{SA^TX}$$

e quindi

$$\mathbf{P} = \mathbf{AF} = \mathbf{A\ SA^TX}$$

Pertanto, calcolando l'inversa della matrice $\mathbf{A\ SA^T}$ si ricava l'espressione degli spostamenti esterni X:

$$\mathbf{X} = (\mathbf{A\ SA^T})^{-1}\mathbf{P}$$

Noti, quindi, gli spostamenti **X** è possibile ricavare le forze interne **F** necessarie per il progetto della struttura.
La matrice $\mathbf{A\ SA^T}$ è nota come matrice di rigidezza globale in quanto caratterizza il legame tra spostamenti e forze esterni nodali.
Il metodo ad elementi finiti ha, tra l'altro, il vantaggio di consentire di mettere in conto, come condizioni al contorno, rotazioni e spostamenti noti.
Le reazioni nodali delle molle che schematizzano il terreno vengono considerate come forze globali legate al modulo di reazione e all'area d'influenza del nodo. Nella soluzione ad elementi finiti per pali soggetti a carichi trasversali, il modulo di reazione viene considerato nella forma:

$$k_S = A_S + B_S Z^n$$

o, non volendo far crescere illimitatamente il k_S con la profondità, nella forma:

$$k_S = A_S + B_S \tan^{-1}(Z/B)$$

nella quale Z è la profondità e B è il diametro del palo.
I valori di A_S e $B_S Z^n$ sono ottenuti dall'espressione della capacità portante (Bowles) con fattori correttivi s_i, d_i, e i_i pari a 1:

$$k_S = q_{ult}/\Delta H = C(cN_c + 0.5\gamma BN_\gamma)$$

$$BsZn = C(\gamma N_q Z^1)$$

Dove C = 40 è ottenuto in corrispondenza di un cedimento massimo di 25 mm.

Momenti cinematici
In presenza dell'azione sismica la risposta del palo è il risultato di una complessa interazione terreno-palo, resa di difficile inerpretazione a causa dei fenomeni di non linearità nel terreno e degli effetti cinematici associati al moto del terreno.

Generalmente, alle sollecitazioni trasmesse dalla sovrastuttura si aggiungono, applicando il principio di sovrapposiszione degli effetti, quelle derivanti dall'interazione cinematica che produce nei pali sollecitazioni aggiuntive dipendenti principalmente dalla rigidezza relativa palo-terreno.

Dalla letteratura esistente in merito a questo tipo di studi, emerge che nel caso di palo immerso in terreni stratificati, la sollecitazione flettente subisce un pronunciato incremento in prossimità dell'interfaccia fra strati di differente rigidezza e tale incremento è tanto maggiore quanto più elevato è il contrasto di rigidezza. In alcuni casi il valore del momento prodotto da questo effetto potrebbe superare quello che insorge nei pali in testa in presenza di incastro.

Da un'analisi di numerosi risultati, *Nikolaou et al.2001*, ha proposto una relazione che consente di calcolare, in maniera approssimata, il momento flettente massimo in corrispondenza dell'interfaccia tra due strati di differente rigidezza, in condizioni di moto stazionario con frequenza prossima alla frequenza fondamentale del deposito in cui è immerso il palo:

in cui $\tau_c = a_{max}\, \rho_1 H_1$; amax accelerazione sismica, ρ_1 densità del terreno, H_1 spessore dello strato, V_{s1} e V_{s2}, rispettivamente, la velocità delle onde di taglio nei due strati; E_1 è modulo di rigidezza dello strato superiore di terreno, E_p modulo di elasticità del palo, d diametro del palo, L lunghezza del palo.

Dati generali...
==========

Descrizione	UPN220
Diametro punta	0,28 m
Lunghezza	4,50 m
Tipo	Infisso
Portanza di punta calcolata con:	Terzaghi

Archivio materiali

Conglomerati

Nr.	Classe Calcestruzzo	fck,cubi [Kg/cm2]	Ec [Kg/cm2]	fck [Kg/cm2]	fcd [Kg/cm2]	fctd [Kg/cm2]	fctm [Kg/cm2]
1	C20/25	250	299600	200	113.3	10.1	22.1
2	C25/30	300	314750	250	141,6	11,4	25,6
3	C28/35	350	323080	280	158,6	12,6	27,6
4	C40/50	500	352200	400	226,6	16,3	35

Acciai:

Nr.	Classe Acciaio	Es [Kg/cm2]	fyk [Kg/cm2]	fyd [Kg/cm2]	ftk [Kg/cm2]	ftd [Kg/cm2]	ep_tk	epd_ult	ß1*ß2 in.	ß1*ß2 fin.
1	B450C	2000000	4500	3913	4500	3913	.075	.0675	1	0,5
2	B450C*	2000000	4500	3913	5400	4500	.075	.0675	1	0,5
3	B450C**	2000000	4500	3913	4582	3985	.012	.01	1	0,5
4	S235H	2141370	2447,28	2128,11	3670,92	2128,11	0,012	0,01	1	0,5
5	S275H	2141370	2855,16	2482,97	4384,71	2482,97	0,012	0,01	1	0,5
6	S355H	2141370	3670,92	3191,66	5200,47	3670,92	0,012	0,01	1	0,5

Stratigrafia
Nr.: Numero dello strato. Hs: Spessore dello strato. Fi: Angolo di attrito. c: Coesione Alfa: Coefficiente adesione attrito laterale. Vs: Velocità onde di taglio.
0Strat. 1

Nr.	Hs	Peso unità di Volume [kg/m³]	Peso Unità di volume Saturo [kg/m³]	c [kg/cm²]	Fi (°)	Attrito negativo	Alfa	Modulo elastico [kg/cm²]	Vs [m/s]	Descrizione litologica
1	0,60	1850,00	0,00	0,03	20,00	No	0,70	10,00	0	Terreno Vegetale
2	10,00	1900,00	0,00	0,15	26,00	No	0,70	20,00	0	Litologia Argillo Marnosa

Carico limite

Stratigrafia	Nq	Nc	Fi/C strato punta Palo (°)/[kg/cm²]	Peso palo [kg]	Carico limite punta [kg]	Carico limite laterale [kg]	Carico limite [kg]	Attrito negativo [kg]	Carico limite orizzontale [kg]
A1+M1+R3	32,23	48,09	33/0,15	126,36	0,00	7489,22	7362,86	--	--

RESISTENZA DI PROGETTO CARICHI ASSIALI
==========
Resistenza caratteristica carichi assiali. Nome combinazione: A1+M1+R3
==========

Numero verticali di indagine	1
Fattore correlazione verticale indagate media (xi3)	1,70
Fattore correlazione verticale indagate minima (xi4)	1,70

	Rc, Min [kg]	Rc, Media [kg]	Rc, Max [kg]
Base	--	--	--
Laterale	7489,22	7489,22	7489,22
Totale=Base+Laterale-Peso palo	7362,86	7362,86	7362,86

Coefficiente parziale resistenza caratteristica	R3
Laterale	1,15
Resistenza di progetto laterale	3830,80 kg
Resistenza di progetto	3704,44 kg
Azioni di progetto	3527,00 kg
Fattore sicurezza verticale	1,05

Modello ad elementi finiti

Max spostamento lineare del terreno	0,013 cm
Tipo analisi	Lineare
Massimo numero di iterazioni	1,00
Fattore di riduzione molla fondo scavo	1,00
Numero di elementi	9,00
Nodo sulla superficie del terreno [< n° nodi]	1,00
Modulo di reazione Ks	Bowles

ANALISI AD ELEMENTI FINITI [Stratigrafia di riferimento...1]

El. No	Lunghezza [m]	Ks [kg/cm³]	Sforzo normale [kg]	Momento [kgm]	Taglio [kg]	Reazione terreno [kg]	Rotazione (°)	Spostamento [m]	Pressione terreno [kg/cm²]
1	0,5	0	0	0	0	0	0	0	0
2	0,5	0,269	14,04	0	0	0	0	0	0
3	0,5	1,757	28,08	0	0	0	0	0	0
4	0,5	1,757	42,12	0	0	0	0	0	0
5	0,5	1,757	56,16	0	0	0	0	0	0
6	0,5	1,757	70,2	0	0	0	0	0	0
7	0,5	1,757	84,24	0	0	0	0	0	0
8	0,5	1,757	98,28	0	0	0	0	0	0
9	0,5	1,757	112,32	0	0	0	0	0	0
10		1,757	126,36	0	0	0	0	0	0

18.2 STRUTTURE AD INSEGUIMENTO MONOASSIALE AREA CALTAGIRONE – MODELLO STRATIGRAFICO 1

Verifica geotecnica pali di fondazione: Località Caltagirone - Pali infissi h 3,50 m

Le strutture di sostegno, dimensionate mediante il software di calcolo MP della casa produttrice Geostru, sono pali infissi nel terreno ad una profondità di 3.5 m con profilati *HEA* geometricamente come da figure a seguire:

HEA160

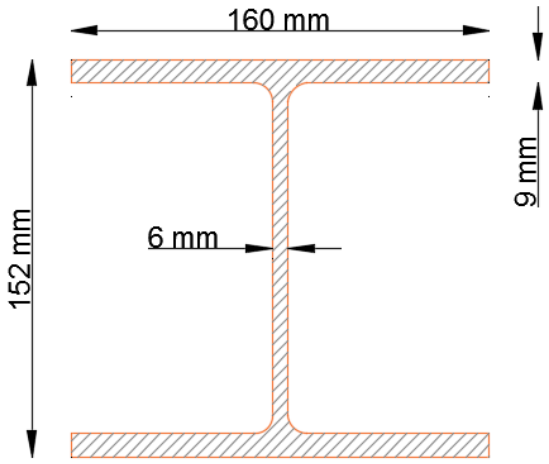

Figura 17- Sezione palo di fondazione centrale

PALI DI FONDAZIONE

NORMATIVE DI RIFERIMENTO

NTC2018 - Aggiornamento delle «Norme tecniche per le costruzioni» - D.M. 17 gennaio 2018

NTC2008 - Norme tecniche per le costruzioni - D.M. 14 Gennaio 2008.

CIRCOLARE 2 febbraio 2009, n. 617 - Istruzioni per l'applicazione delle 'Nuove norme tecniche per le costruzioni' di cui al decreto ministeriale 14 gennaio 2008. (GU n. 47 del 26-2-2009 - Suppl. Ordinario n.27)

Eurocodice 7: Progettazione geotecnica – Parte 1: Regole generali.

Eurocodice 8: Indicazioni progettuali per la resistenza sismica delle strutture - Parte 5: Fondazioni, strutture di contenimento ed aspetti geotecnici.

Carico limite verticale
Il carico limite verticale è stato calcolato con le formule statiche, che esprimono il medesimo in funzione della geometria del palo, delle caratteristiche del terreno e dell'interfaccia palo-terreno. A riguardo, poiché la realizzazione di un palo, sia esso infisso o trivellato, modifica sempre le caratteristiche del terreno nell'intorno dello stesso, si propone di assumere un angolo di resistenza a taglio pari a:

$$\phi' = \frac{3}{4}\phi + 10 \quad \text{nei pali infissi}$$
$$\phi' = \phi - 3° \quad \text{nei pali trivellati}$$

dove ϕ è l'angolo di resistenza a taglio prima dell'esecuzione del palo. Di seguito indicheremo con ϕ il parametro di resistenza scelto.te.
Ai fini del calcolo, il carico limite Q_{lim} viene convenzionalmente suddiviso in due aliquote, la resistenza alla punta Q_p e la resistenza laterale Q_l.

Resistenza unitaria alla punta

Formula di Terzaghi
La soluzione proposta da Terzaghi assume che il terreno esistente al disopra della profondità raggiunta dalla punta del palo possa essere sostituito da un sovraccarico equivalente pari alla tensione verticale efficace (trascurando pertanto il fatto che l'interazione tra palo e terreno di fondazione possa modificare tale valore) e riconduce l'analisi al problema di capacità portante di una fondazione superficiale.
La formula di *Terzaghi* può essere scritta:

$$Q_p = c \cdot N_c \cdot s_c + \gamma \cdot L \cdot N_q + 0.5 \cdot \gamma \cdot D \cdot N_\gamma \cdot s_\gamma$$

dove:

$$N_q = \frac{a^2}{2\cos^2(45 + \phi/2)}$$

$$a = e^{(0.75\pi - \phi/2)\tan\phi}$$

$$N_c = (N_q - 1)\cot\phi$$

$$N_\gamma = \frac{\tan\phi}{2}\left(\frac{K_{p\gamma}}{\cos^2\phi} - 1\right)$$

Metodo di Berezantzev
Fondamentalmente *Berezantzev* fa riferimento ad una superficie di scorrimento "alla Terzaghi" che si arresta sul piano di posa (punta del palo); tuttavia egli considera che il cilindro di terreno coassiale al palo ed avente diametro pari all'estensione in sezione della superficie di scorrimento, sia in parte "sostenuto" per azione tangenziale dal rimanente terreno lungo la superficie laterale. Ne consegue un valore della pressione alla base

inferiore a γD, e tanto minore quanto più questo "effetto silo" è marcato, cioè quanto più grande è il rapporto D/B; di ciò tiene conto il coefficiente N_q, che quindi è funzione decrescente di D/B.
La resistenza unitaria Q_p alla punta, per il caso di terreno dotato di attrito (ϕ) e di coesione (c), è data dall'espressione:

$$Q_p = c \cdot N_c + \gamma \cdot L \cdot N_q$$

Avendo indicato con:

γ peso unità di volume del terreno;
L lunghezza del palo;
N_c e N_q sono i fattori di capacità portante già comprensivi dell'effetto forma (circolare);

Metodo di Vesic
Vesic ha assimilato il problema della rottura intorno alla punta del palo a quello di espansione di una cavità cilindrica in mezzo elasto-plastico, in modo da tener conto anche della compressibilità del mezzo.
Secondo *Vesic* i coefficienti di capacità portante N_q e N_c si possono calcolare come segue:

$$N_q = \frac{3}{3-\sin\phi}\left\{\exp\left[\left(\frac{\pi}{2}-\phi\right)\tan\phi\right]\tan^2\left(45+\frac{\phi}{2}\right)I_{rr}^{(4\sin\phi)/[3(1+\sin\phi)]}\right\}$$

L'indice di rigidezza ridotto I_{rr} nella precedente espressione viene calcolato a partire dalla deformazione volumetrica ε_v.
L'indice di rigidezza I_r si calcola utilizzando il modulo di elasticità tangenziale G' e la resistenza a taglio *s* del terreno.
Quando si hanno condizioni non drenate o il suolo il suolo si trova in uno stato addensato, il termine ε_v può essere assunto pari a zero e si ottiene $I_{rr}=I_r$
E' possibile fare una stima di I_r con i valori seguenti:

TERRENO	**Ir**
Sabbia	75-150
Limo	50-75
Argilla	150-250

Il termine N_c della capacità portante viene calcolato:

$$N_c = (N_q - 1)\cot\phi \quad \text{(a)}$$

Quando $\phi = 0$ (condizioni non drenate)

$$N_c = \frac{4}{3}(\ln I_{rr} + 1) + \frac{\pi}{2} + 1$$

Metodo di Janbu
Janbu calcola N_q (con l'angolo ψ espresso in radianti) come segue:

$$N_q = \left(\tan\phi + \sqrt{1+\tan^2\phi}\right)^2 \exp(2\psi\tan\phi)$$

N_c si può ricavare dalla (a) quando $\phi > 0$.

Per $\phi = 0$ si usa $N_c = 5.74$

Formula di Hansen
La formula di Hansen vale per qualsiasi rapporto *D/B*, quindi sia per fondazioni superficiali che profonde, ma lo stesso autore introdusse dei coefficienti per meglio interpretare il comportamento reale della fondazione, senza di essi, infatti, si avrebbe un aumento troppo forte del carico limite con la profondità.

Per valori L/D>1:

$$d_c = 1 + 0.4 \tan^{-1} \frac{L}{D}$$

$$d_q = 1 + 2 \tan\phi (1 - \sin\phi)^2 \tan^{-1} \frac{L}{D}$$

Nel caso $\phi = 0$

D/B	*0*	*1*	*1.1*	*2*	*5*	*10*	*20*	*100*
d'_c	*0*	*0.40*	*0.33*	*0.44*	*0.55*	*0.59*	*0.61*	*0.62*

Nei fattori seguenti le espressioni con apici (') valgono quando $\phi = 0$.

Fattore di forma:

$$s'_c = 0.2 \cdot \frac{D}{L}$$

$$s_c = 1 + \frac{N_q}{N_c} \cdot \frac{D}{L}$$

$$s_q = 1 + \frac{D}{L} \cdot \tan\phi$$

$$s_q = 1 + \frac{D}{L} \cdot \tan\phi$$

$$s_\gamma = 1 - 0.4 \cdot \frac{D}{L}$$

Fattore di profondità:

$$d'_c = 0.4 \cdot k$$

$$d_c = 1 + 0.4k$$

$$d_q = 1 + 2 \tan\phi \cdot (1 - \sin\phi) \cdot k$$

$$d_\gamma = 1 \quad \text{per qualsiasi } \kappa$$

$$k = \tan^{-1} \frac{L}{D} \quad \text{se } \frac{L}{D} > 1$$

Resistenza del fusto
Il metodo utilizzato per il calcolo della capacità portante laterale è il metodo α, proposto da *Tomlinson (1971)*; la resistenza laterale viene calcolata nel seguente modo:

$$Q_l = (\alpha c + \sigma K \tan\delta) \cdot Al \cdot f_w$$

Al = superficie laterale del palo;
f_W = fattore di correzione legato alla tronco-conicità del palo, ossia la diminuzione percentuale del diametro del palo con
c = valore medio della coesione (o della resistenza a taglio in condizioni non drenate);
σ = pressione verticale efficace del terreno;
K = coefficiente di spinta orizzontale, dipendente dalla tecnologia di esecuzione del palo e dal precedente stato di addensamento, viene calcolato come segue:

Per pali infissi

$$K = 1 - \tan^2\phi$$

o, nel caso specifico, è possibile assegnare i seguenti valori proposti in tabella:

Palo	K	
	Terreno sciolto	Terreno denso
Acciaio	0.5	1
Calcestr. Pref.	1	2
Legno	1	3

Per pali trivellati

$$K = 1 - \mathrm{sen}\phi$$

δ = attrito palo-terreno funzione della scabrezza della superficie del palo;

Per pali infissi

$$\delta = 3/4\tan\phi$$

Per pali trivellati

$$\delta = \tan\phi$$

α = coefficiente d'adesione ricavato come di seguito riportato:

Pali trivellati:

Caquot – Kerisel $\alpha = \dfrac{100 + c^2}{100 + 7c^2}$

Meyerhof – Murdock (1963)

$\alpha = 1 - 0.1 \cdot c$ per $c < 5$ t/m^2

$\alpha = 0.525 - 0.005 \cdot c$ per $c \geq 5$ t/m^2

Whitaker – Cooke (1966)

$\alpha = 0.9$ per $c < 2.5$ t/m^2

$\alpha = 0.8$ per $2.5 \leq c < 5$ t/m^2

$\alpha = 0.6$ per $5 \leq c \leq 7.5$ t/m^2

$\alpha = 0.9$ per $c > 7.5$ t/m^2

Woodward (1961)

$\alpha = 0.9$ per $c < 4$ t/m^2

$\alpha = 0.6$ per $4 \leq c < 8$ t/m^2

$\alpha = 0.5$ per $8 \leq c < 12$ t/m^2

$\alpha = 0.4$ per $12 \leq c \leq 20$ t/m^2

$\alpha = 0.20$ per $c > 20$ t/m^2

Pali infissi

Coefficiente α per palo infisso	
$2.5 \leq c < 5$ t/m^2	$\alpha = 1.00$
$5 \leq c < 10$	$\alpha = 0.70$
$10 \leq c < 15$	$\alpha = 0.50$
$15 \leq c < 20$	$\alpha = 0.40$
$c \geq 20$	$\alpha = 0.30$

Attrito negativo

Quando un palo viene infisso o passa attraverso uno strato di materiale compressibile prima che si sia esaurito il processo di consolidazione, il terreno si muoverà rispetto al palo facendo insorgere sforzi attritivi tra palo e terreno che inducono al cosiddetto fenomeno dell'attrito negativo. L'effetto dell'attrito negativo è quello di aumentare il carico assiale sul palo, con conseguente aumento del cedimento, dovuto all'accorciamento elastico del palo stesso per effetto dell'aumento di carico. La forza che nasce per effetto dell'attrito negativo è stimata pari alla componente attritiva della resistenza laterale (vedi Resistenza del fusto) lungo la superficie laterale a contatto con lo strato in cui si genera tale fenomeno, ma di verso opposto all'attrito positivo. La risultante così determinata non viene detratta dal carico limite, ma da quello di esercizio.

Fattore di correzione in condizioni sismiche.

Criterio di Vesic
Secondo questo autore per tenere conto del fenomeno della dilatanza nel calcolo della capacità portante è sufficiente diminuire di *2°* l'angolo d'attrito degli strati di fondazione. Il limite di questo suggerimento è nel fatto che non tiene conto dell'intensità della sollecitazione sismica (espressa attraverso il parametro dell'accelerazione sismica orizzontale massima). Questo criterio pare però trovare conferma nelle osservazioni fatte in occasione di diversi eventi sismici.

Criterio di Sano
L'autore propone di diminuire l'angolo d'attrito degli strati portanti di una quantità data dalla relazione:

$$Dp = \mathrm{arctg}\left(\frac{a_{max}}{\sqrt{2}}\right)$$

dove a_{max} è l'accelerazione sismica orizzontale massima.
Questo criterio, rispetto a quello di ***Vesic***, ha il vantaggio di prendere in considerazione anche l'intensità della sollecitazione sismica. L'esperienza però dimostra che l'applicazione acritica di questa relazione può condurre a valori eccessivamente cautelativi di ***Qlim***.
Le correzioni di ***Sano*** e di ***Vesic*** si applicano esclusivamente a terreni incoerenti ben addensati. È errato applicarle a terreni sciolti o mediamente addensati, dove le vibrazioni sismiche producono il fenomeno opposto a quello della dilatanza, con aumento del grado di addensamento e dell'angolo d'attrito.

Cedimenti metodo di Davis-Poulos
Il cedimento verticale è stato calcolato con il metodo di *Davis-Poulos*, secondo il quale il palo viene considerato rigido (indeformabile) immerso in un mezzo elastico, semispazio o strato di spessore finito.
Si ipotizza che l'interazione palo-terreno sia costante a tratti lungo *n* superfici cilindriche in cui viene suddivisa la superficie laterale del palo.
Il cedimento della generica superficie *i* per effetto del carico trasmesso dal palo al terreno lungo la superficie j-esima può essere espresso:

$$W_{i,j} = (\tau_j / E) \cdot B \cdot I_{i,j}$$

Avendo indicato con:

τ_j = Incremento di tensione relativo al punto medio della striscia
E = Modulo elastico del terreno
B = Diametro del palo
$I_{i,j}$ = Coefficiente di influenza

Il cedimento complessivo si ottiene sommando $W_{i,j}$ per tutte le j aree

Cedimento Metodo Iperbolico
Il metodo iperbolico modificato rappresenta uno sviluppo dello studio di Chin (1970,1972,1983) che consente di stimare il cedimento di pali singoli partendo dall'idea che il diagramma carico-cedimento, per il corpo di un palo e la sua base, abbia un andamento iperbolico. I valori del *carico ultimo laterale* (Qsu) e la *resistenza di base ultima* (Qbu) rappresentano i termini asintotici della curva (figura a) *(Terzaghi, 1943)*. Sotto queste ipotesi è possibile giungere ad una rappresentazione linearizzata del problema considerando la variazione della quantità S/Q rispetto allo spostamento S (figura b).

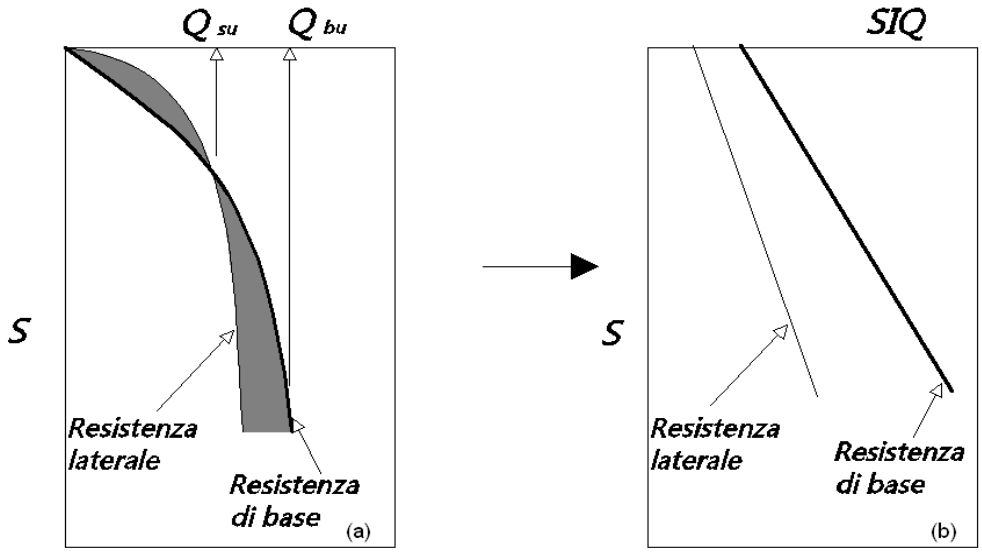

Grafici cedimento iperbolico (a) e linearizzato (b).

Grafici cedimento iperbolico (a) e linearizzato (b)

Lo studio di *Fleming* ha dimostrato che gli spostamenti totali stimati col metodo di *Chin* erano distorti dall'*accorciamento elastico* del corpo del palo e suggerì una tecnica semplificata per la quale la deformazione elastica del palo può essere determinata, con sufficiente accuratezza, sottraendo alla stima di *Chin* l'accorciamento del palo.

Considerando lo schema in figura l'accorciamento elastico del palo dipende dal carico applicato Q in rapporto all'attrito laterale ultimo Q_{su}. In particolare se $Q \leq Q_{su}$ la deformazione elastica del corpo del palo corrisponde alla somma dell'accorciamento elastico lungo la zona ad *attrito basso o nullo* e quello che si sviluppa lungo la parte *attiva* del fusto:

$$S_e = \frac{4}{\pi}\frac{Q(L_o + K_e L_a)}{d_s^2 E_c}$$

Se, invece, si ha che $Q > Q_{su}$ bisogna considerare un ulteriore accorciamento legato alla parte attiva del palo che deve essere aggiunta alla deformazione elastica:

$$S_e = \frac{4}{\pi}\frac{1}{d_s^2 E_C}[Q(L_o + L_a) - L_a Q_{su}(1 - k_e)]$$

I parametri della formula sono:

- ds: diametro testa del palo.
- Ec: modulo di elasticità del materiale del palo il cui valore può essere ricavato da una interpolazione lineare tra i valori di $Ec=26\cdot10^6$ kN/m^2 per calcestruzzo con forza specifica di 20 N/mm^2 e il valore di
- $Ec=40\cdot10^6$ kN/m^2 per calcestruzzo da 40 N/mm^2.
- Lo: lunghezza del palo ad attrito basso o nullo.
- La: lunghezza attiva del palo.
- ke: rapporto della lunghezza equivalente del fusto del palo rispetto alla lunghezza attiva La. Si può considerare un valore di 0.5 quando si ha un attrito che si sviluppa uniformemente lungo La oppure quando il palo è inserito in sabbia o ghiaia. Per pali in argilla caratterizzati da uno sforzo che cresce in profondità si può usare un valore di 0.45.

Lo spostamento del *palo rigido* può essere calcolato sapendo che la somma dell'attrito laterale e della resistenza di base corrisponde al carico totale applicato alla testa del palo.

$$Q=Q_s+Q_b$$

Considerando il palo rigido lo spostamento totale in testa è uguale a quello che si ottiene lungo il fusto ed è uguale a quello misurato alla base del palo:

$$S_t=S_s=S_b$$

Dal grafico linearizzato si può vedere che lo spostamento lungo il fusto del palo può essere calcolato come:

$$S_s = \frac{M_s d_s Q_s}{Q_{su} - Q_s}$$

In cui

- M_s: fattore adimensionale di flessibilità terreno/fusto.
- d_s: diametro testa.
- Q_s: attrito.
- Q_{su}: attrito ultimo determinato col metodo statico (condizione drenata)

L'equazione dello spostamento alla base del palo ricavata da Fleming è:

$$S_b = \frac{0.6 Q_{bu} Q_b}{d_b E_b (Q_{bu} - Q_b)}$$

dove

- d_b: diametro della base del palo.
- Q_b: resistenza alla base.
- Q_{bu}: resistenza ultima alla base
- E_b: modulo di taglio corrispondente a $Q_{bu}/4$

Infine, ponendo la condizione di uguaglianza Ss=Sb e considerando il carico totale applicato Q si ottiene lo spostamento totale di un palo rigido considerando solo i valori positivi della relazione:

$$S_t = \frac{-g \pm \sqrt{g^2 - 4fh}}{2f}$$

In cui le variabili sono così definite:

- $f = \eta(Q - \alpha) - \beta$
- $g = Q(\delta + \lambda\eta) - \alpha\delta - \beta\lambda$
- $h = \lambda\delta Q$
- $\alpha = Q_{su}$
- $\beta = d_b E_b Q_{bu}$
- $\lambda = M_s d_s$
- $\delta = 0.6 Q_{bu}$

- $\eta = d_b E_b$

Lo spostamento complessivo del palo comprende la componente di spostamento rigido e quella di accorciamento elastico.

Il modulo elastico del terreno E_b al di sotto della base del palo è legato alle caratteristiche del terreno ed è fortemente influenzato dalla tecnica di costruzione del palo. Fleming sostiene che è consigliabile che questo parametro di progetto sia determinato da un insieme accurato di prove in cui i pali sono caricati fino al punto in cui viene mobilitata una sostanziale quota della resistenza di punta. In mancanza di questi dati si può scegliere, cautelativamente, il valore di E_b da range di valori relativi al tipo di terreno e alla tecnica di costruzione del palo.

CARICO LIMITE ORIZZONTALE

Il carico limite orizzontale è stato calcolato secondo la teoria sviluppata da Broms il quale assume che il comportamento dell'interfaccia palo-terreno sia di tipo rigido perfettamente plastico, e cioè che la resistenza del terreno si mobiliti interamente per un qualsiasi valore non nullo dello spostamento a rimanga costante al crescere dello spostamento stesso.
Si assume che il comportamento flessionale del palo sia di tipo rigido-perfettamente plastico, vale a dire che le rotazioni elastiche del palo sono trascurabili finché il momento flettente non raggiunge il valore M_y di plasticizzazione.

Per i terreni coesivi Broms propone di adottare una reazione del terreno costante con la profondità pari a:

$$p = 9 \cdot c_u \cdot B$$

con reazione nulla fino alla profondità di 1.5 d; avendo indicato con:

c_u = Coesione non drenata,
B = Diametro del palo
p = Reazione del terreno per unità di lunghezza del palo.

Per i terreni incoerenti si assume che la resistenza vari linearmente con la profondità secondo la legge:

$$p = 3K_p \gamma z \cdot B$$

avendo indicato con:

p = Reazione del terreno per unità di lunghezza del palo;
K_p = Coefficiente di spinta passiva;
γ = Peso unità di volume del terreno;
z = Profondità;
B = Diametro del palo.

Palo in condizioni d'esercizio

Analisi del palo in condizioni di esercizio: **Metodo degli elementi finiti**.
Il metodo degli elementi finiti modella il palo di fondazione, sottoposto a carichi trasversali, in modo realistico in quanto fa uso sia degli spostamenti che delle rotazioni ai nodi per definire la linea elastica del palo, pertanto rappresenta il metodo più razionale ed efficace attualmente disponibile per analizzare questo tipo di strutture.
Di seguito si richiamano i fondamenti teorici del metodo indicando con **P** la matrice delle forze nodali esterne, con **F** quella delle forze interne e con **A** la matrice dei coefficienti di influenza che, per l'equilibrio tra forze esterne ed interne, lega le prime due secondo la ben nota forma:

$$\mathbf{P} = \mathbf{AF}$$

Gli spostamenti interni **e** (traslazioni e rotazioni) dell'elemento nel generico nodo sono legati agli spostamenti esterni **X** (traslazioni e rotazioni) applicati ai nodi, dalla seguente relazione:

$$\mathbf{e} = \mathbf{BX}$$

dove la matrice **B** è dimostrato essere la trasposta della matrice **A**.
D'altra parte, le forze interne **F** sono legate agli spostamenti interni **e** dalla seguente espressione:

$$\mathbf{F} = \mathbf{Se}$$

Applicando le consuete sostituzioni, si ottiene:

$$\mathbf{F} = \mathbf{SA^TX}$$

e quindi

$$\mathbf{P} = \mathbf{AF} = \mathbf{A\ SA^TX}$$

Pertanto, calcolando l'inversa della matrice $\mathbf{A\ SA^T}$ si ricava l'espressione degli spostamenti esterni X:

$$\mathbf{X} = (\mathbf{A\ SA^T})^{-1}\mathbf{P}$$

Noti, quindi, gli spostamenti **X** è possibile ricavare le forze interne **F** necessarie per il progetto della struttura.
La matrice $\mathbf{A\ SA^T}$ è nota come matrice di rigidezza globale in quanto caratterizza il legame tra spostamenti e forze esterni nodali.
Il metodo ad elementi finiti ha, tra l'altro, il vantaggio di consentire di mettere in conto, come condizioni al contorno, rotazioni e spostamenti noti.
Le reazioni nodali delle molle che schematizzano il terreno vengono considerate come forze globali legate al modulo di reazione e all'area d'influenza del nodo. Nella soluzione ad elementi finiti per pali soggetti a carichi trasversali, il modulo di reazione viene considerato nella forma:

$$k_S = A_S + B_S Z^n$$

o, non volendo far crescere illimitatamente il k_S con la profondità, nella forma:

$$k_S = A_S + B_S \tan^{-1}(Z/B)$$

nella quale Z è la profondità e B è il diametro del palo.
I valori di A_S e $B_S Z^n$ sono ottenuti dall'espressione della capacità portante (Bowles) con fattori correttivi s_i, d_i, e i_i pari a 1:

$$k_S = q_{ult}/\Delta H = C(cN_C + 0.5\gamma BN_\gamma)$$

$$BsZn = C(\gamma N_q Z^1)$$

Dove C = 40 è ottenuto in corrispondenza di un cedimento massimo di 25 mm.

Momenti cinematici
In presenza dell'azione sismica la risposta del palo è il risultato di una complessa interazione terreno-palo, resa di difficile inerpretazione a causa dei fenomeni di non linearità nel terreno e degli effetti cinematici associati al moto del terreno.

Generalmente, alle sollecitazioni trasmesse dalla sovrastuttura si aggiungono, applicando il principio di sovrapposiszione degli effetti, quelle derivanti dall'interazione cinematica che produce nei pali sollecitazioni aggiuntive dipendenti principalmente dalla rigidezza relativa palo-terreno.

Dalla letteratura esistente in merito a questo tipo di studi, emerge che nel caso di palo immerso in terreni stratificati, la sollecitazione flettente subisce un pronunciato incremento in prossimità dell'interfaccia fra strati di differente rigidezza e tale incremento è tanto maggiore quanto più elevato è il contrasto di rigidezza. In alcuni casi il valore del momento prodotto da questo effetto potrebbe superare quello che insorge nei pali in testa in presenza di incastro.

Da un'analisi di numerosi risultati, *Nikolaou et al.2001*, ha proposto una relazione che consente di calcolare, in maniera approssimata, il momento flettente massimo in corrispondenza dell'interfaccia tra due strati di differente rigidezza, in condizioni di moto stazionario con frequenza prossima alla frequenza fondamentale del deposito in cui è immerso il palo:

$$M = 0.042 \cdot \tau_c \cdot d^3 \cdot \left(\frac{L}{d}\right)^{0.30} \cdot \left(\frac{E_p}{E_1}\right)^{0.65} \cdot \left(\frac{E_p}{E_1}\right)^{0.65} \left(\frac{V_{s2}}{V1}\right)^{0.50}$$

in cui $\tau_c = a_{max}\ \rho_1 H_1$; amax accelerazione sismica, ρ_1 densità del terreno, H_1 spessore dello strato, V_{s1} e V_{s2}, rispettivamente, la velocità delle onde di taglio nei due strati; E_1 è modulo di rigidezza dello strato superiore di terreno, E_p modulo di elasticità del palo, d diametro del palo, L lunghezza del palo.

Dati generali...

==========

Descrizione	1
Diametro punta	0,16 m
Lunghezza	3,50 m
Tipo	Infisso
Portanza di punta calcolata con:	Berezantzev
Profondità falda da piano campagna	2,00 m

Archivio materiali

Conglomerati

Nr.	Classe Calcestruzzo	fck,cubi [Kg/cm2]	Ec [Kg/cm2]	fck [Kg/cm2]	fcd [Kg/cm2]	fctd [Kg/cm2]	fctm [Kg/cm2]
1	C20/25	250	299600	200	113.3	10.1	22.1
2	C25/30	300	314750	250	141,6	11,4	25,6
3	C28/35	350	323080	280	158,6	12,6	27,6
4	C40/50	500	352200	400	226,6	16,3	35

Acciai:

Nr.	Classe Acciaio	Es [Kg/cm2]	fyk [Kg/cm2]	fyd [Kg/cm2]	ftk [Kg/cm2]	ftd [Kg/cm2]	ep_tk	epd_ult	ß1*ß2 in.	ß1*ß2 fin.
1	B450C	2000000	4500	3913	4500	3913	.075	.0675	1	0,5
2	B450C*	2000000	4500	3913	5400	4500	.075	.0675	1	0,5
3	B450C**	2000000	4500	3913	4582	3985	.012	.01	1	0,5
4	S235H	2141370	2447,28	2128,11	3670,92	2128,11	0,012	0,01	1	0,5
5	S275H	2141370	2855,16	2482,97	4384,71	2482,97	0,012	0,01	1	0,5
6	S355H	2141370	3670,92	3191,66	5200,47	3670,92	0,012	0,01	1	0,5

Stratigrafia

Nr.: Numero dello strato. Hs: Spessore dello strato. Fi: Angolo di attrito. c: Coesione Alfa: Coefficiente adesione attrito laterale. Vs: Velocità onde di taglio.

Strat. 1

Nr.	Hs	Peso unità di Volume [kg/m³]	Peso Unità di volume Saturo [kg/m³]	c [kg/cm²]	Fi (°)	Attrito negativo	Alfa	Modulo elastico [kg/cm²]	Vs [m/s]	Descrizione litologica
1	0,60	1800,00	1750,00	0,04	20,00	No	0,70	10,00	0	Terreno vegetale
2	5,00	1900,00	1850,00	0,15	26,00	No	0,70	30,00	0	Argille da marrone chiaro a color nocciola

Carico limite

Stratigrafia	Nq	Nc	Fi/C strato punta Palo (°)/[kg/cm²]	Peso palo [kg]	Carico limite punta [kg]	Carico limite laterale [kg]	Carico limite [kg]	Attrito negativo [kg]	Carico limite orizzontale [kg]
A1+M1+R3	10,93	20,37	25,98628/0,12	38,06	0,00	3205,72	3243,78	--	--

RESISTENZA DI PROGETTO CARICHI ASSIALI

==========

Resistenza caratteristica carichi assiali. Nome combinazione: A1+M1+R3

==========

Numero verticali di indagine	1
Fattore correlazione verticale indagate media (xi3)	1,70
Fattore correlazione verticale indagate minima (xi4)	1,70

	Rc, Min [kg]	Rc, Media [kg]	Rc, Max [kg]
Base	--	--	--
Laterale	3205,72	3205,72	3205,72
Totale	3243,78	3243,78	3243,78

Coefficiente parziale resistenza caratteristica	R3
Laterale	1,25
Resistenza di progetto laterale	1508,57 kg
Resistenza di progetto	1546,64 kg
Azioni di progetto	-1124,30 kg
Fattore sicurezza verticale	1,38

18.3 STRUTTURE AD INSEGUIMENTO MONOASSIALE AREA CALTAGIRONE – MODELLO STRATIGRAFICO 2

Verifica geotecnica pali di fondazione: Località Caltagirone - Pali infissi h 3,50 m

Le strutture di sostegno, dimensionate mediante il software di calcolo MP della casa produttrice Geostru, sono pali infissi nel terreno ad una profondità di 3.5 m con profilati *HEA* geometricamente come da figure a seguire:

HEA160

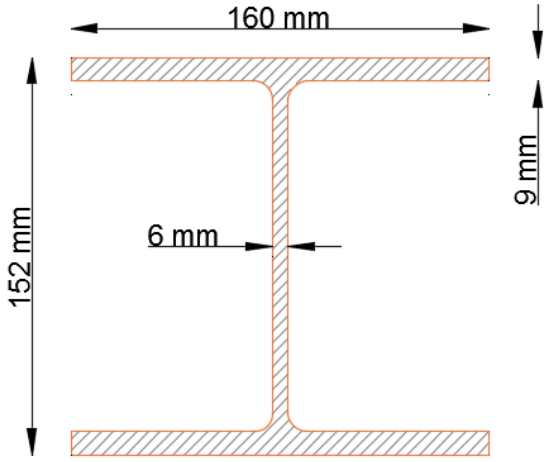

Figura 18- Sezione palo di fondazione centrale

PALI DI FONDAZIONE

NORMATIVE DI RIFERIMENTO

NTC2018 - Aggiornamento delle «Norme tecniche per le costruzioni» - D.M. 17 gennaio 2018

NTC2008 - Norme tecniche per le costruzioni - D.M. 14 Gennaio 2008.

CIRCOLARE 2 febbraio 2009, n. 617 - Istruzioni per l'applicazione delle 'Nuove norme tecniche per le costruzioni' di cui al decreto ministeriale 14 gennaio 2008. (GU n. 47 del 26-2-2009 - Suppl. Ordinario n.27)

Eurocodice 7: Progettazione geotecnica – Parte 1: Regole generali.

Eurocodice 8: Indicazioni progettuali per la resistenza sismica delle strutture - Parte 5: Fondazioni, strutture di contenimento ed aspetti geotecnici.

Carico limite verticale
Il carico limite verticale è stato calcolato con le formule statiche, che esprimono il medesimo in funzione della geometria del palo, delle caratteristiche del terreno e dell'interfaccia palo-terreno. A riguardo, poiché la realizzazione di un palo, sia esso infisso o trivellato, modifica sempre le caratteristiche del terreno nell'intorno dello stesso, si propone di assumere un angolo di resistenza a taglio pari a:

$$\phi' = \frac{3}{4}\phi + 10 \quad \text{nei pali infissi}$$
$$\phi' = \phi - 3° \quad \text{nei pali trivellati}$$

dove ϕ è l'angolo di resistenza a taglio prima dell'esecuzione del palo. Di seguito indicheremo con ϕ il parametro di resistenza scelto.te.
Ai fini del calcolo, il carico limite Q_{lim} viene convenzionalmente suddiviso in due aliquote, la resistenza alla punta Q_p e la resistenza laterale Q_l.

Resistenza unitaria alla punta

Formula di Terzaghi
La soluzione proposta da Terzaghi assume che il terreno esistente al disopra della profondità raggiunta dalla punta del palo possa essere sostituito da un sovraccarico equivalente pari alla tensione verticale efficace (trascurando pertanto il fatto che l'interazione tra palo e terreno di fondazione possa modificare tale valore) e riconduce l'analisi al problema di capacità portante di una fondazione superficiale.
La formula di *Terzaghi* può essere scritta:

$$Q_p = c \cdot N_c \cdot s_c + \gamma \cdot L \cdot N_q + 0.5 \cdot \gamma \cdot D \cdot N_\gamma \cdot s_\gamma$$

dove:

$$N_q = \frac{a^2}{2\cos^2(45 + \phi/2)}$$

$$a = e^{(0.75\pi - \phi/2)\tan\phi}$$

$$N_c = (N_q - 1)\cot\phi$$

$$N_\gamma = \frac{\tan\phi}{2}\left(\frac{K_{p\gamma}}{\cos^2\phi} - 1\right)$$

Metodo di Berezantzev
Fondamentalmente *Berezantzev* fa riferimento ad una superficie di scorrimento "alla Terzaghi" che si arresta sul piano di posa (punta del palo); tuttavia egli considera che il cilindro di terreno coassiale al palo ed avente diametro pari all'estensione in sezione della superficie di scorrimento, sia in parte "sostenuto" per azione tangenziale dal rimanente terreno lungo la superficie laterale. Ne consegue un valore della pressione alla base

inferiore a γD, e tanto minore quanto più questo "effetto silo" è marcato, cioè quanto più grande è il rapporto D/B; di ciò tiene conto il coefficiente N_q, che quindi è funzione decrescente di D/B.
La resistenza unitaria Q_p alla punta, per il caso di terreno dotato di attrito (ϕ) e di coesione (c), è data dall'espressione:

$$Q_p = c \cdot N_c + \gamma \cdot L \cdot N_q$$

Avendo indicato con:

γ peso unità di volume del terreno;
L lunghezza del palo;
N_c e N_q sono i fattori di capacità portante già comprensivi dell'effetto forma (circolare);

Metodo di Vesic
Vesic ha assimilato il problema della rottura intorno alla punta del palo a quello di espansione di una cavità cilindrica in mezzo elasto-plastico, in modo da tener conto anche della compressibilità del mezzo.
Secondo *Vesic* i coefficienti di capacità portante N_q e N_c si possono calcolare come segue:

$$N_q = \frac{3}{3-\sin\phi}\left\{\exp\left[\left(\frac{\pi}{2}-\phi\right)\tan\phi\right]\tan^2\left(45+\frac{\phi}{2}\right)I_{rr}^{(4\sin\phi)/[3(1+\sin\phi)]}\right\}$$

L'indice di rigidezza ridotto I_{rr} nella precedente espressione viene calcolato a partire dalla deformazione volumetrica ε_v.
L'indice di rigidezza I_r si calcola utilizzando il modulo di elasticità tangenziale G' e la resistenza a taglio *s* del terreno.
Quando si hanno condizioni non drenate o il suolo il suolo si trova in uno stato addensato, il termine ε_v può essere assunto pari a zero e si ottiene $I_{rr}=I_r$
E' possibile fare una stima di I_r con i valori seguenti:

TERRENO	**Ir**
Sabbia	75-150
Limo	50-75
Argilla	150-250

Il termine N_c della capacità portante viene calcolato:

$$N_c = (N_q - 1)\cot\phi \quad \text{(a)}$$

Quando $\phi = 0$ (condizioni non drenate)

$$N_c = \frac{4}{3}(\ln I_{rr} + 1) + \frac{\pi}{2} + 1$$

Metodo di Janbu
Janbu calcola N_q (con l'angolo ψ espresso in radianti) come segue:

$$N_q = \left(\tan\phi + \sqrt{1+\tan^2\phi}\right)^2 \exp(2\psi\tan\phi)$$

N_c si può ricavare dalla (a) quando $\phi > 0$.

Per $\phi = 0$ si usa $N_c = 5.74$

Formula di Hansen
La formula di Hansen vale per qualsiasi rapporto *D/B*, quindi sia per fondazioni superficiali che profonde, ma lo stesso autore introdusse dei coefficienti per meglio interpretare il comportamento reale della fondazione, senza di essi, infatti, si avrebbe un aumento troppo forte del carico limite con la profondità.

Per valori L/D>1:

$$d_c = 1 + 0.4 \tan^{-1} \frac{L}{D}$$

$$d_q = 1 + 2 \tan\phi (1 - \sin\phi)^2 \tan^{-1} \frac{L}{D}$$

Nel caso $\phi = 0$

D/B	*0*	*1*	*1.1*	*2*	*5*	*10*	*20*	*100*
d'_c	*0*	*0.40*	*0.33*	*0.44*	*0.55*	*0.59*	*0.61*	*0.62*

Nei fattori seguenti le espressioni con apici (') valgono quando $\phi = 0$.

Fattore di forma:

$$s'_c = 0.2 \cdot \frac{D}{L}$$

$$s_c = 1 + \frac{N_q}{N_c} \cdot \frac{D}{L}$$

$$s_q = 1 + \frac{D}{L} \cdot \tan\phi$$

$$s_q = 1 + \frac{D}{L} \cdot \tan\phi$$

$$s_\gamma = 1 - 0.4 \cdot \frac{D}{L}$$

Fattore di profondità:

$$d'_c = 0.4 \cdot k$$

$$d_c = 1 + 0.4k$$

$$d_q = 1 + 2 \tan\phi \cdot (1 - \sin\phi) \cdot k$$

$$d_\gamma = 1 \quad \text{per qualsiasi } \kappa$$

$$k = \tan^{-1} \frac{L}{D} \quad \text{se } \frac{L}{D} > 1$$

Resistenza del fusto
Il metodo utilizzato per il calcolo della capacità portante laterale è il metodo α, proposto da *Tomlinson (1971)*; la resistenza laterale viene calcolata nel seguente modo:

$$Q_l = (\alpha c + \sigma K \tan\delta) \cdot Al \cdot f_w$$

Al = superficie laterale del palo;
f_W = fattore di correzione legato alla tronco-conicità del palo, ossia la diminuzione percentuale del diametro del palo con
c = valore medio della coesione (o della resistenza a taglio in condizioni non drenate);
σ = pressione verticale efficace del terreno;
K = coefficiente di spinta orizzontale, dipendente dalla tecnologia di esecuzione del palo e dal precedente stato di addensamento, viene calcolato come segue:

Per pali infissi

$$K = 1 - \tan^2\phi$$

o, nel caso specifico, è possibile assegnare i seguenti valori proposti in tabella:

Palo	K	
	Terreno sciolto	Terreno denso
Acciaio	0.5	1
Calcestr. Pref.	1	2
Legno	1	3

Per pali trivellati

$$K = 1 - \mathrm{sen}\phi$$

δ = attrito palo-terreno funzione della scabrezza della superficie del palo;

Per pali infissi

$$\delta = 3/4\tan\phi$$

Per pali trivellati

$$\delta = \tan\phi$$

α = coefficiente d'adesione ricavato come di seguito riportato:

Pali trivellati:

Caquot – Kerisel $\alpha = \dfrac{100 + c^2}{100 + 7c^2}$

Meyerhof – Murdock (1963)

$\alpha = 1 - 0.1 \cdot c$ per $c < 5$ t/m^2

$\alpha = 0.525 - 0.005 \cdot c$ per $c \geq 5$ t/m^2

Whitaker – Cooke (1966)

$\alpha = 0.9$ per $c < 2.5$ t/m^2

$\alpha = 0.8$ per $2.5 \leq c < 5$ t/m^2

$\alpha = 0.6$ per $5 \leq c \leq 7.5$ t/m^2

$\alpha = 0.9$ per $c > 7.5$ t/m^2

Woodward (1961)

$\alpha = 0.9$ per $c < 4$ t/m^2

$\alpha = 0.6$ per $4 \leq c < 8$ t/m^2

$\alpha = 0.5$ per $8 \leq c < 12$ t/m^2

$\alpha = 0.4$ per $12 \leq c \leq 20$ t/m^2

$\alpha = 0.20$ per $c > 20$ t/m^2

Pali infissi

Coefficiente α per palo infisso	
$2.5 \leq c < 5$ t/m^2	$\alpha = 1.00$
$5 \leq c < 10$	$\alpha = 0.70$
$10 \leq c < 15$	$\alpha = 0.50$
$15 \leq c < 20$	$\alpha = 0.40$
$c \geq 20$	$\alpha = 0.30$

Attrito negativo

Quando un palo viene infisso o passa attraverso uno strato di materiale compressibile prima che si sia esaurito il processo di consolidazione, il terreno si muoverà rispetto al palo facendo insorgere sforzi attritivi tra palo e terreno che inducono al cosiddetto fenomeno dell'attrito negativo. L'effetto dell'attrito negativo è quello di aumentare il carico assiale sul palo, con conseguente aumento del cedimento, dovuto all'accorciamento elastico del palo stesso per effetto dell'aumento di carico. La forza che nasce per effetto dell'attrito negativo è stimata pari alla componente attritiva della resistenza laterale (vedi Resistenza del fusto) lungo la superficie laterale a contatto con lo strato in cui si genera tale fenomeno, ma di verso opposto all'attrito positivo. La risultante così determinata non viene detratta dal carico limite, ma da quello di esercizio.

Fattore di correzione in condizioni sismiche.

Criterio di Vesic
Secondo questo autore per tenere conto del fenomeno della dilatanza nel calcolo della capacità portante è sufficiente diminuire di *2°* l'angolo d'attrito degli strati di fondazione. Il limite di questo suggerimento è nel fatto che non tiene conto dell'intensità della sollecitazione sismica (espressa attraverso il parametro dell'accelerazione sismica orizzontale massima). Questo criterio pare però trovare conferma nelle osservazioni fatte in occasione di diversi eventi sismici.

Criterio di Sano
L'autore propone di diminuire l'angolo d'attrito degli strati portanti di una quantità data dalla relazione:

$$Dp = \mathrm{arctg}\left(\frac{a_{max}}{\sqrt{2}}\right)$$

dove a_{max} è l'accelerazione sismica orizzontale massima.
Questo criterio, rispetto a quello di ***Vesic***, ha il vantaggio di prendere in considerazione anche l'intensità della sollecitazione sismica. L'esperienza però dimostra che l'applicazione acritica di questa relazione può condurre a valori eccessivamente cautelativi di ***Qlim***.
Le correzioni di ***Sano*** e di ***Vesic*** si applicano esclusivamente a terreni incoerenti ben addensati. È errato applicarle a terreni sciolti o mediamente addensati, dove le vibrazioni sismiche producono il fenomeno opposto a quello della dilatanza, con aumento del grado di addensamento e dell'angolo d'attrito.

Cedimenti metodo di Davis-Poulos
Il cedimento verticale è stato calcolato con il metodo di *Davis-Poulos*, secondo il quale il palo viene considerato rigido (indeformabile) immerso in un mezzo elastico, semispazio o strato di spessore finito.
Si ipotizza che l'interazione palo-terreno sia costante a tratti lungo *n* superfici cilindriche in cui viene suddivisa la superficie laterale del palo.
Il cedimento della generica superficie *i* per effetto del carico trasmesso dal palo al terreno lungo la superficie j-esima può essere espresso:

$$W_{i,j} = (\tau_j / E) \cdot B \cdot I_{i,j}$$

Avendo indicato con:

τ_j = Incremento di tensione relativo al punto medio della striscia
E = Modulo elastico del terreno
B = Diametro del palo
$I_{i,j}$ = Coefficiente di influenza

Il cedimento complessivo si ottiene sommando $W_{i,j}$ per tutte le j aree

Cedimento Metodo Iperbolico
Il metodo iperbolico modificato rappresenta uno sviluppo dello studio di Chin (1970,1972,1983) che consente di stimare il cedimento di pali singoli partendo dall'idea che il diagramma carico-cedimento, per il corpo di un palo e la sua base, abbia un andamento iperbolico. I valori del *carico ultimo laterale* (Qsu) e la *resistenza di base ultima* (Qbu) rappresentano i termini asintotici della curva (figura a) *(Terzaghi, 1943)*. Sotto queste ipotesi è possibile giungere ad una rappresentazione linearizzata del problema considerando la variazione della quantità S/Q rispetto allo spostamento S (figura b).

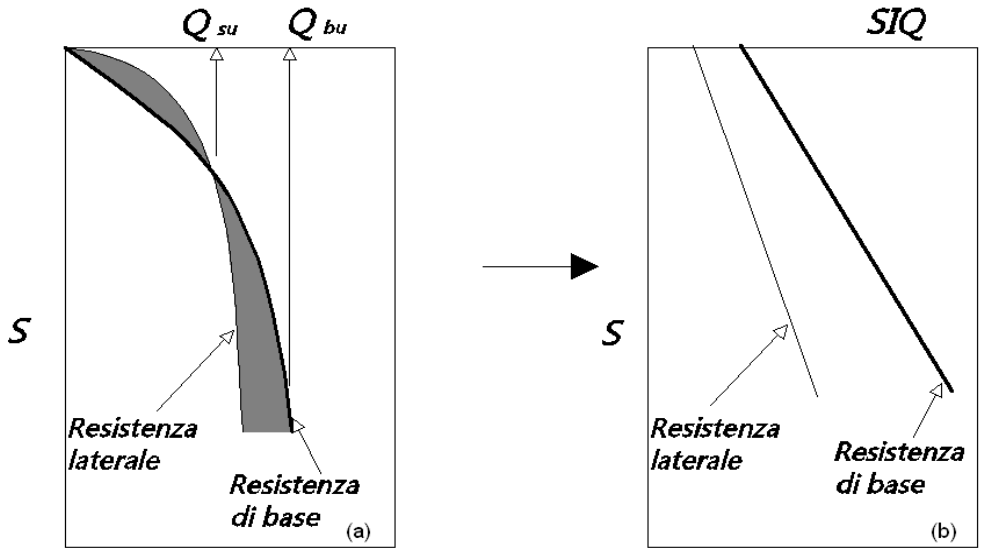

Grafici cedimento iperbolico (a) e linearizzato (b).

Grafici cedimento iperbolico (a) e linearizzato (b)

Lo studio di *Fleming* ha dimostrato che gli spostamenti totali stimati col metodo di *Chin* erano distorti dall'*accorciamento elastico* del corpo del palo e suggerì una tecnica semplificata per la quale la deformazione elastica del palo può essere determinata, con sufficiente accuratezza, sottraendo alla stima di *Chin* l'accorciamento del palo.

Considerando lo schema in figura l'accorciamento elastico del palo dipende dal carico applicato Q in rapporto all'attrito laterale ultimo Q_{su}. In particolare se $Q \leq Q_{su}$ la deformazione elastica del corpo del palo corrisponde alla somma dell'accorciamento elastico lungo la zona ad *attrito basso o nullo* e quello che si sviluppa lungo la parte *attiva* del fusto:

$$S_e = \frac{4}{\pi}\frac{Q(L_o + K_e L_a)}{d_s^2 E_c}$$

Se, invece, si ha che $Q > Q_{su}$ bisogna considerare un ulteriore accorciamento legato alla parte attiva del palo che deve essere aggiunta alla deformazione elastica:

$$S_e = \frac{4}{\pi}\frac{1}{d_s^2 E_C}[Q(L_o + L_a) - L_a Q_{su}(1 - k_e)]$$

I parametri della formula sono:

- ds: diametro testa del palo.
- Ec: modulo di elasticità del materiale del palo il cui valore può essere ricavato da una interpolazione lineare tra i valori di $Ec=26\cdot10^6$ kN/m^2 per calcestruzzo con forza specifica di 20 N/mm^2 e il valore di
- $Ec=40\cdot10^6$ kN/m^2 per calcestruzzo da 40 N/mm^2.
- Lo: lunghezza del palo ad attrito basso o nullo.
- La: lunghezza attiva del palo.
- ke: rapporto della lunghezza equivalente del fusto del palo rispetto alla lunghezza attiva La. Si può considerare un valore di 0.5 quando si ha un attrito che si sviluppa uniformemente lungo La oppure quando il palo è inserito in sabbia o ghiaia. Per pali in argilla caratterizzati da uno sforzo che cresce in profondità si può usare un valore di 0.45.

Lo spostamento del *palo rigido* può essere calcolato sapendo che la somma dell'attrito laterale e della resistenza di base corrisponde al carico totale applicato alla testa del palo.

$$Q=Q_s+Q_b$$

Considerando il palo rigido lo spostamento totale in testa è uguale a quello che si ottiene lungo il fusto ed è uguale a quello misurato alla base del palo:

$$S_t=S_s=S_b$$

Dal grafico linearizzato si può vedere che lo spostamento lungo il fusto del palo può essere calcolato come:

$$S_s = \frac{M_s d_s Q_s}{Q_{su} - Q_s}$$

In cui

- M_s: fattore adimensionale di flessibilità terreno/fusto.
- d_s: diametro testa.
- Q_s: attrito.
- Q_{su}: attrito ultimo determinato col metodo statico (condizione drenata)

L'equazione dello spostamento alla base del palo ricavata da Fleming è:

$$S_b = \frac{0.6 Q_{bu} Q_b}{d_b E_b (Q_{bu} - Q_b)}$$

dove

- d_b: diametro della base del palo.
- Q_b: resistenza alla base.
- Q_{bu}: resistenza ultima alla base
- E_b: modulo di taglio corrispondente a $Q_{bu}/4$

Infine, ponendo la condizione di uguaglianza Ss=Sb e considerando il carico totale applicato Q si ottiene lo spostamento totale di un palo rigido considerando solo i valori positivi della relazione:

$$S_t = \frac{-g \pm \sqrt{g^2 - 4fh}}{2f}$$

In cui le variabili sono così definite:

- $f = \eta(Q - \alpha) - \beta$
- $g = Q(\delta + \lambda\eta) - \alpha\delta - \beta\lambda$
- $h = \lambda\delta Q$
- $\alpha = Q_{su}$
- $\beta = d_b E_b Q_{bu}$
- $\lambda = M_s d_s$
- $\delta = 0.6 Q_{bu}$

- $\eta = d_b E_b$

Lo spostamento complessivo del palo comprende la componente di spostamento rigido e quella di accorciamento elastico.

Il modulo elastico del terreno E_b al di sotto della base del palo è legato alle caratteristiche del terreno ed è fortemente influenzato dalla tecnica di costruzione del palo. Fleming sostiene che è consigliabile che questo parametro di progetto sia determinato da un insieme accurato di prove in cui i pali sono caricati fino al punto in cui viene mobilitata una sostanziale quota della resistenza di punta. In mancanza di questi dati si può scegliere, cautelativamente, il valore di E_b da range di valori relativi al tipo di terreno e alla tecnica di costruzione del palo.

CARICO LIMITE ORIZZONTALE

Il carico limite orizzontale è stato calcolato secondo la teoria sviluppata da Broms il quale assume che il comportamento dell'interfaccia palo-terreno sia di tipo rigido perfettamente plastico, e cioè che la resistenza del terreno si mobiliti interamente per un qualsiasi valore non nullo dello spostamento a rimanga costante al crescere dello spostamento stesso.
Si assume che il comportamento flessionale del palo sia di tipo rigido-perfettamente plastico, vale a dire che le rotazioni elastiche del palo sono trascurabili finché il momento flettente non raggiunge il valore M_y di plasticizzazione.

Per i terreni coesivi Broms propone di adottare una reazione del terreno costante con la profondità pari a:

$$p = 9 \cdot c_u \cdot B$$

con reazione nulla fino alla profondità di 1.5 d; avendo indicato con:

c_u = Coesione non drenata,
B = Diametro del palo
p = Reazione del terreno per unità di lunghezza del palo.

Per i terreni incoerenti si assume che la resistenza vari linearmente con la profondità secondo la legge:

$$p = 3K_p \gamma z \cdot B$$

avendo indicato con:

p = Reazione del terreno per unità di lunghezza del palo;
K_p = Coefficiente di spinta passiva;
γ = Peso unità di volume del terreno;
z = Profondità;
B = Diametro del palo.

Palo in condizioni d'esercizio

Analisi del palo in condizioni di esercizio: **Metodo degli elementi finiti**.
Il metodo degli elementi finiti modella il palo di fondazione, sottoposto a carichi trasversali, in modo realistico in quanto fa uso sia degli spostamenti che delle rotazioni ai nodi per definire la linea elastica del palo, pertanto rappresenta il metodo più razionale ed efficace attualmente disponibile per analizzare questo tipo di strutture.
Di seguito si richiamano i fondamenti teorici del metodo indicando con **P** la matrice delle forze nodali esterne, con **F** quella delle forze interne e con **A** la matrice dei coefficienti di influenza che, per l'equilibrio tra forze esterne ed interne, lega le prime due secondo la ben nota forma:

$$\mathbf{P} = \mathbf{AF}$$

Gli spostamenti interni **e** (traslazioni e rotazioni) dell'elemento nel generico nodo sono legati agli spostamenti esterni **X** (traslazioni e rotazioni) applicati ai nodi, dalla seguente relazione:

$$\mathbf{e} = \mathbf{BX}$$

dove la matrice **B** è dimostrato essere la trasposta della matrice **A**.
D'altra parte, le forze interne **F** sono legate agli spostamenti interni **e** dalla seguente espressione:

$$\mathbf{F} = \mathbf{Se}$$

Applicando le consuete sostituzioni, si ottiene:

$$\mathbf{F} = \mathbf{SA^TX}$$

e quindi

$$\mathbf{P} = \mathbf{AF} = \mathbf{A\ SA^TX}$$

Pertanto, calcolando l'inversa della matrice $\mathbf{A\ SA^T}$ si ricava l'espressione degli spostamenti esterni X:

$$\mathbf{X} = (\mathbf{A\ SA^T})^{-1}\mathbf{P}$$

Noti, quindi, gli spostamenti **X** è possibile ricavare le forze interne **F** necessarie per il progetto della struttura.
La matrice $\mathbf{A\ SA^T}$ è nota come matrice di rigidezza globale in quanto caratterizza il legame tra spostamenti e forze esterni nodali.
Il metodo ad elementi finiti ha, tra l'altro, il vantaggio di consentire di mettere in conto, come condizioni al contorno, rotazioni e spostamenti noti.
Le reazioni nodali delle molle che schematizzano il terreno vengono considerate come forze globali legate al modulo di reazione e all'area d'influenza del nodo. Nella soluzione ad elementi finiti per pali soggetti a carichi trasversali, il modulo di reazione viene considerato nella forma:

$$k_S = A_S + B_S Z^n$$

o, non volendo far crescere illimitatamente il k_S con la profondità, nella forma:

$$k_S = A_S + B_S \tan^{-1}(Z/B)$$

nella quale Z è la profondità e B è il diametro del palo.
I valori di A_S e $B_S Z^n$ sono ottenuti dall'espressione della capacità portante (Bowles) con fattori correttivi s_i, d_i, e i_i pari a 1:

$$k_S = q_{ult}/\Delta H = C(cN_C + 0.5\gamma BN_\gamma)$$

$$BsZn = C(\gamma N_q Z^1)$$

Dove C = 40 è ottenuto in corrispondenza di un cedimento massimo di 25 mm.

Momenti cinematici
In presenza dell'azione sismica la risposta del palo è il risultato di una complessa interazione terreno-palo, resa di difficile inerpretazione a causa dei fenomeni di non linearità nel terreno e degli effetti cinematici associati al moto del terreno.

Generalmente, alle sollecitazioni trasmesse dalla sovrastuttura si aggiungono, applicando il principio di sovrapposiszione degli effetti, quelle derivanti dall'interazione cinematica che produce nei pali sollecitazioni aggiuntive dipendenti principalmente dalla rigidezza relativa palo-terreno.

Dalla letteratura esistente in merito a questo tipo di studi, emerge che nel caso di palo immerso in terreni stratificati, la sollecitazione flettente subisce un pronunciato incremento in prossimità dell'interfaccia fra strati di differente rigidezza e tale incremento è tanto maggiore quanto più elevato è il contrasto di rigidezza. In alcuni casi il valore del momento prodotto da questo effetto potrebbe superare quello che insorge nei pali in testa in presenza di incastro.

Da un'analisi di numerosi risultati, *Nikolaou et al.2001*, ha proposto una relazione che consente di calcolare, in maniera approssimata, il momento flettente massimo in corrispondenza dell'interfaccia tra due strati di differente rigidezza, in condizioni di moto stazionario con frequenza prossima alla frequenza fondamentale del deposito in cui è immerso il palo:

$$M = 0.042 \cdot \tau_c \cdot d^3 \cdot \left(\frac{L}{d}\right)^{0.30} \cdot \left(\frac{E_p}{E_1}\right)^{0.65} \cdot \left(\frac{E_p}{E_1}\right)^{0.65} \left(\frac{V_{s2}}{V1}\right)^{0.50}$$

in cui $\tau_c = a_{max}\ \rho_1 H_1$; amax accelerazione sismica, ρ_1 densità del terreno, H_1 spessore dello strato, V_{s1} e V_{s2}, rispettivamente, la velocità delle onde di taglio nei due strati; E_1 è modulo di rigidezza dello strato superiore di terreno, E_p modulo di elasticità del palo, d diametro del palo, L lunghezza del palo.

Dati generali...

==========

Descrizione	1
Diametro punta	0,16 m
Lunghezza	3,50 m
Tipo	Infisso
Portanza di punta calcolata con:	Berezantzev
Profondità falda da piano campagna	3,00 m

Archivio materiali

Conglomerati

Nr.	Classe Calcestruzzo	fck,cubi [Kg/cm2]	Ec [Kg/cm2]	fck [Kg/cm2]	fcd [Kg/cm2]	fctd [Kg/cm2]	fctm [Kg/cm2]
1	C20/25	250	299600	200	113.3	10.1	22.1
2	C25/30	300	314750	250	141,6	11,4	25,6
3	C28/35	350	323080	280	158,6	12,6	27,6
4	C40/50	500	352200	400	226,6	16,3	35

Acciai:

Nr.	Classe Acciaio	Es [Kg/cm2]	fyk [Kg/cm2]	fyd [Kg/cm2]	ftk [Kg/cm2]	ftd [Kg/cm2]	ep_tk	epd_ult	ß1*ß2 in.	ß1*ß2 fin.
1	B450C	2000000	4500	3913	4500	3913	.075	.0675	1	0,5
2	B450C*	2000000	4500	3913	5400	4500	.075	.0675	1	0,5
3	B450C**	2000000	4500	3913	4582	3985	.012	.01	1	0,5
4	S235H	2141370	2447,28	2128,11	3670,92	2128,11	0,012	0,01	1	0,5
5	S275H	2141370	2855,16	2482,97	4384,71	2482,97	0,012	0,01	1	0,5
6	S355H	2141370	3670,92	3191,66	5200,47	3670,92	0,012	0,01	1	0,5

Stratigrafia

Nr.: Numero dello strato. Hs: Spessore dello strato. Fi: Angolo di attrito. c: Coesione Alfa: Coefficiente adesione attrito laterale. Vs: Velocità onde di taglio.

Strat. 1

Nr.	Hs	Peso unità di Volume [kg/m³]	Peso Unità di volume Saturo [kg/m³]	c [kg/cm²]	Fi (°)	Attrito negativo	Alfa	Modulo elastico [kg/cm²]	Vs [m/s]	Descrizione litologica
1	2,00	1800,00	1750,00	0,04	20,00	No	0,70	10,00	0	Terreno vegetale
2	5,00	1900,00	1850,00	0,15	26,00	No	0,70	30,00	0	Argille da marrone chiaro a color nocciola

Carico limite

Stratigrafia	Nq	Nc	Fi/C strato punta Palo (°)/[kg/cm²]	Peso palo [kg]	Carico limite punta [kg]	Carico limite laterale [kg]	Carico limite [kg]	Attrito negativo [kg]	Carico limite orizzontale [kg]
A1+M1+R3	22,07	37,25	29,5/0,15	38,06	0,00	2541,20	2579,26	--	--

RESISTENZA DI PROGETTO CARICHI ASSIALI

==========

Resistenza caratteristica carichi assiali. Nome combinazione: A1+M1+R3

==========

Numero verticali di indagine	1
Fattore correlazione verticale indagate media (xi3)	1,70
Fattore correlazione verticale indagate minima (xi4)	1,70

	Rc, Min [kg]	Rc, Media [kg]	Rc, Max [kg]
Base	--	--	--
Laterale	2541,20	2541,20	2541,20
Totale	2579,26	2579,26	2579,26

Coefficiente parziale resistenza caratteristica	R3
Laterale	1,25
Resistenza di progetto laterale	1195,86 kg
Resistenza di progetto	1233,92 kg
Azioni di progetto	-1124,30 kg
Fattore sicurezza verticale	1,10

Modello ad elementi finiti

Max spostamento lineare del terreno	0,013 cm
Tipo analisi	Lineare
Massimo numero di iterazioni	1,00
Fattore di riduzione molla fondo scavo	1,00
Numero di elementi	9,00
Nodo sulla superficie del terreno [< n° nodi]	1,00
Modulo di reazione Ks	Bowles

Carichi

Forze orizzontali (Fo) positive dirette da destra a sinistra. Forze verticali (Fv) positive dirette verso il basso. Coppie (M) positive orarie.

Nodo	Fo [kg]	M [kgm]	Fv [kg]
1	1,00	0,00	-1124,30

ANALISI AD ELEMENTI FINITI [Stratigrafia di riferimento...1]

El. No	Lunghezza [m]	Ks [kg/cm³]	Sforzo normale [kg]	Momento [kgm]	Taglio [kg]	Reazione terreno [kg]	Rotazione (°)	Spostamento [m]	Pressione terreno [kg/cm²]
1	0,39	0	-1124,3	0	0,89	0,11	-0,001	0	0
2	0,39	0,317	-1120,07	-0,35	0,53	0,36	-0,001	0	0,001
3	0,39	0,317	-1115,84	-0,55	0,21	0,32	-0,001	0	0,001
4	0,39	0,317	-1111,61	-0,63	-0,02	0,23	-0,001	0	0
5	0,39	0,317	-1107,38	-0,63	-0,15	0,13	-0,001	0	0
6	0,39	0,317	-1103,15	-0,57	-0,3	0,16	0	0	0
7	0,39	1,705	-1098,93	-0,45	-0,49	0,18	0	0	0
8	0,39	1,705	-1094,7	-0,26	-0,46	-0,03	0	0	0
9	0,39	1,705	-1090,47	-0,08	-0,22	-0,24	0	0	0
10		1,705	-1086,24	0	0	0	0	0	0

18.4 STRUTTURE AD INSEGUIMENTO MONOASSIALE AREA MINEO

Verifica geotecnica pali di fondazione: Località Mineo - Pali infissi h 3,50 m

Le strutture di sostegno, dimensionate mediante il software di calcolo MP della casa produttrice Geostru, sono pali infissi nel terreno ad una profondità di 3.5 m con profilati *HEA* geometricamente come da figure a seguire:

HEA160

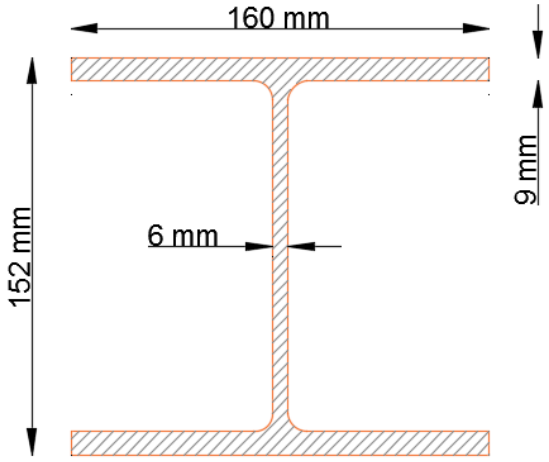

Figura 19- Sezione palo di fondazione centrale

PALI DI FONDAZIONE

NORMATIVE DI RIFERIMENTO

NTC2018 - Aggiornamento delle «Norme tecniche per le costruzioni» - D.M. 17 gennaio 2018

NTC2008 - Norme tecniche per le costruzioni - D.M. 14 Gennaio 2008.

CIRCOLARE 2 febbraio 2009, n. 617 - Istruzioni per l'applicazione delle 'Nuove norme tecniche per le costruzioni' di cui al decreto ministeriale 14 gennaio 2008. (GU n. 47 del 26-2-2009 - Suppl. Ordinario n.27)

Eurocodice 7: Progettazione geotecnica – Parte 1: Regole generali.

Eurocodice 8: Indicazioni progettuali per la resistenza sismica delle strutture - Parte 5: Fondazioni, strutture di contenimento ed aspetti geotecnici.

Carico limite verticale
Il carico limite verticale è stato calcolato con le formule statiche, che esprimono il medesimo in funzione della geometria del palo, delle caratteristiche del terreno e dell'interfaccia palo-terreno. A riguardo, poiché la realizzazione di un palo, sia esso infisso o trivellato, modifica sempre le caratteristiche del terreno nell'intorno dello stesso, si propone di assumere un angolo di resistenza a taglio pari a:

$$\phi' = \frac{3}{4}\phi + 10 \quad \text{nei pali infissi}$$
$$\phi' = \phi - 3° \quad \text{nei pali trivellati}$$

dove ϕ è l'angolo di resistenza a taglio prima dell'esecuzione del palo. Di seguito indicheremo con ϕ il parametro di resistenza scelto.te.
Ai fini del calcolo, il carico limite Q_{lim} viene convenzionalmente suddiviso in due aliquote, la resistenza alla punta Q_p e la resistenza laterale Q_l.

Resistenza unitaria alla punta

Formula di Terzaghi
La soluzione proposta da Terzaghi assume che il terreno esistente al disopra della profondità raggiunta dalla punta del palo possa essere sostituito da un sovraccarico equivalente pari alla tensione verticale efficace (trascurando pertanto il fatto che l'interazione tra palo e terreno di fondazione possa modificare tale valore) e riconduce l'analisi al problema di capacità portante di una fondazione superficiale.
La formula di *Terzaghi* può essere scritta:

$$Q_p = c \cdot N_c \cdot s_c + \gamma \cdot L \cdot N_q + 0.5 \cdot \gamma \cdot D \cdot N_\gamma \cdot s_\gamma$$

dove:

$$N_q = \frac{a^2}{2\cos^2(45 + \phi/2)}$$

$$a = e^{(0.75\pi - \phi/2)\tan\phi}$$

$$N_c = (N_q - 1)\cot\phi$$

$$N_\gamma = \frac{\tan\phi}{2}\left(\frac{K_{p\gamma}}{\cos^2\phi} - 1\right)$$

Metodo di Berezantzev
Fondamentalmente *Berezantzev* fa riferimento ad una superficie di scorrimento "alla Terzaghi" che si arresta sul piano di posa (punta del palo); tuttavia egli considera che il cilindro di terreno coassiale al palo ed avente diametro pari all'estensione in sezione della superficie di scorrimento, sia in parte "sostenuto" per azione tangenziale dal rimanente terreno lungo la superficie laterale. Ne consegue un valore della pressione alla base

inferiore a γD, e tanto minore quanto più questo "effetto silo" è marcato, cioè quanto più grande è il rapporto D/B; di ciò tiene conto il coefficiente N_q, che quindi è funzione decrescente di D/B.
La resistenza unitaria Q_p alla punta, per il caso di terreno dotato di attrito (ϕ) e di coesione (c), è data dall'espressione:

$$Q_p = c \cdot N_c + \gamma \cdot L \cdot N_q$$

Avendo indicato con:

γ peso unità di volume del terreno;
L lunghezza del palo;
N_c e N_q sono i fattori di capacità portante già comprensivi dell'effetto forma (circolare);

Metodo di Vesic
Vesic ha assimilato il problema della rottura intorno alla punta del palo a quello di espansione di una cavità cilindrica in mezzo elasto-plastico, in modo da tener conto anche della compressibilità del mezzo.
Secondo *Vesic* i coefficienti di capacità portante N_q e N_c si possono calcolare come segue:

$$N_q = \frac{3}{3-\sin\phi}\left\{\exp\left[\left(\frac{\pi}{2}-\phi\right)\tan\phi\right]\tan^2\left(45+\frac{\phi}{2}\right)I_{rr}^{(4\sin\phi)/[3(1+\sin\phi)]}\right\}$$

L'indice di rigidezza ridotto I_{rr} nella precedente espressione viene calcolato a partire dalla deformazione volumetrica ε_v.
L'indice di rigidezza I_r si calcola utilizzando il modulo di elasticità tangenziale G' e la resistenza a taglio *s* del terreno.
Quando si hanno condizioni non drenate o il suolo il suolo si trova in uno stato addensato, il termine ε_v può essere assunto pari a zero e si ottiene $I_{rr}=I_r$
E' possibile fare una stima di I_r con i valori seguenti:

TERRENO	**Ir**
Sabbia	75-150
Limo	50-75
Argilla	150-250

Il termine N_c della capacità portante viene calcolato:

$$N_c = (N_q - 1)\cot\phi \quad \text{(a)}$$

Quando $\phi = 0$ (condizioni non drenate)

$$N_c = \frac{4}{3}(\ln I_{rr} + 1) + \frac{\pi}{2} + 1$$

Metodo di Janbu
Janbu calcola N_q (con l'angolo ψ espresso in radianti) come segue:

$$N_q = \left(\tan\phi + \sqrt{1+\tan^2\phi}\right)^2 \exp(2\psi\tan\phi)$$

N_c si può ricavare dalla (a) quando $\phi > 0$.

Per $\phi = 0$ si usa $N_c = 5.74$

Formula di Hansen
La formula di Hansen vale per qualsiasi rapporto *D/B*, quindi sia per fondazioni superficiali che profonde, ma lo stesso autore introdusse dei coefficienti per meglio interpretare il comportamento reale della fondazione, senza di essi, infatti, si avrebbe un aumento troppo forte del carico limite con la profondità.

Per valori L/D>1:

$$d_c = 1 + 0.4 \tan^{-1} \frac{L}{D}$$

$$d_q = 1 + 2 \tan\phi (1 - \sin\phi)^2 \tan^{-1} \frac{L}{D}$$

Nel caso $\phi = 0$

D/B	*0*	*1*	*1.1*	*2*	*5*	*10*	*20*	*100*
d'_c	*0*	*0.40*	*0.33*	*0.44*	*0.55*	*0.59*	*0.61*	*0.62*

Nei fattori seguenti le espressioni con apici (') valgono quando $\phi = 0$.

Fattore di forma:

$$s'_c = 0.2 \cdot \frac{D}{L}$$

$$s_c = 1 + \frac{N_q}{N_c} \cdot \frac{D}{L}$$

$$s_q = 1 + \frac{D}{L} \cdot \tan\phi$$

$$s_q = 1 + \frac{D}{L} \cdot \tan\phi$$

$$s_\gamma = 1 - 0.4 \cdot \frac{D}{L}$$

Fattore di profondità:

$$d'_c = 0.4 \cdot k$$

$$d_c = 1 + 0.4k$$

$$d_q = 1 + 2 \tan\phi \cdot (1 - \sin\phi) \cdot k$$

$$d_\gamma = 1 \quad \text{per qualsiasi } \kappa$$

$$k = \tan^{-1} \frac{L}{D} \quad \text{se } \frac{L}{D} > 1$$

Resistenza del fusto
Il metodo utilizzato per il calcolo della capacità portante laterale è il metodo α, proposto da *Tomlinson (1971)*; la resistenza laterale viene calcolata nel seguente modo:

$$Q_l = (\alpha c + \sigma K \tan\delta) \cdot Al \cdot f_w$$

Al = superficie laterale del palo;
f_W = fattore di correzione legato alla tronco-conicità del palo, ossia la diminuzione percentuale del diametro del palo con
c = valore medio della coesione (o della resistenza a taglio in condizioni non drenate);
σ = pressione verticale efficace del terreno;
K = coefficiente di spinta orizzontale, dipendente dalla tecnologia di esecuzione del palo e dal precedente stato di addensamento, viene calcolato come segue:

Per pali infissi

$$K = 1 - \tan^2\phi$$

o, nel caso specifico, è possibile assegnare i seguenti valori proposti in tabella:

Palo	K	
	Terreno sciolto	Terreno denso
Acciaio	0.5	1
Calcestr. Pref.	1	2
Legno	1	3

Per pali trivellati

$$K = 1 - \mathrm{sen}\phi$$

δ = attrito palo-terreno funzione della scabrezza della superficie del palo;

Per pali infissi

$$\delta = 3/4\tan\phi$$

Per pali trivellati

$$\delta = \tan\phi$$

α = coefficiente d'adesione ricavato come di seguito riportato:

Pali trivellati:

Caquot – Kerisel $\alpha = \dfrac{100 + c^2}{100 + 7c^2}$

Meyerhof – Murdock (1963)

$\alpha = 1 - 0.1 \cdot c$ per $c < 5$ t/m^2

$\alpha = 0.525 - 0.005 \cdot c$ per $c \geq 5$ t/m^2

Whitaker – Cooke (1966)

$\alpha = 0.9$ per $c < 2.5$ t/m^2

$\alpha = 0.8$ per $2.5 \leq c < 5$ t/m^2

$\alpha = 0.6$ per $5 \leq c \leq 7.5$ t/m^2

$\alpha = 0.9$ per $c > 7.5$ t/m^2

Woodward (1961)

$\alpha = 0.9$ per $c < 4$ t/m^2

$\alpha = 0.6$ per $4 \leq c < 8$ t/m^2

$\alpha = 0.5$ per $8 \leq c < 12$ t/m^2

$\alpha = 0.4$ per $12 \leq c \leq 20$ t/m^2

$\alpha = 0.20$ per $c > 20$ t/m^2

Pali infissi

Coefficiente α per palo infisso	
$2.5 \leq c < 5$ t/m^2	$\alpha = 1.00$
$5 \leq c < 10$	$\alpha = 0.70$
$10 \leq c < 15$	$\alpha = 0.50$
$15 \leq c < 20$	$\alpha = 0.40$
$c \geq 20$	$\alpha = 0.30$

Attrito negativo

Quando un palo viene infisso o passa attraverso uno strato di materiale compressibile prima che si sia esaurito il processo di consolidazione, il terreno si muoverà rispetto al palo facendo insorgere sforzi attritivi tra palo e terreno che inducono al cosiddetto fenomeno dell'attrito negativo. L'effetto dell'attrito negativo è quello di aumentare il carico assiale sul palo, con conseguente aumento del cedimento, dovuto all'accorciamento elastico del palo stesso per effetto dell'aumento di carico. La forza che nasce per effetto dell'attrito negativo è stimata pari alla componente attritiva della resistenza laterale (vedi Resistenza del fusto) lungo la superficie laterale a contatto con lo strato in cui si genera tale fenomeno, ma di verso opposto all'attrito positivo. La risultante così determinata non viene detratta dal carico limite, ma da quello di esercizio.

Fattore di correzione in condizioni sismiche.

Criterio di Vesic
Secondo questo autore per tenere conto del fenomeno della dilatanza nel calcolo della capacità portante è sufficiente diminuire di *2°* l'angolo d'attrito degli strati di fondazione. Il limite di questo suggerimento è nel fatto che non tiene conto dell'intensità della sollecitazione sismica (espressa attraverso il parametro dell'accelerazione sismica orizzontale massima). Questo criterio pare però trovare conferma nelle osservazioni fatte in occasione di diversi eventi sismici.

Criterio di Sano
L'autore propone di diminuire l'angolo d'attrito degli strati portanti di una quantità data dalla relazione:

$$Dp = \mathrm{arctg}\left(\frac{a_{max}}{\sqrt{2}}\right)$$

dove a_{max} è l'accelerazione sismica orizzontale massima.
Questo criterio, rispetto a quello di ***Vesic***, ha il vantaggio di prendere in considerazione anche l'intensità della sollecitazione sismica. L'esperienza però dimostra che l'applicazione acritica di questa relazione può condurre a valori eccessivamente cautelativi di ***Qlim***.
Le correzioni di ***Sano*** e di ***Vesic*** si applicano esclusivamente a terreni incoerenti ben addensati. È errato applicarle a terreni sciolti o mediamente addensati, dove le vibrazioni sismiche producono il fenomeno opposto a quello della dilatanza, con aumento del grado di addensamento e dell'angolo d'attrito.

Cedimenti metodo di Davis-Poulos
Il cedimento verticale è stato calcolato con il metodo di *Davis-Poulos*, secondo il quale il palo viene considerato rigido (indeformabile) immerso in un mezzo elastico, semispazio o strato di spessore finito.
Si ipotizza che l'interazione palo-terreno sia costante a tratti lungo *n* superfici cilindriche in cui viene suddivisa la superficie laterale del palo.
Il cedimento della generica superficie *i* per effetto del carico trasmesso dal palo al terreno lungo la superficie j-esima può essere espresso:

$$W_{i,j} = (\tau_j / E) \cdot B \cdot I_{i,j}$$

Avendo indicato con:

τ_j = Incremento di tensione relativo al punto medio della striscia
E = Modulo elastico del terreno
B = Diametro del palo
$I_{i,j}$ = Coefficiente di influenza

Il cedimento complessivo si ottiene sommando $W_{i,j}$ per tutte le j aree

Cedimento Metodo Iperbolico
Il metodo iperbolico modificato rappresenta uno sviluppo dello studio di Chin (1970,1972,1983) che consente di stimare il cedimento di pali singoli partendo dall'idea che il diagramma carico-cedimento, per il corpo di un palo e la sua base, abbia un andamento iperbolico. I valori del *carico ultimo laterale* (Qsu) e la *resistenza di base ultima* (Qbu) rappresentano i termini asintotici della curva (figura a) *(Terzaghi, 1943)*. Sotto queste ipotesi è possibile giungere ad una rappresentazione linearizzata del problema considerando la variazione della quantità S/Q rispetto allo spostamento S (figura b).

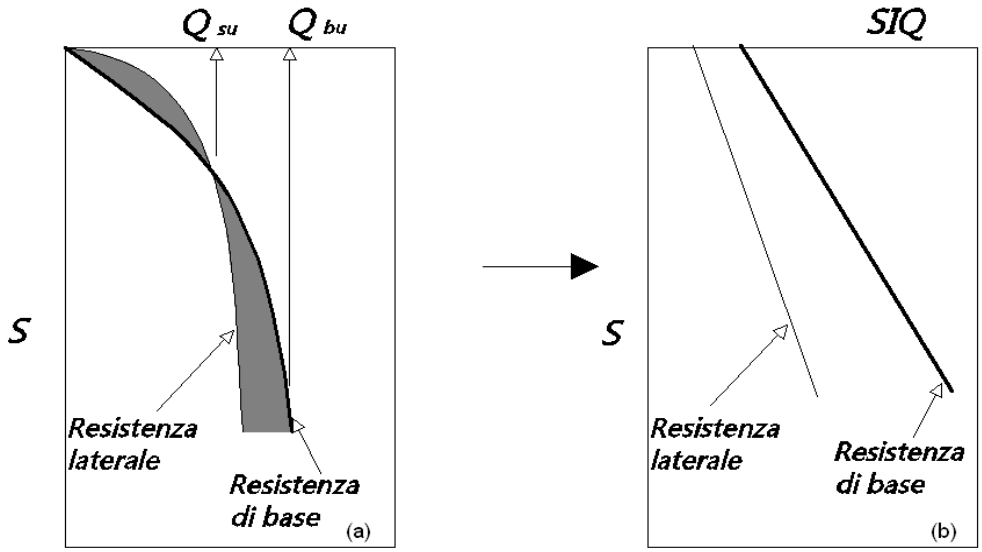

Grafici cedimento iperbolico (a) e linearizzato (b).

Grafici cedimento iperbolico (a) e linearizzato (b)

Lo studio di *Fleming* ha dimostrato che gli spostamenti totali stimati col metodo di *Chin* erano distorti dall'*accorciamento elastico* del corpo del palo e suggerì una tecnica semplificata per la quale la deformazione elastica del palo può essere determinata, con sufficiente accuratezza, sottraendo alla stima di *Chin* l'accorciamento del palo.

Considerando lo schema in figura l'accorciamento elastico del palo dipende dal carico applicato Q in rapporto all'attrito laterale ultimo Q_{su}. In particolare se $Q \leq Q_{su}$ la deformazione elastica del corpo del palo corrisponde alla somma dell'accorciamento elastico lungo la zona ad *attrito basso o nullo* e quello che si sviluppa lungo la parte *attiva* del fusto:

$$S_e = \frac{4}{\pi}\frac{Q(L_o + K_e L_a)}{d_s^2 E_c}$$

Se, invece, si ha che $Q > Q_{su}$ bisogna considerare un ulteriore accorciamento legato alla parte attiva del palo che deve essere aggiunta alla deformazione elastica:

$$S_e = \frac{4}{\pi}\frac{1}{d_s^2 E_C}[Q(L_o + L_a) - L_a Q_{su}(1 - k_e)]$$

I parametri della formula sono:

- ds: diametro testa del palo.
- Ec: modulo di elasticità del materiale del palo il cui valore può essere ricavato da una interpolazione lineare tra i valori di $Ec=26\cdot10^6$ kN/m^2 per calcestruzzo con forza specifica di 20 N/mm^2 e il valore di
- $Ec=40\cdot10^6$ kN/m^2 per calcestruzzo da 40 N/mm^2.
- Lo: lunghezza del palo ad attrito basso o nullo.
- La: lunghezza attiva del palo.
- ke: rapporto della lunghezza equivalente del fusto del palo rispetto alla lunghezza attiva La. Si può considerare un valore di 0.5 quando si ha un attrito che si sviluppa uniformemente lungo La oppure quando il palo è inserito in sabbia o ghiaia. Per pali in argilla caratterizzati da uno sforzo che cresce in profondità si può usare un valore di 0.45.

Lo spostamento del *palo rigido* può essere calcolato sapendo che la somma dell'attrito laterale e della resistenza di base corrisponde al carico totale applicato alla testa del palo.

$$Q=Q_s+Q_b$$

Considerando il palo rigido lo spostamento totale in testa è uguale a quello che si ottiene lungo il fusto ed è uguale a quello misurato alla base del palo:

$$S_t=S_s=S_b$$

Dal grafico linearizzato si può vedere che lo spostamento lungo il fusto del palo può essere calcolato come:

$$S_s = \frac{M_s d_s Q_s}{Q_{su} - Q_s}$$

In cui

- M_s: fattore adimensionale di flessibilità terreno/fusto.
- d_s: diametro testa.
- Q_s: attrito.
- Q_{su}: attrito ultimo determinato col metodo statico (condizione drenata)

L'equazione dello spostamento alla base del palo ricavata da Fleming è:

$$S_b = \frac{0.6 Q_{bu} Q_b}{d_b E_b (Q_{bu} - Q_b)}$$

dove

- d_b: diametro della base del palo.
- Q_b: resistenza alla base.
- Q_{bu}: resistenza ultima alla base
- E_b: modulo di taglio corrispondente a $Q_{bu}/4$

Infine, ponendo la condizione di uguaglianza Ss=Sb e considerando il carico totale applicato Q si ottiene lo spostamento totale di un palo rigido considerando solo i valori positivi della relazione:

$$S_t = \frac{-g \pm \sqrt{g^2 - 4fh}}{2f}$$

In cui le variabili sono così definite:

- $f = \eta(Q - \alpha) - \beta$
- $g = Q(\delta + \lambda\eta) - \alpha\delta - \beta\lambda$
- $h = \lambda\delta Q$
- $\alpha = Q_{su}$
- $\beta = d_b E_b Q_{bu}$
- $\lambda = M_s d_s$
- $\delta = 0.6 Q_{bu}$

- $\eta = d_b E_b$

Lo spostamento complessivo del palo comprende la componente di spostamento rigido e quella di accorciamento elastico.

Il modulo elastico del terreno E_b al di sotto della base del palo è legato alle caratteristiche del terreno ed è fortemente influenzato dalla tecnica di costruzione del palo. Fleming sostiene che è consigliabile che questo parametro di progetto sia determinato da un insieme accurato di prove in cui i pali sono caricati fino al punto in cui viene mobilitata una sostanziale quota della resistenza di punta. In mancanza di questi dati si può scegliere, cautelativamente, il valore di E_b da range di valori relativi al tipo di terreno e alla tecnica di costruzione del palo.

CARICO LIMITE ORIZZONTALE

Il carico limite orizzontale è stato calcolato secondo la teoria sviluppata da Broms il quale assume che il comportamento dell'interfaccia palo-terreno sia di tipo rigido perfettamente plastico, e cioè che la resistenza del terreno si mobiliti interamente per un qualsiasi valore non nullo dello spostamento a rimanga costante al crescere dello spostamento stesso.
Si assume che il comportamento flessionale del palo sia di tipo rigido-perfettamente plastico, vale a dire che le rotazioni elastiche del palo sono trascurabili finché il momento flettente non raggiunge il valore M_y di plasticizzazione.

Per i terreni coesivi Broms propone di adottare una reazione del terreno costante con la profondità pari a:

$$p = 9 \cdot c_u \cdot B$$

con reazione nulla fino alla profondità di 1.5 d; avendo indicato con:

c_u = Coesione non drenata,
B = Diametro del palo
p = Reazione del terreno per unità di lunghezza del palo.

Per i terreni incoerenti si assume che la resistenza vari linearmente con la profondità secondo la legge:

$$p = 3K_p \gamma z \cdot B$$

avendo indicato con:

p = Reazione del terreno per unità di lunghezza del palo;
K_p = Coefficiente di spinta passiva;
γ = Peso unità di volume del terreno;
z = Profondità;
B = Diametro del palo.

Palo in condizioni d'esercizio

Analisi del palo in condizioni di esercizio: **Metodo degli elementi finiti**.
Il metodo degli elementi finiti modella il palo di fondazione, sottoposto a carichi trasversali, in modo realistico in quanto fa uso sia degli spostamenti che delle rotazioni ai nodi per definire la linea elastica del palo, pertanto rappresenta il metodo più razionale ed efficace attualmente disponibile per analizzare questo tipo di strutture.
Di seguito si richiamano i fondamenti teorici del metodo indicando con **P** la matrice delle forze nodali esterne, con **F** quella delle forze interne e con **A** la matrice dei coefficienti di influenza che, per l'equilibrio tra forze esterne ed interne, lega le prime due secondo la ben nota forma:

$$\mathbf{P} = \mathbf{AF}$$

Gli spostamenti interni **e** (traslazioni e rotazioni) dell'elemento nel generico nodo sono legati agli spostamenti esterni **X** (traslazioni e rotazioni) applicati ai nodi, dalla seguente relazione:

$$\mathbf{e} = \mathbf{BX}$$

dove la matrice **B** è dimostrato essere la trasposta della matrice **A**.
D'altra parte, le forze interne **F** sono legate agli spostamenti interni **e** dalla seguente espressione:

$$\mathbf{F} = \mathbf{Se}$$

Applicando le consuete sostituzioni, si ottiene:

$$\mathbf{F} = \mathbf{SA^TX}$$

e quindi

$$\mathbf{P} = \mathbf{AF} = \mathbf{A\ SA^TX}$$

Pertanto, calcolando l'inversa della matrice $\mathbf{A\ SA^T}$ si ricava l'espressione degli spostamenti esterni X:

$$\mathbf{X} = (\mathbf{A\ SA^T})^{-1}\mathbf{P}$$

Noti, quindi, gli spostamenti **X** è possibile ricavare le forze interne **F** necessarie per il progetto della struttura.
La matrice $\mathbf{A\ SA^T}$ è nota come matrice di rigidezza globale in quanto caratterizza il legame tra spostamenti e forze esterni nodali.
Il metodo ad elementi finiti ha, tra l'altro, il vantaggio di consentire di mettere in conto, come condizioni al contorno, rotazioni e spostamenti noti.
Le reazioni nodali delle molle che schematizzano il terreno vengono considerate come forze globali legate al modulo di reazione e all'area d'influenza del nodo. Nella soluzione ad elementi finiti per pali soggetti a carichi trasversali, il modulo di reazione viene considerato nella forma:

$$k_S = A_S + B_S Z^n$$

o, non volendo far crescere illimitatamente il k_S con la profondità, nella forma:

$$k_S = A_S + B_S \tan^{-1}(Z/B)$$

nella quale Z è la profondità e B è il diametro del palo.
I valori di A_S e $B_S Z^n$ sono ottenuti dall'espressione della capacità portante (Bowles) con fattori correttivi s_i, d_i, e i_i pari a 1:

$$k_S = q_{ult}/\Delta H = C(cN_C + 0.5\gamma BN_\gamma)$$

$$BsZn = C(\gamma N_q Z^1)$$

Dove C = 40 è ottenuto in corrispondenza di un cedimento massimo di 25 mm.

Momenti cinematici
In presenza dell'azione sismica la risposta del palo è il risultato di una complessa interazione terreno-palo, resa di difficile inerpretazione a causa dei fenomeni di non linearità nel terreno e degli effetti cinematici associati al moto del terreno.

Generalmente, alle sollecitazioni trasmesse dalla sovrastuttura si aggiungono, applicando il principio di sovrapposiszione degli effetti, quelle derivanti dall'interazione cinematica che produce nei pali sollecitazioni aggiuntive dipendenti principalmente dalla rigidezza relativa palo-terreno.

Dalla letteratura esistente in merito a questo tipo di studi, emerge che nel caso di palo immerso in terreni stratificati, la sollecitazione flettente subisce un pronunciato incremento in prossimità dell'interfaccia fra strati di differente rigidezza e tale incremento è tanto maggiore quanto più elevato è il contrasto di rigidezza. In alcuni casi il valore del momento prodotto da questo effetto potrebbe superare quello che insorge nei pali in testa in presenza di incastro.

Da un'analisi di numerosi risultati, *Nikolaou et al.2001*, ha proposto una relazione che consente di calcolare, in maniera approssimata, il momento flettente massimo in corrispondenza dell'interfaccia tra due strati di differente rigidezza, in condizioni di moto stazionario con frequenza prossima alla frequenza fondamentale del deposito in cui è immerso il palo:

$$M = 0.042 \cdot \tau_c \cdot d^3 \cdot \left(\frac{L}{d}\right)^{0.30} \cdot \left(\frac{E_p}{E_1}\right)^{0.65} \cdot \left(\frac{E_p}{E_1}\right)^{0.65} \left(\frac{V_{s2}}{V1}\right)^{0.50}$$

in cui $\tau_c = a_{max}\ \rho_1 H_1$; amax accelerazione sismica, ρ_1 densità del terreno, H_1 spessore dello strato, V_{s1} e V_{s2}, rispettivamente, la velocità delle onde di taglio nei due strati; E_1 è modulo di rigidezza dello strato superiore di terreno, E_p modulo di elasticità del palo, d diametro del palo, L lunghezza del palo.

Dati generali...

==========

Descrizione	1
Diametro punta	0,16 m
Lunghezza	3,50 m
Tipo	Infisso
Portanza di punta calcolata con:	Berezantzev
Profondità falda da piano campagna	2,00 m

Archivio materiali

Conglomerati

Nr.	Classe Calcestruzzo	fck,cubi [Kg/cm2]	Ec [Kg/cm2]	fck [Kg/cm2]	fcd [Kg/cm2]	fctd [Kg/cm2]	fctm [Kg/cm2]
1	C20/25	250	299600	200	113.3	10.1	22.1
2	C25/30	300	314750	250	141,6	11,4	25,6
3	C28/35	350	323080	280	158,6	12,6	27,6
4	C40/50	500	352200	400	226,6	16,3	35

Acciai:

Nr.	Classe Acciaio	Es [Kg/cm2]	fyk [Kg/cm2]	fyd [Kg/cm2]	ftk [Kg/cm2]	ftd [Kg/cm2]	ep_tk	epd_ult	ß1*ß2 in.	ß1*ß2 fin.
1	B450C	2000000	4500	3913	4500	3913	.075	.0675	1	0,5
2	B450C*	2000000	4500	3913	5400	4500	.075	.0675	1	0,5
3	B450C**	2000000	4500	3913	4582	3985	.012	.01	1	0,5
4	S235H	2141370	2447,28	2128,11	3670,92	2128,11	0,012	0,01	1	0,5
5	S275H	2141370	2855,16	2482,97	4384,71	2482,97	0,012	0,01	1	0,5
6	S355H	2141370	3670,92	3191,66	5200,47	3670,92	0,012	0,01	1	0,5

Stratigrafia

Nr.: Numero dello strato. Hs: Spessore dello strato. Fi: Angolo di attrito. c: Coesione Alfa: Coefficiente adesione attrito laterale. Vs: Velocità onde di taglio.

Strat. 1

Nr.	Hs	Peso unità di Volume [kg/m³]	Peso Unità di volume Saturo [kg/m³]	c [kg/cm²]	Fi (°)	Attrito negativo	Alfa	Modulo elastico [kg/cm²]	Vs [m/s]	Descrizione litologica
1	1,00	1800,00	1750,00	0,04	20,00	No	0,70	10,00	0	Terreno Vegetale
2	5,00	1900,00	1850,00	0,15	26,00	No	0,70	30,00	0	Argilla da colore marrone a color nocciola

Carico limite

Stratigrafia	Nq	Nc	Fi/C strato punta Palo (°)/[kg/cm²]	Peso palo [kg]	Carico limite punta [kg]	Carico limite laterale [kg]	Carico limite [kg]	Attrito negativo [kg]	Carico limite orizzontale [kg]
A1+M1+R3	22,07	37,25	29,5/0,15	38,06	0,00	2830,04	2868,10	--	--

RESISTENZA DI PROGETTO CARICHI ASSIALI

==========

Resistenza caratteristica carichi assiali. Nome combinazione: A1+M1+R3

==========

Numero verticali di indagine	1
Fattore correlazione verticale indagate media (xi3)	1,70
Fattore correlazione verticale indagate minima (xi4)	1,70

	Rc, Min [kg]	Rc, Media [kg]	Rc, Max [kg]
Base	--	--	--
Laterale	2830,04	2830,04	2830,04
Totale	2868,10	2868,10	2868,10

Coefficiente parziale resistenza caratteristica	R3
Laterale	1,25
Resistenza di progetto laterale	1331,78 kg
Resistenza di progetto	1369,84 kg
Azioni di progetto	-1124,30 kg
Fattore sicurezza verticale	1,22

Modello ad elementi finiti

Max spostamento lineare del terreno	0,013 cm
Tipo analisi	Lineare
Massimo numero di iterazioni	1,00
Fattore di riduzione molla fondo scavo	1,00
Numero di elementi	9,00
Nodo sulla superficie del terreno [< n° nodi]	1,00
Modulo di reazione Ks	Bowles

19 FONDAZIONE DELLE PIASTRE: VRIFICHE ALLO STATO LIMITE DI TIPO GEOTECNICO

Sulle piastre di fondazione sono state condotte le verifiche di stabilità nei confronti dello scorrimento sul piano di posa e della rottura dell'insieme fondazione-terreno. Le verifiche sono state condotte secondo quanto stabilito al Capitolo 6.4 D.M. 17/01/2018.

19.1 VERIFICA ALLO SCORRIMENTO

La verifica allo scorrimento è effettuata come equilibrio alla traslazione di un corpo rigido. Ciascuna forza ha una componente parallela al piano di fondazione, che, a seconda della direzione, ha un effetto stabilizzante o instabilizzante, e una componente ad esso normale che, se di compressione, genera una reazione di attrito che si oppone allo scorrimento. Un'ulteriore parte dell'azione stabilizzante è costituita dall'eventuale forza di adesione che si suscita tra il terreno e la fondazione.
Le forze destabilizzanti sono costituite dalle componenti di sforzo di taglio lungo il piano di scorrimento, nelle direzioni x ed y, mentre le forze stabilizzanti sono costituite dal peso proprio del manufatto e dal risultante delle forze verticali esterne in fondazione, moltiplicate per un coefficiente di attrito lungo il piano di scorrimento.
La verifica di sicurezza è condotta verificando che la sollecitazione instabilizzante sia minore o al più uguale a quella stabilizzante.

19.2 VERIFICA DEL CARICO LIMITE

La resistenza offerta dal terreno nei confronti dei carichi trasmessi da una sovrastruttura dipende da una serie di fattori sia interni, facenti parte cioè della natura costitutiva del terreno, che esterni, quali ad esempio le caratteristiche geometriche della fondazione, il livello della falda idrica e le condizioni di stress al contorno.
Nella sostanza il modello reologico del terreno di fondazione influenza in maniera determinante il suo comportamento sotto carico statico e/o dinamico.
Nella pratica geotecnica, così come nel presente studio, si adotta l'ipotesi di comportamento rigido-plastico; si assume, cioè, che prima della rottura, il terreno, non subisca alcuna deformazione apprezzabile, deformazione che si manifesta contemporaneamente lungo tutti i punti della superficie.
La verifica della capacità portante consiste nel confronto tra la pressione verticale di esercizio in fondazione e la pressione limite per il terreno. Le verifiche sono state condotte secondo la teoria di Brinch-Hansen:

$$q_{lim} = q\ Nq\ Yq\ iq\ dq\ bq\ gq\ sq + c\ Nc\ Yc\ ic\ dc\ bc\ gc\ sc + \frac{1}{2}\ G\ B'\ Ng\ Yg\ ig\ bg\ sg$$

dove

Caratteristiche geometriche della fondazione:

q = carico sul piano di fondazione

B = lato minore della fondazione

L = lato maggiore della fondazione

D = profondità della fondazione

α = inclinazione base della fondazione

G = peso specifico del terreno

B' = larghezza di fondazione ridotta = B - 2 eB

L' = lunghezza di fondazione ridotta = L - 2 eL

Caratteristiche di carico sulla fondazione:

H = risultante delle forze orizzontali

N = risultante delle forze verticali

eB = eccentricità del carico verticale lungo B

eL = eccentricità del carico verticale lungo L

FhB = forza orizzontale lungo B

FhL = forza orizzontale lungo L

Caratteristiche del terreno di fondazione:

β = inclinazione terreno a valle

c = Cu = coesione non drenata (condizioni non drenate)

c = c' = coesione drenata (condizioni drenate)

Γ = peso specifico apparente (condizioni non drenate)

Γ = Γ' = peso specifico sommerso (condizioni drenate)

ϕ = 0 = angolo di attrito interno (condizioni non dreante)

ϕ = ϕ' = angolo di attrito interno (condizioni drenate)

Fattori di capacità portante:

$$Nq = \tan^2(\frac{\pi}{4} + \frac{\phi}{2})\exp(\pi + \tan\phi)$$ (*Prandtl-Caquot-Meyerhof*)

$$Ng = 2(Nq + 1)\tan\phi$$ (*Vesic*)

$$N_c = \frac{N_q - 1}{tg\phi'}$$ in condizioni drenate (*Reissner-Meyerhoff*)

$$N_c = 5{,}14$$ in condizioni non drenate

Indici di rigidezza (condizioni drenate):

$$I_r = \frac{G}{c' + q'tg\phi'}$$ indice di rigidezza

$$G = \frac{E}{2(1+\mu)}$$ modulo elastico tangenziale

E = modulo elastico normale

μ =coefficiente di Poisson

$$I_{cr} = \frac{1}{2}\exp\left[\frac{3{,}3 - 0{,}45\frac{B}{L}}{tg\left(45 - \frac{\phi'}{2}\right)}\right]$$ indice di rigidezza critico

Coefficienti di punzonamento (Vesic):

$$Yq = Yg = \exp\left[\left(0{,}6\frac{B}{L} - 4{,}4\right)\tan\phi' + \frac{3{,}07 sin\phi' \log(2Ir)}{1 + sin\phi'}\right]$$ in condizioni drenate, per Ir ≤ Icr

$$Yc = Yq - \frac{1 - Yq}{Nq \times \tan\phi'}$$

Coefficienti di inclinazione del carico (Vesic):

$$ig = \left(\frac{1 - H}{N + B \times L \times c' \times \cot ang\phi'}\right)^{m+1}$$

$$iq = \left(\frac{1 - H}{N + B \times L \times c' \times \cot\phi'}\right)^{m}$$

$$i_c = i_q - \frac{1 - i_q}{N_c * tg\phi'}$$ in condizioni drenate

$$ic = 1 - \frac{m \times H}{B \times L \times cu \times Nc}$$ in condizioni non drenate

essendo:

$$m = mB\cos^2\Theta + mLsin^2\Theta$$

$$mB = \frac{2 + \frac{B'}{L'}}{1 + \frac{B'}{L'}} \qquad mL = \frac{2 + \frac{L'}{B'}}{1 + \frac{L'}{B'}} \qquad \Theta = \tan^{-1}\frac{Fh \times B}{Fh \times L}$$

Coefficienti di affondamento del piano di posa (Brinch-Hansen):

$$dq = 1 + 2\tan\phi(1 - sin\phi)^2 \operatorname{arctg}\frac{D}{B'}$$ per D > B'

$$dq = 1 + 2\frac{D}{B'}\tan\phi(1 - sin\phi)^2$$ per D ≤ B'

$$dc = dq - \frac{1 - dq}{Nc \times \tan\phi}$$ in condizioni drenate

$$dc = 1 + 0{,}4 arc\tan\frac{D}{B'}$$ per D > B' in condizioni non drenate

$$dc = 1 + 0{,}4\frac{D}{B'}$$ per D ≤ B' in condizioni non drenate

Coefficienti di inclinazione del piano di posa:

$$bg = \exp(-2{,}7\alpha\tan\phi)$$

$$b_c = b_q = \exp(-2\alpha tg\phi')$$ in condizioni drenate

$b_c = 1 - \frac{\alpha}{147}$ in condizioni non drenate

$b_q = 1$ in condizioni non drenate

Coefficienti di inclinazione del terreno di fondazione:

$gc = gq = \sqrt{1 - 0{,}5 \tan \beta}$ in condizioni drenate

$gc = 1 - \frac{\beta}{147}$ in condizioni non drenate

$gq = 1$ in condizioni non drenate

Coefficienti di forma (De Beer):

$sg = 1 - 0{,}4 \frac{B'}{L'}$

$sq = 1 + \frac{B'}{L'} \tan \phi$

$sc = 1 + \frac{B'}{L'} \frac{Nq}{Nc}$

19.3 CALCOLO DEI CEDIMENTI

Il calcolo viene eseguito sulla base della conoscenza delle tensioni nel sottosuolo.

$$\mu = \int \frac{\sigma(z)}{E} dz$$

Essendo:

- E = modulo elastico o edometrico;
- σ(z) = tensione verticale nel sottosuolo dovuta all'incremento di carico q.

La distribuzione delle tensioni verticali viene valutata secondo l'espressione di Steinbrenner, considerando la pressione agente uniformemente su una superficie rettangolare di dimensioni B e L:

$$\sigma(z) = \frac{q}{4\pi} \left[\frac{2 \times M \times N \times \sqrt{V} \times (V+1)}{V(V+V1)} + \left| arc \tan \frac{2 \times M \times N \times \sqrt{V}}{V - V1} \right| \right]$$

con: $M = B / z$; $N = L / z$; $V = M^2 + N^2 + 1$; $V1 = (M \times N)^2$

20 PROGETTO E VERIFICA FONDAZIONI CONTROL ROOM

L'edificio **"Control Room"** è destinato ad ospitare gli uffici e relativi servizi, nonchè un deposito materiali.

La struttura avrà forma rettangolare con dimensioni planimetriche di 12,00 m x 5,00 m, e si svilupperà su un solo livello con altezza massima dal piano di campagna pari a 4,5 m.

La struttura è composta da n.4 shelter prefabbricati affiancati, che verranno posati sopra una fondazione superficale, composta da una piatra di dimensioni planimetriche pari a 13.0 m x 6.0 m e spessore 0.4 m tutti al di sotto del piano campagna.

Le pareti e la copertura sono costituite da pannelli prefabbricati termoisolanti.

L'edificio presenta 3 distinte aperture, una per il locale uffici, una per il locale quadri SCADA e uno per il deposito/magazzino.

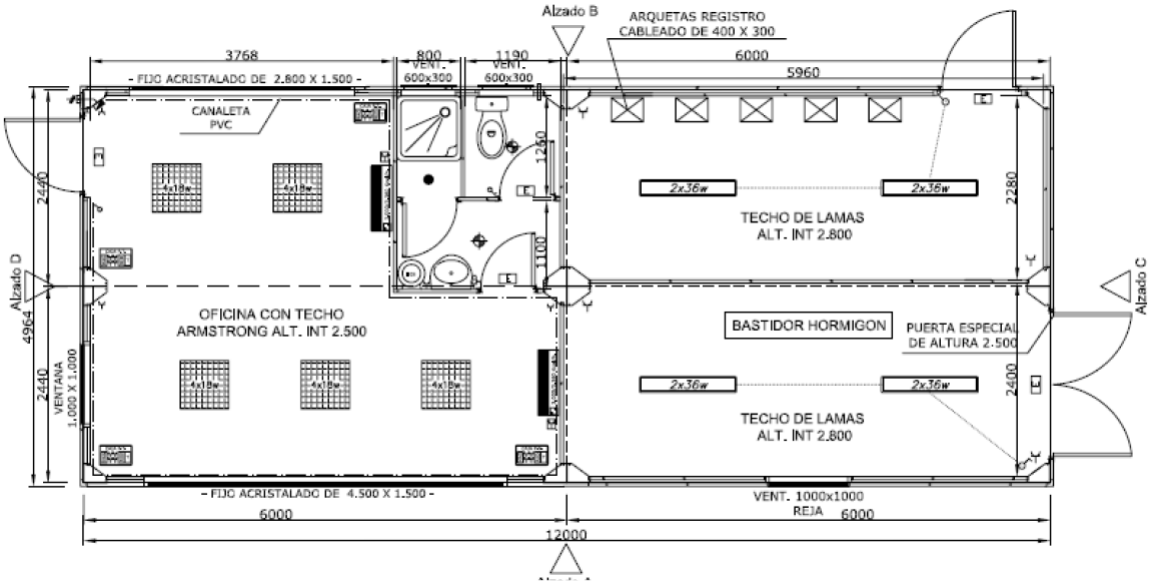

Layout Control Room

Per ulteriori dettagli si rimanda all' elaborato grafico G.2.3.4.2- MARE649PDGpld0103R0.

20.1 FONDAZIONE CONTROL ROOM: ANALISI DEI CARICHI

La controol room è un edificio ” destinato ad ospitare gli uffici e relativi servizi, nonchè un deposito materiali. Nell'analisi dei carichi sono stati valutati:

- Peso proprio strutturale dei moduli prefabbricati;
- Carico variabile uniformemente distribuito internamente per tenere conto dell'uso dell'edificio con categoria E “Aree per immagazzinamento e uso commerciale ed uso industriale” ai sensi del prospetto 3.1.II della normativa tecfnica di riferimento NTC 17-07-2018.
- Peso proprio della fondazione, combinato con i restanti carichi sopra descritti.

A seguire una sintesi dei carichi applicati e delle dimensioni di progetto:

Peso strutturale a modulo	1200	kg
Peso strutturale totale	4800	kg
Carico accidentale variabile	250	kg/m^2
Carico neve	3342,1	Kg
Carico vento	106,3	kg/m2

Dimensioni planimetriche		
L_1	13	m
L_2	6	m
h	0,4	m

21 PROGETTO E VERIFICA FONDAZIONI POWER STATION

Le Power Station (o cabine di campo) hanno la duplice funzione di raccogliere l'energia elettrica proveniente dall'impianto fotovoltaico in corrente continua (CC) e trasformarla in corrente alternata (CA) attraverso gli inverter in esse presenti e convogliare le linee AC presso appositi quadri di parallelo; a valle degli inverter si avrà il passaggio nei trasformatori all'interno dei quali avverrà la trasformazione da da bassa tensione (BT) fino a 36 kV. L'energia prodotta dai sistemi di conversione CC/CA (inverter di stringa), raccolta in appositi quadri di parallelo a 600 V, sarà immessa nel lato BT di un trasformatore 36/0,6 kV di potenza variabile in funzione dei campi.
Ciascuna Power Station conterrà al suo interno un numero di 1 inverter in corrente continua collegato in parallelo ad un quadro in bassa tensione per la protezione dell'interconnessione tra inverter e il trasformatore. Il progetto prevede due differenti tipologie di PS (senza variazione dimensionale):

- **Power station tipo A**, produttore SMA modello MVPS 2660-S2, con n.1 trasformatore a BT/AT 36/0,66 kV da 2.400 kVA;
- **Power station tipo B**, produttore SMA modello MVPS-S2, con n.1 trasformatore a BT/AT 36/0,66 kV da 3.960 kVA.

Power station tipo

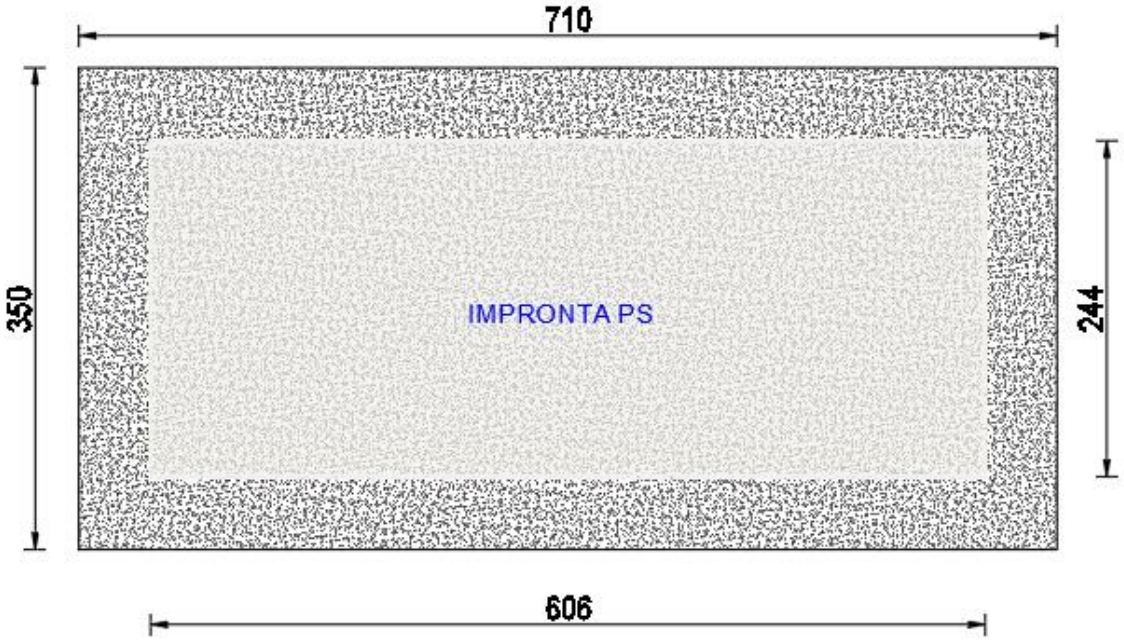

Pianta fondazione PS

Per ulteriori dettagli si rimanda all' elaborato grafico G.2.3.3- MARE649PDGpld101R0.

21.1 FONDAZIONE POWER STATION: ANALISI DEI CARICHI

La power station è destinata ad ospitare, come visibile nelle immagini riportate nel paragrafo precedente:

- un trasformatore 36/0,63 kV di potenza variabile;
- 1 inverter in corrente continua collegati in parallelo ad un quadro in bassa tensione per la protezione dell'interconnessione tra gli inverter e il trasformatore.
- carico variabile uniformemente distribuito internamente per tenere conto dell'uso dell'edificio con categoria E "Aree per immagazzinamento e uso commerciale ed uso industriale" ai sensi del prospetto 3.1.II della normativa tecfnica di riferimento NTC 17-07-2018.

Questi elementi poggiano direttamente al di sopra di una piastra di fondazione con dimensioni planimetriche pari a 7.1 m x 3.5 m e spessore sotto il pc pari a 0.4m.

A ciascuno degli elementi sopra descritti, è associato un carico in fondazione in uno con carico accidentale variabile dovuto alla presenza di ulteriore strumentazione mobile.

A seguire un resoconto dei carichi applicati e della dimensione effettiva della piastra di fondazione di progetto.

Peso inverter	1800	kg
Peso inverter totale	7200	kg
Peso trasformatore	21000	kg
Carico accidentale variabile	250	kg
Carico neve	2481,5	Kg
Carico vento	106,3	kg/m2

Dimensioni planimetriche		
L_1	7,1	m
L_2	3,5	m
h	0,4	m

La verifica geotecnica delle fondazioni è stata effettuata per una sola PS nelle condizioni geologiche maggiormente sfavorevoli ovvero Modelllo Geotecnico Caltagirone 2.

22 PROGETTO E VERIFICA FONDAZIONI CABINA MTR MINEO

L'edificio denominato **"Main Technical Room",** è destinato ad ospitare i quadri di media tensione per il collettamento dell'energia proveniente dai sottocampi, il parallelo e la partenza verso la cabina di consegna.

La struttura avrà forma rettangolare con dimensioni planimetriche di 13,50 m x 4,00 m, e si svilupperà su un solo livello con altezza massima dal piano di campagna pari a 3,20m. La struttura portante verticale sarà costituita da pilastri in c.a. collegati ad una fondazione superficale, composta da una piatra di fondazione dalle dimensioni planimetriche pari a 14.5 m x 5.0 m e spessore 0.4 m tutto al di sotto del piano campagna.

La copertura andrà realizzata con solaio in laterocemento e traveti precompressi. Il calcolo strutturale è realizzato in accordo a quanto previsto dal DM 17/01/2018 norme tecniche per le costruzioni, tenendo conto delle azioni sismiche.

Le verifiche geotecniche delle fondazioni sono riportate nella relazione specialistica allegata al progetto definitivo, mentre per quel che concerne le verifiche della struttura in c.a. saranno riportate nella relazione specialistica insieme ai tabulati di calcolo.

L'edificio presenta due distinte aperture, una per il locale quadri MT e l'altra per il locale trafo ausiliari, oltre alle griglie per l'areazione dei locali.

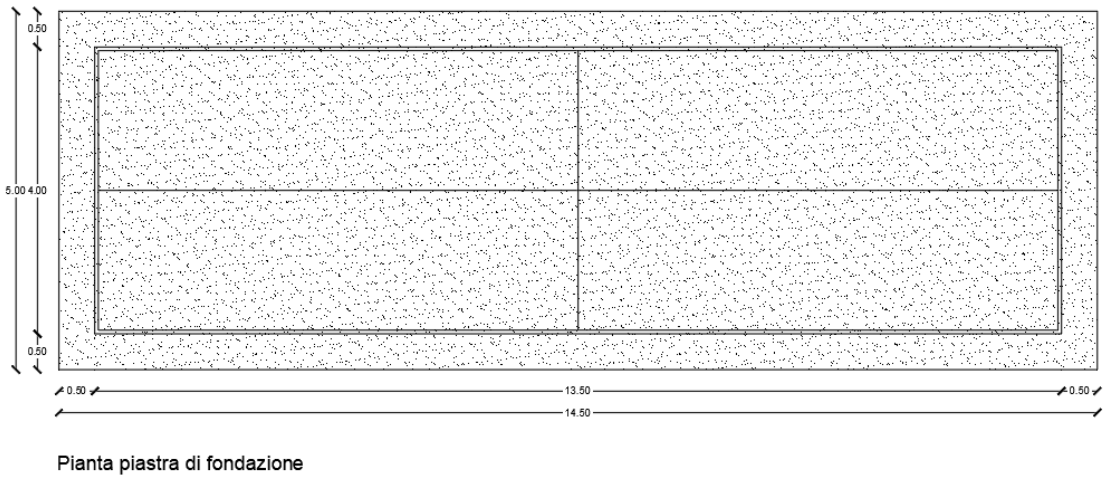

Layout MTR

Per ulteriori dettagli si rimanda all' elaborato grafico G.2.3.4.1- MARE649PDGpld0102R0.

22.1 FONDAZIONE MTR: ANALISI DEI CARICHI

L'edificio denominato **"Main Technical Room",** è destinato ad ospitare i quadri di media tensione per il collettamento dell'energia proveniente dai sottocampi, il parallelo e la partenza verso la cabina di consegna.

La struttura portante verticale sarà costituita da pilastri in c.a. collegati ad una fondazione superficale, composta da una piatra di fondazione dalle dimensioni planimetriche pari a 13,50 m x 4.0 m e spessore 0.4 m tutto al di sotto del piano campagna.

Nell'analisi dei carichi sono stati valutati:

- Carico trasformatore MT;
- Carico quadri MT;
- Carico altre apparecchiature di natura elettrica;
- Carico variabile uniformemente distribuito internamente per tenere conto dell'uso dell'edificio con categoria B "uffici non aperti al pubblico" ai sensi del prospetto 3.1.II della normativa tecfnica di riferimento NTC 17-07-2018.
- Peso proprio della struttura in elevazione.

A seguire uno specchietto di sintesi della dimensione della fondazione e dei carichi su essa trasmessi:

Dimensioni planimetriche		
L_1	14,5	m
L_2	5	m
h	0,4	m

Carico Trasformatore MT	5000	kg
Carico quadri MT	5000	kg
Carico restanti apparecchiature	50000	kg
Carico accidentale variabile	200	kg/m^2
Peso proprio struttura	60000	kg

23 PROGETTO E VERIFICA FONDAZIONI CABINA MTR CALTAGIRONE

L'edificio denominato **"Main Technical Room",** è destinato ad ospitare i quadri di media tensione per il collettamento dell'energia proveniente dai sottocampi, il parallelo e la partenza verso la cabina di consegna.

La struttura avrà forma rettangolare con dimensioni planimetriche di 12,00 m x 4,00 m, e si svilupperà su un solo livello con altezza massima dal piano di campagna pari a 3,20m. La struttura portante verticale sarà costituita da pilastri in c.a. collegati ad una fondazione superficale, composta da una piatra di fondazione dalle dimensioni planimetriche pari a 13.0 m x 5.0 m e spessore 0.4 m tutto al di sotto del piano campagna.

La copertura andrà realizzata con solaio in laterocemento e traveti precompressi. Il calcolo strutturale è realizzato in accordo a quanto previsto dal DM 17/01/2018 norme tecniche per le costruzioni, tenendo conto delle azioni sismiche.

Le verifiche geotecniche delle fondazioni sono riportate nella relazione specialistica allegata al progetto definitivo, mentre per quel che concerne le verifiche della struttura in c.a. saranno riportate nella relazione specialistica insieme ai tabulati di calcolo.

L'edificio presenta due distinte aperture, una per il locale quadri MT e l'altra per il locale trafo ausiliari, oltre alle griglie per l'areazione dei locali.

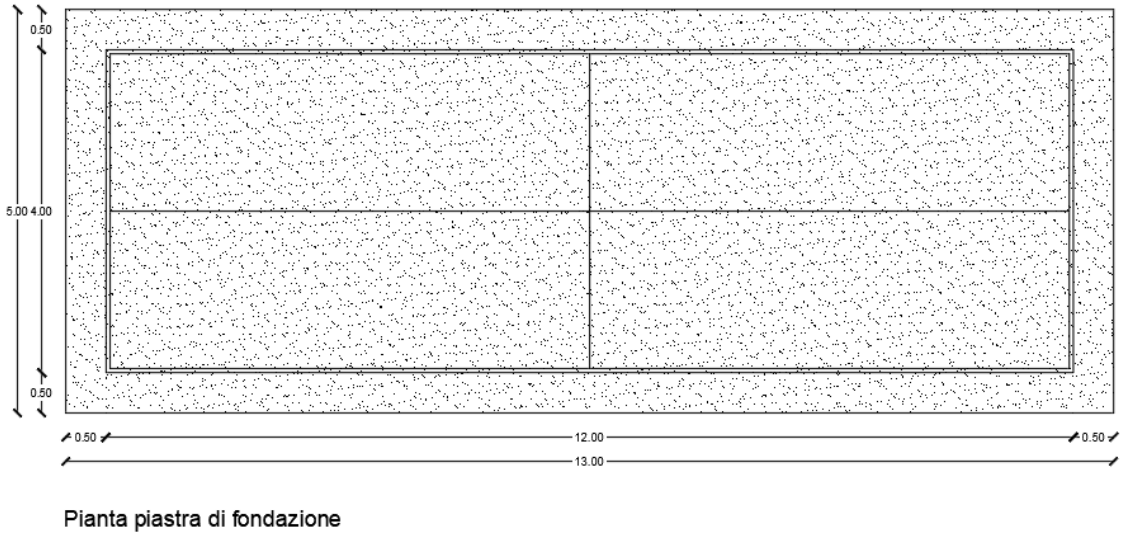

Layout MTR

Per ulteriori dettagli si rimanda all' elaborato grafico G.2.3.4.1- XELI719PDGpld066R0.

23.1 FONDAZIONE MTR: ANALISI DEI CARICHI

L'edificio denominato **"Main Technical Room",** è destinato ad ospitare i quadri di media tensione per il collettamento dell'energia proveniente dai sottocampi, il parallelo e la partenza verso la cabina di consegna.

La struttura portante verticale sarà costituita da pilastri in c.a. collegati ad una fondazione superficale, composta da una piatra di fondazione dalle dimensioni planimetriche pari a 12.0 m x 4.0 m e spessore 0.4 m tutto al di sotto del piano campagna.

Nell'analisi dei carichi sono stati valutati:

- Carico trasformatore MT;
- Carico quadri MT;
- Carico altre apparecchiature di natura elettrica;
- Carico variabile uniformemente distribuito internamente per tenere conto dell'uso dell'edificio con categoria B "uffici non aperti al pubblico" ai sensi del prospetto 3.1.II della normativa tecfnica di riferimento NTC 17-07-2018.
- Peso proprio della struttura in elevazione.

A seguire uno specchietto di sintesi della dimensione della fondazione e dei carichi su essa trasmessi:

Dimensioni planimetriche		
L_1	13	m
L_2	5	m
h	0,4	m

Carico Trasformatore MT	5000	kg
Carico quadri MT	5000	kg
Carico restanti apparecchiature	50000	kg
Carico accidentale variabile	200	kg/m^2
Peso proprio struttura	60000	kg

24 PROGETTO E VERIFICA FONDAZIONI EDIFICIO PRODUTTORE 36 KV

Per tutti i dettagli relativi al dimensionamento dell'edificio produttore 36 kV si rimanda all'elaborato strutturale e relativi allegati.

DATI GENERALI

COEFFICIENTI PARZIALI GEOTECNICA		
	TABELLA M1	TABELLA M2
Tangente Resist. Taglio	1,00	
Peso Specifico	1,00	
Coesione Efficace (c'k)	1,00	
Resist. a taglio NON drenata (cuk)	1,00	
Tipo Approccio	Combinazione Unica: (A1+M1+R3)	
Tipo di fondazione	Su Pali Infissi	

	COEFFICIENTE R1	COEFFICIENTE R2	COEFFICIENTE R3
Capacita' Portante			2,30
Scorrimento			1,10
Resist. alla Base			1,15
Resist. Lat. a Compr.			1,15
Resist. Lat. a Traz.			1,25
Carichi Trasversali			1,30
Fattore di correlazione CSI per il calcolo di Rk pali			1,70

CRITERI DI PROGETTO GEOTECNICI - FONDAZIONI SUPERFICIALI

IDEN	CARATTERISTICHE DI SITO						IDEN	CARATTERISTICHE DI SITO						IDEN	CARATTERISTICHE DI SITO					
Crit N.ro	Falda (m)	Affond (m)	Ricopr (m)	Pend.X (grd)	Pend.Y (Grd)		Crit N.ro	Falda (m)	Affond (m)	Ricopr (m)	Pend.X (grd)	Pend.Y (Grd)		Crit N.ro	Falda (m)	Affond (m)	Ricopr (m)	Pend.X (grd)	Pend.Y (Grd)
1		0,00	0,00	0	0		2	6,00	1,50	0,00	0	0								

GEOMETRIA TRAVI WINKLER

IDENTIFICATIVO						COORDINATE 3D ESTREMI ASTA WINKLER						DATI IMPRONTA				
Trave N.ro	Ast3d N.ro	Fil In.	Fil Fin	Nod3d Iniz.	Nod3d Fin.	X3dIn. (m)	Y3dIn. (m)	Z3dIn. (m)	X3dFin (m)	Y3dFin (m)	Z3dFin (m)	Xfond (m)	Yfond (m)	Zfond (m)	Bfond (m)	Lfond (m)
1	1	1	2	1	2	0,00	0,00	0,00	4,14	0,00	0,00	2,22	0,15	1,40	1,10	4,14
2	2	2	3	2	3	4,14	0,00	0,00	8,35	0,00	0,00	6,49	0,15	1,40	1,10	4,21
3	3	3	4	3	4	8,35	0,00	0,00	13,52	0,00	0,00	11,19	0,15	1,40	1,10	5,17
4	4	4	5	4	5	13,52	0,00	0,00	18,69	0,00	0,00	16,35	0,15	1,40	1,10	5,17
5	5	5	13	5	6	18,69	0,00	0,00	23,14	0,00	0,00	21,17	0,15	1,40	1,10	4,45
6	6	8	14	7	8	18,69	4,60	0,00	23,14	4,60	0,00	21,17	4,45	1,40	1,10	4,45
7	7	9	8	9	7	13,52	4,60	0,00	18,69	4,60	0,00	16,35	4,45	1,40	1,10	5,17
8	8	10	9	10	9	8,35	4,60	0,00	13,52	4,60	0,00	11,19	4,45	1,40	1,10	5,17
9	9	11	10	11	10	4,14	4,60	0,00	8,35	4,60	0,00	6,49	4,45	1,40	1,10	4,21
10	10	12	11	12	11	0,00	4,60	0,00	4,14	4,60	0,00	2,22	4,45	1,40	1,10	4,14
11	11	1	12	1	12	0,00	0,00	0,00	0,00	4,60	0,00	0,20	2,30	1,40	0,80	4,60
12	12	2	11	2	11	4,14	0,00	0,00	4,14	4,60	0,00	4,39	2,30	1,40	1,10	4,60
13	13	3	10	3	10	8,35	0,00	0,00	8,35	4,60	0,00	8,60	2,30	1,40	1,10	4,60
14	14	4	9	4	9	13,52	0,00	0,00	13,52	4,60	0,00	13,77	2,30	0,30	0,50	4,60
15	15	5	8	5	7	18,69	0,00	0,00	18,69	4,60	0,00	18,94	2,30	0,30	0,50	4,60
16	16	6	7	13	14	27,50	0,00	0,00	27,50	4,60	0,00	27,30	2,30	1,40	1,10	4,60
17	17	13	6	6	13	23,14	0,00	0,00	27,50	0,00	0,00	25,42	0,15	1,40	1,10	4,36
18	18	14	7	8	14	23,14	4,60	0,00	27,50	4,60	0,00	25,42	4,45	1,40	1,10	4,36
19	19	13	14	6	8	23,14	0,00	0,00	23,14	4,60	0,00	23,39	2,30	1,40	1,10	4,60

STRATIGRAFIA TRAVI WINKLER

Trave N.ro	Q.t.v. (m)	Q.t.d. (m)	Q.falda (m)	Incl Grd	Kw kg/cmc	Numero Strato	Sp.str. (m)	Peso Sp kg/mc	Fi' (Grd)	C' kg/cmq	Cu kg/cmq	Mod.El. kg/cmq	Poisson	Gr.Sovr	Mod.Ed. kg/cmq
1	-0,10	0,00	7,40	0	15,00	1		1900	27,00	0,10	0,00	70,00	0,30	1,00	90,00
2	-0,10	0,00	7,40	0	15,00	1		1900	27,00	0,10	0,00	70,00	0,30	1,00	90,00
3	-0,10	0,00	7,40	0	15,00	1		1900	27,00	0,10	0,00	70,00	0,30	1,00	90,00
4	-0,10	0,00	7,40	0	15,00	1		1900	27,00	0,10	0,00	70,00	0,30	1,00	90,00
5	-0,10	0,00	7,40	0	15,00	1		1900	27,00	0,10	0,00	70,00	0,30	1,00	90,00
6	-0,10	0,00	7,40	0	15,00	1		1900	27,00	0,10	0,00	70,00	0,30	1,00	90,00
7	-0,10	0,00	7,40	0	15,00	1		1900	27,00	0,10	0,00	70,00	0,30	1,00	90,00
8	-0,10	0,00	7,40	0	15,00	1		1900	27,00	0,10	0,00	70,00	0,30	1,00	90,00
9	-0,10	0,00	7,40	0	15,00	1		1900	27,00	0,10	0,00	70,00	0,30	1,00	90,00
10	-0,10	0,00	7,40	0	15,00	1		1900	27,00	0,10	0,00	70,00	0,30	1,00	90,00
11	-0,10	0,00	7,40	0	15,00	1		1900	27,00	0,10	0,00	70,00	0,30	1,00	90,00
12	-0,10	0,00	7,40	0	15,00	1		1900	27,00	0,10	0,00	70,00	0,30	1,00	90,00
13	-0,10	0,00	7,40	0	15,00	1		1900	27,00	0,10	0,00	70,00	0,30	1,00	90,00
14	-1,20	0,00	6,30	0	15,00	1		1900	27,00	0,10	0,00	70,00	0,30	1,00	90,00
15	-1,20	0,00	6,30	0	15,00	1		1900	27,00	0,10	0,00	70,00	0,30	1,00	90,00

STRATIGRAFIA TRAVI WINKLER

Trave N.ro	Q.t.v. (m)	Q.t.d. (m)	Q.falda (m)	Incl Grd	Kw kg/cmc	Numero Strato	Sp.str. (m)	Peso Sp kg/mc	Fi' (Grd)	C' kg/cmq	Cu kg/cmq	Mod.El. kg/cmq	Poisson	Gr.Sovr	Mod.Ed. kg/cmq
16	-0,10	0,00	7,40	0	15,00	1		1900	27,00	0,10	0,00	70,00	0,30	1,00	90,00
17	-0,10	0,00	7,40	0	15,00	1		1900	27,00	0,10	0,00	70,00	0,30	1,00	90,00
18	-0,10	0,00	7,40	0	15,00	1		1900	27,00	0,10	0,00	70,00	0,30	1,00	90,00
19	-0,10	0,00	7,40	0	15,00	1		1900	27,00	0,10	0,00	70,00	0,30	1,00	90,00

COMBINAZIONI CARICHI - S.L.U. - A1

DESCRIZIONI	1	2	3	4	5	6	7	8	9	10	11	12	13	14	15
Peso Strutturale	1,30	1,30	1,30	1,30	1,30	1,30	1,30	1,30	1,30	1,30	1,30	1,30	1,30	1,30	1,00
Perm.Non Strutturale	1,50	1,50	1,50	1,50	1,50	1,50	1,50	1,50	1,50	1,50	1,50	1,50	1,50	1,50	1,00
Var.Neve h<=1000	0,75	1,50	0,75	1,50	0,75	0,75	1,50	0,75	0,75	1,50	0,75	0,75	1,50	0,75	0,00
Var.Coperture	1,50	0,00	1,50	0,00	0,00	1,50	0,00	0,00	1,50	0,00	0,00	1,50	0,00	0,00	0,00
Vento dir. 0	0,00	0,00	0,90	0,90	1,50	0,00	0,00	0,00	0,00	0,00	0,00	0,00	0,00	0,00	0,00
Vento dir. 90	0,00	0,00	0,00	0,00	0,00	0,90	0,90	1,50	0,00	0,00	0,00	0,00	0,00	0,00	0,00
Vento dir. 180	0,00	0,00	0,00	0,00	0,00	0,00	0,00	0,00	0,90	0,90	1,50	0,00	0,00	0,00	0,00
Vento dir. 270	0,00	0,00	0,00	0,00	0,00	0,00	0,00	0,00	0,00	0,00	0,00	0,90	0,90	1,50	0,00
Corr. Tors. dir. 0	0,00	0,00	0,00	0,00	0,00	0,00	0,00	0,00	0,00	0,00	0,00	0,00	0,00	0,00	1,00
Corr. Tors. dir. 90	0,00	0,00	0,00	0,00	0,00	0,00	0,00	0,00	0,00	0,00	0,00	0,00	0,00	0,00	0,30
Sisma direz. grd 0	0,00	0,00	0,00	0,00	0,00	0,00	0,00	0,00	0,00	0,00	0,00	0,00	0,00	0,00	1,00
Sisma direz. grd 90	0,00	0,00	0,00	0,00	0,00	0,00	0,00	0,00	0,00	0,00	0,00	0,00	0,00	0,00	0,30

COMBINAZIONI CARICHI - S.L.U. - A1

DESCRIZIONI	16	17	18	19	20	21	22	23	24	25	26	27	28	29	30
Peso Strutturale	1,00	1,00	1,00	1,00	1,00	1,00	1,00	1,00	1,00	1,00	1,00	1,00	1,00	1,00	1,00
Perm.Non Strutturale	1,00	1,00	1,00	1,00	1,00	1,00	1,00	1,00	1,00	1,00	1,00	1,00	1,00	1,00	1,00
Var.Neve h<=1000	0,00	0,00	0,00	0,00	0,00	0,00	0,00	0,00	0,00	0,00	0,00	0,00	0,00	0,00	0,00
Var.Coperture	0,00	0,00	0,00	0,00	0,00	0,00	0,00	0,00	0,00	0,00	0,00	0,00	0,00	0,00	0,00
Vento dir. 0	0,00	0,00	0,00	0,00	0,00	0,00	0,00	0,00	0,00	0,00	0,00	0,00	0,00	0,00	0,00
Vento dir. 90	0,00	0,00	0,00	0,00	0,00	0,00	0,00	0,00	0,00	0,00	0,00	0,00	0,00	0,00	0,00
Vento dir. 180	0,00	0,00	0,00	0,00	0,00	0,00	0,00	0,00	0,00	0,00	0,00	0,00	0,00	0,00	0,00
Vento dir. 270	0,00	0,00	0,00	0,00	0,00	0,00	0,00	0,00	0,00	0,00	0,00	0,00	0,00	0,00	0,00
Corr. Tors. dir. 0	-1,00	1,00	-1,00	1,00	-1,00	1,00	-1,00	-1,00	1,00	-1,00	1,00	-1,00	1,00	-1,00	1,00
Corr. Tors. dir. 90	0,30	-0,30	-0,30	-0,30	-0,30	0,30	0,30	0,30	0,30	-0,30	-0,30	-0,30	-0,30	0,30	0,30
Sisma direz. grd 0	1,00	1,00	1,00	1,00	1,00	1,00	1,00	-1,00	-1,00	-1,00	-1,00	-1,00	-1,00	-1,00	-1,00
Sisma direz. grd 90	0,30	0,30	0,30	-0,30	-0,30	-0,30	-0,30	0,30	0,30	0,30	0,30	-0,30	-0,30	-0,30	-0,30

COMBINAZIONI CARICHI - S.L.U. - A1

DESCRIZIONI	31	32	33	34	35	36	37	38	39	40	41	42	43	44	45
Peso Strutturale	1,00	1,00	1,00	1,00	1,00	1,00	1,00	1,00	1,00	1,00	1,00	1,00	1,00	1,00	1,00
Perm.Non Strutturale	1,00	1,00	1,00	1,00	1,00	1,00	1,00	1,00	1,00	1,00	1,00	1,00	1,00	1,00	1,00
Var.Neve h<=1000	0,00	0,00	0,00	0,00	0,00	0,00	0,00	0,00	0,00	0,00	0,00	0,00	0,00	0,00	0,00
Var.Coperture	0,00	0,00	0,00	0,00	0,00	0,00	0,00	0,00	0,00	0,00	0,00	0,00	0,00	0,00	0,00
Vento dir. 0	0,00	0,00	0,00	0,00	0,00	0,00	0,00	0,00	0,00	0,00	0,00	0,00	0,00	0,00	0,00
Vento dir. 90	0,00	0,00	0,00	0,00	0,00	0,00	0,00	0,00	0,00	0,00	0,00	0,00	0,00	0,00	0,00
Vento dir. 180	0,00	0,00	0,00	0,00	0,00	0,00	0,00	0,00	0,00	0,00	0,00	0,00	0,00	0,00	0,00
Vento dir. 270	0,00	0,00	0,00	0,00	0,00	0,00	0,00	0,00	0,00	0,00	0,00	0,00	0,00	0,00	0,00
Corr. Tors. dir. 0	0,30	-0,30	0,30	-0,30	0,30	-0,30	0,30	-0,30	-0,30	0,30	-0,30	0,30	-0,30	0,30	-0,30
Corr. Tors. dir. 90	1,00	1,00	-1,00	-1,00	-1,00	-1,00	1,00	1,00	1,00	1,00	-1,00	-1,00	-1,00	-1,00	1,00
Sisma direz. grd 0	0,30	0,30	0,30	0,30	0,30	0,30	0,30	0,30	-0,30	-0,30	-0,30	-0,30	-0,30	-0,30	-0,30
Sisma direz. grd 90	1,00	1,00	1,00	1,00	-1,00	-1,00	-1,00	-1,00	1,00	1,00	1,00	1,00	-1,00	-1,00	-1,00

COMBINAZIONI CARICHI - S.L.U. - A1

DESCRIZIONI	46
Peso Strutturale	1,00
Perm.Non Strutturale	1,00
Var.Neve h<=1000	0,00
Var.Coperture	0,00
Vento dir. 0	0,00
Vento dir. 90	0,00
Vento dir. 180	0,00
Vento dir. 270	0,00
Corr. Tors. dir. 0	0,30
Corr. Tors. dir. 90	1,00
Sisma direz. grd 0	-0,30
Sisma direz. grd 90	-1,00

COMBINAZIONI RARE - S.L.E.

DESCRIZIONI	1	2	3	4	5	6	7	8	9	10	11	12	13	14
Peso Strutturale	1,00	1,00	1,00	1,00	1,00	1,00	1,00	1,00	1,00	1,00	1,00	1,00	1,00	1,00
Perm.Non Strutturale	1,00	1,00	1,00	1,00	1,00	1,00	1,00	1,00	1,00	1,00	1,00	1,00	1,00	1,00
Var.Neve h<=1000	0,50	1,00	0,50	1,00	0,50	0,50	1,00	0,50	0,50	1,00	0,50	0,50	1,00	0,50
Var.Coperture	1,00	0,00	1,00	0,00	0,00	1,00	0,00	0,00	1,00	0,00	0,00	1,00	0,00	0,00
Vento dir. 0	0,00	0,00	0,60	0,60	1,00	0,00	0,00	0,00	0,00	0,00	0,00	0,00	0,00	0,00
Vento dir. 90	0,00	0,00	0,00	0,00	0,00	0,60	0,60	1,00	0,00	0,00	0,00	0,00	0,00	0,00
Vento dir. 180	0,00	0,00	0,00	0,00	0,00	0,00	0,00	0,00	0,60	0,60	1,00	0,00	0,00	0,00
Vento dir. 270	0,00	0,00	0,00	0,00	0,00	0,00	0,00	0,00	0,00	0,00	0,00	0,60	0,60	1,00
Corr. Tors. dir. 0	0,00	0,00	0,00	0,00	0,00	0,00	0,00	0,00	0,00	0,00	0,00	0,00	0,00	0,00
Corr. Tors. dir. 90	0,00	0,00	0,00	0,00	0,00	0,00	0,00	0,00	0,00	0,00	0,00	0,00	0,00	0,00
Sisma direz. grd 0	0,00	0,00	0,00	0,00	0,00	0,00	0,00	0,00	0,00	0,00	0,00	0,00	0,00	0,00
Sisma direz. grd 90	0,00	0,00	0,00	0,00	0,00	0,00	0,00	0,00	0,00	0,00	0,00	0,00	0,00	0,00

COMBINAZIONI FREQUENTI - S.L.E.

DESCRIZIONI	1	2	3	4	5	6
Peso Strutturale	1,00	1,00	1,00	1,00	1,00	1,00
Perm.Non Strutturale	1,00	1,00	1,00	1,00	1,00	1,00
Var.Neve h<=1000	0,00	0,20	0,00	0,00	0,00	0,00
Var.Coperture	0,00	0,00	0,00	0,00	0,00	0,00
Vento dir. 0	0,00	0,00	0,20	0,00	0,00	0,00
Vento dir. 90	0,00	0,00	0,00	0,20	0,00	0,00
Vento dir. 180	0,00	0,00	0,00	0,00	0,20	0,00
Vento dir. 270	0,00	0,00	0,00	0,00	0,00	0,20

COMBINAZIONI FREQUENTI - S.L.E.

DESCRIZIONI	1	2	3	4	5	6
Corr. Tors. dir. 0	0,00	0,00	0,00	0,00	0,00	0,00
Corr. Tors. dir. 90	0,00	0,00	0,00	0,00	0,00	0,00
Sisma direz. grd 0	0,00	0,00	0,00	0,00	0,00	0,00
Sisma direz. grd 90	0,00	0,00	0,00	0,00	0,00	0,00

COMBINAZIONI PERMANENTI - S.L.E.

DESCRIZIONI	1
Peso Strutturale	1,00
Perm.Non Strutturale	1,00
Var.Neve h<=1000	0,00
Var.Coperture	0,00
Vento dir. 0	0,00
Vento dir. 90	0,00
Vento dir. 180	0,00
Vento dir. 270	0,00
Corr. Tors. dir. 0	0,00
Corr. Tors. dir. 90	0,00
Sisma direz. grd 0	0,00
Sisma direz. grd 90	0,00

RISULTANTI SOLLECITAZIONI TRAVI WINKLER - SLU

Trave N.ro	Combinazione N.ro		Rv (kg)	Vx (kg)	Vy (kg)	Mrx kg*cm	Mry kg*cm
1		A1/1	26623	0	0	207509	8479
		A1/2	26377	0	0	207573	8310
		A1/3	26543	0	159	203684	8426
		A1/4	26297	0	159	203748	8257
		A1/5	26016	0	265	201257	8066
		A1/6	23783	914	0	74508	2759
		A1/7	23537	914	0	74572	2928
		A1/8	21416	1400	0	14036	10575
		A1/9	26703	0	160	211334	8532
		A1/10	26457	0	160	211398	8363
		A1/11	26283	0	268	214007	8242
		A1/12	29463	1132	0	340510	19717
		A1/13	29217	1134	0	340574	19548
		A1/14	30883	2019	0	429301	26884
	X+	A1/21	20226	258	924	192837	11869
	X-	A1/30	22003	281	1006	277861	13043
	Y+	A1/40	15729	670	216	15116	9716
	Y-	A1/46	24889	1060	341	413799	26526
2		A1/1	22991	0	0	3490	12651
		A1/2	22726	0	0	2903	12433
		A1/3	23001	0	138	4159	12653
		A1/4	22735	0	138	3573	12436
		A1/5	22497	0	229	3478	12236
		A1/6	22484	864	0	18979	9753
		A1/7	22219	863	0	18392	9535
		A1/8	21635	1414	0	28177	7402
		A1/9	22981	0	138	2820	12649
		A1/10	22716	0	137	2234	12431
		A1/11	22464	0	229	1246	12228
		A1/12	23498	903	0	11999	15549
		A1/13	23233	902	0	12586	15331
		A1/14	23326	1525	0	23453	17062
	X+	A1/21	17052	218	779	856	10638
	X-	A1/30	16832	215	769	15743	10586
	Y+	A1/31	15938	679	219	24203	4741
	Y-	A1/37	17574	748	241	25741	14089
3		A1/1	31377	0	0	183540	38611
		A1/2	31009	0	0	180426	37959
		A1/3	31395	0	188	181424	38622

RISULTANTI SOLLECITAZIONI TRAVI WINKLER - SLU						
Trave N.ro	Combinazione N.ro		Rv (kg)	Vx (kg)	Vy (kg)	Mrx kg*cm	Mry kg*cm
		A1/4	31026	0	188	178310	37969
		A1/5	30698	0	313	174026	37374
		A1/6	30840	1185	0	177801	26297
		A1/7	30471	1183	0	174687	25644
		A1/8	29772	1946	0	167987	16833
		A1/9	31360	0	188	185655	38600
		A1/10	30992	0	187	182542	37948
		A1/11	30640	0	312	181078	37338
		A1/12	31915	1226	0	189279	50925
		A1/13	31547	1225	0	186165	50273
		A1/14	31565	2063	0	187117	57880
	X+	A1/21	23200	296	1060	109601	33915
	X-	A1/30	22818	292	1043	156628	33675
	Y+	A1/31	21942	934	301	113481	8024
	Y-	A1/37	23678	1008	325	132011	47762
4		A1/1	34030	0	0	14417	61552
		A1/2	33614	0	0	14280	60491
		A1/3	34014	0	204	16590	61511
		A1/4	33597	0	203	16453	60450
		A1/5	33202	0	338	17776	59444
		A1/6	33511	1287	0	7406	39109
		A1/7	33095	1285	0	7269	38048
		A1/8	32365	2115	0	2468	22108
		A1/9	34047	0	204	12244	61592
		A1/10	33631	0	203	12107	60532
		A1/11	33258	0	339	10532	59580
		A1/12	34550	1327	0	21428	83994
		A1/13	34133	1325	0	21291	82934
		A1/14	34095	2229	0	25839	96917
	X+	A1/20	24692	315	1129	37840	55339
	X-	A1/27	25064	320	1146	10467	56241
	Y+	A1/41	23846	1016	327	8756	9338
	Y-	A1/43	25522	1087	350	13860	81771
5		A1/1	26845	0	0	103188	35205
		A1/2	26523	0	0	100797	34589
		A1/3	26829	0	161	102690	35171
		A1/4	26507	0	160	100299	34555
		A1/5	26199	0	267	97759	33964
		A1/6	26297	1010	0	124989	22426
		A1/7	25975	1009	0	122597	21810
		A1/8	25312	1654	0	134924	12722
		A1/9	26861	0	161	103686	35239
		A1/10	26540	0	161	101295	34623
		A1/11	26253	0	267	99420	34077
		A1/12	27394	1052	0	81388	47984
		A1/13	27072	1051	0	78996	47368
		A1/14	27141	1774	0	62255	55319
	X+	A1/20	19560	250	894	52666	31813
	X-	A1/27	19919	254	910	63739	32569
	Y+	A1/41	18675	795	256	102533	6163
	Y-	A1/43	20447	871	280	32124	47414

RISULTANTI SOLLECITAZIONI TRAVI WINKLER - SLU						
Trave N.ro	Combinazione N.ro	Rv (kg)	Vx (kg)	Vy (kg)	Mrx kg*cm	Mry kg*cm
6	A1/1	26845	0	0	103188	35205
	A1/2	26523	0	0	100797	34589
	A1/3	26829	0	161	102690	35171
	A1/4	26507	0	160	100299	34555
	A1/5	26199	0	267	97759	33964
	A1/6	27394	1052	0	81388	47984
	A1/7	27072	1051	0	78996	47368
	A1/8	27141	1774	0	62255	55319
	A1/9	26861	0	161	103686	35239
	A1/10	26540	0	161	101295	34623
	A1/11	26253	0	267	99420	34077
	A1/12	26297	1010	0	124989	22426
	A1/13	25975	1009	0	122597	21810
	A1/14	25312	1654	0	134924	12722
X+	A1/15	19560	250	894	52666	31813
X-	A1/24	19919	254	910	63739	32569
Y+	A1/40	20447	871	280	32124	47414
Y-	A1/46	18675	795	256	102533	6163
7	A1/1	34030	0	0	14417	61552
	A1/2	33614	0	0	14280	60491
	A1/3	34014	0	204	16590	61511
	A1/4	33597	0	203	16453	60450
	A1/5	33202	0	338	17776	59444
	A1/6	34550	1327	0	21428	83994
	A1/7	34133	1325	0	21291	82934
	A1/8	34095	2229	0	25839	96917
	A1/9	34047	0	204	12244	61592
	A1/10	33631	0	203	12107	60532
	A1/11	33258	0	339	10532	59580
	A1/12	33511	1287	0	7406	39109
	A1/13	33095	1285	0	7269	38048
	A1/14	32365	2115	0	2468	22108
X+	A1/15	24692	315	1129	37840	55338
X-	A1/24	25064	320	1146	10467	56241
Y+	A1/40	25522	1087	350	13860	81771
Y-	A1/46	23846	1016	327	8756	9338
8	A1/1	31377	0	0	183540	38611
	A1/2	31009	0	0	180426	37959
	A1/3	31395	0	188	181424	38622
	A1/4	31026	0	188	178310	37969
	A1/5	30698	0	313	174026	37374
	A1/6	31915	1226	0	189279	50925
	A1/7	31547	1225	0	186165	50273
	A1/8	31565	2063	0	187117	57880
	A1/9	31360	0	188	185655	38600
	A1/10	30992	0	187	182542	37948
	A1/11	30640	0	312	181078	37338
	A1/12	30840	1185	0	177801	26297
	A1/13	30471	1183	0	174687	25644
	A1/14	29772	1946	0	167987	16833

RISULTANTI SOLLECITAZIONI TRAVI WINKLER - SLU							
Trave N.ro	Combinazione N.ro		Rv (kg)	Vx (kg)	Vy (kg)	Mrx kg*cm	Mry kg*cm
	X+	A1/18	23200	296	1060	109601	33915
	X-	A1/25	22818	292	1043	156628	33675
	Y+	A1/34	23678	1008	325	132011	47762
	Y-	A1/36	21942	934	301	113481	8024
9		A1/1	22991	0	0	3490	12651
		A1/2	22726	0	0	2903	12433
		A1/3	23001	0	138	4159	12653
		A1/4	22735	0	138	3573	12436
		A1/5	22497	0	229	3478	12236
		A1/6	23498	903	0	11999	15549
		A1/7	23233	902	0	12586	15331
		A1/8	23326	1525	0	23453	17062
		A1/9	22981	0	138	2820	12649
		A1/10	22716	0	137	2234	12431
		A1/11	22464	0	229	1246	12228
		A1/12	22484	864	0	18979	9753
		A1/13	22219	863	0	18392	9535
		A1/14	21635	1414	0	28177	7402
	X+	A1/18	17052	218	779	856	10638
	X-	A1/25	16832	215	769	15743	10586
	Y+	A1/34	17574	748	241	25741	14089
	Y-	A1/36	15938	679	219	24203	4741
10		A1/1	26623	0	0	207509	8479
		A1/2	26377	0	0	207573	8310
		A1/3	26543	0	159	203684	8426
		A1/4	26297	0	159	203748	8257
		A1/5	26016	0	265	201257	8066
		A1/6	29463	1132	0	340510	19717
		A1/7	29217	1134	0	340574	19548
		A1/8	30883	2019	0	429301	26884
		A1/9	26703	0	160	211334	8532
		A1/10	26457	0	160	211398	8363
		A1/11	26283	0	268	214007	8242
		A1/12	23783	914	0	74508	2759
		A1/13	23537	914	0	74572	2928
		A1/14	21416	1400	0	14036	10575
	X+	A1/18	20226	258	924	192837	11869
	X-	A1/25	22003	281	1006	277861	13043
	Y+	A1/41	24889	1060	341	413799	26526
	Y-	A1/43	15729	670	216	15116	9716
11		A1/1	20761	0	0	0	8561
		A1/2	20594	0	0	0	8485
		A1/3	20663	124	0	0	8402
		A1/4	20496	124	0	0	8326
		A1/5	20276	206	0	0	8150
		A1/6	20761	0	797	177924	8561
		A1/7	20594	0	800	177924	8485
		A1/8	20439	0	1336	296540	8416
		A1/9	20860	125	0	0	8720
		A1/10	20692	125	0	0	8645

RISULTANTI SOLLECITAZIONI TRAVI WINKLER - SLU						
Trave N.ro	Combinazione N.ro		Rv (kg)	Vx (kg)	Vy (kg)	Mrx kg*cm	Mry kg*cm
		A1/11	20603	210	0	0	8681
		A1/12	20761	0	797	177924	8561
		A1/13	20594	0	800	177924	8485
		A1/14	20439	0	1336	296540	8416
	X+	A1/18	14177	648	181	102463	4531
	X-	A1/25	16363	748	209	102463	8074
	Y+	A1/41	15598	214	664	322929	6834
	Y-	A1/46	15598	214	664	322929	6834
12		A1/1	23337	0	0	0	3012
		A1/2	23095	0	0	0	3085
		A1/3	23321	140	0	0	2812
		A1/4	23078	140	0	0	2884
		A1/5	22843	233	0	0	2818
		A1/6	23337	0	896	64670	3012
		A1/7	23095	0	897	64670	3085
		A1/8	22871	0	1495	107783	3152
		A1/9	23354	140	0	0	3212
		A1/10	23112	140	0	0	3285
		A1/11	22899	233	0	0	3486
		A1/12	23337	0	896	64670	3012
		A1/13	23095	0	897	64670	3085
		A1/14	22871	0	1495	107783	3152
	X+	A1/18	16805	768	215	36096	265
	X-	A1/25	17180	785	219	36096	4719
	Y+	A1/41	17049	234	726	114861	3160
	Y-	A1/46	17049	234	726	114861	3160
13		A1/1	23361	0	0	0	2239
		A1/2	23097	0	0	0	2234
		A1/3	23383	140	0	0	2325
		A1/4	23119	140	0	0	2320
		A1/5	22891	233	0	0	2372
		A1/6	23361	0	897	21211	2239
		A1/7	23097	0	897	21211	2234
		A1/8	22854	0	1494	35351	2229
		A1/9	23338	140	0	0	2153
		A1/10	23075	140	0	0	2148
		A1/11	22817	232	0	0	2086
		A1/12	23361	0	897	21211	2239
		A1/13	23097	0	897	21211	2234
		A1/14	22854	0	1494	35351	2229
	X+	A1/18	17199	786	220	10463	2640
	X-	A1/25	16703	763	213	10463	732
	Y+	A1/34	17026	233	725	34653	1972
	Y-	A1/37	17026	233	725	34653	1972
14		A1/1	8721	0	0	0	361
		A1/2	8638	0	0	0	354
		A1/3	8721	52	0	0	367
		A1/4	8639	52	0	0	361
		A1/5	8563	87	0	0	359
		A1/6	8721	0	335	37816	361

RISULTANTI SOLLECITAZIONI TRAVI WINKLER - SLU						
Trave N.ro	Combinazione N.ro		Rv (kg)	Vx (kg)	Vy (kg)	Mrx kg*cm	Mry kg*cm
		A1/7	8638	0	335	37816	354
		A1/8	8562	0	560	63026	348
		A1/9	8721	52	0	0	354
		A1/10	8638	52	0	0	347
		A1/11	8562	87	0	0	337
		A1/12	8721	0	335	37816	361
		A1/13	8638	0	335	37816	354
		A1/14	8562	0	560	63026	348
	X+	A1/15	6333	289	81	18340	330
	X-	A1/24	6331	289	81	18340	180
	Y+	A1/31	6332	87	270	61095	277
	Y-	A1/36	6332	87	270	61095	277
15		A1/1	8915	0	0	0	327
		A1/2	8833	0	0	0	324
		A1/3	8909	53	0	0	318
		A1/4	8827	53	0	0	315
		A1/5	8747	89	0	0	306
		A1/6	8915	0	342	41885	327
		A1/7	8833	0	343	41885	324
		A1/8	8756	0	572	69808	321
		A1/9	8921	53	0	0	337
		A1/10	8838	53	0	0	333
		A1/11	8766	89	0	0	337
		A1/12	8915	0	342	41885	327
		A1/13	8833	0	343	41885	324
		A1/14	8756	0	572	69808	321
	X+	A1/15	6390	292	82	22158	137
	X-	A1/24	6521	298	83	22158	341
	Y+	A1/40	6475	89	276	71729	270
	Y-	A1/43	6475	89	276	71729	270
16		A1/1	23462	0	0	0	6934
		A1/2	23284	0	0	0	6924
		A1/3	23586	141	0	0	7251
		A1/4	23408	142	0	0	7241
		A1/5	23326	238	0	0	7443
		A1/6	23462	0	901	231830	6934
		A1/7	23284	0	904	231830	6924
		A1/8	23120	0	1511	386383	6915
		A1/9	23339	140	0	0	6617
		A1/10	23161	140	0	0	6607
		A1/11	22914	233	0	0	6386
		A1/12	23462	0	901	231830	6934
		A1/13	23284	0	904	231830	6924
		A1/14	23120	0	1511	386383	6915
	X+	A1/15	18662	853	238	133450	8781
	X-	A1/27	15917	728	203	133450	1735
	Y+	A1/31	17701	243	754	420805	6315
	Y-	A1/36	17701	243	754	420805	6315
17		A1/1	22989	0	0	37828	10139
		A1/2	22775	0	0	39475	9963

RISULTANTI SOLLECITAZIONI TRAVI WINKLER - SLU						
Trave N.ro	Combinazione N.ro		Rv (kg)	Vx (kg)	Vy (kg)	Mrx kg*cm	Mry kg*cm
		A1/3	23058	0	138	41108	10200
		A1/4	22843	0	138	42754	10023
		A1/5	22691	0	231	46461	9901
		A1/6	20334	781	0	65875	596
		A1/7	20120	781	0	64228	773
		A1/8	18152	1186	0	131843	8092
		A1/9	22921	0	137	34549	10078
		A1/10	22707	0	137	36196	9902
		A1/11	22464	0	229	35530	9699
		A1/12	25645	985	0	141531	20874
		A1/13	25431	987	0	143178	20698
		A1/14	27003	1765	0	213834	27692
	X+	A1/20	19111	244	873	130143	14072
	X-	A1/27	17596	225	804	57245	12725
	Y+	A1/34	13290	566	182	101106	7777
	Y-	A1/36	21865	931	300	233774	26889
18		A1/1	22989	0	0	37828	10139
		A1/2	22775	0	0	39475	9963
		A1/3	23058	0	138	41108	10200
		A1/4	22843	0	138	42754	10023
		A1/5	22691	0	231	46461	9901
		A1/6	25645	985	0	141531	20874
		A1/7	25431	987	0	143178	20698
		A1/8	27003	1765	0	213834	27692
		A1/9	22921	0	137	34549	10078
		A1/10	22707	0	137	36196	9902
		A1/11	22464	0	229	35530	9699
		A1/12	20334	781	0	65875	596
		A1/13	20120	781	0	64228	773
		A1/14	18152	1186	0	131843	8092
	X+	A1/15	19111	244	873	130143	14072
	X-	A1/24	17596	225	804	57245	12725
	Y+	A1/31	21865	931	300	233774	26889
	Y-	A1/37	13290	566	182	101106	7777
19		A1/1	23776	0	0	0	2530
		A1/2	23524	0	0	0	2388
		A1/3	23787	142	0	0	2322
		A1/4	23534	142	0	0	2181
		A1/5	23309	237	0	0	1912
		A1/6	23776	0	913	72261	2530
		A1/7	23524	0	913	72261	2388
		A1/8	23291	0	1522	120434	2258
		A1/9	23766	142	0	0	2737
		A1/10	23513	142	0	0	2596
		A1/11	23274	237	0	0	2604
		A1/12	23776	0	913	72261	2530
		A1/13	23524	0	913	72261	2388
		A1/14	23291	0	1522	120434	2258
	X+	A1/15	17428	797	223	40768	794
	X-	A1/24	17197	786	220	40768	3824
	Y+	A1/31	17347	238	739	129341	822

RISULTANTI SOLLECITAZIONI TRAVI WINKLER - SLU						
Trave N.ro	Combinazione N.ro	Rv (kg)	Vx (kg)	Vy (kg)	Mrx kg*cm	Mry kg*cm
	Y- A1/36	17347	238	739	129341	822

RISULTANTI SOLLECITAZIONI TRAVI WINKLER - SLD						
Trave N.ro	Combinazione N.ro	Rv (kg)	Vx (kg)	Vy (kg)	Mrx kg*cm	Mry kg*cm
1	SLD/1	26623	0	0	207509	8479
	SLD/2	26377	0	0	207573	8310
	SLD/3	26543	0	159	203684	8426
	SLD/4	26297	0	159	203748	8257
	SLD/5	26016	0	265	201257	8066
	SLD/6	23783	914	0	74508	2759
	SLD/7	23537	914	0	74572	2928
	SLD/8	21416	1400	0	14036	10575
	SLD/9	26703	0	160	211334	8532
	SLD/10	26457	0	160	211398	8363
	SLD/11	26283	0	268	214007	8242
	SLD/12	29463	1132	0	340510	19717
	SLD/13	29217	1134	0	340574	19548
	SLD/14	30883	2019	0	429301	26884
	X+ SLD/21	20271	233	776	194981	11816
	X- SLD/30	21908	252	839	273301	12898
	Y+ SLD/40	15752	603	181	14106	9557
	Y- SLD/46	24807	949	285	409930	26273
2	SLD/1	22991	0	0	3490	12651
	SLD/2	22726	0	0	2903	12433
	SLD/3	23001	0	138	4159	12653
	SLD/4	22735	0	138	3573	12436
	SLD/5	22497	0	229	3478	12236
	SLD/6	22484	864	0	18979	9753
	SLD/7	22219	863	0	18392	9535
	SLD/8	21635	1414	0	28177	7402
	SLD/9	22981	0	138	2820	12649
	SLD/10	22716	0	137	2234	12431
	SLD/11	22464	0	229	1246	12228
	SLD/12	23498	903	0	11999	15549
	SLD/13	23233	902	0	12586	15331
	SLD/14	23326	1525	0	23453	17062
	X+ SLD/21	17040	196	652	1290	10614
	X- SLD/30	16837	193	644	15003	10566
	Y+ SLD/31	15944	610	183	23802	4788
	Y- SLD/37	17562	672	202	25573	14030
3	SLD/1	31377	0	0	183540	38611
	SLD/2	31009	0	0	180426	37959
	SLD/3	31395	0	188	181424	38622
	SLD/4	31026	0	188	178310	37969
	SLD/5	30698	0	313	174026	37374
	SLD/6	30840	1185	0	177801	26297
	SLD/7	30471	1183	0	174687	25644
	SLD/8	29772	1946	0	167987	16833
	SLD/9	31360	0	188	185655	38600

RISULTANTI SOLLECITAZIONI TRAVI WINKLER - SLD						
Trave N.ro	Combinazione N.ro		Rv (kg)	Vx (kg)	Vy (kg)	Mrx kg*cm	Mry kg*cm
		SLD/10	30992	0	187	182542	37948
		SLD/11	30640	0	312	181078	37338
		SLD/12	31915	1226	0	189279	50925
		SLD/13	31547	1225	0	186165	50273
		SLD/14	31565	2063	0	187117	57880
	X+	SLD/21	23182	266	887	111440	33837
	X-	SLD/30	22830	262	874	154759	33616
	Y+	SLD/31	21947	840	252	114157	8247
	Y-	SLD/37	23663	906	272	132476	47533
4		SLD/1	34030	0	0	14417	61552
		SLD/2	33614	0	0	14280	60491
		SLD/3	34014	0	204	16590	61511
		SLD/4	33597	0	203	16453	60450
		SLD/5	33202	0	338	17776	59444
		SLD/6	33511	1287	0	7406	39109
		SLD/7	33095	1285	0	7269	38048
		SLD/8	32365	2115	0	2468	22108
		SLD/9	34047	0	204	12244	61592
		SLD/10	33631	0	203	12107	60532
		SLD/11	33258	0	339	10532	59580
		SLD/12	34550	1327	0	21428	83994
		SLD/13	34133	1325	0	21291	82934
		SLD/14	34095	2229	0	25839	96917
	X+	SLD/20	24704	284	946	35912	55235
	X-	SLD/27	25046	288	959	8586	56067
	Y+	SLD/41	23851	913	274	8043	9726
	Y-	SLD/43	25508	976	293	14316	81335
5		SLD/1	26845	0	0	103188	35205
		SLD/2	26523	0	0	100797	34589
		SLD/3	26829	0	161	102690	35171
		SLD/4	26507	0	160	100299	34555
		SLD/5	26199	0	267	97759	33964
		SLD/6	26297	1010	0	124989	22426
		SLD/7	25975	1009	0	122597	21810
		SLD/8	25312	1654	0	134924	12722
		SLD/9	26861	0	161	103686	35239
		SLD/10	26540	0	161	101295	34623
		SLD/11	26253	0	267	99420	34077
		SLD/12	27394	1052	0	81388	47984
		SLD/13	27072	1051	0	78996	47368
		SLD/14	27141	1774	0	62255	55319
	X+	SLD/20	19570	225	749	53318	31752
	X-	SLD/27	19901	229	762	63517	32449
	Y+	SLD/41	18680	715	214	102086	6371
	Y-	SLD/43	20432	782	235	32478	47152
6		SLD/1	26845	0	0	103188	35205
		SLD/2	26523	0	0	100797	34589
		SLD/3	26829	0	161	102690	35171
		SLD/4	26507	0	160	100299	34555
		SLD/5	26199	0	267	97759	33964

RISULTANTI SOLLECITAZIONI TRAVI WINKLER - SLD						
Trave N.ro	Combinazione N.ro		Rv (kg)	Vx (kg)	Vy (kg)	Mrx kg*cm	Mry kg*cm
		SLD/6	27394	1052	0	81388	47984
		SLD/7	27072	1051	0	78996	47368
		SLD/8	27141	1774	0	62255	55319
		SLD/9	26861	0	161	103686	35239
		SLD/10	26540	0	161	101295	34623
		SLD/11	26253	0	267	99420	34077
		SLD/12	26297	1010	0	124989	22426
		SLD/13	25975	1009	0	122597	21810
		SLD/14	25312	1654	0	134924	12722
	X+	SLD/15	19570	225	749	53318	31752
	X-	SLD/24	19901	229	762	63517	32449
	Y+	SLD/40	20432	782	235	32478	47152
	Y-	SLD/46	18680	715	214	102086	6371
7		SLD/1	34030	0	0	14417	61552
		SLD/2	33614	0	0	14280	60491
		SLD/3	34014	0	204	16590	61511
		SLD/4	33597	0	203	16453	60450
		SLD/5	33202	0	338	17776	59444
		SLD/6	34550	1327	0	21428	83994
		SLD/7	34133	1325	0	21291	82934
		SLD/8	34095	2229	0	25839	96917
		SLD/9	34047	0	204	12244	61592
		SLD/10	33631	0	203	12107	60532
		SLD/11	33258	0	339	10532	59580
		SLD/12	33511	1287	0	7406	39109
		SLD/13	33095	1285	0	7269	38048
		SLD/14	32365	2115	0	2468	22108
	X+	SLD/15	24704	284	946	35912	55235
	X-	SLD/24	25046	288	959	8586	56067
	Y+	SLD/40	25508	976	293	14316	81335
	Y-	SLD/46	23851	913	274	8043	9726
8		SLD/1	31377	0	0	183540	38611
		SLD/2	31009	0	0	180426	37959
		SLD/3	31395	0	188	181424	38622
		SLD/4	31026	0	188	178310	37969
		SLD/5	30698	0	313	174026	37374
		SLD/6	31915	1226	0	189279	50925
		SLD/7	31547	1225	0	186165	50273
		SLD/8	31565	2063	0	187117	57880
		SLD/9	31360	0	188	185655	38600
		SLD/10	30992	0	187	182542	37948
		SLD/11	30640	0	312	181078	37338
		SLD/12	30840	1185	0	177801	26297
		SLD/13	30471	1183	0	174687	25644
		SLD/14	29772	1946	0	167987	16833
	X+	SLD/18	23182	266	887	111440	33837
	X-	SLD/25	22830	262	874	154759	33616
	Y+	SLD/34	23663	906	272	132476	47533
	Y-	SLD/36	21947	840	252	114157	8247
9		SLD/1	22991	0	0	3490	12651

RISULTANTI SOLLECITAZIONI TRAVI WINKLER - SLD							
Trave N.ro	Combinazione N.ro		Rv (kg)	Vx (kg)	Vy (kg)	Mrx kg*cm	Mry kg*cm
		SLD/2	22726	0	0	2903	12433
		SLD/3	23001	0	138	4159	12653
		SLD/4	22735	0	138	3573	12436
		SLD/5	22497	0	229	3478	12236
		SLD/6	23498	903	0	11999	15549
		SLD/7	23233	902	0	12586	15331
		SLD/8	23326	1525	0	23453	17062
		SLD/9	22981	0	138	2820	12649
		SLD/10	22716	0	137	2234	12431
		SLD/11	22464	0	229	1246	12228
		SLD/12	22484	864	0	18979	9753
		SLD/13	22219	863	0	18392	9535
		SLD/14	21635	1414	0	28177	7402
	X+	SLD/18	17040	196	652	1290	10614
	X-	SLD/25	16837	193	644	15003	10566
	Y+	SLD/34	17562	672	202	25573	14030
	Y-	SLD/36	15944	610	183	23802	4788
10		SLD/1	26623	0	0	207509	8479
		SLD/2	26377	0	0	207573	8310
		SLD/3	26543	0	159	203684	8426
		SLD/4	26297	0	159	203748	8257
		SLD/5	26016	0	265	201257	8066
		SLD/6	29463	1132	0	340510	19717
		SLD/7	29217	1134	0	340574	19548
		SLD/8	30883	2019	0	429301	26884
		SLD/9	26703	0	160	211334	8532
		SLD/10	26457	0	160	211398	8363
		SLD/11	26283	0	268	214007	8242
		SLD/12	23783	914	0	74508	2759
		SLD/13	23537	914	0	74572	2928
		SLD/14	21416	1400	0	14036	10575
	X+	SLD/18	20271	233	776	194981	11816
	X-	SLD/25	21908	252	839	273301	12898
	Y+	SLD/41	24807	949	285	409930	26273
	Y-	SLD/43	15752	603	181	14106	9557
11		SLD/1	20761	0	0	0	8561
		SLD/2	20594	0	0	0	8485
		SLD/3	20663	124	0	0	8402
		SLD/4	20496	124	0	0	8326
		SLD/5	20276	206	0	0	8150
		SLD/6	20761	0	797	177924	8561
		SLD/7	20594	0	800	177924	8485
		SLD/8	20439	0	1336	296540	8416
		SLD/9	20860	125	0	0	8720
		SLD/10	20692	125	0	0	8645
		SLD/11	20603	210	0	0	8681
		SLD/12	20761	0	797	177924	8561
		SLD/13	20594	0	800	177924	8485
		SLD/14	20439	0	1336	296540	8416
	X+	SLD/15	14263	546	164	69301	4671
	X-	SLD/23	16277	623	187	80607	7935

RISULTANTI SOLLECITAZIONI TRAVI WINKLER - SLD						
Trave N.ro	Combinazione N.ro		Rv (kg)	Vx (kg)	Vy (kg)	Mrx kg*cm	Mry kg*cm
	Y+	SLD/39	15572	179	596	251543	6792
	Y-	SLD/43	15572	179	596	248151	6792
12		SLD/1	23337	0	0	0	3012
		SLD/2	23095	0	0	0	3085
		SLD/3	23321	140	0	0	2812
		SLD/4	23078	140	0	0	2884
		SLD/5	22843	233	0	0	2818
		SLD/6	23337	0	896	64670	3012
		SLD/7	23095	0	897	64670	3085
		SLD/8	22871	0	1495	107783	3152
		SLD/9	23354	140	0	0	3212
		SLD/10	23112	140	0	0	3285
		SLD/11	22899	233	0	0	3486
		SLD/12	23337	0	896	64670	3012
		SLD/13	23095	0	897	64670	3085
		SLD/14	22871	0	1495	107783	3152
	X+	SLD/15	16819	644	193	26300	441
	X-	SLD/23	17165	657	197	29616	4543
	Y+	SLD/39	17044	196	652	93692	3107
	Y-	SLD/43	17044	196	652	92697	3107
13		SLD/1	23361	0	0	0	2239
		SLD/2	23097	0	0	0	2234
		SLD/3	23383	140	0	0	2325
		SLD/4	23119	140	0	0	2320
		SLD/5	22891	233	0	0	2372
		SLD/6	23361	0	897	21211	2239
		SLD/7	23097	0	897	21211	2234
		SLD/8	22854	0	1494	35351	2229
		SLD/9	23338	140	0	0	2153
		SLD/10	23075	140	0	0	2148
		SLD/11	22817	232	0	0	2086
		SLD/12	23361	0	897	21211	2239
		SLD/13	23097	0	897	21211	2234
		SLD/14	22854	0	1494	35351	2229
	X+	SLD/15	17180	658	197	9961	2564
	X-	SLD/23	16723	640	192	10096	807
	Y+	SLD/31	17020	195	651	33408	1949
	Y-	SLD/35	17020	195	651	33449	1949
14		SLD/1	8721	0	0	0	361
		SLD/2	8638	0	0	0	354
		SLD/3	8721	52	0	0	367
		SLD/4	8639	52	0	0	361
		SLD/5	8563	87	0	0	359
		SLD/6	8721	0	335	37816	361
		SLD/7	8638	0	335	37816	354
		SLD/8	8562	0	560	63026	348
		SLD/9	8721	52	0	0	354
		SLD/10	8638	52	0	0	347
		SLD/11	8562	87	0	0	337
		SLD/12	8721	0	335	37816	361

RISULTANTI SOLLECITAZIONI TRAVI WINKLER - SLD						
Trave N.ro	Combinazione N.ro		Rv (kg)	Vx (kg)	Vy (kg)	Mrx kg*cm	Mry kg*cm
		SLD/13	8638	0	335	37816	354
		SLD/14	8562	0	560	63026	348
	X+	SLD/15	6333	242	73	18131	324
	X-	SLD/23	6331	242	73	18107	186
	Y+	SLD/31	6332	73	242	60400	276
	Y-	SLD/35	6332	73	242	60392	276
15		SLD/1	8915	0	0	0	327
		SLD/2	8833	0	0	0	324
		SLD/3	8909	53	0	0	318
		SLD/4	8827	53	0	0	315
		SLD/5	8747	89	0	0	306
		SLD/6	8915	0	342	41885	327
		SLD/7	8833	0	343	41885	324
		SLD/8	8756	0	572	69808	321
		SLD/9	8921	53	0	0	337
		SLD/10	8838	53	0	0	333
		SLD/11	8766	89	0	0	337
		SLD/12	8915	0	342	41885	327
		SLD/13	8833	0	343	41885	324
		SLD/14	8756	0	572	69808	321
	X+	SLD/15	6395	245	73	21859	145
	X-	SLD/23	6516	249	75	20564	333
	Y+	SLD/39	6474	74	248	70511	267
	Y-	SLD/43	6474	74	248	70899	267
16		SLD/1	23462	0	0	0	6934
		SLD/2	23284	0	0	0	6924
		SLD/3	23586	141	0	0	7251
		SLD/4	23408	142	0	0	7241
		SLD/5	23326	238	0	0	7443
		SLD/6	23462	0	901	231830	6934
		SLD/7	23284	0	904	231830	6924
		SLD/8	23120	0	1511	386383	6915
		SLD/9	23339	140	0	0	6617
		SLD/10	23161	140	0	0	6607
		SLD/11	22914	233	0	0	6386
		SLD/12	23462	0	901	231830	6934
		SLD/13	23284	0	904	231830	6924
		SLD/14	23120	0	1511	386383	6915
	X+	SLD/15	18554	710	213	131398	8503
	X-	SLD/23	16026	613	184	116803	2013
	Y+	SLD/31	17669	203	676	415858	6232
	Y-	SLD/35	17669	203	676	411479	6232
17		SLD/1	22989	0	0	37828	10139
		SLD/2	22775	0	0	39475	9963
		SLD/3	23058	0	138	41108	10200
		SLD/4	22843	0	138	42754	10023
		SLD/5	22691	0	231	46461	9901
		SLD/6	20334	781	0	65875	596
		SLD/7	20120	781	0	64228	773
		SLD/8	18152	1186	0	131843	8092

RISULTANTI SOLLECITAZIONI TRAVI WINKLER - SLD						
Trave N.ro	Combinazione N.ro		Rv (kg)	Vx (kg)	Vy (kg)	Mrx kg*cm	Mry kg*cm
		SLD/9	22921	0	137	34549	10078
		SLD/10	22707	0	137	36196	9902
		SLD/11	22464	0	229	35530	9699
		SLD/12	25645	985	0	141531	20874
		SLD/13	25431	987	0	143178	20698
		SLD/14	27003	1765	0	213834	27692
	X+	SLD/20	19028	218	728	126332	13925
	X-	SLD/27	17632	202	675	59182	12684
	Y+	SLD/34	13313	510	153	100388	7627
	Y-	SLD/36	21790	834	250	230682	26644
18		SLD/1	22989	0	0	37828	10139
		SLD/2	22775	0	0	39475	9963
		SLD/3	23058	0	138	41108	10200
		SLD/4	22843	0	138	42754	10023
		SLD/5	22691	0	231	46461	9901
		SLD/6	25645	985	0	141531	20874
		SLD/7	25431	987	0	143178	20698
		SLD/8	27003	1765	0	213834	27692
		SLD/9	22921	0	137	34549	10078
		SLD/10	22707	0	137	36196	9902
		SLD/11	22464	0	229	35530	9699
		SLD/12	20334	781	0	65875	596
		SLD/13	20120	781	0	64228	773
		SLD/14	18152	1186	0	131843	8092
	X+	SLD/15	19028	218	728	126332	13925
	X-	SLD/24	17632	202	675	59182	12684
	Y+	SLD/31	21790	834	250	230682	26644
	Y-	SLD/37	13313	510	153	100388	7627
19		SLD/1	23776	0	0	0	2530
		SLD/2	23524	0	0	0	2388
		SLD/3	23787	142	0	0	2322
		SLD/4	23534	142	0	0	2181
		SLD/5	23309	237	0	0	1912
		SLD/6	23776	0	913	72261	2530
		SLD/7	23524	0	913	72261	2388
		SLD/8	23291	0	1522	120434	2258
		SLD/9	23766	142	0	0	2737
		SLD/10	23513	142	0	0	2596
		SLD/11	23274	237	0	0	2604
		SLD/12	23776	0	913	72261	2530
		SLD/13	23524	0	913	72261	2388
		SLD/14	23291	0	1522	120434	2258
	X+	SLD/15	17419	667	200	40159	612
	X-	SLD/23	17206	659	198	36179	3642
	Y+	SLD/31	17345	199	664	127826	877
	Y-	SLD/35	17345	199	664	126632	877

PARAMETRI GEOTECNICI TRAVI WINKLER - S.L.U.												
IDENTIFICATIVO				CONDIZIONE DRENATA							NON DRENATA	
Trave N.ro	Infiss m	Tipo Tabel	Gamma kg/mc	Fi' Grd	C' kg/cmq	Mod.El kg/cmq	Poisson	P base kg/cmq	Indice Rigid.	IndRig Crit.	Cu kg/cmq	P base kg/cmq

PARAMETRI GEOTECNICI TRAVI WINKLER - S.L.U.

IDENTIFICATIVO				CONDIZIONE DRENATA							NON DRENATA	
Trave N.ro	Infiss m	Tipo Tabel	Gamma kg/mc	Fi' Grd	C' kg/cmq	Mod.El kg/cmq	Poiss on	P base kg/cmq	Indice Rigid.	IndRig Crit.	Cu kg/cmq	P base kg/cmq
1	1,40	M1	1900	27,00	0,10	70,00	0,30	0,27	93,23	89,73		
2	1,40	M1	1900	27,00	0,10	70,00	0,30	0,27	93,23	90,03		
3	1,40	M1	1900	27,00	0,10	70,00	0,30	0,27	93,23	93,29		
4	1,40	M1	1900	27,00	0,10	70,00	0,30	0,27	93,23	93,29		
5	1,40	M1	1900	27,00	0,10	70,00	0,30	0,27	93,23	90,96		
6	1,40	M1	1900	27,00	0,10	70,00	0,30	0,27	93,23	90,96		
7	1,40	M1	1900	27,00	0,10	70,00	0,30	0,27	93,23	93,29		
8	1,40	M1	1900	27,00	0,10	70,00	0,30	0,27	93,23	93,29		
9	1,40	M1	1900	27,00	0,10	70,00	0,30	0,27	93,23	90,03		
10	1,40	M1	1900	27,00	0,10	70,00	0,30	0,27	93,23	89,73		
11	1,40	M1	1900	27,00	0,10	70,00	0,30	0,27	98,17	95,99		
12	1,40	M1	1900	27,00	0,10	70,00	0,30	0,27	93,23	91,50		
13	1,40	M1	1900	27,00	0,10	70,00	0,30	0,27	93,23	91,50		
14	0,30	M1	1900	27,00	0,10	70,00	0,30	0,06	175,69	100,70		
15	0,30	M1	1900	27,00	0,10	70,00	0,30	0,06	175,69	100,70		
16	1,40	M1	1900	27,00	0,10	70,00	0,30	0,27	93,23	91,50		
17	1,40	M1	1900	27,00	0,10	70,00	0,30	0,27	93,23	90,62		
18	1,40	M1	1900	27,00	0,10	70,00	0,30	0,27	93,23	90,62		
19	1,40	M1	1900	27,00	0,10	70,00	0,30	0,27	93,23	91,50		

COEFFICIENTI DI PORTANZA TRAVI WINKLER - CONDIZIONI DRENATE - S.L.U.

Trave	Brinch Hansen			IclTe	Incl.PianoPosa			Comb		Igk	CoeffIncl.Car.			Affondamento			Forma			Punzonamento		
Nro	Nc	Nq	Ng	Gc=Gq	Bc	Bq	Bg		N.ro	Sism	IcV	IqV	IgV	Dc	Dq	Dg	Sc	Sq	Sg	Psic	Psiq	Psig
1	23,94	13,20	14,47	1,00	1,00	1,00	1,00		A1/1	1,00	1,00	1,00	1,00	1,30	1,28	1,00	1,15	1,14	0,89	1,00	1,00	1,00
									A1/2	1,00	1,00	1,00	1,00	1,30	1,28	1,00	1,15	1,14	0,89	1,00	1,00	1,00
									A1/3	1,00	0,99	0,99	0,99	1,30	1,28	1,00	1,15	1,14	0,89	1,00	1,00	1,00
									A1/4	1,00	0,99	0,99	0,99	1,30	1,28	1,00	1,15	1,14	0,89	1,00	1,00	1,00
									A1/5	1,00	0,99	0,99	0,98	1,30	1,28	1,00	1,15	1,14	0,89	1,00	1,00	1,00
									A1/6	1,00	0,95	0,95	0,92	1,30	1,28	1,00	1,15	1,14	0,89	1,00	1,00	1,00
									A1/7	1,00	0,95	0,95	0,92	1,30	1,28	1,00	1,15	1,14	0,89	1,00	1,00	1,00
									A1/8	1,00	0,91	0,92	0,88	1,30	1,28	1,00	1,15	1,13	0,89	1,00	1,00	1,00
									A1/9	1,00	0,99	0,99	0,99	1,30	1,28	1,00	1,15	1,14	0,89	1,00	1,00	1,00
									A1/10	1,00	0,99	0,99	0,99	1,30	1,28	1,00	1,15	1,14	0,89	1,00	1,00	1,00
									A1/11	1,00	0,99	0,99	0,98	1,30	1,28	1,00	1,15	1,14	0,89	1,00	1,00	1,00
									A1/12	1,00	0,94	0,95	0,92	1,30	1,28	1,00	1,15	1,14	0,89	1,00	1,00	1,00
									A1/13	1,00	0,94	0,95	0,92	1,30	1,28	1,00	1,15	1,14	0,89	1,00	1,00	1,00
									A1/14	1,00	0,90	0,91	0,86	1,30	1,28	1,00	1,15	1,14	0,89	1,00	1,00	1,00
								X+	A1/21	1,00	0,95	0,96	0,93	1,30	1,28	1,00	1,15	1,14	0,89	1,00	1,00	1,00
								X-	A1/30	1,00	0,95	0,96	0,92	1,30	1,28	1,00	1,15	1,14	0,89	1,00	1,00	1,00
								Y+	A1/40	1,00	0,95	0,95	0,92	1,30	1,28	1,00	1,15	1,13	0,89	1,00	1,00	1,00
								Y-	A1/46	1,00	0,94	0,94	0,91	1,30	1,28	1,00	1,16	1,14	0,89	1,00	1,00	1,00
2	23,94	13,20	14,47	1,00	1,00	1,00	1,00		A1/1	1,00	1,00	1,00	1,00	1,30	1,28	1,00	1,14	1,13	0,90	1,00	1,00	1,00
									A1/2	1,00	1,00	1,00	1,00	1,30	1,28	1,00	1,14	1,13	0,90	1,00	1,00	1,00
									A1/3	1,00	0,99	0,99	0,99	1,30	1,28	1,00	1,14	1,13	0,90	1,00	1,00	1,00
									A1/4	1,00	0,99	0,99	0,99	1,30	1,28	1,00	1,14	1,13	0,90	1,00	1,00	1,00
									A1/5	1,00	0,99	0,99	0,98	1,30	1,28	1,00	1,14	1,13	0,90	1,00	1,00	1,00
									A1/6	1,00	0,95	0,95	0,93	1,30	1,28	1,00	1,14	1,13	0,90	1,00	1,00	1,00
									A1/7	1,00	0,95	0,95	0,92	1,30	1,28	1,00	1,14	1,13	0,90	1,00	1,00	1,00
									A1/8	1,00	0,91	0,92	0,88	1,30	1,28	1,00	1,14	1,13	0,90	1,00	1,00	1,00
									A1/9	1,00	0,99	0,99	0,99	1,30	1,28	1,00	1,14	1,13	0,90	1,00	1,00	1,00
									A1/10	1,00	0,99	0,99	0,99	1,30	1,28	1,00	1,14	1,13	0,90	1,00	1,00	1,00
									A1/11	1,00	0,99	0,99	0,98	1,30	1,28	1,00	1,14	1,13	0,90	1,00	1,00	1,00
									A1/12	1,00	0,95	0,95	0,92	1,30	1,28	1,00	1,14	1,13	0,90	1,00	1,00	1,00
									A1/13	1,00	0,95	0,95	0,92	1,30	1,28	1,00	1,14	1,13	0,90	1,00	1,00	1,00
									A1/14	1,00	0,91	0,92	0,87	1,30	1,28	1,00	1,14	1,13	0,90	1,00	1,00	1,00
								X+	A1/21	1,00	0,96	0,96	0,93	1,30	1,28	1,00	1,14	1,13	0,90	1,00	1,00	1,00
								X-	A1/30	1,00	0,96	0,96	0,93	1,30	1,28	1,00	1,14	1,13	0,90	1,00	1,00	1,00
								Y+	A1/31	1,00	0,95	0,95	0,92	1,30	1,28	1,00	1,14	1,13	0,90	1,00	1,00	1,00
								Y-	A1/37	1,00	0,94	0,95	0,92	1,30	1,28	1,00	1,14	1,13	0,90	1,00	1,00	1,00
3	23,94	13,20	14,47	1,00	1,00	1,00	1,00		A1/1	1,00	1,00	1,00	1,00	1,30	1,28	1,00	1,12	1,11	0,91	1,00	1,00	1,00

COEFFICIENTI DI PORTANZA TRAVI WINKLER - CONDIZIONI DRENATE - S.L.U.

Trave	Brinch Hansen			IclTe	Incl.PianoPosa			Comb		Igk	CoeffIncl.Car.			Affondamento			Forma			Punzonamento		
Nro	Nc	Nq	Ng	Gc=Gq	Bc	Bq	Bg		N.ro	Sism	IcV	IqV	IgV	Dc	Dq	Dg	Sc	Sq	Sg	Psic	Psiq	Psig
									A1/2	1,00	1,00	1,00	1,00	1,30	1,28	1,00	1,12	1,11	0,91	1,00	1,00	1,00
									A1/3	1,00	0,99	0,99	0,99	1,30	1,28	1,00	1,12	1,11	0,91	1,00	1,00	1,00
									A1/4	1,00	0,99	0,99	0,99	1,30	1,28	1,00	1,12	1,11	0,91	1,00	1,00	1,00
									A1/5	1,00	0,99	0,99	0,98	1,30	1,28	1,00	1,12	1,11	0,91	1,00	1,00	1,00
									A1/6	1,00	0,94	0,95	0,92	1,30	1,28	1,00	1,12	1,11	0,91	1,00	1,00	1,00
									A1/7	1,00	0,94	0,95	0,92	1,30	1,28	1,00	1,12	1,11	0,91	1,00	1,00	1,00
									A1/8	1,00	0,91	0,91	0,87	1,30	1,28	1,00	1,12	1,11	0,91	1,00	1,00	1,00
									A1/9	1,00	0,99	0,99	0,99	1,30	1,28	1,00	1,12	1,11	0,91	1,00	1,00	1,00
									A1/10	1,00	0,99	0,99	0,99	1,30	1,28	1,00	1,12	1,11	0,91	1,00	1,00	1,00
									A1/11	1,00	0,99	0,99	0,98	1,30	1,28	1,00	1,12	1,11	0,91	1,00	1,00	1,00
									A1/12	1,00	0,94	0,95	0,92	1,30	1,28	1,00	1,12	1,11	0,92	1,00	1,00	1,00
									A1/13	1,00	0,94	0,95	0,92	1,30	1,28	1,00	1,12	1,11	0,92	1,00	1,00	1,00
									A1/14	1,00	0,91	0,91	0,87	1,30	1,28	1,00	1,12	1,11	0,92	1,00	1,00	1,00
								X+	A1/21	1,00	0,96	0,96	0,93	1,30	1,28	1,00	1,12	1,11	0,92	1,00	1,00	1,00
								X-	A1/30	1,00	0,96	0,96	0,93	1,30	1,28	1,00	1,12	1,11	0,91	1,00	1,00	1,00
								Y+	A1/31	1,00	0,94	0,95	0,92	1,30	1,28	1,00	1,12	1,11	0,91	1,00	1,00	1,00
								Y-	A1/37	1,00	0,94	0,95	0,92	1,30	1,28	1,00	1,12	1,11	0,92	1,00	1,00	1,00
4	23,94	13,20	14,47	1,00	1,00	1,00	1,00		A1/1	1,00	1,00	1,00	1,00	1,30	1,28	1,00	1,11	1,11	0,92	1,00	1,00	1,00
									A1/2	1,00	1,00	1,00	1,00	1,30	1,28	1,00	1,11	1,11	0,92	1,00	1,00	1,00
									A1/3	1,00	0,99	0,99	0,99	1,30	1,28	1,00	1,11	1,11	0,92	1,00	1,00	1,00
									A1/4	1,00	0,99	0,99	0,99	1,30	1,28	1,00	1,11	1,11	0,92	1,00	1,00	1,00
									A1/5	1,00	0,99	0,99	0,98	1,30	1,28	1,00	1,11	1,11	0,92	1,00	1,00	1,00
									A1/6	1,00	0,94	0,95	0,92	1,30	1,28	1,00	1,11	1,11	0,92	1,00	1,00	1,00
									A1/7	1,00	0,94	0,95	0,92	1,30	1,28	1,00	1,11	1,11	0,92	1,00	1,00	1,00
									A1/8	1,00	0,91	0,91	0,87	1,30	1,28	1,00	1,12	1,11	0,92	1,00	1,00	1,00
									A1/9	1,00	0,99	0,99	0,99	1,30	1,28	1,00	1,11	1,10	0,92	1,00	1,00	1,00
									A1/10	1,00	0,99	0,99	0,99	1,30	1,28	1,00	1,11	1,11	0,92	1,00	1,00	1,00
									A1/11	1,00	0,99	0,99	0,98	1,30	1,28	1,00	1,11	1,11	0,92	1,00	1,00	1,00
									A1/12	1,00	0,94	0,95	0,92	1,30	1,28	1,00	1,11	1,10	0,92	1,00	1,00	1,00
									A1/13	1,00	0,94	0,95	0,92	1,30	1,28	1,00	1,11	1,10	0,92	1,00	1,00	1,00
									A1/14	1,00	0,90	0,91	0,87	1,31	1,28	1,00	1,11	1,10	0,92	1,00	1,00	1,00
								X+	A1/20	1,00	0,96	0,96	0,93	1,30	1,28	1,00	1,11	1,10	0,92	1,00	1,00	1,00
								X-	A1/27	1,00	0,96	0,96	0,93	1,30	1,28	1,00	1,11	1,10	0,92	1,00	1,00	1,00
								Y+	A1/41	1,00	0,94	0,95	0,92	1,30	1,28	1,00	1,12	1,11	0,92	1,00	1,00	1,00
								Y-	A1/43	1,00	0,94	0,94	0,91	1,31	1,28	1,00	1,11	1,10	0,92	1,00	1,00	1,00
5	23,94	13,20	14,47	1,00	1,00	1,00	1,00		A1/1	1,00	1,00	1,00	1,00	1,30	1,28	1,00	1,14	1,13	0,90	1,00	1,00	1,00
									A1/2	1,00	1,00	1,00	1,00	1,30	1,28	1,00	1,14	1,13	0,90	1,00	1,00	1,00
									A1/3	1,00	0,99	0,99	0,99	1,30	1,28	1,00	1,14	1,13	0,90	1,00	1,00	1,00
									A1/4	1,00	0,99	0,99	0,99	1,30	1,28	1,00	1,14	1,13	0,90	1,00	1,00	1,00
									A1/5	1,00	0,99	0,99	0,98	1,30	1,28	1,00	1,14	1,13	0,90	1,00	1,00	1,00
									A1/6	1,00	0,95	0,95	0,92	1,30	1,28	1,00	1,14	1,13	0,90	1,00	1,00	1,00
									A1/7	1,00	0,94	0,95	0,92	1,30	1,28	1,00	1,14	1,13	0,90	1,00	1,00	1,00
									A1/8	1,00	0,91	0,92	0,87	1,30	1,28	1,00	1,14	1,13	0,90	1,00	1,00	1,00
									A1/9	1,00	0,99	0,99	0,99	1,30	1,28	1,00	1,14	1,13	0,90	1,00	1,00	1,00
									A1/10	1,00	0,99	0,99	0,99	1,30	1,28	1,00	1,14	1,13	0,90	1,00	1,00	1,00
									A1/11	1,00	0,99	0,99	0,98	1,30	1,28	1,00	1,14	1,13	0,90	1,00	1,00	1,00
									A1/12	1,00	0,94	0,95	0,92	1,30	1,28	1,00	1,13	1,12	0,90	1,00	1,00	1,00
									A1/13	1,00	0,94	0,95	0,92	1,30	1,28	1,00	1,13	1,12	0,90	1,00	1,00	1,00
									A1/14	1,00	0,91	0,91	0,87	1,30	1,28	1,00	1,13	1,12	0,90	1,00	1,00	1,00
								X+	A1/20	1,00	0,96	0,96	0,93	1,30	1,28	1,00	1,13	1,12	0,90	1,00	1,00	1,00
								X-	A1/27	1,00	0,96	0,96	0,93	1,30	1,28	1,00	1,13	1,12	0,90	1,00	1,00	1,00
								Y+	A1/41	1,00	0,94	0,95	0,92	1,30	1,28	1,00	1,14	1,13	0,90	1,00	1,00	1,00
								Y-	A1/43	1,00	0,94	0,95	0,92	1,30	1,28	1,00	1,13	1,12	0,90	1,00	1,00	1,00
6	23,94	13,20	14,47	1,00	1,00	1,00	1,00		A1/1	1,00	1,00	1,00	1,00	1,30	1,28	1,00	1,14	1,13	0,90	1,00	1,00	1,00
									A1/2	1,00	1,00	1,00	1,00	1,30	1,28	1,00	1,14	1,13	0,90	1,00	1,00	1,00
									A1/3	1,00	0,99	0,99	0,99	1,30	1,28	1,00	1,14	1,13	0,90	1,00	1,00	1,00
									A1/4	1,00	0,99	0,99	0,99	1,30	1,28	1,00	1,14	1,13	0,90	1,00	1,00	1,00
									A1/5	1,00	0,99	0,99	0,98	1,30	1,28	1,00	1,14	1,13	0,90	1,00	1,00	1,00
									A1/6	1,00	0,94	0,95	0,92	1,30	1,28	1,00	1,13	1,12	0,90	1,00	1,00	1,00
									A1/7	1,00	0,94	0,95	0,92	1,30	1,28	1,00	1,13	1,12	0,90	1,00	1,00	1,00
									A1/8	1,00	0,91	0,91	0,87	1,30	1,28	1,00	1,13	1,12	0,90	1,00	1,00	1,00
									A1/9	1,00	0,99	0,99	0,99	1,30	1,28	1,00	1,14	1,13	0,90	1,00	1,00	1,00
									A1/10	1,00	0,99	0,99	0,99	1,30	1,28	1,00	1,14	1,13	0,90	1,00	1,00	1,00
									A1/11	1,00	0,99	0,99	0,98	1,30	1,28	1,00	1,14	1,13	0,90	1,00	1,00	1,00
									A1/12	1,00	0,95	0,95	0,92	1,30	1,28	1,00	1,14	1,13	0,90	1,00	1,00	1,00
									A1/13	1,00	0,94	0,95	0,92	1,30	1,28	1,00	1,14	1,13	0,90	1,00	1,00	1,00
									A1/14	1,00	0,91	0,92	0,87	1,30	1,28	1,00	1,14	1,13	0,90	1,00	1,00	1,00
								X+	A1/15	1,00	0,96	0,96	0,93	1,30	1,28	1,00	1,13	1,12	0,90	1,00	1,00	1,00
								X-	A1/24	1,00	0,96	0,96	0,93	1,30	1,28	1,00	1,13	1,12	0,90	1,00	1,00	1,00
								Y+	A1/40	1,00	0,94	0,95	0,92	1,30	1,28	1,00	1,13	1,12	0,90	1,00	1,00	1,00
								Y-	A1/46	1,00	0,94	0,95	0,92	1,30	1,28	1,00	1,14	1,13	0,90	1,00	1,00	1,00
7	23,94	13,20	14,47	1,00	1,00	1,00	1,00		A1/1	1,00	1,00	1,00	1,00	1,30	1,28	1,00	1,11	1,11	0,92	1,00	1,00	1,00
									A1/2	1,00	1,00	1,00	1,00	1,30	1,28	1,00	1,11	1,11	0,92	1,00	1,00	1,00
									A1/3	1,00	0,99	0,99	0,99	1,30	1,28	1,00	1,11	1,11	0,92	1,00	1,00	1,00
									A1/4	1,00	0,99	0,99	0,99	1,30	1,28	1,00	1,11	1,11	0,92	1,00	1,00	1,00
									A1/5	1,00	0,99	0,99	0,98	1,30	1,28	1,00	1,11	1,11	0,92	1,00	1,00	1,00
									A1/6	1,00	0,94	0,95	0,92	1,30	1,28	1,00	1,11	1,10	0,92	1,00	1,00	1,00
									A1/7	1,00	0,94	0,95	0,92	1,30	1,28	1,00	1,11	1,10	0,92	1,00	1,00	1,00
									A1/8	1,00	0,90	0,91	0,87	1,31	1,28	1,00	1,11	1,10	0,92	1,00	1,00	1,00
									A1/9	1,00	0,99	0,99	0,99	1,30	1,28	1,00	1,11	1,10	0,92	1,00	1,00	1,00
									A1/10	1,00	0,99	0,99	0,99	1,30	1,28	1,00	1,11	1,11	0,92	1,00	1,00	1,00
									A1/11	1,00	0,99	0,99	0,98	1,30	1,28	1,00	1,11	1,11	0,92	1,00	1,00	1,00
									A1/12	1,00	0,94	0,95	0,92	1,30	1,28	1,00	1,11	1,11	0,92	1,00	1,00	1,00
									A1/13	1,00	0,94	0,95	0,92	1,30	1,28	1,00	1,11	1,11	0,92	1,00	1,00	1,00
									A1/14	1,00	0,91	0,91	0,87	1,30	1,28	1,00	1,12	1,11	0,92	1,00	1,00	1,00
								X+	A1/15	1,00	0,96	0,96	0,93	1,30	1,28	1,00	1,11	1,10	0,92	1,00	1,00	1,00
								X-	A1/24	1,00	0,96	0,96	0,93	1,30	1,28	1,00	1,11	1,10	0,92	1,00	1,00	1,00
								Y+	A1/40	1,00	0,94	0,94	0,91	1,31	1,28	1,00	1,11	1,10	0,92	1,00	1,00	1,00
								Y-	A1/46	1,00	0,94	0,95	0,92	1,30	1,28	1,00	1,12	1,11	0,92	1,00	1,00	1,00
8	23,94	13,20	14,47	1,00	1,00	1,00	1,00		A1/1	1,00	1,00	1,00	1,00	1,30	1,28	1,00	1,12	1,11	0,91	1,00	1,00	1,00
									A1/2	1,00	1,00	1,00	1,00	1,30	1,28	1,00	1,12	1,11	0,91	1,00	1,00	1,00
									A1/3	1,00	0,99	0,99	0,99	1,30	1,28	1,00	1,12	1,11	0,91	1,00	1,00	1,00
									A1/4	1,00	0,99	0,99	0,99	1,30	1,28	1,00	1,12	1,11	0,91	1,00	1,00	1,00
									A1/5	1,00	0,99	0,99	0,98	1,30	1,28	1,00	1,12	1,11	0,91	1,00	1,00	1,00
									A1/6	1,00	0,94	0,95	0,92	1,30	1,28	1,00	1,12	1,11	0,92	1,00	1,00	1,00

COEFFICIENTI DI PORTANZA TRAVI WINKLER - CONDIZIONI DRENATE - S.L.U.

Trave	Brinch Hansen			IclTe	Incl.PianoPosa			Comb		Igk	CoeffIncl.Car.			Affondamento			Forma			Punzonamento		
Nro	Nc	Nq	Ng	Gc=Gq	Bc	Bq	Bg		N.ro	Sism	IcV	IqV	IgV	Dc	Dq	Dg	Sc	Sq	Sg	Psic	Psiq	Psig
									A1/7	1,00	0,94	0,95	0,92	1,30	1,28	1,00	1,12	1,11	0,92	1,00	1,00	1,00
									A1/8	1,00	0,91	0,91	0,87	1,30	1,28	1,00	1,12	1,11	0,92	1,00	1,00	1,00
									A1/9	1,00	0,99	0,99	0,99	1,30	1,28	1,00	1,12	1,11	0,91	1,00	1,00	1,00
									A1/10	1,00	0,99	0,99	0,99	1,30	1,28	1,00	1,12	1,11	0,91	1,00	1,00	1,00
									A1/11	1,00	0,99	0,99	0,98	1,30	1,28	1,00	1,12	1,11	0,91	1,00	1,00	1,00
									A1/12	1,00	0,94	0,95	0,92	1,30	1,28	1,00	1,12	1,11	0,91	1,00	1,00	1,00
									A1/13	1,00	0,94	0,95	0,92	1,30	1,28	1,00	1,12	1,11	0,91	1,00	1,00	1,00
									A1/14	1,00	0,91	0,91	0,87	1,30	1,28	1,00	1,12	1,11	0,91	1,00	1,00	1,00
								X+	A1/18	1,00	0,96	0,96	0,93	1,30	1,28	1,00	1,12	1,11	0,92	1,00	1,00	1,00
								X-	A1/25	1,00	0,96	0,96	0,93	1,30	1,28	1,00	1,12	1,11	0,91	1,00	1,00	1,00
								Y+	A1/34	1,00	0,94	0,95	0,92	1,30	1,28	1,00	1,12	1,11	0,92	1,00	1,00	1,00
								Y-	A1/36	1,00	0,94	0,95	0,92	1,30	1,28	1,00	1,12	1,11	0,91	1,00	1,00	1,00
9	23,94	13,20	14,47	1,00	1,00	1,00	1,00		A1/1	1,00	1,00	1,00	1,00	1,30	1,28	1,00	1,14	1,13	0,90	1,00	1,00	1,00
									A1/2	1,00	1,00	1,00	1,00	1,30	1,28	1,00	1,14	1,13	0,90	1,00	1,00	1,00
									A1/3	1,00	0,99	0,99	0,99	1,30	1,28	1,00	1,14	1,13	0,90	1,00	1,00	1,00
									A1/4	1,00	0,99	0,99	0,99	1,30	1,28	1,00	1,14	1,13	0,90	1,00	1,00	1,00
									A1/5	1,00	0,99	0,99	0,98	1,30	1,28	1,00	1,14	1,13	0,90	1,00	1,00	1,00
									A1/6	1,00	0,95	0,95	0,92	1,30	1,28	1,00	1,14	1,13	0,90	1,00	1,00	1,00
									A1/7	1,00	0,95	0,95	0,92	1,30	1,28	1,00	1,14	1,13	0,90	1,00	1,00	1,00
									A1/8	1,00	0,91	0,92	0,87	1,30	1,28	1,00	1,14	1,13	0,90	1,00	1,00	1,00
									A1/9	1,00	0,99	0,99	0,99	1,30	1,28	1,00	1,14	1,13	0,90	1,00	1,00	1,00
									A1/10	1,00	0,99	0,99	0,99	1,30	1,28	1,00	1,14	1,13	0,90	1,00	1,00	1,00
									A1/11	1,00	0,99	0,99	0,98	1,30	1,28	1,00	1,14	1,13	0,90	1,00	1,00	1,00
									A1/12	1,00	0,95	0,95	0,93	1,30	1,28	1,00	1,14	1,13	0,90	1,00	1,00	1,00
									A1/13	1,00	0,95	0,95	0,92	1,30	1,28	1,00	1,14	1,13	0,90	1,00	1,00	1,00
									A1/14	1,00	0,91	0,92	0,88	1,30	1,28	1,00	1,14	1,13	0,90	1,00	1,00	1,00
								X+	A1/18	1,00	0,96	0,96	0,93	1,30	1,28	1,00	1,14	1,13	0,90	1,00	1,00	1,00
								X-	A1/25	1,00	0,96	0,96	0,93	1,30	1,28	1,00	1,14	1,13	0,90	1,00	1,00	1,00
								Y+	A1/34	1,00	0,94	0,95	0,92	1,30	1,28	1,00	1,14	1,13	0,90	1,00	1,00	1,00
								Y-	A1/36	1,00	0,95	0,95	0,92	1,30	1,28	1,00	1,14	1,13	0,90	1,00	1,00	1,00
10	23,94	13,20	14,47	1,00	1,00	1,00	1,00		A1/1	1,00	1,00	1,00	1,00	1,30	1,28	1,00	1,15	1,14	0,89	1,00	1,00	1,00
									A1/2	1,00	1,00	1,00	1,00	1,30	1,28	1,00	1,15	1,14	0,89	1,00	1,00	1,00
									A1/3	1,00	0,99	0,99	0,99	1,30	1,28	1,00	1,15	1,14	0,89	1,00	1,00	1,00
									A1/4	1,00	0,99	0,99	0,99	1,30	1,28	1,00	1,15	1,14	0,89	1,00	1,00	1,00
									A1/5	1,00	0,99	0,99	0,98	1,30	1,28	1,00	1,15	1,14	0,89	1,00	1,00	1,00
									A1/6	1,00	0,94	0,95	0,92	1,30	1,28	1,00	1,15	1,14	0,89	1,00	1,00	1,00
									A1/7	1,00	0,94	0,95	0,92	1,30	1,28	1,00	1,15	1,14	0,89	1,00	1,00	1,00
									A1/8	1,00	0,90	0,91	0,86	1,30	1,28	1,00	1,15	1,14	0,89	1,00	1,00	1,00
									A1/9	1,00	0,99	0,99	0,99	1,30	1,28	1,00	1,15	1,14	0,89	1,00	1,00	1,00
									A1/10	1,00	0,99	0,99	0,99	1,30	1,28	1,00	1,15	1,14	0,89	1,00	1,00	1,00
									A1/11	1,00	0,99	0,99	0,98	1,30	1,28	1,00	1,15	1,14	0,89	1,00	1,00	1,00
									A1/12	1,00	0,95	0,95	0,92	1,30	1,28	1,00	1,15	1,14	0,89	1,00	1,00	1,00
									A1/13	1,00	0,95	0,95	0,92	1,30	1,28	1,00	1,15	1,14	0,89	1,00	1,00	1,00
									A1/14	1,00	0,91	0,92	0,88	1,30	1,28	1,00	1,15	1,13	0,89	1,00	1,00	1,00
								X+	A1/18	1,00	0,95	0,96	0,93	1,30	1,28	1,00	1,15	1,14	0,89	1,00	1,00	1,00
								X-	A1/25	1,00	0,95	0,96	0,92	1,30	1,28	1,00	1,15	1,14	0,89	1,00	1,00	1,00
								Y+	A1/41	1,00	0,94	0,94	0,91	1,30	1,28	1,00	1,16	1,14	0,89	1,00	1,00	1,00
								Y-	A1/43	1,00	0,95	0,95	0,92	1,30	1,28	1,00	1,15	1,13	0,89	1,00	1,00	1,00
11	23,94	13,20	14,47	1,00	1,00	1,00	1,00		A1/1	1,00	1,00	1,00	1,00	1,35	1,32	1,00	1,09	1,09	0,93	1,00	1,00	1,00
									A1/2	1,00	1,00	1,00	1,00	1,35	1,32	1,00	1,09	1,09	0,93	1,00	1,00	1,00
									A1/3	1,00	0,99	0,99	0,99	1,35	1,32	1,00	1,09	1,09	0,93	1,00	1,00	1,00
									A1/4	1,00	0,99	0,99	0,99	1,35	1,32	1,00	1,09	1,09	0,93	1,00	1,00	1,00
									A1/5	1,00	0,98	0,99	0,98	1,35	1,32	1,00	1,09	1,09	0,93	1,00	1,00	1,00
									A1/6	1,00	0,96	0,97	0,94	1,35	1,32	1,00	1,10	1,09	0,93	1,00	1,00	1,00
									A1/7	1,00	0,96	0,97	0,94	1,35	1,32	1,00	1,10	1,09	0,93	1,00	1,00	1,00
									A1/8	1,00	0,94	0,94	0,90	1,35	1,32	1,00	1,10	1,09	0,93	1,00	1,00	1,00
									A1/9	1,00	0,99	0,99	0,99	1,35	1,32	1,00	1,09	1,09	0,93	1,00	1,00	1,00
									A1/10	1,00	0,99	0,99	0,99	1,35	1,32	1,00	1,09	1,09	0,93	1,00	1,00	1,00
									A1/11	1,00	0,98	0,99	0,98	1,35	1,32	1,00	1,09	1,09	0,93	1,00	1,00	1,00
									A1/12	1,00	0,96	0,97	0,94	1,35	1,32	1,00	1,10	1,09	0,93	1,00	1,00	1,00
									A1/13	1,00	0,96	0,97	0,94	1,35	1,32	1,00	1,10	1,09	0,93	1,00	1,00	1,00
									A1/14	1,00	0,94	0,94	0,90	1,35	1,32	1,00	1,10	1,09	0,93	1,00	1,00	1,00
								X+	A1/18	1,00	0,94	0,94	0,91	1,35	1,32	1,00	1,10	1,09	0,93	1,00	1,00	1,00
								X-	A1/25	1,00	0,94	0,94	0,91	1,35	1,32	1,00	1,10	1,09	0,93	1,00	1,00	1,00
								Y+	A1/41	1,00	0,96	0,96	0,93	1,35	1,32	1,00	1,10	1,10	0,92	1,00	1,00	1,00
								Y-	A1/46	1,00	0,96	0,96	0,93	1,35	1,32	1,00	1,10	1,10	0,92	1,00	1,00	1,00
12	23,94	13,20	14,47	1,00	1,00	1,00	1,00		A1/1	1,00	1,00	1,00	1,00	1,30	1,28	1,00	1,13	1,12	0,90	1,00	1,00	1,00
									A1/2	1,00	1,00	1,00	1,00	1,30	1,28	1,00	1,13	1,12	0,90	1,00	1,00	1,00
									A1/3	1,00	0,99	0,99	0,99	1,30	1,28	1,00	1,13	1,12	0,90	1,00	1,00	1,00
									A1/4	1,00	0,99	0,99	0,99	1,30	1,28	1,00	1,13	1,12	0,90	1,00	1,00	1,00
									A1/5	1,00	0,99	0,99	0,98	1,30	1,28	1,00	1,13	1,12	0,90	1,00	1,00	1,00
									A1/6	1,00	0,97	0,97	0,94	1,30	1,28	1,00	1,13	1,12	0,90	1,00	1,00	1,00
									A1/7	1,00	0,96	0,97	0,94	1,30	1,28	1,00	1,13	1,12	0,90	1,00	1,00	1,00
									A1/8	1,00	0,94	0,95	0,90	1,30	1,28	1,00	1,13	1,12	0,90	1,00	1,00	1,00
									A1/9	1,00	0,99	0,99	0,99	1,30	1,28	1,00	1,13	1,12	0,90	1,00	1,00	1,00
									A1/10	1,00	0,99	0,99	0,99	1,30	1,28	1,00	1,13	1,12	0,90	1,00	1,00	1,00
									A1/11	1,00	0,99	0,99	0,98	1,30	1,28	1,00	1,13	1,12	0,90	1,00	1,00	1,00
									A1/12	1,00	0,97	0,97	0,94	1,30	1,28	1,00	1,13	1,12	0,90	1,00	1,00	1,00
									A1/13	1,00	0,96	0,97	0,94	1,30	1,28	1,00	1,13	1,12	0,90	1,00	1,00	1,00
									A1/14	1,00	0,94	0,95	0,90	1,30	1,28	1,00	1,13	1,12	0,90	1,00	1,00	1,00
								X+	A1/18	1,00	0,94	0,95	0,92	1,30	1,27	1,00	1,13	1,12	0,90	1,00	1,00	1,00
								X-	A1/25	1,00	0,94	0,95	0,92	1,30	1,28	1,00	1,13	1,12	0,90	1,00	1,00	1,00
								Y+	A1/41	1,00	0,96	0,96	0,94	1,30	1,28	1,00	1,14	1,13	0,90	1,00	1,00	1,00
								Y-	A1/46	1,00	0,96	0,96	0,94	1,30	1,28	1,00	1,14	1,13	0,90	1,00	1,00	1,00
13	23,94	13,20	14,47	1,00	1,00	1,00	1,00		A1/1	1,00	1,00	1,00	1,00	1,30	1,28	1,00	1,13	1,12	0,90	1,00	1,00	1,00
									A1/2	1,00	1,00	1,00	1,00	1,30	1,28	1,00	1,13	1,12	0,90	1,00	1,00	1,00
									A1/3	1,00	0,99	0,99	0,99	1,30	1,28	1,00	1,13	1,12	0,90	1,00	1,00	1,00
									A1/4	1,00	0,99	0,99	0,99	1,30	1,28	1,00	1,13	1,12	0,90	1,00	1,00	1,00
									A1/5	1,00	0,99	0,99	0,98	1,30	1,28	1,00	1,13	1,12	0,90	1,00	1,00	1,00
									A1/6	1,00	0,97	0,97	0,94	1,30	1,28	1,00	1,13	1,12	0,90	1,00	1,00	1,00
									A1/7	1,00	0,96	0,97	0,94	1,30	1,28	1,00	1,13	1,12	0,90	1,00	1,00	1,00
									A1/8	1,00	0,94	0,95	0,90	1,30	1,28	1,00	1,13	1,12	0,90	1,00	1,00	1,00
									A1/9	1,00	0,99	0,99	0,99	1,30	1,28	1,00	1,13	1,12	0,90	1,00	1,00	1,00
									A1/10	1,00	0,99	0,99	0,99	1,30	1,28	1,00	1,13	1,12	0,90	1,00	1,00	1,00
									A1/11	1,00	0,99	0,99	0,98	1,30	1,28	1,00	1,13	1,12	0,90	1,00	1,00	1,00

COEFFICIENTI DI PORTANZA TRAVI WINKLER - CONDIZIONI DRENATE - S.L.U.

Trave	Brinch Hansen			IclTe	Incl.PianoPosa			Comb		Igk	CoeffIncl.Car.			Affondamento			Forma			Punzonamento		
Nro	Nc	Nq	Ng	Gc=Gq	Bc	Bq	Bg		N.ro	Sism	IcV	IqV	IgV	Dc	Dq	Dg	Sc	Sq	Sg	Psic	Psiq	Psig
									A1/12	1,00	0,97	0,97	0,94	1,30	1,28	1,00	1,13	1,12	0,90	1,00	1,00	1,00
									A1/13	1,00	0,96	0,97	0,94	1,30	1,28	1,00	1,13	1,12	0,90	1,00	1,00	1,00
									A1/14	1,00	0,94	0,95	0,90	1,30	1,28	1,00	1,13	1,12	0,90	1,00	1,00	1,00
								X+	A1/18	1,00	0,94	0,95	0,92	1,30	1,28	1,00	1,13	1,12	0,90	1,00	1,00	1,00
								X-	A1/25	1,00	0,94	0,95	0,92	1,30	1,28	1,00	1,13	1,12	0,90	1,00	1,00	1,00
								Y+	A1/34	1,00	0,96	0,96	0,94	1,30	1,28	1,00	1,13	1,12	0,90	1,00	1,00	1,00
								Y-	A1/37	1,00	0,96	0,96	0,94	1,30	1,28	1,00	1,13	1,12	0,90	1,00	1,00	1,00
14	23,94	13,20	14,47	1,00	1,00	1,00	1,00		A1/1	1,00	1,00	1,00	1,00	1,20	1,18	1,00	1,06	1,06	0,96	1,00	1,00	1,00
									A1/2	1,00	1,00	1,00	1,00	1,20	1,18	1,00	1,06	1,06	0,96	1,00	1,00	1,00
									A1/3	1,00	0,99	0,99	0,99	1,20	1,18	1,00	1,06	1,06	0,96	1,00	1,00	1,00
									A1/4	1,00	0,99	0,99	0,99	1,20	1,18	1,00	1,06	1,06	0,96	1,00	1,00	1,00
									A1/5	1,00	0,99	0,99	0,98	1,20	1,18	1,00	1,06	1,06	0,96	1,00	1,00	1,00
									A1/6	1,00	0,97	0,97	0,95	1,20	1,18	1,00	1,06	1,06	0,96	1,00	1,00	1,00
									A1/7	1,00	0,97	0,97	0,95	1,20	1,18	1,00	1,06	1,06	0,96	1,00	1,00	1,00
									A1/8	1,00	0,95	0,95	0,91	1,20	1,18	1,00	1,06	1,06	0,96	1,00	1,00	1,00
									A1/9	1,00	0,99	0,99	0,99	1,20	1,18	1,00	1,06	1,06	0,96	1,00	1,00	1,00
									A1/10	1,00	0,99	0,99	0,99	1,20	1,18	1,00	1,06	1,06	0,96	1,00	1,00	1,00
									A1/11	1,00	0,99	0,99	0,98	1,20	1,18	1,00	1,06	1,06	0,96	1,00	1,00	1,00
									A1/12	1,00	0,97	0,97	0,95	1,20	1,18	1,00	1,06	1,06	0,96	1,00	1,00	1,00
									A1/13	1,00	0,97	0,97	0,95	1,20	1,18	1,00	1,06	1,06	0,96	1,00	1,00	1,00
									A1/14	1,00	0,95	0,95	0,91	1,20	1,18	1,00	1,06	1,06	0,96	1,00	1,00	1,00
								X+	A1/15	1,00	0,95	0,95	0,92	1,20	1,18	1,00	1,06	1,06	0,96	1,00	1,00	1,00
								X-	A1/24	1,00	0,95	0,95	0,92	1,20	1,18	1,00	1,06	1,06	0,96	1,00	1,00	1,00
								Y+	A1/31	1,00	0,97	0,97	0,94	1,20	1,18	1,00	1,06	1,06	0,95	1,00	1,00	1,00
								Y-	A1/36	1,00	0,97	0,97	0,94	1,20	1,18	1,00	1,06	1,06	0,95	1,00	1,00	1,00
15	23,94	13,20	14,47	1,00	1,00	1,00	1,00		A1/1	1,00	1,00	1,00	1,00	1,20	1,18	1,00	1,06	1,06	0,96	1,00	1,00	1,00
									A1/2	1,00	1,00	1,00	1,00	1,20	1,18	1,00	1,06	1,06	0,96	1,00	1,00	1,00
									A1/3	1,00	0,99	0,99	0,99	1,20	1,18	1,00	1,06	1,06	0,96	1,00	1,00	1,00
									A1/4	1,00	0,99	0,99	0,99	1,20	1,18	1,00	1,06	1,06	0,96	1,00	1,00	1,00
									A1/5	1,00	0,99	0,99	0,98	1,20	1,18	1,00	1,06	1,06	0,96	1,00	1,00	1,00
									A1/6	1,00	0,97	0,97	0,95	1,20	1,18	1,00	1,06	1,06	0,96	1,00	1,00	1,00
									A1/7	1,00	0,97	0,97	0,95	1,20	1,18	1,00	1,06	1,06	0,96	1,00	1,00	1,00
									A1/8	1,00	0,95	0,95	0,91	1,20	1,18	1,00	1,06	1,06	0,96	1,00	1,00	1,00
									A1/9	1,00	0,99	0,99	0,99	1,20	1,18	1,00	1,06	1,06	0,96	1,00	1,00	1,00
									A1/10	1,00	0,99	0,99	0,99	1,20	1,18	1,00	1,06	1,06	0,96	1,00	1,00	1,00
									A1/11	1,00	0,99	0,99	0,98	1,20	1,18	1,00	1,06	1,06	0,96	1,00	1,00	1,00
									A1/12	1,00	0,97	0,97	0,95	1,20	1,18	1,00	1,06	1,06	0,96	1,00	1,00	1,00
									A1/13	1,00	0,97	0,97	0,95	1,20	1,18	1,00	1,06	1,06	0,96	1,00	1,00	1,00
									A1/14	1,00	0,95	0,95	0,91	1,20	1,18	1,00	1,06	1,06	0,96	1,00	1,00	1,00
								X+	A1/15	1,00	0,94	0,95	0,92	1,20	1,18	1,00	1,06	1,06	0,96	1,00	1,00	1,00
								X-	A1/24	1,00	0,94	0,95	0,92	1,20	1,18	1,00	1,06	1,06	0,96	1,00	1,00	1,00
								Y+	A1/40	1,00	0,97	0,97	0,94	1,20	1,18	1,00	1,06	1,06	0,95	1,00	1,00	1,00
								Y-	A1/43	1,00	0,97	0,97	0,94	1,20	1,18	1,00	1,06	1,06	0,95	1,00	1,00	1,00
16	23,94	13,20	14,47	1,00	1,00	1,00	1,00		A1/1	1,00	1,00	1,00	1,00	1,30	1,28	1,00	1,13	1,12	0,90	1,00	1,00	1,00
									A1/2	1,00	1,00	1,00	1,00	1,30	1,28	1,00	1,13	1,12	0,90	1,00	1,00	1,00
									A1/3	1,00	0,99	0,99	0,99	1,30	1,28	1,00	1,13	1,12	0,90	1,00	1,00	1,00
									A1/4	1,00	0,99	0,99	0,99	1,30	1,28	1,00	1,13	1,12	0,90	1,00	1,00	1,00
									A1/5	1,00	0,99	0,99	0,98	1,30	1,28	1,00	1,13	1,12	0,90	1,00	1,00	1,00
									A1/6	1,00	0,96	0,97	0,94	1,30	1,28	1,00	1,14	1,13	0,90	1,00	1,00	1,00
									A1/7	1,00	0,96	0,97	0,94	1,30	1,28	1,00	1,14	1,13	0,90	1,00	1,00	1,00
									A1/8	1,00	0,94	0,94	0,90	1,30	1,28	1,00	1,14	1,13	0,90	1,00	1,00	1,00
									A1/9	1,00	0,99	0,99	0,99	1,30	1,28	1,00	1,13	1,12	0,90	1,00	1,00	1,00
									A1/10	1,00	0,99	0,99	0,99	1,30	1,28	1,00	1,13	1,12	0,90	1,00	1,00	1,00
									A1/11	1,00	0,99	0,99	0,98	1,30	1,28	1,00	1,13	1,12	0,90	1,00	1,00	1,00
									A1/12	1,00	0,96	0,97	0,94	1,30	1,28	1,00	1,14	1,13	0,90	1,00	1,00	1,00
									A1/13	1,00	0,96	0,97	0,94	1,30	1,28	1,00	1,14	1,13	0,90	1,00	1,00	1,00
									A1/14	1,00	0,94	0,94	0,90	1,30	1,28	1,00	1,14	1,13	0,90	1,00	1,00	1,00
								X+	A1/15	1,00	0,94	0,95	0,92	1,30	1,28	1,00	1,13	1,12	0,90	1,00	1,00	1,00
								X-	A1/27	1,00	0,94	0,95	0,92	1,30	1,28	1,00	1,14	1,13	0,90	1,00	1,00	1,00
								Y+	A1/31	1,00	0,96	0,96	0,93	1,30	1,28	1,00	1,15	1,14	0,89	1,00	1,00	1,00
								Y-	A1/36	1,00	0,96	0,96	0,93	1,30	1,28	1,00	1,15	1,14	0,89	1,00	1,00	1,00
17	23,94	13,20	14,47	1,00	1,00	1,00	1,00		A1/1	1,00	1,00	1,00	1,00	1,30	1,28	1,00	1,14	1,13	0,90	1,00	1,00	1,00
									A1/2	1,00	1,00	1,00	1,00	1,30	1,28	1,00	1,14	1,13	0,90	1,00	1,00	1,00
									A1/3	1,00	0,99	0,99	0,99	1,30	1,28	1,00	1,14	1,13	0,90	1,00	1,00	1,00
									A1/4	1,00	0,99	0,99	0,99	1,30	1,28	1,00	1,14	1,13	0,90	1,00	1,00	1,00
									A1/5	1,00	0,99	0,99	0,98	1,30	1,28	1,00	1,14	1,13	0,90	1,00	1,00	1,00
									A1/6	1,00	0,95	0,95	0,93	1,30	1,27	1,00	1,14	1,13	0,90	1,00	1,00	1,00
									A1/7	1,00	0,95	0,95	0,93	1,30	1,27	1,00	1,14	1,13	0,90	1,00	1,00	1,00
									A1/8	1,00	0,92	0,92	0,88	1,30	1,28	1,00	1,14	1,13	0,90	1,00	1,00	1,00
									A1/9	1,00	0,99	0,99	0,99	1,30	1,28	1,00	1,14	1,13	0,90	1,00	1,00	1,00
									A1/10	1,00	0,99	0,99	0,99	1,30	1,28	1,00	1,14	1,13	0,90	1,00	1,00	1,00
									A1/11	1,00	0,99	0,99	0,98	1,30	1,28	1,00	1,14	1,13	0,90	1,00	1,00	1,00
									A1/12	1,00	0,95	0,95	0,92	1,30	1,28	1,00	1,14	1,13	0,90	1,00	1,00	1,00
									A1/13	1,00	0,94	0,95	0,92	1,30	1,28	1,00	1,14	1,13	0,90	1,00	1,00	1,00
									A1/14	1,00	0,91	0,91	0,87	1,30	1,28	1,00	1,14	1,13	0,90	1,00	1,00	1,00
								X+	A1/20	1,00	0,96	0,96	0,93	1,30	1,28	1,00	1,14	1,13	0,90	1,00	1,00	1,00
								X-	A1/27	1,00	0,96	0,96	0,93	1,30	1,28	1,00	1,14	1,13	0,90	1,00	1,00	1,00
								Y+	A1/34	1,00	0,95	0,95	0,93	1,30	1,28	1,00	1,14	1,13	0,90	1,00	1,00	1,00
								Y-	A1/36	1,00	0,94	0,95	0,91	1,30	1,28	1,00	1,14	1,13	0,90	1,00	1,00	1,00
18	23,94	13,20	14,47	1,00	1,00	1,00	1,00		A1/1	1,00	1,00	1,00	1,00	1,30	1,28	1,00	1,14	1,13	0,90	1,00	1,00	1,00
									A1/2	1,00	1,00	1,00	1,00	1,30	1,28	1,00	1,14	1,13	0,90	1,00	1,00	1,00
									A1/3	1,00	0,99	0,99	0,99	1,30	1,28	1,00	1,14	1,13	0,90	1,00	1,00	1,00
									A1/4	1,00	0,99	0,99	0,99	1,30	1,28	1,00	1,14	1,13	0,90	1,00	1,00	1,00
									A1/5	1,00	0,99	0,99	0,98	1,30	1,28	1,00	1,14	1,13	0,90	1,00	1,00	1,00
									A1/6	1,00	0,95	0,95	0,92	1,30	1,28	1,00	1,14	1,13	0,90	1,00	1,00	1,00
									A1/7	1,00	0,94	0,95	0,92	1,30	1,28	1,00	1,14	1,13	0,90	1,00	1,00	1,00
									A1/8	1,00	0,91	0,91	0,87	1,30	1,28	1,00	1,14	1,13	0,90	1,00	1,00	1,00
									A1/9	1,00	0,99	0,99	0,99	1,30	1,28	1,00	1,14	1,13	0,90	1,00	1,00	1,00
									A1/10	1,00	0,99	0,99	0,99	1,30	1,28	1,00	1,14	1,13	0,90	1,00	1,00	1,00
									A1/11	1,00	0,99	0,99	0,98	1,30	1,28	1,00	1,14	1,13	0,90	1,00	1,00	1,00
									A1/12	1,00	0,95	0,95	0,93	1,30	1,27	1,00	1,14	1,13	0,90	1,00	1,00	1,00
									A1/13	1,00	0,95	0,95	0,93	1,30	1,27	1,00	1,14	1,13	0,90	1,00	1,00	1,00
									A1/14	1,00	0,92	0,92	0,88	1,30	1,28	1,00	1,14	1,13	0,90	1,00	1,00	1,00
								X+	A1/15	1,00	0,96	0,96	0,93	1,30	1,28	1,00	1,14	1,13	0,90	1,00	1,00	1,00
								X-	A1/24	1,00	0,96	0,96	0,93	1,30	1,28	1,00	1,14	1,13	0,90	1,00	1,00	1,00

COEFFICIENTI DI PORTANZA TRAVI WINKLER - CONDIZIONI DRENATE - S.L.U.

Trave	Brinch Hansen			IclTe	Incl.PianoPosa			Comb		Igk	CoeffIncl.Car.			Affondamento			Forma			Punzonamento		
Nro	Nc	Nq	Ng	Gc=Gq	Bc	Bq	Bg		N.ro	Sism	IcV	IqV	IgV	Dc	Dq	Dg	Sc	Sq	Sg	Psic	Psiq	Psig
								Y+	A1/31	1,00	0,94	0,95	0,91	1,30	1,28	1,00	1,14	1,13	0,90	1,00	1,00	1,00
								Y-	A1/37	1,00	0,95	0,95	0,93	1,30	1,28	1,00	1,14	1,13	0,90	1,00	1,00	1,00
19	23,94	13,20	14,47	1,00	1,00	1,00	1,00		A1/1	1,00	1,00	1,00	1,00	1,30	1,28	1,00	1,13	1,12	0,90	1,00	1,00	1,00
									A1/2	1,00	1,00	1,00	1,00	1,30	1,28	1,00	1,13	1,12	0,90	1,00	1,00	1,00
									A1/3	1,00	0,99	0,99	0,99	1,30	1,28	1,00	1,13	1,12	0,90	1,00	1,00	1,00
									A1/4	1,00	0,99	0,99	0,99	1,30	1,28	1,00	1,13	1,12	0,90	1,00	1,00	1,00
									A1/5	1,00	0,99	0,99	0,98	1,30	1,28	1,00	1,13	1,12	0,90	1,00	1,00	1,00
									A1/6	1,00	0,96	0,97	0,94	1,30	1,28	1,00	1,13	1,12	0,90	1,00	1,00	1,00
									A1/7	1,00	0,96	0,97	0,94	1,30	1,28	1,00	1,13	1,12	0,90	1,00	1,00	1,00
									A1/8	1,00	0,94	0,95	0,90	1,30	1,28	1,00	1,13	1,12	0,90	1,00	1,00	1,00
									A1/9	1,00	0,99	0,99	0,99	1,30	1,28	1,00	1,13	1,12	0,90	1,00	1,00	1,00
									A1/10	1,00	0,99	0,99	0,99	1,30	1,28	1,00	1,13	1,12	0,90	1,00	1,00	1,00
									A1/11	1,00	0,99	0,99	0,98	1,30	1,28	1,00	1,13	1,12	0,90	1,00	1,00	1,00
									A1/12	1,00	0,96	0,97	0,94	1,30	1,28	1,00	1,13	1,12	0,90	1,00	1,00	1,00
									A1/13	1,00	0,96	0,97	0,94	1,30	1,28	1,00	1,13	1,12	0,90	1,00	1,00	1,00
									A1/14	1,00	0,94	0,95	0,90	1,30	1,28	1,00	1,13	1,12	0,90	1,00	1,00	1,00
								X+	A1/15	1,00	0,94	0,95	0,92	1,30	1,28	1,00	1,13	1,12	0,90	1,00	1,00	1,00
								X-	A1/24	1,00	0,94	0,95	0,92	1,30	1,28	1,00	1,13	1,12	0,90	1,00	1,00	1,00
								Y+	A1/31	1,00	0,96	0,96	0,94	1,30	1,28	1,00	1,14	1,13	0,90	1,00	1,00	1,00
								Y-	A1/36	1,00	0,96	0,96	0,94	1,30	1,28	1,00	1,14	1,13	0,90	1,00	1,00	1,00

CARICO LIMITE TRAVI WINKLER - S.L.U.

IDENTIIFICATIVO						DRENATE		NON DRENATE		RISULTATI					
Trave N.ro	Asta3d N.ro		Comb N.ro	Bx' m	By' m	GamEf kg/mc	QLimV (t)	GamEf kg/mc	QLimV (t)	N (t)	Coeff. Sicur.	Minimo CoeSic	N/Ar kg/cmq	QLim/Ar kg/cmq	Status Verifica
1	1		A1/1	1,09	3,98	1900	189,9			26,6	7,13				OK
			A1/2	1,09	3,98	1900	189,8			26,4	7,20				OK
			A1/3	1,09	3,99	1900	188,8			26,5	7,11				OK
			A1/4	1,09	3,99	1900	188,7			26,3	7,18				OK
			A1/5	1,09	3,99	1900	187,9			26,0	7,22				OK
			A1/6	1,10	4,08	1900	184,1			23,8	7,74				OK
			A1/7	1,10	4,08	1900	183,9			23,5	7,81				OK
			A1/8	1,09	4,13	1900	177,9			21,4	8,31				OK
			A1/9	1,09	3,98	1900	188,6			26,7	7,06				OK
			A1/10	1,09	3,98	1900	188,5			26,5	7,13				OK
			A1/11	1,09	3,98	1900	187,6			26,3	7,14				OK
			A1/12	1,09	3,91	1900	174,5			29,5	5,92				OK
			A1/13	1,09	3,91	1900	174,3			29,2	5,97				OK
			A1/14	1,08	3,86	1900	164,4			30,9	5,32	5,32	0,74	3,93	OK
		X+	A1/21	1,09	3,95	1900	178,4			20,2	8,82				OK
		X-	A1/30	1,09	3,89	1900	175,6			22,0	7,98				OK
		Y+	A1/40	1,09	4,12	1900	184,0			15,7	11,70				OK
		Y-	A1/46	1,08	3,81	1900	168,0			24,9	6,75				OK
2	2		A1/1	1,09	4,21	1900	198,6			23,0	8,64				OK
			A1/2	1,09	4,21	1900	198,6			22,7	8,74				OK
			A1/3	1,09	4,21	1900	197,4			23,0	8,58				OK
			A1/4	1,09	4,21	1900	197,4			22,7	8,68				OK
			A1/5	1,09	4,21	1900	196,6			22,5	8,74				OK
			A1/6	1,09	4,19	1900	187,8			22,5	8,35				OK
			A1/7	1,09	4,19	1900	187,7			22,2	8,45				OK
			A1/8	1,09	4,18	1900	180,7			21,6	8,35				OK
			A1/9	1,09	4,21	1900	197,4			23,0	8,59				OK
			A1/10	1,09	4,21	1900	197,4			22,7	8,69				OK
			A1/11	1,09	4,21	1900	196,7			22,5	8,76				OK
			A1/12	1,09	4,20	1900	187,0			23,5	7,96				OK
			A1/13	1,09	4,20	1900	186,9			23,2	8,05				OK
			A1/14	1,09	4,19	1900	179,1			23,3	7,68	7,68	0,51	3,94	OK
		X+	A1/21	1,09	4,21	1900	189,7			17,1	11,12				OK
		X-	A1/30	1,09	4,19	1900	188,9			16,8	11,22				OK
		Y+	A1/31	1,09	4,18	1900	187,6			15,9	11,77				OK
		Y-	A1/37	1,08	4,18	1900	185,3			17,6	10,55				OK
3	3		A1/1	1,08	5,05	1900	231,6			31,4	7,38				OK
			A1/2	1,08	5,05	1900	231,7			31,0	7,47				OK
			A1/3	1,08	5,05	1900	230,3			31,4	7,34				OK
			A1/4	1,08	5,06	1900	230,3			31,0	7,42				OK
			A1/5	1,08	5,06	1900	229,5			30,7	7,48				OK
			A1/6	1,08	5,05	1900	220,4			30,8	7,15				OK
			A1/7	1,08	5,06	1900	220,4			30,5	7,23				OK
			A1/8	1,09	5,06	1900	213,0			29,8	7,15				OK
			A1/9	1,08	5,05	1900	230,2			31,4	7,34				OK
			A1/10	1,08	5,05	1900	230,2			31,0	7,43				OK
			A1/11	1,08	5,05	1900	229,3			30,6	7,48				OK
			A1/12	1,07	5,05	1900	216,5			31,9	6,79				OK
			A1/13	1,07	5,05	1900	216,5			31,5	6,86				OK
			A1/14	1,06	5,05	1900	206,5			31,6	6,54	6,54	0,59	3,84	OK
		X+	A1/21	1,07	5,08	1900	220,9			23,2	9,52				OK
		X-	A1/30	1,07	5,03	1900	219,3			22,8	9,61				OK
		Y+	A1/31	1,09	5,07	1900	222,9			21,9	10,16				OK
		Y-	A1/37	1,06	5,06	1900	214,3			23,7	9,05				OK
4	4		A1/1	1,06	5,16	1900	232,9			34,0	6,84				OK
			A1/2	1,06	5,16	1900	233,0			33,6	6,93				OK
			A1/3	1,06	5,16	1900	231,4			34,0	6,80				OK
			A1/4	1,06	5,16	1900	231,5			33,6	6,89				OK
			A1/5	1,06	5,16	1900	230,5			33,2	6,94				OK
			A1/6	1,08	5,17	1900	222,8			33,5	6,65				OK
			A1/7	1,08	5,17	1900	222,7			33,1	6,73				OK
			A1/8	1,09	5,17	1900	216,1			32,4	6,68				OK
			A1/9	1,06	5,16	1900	231,5			34,0	6,80				OK

CARICO LIMITE TRAVI WINKLER - S.L.U.

IDENTIIFICATIVO					DRENATE		NON DRENATE		RISULTATI					
Trave N.ro	Asta3d N.ro	Comb N.ro	Bx' m	By' m	GamEf kg/mc	QLimV (t)	GamEf kg/mc	QLimV (t)	N (t)	Coeff. Sicur.	Minimo CoeSic	N/Ar kg/cmq	QLim/Ar kg/cmq	Status Verifica
		A1/10	1,06	5,16	1900	231,6			33,6	6,89				OK
		A1/11	1,06	5,16	1900	230,7			33,3	6,94				OK
		A1/12	1,05	5,16	1900	216,2			34,5	6,26				OK
		A1/13	1,05	5,16	1900	216,1			34,1	6,33				OK
		A1/14	1,04	5,15	1900	205,0			34,1	6,01	6,01	0,63	3,81	OK
		X+ A1/20	1,06	5,14	1900	219,3			24,7	8,88				OK
		X- A1/27	1,06	5,16	1900	220,1			25,1	8,78				OK
		Y+ A1/41	1,09	5,16	1900	226,1			23,8	9,48				OK
		Y- A1/43	1,04	5,16	1900	211,9			25,5	8,30				OK
5	5	A1/1	1,07	4,37	1900	202,5			26,8	7,54				OK
		A1/2	1,07	4,37	1900	202,6			26,5	7,64				OK
		A1/3	1,07	4,37	1900	201,3			26,8	7,50				OK
		A1/4	1,07	4,37	1900	201,3			26,5	7,60				OK
		A1/5	1,07	4,38	1900	200,6			26,2	7,66				OK
		A1/6	1,08	4,35	1900	192,3			26,3	7,31				OK
		A1/7	1,08	4,36	1900	192,3			26,0	7,40				OK
		A1/8	1,09	4,34	1900	185,6			25,3	7,33				OK
		A1/9	1,07	4,37	1900	201,2			26,9	7,49				OK
		A1/10	1,07	4,37	1900	201,3			26,5	7,59				OK
		A1/11	1,07	4,37	1900	200,5			26,3	7,64				OK
		A1/12	1,06	4,39	1900	190,0			27,4	6,94				OK
		A1/13	1,07	4,39	1900	190,0			27,1	7,02				OK
		A1/14	1,06	4,40	1900	181,7			27,1	6,69	6,69	0,58	3,89	OK
		X+ A1/20	1,07	4,40	1900	193,0			19,6	9,87				OK
		X- A1/27	1,07	4,39	1900	192,5			19,9	9,66				OK
		Y+ A1/41	1,09	4,34	1900	193,6			18,7	10,36				OK
		Y- A1/43	1,05	4,42	1900	188,4			20,4	9,21				OK
6	6	A1/1	1,07	4,37	1900	202,5			26,8	7,54				OK
		A1/2	1,07	4,37	1900	202,6			26,5	7,64				OK
		A1/3	1,07	4,37	1900	201,3			26,8	7,50				OK
		A1/4	1,07	4,37	1900	201,3			26,5	7,60				OK
		A1/5	1,07	4,38	1900	200,6			26,2	7,66				OK
		A1/6	1,06	4,39	1900	190,0			27,4	6,94				OK
		A1/7	1,07	4,39	1900	190,0			27,1	7,02				OK
		A1/8	1,06	4,40	1900	181,7			27,1	6,69	6,69	0,58	3,89	OK
		A1/9	1,07	4,37	1900	201,2			26,9	7,49				OK
		A1/10	1,07	4,37	1900	201,3			26,5	7,59				OK
		A1/11	1,07	4,37	1900	200,5			26,3	7,64				OK
		A1/12	1,08	4,35	1900	192,3			26,3	7,31				OK
		A1/13	1,08	4,36	1900	192,3			26,0	7,40				OK
		A1/14	1,09	4,34	1900	185,6			25,3	7,33				OK
		X+ A1/15	1,07	4,40	1900	193,0			19,6	9,87				OK
		X- A1/24	1,07	4,39	1900	192,5			19,9	9,66				OK
		Y+ A1/40	1,05	4,42	1900	188,4			20,4	9,21				OK
		Y- A1/46	1,09	4,34	1900	193,6			18,7	10,36				OK
7	7	A1/1	1,06	5,16	1900	232,9			34,0	6,84				OK
		A1/2	1,06	5,16	1900	233,0			33,6	6,93				OK
		A1/3	1,06	5,16	1900	231,4			34,0	6,80				OK
		A1/4	1,06	5,16	1900	231,5			33,6	6,89				OK
		A1/5	1,06	5,16	1900	230,5			33,2	6,94				OK
		A1/6	1,05	5,16	1900	216,2			34,5	6,26				OK
		A1/7	1,05	5,16	1900	216,1			34,1	6,33				OK
		A1/8	1,04	5,15	1900	205,0			34,1	6,01	6,01	0,63	3,81	OK
		A1/9	1,06	5,16	1900	231,5			34,0	6,80				OK
		A1/10	1,06	5,16	1900	231,6			33,6	6,89				OK
		A1/11	1,06	5,16	1900	230,7			33,3	6,94				OK
		A1/12	1,08	5,17	1900	222,8			33,5	6,65				OK
		A1/13	1,08	5,17	1900	222,7			33,1	6,73				OK
		A1/14	1,09	5,17	1900	216,1			32,4	6,68				OK
		X+ A1/15	1,06	5,14	1900	219,3			24,7	8,88				OK
		X- A1/24	1,06	5,16	1900	220,1			25,1	8,78				OK
		Y+ A1/40	1,04	5,16	1900	211,9			25,5	8,30				OK
		Y- A1/46	1,09	5,16	1900	226,1			23,8	9,48				OK
8	8	A1/1	1,08	5,05	1900	231,6			31,4	7,38				OK
		A1/2	1,08	5,05	1900	231,7			31,0	7,47				OK
		A1/3	1,08	5,05	1900	230,3			31,4	7,34				OK
		A1/4	1,08	5,06	1900	230,3			31,0	7,42				OK
		A1/5	1,08	5,06	1900	229,5			30,7	7,48				OK
		A1/6	1,07	5,05	1900	216,5			31,9	6,79				OK
		A1/7	1,07	5,05	1900	216,5			31,5	6,86				OK
		A1/8	1,06	5,05	1900	206,5			31,6	6,54	6,54	0,59	3,84	OK
		A1/9	1,08	5,05	1900	230,2			31,4	7,34				OK
		A1/10	1,08	5,05	1900	230,2			31,0	7,43				OK
		A1/11	1,08	5,05	1900	229,3			30,6	7,48				OK
		A1/12	1,08	5,05	1900	220,4			30,8	7,15				OK
		A1/13	1,08	5,06	1900	220,4			30,5	7,23				OK
		A1/14	1,09	5,06	1900	213,0			29,8	7,15				OK
		X+ A1/18	1,07	5,08	1900	220,9			23,2	9,52				OK
		X- A1/25	1,07	5,03	1900	219,3			22,8	9,61				OK
		Y+ A1/34	1,06	5,06	1900	214,3			23,7	9,05				OK
		Y- A1/36	1,09	5,07	1900	222,9			21,9	10,16				OK
9	9	A1/1	1,09	4,21	1900	198,6			23,0	8,64				OK
		A1/2	1,09	4,21	1900	198,6			22,7	8,74				OK
		A1/3	1,09	4,21	1900	197,4			23,0	8,58				OK
		A1/4	1,09	4,21	1900	197,4			22,7	8,68				OK
		A1/5	1,09	4,21	1900	196,6			22,5	8,74				OK

CARICO LIMITE TRAVI WINKLER - S.L.U.

IDENTIIFICATIVO					DRENATE		NON DRENATE		RISULTATI					
Trave N.ro	Asta3d N.ro	Comb N.ro	Bx' m	By' m	GamEf kg/mc	QLimV (t)	GamEf kg/mc	QLimV (t)	N (t)	Coeff. Sicur.	Minimo CoeSic	N/Ar kg/cmq	QLim/Ar kg/cmq	Status Verifica
		A1/6	1,09	4,20	1900	187,0			23,5	7,96				OK
		A1/7	1,09	4,20	1900	186,9			23,2	8,05				OK
		A1/8	1,09	4,19	1900	179,1			23,3	7,68	7,68	0,51	3,94	OK
		A1/9	1,09	4,21	1900	197,4			23,0	8,59				OK
		A1/10	1,09	4,21	1900	197,4			22,7	8,69				OK
		A1/11	1,09	4,21	1900	196,7			22,5	8,76				OK
		A1/12	1,09	4,19	1900	187,8			22,5	8,35				OK
		A1/13	1,09	4,19	1900	187,7			22,2	8,45				OK
		A1/14	1,09	4,18	1900	180,7			21,6	8,35				OK
	X+	A1/18	1,09	4,21	1900	189,7			17,1	11,12				OK
	X-	A1/25	1,09	4,19	1900	188,9			16,8	11,22				OK
	Y+	A1/34	1,08	4,18	1900	185,3			17,6	10,55				OK
	Y-	A1/36	1,09	4,18	1900	187,6			15,9	11,77				OK
10	10	A1/1	1,09	3,98	1900	189,9			26,6	7,13				OK
		A1/2	1,09	3,98	1900	189,8			26,4	7,20				OK
		A1/3	1,09	3,99	1900	188,8			26,5	7,11				OK
		A1/4	1,09	3,99	1900	188,7			26,3	7,18				OK
		A1/5	1,09	3,99	1900	187,9			26,0	7,22				OK
		A1/6	1,09	3,91	1900	174,5			29,5	5,92				OK
		A1/7	1,09	3,91	1900	174,3			29,2	5,97				OK
		A1/8	1,08	3,86	1900	164,4			30,9	5,32	5,32	0,74	3,93	OK
		A1/9	1,09	3,98	1900	188,6			26,7	7,06				OK
		A1/10	1,09	3,98	1900	188,5			26,5	7,13				OK
		A1/11	1,09	3,98	1900	187,6			26,3	7,14				OK
		A1/12	1,10	4,08	1900	184,1			23,8	7,74				OK
		A1/13	1,10	4,08	1900	183,9			23,5	7,81				OK
		A1/14	1,09	4,13	1900	177,9			21,4	8,31				OK
	X+	A1/18	1,09	3,95	1900	178,4			20,2	8,82				OK
	X-	A1/25	1,09	3,89	1900	175,6			22,0	7,98				OK
	Y+	A1/41	1,08	3,81	1900	168,0			24,9	6,75				OK
	Y-	A1/43	1,09	4,12	1900	184,0			15,7	11,70				OK
11	11	A1/1	0,79	4,60	1900	151,8			20,8	7,31				OK
		A1/2	0,79	4,60	1900	151,8			20,6	7,37				OK
		A1/3	0,79	4,60	1900	150,5			20,7	7,28				OK
		A1/4	0,79	4,60	1900	150,5			20,5	7,34				OK
		A1/5	0,79	4,60	1900	149,6			20,3	7,38				OK
		A1/6	0,79	4,43	1900	141,1			20,8	6,80				OK
		A1/7	0,79	4,43	1900	141,0			20,6	6,85				OK
		A1/8	0,79	4,31	1900	133,9			20,4	6,55	6,55	0,60	3,92	OK
		A1/9	0,79	4,60	1900	150,5			20,9	7,21				OK
		A1/10	0,79	4,60	1900	150,4			20,7	7,27				OK
		A1/11	0,79	4,60	1900	149,5			20,6	7,26				OK
		A1/12	0,79	4,43	1900	141,1			20,8	6,80				OK
		A1/13	0,79	4,43	1900	141,0			20,6	6,85				OK
		A1/14	0,79	4,31	1900	133,9			20,4	6,55				OK
	X+	A1/18	0,79	4,46	1900	138,7			14,2	9,78				OK
	X-	A1/25	0,79	4,47	1900	138,2			16,4	8,44				OK
	Y+	A1/41	0,79	4,19	1900	133,0			15,6	8,53				OK
	Y-	A1/46	0,79	4,19	1900	133,0			15,6	8,53				OK
12	12	A1/1	1,10	4,60	1900	217,3			23,3	9,31				OK
		A1/2	1,10	4,60	1900	217,3			23,1	9,41				OK
		A1/3	1,10	4,60	1900	215,6			23,3	9,24				OK
		A1/4	1,10	4,60	1900	215,5			23,1	9,34				OK
		A1/5	1,10	4,60	1900	214,3			22,8	9,38				OK
		A1/6	1,10	4,54	1900	207,0			23,3	8,87				OK
		A1/7	1,10	4,54	1900	206,9			23,1	8,96				OK
		A1/8	1,10	4,51	1900	199,9			22,9	8,74	8,74	0,46	4,04	OK
		A1/9	1,10	4,60	1900	215,5			23,4	9,23				OK
		A1/10	1,10	4,60	1900	215,4			23,1	9,32				OK
		A1/11	1,10	4,60	1900	214,2			22,9	9,35				OK
		A1/12	1,10	4,54	1900	207,0			23,3	8,87				OK
		A1/13	1,10	4,54	1900	206,9			23,1	8,96				OK
		A1/14	1,10	4,51	1900	199,9			22,9	8,74				OK
	X+	A1/18	1,10	4,56	1900	203,5			16,8	12,11				OK
	X-	A1/25	1,09	4,56	1900	202,4			17,2	11,78				OK
	Y+	A1/41	1,10	4,47	1900	202,7			17,0	11,89				OK
	Y-	A1/46	1,10	4,47	1900	202,7			17,0	11,89				OK
13	13	A1/1	1,10	4,60	1900	217,5			23,4	9,31				OK
		A1/2	1,10	4,60	1900	217,5			23,1	9,42				OK
		A1/3	1,10	4,60	1900	215,6			23,4	9,22				OK
		A1/4	1,10	4,60	1900	215,6			23,1	9,33				OK
		A1/5	1,10	4,60	1900	214,4			22,9	9,36				OK
		A1/6	1,10	4,58	1900	208,7			23,4	8,94				OK
		A1/7	1,10	4,58	1900	208,7			23,1	9,03				OK
		A1/8	1,10	4,57	1900	202,8			22,9	8,87	8,87	0,46	4,04	OK
		A1/9	1,10	4,60	1900	215,7			23,3	9,24				OK
		A1/10	1,10	4,60	1900	215,7			23,1	9,35				OK
		A1/11	1,10	4,60	1900	214,4			22,8	9,40				OK
		A1/12	1,10	4,58	1900	208,7			23,4	8,94				OK
		A1/13	1,10	4,58	1900	208,7			23,1	9,03				OK
		A1/14	1,10	4,57	1900	202,8			22,9	8,87				OK
	X+	A1/18	1,10	4,59	1900	204,1			17,2	11,87				OK
	X-	A1/25	1,10	4,59	1900	204,7			16,7	12,26				OK
	Y+	A1/34	1,10	4,56	1900	207,0			17,0	12,16				OK
	Y-	A1/37	1,10	4,56	1900	207,0			17,0	12,16				OK
14	14	A1/1	0,50	4,60	1900	46,3			8,7	5,30				OK

CARICO LIMITE TRAVI WINKLER - S.L.U.															
IDENTIIFICATIVO					DRENATE		NON DRENATE		RISULTATI						
Trave N.ro	Asta3d N.ro		Comb N.ro	Bx' m	By' m	GamEf kg/mc	QLimV (t)	GamEf kg/mc	QLimV (t)	N (t)	Coeff. Sicur.	Minimo CoeSic	N/Ar kg/cmq	QLim/Ar kg/cmq	Status Verifica
			A1/2	0,50	4,60	1900	46,3			8,6	5,36				OK
			A1/3	0,50	4,60	1900	45,9			8,7	5,26				OK
			A1/4	0,50	4,60	1900	45,9			8,6	5,31				OK
			A1/5	0,50	4,60	1900	45,6			8,6	5,33				OK
			A1/6	0,50	4,51	1900	43,9			8,7	5,04				OK
			A1/7	0,50	4,51	1900	43,9			8,6	5,08				OK
			A1/8	0,50	4,45	1900	42,3			8,6	4,94	4,94	0,39	1,90	OK
			A1/9	0,50	4,60	1900	45,9			8,7	5,26				OK
			A1/10	0,50	4,60	1900	45,9			8,6	5,31				OK
			A1/11	0,50	4,60	1900	45,6			8,6	5,33				OK
			A1/12	0,50	4,51	1900	43,9			8,7	5,04				OK
			A1/13	0,50	4,51	1900	43,9			8,6	5,08				OK
			A1/14	0,50	4,45	1900	42,3			8,6	4,94				OK
		X+	A1/15	0,50	4,54	1900	43,1			6,3	6,80				OK
		X-	A1/24	0,50	4,54	1900	43,1			6,3	6,81				OK
		Y+	A1/31	0,50	4,41	1900	42,8			6,3	6,76				OK
		Y-	A1/36	0,50	4,41	1900	42,8			6,3	6,76				OK
15	15		A1/1	0,50	4,60	1900	46,3			8,9	5,19				OK
			A1/2	0,50	4,60	1900	46,3			8,8	5,24				OK
			A1/3	0,50	4,60	1900	45,9			8,9	5,15				OK
			A1/4	0,50	4,60	1900	45,9			8,8	5,20				OK
			A1/5	0,50	4,60	1900	45,6			8,7	5,21				OK
			A1/6	0,50	4,51	1900	43,9			8,9	4,92				OK
			A1/7	0,50	4,51	1900	43,8			8,8	4,96				OK
			A1/8	0,50	4,44	1900	42,2			8,8	4,82	4,82	0,39	1,90	OK
			A1/9	0,50	4,60	1900	45,9			8,9	5,14				OK
			A1/10	0,50	4,60	1900	45,9			8,8	5,19				OK
			A1/11	0,50	4,60	1900	45,6			8,8	5,20				OK
			A1/12	0,50	4,51	1900	43,9			8,9	4,92				OK
			A1/13	0,50	4,51	1900	43,8			8,8	4,96				OK
			A1/14	0,50	4,44	1900	42,2			8,8	4,82				OK
		X+	A1/15	0,50	4,53	1900	43,0			6,4	6,73				OK
		X-	A1/24	0,50	4,53	1900	42,9			6,5	6,59				OK
		Y+	A1/40	0,50	4,38	1900	42,5			6,5	6,56				OK
		Y-	A1/43	0,50	4,38	1900	42,5			6,5	6,56				OK
16	16		A1/1	1,09	4,60	1900	216,6			23,5	9,23				OK
			A1/2	1,09	4,60	1900	216,6			23,3	9,30				OK
			A1/3	1,09	4,60	1900	214,7			23,6	9,10				OK
			A1/4	1,09	4,60	1900	214,7			23,4	9,17				OK
			A1/5	1,09	4,60	1900	213,4			23,3	9,15				OK
			A1/6	1,09	4,40	1900	200,3			23,5	8,54				OK
			A1/7	1,09	4,40	1900	200,2			23,3	8,60				OK
			A1/8	1,09	4,27	1900	189,2			23,1	8,19	8,19	0,50	4,06	OK
			A1/9	1,09	4,60	1900	214,8			23,3	9,21				OK
			A1/10	1,09	4,60	1900	214,8			23,2	9,27				OK
			A1/11	1,09	4,60	1900	213,6			22,9	9,32				OK
			A1/12	1,09	4,40	1900	200,3			23,5	8,54				OK
			A1/13	1,09	4,40	1900	200,2			23,3	8,60				OK
			A1/14	1,09	4,27	1900	189,2			23,1	8,19				OK
		X+	A1/15	1,09	4,46	1900	197,0			18,7	10,56				OK
		X-	A1/27	1,10	4,43	1900	198,2			15,9	12,45				OK
		Y+	A1/31	1,09	4,12	1900	187,5			17,7	10,59				OK
		Y-	A1/36	1,09	4,12	1900	187,5			17,7	10,59				OK
17	17		A1/1	1,09	4,33	1900	204,2			23,0	8,88				OK
			A1/2	1,09	4,33	1900	204,1			22,8	8,96				OK
			A1/3	1,09	4,32	1900	202,9			23,1	8,80				OK
			A1/4	1,09	4,32	1900	202,8			22,8	8,88				OK
			A1/5	1,09	4,32	1900	201,8			22,7	8,90				OK
			A1/6	1,10	4,30	1900	194,0			20,3	9,54				OK
			A1/7	1,10	4,30	1900	193,9			20,1	9,64				OK
			A1/8	1,09	4,21	1900	182,4			18,2	10,05				OK
			A1/9	1,09	4,33	1900	203,1			22,9	8,86				OK
			A1/10	1,09	4,33	1900	203,0			22,7	8,94				OK
			A1/11	1,09	4,33	1900	202,3			22,5	9,00				OK
			A1/12	1,08	4,25	1900	188,2			25,6	7,34				OK
			A1/13	1,08	4,25	1900	188,1			25,4	7,39				OK
			A1/14	1,08	4,20	1900	177,7			27,0	6,58	6,58	0,60	3,92	OK
		X+	A1/20	1,09	4,22	1900	189,5			19,1	9,92				OK
		X-	A1/27	1,09	4,29	1900	192,8			17,6	10,96				OK
		Y+	A1/34	1,09	4,21	1900	188,4			13,3	14,18				OK
		Y-	A1/36	1,08	4,15	1900	181,5			21,9	8,30				OK
18	18		A1/1	1,09	4,33	1900	204,2			23,0	8,88				OK
			A1/2	1,09	4,33	1900	204,1			22,8	8,96				OK
			A1/3	1,09	4,32	1900	202,9			23,1	8,80				OK
			A1/4	1,09	4,32	1900	202,8			22,8	8,88				OK
			A1/5	1,09	4,32	1900	201,8			22,7	8,90				OK
			A1/6	1,08	4,25	1900	188,2			25,6	7,34				OK
			A1/7	1,08	4,25	1900	188,1			25,4	7,39				OK
			A1/8	1,08	4,20	1900	177,7			27,0	6,58	6,58	0,60	3,92	OK
			A1/9	1,09	4,33	1900	203,1			22,9	8,86				OK
			A1/10	1,09	4,33	1900	203,0			22,7	8,94				OK
			A1/11	1,09	4,33	1900	202,3			22,5	9,00				OK
			A1/12	1,10	4,30	1900	194,0			20,3	9,54				OK
			A1/13	1,10	4,30	1900	193,9			20,1	9,64				OK
			A1/14	1,09	4,21	1900	182,4			18,2	10,05				OK
		X+	A1/15	1,09	4,22	1900	189,5			19,1	9,92				OK
		X-	A1/24	1,09	4,29	1900	192,8			17,6	10,96				OK

CARICO LIMITE TRAVI WINKLER - S.L.U.

IDENTIIFICATIVO						DRENATE		NON DRENATE		RISULTATI					
Trave N.ro	Asta3d N.ro	Comb N.ro		Bx' m	By' m	GamEf kg/mc	QLimV (t)	GamEf kg/mc	QLimV (t)	N (t)	Coeff. Sicur.	Minimo CoeSic	N/Ar kg/cmq	QLim/Ar kg/cmq	Status Verifica
		Y+	A1/31	1,08	4,15	1900	181,5			21,9	8,30				OK
		Y-	A1/37	1,09	4,21	1900	188,4			13,3	14,18				OK
19	19		A1/1	1,10	4,60	1900	217,4			23,8	9,15				OK
			A1/2	1,10	4,60	1900	217,5			23,5	9,24				OK
			A1/3	1,10	4,60	1900	215,6			23,8	9,07				OK
			A1/4	1,10	4,60	1900	215,6			23,5	9,16				OK
			A1/5	1,10	4,60	1900	214,4			23,3	9,20				OK
			A1/6	1,10	4,54	1900	206,8			23,8	8,70				OK
			A1/7	1,10	4,54	1900	206,8			23,5	8,79				OK
			A1/8	1,10	4,50	1900	199,7			23,3	8,57	8,57	0,47	4,04	OK
			A1/9	1,10	4,60	1900	215,6			23,8	9,07				OK
			A1/10	1,10	4,60	1900	215,6			23,5	9,17				OK
			A1/11	1,10	4,60	1900	214,3			23,3	9,21				OK
			A1/12	1,10	4,54	1900	206,8			23,8	8,70				OK
			A1/13	1,10	4,54	1900	206,8			23,5	8,79				OK
			A1/14	1,10	4,50	1900	199,7			23,3	8,57				OK
		X+	A1/15	1,10	4,55	1900	203,1			17,4	11,65				OK
		X-	A1/24	1,10	4,55	1900	202,4			17,2	11,77				OK
		Y+	A1/31	1,10	4,45	1900	202,6			17,3	11,68				OK
		Y-	A1/36	1,10	4,45	1900	202,6			17,3	11,68				OK

VERIFICA ALLO SCORRIMENTO - CONDIZIONI DRENATE

IDENTIFICATIVO			RISULTATI									
Combinazione N.ro	Tipo Elem.	Elem N.ro	N (t)	Tg(fi)/ Gfi/Gr	C/Gc/Gr t/mq	Area mq	Vres (t)	Fh (t)	Verifica Locale	S(Vres) (t)	S(Fh) (t)	Verifica Globale
A1 / 8	TRAVE	1	21,42	0,261	145,45	4,499	659,96	1,40	OK	659,96	1,40	
	TRAVE	2	21,64	0,261	145,45	4,574	670,91	1,41	OK	1330,87	2,81	
	TRAVE	3	29,77	0,261	145,45	5,506	808,59	1,95	OK	2139,45	4,76	
	TRAVE	4	32,36	0,261	145,45	5,615	825,12	2,12	OK	2964,57	6,88	
	TRAVE	5	25,31	0,261	145,45	4,734	695,19	1,65	OK	3659,76	8,53	
	TRAVE	6	27,14	0,261	145,45	4,665	685,62	1,77	OK	4345,39	10,30	
	TRAVE	7	34,10	0,261	145,45	5,377	791,04	2,23	OK	5136,42	12,53	
	TRAVE	8	31,57	0,261	145,45	5,371	789,51	2,06	OK	5925,94	14,60	
	TRAVE	9	23,33	0,261	145,45	4,548	667,55	1,52	OK	6593,48	16,12	
	TRAVE	10	30,88	0,261	145,45	4,181	616,19	2,02	OK	7209,67	18,14	
	TRAVE	11	20,44	0,261	145,45	3,412	501,67	1,34	OK	7711,34	19,47	
	TRAVE	12	22,87	0,261	145,45	4,944	725,08	1,49	OK	8436,42	20,97	
	TRAVE	13	22,85	0,261	145,45	5,017	735,71	1,49	OK	9172,13	22,46	
	TRAVE	14	8,56	0,261	145,45	2,223	325,54	0,56	OK	9497,68	23,02	
	TRAVE	15	8,76	0,261	145,45	2,217	324,76	0,57	OK	9822,43	23,60	
	TRAVE	16	23,12	0,261	145,45	4,667	684,84	1,51	OK	10507,27	25,11	
	TRAVE	17	18,15	0,261	145,45	4,599	673,62	1,19	OK	11180,89	26,29	
	TRAVE	18	27,00	0,261	145,45	4,536	666,76	1,76	OK	11847,66	28,06	
	TRAVE	19	23,29	0,261	145,45	4,938	724,26	1,52	OK	12571,91	29,58	OK

CEDIMENTI ELASTICI ED EDOMETRICI

Filo N.ro	Combinaz N.ro	Ced.El. cm	Ced.Ed. cm	Filo N.ro	Combinaz N.ro	Ced.El. cm	Ced.Ed. cm	Filo N.ro	Combinaz N.ro	Ced.El. cm	Ced.Ed. cm	Filo N.ro	Combinaz N.ro	Ced.El. cm	Ced.Ed. cm
1	Rare 1	1,12	0,87	2	Rare 1	1,25	0,97	3	Rare 1	1,26	0,98	4	Rare 1	1,15	0,90
	Rare 2	1,11	0,87		Rare 2	1,24	0,96		Rare 2	1,25	0,97		Rare 2	1,14	0,89
	Rare 3	1,12	0,87		Rare 3	1,25	0,97		Rare 3	1,26	0,98		Rare 3	1,15	0,90
	Rare 4	1,11	0,87		Rare 4	1,24	0,96		Rare 4	1,25	0,97		Rare 4	1,14	0,89
	Rare 5	1,10	0,86		Rare 5	1,22	0,95		Rare 5	1,24	0,96		Rare 5	1,13	0,88
	Rare 6	1,00	0,78		Rare 6	1,22	0,95		Rare 6	1,25	0,97		Rare 6	1,14	0,89
	Rare 7	0,99	0,77		Rare 7	1,20	0,93		Rare 7	1,24	0,96		Rare 7	1,13	0,88
	Rare 8	0,90	0,70		Rare 8	1,16	0,90		Rare 8	1,21	0,94		Rare 8	1,11	0,87
	Rare 9	1,12	0,87		Rare 9	1,25	0,97		Rare 9	1,26	0,98		Rare 9	1,15	0,90
	Rare 10	1,11	0,87		Rare 10	1,24	0,96		Rare 10	1,25	0,97		Rare 10	1,14	0,89
	Rare 11	1,10	0,86		Rare 11	1,22	0,95		Rare 11	1,24	0,96		Rare 11	1,13	0,88
	Rare 12	1,24	0,97		Rare 12	1,29	1,00		Rare 12	1,28	0,99		Rare 12	1,16	0,90
	Rare 13	1,23	0,96		Rare 13	1,27	0,99		Rare 13	1,26	0,98		Rare 13	1,15	0,90
	Rare 14	1,30	1,01		Rare 14	1,28	1,00		Rare 14	1,26	0,98		Rare 14	1,15	0,89
	Freq 1	1,09	0,85		Freq 1	1,21	0,94		Freq 1	1,22	0,95		Freq 1	1,12	0,87
	Freq 2	1,10	0,85		Freq 2	1,21	0,94		Freq 2	1,23	0,95		Freq 2	1,12	0,87
	Freq 3	1,09	0,85		Freq 3	1,21	0,94		Freq 3	1,22	0,95		Freq 3	1,12	0,87
	Freq 4	1,05	0,82		Freq 4	1,20	0,93		Freq 4	1,22	0,95		Freq 4	1,11	0,87
	Freq 5	1,09	0,85		Freq 5	1,21	0,94		Freq 5	1,22	0,95		Freq 5	1,12	0,87
	Freq 6	1,13	0,88		Freq 6	1,22	0,95		Freq 6	1,23	0,95		Freq 6	1,12	0,87
	Perm 1	1,09	0,85		Perm 1	1,21	0,94		Perm 1	1,22	0,95		Perm 1	1,12	0,87
	MAX.	1,30	1,01		MAX.	1,29	1,00		MAX.	1,28	0,99		MAX.	1,16	0,90
5	Rare 1	1,12	0,87	6	Rare 1	1,04	0,81	7	Rare 1	1,04	0,81	8	Rare 1	1,12	0,87
	Rare 2	1,11	0,86		Rare 2	1,02	0,80		Rare 2	1,03	0,80		Rare 2	1,11	0,86
	Rare 3	1,12	0,87		Rare 3	1,04	0,81		Rare 3	1,04	0,81		Rare 3	1,12	0,87
	Rare 4	1,11	0,86		Rare 4	1,02	0,80		Rare 4	1,03	0,80		Rare 4	1,11	0,86
	Rare 5	1,10	0,85		Rare 5	1,01	0,79		Rare 5	1,02	0,79		Rare 5	1,10	0,85
	Rare 6	1,11	0,86		Rare 6	0,93	0,72		Rare 6	1,15	0,89		Rare 6	1,13	0,88
	Rare 7	1,10	0,86		Rare 7	0,91	0,71		Rare 7	1,14	0,89		Rare 7	1,12	0,87
	Rare 8	1,08	0,84		Rare 8	0,83	0,64		Rare 8	1,20	0,93		Rare 8	1,11	0,87
	Rare 9	1,12	0,87		Rare 9	1,04	0,81		Rare 9	1,04	0,81		Rare 9	1,12	0,87
	Rare 10	1,11	0,86		Rare 10	1,02	0,80		Rare 10	1,03	0,80		Rare 10	1,11	0,86
	Rare 11	1,10	0,85		Rare 11	1,01	0,79		Rare 11	1,02	0,79		Rare 11	1,10	0,85
	Rare 12	1,13	0,88		Rare 12	1,15	0,89		Rare 12	0,93	0,72		Rare 12	1,11	0,86
	Rare 13	1,12	0,87		Rare 13	1,13	0,88		Rare 13	0,92	0,71		Rare 13	1,10	0,85
	Rare 14	1,12	0,87		Rare 14	1,20	0,93		Rare 14	0,83	0,65		Rare 14	1,08	0,84
	Freq 1	1,09	0,85		Freq 1	1,00	0,78		Freq 1	1,00	0,78		Freq 1	1,08	0,84
	Freq 2	1,09	0,85		Freq 2	1,01	0,78		Freq 2	1,01	0,79		Freq 2	1,09	0,85
	Freq 3	1,09	0,85		Freq 3	1,00	0,78		Freq 3	1,00	0,78		Freq 3	1,08	0,84
	Freq 4	1,08	0,84		Freq 4	0,96	0,75		Freq 4	1,04	0,81		Freq 4	1,09	0,85
	Freq 5	1,09	0,85		Freq 5	1,00	0,78		Freq 5	1,00	0,78		Freq 5	1,08	0,84
	Freq 6	1,09	0,85		Freq 6	1,04	0,81		Freq 6	0,97	0,75		Freq 6	1,08	0,84
	Perm 1	1,09	0,85		Perm 1	1,00	0,78		Perm 1	1,00	0,78		Perm 1	1,08	0,84
	MAX.	1,13	0,88		MAX.	1,20	0,93		MAX.	1,20	0,93		MAX.	1,13	0,88

CEDIMENTI ELASTICI ED EDOMETRICI

Filo N.ro	Combinaz N.ro	Ced.El. cm	Ced.Ed. cm	Filo N.ro	Combinaz N.ro	Ced.El. cm	Ced.Ed. cm	Filo N.ro	Combinaz N.ro	Ced.El. cm	Ced.Ed. cm	Filo N.ro	Combinaz N.ro	Ced.El. cm	Ced.Ed. cm
9	Rare 1	1,15	0,90	10	Rare 1	1,28	0,99	11	Rare 1	1,24	0,96	12	Rare 1	1,12	0,87
	Rare 2	1,14	0,89		Rare 2	1,26	0,98		Rare 2	1,23	0,95		Rare 2	1,11	0,86
	Rare 3	1,15	0,90		Rare 3	1,28	0,99		Rare 3	1,24	0,96		Rare 3	1,12	0,87
	Rare 4	1,14	0,89		Rare 4	1,26	0,98		Rare 4	1,23	0,95		Rare 4	1,11	0,86
	Rare 5	1,13	0,88		Rare 5	1,25	0,97		Rare 5	1,21	0,94		Rare 5	1,10	0,85
	Rare 6	1,16	0,90		Rare 6	1,29	1,00		Rare 6	1,27	0,99		Rare 6	1,24	0,96
	Rare 7	1,15	0,89		Rare 7	1,28	0,99		Rare 7	1,26	0,98		Rare 7	1,23	0,96
	Rare 8	1,15	0,89		Rare 8	1,27	0,99		Rare 8	1,26	0,98		Rare 8	1,30	1,01
	Rare 9	1,15	0,90		Rare 9	1,28	0,99		Rare 9	1,24	0,96		Rare 9	1,12	0,87
	Rare 10	1,14	0,89		Rare 10	1,26	0,98		Rare 10	1,23	0,95		Rare 10	1,11	0,86
	Rare 11	1,13	0,88		Rare 11	1,25	0,97		Rare 11	1,21	0,94		Rare 11	1,10	0,85
	Rare 12	1,14	0,89		Rare 12	1,26	0,98		Rare 12	1,21	0,94		Rare 12	1,00	0,78
	Rare 13	1,13	0,88		Rare 13	1,25	0,97		Rare 13	1,20	0,93		Rare 13	0,99	0,77
	Rare 14	1,11	0,86		Rare 14	1,22	0,95		Rare 14	1,16	0,90		Rare 14	0,90	0,70
	Freq 1	1,12	0,87		Freq 1	1,23	0,96		Freq 1	1,20	0,93		Freq 1	1,09	0,85
	Freq 2	1,12	0,87		Freq 2	1,24	0,96		Freq 2	1,20	0,94		Freq 2	1,09	0,85
	Freq 3	1,12	0,87		Freq 3	1,23	0,96		Freq 3	1,20	0,93		Freq 3	1,09	0,85
	Freq 4	1,12	0,87		Freq 4	1,24	0,96		Freq 4	1,21	0,94		Freq 4	1,13	0,88
	Freq 5	1,12	0,87		Freq 5	1,23	0,96		Freq 5	1,20	0,93		Freq 5	1,09	0,85
	Freq 6	1,11	0,87		Freq 6	1,23	0,96		Freq 6	1,19	0,92		Freq 6	1,05	0,82
	Perm 1	1,12	0,87		Perm 1	1,23	0,96		Perm 1	1,20	0,93		Perm 1	1,09	0,85
	MAX.	1,16	0,90		MAX.	1,29	1,00		MAX.	1,27	0,99		MAX.	1,30	1,01
13	Rare 1	1,26	0,98	14	Rare 1	1,25	0,97								
	Rare 2	1,24	0,97		Rare 2	1,24	0,96								
	Rare 3	1,26	0,98		Rare 3	1,25	0,97								
	Rare 4	1,24	0,97		Rare 4	1,24	0,96								
	Rare 5	1,23	0,95		Rare 5	1,22	0,95								
	Rare 6	1,21	0,94		Rare 6	1,29	1,01								
	Rare 7	1,20	0,93		Rare 7	1,28	0,99								
	Rare 8	1,16	0,90		Rare 8	1,29	1,00								
	Rare 9	1,26	0,98		Rare 9	1,25	0,97								
	Rare 10	1,24	0,97		Rare 10	1,24	0,96								
	Rare 11	1,23	0,95		Rare 11	1,22	0,95								
	Rare 12	1,30	1,01		Rare 12	1,21	0,94								
	Rare 13	1,28	1,00		Rare 13	1,20	0,93								
	Rare 14	1,30	1,01		Rare 14	1,16	0,90								
	Freq 1	1,21	0,94		Freq 1	1,21	0,94								
	Freq 2	1,22	0,95		Freq 2	1,22	0,95								
	Freq 3	1,21	0,94		Freq 3	1,21	0,94								
	Freq 4	1,20	0,93		Freq 4	1,22	0,95								
	Freq 5	1,21	0,94		Freq 5	1,21	0,94								
	Freq 6	1,23	0,95		Freq 6	1,20	0,93								
	Perm 1	1,21	0,94		Perm 1	1,21	0,94								
	MAX.	1,30	1,01		MAX.	1,29	1,01								

STATO TENSIONALE NEL TERRENO - COMBINAZIONE:Rare 1

Filo N.ro	Quota m	Tens. kg/cmq	Filo N.ro	Quota m	Tens. kg/cmq	Filo N.ro	Quota m	Tens. kg/cmq	Filo N.ro	Quota m	Tens. kg/cmq	Filo N.ro	Quota m	Tens. kg/cmq	Filo N.ro	Quota m	Tens. kg/cmq
1	1,5	0,59	2	1,6	0,53	3	1,6	0,52	4	1,4	0,53	5	1,4	0,54	6	1,6	0,51
	1,6	0,57		1,7	0,52		1,7	0,51		1,5	0,51		1,5	0,52		1,7	0,48
	1,7	0,53		1,8	0,50		1,8	0,49		1,6	0,47		1,6	0,48		1,8	0,45
	1,8	0,49		1,9	0,47		1,9	0,47		1,7	0,44		1,7	0,45		1,9	0,41
	1,9	0,44		2,0	0,44		2,0	0,44		1,8	0,40		1,8	0,41		2,0	0,38
	2,0	0,40		2,1	0,41		2,1	0,41		1,9	0,37		1,9	0,38		2,1	0,34
	2,1	0,36		2,2	0,38		2,2	0,38		2,0	0,34		2,0	0,35		2,2	0,32
	2,2	0,33		2,3	0,36		2,3	0,36		2,1	0,32		2,1	0,32		2,3	0,29
	2,3	0,30		2,4	0,34		2,4	0,33		2,2	0,30		2,2	0,30		2,4	0,27
	2,4	0,28		2,5	0,27		2,5	0,29		2,3	0,28		2,3	0,28		2,5	0,23
	2,5	0,24		2,6	0,26		2,6	0,28		2,4	0,26		2,4	0,26		2,6	0,21
	2,6	0,22		2,7	0,24		2,7	0,24		2,5	0,24		2,5	0,24		2,7	0,20
	2,7	0,21		2,8	0,23		2,8	0,23		2,6	0,23		2,6	0,21		2,8	0,17
	2,8	0,19		2,9	0,19		2,9	0,19		2,7	0,17		2,7	0,17		2,9	0,13
	2,9	0,11		3,0	0,16		3,0	0,17		2,8	0,16		2,8	0,16		3,0	0,13
	3,0	0,11		3,1	0,15		3,1	0,16		2,9	0,15		2,9	0,15		3,1	0,12
	3,1	0,10		3,2	0,11		3,2	0,12		3,0	0,15		3,0	0,14		3,2	0,07
	3,2	0,10		3,3	0,09		3,3	0,10		3,1	0,14		3,1	0,13		3,3	0,07
	3,3	0,07		3,4	0,07		3,4	0,07		3,2	0,11		3,2	0,11		3,4	0,06
	3,4	0,05		3,5	0,07		3,5	0,07		3,3	0,11		3,3	0,09		3,5	0,06
	3,5	0,03		3,6	0,07		3,6	0,07		3,4	0,04		3,4	0,04		3,6	0,06
	3,6	0,03		3,7	0,05		3,7	0,05		3,5	0,04		3,5	0,04		3,7	0,03
	3,7	0,03		3,8	0,05		3,8	0,04		3,6	0,04		3,6	0,04		3,8	0,03
	3,8	0,03		3,9	0,04		3,9	0,04		3,7	0,04		3,7	0,04		3,9	0,03
	3,9	0,03		4,0	0,04		4,0	0,04		3,8	0,03		3,8	0,04		4,0	0,03
	4,0	0,03		4,1	0,04		4,1	0,04		3,9	0,03		3,9	0,04		4,1	0,03
	4,1	0,03		4,2	0,04		4,2	0,04		4,0	0,03		4,0	0,03		4,2	0,03
	4,2	0,03		4,3	0,04		4,3	0,04		4,1	0,04		4,1	0,04		4,3	0,03
	4,3	0,02		4,4	0,04		4,4	0,04		4,2	0,04		4,2	0,04		4,4	0,03
	4,4	0,02		4,5	0,04		4,5	0,04		4,3	0,04		4,3	0,04		4,5	0,03
7	1,6	0,51	8	1,4	0,53	9	1,4	0,54	10	1,6	0,53	11	1,6	0,52	12	1,5	0,59
	1,7	0,48		1,5	0,51		1,5	0,52		1,7	0,52		1,7	0,51		1,6	0,57
	1,8	0,45		1,6	0,47		1,6	0,48		1,8	0,50		1,8	0,49		1,7	0,53
	1,9	0,41		1,7	0,44		1,7	0,45		1,9	0,47		1,9	0,47		1,8	0,49
	2,0	0,38		1,8	0,40		1,8	0,41		2,0	0,44		2,0	0,44		1,9	0,44
	2,1	0,34		1,9	0,37		1,9	0,38		2,1	0,41		2,1	0,41		2,0	0,40
	2,2	0,32		2,0	0,34		2,0	0,35		2,2	0,38		2,2	0,38		2,1	0,36
	2,3	0,29		2,1	0,32		2,1	0,32		2,3	0,36		2,3	0,36		2,2	0,33
	2,4	0,27		2,2	0,30		2,2	0,30		2,4	0,34		2,4	0,33		2,3	0,30
	2,5	0,23		2,3	0,28		2,3	0,28		2,5	0,29		2,5	0,27		2,4	0,28
	2,6	0,21		2,4	0,26		2,4	0,26		2,6	0,28		2,6	0,26		2,5	0,24
	2,7	0,20		2,5	0,24		2,5	0,24		2,7	0,24		2,7	0,24		2,6	0,22
	2,8	0,17		2,6	0,21		2,6	0,23		2,8	0,23		2,8	0,23		2,7	0,21
	2,9	0,13		2,7	0,17		2,7	0,17		2,9	0,19		2,9	0,19		2,8	0,19

STATO TENSIONALE NEL TERRENO - COMBINAZIONE:Rare 1

Filo N.ro	Quota m	Tens. kg/cmq	Filo N.ro	Quota m	Tens. kg/cmq	Filo N.ro	Quota m	Tens. kg/cmq	Filo N.ro	Quota m	Tens. kg/cmq	Filo N.ro	Quota m	Tens. kg/cmq	Filo N.ro	Quota m	Tens. kg/cmq
	3,0	0,13		2,8	0,16		2,8	0,16		3,0	0,17		3,0	0,16		2,9	0,11
	3,1	0,12		2,9	0,15		2,9	0,15		3,1	0,16		3,1	0,15		3,0	0,11
	3,2	0,07		3,0	0,14		3,0	0,15		3,2	0,12		3,2	0,11		3,1	0,10
	3,3	0,07		3,1	0,13		3,1	0,14		3,3	0,10		3,3	0,08		3,2	0,10
	3,4	0,06		3,2	0,11		3,2	0,11		3,4	0,07		3,4	0,07		3,3	0,07
	3,5	0,06		3,3	0,09		3,3	0,11		3,5	0,07		3,5	0,07		3,4	0,05
	3,6	0,06		3,4	0,04		3,4	0,04		3,6	0,07		3,6	0,07		3,5	0,03
	3,7	0,03		3,5	0,04		3,5	0,04		3,7	0,05		3,7	0,05		3,6	0,03
	3,8	0,03		3,6	0,04		3,6	0,04		3,8	0,04		3,8	0,05		3,7	0,03
	3,9	0,03		3,7	0,04		3,7	0,04		3,9	0,04		3,9	0,04		3,8	0,03
	4,0	0,03		3,8	0,04		3,8	0,03		4,0	0,04		4,0	0,04		3,9	0,03
	4,1	0,03		3,9	0,04		3,9	0,03		4,1	0,04		4,1	0,04		4,0	0,03
	4,2	0,03		4,0	0,03		4,0	0,03		4,2	0,04		4,2	0,04		4,1	0,03
	4,3	0,03		4,1	0,04		4,1	0,04		4,3	0,04		4,3	0,04		4,2	0,03
	4,4	0,03		4,2	0,04		4,2	0,04		4,4	0,04		4,4	0,04		4,3	0,02
	4,5	0,03		4,3	0,04		4,3	0,04		4,5	0,04		4,5	0,04		4,4	0,02
13	1,6	0,54	14	1,6	0,54												
	1,7	0,53		1,7	0,53												
	1,8	0,51		1,8	0,51												
	1,9	0,48		1,9	0,48												
	2,0	0,45		2,0	0,45												
	2,1	0,42		2,1	0,42												
	2,2	0,39		2,2	0,39												
	2,3	0,37		2,3	0,37												
	2,4	0,34		2,4	0,34												
	2,5	0,30		2,5	0,30												
	2,6	0,26		2,6	0,26												
	2,7	0,25		2,7	0,25												
	2,8	0,24		2,8	0,24												
	2,9	0,18		2,9	0,18												
	3,0	0,16		3,0	0,16												
	3,1	0,16		3,1	0,16												
	3,2	0,13		3,2	0,13												
	3,3	0,09		3,3	0,09												
	3,4	0,07		3,4	0,07												
	3,5	0,07		3,5	0,07												
	3,6	0,07		3,6	0,07												
	3,7	0,05		3,7	0,05												
	3,8	0,05		3,8	0,05												
	3,9	0,04		3,9	0,04												
	4,0	0,04		4,0	0,04												
	4,1	0,04		4,1	0,04												
	4,2	0,04		4,2	0,04												
	4,3	0,04		4,3	0,04												
	4,4	0,04		4,4	0,04												
	4,5	0,04		4,5	0,04												

STATO TENSIONALE NEL TERRENO - COMBINAZIONE:Rare 2

Filo N.ro	Quota m	Tens. kg/cmq	Filo N.ro	Quota m	Tens. kg/cmq	Filo N.ro	Quota m	Tens. kg/cmq	Filo N.ro	Quota m	Tens. kg/cmq	Filo N.ro	Quota m	Tens. kg/cmq	Filo N.ro	Quota m	Tens. kg/cmq
1	1,5	0,58	2	1,6	0,52	3	1,6	0,51	4	1,4	0,52	5	1,4	0,53	6	1,6	0,50
	1,6	0,57		1,7	0,52		1,7	0,51		1,5	0,50		1,5	0,51		1,7	0,48
	1,7	0,53		1,8	0,49		1,8	0,49		1,6	0,46		1,6	0,47		1,8	0,44
	1,8	0,48		1,9	0,46		1,9	0,46		1,7	0,44		1,7	0,44		1,9	0,41
	1,9	0,44		2,0	0,43		2,0	0,43		1,8	0,40		1,8	0,40		2,0	0,37
	2,0	0,39		2,1	0,41		2,1	0,40		1,9	0,37		1,9	0,37		2,1	0,34
	2,1	0,36		2,2	0,38		2,2	0,38		2,0	0,34		2,0	0,34		2,2	0,31
	2,2	0,33		2,3	0,35		2,3	0,35		2,1	0,32		2,1	0,32		2,3	0,29
	2,3	0,30		2,4	0,33		2,4	0,33		2,2	0,29		2,2	0,30		2,4	0,27
	2,4	0,28		2,5	0,27		2,5	0,29		2,3	0,27		2,3	0,27		2,5	0,23
	2,5	0,24		2,6	0,25		2,6	0,27		2,4	0,26		2,4	0,26		2,6	0,21
	2,6	0,22		2,7	0,24		2,7	0,24		2,5	0,24		2,5	0,24		2,7	0,20
	2,7	0,20		2,8	0,23		2,8	0,22		2,6	0,23		2,6	0,21		2,8	0,17
	2,8	0,19		2,9	0,19		2,9	0,18		2,7	0,17		2,7	0,17		2,9	0,13
	2,9	0,11		3,0	0,16		3,0	0,16		2,8	0,16		2,8	0,16		3,0	0,12
	3,0	0,10		3,1	0,15		3,1	0,16		2,9	0,15		2,9	0,15		3,1	0,12
	3,1	0,10		3,2	0,11		3,2	0,12		3,0	0,14		3,0	0,14		3,2	0,07
	3,2	0,10		3,3	0,08		3,3	0,10		3,1	0,14		3,1	0,13		3,3	0,06
	3,3	0,07		3,4	0,07		3,4	0,07		3,2	0,11		3,2	0,11		3,4	0,06
	3,4	0,05		3,5	0,07		3,5	0,07		3,3	0,11		3,3	0,09		3,5	0,06
	3,5	0,03		3,6	0,07		3,6	0,07		3,4	0,04		3,4	0,04		3,6	0,06
	3,6	0,03		3,7	0,05		3,7	0,05		3,5	0,04		3,5	0,04		3,7	0,03
	3,7	0,03		3,8	0,05		3,8	0,04		3,6	0,04		3,6	0,04		3,8	0,03
	3,8	0,02		3,9	0,04		3,9	0,04		3,7	0,04		3,7	0,04		3,9	0,03
	3,9	0,03		4,0	0,04		4,0	0,04		3,8	0,03		3,8	0,04		4,0	0,03
	4,0	0,03		4,1	0,04		4,1	0,04		3,9	0,03		3,9	0,04		4,1	0,03
	4,1	0,03		4,2	0,04		4,2	0,04		4,0	0,03		4,0	0,03		4,2	0,02
	4,2	0,03		4,3	0,04		4,3	0,04		4,1	0,04		4,1	0,04		4,3	0,03
	4,3	0,02		4,4	0,04		4,4	0,04		4,2	0,04		4,2	0,04		4,4	0,03
	4,4	0,02		4,5	0,04		4,5	0,04		4,3	0,04		4,3	0,04		4,5	0,02
7	1,6	0,50	8	1,4	0,52	9	1,4	0,53	10	1,6	0,52	11	1,6	0,51	12	1,5	0,58
	1,7	0,48		1,5	0,50		1,5	0,51		1,7	0,52		1,7	0,51		1,6	0,57
	1,8	0,44		1,6	0,47		1,6	0,47		1,8	0,49		1,8	0,49		1,7	0,53
	1,9	0,41		1,7	0,44		1,7	0,44		1,9	0,46		1,9	0,46		1,8	0,48
	2,0	0,37		1,8	0,40		1,8	0,40		2,0	0,43		2,0	0,43		1,9	0,44
	2,1	0,34		1,9	0,37		1,9	0,37		2,1	0,41		2,1	0,40		2,0	0,39
	2,2	0,31		2,0	0,34		2,0	0,34		2,2	0,38		2,2	0,38		2,1	0,36
	2,3	0,29		2,1	0,32		2,1	0,32		2,3	0,35		2,3	0,35		2,2	0,33
	2,4	0,27		2,2	0,29		2,2	0,30		2,4	0,33		2,4	0,33		2,3	0,30

STATO TENSIONALE NEL TERRENO - COMBINAZIONE:Rare 2

Filo N.ro	Quota m	Tens. kg/cmq	Filo N.ro	Quota m	Tens. kg/cmq	Filo N.ro	Quota m	Tens. kg/cmq	Filo N.ro	Quota m	Tens. kg/cmq	Filo N.ro	Quota m	Tens. kg/cmq	Filo N.ro	Quota m	Tens. kg/cmq
	2,5	0,23		2,3	0,27		2,3	0,27		2,5	0,29		2,5	0,27		2,4	0,28
	2,6	0,21		2,4	0,26		2,4	0,26		2,6	0,27		2,6	0,25		2,5	0,24
	2,7	0,20		2,5	0,24		2,5	0,24		2,7	0,24		2,7	0,24		2,6	0,22
	2,8	0,17		2,6	0,20		2,6	0,23		2,8	0,23		2,8	0,23		2,7	0,20
	2,9	0,13		2,7	0,17		2,7	0,17		2,9	0,18		2,9	0,19		2,8	0,19
	3,0	0,12		2,8	0,16		2,8	0,16		3,0	0,17		3,0	0,16		2,9	0,11
	3,1	0,12		2,9	0,15		2,9	0,15		3,1	0,16		3,1	0,15		3,0	0,10
	3,2	0,07		3,0	0,13		3,0	0,15		3,2	0,12		3,2	0,11		3,1	0,10
	3,3	0,06		3,1	0,13		3,1	0,14		3,3	0,10		3,3	0,08		3,2	0,10
	3,4	0,06		3,2	0,11		3,2	0,11		3,4	0,07		3,4	0,07		3,3	0,07
	3,5	0,06		3,3	0,09		3,3	0,11		3,5	0,07		3,5	0,07		3,4	0,05
	3,6	0,06		3,4	0,04		3,4	0,04		3,6	0,07		3,6	0,07		3,5	0,03
	3,7	0,03		3,5	0,04		3,5	0,04		3,7	0,05		3,7	0,05		3,6	0,03
	3,8	0,03		3,6	0,04		3,6	0,04		3,8	0,04		3,8	0,05		3,7	0,03
	3,9	0,03		3,7	0,04		3,7	0,04		3,9	0,04		3,9	0,04		3,8	0,02
	4,0	0,03		3,8	0,04		3,8	0,03		4,0	0,04		4,0	0,04		3,9	0,03
	4,1	0,03		3,9	0,04		3,9	0,03		4,1	0,04		4,1	0,04		4,0	0,03
	4,2	0,02		4,0	0,03		4,0	0,03		4,2	0,04		4,2	0,04		4,1	0,03
	4,3	0,03		4,1	0,04		4,1	0,04		4,3	0,04		4,3	0,04		4,2	0,03
	4,4	0,03		4,2	0,04		4,2	0,04		4,4	0,04		4,4	0,04		4,3	0,02
	4,5	0,02		4,3	0,04		4,3	0,04		4,5	0,04		4,5	0,04		4,4	0,02
13	1,6	0,53	14	1,6	0,53												
	1,7	0,53		1,7	0,53												
	1,8	0,51		1,8	0,51												
	1,9	0,48		1,9	0,48												
	2,0	0,45		2,0	0,45												
	2,1	0,42		2,1	0,42												
	2,2	0,39		2,2	0,39												
	2,3	0,36		2,3	0,36												
	2,4	0,34		2,4	0,34												
	2,5	0,30		2,5	0,30												
	2,6	0,26		2,6	0,26												
	2,7	0,25		2,7	0,25												
	2,8	0,23		2,8	0,23												
	2,9	0,18		2,9	0,18												
	3,0	0,16		3,0	0,16												
	3,1	0,15		3,1	0,15												
	3,2	0,13		3,2	0,13												
	3,3	0,09		3,3	0,09												
	3,4	0,07		3,4	0,07												
	3,5	0,07		3,5	0,07												
	3,6	0,07		3,6	0,07												
	3,7	0,05		3,7	0,05												
	3,8	0,05		3,8	0,05												
	3,9	0,04		3,9	0,04												
	4,0	0,04		4,0	0,04												
	4,1	0,04		4,1	0,04												
	4,2	0,04		4,2	0,04												
	4,3	0,04		4,3	0,04												
	4,4	0,04		4,4	0,04												
	4,5	0,04		4,5	0,04												

STATO TENSIONALE NEL TERRENO - COMBINAZIONE:Rare 3

Filo N.ro	Quota m	Tens. kg/cmq	Filo N.ro	Quota m	Tens. kg/cmq	Filo N.ro	Quota m	Tens. kg/cmq	Filo N.ro	Quota m	Tens. kg/cmq	Filo N.ro	Quota m	Tens. kg/cmq	Filo N.ro	Quota m	Tens. kg/cmq
1	1,5	0,59	2	1,6	0,53	3	1,6	0,52	4	1,4	0,53	5	1,4	0,54	6	1,6	0,51
	1,6	0,57		1,7	0,52		1,7	0,51		1,5	0,51		1,5	0,52		1,7	0,48
	1,7	0,53		1,8	0,50		1,8	0,49		1,6	0,47		1,6	0,48		1,8	0,45
	1,8	0,49		1,9	0,47		1,9	0,47		1,7	0,44		1,7	0,45		1,9	0,41
	1,9	0,44		2,0	0,44		2,0	0,44		1,8	0,40		1,8	0,41		2,0	0,38
	2,0	0,40		2,1	0,41		2,1	0,41		1,9	0,37		1,9	0,38		2,1	0,34
	2,1	0,36		2,2	0,38		2,2	0,38		2,0	0,34		2,0	0,35		2,2	0,32
	2,2	0,33		2,3	0,36		2,3	0,36		2,1	0,32		2,1	0,32		2,3	0,29
	2,3	0,30		2,4	0,34		2,4	0,33		2,2	0,30		2,2	0,30		2,4	0,27
	2,4	0,28		2,5	0,27		2,5	0,29		2,3	0,28		2,3	0,28		2,5	0,23
	2,5	0,24		2,6	0,26		2,6	0,28		2,4	0,26		2,4	0,26		2,6	0,21
	2,6	0,22		2,7	0,24		2,7	0,24		2,5	0,24		2,5	0,24		2,7	0,20
	2,7	0,21		2,8	0,23		2,8	0,23		2,6	0,23		2,6	0,21		2,8	0,17
	2,8	0,19		2,9	0,19		2,9	0,19		2,7	0,17		2,7	0,17		2,9	0,13
	2,9	0,11		3,0	0,16		3,0	0,17		2,8	0,16		2,8	0,16		3,0	0,13
	3,0	0,11		3,1	0,15		3,1	0,16		2,9	0,15		2,9	0,15		3,1	0,12
	3,1	0,10		3,2	0,11		3,2	0,12		3,0	0,15		3,0	0,14		3,2	0,07
	3,2	0,10		3,3	0,09		3,3	0,10		3,1	0,14		3,1	0,13		3,3	0,07
	3,3	0,07		3,4	0,07		3,4	0,07		3,2	0,11		3,2	0,11		3,4	0,06
	3,4	0,05		3,5	0,07		3,5	0,07		3,3	0,11		3,3	0,09		3,5	0,06
	3,5	0,03		3,6	0,07		3,6	0,07		3,4	0,04		3,4	0,04		3,6	0,06
	3,6	0,03		3,7	0,05		3,7	0,05		3,5	0,04		3,5	0,04		3,7	0,03
	3,7	0,03		3,8	0,05		3,8	0,04		3,6	0,04		3,6	0,04		3,8	0,03
	3,8	0,03		3,9	0,04		3,9	0,04		3,7	0,04		3,7	0,04		3,9	0,03
	3,9	0,03		4,0	0,04		4,0	0,04		3,8	0,03		3,8	0,04		4,0	0,03
	4,0	0,03		4,1	0,04		4,1	0,04		3,9	0,03		3,9	0,04		4,1	0,03
	4,1	0,03		4,2	0,04		4,2	0,04		4,0	0,03		4,0	0,03		4,2	0,03
	4,2	0,03		4,3	0,04		4,3	0,04		4,1	0,04		4,1	0,04		4,3	0,03
	4,3	0,02		4,4	0,04		4,4	0,04		4,2	0,04		4,2	0,04		4,4	0,03
	4,4	0,02		4,5	0,04		4,5	0,04		4,3	0,04		4,3	0,04		4,5	0,03
7	1,6	0,51	8	1,4	0,53	9	1,4	0,54	10	1,6	0,53	11	1,6	0,52	12	1,5	0,59
	1,7	0,48		1,5	0,51		1,5	0,52		1,7	0,52		1,7	0,51		1,6	0,57
	1,8	0,45		1,6	0,47		1,6	0,48		1,8	0,50		1,8	0,49		1,7	0,53
	1,9	0,41		1,7	0,44		1,7	0,45		1,9	0,47		1,9	0,47		1,8	0,49

STATO TENSIONALE NEL TERRENO - COMBINAZIONE:Rare 3

Filo N.ro	Quota m	Tens. kg/cmq	Filo N.ro	Quota m	Tens. kg/cmq	Filo N.ro	Quota m	Tens. kg/cmq	Filo N.ro	Quota m	Tens. kg/cmq	Filo N.ro	Quota m	Tens. kg/cmq	Filo N.ro	Quota m	Tens. kg/cmq
	2,0	0,38		1,8	0,40		1,8	0,41		2,0	0,44		2,0	0,44		1,9	0,44
	2,1	0,34		1,9	0,37		1,9	0,38		2,1	0,41		2,1	0,41		2,0	0,40
	2,2	0,32		2,0	0,34		2,0	0,35		2,2	0,38		2,2	0,38		2,1	0,36
	2,3	0,29		2,1	0,32		2,1	0,32		2,3	0,36		2,3	0,36		2,2	0,33
	2,4	0,27		2,2	0,30		2,2	0,30		2,4	0,34		2,4	0,33		2,3	0,30
	2,5	0,23		2,3	0,28		2,3	0,28		2,5	0,29		2,5	0,27		2,4	0,28
	2,6	0,21		2,4	0,26		2,4	0,26		2,6	0,28		2,6	0,26		2,5	0,24
	2,7	0,20		2,5	0,24		2,5	0,24		2,7	0,24		2,7	0,24		2,6	0,22
	2,8	0,17		2,6	0,21		2,6	0,23		2,8	0,23		2,8	0,23		2,7	0,21
	2,9	0,13		2,7	0,17		2,7	0,17		2,9	0,19		2,9	0,19		2,8	0,19
	3,0	0,13		2,8	0,16		2,8	0,16		3,0	0,17		3,0	0,16		2,9	0,11
	3,1	0,12		2,9	0,15		2,9	0,15		3,1	0,16		3,1	0,15		3,0	0,11
	3,2	0,07		3,0	0,14		3,0	0,15		3,2	0,12		3,2	0,11		3,1	0,10
	3,3	0,07		3,1	0,13		3,1	0,14		3,3	0,10		3,3	0,08		3,2	0,10
	3,4	0,06		3,2	0,11		3,2	0,11		3,4	0,07		3,4	0,07		3,3	0,07
	3,5	0,06		3,3	0,09		3,3	0,11		3,5	0,07		3,5	0,07		3,4	0,05
	3,6	0,06		3,4	0,04		3,4	0,04		3,6	0,07		3,6	0,07		3,5	0,03
	3,7	0,03		3,5	0,04		3,5	0,04		3,7	0,05		3,7	0,05		3,6	0,03
	3,8	0,03		3,6	0,04		3,6	0,04		3,8	0,04		3,8	0,05		3,7	0,03
	3,9	0,03		3,7	0,04		3,7	0,04		3,9	0,04		3,9	0,04		3,8	0,03
	4,0	0,03		3,8	0,04		3,8	0,03		4,0	0,04		4,0	0,04		3,9	0,03
	4,1	0,03		3,9	0,04		3,9	0,03		4,1	0,04		4,1	0,04		4,0	0,03
	4,2	0,03		4,0	0,03		4,0	0,03		4,2	0,04		4,2	0,04		4,1	0,03
	4,3	0,03		4,1	0,04		4,1	0,04		4,3	0,04		4,3	0,04		4,2	0,03
	4,4	0,03		4,2	0,04		4,2	0,04		4,4	0,04		4,4	0,04		4,3	0,02
	4,5	0,03		4,3	0,04		4,3	0,04		4,5	0,04		4,5	0,04		4,4	0,02
13	1,6	0,54	14	1,6	0,54												
	1,7	0,53		1,7	0,53												
	1,8	0,51		1,8	0,51												
	1,9	0,48		1,9	0,48												
	2,0	0,45		2,0	0,45												
	2,1	0,42		2,1	0,42												
	2,2	0,39		2,2	0,39												
	2,3	0,37		2,3	0,37												
	2,4	0,34		2,4	0,34												
	2,5	0,30		2,5	0,30												
	2,6	0,26		2,6	0,26												
	2,7	0,25		2,7	0,25												
	2,8	0,24		2,8	0,24												
	2,9	0,18		2,9	0,18												
	3,0	0,16		3,0	0,16												
	3,1	0,16		3,1	0,16												
	3,2	0,13		3,2	0,13												
	3,3	0,09		3,3	0,09												
	3,4	0,07		3,4	0,07												
	3,5	0,07		3,5	0,07												
	3,6	0,07		3,6	0,07												
	3,7	0,05		3,7	0,05												
	3,8	0,05		3,8	0,05												
	3,9	0,04		3,9	0,04												
	4,0	0,04		4,0	0,04												
	4,1	0,04		4,1	0,04												
	4,2	0,04		4,2	0,04												
	4,3	0,04		4,3	0,04												
	4,4	0,04		4,4	0,04												
	4,5	0,04		4,5	0,04												

STATO TENSIONALE NEL TERRENO - COMBINAZIONE:Rare 4

Filo N.ro	Quota m	Tens. kg/cmq	Filo N.ro	Quota m	Tens. kg/cmq	Filo N.ro	Quota m	Tens. kg/cmq	Filo N.ro	Quota m	Tens. kg/cmq	Filo N.ro	Quota m	Tens. kg/cmq	Filo N.ro	Quota m	Tens. kg/cmq
1	1,5	0,58	2	1,6	0,52	3	1,6	0,51	4	1,4	0,52	5	1,4	0,53	6	1,6	0,50
	1,6	0,57		1,7	0,52		1,7	0,51		1,5	0,50		1,5	0,51		1,7	0,48
	1,7	0,53		1,8	0,49		1,8	0,49		1,6	0,46		1,6	0,47		1,8	0,44
	1,8	0,48		1,9	0,46		1,9	0,46		1,7	0,44		1,7	0,44		1,9	0,41
	1,9	0,44		2,0	0,43		2,0	0,43		1,8	0,40		1,8	0,40		2,0	0,37
	2,0	0,39		2,1	0,41		2,1	0,40		1,9	0,37		1,9	0,37		2,1	0,34
	2,1	0,36		2,2	0,38		2,2	0,38		2,0	0,34		2,0	0,34		2,2	0,31
	2,2	0,33		2,3	0,35		2,3	0,35		2,1	0,32		2,1	0,32		2,3	0,29
	2,3	0,30		2,4	0,33		2,4	0,33		2,2	0,29		2,2	0,30		2,4	0,27
	2,4	0,28		2,5	0,27		2,5	0,29		2,3	0,27		2,3	0,27		2,5	0,23
	2,5	0,24		2,6	0,25		2,6	0,27		2,4	0,26		2,4	0,26		2,6	0,21
	2,6	0,22		2,7	0,24		2,7	0,24		2,5	0,24		2,5	0,24		2,7	0,20
	2,7	0,20		2,8	0,23		2,8	0,22		2,6	0,23		2,6	0,21		2,8	0,17
	2,8	0,19		2,9	0,19		2,9	0,18		2,7	0,17		2,7	0,17		2,9	0,13
	2,9	0,11		3,0	0,16		3,0	0,16		2,8	0,16		2,8	0,16		3,0	0,12
	3,0	0,10		3,1	0,15		3,1	0,16		2,9	0,15		2,9	0,15		3,1	0,12
	3,1	0,10		3,2	0,11		3,2	0,12		3,0	0,14		3,0	0,14		3,2	0,07
	3,2	0,10		3,3	0,08		3,3	0,10		3,1	0,14		3,1	0,13		3,3	0,06
	3,3	0,07		3,4	0,07		3,4	0,07		3,2	0,11		3,2	0,11		3,4	0,06
	3,4	0,05		3,5	0,07		3,5	0,07		3,3	0,11		3,3	0,09		3,5	0,06
	3,5	0,03		3,6	0,07		3,6	0,07		3,4	0,04		3,4	0,04		3,6	0,06
	3,6	0,03		3,7	0,05		3,7	0,05		3,5	0,04		3,5	0,04		3,7	0,03
	3,7	0,03		3,8	0,05		3,8	0,04		3,6	0,04		3,6	0,04		3,8	0,03
	3,8	0,02		3,9	0,04		3,9	0,04		3,7	0,04		3,7	0,04		3,9	0,03
	3,9	0,03		4,0	0,04		4,0	0,04		3,8	0,03		3,8	0,04		4,0	0,03
	4,0	0,03		4,1	0,04		4,1	0,04		3,9	0,03		3,9	0,04		4,1	0,03
	4,1	0,03		4,2	0,04		4,2	0,04		4,0	0,03		4,0	0,03		4,2	0,02
	4,2	0,03		4,3	0,04		4,3	0,04		4,1	0,04		4,1	0,04		4,3	0,03
	4,3	0,02		4,4	0,04		4,4	0,04		4,2	0,04		4,2	0,04		4,4	0,03
	4,4	0,02		4,5	0,04		4,5	0,04		4,3	0,04		4,3	0,04		4,5	0,02

STATO TENSIONALE NEL TERRENO - COMBINAZIONE:Rare 4

Filo N.ro	Quota m	Tens. kg/cmq	Filo N.ro	Quota m	Tens. kg/cmq	Filo N.ro	Quota m	Tens. kg/cmq	Filo N.ro	Quota m	Tens. kg/cmq	Filo N.ro	Quota m	Tens. kg/cmq	Filo N.ro	Quota m	Tens. kg/cmq
7	1,6	0,50	8	1,4	0,52	9	1,4	0,53	10	1,6	0,52	11	1,6	0,51	12	1,5	0,58
	1,7	0,48		1,5	0,50		1,5	0,51		1,7	0,52		1,7	0,51		1,6	0,57
	1,8	0,44		1,6	0,47		1,6	0,47		1,8	0,49		1,8	0,49		1,7	0,53
	1,9	0,41		1,7	0,44		1,7	0,44		1,9	0,46		1,9	0,46		1,8	0,48
	2,0	0,37		1,8	0,40		1,8	0,40		2,0	0,43		2,0	0,43		1,9	0,44
	2,1	0,34		1,9	0,37		1,9	0,37		2,1	0,41		2,1	0,40		2,0	0,39
	2,2	0,31		2,0	0,34		2,0	0,34		2,2	0,38		2,2	0,38		2,1	0,36
	2,3	0,29		2,1	0,32		2,1	0,32		2,3	0,35		2,3	0,35		2,2	0,33
	2,4	0,27		2,2	0,29		2,2	0,30		2,4	0,33		2,4	0,33		2,3	0,30
	2,5	0,23		2,3	0,27		2,3	0,27		2,5	0,29		2,5	0,27		2,4	0,28
	2,6	0,21		2,4	0,26		2,4	0,26		2,6	0,27		2,6	0,25		2,5	0,24
	2,7	0,20		2,5	0,24		2,5	0,24		2,7	0,24		2,7	0,24		2,6	0,22
	2,8	0,17		2,6	0,20		2,6	0,23		2,8	0,23		2,8	0,23		2,7	0,20
	2,9	0,13		2,7	0,17		2,7	0,17		2,9	0,18		2,9	0,19		2,8	0,19
	3,0	0,12		2,8	0,16		2,8	0,16		3,0	0,17		3,0	0,16		2,9	0,11
	3,1	0,12		2,9	0,15		2,9	0,15		3,1	0,16		3,1	0,15		3,0	0,10
	3,2	0,07		3,0	0,13		3,0	0,15		3,2	0,12		3,2	0,11		3,1	0,10
	3,3	0,06		3,1	0,13		3,1	0,14		3,3	0,10		3,3	0,08		3,2	0,10
	3,4	0,06		3,2	0,11		3,2	0,11		3,4	0,07		3,4	0,07		3,3	0,07
	3,5	0,06		3,3	0,09		3,3	0,11		3,5	0,07		3,5	0,07		3,4	0,05
	3,6	0,06		3,4	0,04		3,4	0,04		3,6	0,07		3,6	0,07		3,5	0,03
	3,7	0,03		3,5	0,04		3,5	0,04		3,7	0,05		3,7	0,05		3,6	0,03
	3,8	0,03		3,6	0,04		3,6	0,04		3,8	0,04		3,8	0,05		3,7	0,03
	3,9	0,03		3,7	0,04		3,7	0,04		3,9	0,04		3,9	0,04		3,8	0,02
	4,0	0,03		3,8	0,04		3,8	0,03		4,0	0,04		4,0	0,04		3,9	0,03
	4,1	0,03		3,9	0,04		3,9	0,03		4,1	0,04		4,1	0,04		4,0	0,03
	4,2	0,02		4,0	0,03		4,0	0,03		4,2	0,04		4,2	0,04		4,1	0,03
	4,3	0,03		4,1	0,04		4,1	0,04		4,3	0,04		4,3	0,04		4,2	0,03
	4,4	0,03		4,2	0,04		4,2	0,04		4,4	0,04		4,4	0,04		4,3	0,02
	4,5	0,02		4,3	0,04		4,3	0,04		4,5	0,04		4,5	0,04		4,4	0,02
13	1,6	0,53	14	1,6	0,53												
	1,7	0,53		1,7	0,53												
	1,8	0,51		1,8	0,51												
	1,9	0,48		1,9	0,48												
	2,0	0,45		2,0	0,45												
	2,1	0,42		2,1	0,42												
	2,2	0,39		2,2	0,39												
	2,3	0,36		2,3	0,36												
	2,4	0,34		2,4	0,34												
	2,5	0,30		2,5	0,30												
	2,6	0,26		2,6	0,26												
	2,7	0,25		2,7	0,25												
	2,8	0,23		2,8	0,23												
	2,9	0,18		2,9	0,18												
	3,0	0,16		3,0	0,16												
	3,1	0,15		3,1	0,15												
	3,2	0,13		3,2	0,13												
	3,3	0,09		3,3	0,09												
	3,4	0,07		3,4	0,07												
	3,5	0,07		3,5	0,07												
	3,6	0,07		3,6	0,07												
	3,7	0,05		3,7	0,05												
	3,8	0,05		3,8	0,05												
	3,9	0,04		3,9	0,04												
	4,0	0,04		4,0	0,04												
	4,1	0,04		4,1	0,04												
	4,2	0,04		4,2	0,04												
	4,3	0,04		4,3	0,04												
	4,4	0,04		4,4	0,04												
	4,5	0,04		4,5	0,04												

STATO TENSIONALE NEL TERRENO - COMBINAZIONE:Rare 5

Filo N.ro	Quota m	Tens. kg/cmq	Filo N.ro	Quota m	Tens. kg/cmq	Filo N.ro	Quota m	Tens. kg/cmq	Filo N.ro	Quota m	Tens. kg/cmq	Filo N.ro	Quota m	Tens. kg/cmq	Filo N.ro	Quota m	Tens. kg/cmq
1	1,5	0,58	2	1,6	0,51	3	1,6	0,51	4	1,4	0,52	5	1,4	0,53	6	1,6	0,50
	1,6	0,56		1,7	0,51		1,7	0,50		1,5	0,50		1,5	0,51		1,7	0,47
	1,7	0,52		1,8	0,49		1,8	0,48		1,6	0,46		1,6	0,47		1,8	0,44
	1,8	0,48		1,9	0,46		1,9	0,45		1,7	0,43		1,7	0,44		1,9	0,40
	1,9	0,43		2,0	0,43		2,0	0,43		1,8	0,40		1,8	0,40		2,0	0,37
	2,0	0,39		2,1	0,40		2,1	0,40		1,9	0,37		1,9	0,37		2,1	0,34
	2,1	0,36		2,2	0,37		2,2	0,37		2,0	0,34		2,0	0,34		2,2	0,31
	2,2	0,32		2,3	0,35		2,3	0,35		2,1	0,31		2,1	0,32		2,3	0,28
	2,3	0,30		2,4	0,33		2,4	0,33		2,2	0,29		2,2	0,29		2,4	0,26
	2,4	0,27		2,5	0,27		2,5	0,29		2,3	0,27		2,3	0,27		2,5	0,22
	2,5	0,23		2,6	0,25		2,6	0,27		2,4	0,25		2,4	0,25		2,6	0,21
	2,6	0,22		2,7	0,24		2,7	0,23		2,5	0,24		2,5	0,24		2,7	0,20
	2,7	0,20		2,8	0,22		2,8	0,22		2,6	0,22		2,6	0,20		2,8	0,17
	2,8	0,19		2,9	0,18		2,9	0,18		2,7	0,17		2,7	0,17		2,9	0,13
	2,9	0,11		3,0	0,16		3,0	0,16		2,8	0,16		2,8	0,16		3,0	0,12
	3,0	0,10		3,1	0,15		3,1	0,16		2,9	0,15		2,9	0,15		3,1	0,12
	3,1	0,10		3,2	0,10		3,2	0,12		3,0	0,14		3,0	0,13		3,2	0,06
	3,2	0,09		3,3	0,08		3,3	0,10		3,1	0,14		3,1	0,13		3,3	0,06
	3,3	0,07		3,4	0,07		3,4	0,07		3,2	0,11		3,2	0,11		3,4	0,06
	3,4	0,05		3,5	0,07		3,5	0,07		3,3	0,11		3,3	0,09		3,5	0,06
	3,5	0,03		3,6	0,07		3,6	0,07		3,4	0,04		3,4	0,04		3,6	0,05
	3,6	0,03		3,7	0,05		3,7	0,05		3,5	0,04		3,5	0,04		3,7	0,03
	3,7	0,03		3,8	0,05		3,8	0,04		3,6	0,04		3,6	0,04		3,8	0,03
	3,8	0,02		3,9	0,04		3,9	0,04		3,7	0,04		3,7	0,04		3,9	0,03
	3,9	0,03		4,0	0,04		4,0	0,04		3,8	0,03		3,8	0,03		4,0	0,03

STATO TENSIONALE NEL TERRENO - COMBINAZIONE:Rare 5

Filo N.ro	Quota m	Tens. kg/cmq	Filo N.ro	Quota m	Tens. kg/cmq	Filo N.ro	Quota m	Tens. kg/cmq	Filo N.ro	Quota m	Tens. kg/cmq	Filo N.ro	Quota m	Tens. kg/cmq	Filo N.ro	Quota m	Tens. kg/cmq
	4,0	0,03		4,1	0,04		4,1	0,04		3,9	0,03		3,9	0,04		4,1	0,03
	4,1	0,03		4,2	0,04		4,2	0,04		4,0	0,03		4,0	0,03		4,2	0,02
	4,2	0,03		4,3	0,04		4,3	0,04		4,1	0,04		4,1	0,04		4,3	0,03
	4,3	0,02		4,4	0,04		4,4	0,04		4,2	0,04		4,2	0,04		4,4	0,03
	4,4	0,02		4,5	0,04		4,5	0,04		4,3	0,04		4,3	0,04		4,5	0,02
7	1,6	0,50	8	1,4	0,52	9	1,4	0,53	10	1,6	0,51	11	1,6	0,51	12	1,5	0,58
	1,7	0,47		1,5	0,50		1,5	0,51		1,7	0,51		1,7	0,50		1,6	0,56
	1,8	0,44		1,6	0,46		1,6	0,47		1,8	0,49		1,8	0,48		1,7	0,52
	1,9	0,40		1,7	0,43		1,7	0,44		1,9	0,46		1,9	0,46		1,8	0,48
	2,0	0,37		1,8	0,40		1,8	0,40		2,0	0,43		2,0	0,43		1,9	0,43
	2,1	0,34		1,9	0,37		1,9	0,37		2,1	0,40		2,1	0,40		2,0	0,39
	2,2	0,31		2,0	0,34		2,0	0,34		2,2	0,37		2,2	0,37		2,1	0,36
	2,3	0,28		2,1	0,31		2,1	0,32		2,3	0,35		2,3	0,35		2,2	0,32
	2,4	0,26		2,2	0,29		2,2	0,29		2,4	0,33		2,4	0,33		2,3	0,30
	2,5	0,22		2,3	0,27		2,3	0,27		2,5	0,29		2,5	0,27		2,4	0,27
	2,6	0,21		2,4	0,25		2,4	0,25		2,6	0,27		2,6	0,25		2,5	0,23
	2,7	0,20		2,5	0,24		2,5	0,24		2,7	0,24		2,7	0,24		2,6	0,22
	2,8	0,17		2,6	0,20		2,6	0,23		2,8	0,22		2,8	0,22		2,7	0,20
	2,9	0,13		2,7	0,17		2,7	0,17		2,9	0,18		2,9	0,18		2,8	0,19
	3,0	0,12		2,8	0,16		2,8	0,16		3,0	0,16		3,0	0,15		2,9	0,11
	3,1	0,12		2,9	0,15		2,9	0,15		3,1	0,16		3,1	0,15		3,0	0,10
	3,2	0,07		3,0	0,13		3,0	0,14		3,2	0,12		3,2	0,10		3,1	0,10
	3,3	0,06		3,1	0,13		3,1	0,14		3,3	0,10		3,3	0,08		3,2	0,09
	3,4	0,06		3,2	0,11		3,2	0,11		3,4	0,07		3,4	0,07		3,3	0,07
	3,5	0,06		3,3	0,09		3,3	0,11		3,5	0,07		3,5	0,06		3,4	0,05
	3,6	0,05		3,4	0,04		3,4	0,04		3,6	0,07		3,6	0,07		3,5	0,03
	3,7	0,03		3,5	0,04		3,5	0,04		3,7	0,05		3,7	0,05		3,6	0,03
	3,8	0,03		3,6	0,04		3,6	0,04		3,8	0,04		3,8	0,05		3,7	0,03
	3,9	0,03		3,7	0,04		3,7	0,04		3,9	0,04		3,9	0,04		3,8	0,02
	4,0	0,03		3,8	0,04		3,8	0,03		4,0	0,04		4,0	0,04		3,9	0,03
	4,1	0,03		3,9	0,04		3,9	0,03		4,1	0,04		4,1	0,04		4,0	0,03
	4,2	0,02		4,0	0,03		4,0	0,03		4,2	0,04		4,2	0,04		4,1	0,03
	4,3	0,03		4,1	0,04		4,1	0,04		4,3	0,04		4,3	0,04		4,2	0,03
	4,4	0,03		4,2	0,04		4,2	0,04		4,4	0,04		4,4	0,04		4,3	0,02
	4,5	0,02		4,3	0,04		4,3	0,04		4,5	0,04		4,5	0,04		4,4	0,02
13	1,6	0,53	14	1,6	0,53												
	1,7	0,52		1,7	0,52												
	1,8	0,50		1,8	0,50												
	1,9	0,47		1,9	0,47												
	2,0	0,44		2,0	0,44												
	2,1	0,41		2,1	0,41												
	2,2	0,38		2,2	0,38												
	2,3	0,36		2,3	0,36												
	2,4	0,34		2,4	0,34												
	2,5	0,30		2,5	0,30												
	2,6	0,26		2,6	0,26												
	2,7	0,24		2,7	0,24												
	2,8	0,23		2,8	0,23												
	2,9	0,18		2,9	0,18												
	3,0	0,16		3,0	0,16												
	3,1	0,15		3,1	0,15												
	3,2	0,13		3,2	0,13												
	3,3	0,09		3,3	0,09												
	3,4	0,07		3,4	0,07												
	3,5	0,07		3,5	0,07												
	3,6	0,07		3,6	0,07												
	3,7	0,05		3,7	0,05												
	3,8	0,04		3,8	0,04												
	3,9	0,04		3,9	0,04												
	4,0	0,04		4,0	0,04												
	4,1	0,04		4,1	0,04												
	4,2	0,04		4,2	0,04												
	4,3	0,04		4,3	0,04												
	4,4	0,04		4,4	0,04												
	4,5	0,04		4,5	0,04												

STATO TENSIONALE NEL TERRENO - COMBINAZIONE:Rare 6

Filo N.ro	Quota m	Tens. kg/cmq	Filo N.ro	Quota m	Tens. kg/cmq	Filo N.ro	Quota m	Tens. kg/cmq	Filo N.ro	Quota m	Tens. kg/cmq	Filo N.ro	Quota m	Tens. kg/cmq	Filo N.ro	Quota m	Tens. kg/cmq
1	1,5	0,50	2	1,6	0,51	3	1,6	0,51	4	1,4	0,52	5	1,4	0,53	6	1,6	0,44
	1,6	0,49		1,7	0,50		1,7	0,51		1,5	0,50		1,5	0,51		1,7	0,42
	1,7	0,46		1,8	0,48		1,8	0,49		1,6	0,46		1,6	0,47		1,8	0,39
	1,8	0,42		1,9	0,45		1,9	0,46		1,7	0,43		1,7	0,44		1,9	0,35
	1,9	0,38		2,0	0,42		2,0	0,43		1,8	0,40		1,8	0,40		2,0	0,32
	2,0	0,35		2,1	0,40		2,1	0,40		1,9	0,37		1,9	0,37		2,1	0,30
	2,1	0,31		2,2	0,37		2,2	0,38		2,0	0,34		2,0	0,34		2,2	0,27
	2,2	0,29		2,3	0,35		2,3	0,35		2,1	0,32		2,1	0,32		2,3	0,25
	2,3	0,27		2,4	0,32		2,4	0,33		2,2	0,29		2,2	0,30		2,4	0,23
	2,4	0,25		2,5	0,26		2,5	0,29		2,3	0,27		2,3	0,27		2,5	0,20
	2,5	0,21		2,6	0,25		2,6	0,27		2,4	0,26		2,4	0,26		2,6	0,19
	2,6	0,19		2,7	0,23		2,7	0,24		2,5	0,24		2,5	0,24		2,7	0,17
	2,7	0,18		2,8	0,22		2,8	0,22		2,6	0,23		2,6	0,20		2,8	0,15
	2,8	0,17		2,9	0,18		2,9	0,18		2,7	0,17		2,7	0,17		2,9	0,12
	2,9	0,10		3,0	0,15		3,0	0,16		2,8	0,16		2,8	0,16		3,0	0,11
	3,0	0,09		3,1	0,15		3,1	0,16		2,9	0,15		2,9	0,15		3,1	0,11
	3,1	0,09		3,2	0,10		3,2	0,12		3,0	0,14		3,0	0,13		3,2	0,06
	3,2	0,09		3,3	0,08		3,3	0,10		3,1	0,14		3,1	0,13		3,3	0,06
	3,3	0,06		3,4	0,07		3,4	0,07		3,2	0,11		3,2	0,11		3,4	0,05
	3,4	0,05		3,5	0,06		3,5	0,07		3,3	0,11		3,3	0,09		3,5	0,05

STATO TENSIONALE NEL TERRENO - COMBINAZIONE:Rare 6

Filo N.ro	Quota m	Tens. kg/cmq	Filo N.ro	Quota m	Tens. kg/cmq	Filo N.ro	Quota m	Tens. kg/cmq	Filo N.ro	Quota m	Tens. kg/cmq	Filo N.ro	Quota m	Tens. kg/cmq	Filo N.ro	Quota m	Tens. kg/cmq
	3,5	0,03		3,6	0,07		3,6	0,07		3,4	0,04		3,4	0,04		3,6	0,05
	3,6	0,03		3,7	0,05		3,7	0,05		3,5	0,04		3,5	0,04		3,7	0,03
	3,7	0,03		3,8	0,05		3,8	0,04		3,6	0,04		3,6	0,04		3,8	0,03
	3,8	0,03		3,9	0,04		3,9	0,04		3,7	0,04		3,7	0,04		3,9	0,03
	3,9	0,03		4,0	0,04		4,0	0,04		3,8	0,03		3,8	0,04		4,0	0,03
	4,0	0,03		4,1	0,04		4,1	0,04		3,9	0,03		3,9	0,04		4,1	0,03
	4,1	0,03		4,2	0,04		4,2	0,04		4,0	0,03		4,0	0,03		4,2	0,03
	4,2	0,03		4,3	0,04		4,3	0,04		4,1	0,04		4,1	0,04		4,3	0,03
	4,3	0,02		4,4	0,04		4,4	0,04		4,2	0,04		4,2	0,04		4,4	0,03
	4,4	0,03		4,5	0,04		4,5	0,04		4,3	0,04		4,3	0,04		4,5	0,03
7	1,6	0,58	8	1,4	0,53	9	1,4	0,54	10	1,6	0,53	11	1,6	0,53	12	1,5	0,67
	1,7	0,55		1,5	0,51		1,5	0,52		1,7	0,53		1,7	0,53		1,6	0,65
	1,8	0,51		1,6	0,48		1,6	0,48		1,8	0,51		1,8	0,51		1,7	0,61
	1,9	0,47		1,7	0,45		1,7	0,45		1,9	0,48		1,9	0,48		1,8	0,55
	2,0	0,43		1,8	0,41		1,8	0,41		2,0	0,45		2,0	0,45		1,9	0,50
	2,1	0,39		1,9	0,38		1,9	0,38		2,1	0,42		2,1	0,42		2,0	0,45
	2,2	0,36		2,0	0,35		2,0	0,35		2,2	0,39		2,2	0,39		2,1	0,41
	2,3	0,33		2,1	0,32		2,1	0,33		2,3	0,36		2,3	0,37		2,2	0,37
	2,4	0,30		2,2	0,30		2,2	0,30		2,4	0,34		2,4	0,34		2,3	0,34
	2,5	0,26		2,3	0,28		2,3	0,28		2,5	0,30		2,5	0,28		2,4	0,31
	2,6	0,24		2,4	0,26		2,4	0,26		2,6	0,28		2,6	0,26		2,5	0,27
	2,7	0,22		2,5	0,25		2,5	0,25		2,7	0,24		2,7	0,25		2,6	0,25
	2,8	0,20		2,6	0,21		2,6	0,23		2,8	0,23		2,8	0,24		2,7	0,23
	2,9	0,15		2,7	0,17		2,7	0,18		2,9	0,19		2,9	0,19		2,8	0,22
	3,0	0,14		2,8	0,16		2,8	0,16		3,0	0,17		3,0	0,16		2,9	0,12
	3,1	0,13		2,9	0,16		2,9	0,16		3,1	0,16		3,1	0,16		3,0	0,12
	3,2	0,07		3,0	0,14		3,0	0,15		3,2	0,13		3,2	0,11		3,1	0,11
	3,3	0,07		3,1	0,13		3,1	0,14		3,3	0,10		3,3	0,09		3,2	0,11
	3,4	0,06		3,2	0,12		3,2	0,12		3,4	0,07		3,4	0,07		3,3	0,07
	3,5	0,06		3,3	0,09		3,3	0,11		3,5	0,07		3,5	0,07		3,4	0,06
	3,6	0,06		3,4	0,04		3,4	0,04		3,6	0,07		3,6	0,07		3,5	0,03
	3,7	0,03		3,5	0,04		3,5	0,04		3,7	0,05		3,7	0,05		3,6	0,03
	3,8	0,03		3,6	0,04		3,6	0,04		3,8	0,04		3,8	0,05		3,7	0,03
	3,9	0,03		3,7	0,04		3,7	0,04		3,9	0,04		3,9	0,04		3,8	0,03
	4,0	0,03		3,8	0,04		3,8	0,03		4,0	0,04		4,0	0,04		3,9	0,03
	4,1	0,03		3,9	0,04		3,9	0,03		4,1	0,04		4,1	0,04		4,0	0,03
	4,2	0,02		4,0	0,03		4,0	0,03		4,2	0,04		4,2	0,04		4,1	0,03
	4,3	0,03		4,1	0,04		4,1	0,04		4,3	0,04		4,3	0,04		4,2	0,03
	4,4	0,03		4,2	0,04		4,2	0,04		4,4	0,04		4,4	0,04		4,3	0,02
	4,5	0,02		4,3	0,04		4,3	0,04		4,5	0,04		4,5	0,04		4,4	0,02
13	1,6	0,52	14	1,6	0,56												
	1,7	0,51		1,7	0,56												
	1,8	0,49		1,8	0,53												
	1,9	0,46		1,9	0,50												
	2,0	0,43		2,0	0,47												
	2,1	0,40		2,1	0,44												
	2,2	0,38		2,2	0,41												
	2,3	0,35		2,3	0,38												
	2,4	0,33		2,4	0,36												
	2,5	0,29		2,5	0,31												
	2,6	0,25		2,6	0,27												
	2,7	0,24		2,7	0,26												
	2,8	0,23		2,8	0,24												
	2,9	0,17		2,9	0,19												
	3,0	0,16		3,0	0,17												
	3,1	0,15		3,1	0,16												
	3,2	0,13		3,2	0,13												
	3,3	0,08		3,3	0,09												
	3,4	0,07		3,4	0,08												
	3,5	0,07		3,5	0,07												
	3,6	0,07		3,6	0,07												
	3,7	0,05		3,7	0,05												
	3,8	0,04		3,8	0,05												
	3,9	0,04		3,9	0,04												
	4,0	0,04		4,0	0,04												
	4,1	0,04		4,1	0,04												
	4,2	0,04		4,2	0,04												
	4,3	0,04		4,3	0,04												
	4,4	0,04		4,4	0,04												
	4,5	0,04		4,5	0,04												

STATO TENSIONALE NEL TERRENO - COMBINAZIONE:Rare 7

Filo N.ro	Quota m	Tens. kg/cmq	Filo N.ro	Quota m	Tens. kg/cmq	Filo N.ro	Quota m	Tens. kg/cmq	Filo N.ro	Quota m	Tens. kg/cmq	Filo N.ro	Quota m	Tens. kg/cmq	Filo N.ro	Quota m	Tens. kg/cmq
1	1,5	0,50	2	1,6	0,50	3	1,6	0,51	4	1,4	0,52	5	1,4	0,53	6	1,6	0,43
	1,6	0,49		1,7	0,50		1,7	0,50		1,5	0,50		1,5	0,51		1,7	0,41
	1,7	0,46		1,8	0,48		1,8	0,48		1,6	0,46		1,6	0,47		1,8	0,38
	1,8	0,42		1,9	0,45		1,9	0,45		1,7	0,43		1,7	0,44		1,9	0,35
	1,9	0,38		2,0	0,42		2,0	0,43		1,8	0,39		1,8	0,40		2,0	0,32
	2,0	0,34		2,1	0,39		2,1	0,40		1,9	0,36		1,9	0,37		2,1	0,29
	2,1	0,31		2,2	0,36		2,2	0,37		2,0	0,34		2,0	0,34		2,2	0,27
	2,2	0,29		2,3	0,34		2,3	0,35		2,1	0,31		2,1	0,31		2,3	0,25
	2,3	0,26		2,4	0,32		2,4	0,32		2,2	0,29		2,2	0,29		2,4	0,23
	2,4	0,24		2,5	0,26		2,5	0,29		2,3	0,27		2,3	0,27		2,5	0,20
	2,5	0,21		2,6	0,24		2,6	0,27		2,4	0,25		2,4	0,25		2,6	0,18
	2,6	0,19		2,7	0,23		2,7	0,23		2,5	0,24		2,5	0,24		2,7	0,17
	2,7	0,18		2,8	0,22		2,8	0,22		2,6	0,22		2,6	0,20		2,8	0,15
	2,8	0,17		2,9	0,18		2,9	0,18		2,7	0,17		2,7	0,17		2,9	0,12
	2,9	0,10		3,0	0,15		3,0	0,16		2,8	0,16		2,8	0,16		3,0	0,11

STATO TENSIONALE NEL TERRENO - COMBINAZIONE:Rare 7

Filo N.ro	Quota m	Tens. kg/cmq	Filo N.ro	Quota m	Tens. kg/cmq	Filo N.ro	Quota m	Tens. kg/cmq	Filo N.ro	Quota m	Tens. kg/cmq	Filo N.ro	Quota m	Tens. kg/cmq	Filo N.ro	Quota m	Tens. kg/cmq
	3,0	0,09		3,1	0,15		3,1	0,16		2,9	0,15		2,9	0,15		3,1	0,11
	3,1	0,09		3,2	0,10		3,2	0,12		3,0	0,14		3,0	0,13		3,2	0,06
	3,2	0,09		3,3	0,08		3,3	0,10		3,1	0,14		3,1	0,13		3,3	0,06
	3,3	0,06		3,4	0,07		3,4	0,07		3,2	0,11		3,2	0,11		3,4	0,05
	3,4	0,05		3,5	0,06		3,5	0,07		3,3	0,11		3,3	0,09		3,5	0,05
	3,5	0,03		3,6	0,06		3,6	0,07		3,4	0,04		3,4	0,04		3,6	0,05
	3,6	0,03		3,7	0,05		3,7	0,05		3,5	0,04		3,5	0,04		3,7	0,03
	3,7	0,03		3,8	0,05		3,8	0,04		3,6	0,04		3,6	0,04		3,8	0,03
	3,8	0,03		3,9	0,04		3,9	0,04		3,7	0,04		3,7	0,04		3,9	0,03
	3,9	0,03		4,0	0,04		4,0	0,04		3,8	0,03		3,8	0,04		4,0	0,03
	4,0	0,03		4,1	0,04		4,1	0,04		3,9	0,03		3,9	0,04		4,1	0,03
	4,1	0,03		4,2	0,04		4,2	0,04		4,0	0,03		4,0	0,03		4,2	0,03
	4,2	0,03		4,3	0,04		4,3	0,04		4,1	0,04		4,1	0,04		4,3	0,03
	4,3	0,02		4,4	0,04		4,4	0,04		4,2	0,04		4,2	0,04		4,4	0,03
	4,4	0,03		4,5	0,04		4,5	0,04		4,3	0,04		4,3	0,04		4,5	0,03
7	1,6	0,57	8	1,4	0,53	9	1,4	0,54	10	1,6	0,53	11	1,6	0,53	12	1,5	0,67
	1,7	0,54		1,5	0,51		1,5	0,52		1,7	0,52		1,7	0,52		1,6	0,65
	1,8	0,50		1,6	0,47		1,6	0,48		1,8	0,50		1,8	0,50		1,7	0,60
	1,9	0,46		1,7	0,44		1,7	0,45		1,9	0,47		1,9	0,48		1,8	0,55
	2,0	0,42		1,8	0,40		1,8	0,41		2,0	0,44		2,0	0,44		1,9	0,49
	2,1	0,39		1,9	0,37		1,9	0,38		2,1	0,41		2,1	0,42		2,0	0,45
	2,2	0,35		2,0	0,35		2,0	0,35		2,2	0,38		2,2	0,39		2,1	0,41
	2,3	0,33		2,1	0,32		2,1	0,32		2,3	0,36		2,3	0,36		2,2	0,37
	2,4	0,30		2,2	0,30		2,2	0,30		2,4	0,34		2,4	0,34		2,3	0,34
	2,5	0,26		2,3	0,28		2,3	0,28		2,5	0,29		2,5	0,28		2,4	0,31
	2,6	0,24		2,4	0,26		2,4	0,26		2,6	0,28		2,6	0,26		2,5	0,27
	2,7	0,22		2,5	0,24		2,5	0,24		2,7	0,24		2,7	0,25		2,6	0,25
	2,8	0,19		2,6	0,21		2,6	0,23		2,8	0,23		2,8	0,23		2,7	0,23
	2,9	0,15		2,7	0,17		2,7	0,17		2,9	0,19		2,9	0,19		2,8	0,21
	3,0	0,14		2,8	0,16		2,8	0,16		3,0	0,17		3,0	0,16		2,9	0,12
	3,1	0,13		2,9	0,15		2,9	0,15		3,1	0,16		3,1	0,15		3,0	0,12
	3,2	0,07		3,0	0,14		3,0	0,15		3,2	0,12		3,2	0,11		3,1	0,11
	3,3	0,07		3,1	0,13		3,1	0,14		3,3	0,10		3,3	0,09		3,2	0,11
	3,4	0,06		3,2	0,11		3,2	0,11		3,4	0,07		3,4	0,07		3,3	0,07
	3,5	0,06		3,3	0,09		3,3	0,11		3,5	0,07		3,5	0,07		3,4	0,06
	3,6	0,06		3,4	0,04		3,4	0,04		3,6	0,07		3,6	0,07		3,5	0,03
	3,7	0,03		3,5	0,04		3,5	0,04		3,7	0,05		3,7	0,05		3,6	0,03
	3,8	0,03		3,6	0,04		3,6	0,04		3,8	0,04		3,8	0,05		3,7	0,03
	3,9	0,03		3,7	0,04		3,7	0,04		3,9	0,04		3,9	0,04		3,8	0,02
	4,0	0,03		3,8	0,04		3,8	0,03		4,0	0,04		4,0	0,04		3,9	0,03
	4,1	0,03		3,9	0,04		3,9	0,03		4,1	0,04		4,1	0,04		4,0	0,03
	4,2	0,02		4,0	0,03		4,0	0,03		4,2	0,04		4,2	0,04		4,1	0,03
	4,3	0,03		4,1	0,04		4,1	0,04		4,3	0,04		4,3	0,04		4,2	0,03
	4,4	0,03		4,2	0,04		4,2	0,04		4,4	0,04		4,4	0,04		4,3	0,02
	4,5	0,02		4,3	0,04		4,3	0,04		4,5	0,04		4,5	0,04		4,4	0,02
13	1,6	0,51	14	1,6	0,56												
	1,7	0,51		1,7	0,55												
	1,8	0,49		1,8	0,53												
	1,9	0,46		1,9	0,50												
	2,0	0,43		2,0	0,47												
	2,1	0,40		2,1	0,43												
	2,2	0,37		2,2	0,41												
	2,3	0,35		2,3	0,38												
	2,4	0,33		2,4	0,35												
	2,5	0,29		2,5	0,31												
	2,6	0,25		2,6	0,27												
	2,7	0,24		2,7	0,26												
	2,8	0,22		2,8	0,24												
	2,9	0,17		2,9	0,19												
	3,0	0,15		3,0	0,17												
	3,1	0,15		3,1	0,16												
	3,2	0,12		3,2	0,13												
	3,3	0,08		3,3	0,09												
	3,4	0,07		3,4	0,08												
	3,5	0,06		3,5	0,07												
	3,6	0,06		3,6	0,07												
	3,7	0,05		3,7	0,05												
	3,8	0,04		3,8	0,05												
	3,9	0,04		3,9	0,04												
	4,0	0,04		4,0	0,04												
	4,1	0,04		4,1	0,04												
	4,2	0,04		4,2	0,04												
	4,3	0,04		4,3	0,04												
	4,4	0,04		4,4	0,04												
	4,5	0,04		4,5	0,04												

STATO TENSIONALE NEL TERRENO - COMBINAZIONE:Rare 8

Filo N.ro	Quota m	Tens. kg/cmq	Filo N.ro	Quota m	Tens. kg/cmq	Filo N.ro	Quota m	Tens. kg/cmq	Filo N.ro	Quota m	Tens. kg/cmq	Filo N.ro	Quota m	Tens. kg/cmq	Filo N.ro	Quota m	Tens. kg/cmq
1	1,5	0,44	2	1,6	0,48	3	1,6	0,49	4	1,4	0,51	5	1,4	0,52	6	1,6	0,38
	1,6	0,43		1,7	0,48		1,7	0,49		1,5	0,49		1,5	0,50		1,7	0,36
	1,7	0,40		1,8	0,46		1,8	0,47		1,6	0,45		1,6	0,46		1,8	0,33
	1,8	0,37		1,9	0,43		1,9	0,44		1,7	0,42		1,7	0,43		1,9	0,31
	1,9	0,33		2,0	0,40		2,0	0,42		1,8	0,39		1,8	0,39		2,0	0,28
	2,0	0,30		2,1	0,38		2,1	0,39		1,9	0,36		1,9	0,36		2,1	0,26
	2,1	0,28		2,2	0,35		2,2	0,36		2,0	0,33		2,0	0,33		2,2	0,24
	2,2	0,25		2,3	0,33		2,3	0,34		2,1	0,31		2,1	0,31		2,3	0,22
	2,3	0,23		2,4	0,31		2,4	0,32		2,2	0,29		2,2	0,29		2,4	0,21
	2,4	0,22		2,5	0,25		2,5	0,28		2,3	0,26		2,3	0,27		2,5	0,17

STATO TENSIONALE NEL TERRENO - COMBINAZIONE:Rare 8

Filo N.ro	Quota m	Tens. kg/cmq	Filo N.ro	Quota m	Tens. kg/cmq	Filo N.ro	Quota m	Tens. kg/cmq	Filo N.ro	Quota m	Tens. kg/cmq	Filo N.ro	Quota m	Tens. kg/cmq	Filo N.ro	Quota m	Tens. kg/cmq
	2,5	0,18		2,6	0,24		2,6	0,26		2,4	0,25		2,4	0,25		2,6	0,16
	2,6	0,17		2,7	0,22		2,7	0,23		2,5	0,23		2,5	0,23		2,7	0,15
	2,7	0,16		2,8	0,21		2,8	0,22		2,6	0,22		2,6	0,20		2,8	0,14
	2,8	0,15		2,9	0,17		2,9	0,18		2,7	0,17		2,7	0,17		2,9	0,10
	2,9	0,09		3,0	0,15		3,0	0,16		2,8	0,15		2,8	0,16		3,0	0,10
	3,0	0,08		3,1	0,14		3,1	0,15		2,9	0,15		2,9	0,15		3,1	0,10
	3,1	0,08		3,2	0,10		3,2	0,12		3,0	0,14		3,0	0,13		3,2	0,06
	3,2	0,08		3,3	0,08		3,3	0,10		3,1	0,13		3,1	0,13		3,3	0,06
	3,3	0,06		3,4	0,07		3,4	0,06		3,2	0,11		3,2	0,11		3,4	0,05
	3,4	0,05		3,5	0,06		3,5	0,06		3,3	0,10		3,3	0,09		3,5	0,05
	3,5	0,03		3,6	0,06		3,6	0,06		3,4	0,04		3,4	0,04		3,6	0,05
	3,6	0,03		3,7	0,04		3,7	0,05		3,5	0,04		3,5	0,04		3,7	0,03
	3,7	0,03		3,8	0,05		3,8	0,04		3,6	0,04		3,6	0,04		3,8	0,03
	3,8	0,02		3,9	0,04		3,9	0,04		3,7	0,04		3,7	0,04		3,9	0,03
	3,9	0,03		4,0	0,04		4,0	0,04		3,8	0,03		3,8	0,03		4,0	0,03
	4,0	0,03		4,1	0,04		4,1	0,04		3,9	0,03		3,9	0,04		4,1	0,03
	4,1	0,03		4,2	0,04		4,2	0,04		4,0	0,03		4,0	0,03		4,2	0,03
	4,2	0,03		4,3	0,04		4,3	0,04		4,1	0,03		4,1	0,03		4,3	0,03
	4,3	0,02		4,4	0,04		4,4	0,04		4,2	0,04		4,2	0,04		4,4	0,03
	4,4	0,03		4,5	0,04		4,5	0,04		4,3	0,04		4,3	0,04		4,5	0,03
7	1,6	0,61	8	1,4	0,52	9	1,4	0,53	10	1,6	0,53	11	1,6	0,53	12	1,5	0,72
	1,7	0,58		1,5	0,51		1,5	0,52		1,7	0,52		1,7	0,53		1,6	0,70
	1,8	0,54		1,6	0,47		1,6	0,48		1,8	0,50		1,8	0,51		1,7	0,65
	1,9	0,50		1,7	0,44		1,7	0,45		1,9	0,47		1,9	0,48		1,8	0,59
	2,0	0,45		1,8	0,40		1,8	0,41		2,0	0,44		2,0	0,45		1,9	0,53
	2,1	0,41		1,9	0,37		1,9	0,38		2,1	0,41		2,1	0,42		2,0	0,48
	2,2	0,38		2,0	0,34		2,0	0,35		2,2	0,38		2,2	0,39		2,1	0,43
	2,3	0,35		2,1	0,32		2,1	0,32		2,3	0,36		2,3	0,37		2,2	0,39
	2,4	0,32		2,2	0,30		2,2	0,30		2,4	0,33		2,4	0,34		2,3	0,36
	2,5	0,27		2,3	0,28		2,3	0,28		2,5	0,29		2,5	0,28		2,4	0,33
	2,6	0,25		2,4	0,26		2,4	0,26		2,6	0,28		2,6	0,26		2,5	0,28
	2,7	0,24		2,5	0,24		2,5	0,24		2,7	0,24		2,7	0,25		2,6	0,26
	2,8	0,21		2,6	0,21		2,6	0,23		2,8	0,23		2,8	0,23		2,7	0,24
	2,9	0,16		2,7	0,17		2,7	0,17		2,9	0,19		2,9	0,19		2,8	0,23
	3,0	0,15		2,8	0,16		2,8	0,16		3,0	0,17		3,0	0,16		2,9	0,13
	3,1	0,14		2,9	0,15		2,9	0,15		3,1	0,16		3,1	0,16		3,0	0,12
	3,2	0,07		3,0	0,14		3,0	0,15		3,2	0,12		3,2	0,11		3,1	0,12
	3,3	0,07		3,1	0,13		3,1	0,14		3,3	0,10		3,3	0,09		3,2	0,11
	3,4	0,06		3,2	0,11		3,2	0,11		3,4	0,07		3,4	0,07		3,3	0,08
	3,5	0,06		3,3	0,09		3,3	0,11		3,5	0,07		3,5	0,07		3,4	0,06
	3,6	0,06		3,4	0,04		3,4	0,04		3,6	0,07		3,6	0,07		3,5	0,03
	3,7	0,03		3,5	0,04		3,5	0,04		3,7	0,05		3,7	0,05		3,6	0,03
	3,8	0,03		3,6	0,04		3,6	0,04		3,8	0,04		3,8	0,05		3,7	0,03
	3,9	0,03		3,7	0,04		3,7	0,04		3,9	0,04		3,9	0,04		3,8	0,02
	4,0	0,03		3,8	0,04		3,8	0,03		4,0	0,04		4,0	0,04		3,9	0,03
	4,1	0,03		3,9	0,04		3,9	0,03		4,1	0,04		4,1	0,04		4,0	0,03
	4,2	0,02		4,0	0,03		4,0	0,03		4,2	0,04		4,2	0,04		4,1	0,03
	4,3	0,02		4,1	0,04		4,1	0,04		4,3	0,04		4,3	0,04		4,2	0,03
	4,4	0,03		4,2	0,04		4,2	0,04		4,4	0,04		4,4	0,04		4,3	0,02
	4,5	0,02		4,3	0,04		4,3	0,04		4,5	0,04		4,5	0,04		4,4	0,02
13	1,6	0,49	14	1,6	0,57												
	1,7	0,49		1,7	0,56												
	1,8	0,47		1,8	0,54												
	1,9	0,44		1,9	0,51												
	2,0	0,41		2,0	0,47												
	2,1	0,38		2,1	0,44												
	2,2	0,36		2,2	0,41												
	2,3	0,33		2,3	0,38												
	2,4	0,31		2,4	0,36												
	2,5	0,28		2,5	0,32												
	2,6	0,24		2,6	0,27												
	2,7	0,23		2,7	0,26												
	2,8	0,21		2,8	0,25												
	2,9	0,17		2,9	0,19												
	3,0	0,15		3,0	0,17												
	3,1	0,14		3,1	0,16												
	3,2	0,12		3,2	0,14												
	3,3	0,08		3,3	0,09												
	3,4	0,07		3,4	0,08												
	3,5	0,06		3,5	0,07												
	3,6	0,06		3,6	0,07												
	3,7	0,04		3,7	0,05												
	3,8	0,04		3,8	0,05												
	3,9	0,04		3,9	0,04												
	4,0	0,04		4,0	0,04												
	4,1	0,04		4,1	0,04												
	4,2	0,04		4,2	0,04												
	4,3	0,04		4,3	0,04												
	4,4	0,04		4,4	0,04												
	4,5	0,04		4,5	0,04												

STATO TENSIONALE NEL TERRENO - COMBINAZIONE:Rare 9

Filo N.ro	Quota m	Tens. kg/cmq	Filo N.ro	Quota m	Tens. kg/cmq	Filo N.ro	Quota m	Tens. kg/cmq	Filo N.ro	Quota m	Tens. kg/cmq	Filo N.ro	Quota m	Tens. kg/cmq	Filo N.ro	Quota m	Tens. kg/cmq
1	1,5	0,59	2	1,6	0,53	3	1,6	0,52	4	1,4	0,53	5	1,4	0,54	6	1,6	0,51
	1,6	0,57		1,7	0,52		1,7	0,51		1,5	0,51		1,5	0,52		1,7	0,48
	1,7	0,53		1,8	0,50		1,8	0,49		1,6	0,47		1,6	0,48		1,8	0,45
	1,8	0,49		1,9	0,47		1,9	0,47		1,7	0,44		1,7	0,45		1,9	0,41
	1,9	0,44		2,0	0,44		2,0	0,44		1,8	0,40		1,8	0,41		2,0	0,38

STATO TENSIONALE NEL TERRENO - COMBINAZIONE:Rare 9

Filo N.ro	Quota m	Tens. kg/cmq	Filo N.ro	Quota m	Tens. kg/cmq	Filo N.ro	Quota m	Tens. kg/cmq	Filo N.ro	Quota m	Tens. kg/cmq	Filo N.ro	Quota m	Tens. kg/cmq	Filo N.ro	Quota m	Tens. kg/cmq
	2,0	0,40		2,1	0,41		2,1	0,41		1,9	0,37		1,9	0,38		2,1	0,34
	2,1	0,36		2,2	0,38		2,2	0,38		2,0	0,34		2,0	0,35		2,2	0,32
	2,2	0,33		2,3	0,36		2,3	0,36		2,1	0,32		2,1	0,32		2,3	0,29
	2,3	0,30		2,4	0,34		2,4	0,33		2,2	0,30		2,2	0,30		2,4	0,27
	2,4	0,28		2,5	0,27		2,5	0,29		2,3	0,28		2,3	0,28		2,5	0,23
	2,5	0,24		2,6	0,26		2,6	0,28		2,4	0,26		2,4	0,26		2,6	0,21
	2,6	0,22		2,7	0,24		2,7	0,24		2,5	0,24		2,5	0,24		2,7	0,20
	2,7	0,21		2,8	0,23		2,8	0,23		2,6	0,23		2,6	0,21		2,8	0,17
	2,8	0,19		2,9	0,19		2,9	0,19		2,7	0,17		2,7	0,17		2,9	0,13
	2,9	0,11		3,0	0,16		3,0	0,17		2,8	0,16		2,8	0,16		3,0	0,13
	3,0	0,11		3,1	0,15		3,1	0,16		2,9	0,15		2,9	0,15		3,1	0,12
	3,1	0,10		3,2	0,11		3,2	0,12		3,0	0,15		3,0	0,14		3,2	0,07
	3,2	0,10		3,3	0,09		3,3	0,10		3,1	0,14		3,1	0,13		3,3	0,07
	3,3	0,07		3,4	0,07		3,4	0,07		3,2	0,11		3,2	0,11		3,4	0,06
	3,4	0,05		3,5	0,07		3,5	0,07		3,3	0,11		3,3	0,09		3,5	0,06
	3,5	0,03		3,6	0,07		3,6	0,07		3,4	0,04		3,4	0,04		3,6	0,06
	3,6	0,03		3,7	0,05		3,7	0,05		3,5	0,04		3,5	0,04		3,7	0,03
	3,7	0,03		3,8	0,05		3,8	0,04		3,6	0,04		3,6	0,04		3,8	0,03
	3,8	0,03		3,9	0,04		3,9	0,04		3,7	0,04		3,7	0,04		3,9	0,03
	3,9	0,03		4,0	0,04		4,0	0,04		3,8	0,03		3,8	0,04		4,0	0,03
	4,0	0,03		4,1	0,04		4,1	0,04		3,9	0,03		3,9	0,04		4,1	0,03
	4,1	0,03		4,2	0,04		4,2	0,04		4,0	0,03		4,0	0,03		4,2	0,03
	4,2	0,03		4,3	0,04		4,3	0,04		4,1	0,04		4,1	0,04		4,3	0,03
	4,3	0,02		4,4	0,04		4,4	0,04		4,2	0,04		4,2	0,04		4,4	0,03
	4,4	0,02		4,5	0,04		4,5	0,04		4,3	0,04		4,3	0,04		4,5	0,03
7	1,6	0,51	8	1,4	0,53	9	1,4	0,54	10	1,6	0,53	11	1,6	0,52	12	1,5	0,59
	1,7	0,48		1,5	0,51		1,5	0,52		1,7	0,52		1,7	0,51		1,6	0,57
	1,8	0,45		1,6	0,47		1,6	0,48		1,8	0,50		1,8	0,49		1,7	0,53
	1,9	0,41		1,7	0,44		1,7	0,45		1,9	0,47		1,9	0,47		1,8	0,49
	2,0	0,38		1,8	0,40		1,8	0,41		2,0	0,44		2,0	0,44		1,9	0,44
	2,1	0,34		1,9	0,37		1,9	0,38		2,1	0,41		2,1	0,41		2,0	0,40
	2,2	0,32		2,0	0,34		2,0	0,35		2,2	0,38		2,2	0,38		2,1	0,36
	2,3	0,29		2,1	0,32		2,1	0,32		2,3	0,36		2,3	0,36		2,2	0,33
	2,4	0,27		2,2	0,30		2,2	0,30		2,4	0,34		2,4	0,33		2,3	0,30
	2,5	0,23		2,3	0,28		2,3	0,28		2,5	0,29		2,5	0,27		2,4	0,28
	2,6	0,21		2,4	0,26		2,4	0,26		2,6	0,28		2,6	0,26		2,5	0,24
	2,7	0,20		2,5	0,24		2,5	0,24		2,7	0,24		2,7	0,24		2,6	0,22
	2,8	0,17		2,6	0,21		2,6	0,23		2,8	0,23		2,8	0,23		2,7	0,21
	2,9	0,13		2,7	0,17		2,7	0,17		2,9	0,19		2,9	0,19		2,8	0,19
	3,0	0,13		2,8	0,16		2,8	0,16		3,0	0,17		3,0	0,16		2,9	0,11
	3,1	0,12		2,9	0,15		2,9	0,15		3,1	0,16		3,1	0,15		3,0	0,11
	3,2	0,07		3,0	0,14		3,0	0,15		3,2	0,12		3,2	0,11		3,1	0,10
	3,3	0,07		3,1	0,13		3,1	0,14		3,3	0,10		3,3	0,08		3,2	0,10
	3,4	0,06		3,2	0,11		3,2	0,11		3,4	0,07		3,4	0,07		3,3	0,07
	3,5	0,06		3,3	0,09		3,3	0,11		3,5	0,07		3,5	0,07		3,4	0,05
	3,6	0,06		3,4	0,04		3,4	0,04		3,6	0,07		3,6	0,07		3,5	0,03
	3,7	0,03		3,5	0,04		3,5	0,04		3,7	0,05		3,7	0,05		3,6	0,03
	3,8	0,03		3,6	0,04		3,6	0,04		3,8	0,04		3,8	0,05		3,7	0,03
	3,9	0,03		3,7	0,04		3,7	0,04		3,9	0,04		3,9	0,04		3,8	0,03
	4,0	0,03		3,8	0,04		3,8	0,03		4,0	0,04		4,0	0,04		3,9	0,03
	4,1	0,03		3,9	0,04		3,9	0,03		4,1	0,04		4,1	0,04		4,0	0,03
	4,2	0,03		4,0	0,03		4,0	0,03		4,2	0,04		4,2	0,04		4,1	0,03
	4,3	0,03		4,1	0,04		4,1	0,04		4,3	0,04		4,3	0,04		4,2	0,03
	4,4	0,03		4,2	0,04		4,2	0,04		4,4	0,04		4,4	0,04		4,3	0,02
	4,5	0,03		4,3	0,04		4,3	0,04		4,5	0,04		4,5	0,04		4,4	0,02
13	1,6	0,54	14	1,6	0,54												
	1,7	0,53		1,7	0,53												
	1,8	0,51		1,8	0,51												
	1,9	0,48		1,9	0,48												
	2,0	0,45		2,0	0,45												
	2,1	0,42		2,1	0,42												
	2,2	0,39		2,2	0,39												
	2,3	0,37		2,3	0,37												
	2,4	0,34		2,4	0,34												
	2,5	0,30		2,5	0,30												
	2,6	0,26		2,6	0,26												
	2,7	0,25		2,7	0,25												
	2,8	0,24		2,8	0,24												
	2,9	0,18		2,9	0,18												
	3,0	0,16		3,0	0,16												
	3,1	0,16		3,1	0,16												
	3,2	0,13		3,2	0,13												
	3,3	0,09		3,3	0,09												
	3,4	0,07		3,4	0,07												
	3,5	0,07		3,5	0,07												
	3,6	0,07		3,6	0,07												
	3,7	0,05		3,7	0,05												
	3,8	0,05		3,8	0,05												
	3,9	0,04		3,9	0,04												
	4,0	0,04		4,0	0,04												
	4,1	0,04		4,1	0,04												
	4,2	0,04		4,2	0,04												
	4,3	0,04		4,3	0,04												
	4,4	0,04		4,4	0,04												
	4,5	0,04		4,5	0,04												

STATO TENSIONALE NEL TERRENO - COMBINAZIONE:Rare 10

Filo N.ro	Quota m	Tens. kg/cmq	Filo N.ro	Quota m	Tens. kg/cmq	Filo N.ro	Quota m	Tens. kg/cmq	Filo N.ro	Quota m	Tens. kg/cmq	Filo N.ro	Quota m	Tens. kg/cmq	Filo N.ro	Quota m	Tens. kg/cmq

STATO TENSIONALE NEL TERRENO - COMBINAZIONE:Rare 10

Filo N.ro	Quota m	Tens. kg/cmq	Filo N.ro	Quota m	Tens. kg/cmq	Filo N.ro	Quota m	Tens. kg/cmq	Filo N.ro	Quota m	Tens. kg/cmq	Filo N.ro	Quota m	Tens. kg/cmq	Filo N.ro	Quota m	Tens. kg/cmq
1	1,5	0,58	2	1,6	0,52	3	1,6	0,51	4	1,4	0,52	5	1,4	0,53	6	1,6	0,50
	1,6	0,57		1,7	0,52		1,7	0,51		1,5	0,50		1,5	0,51		1,7	0,48
	1,7	0,53		1,8	0,49		1,8	0,49		1,6	0,46		1,6	0,47		1,8	0,44
	1,8	0,48		1,9	0,46		1,9	0,46		1,7	0,44		1,7	0,44		1,9	0,41
	1,9	0,44		2,0	0,43		2,0	0,43		1,8	0,40		1,8	0,40		2,0	0,37
	2,0	0,39		2,1	0,41		2,1	0,40		1,9	0,37		1,9	0,37		2,1	0,34
	2,1	0,36		2,2	0,38		2,2	0,38		2,0	0,34		2,0	0,34		2,2	0,31
	2,2	0,33		2,3	0,35		2,3	0,35		2,1	0,32		2,1	0,32		2,3	0,29
	2,3	0,30		2,4	0,33		2,4	0,33		2,2	0,29		2,2	0,30		2,4	0,27
	2,4	0,28		2,5	0,27		2,5	0,29		2,3	0,27		2,3	0,27		2,5	0,23
	2,5	0,24		2,6	0,25		2,6	0,27		2,4	0,26		2,4	0,26		2,6	0,21
	2,6	0,22		2,7	0,24		2,7	0,24		2,5	0,24		2,5	0,24		2,7	0,20
	2,7	0,20		2,8	0,23		2,8	0,22		2,6	0,23		2,6	0,21		2,8	0,17
	2,8	0,19		2,9	0,19		2,9	0,18		2,7	0,17		2,7	0,17		2,9	0,13
	2,9	0,11		3,0	0,16		3,0	0,16		2,8	0,16		2,8	0,16		3,0	0,12
	3,0	0,10		3,1	0,15		3,1	0,16		2,9	0,15		2,9	0,15		3,1	0,12
	3,1	0,10		3,2	0,11		3,2	0,12		3,0	0,14		3,0	0,14		3,2	0,07
	3,2	0,10		3,3	0,08		3,3	0,10		3,1	0,14		3,1	0,13		3,3	0,06
	3,3	0,07		3,4	0,07		3,4	0,07		3,2	0,11		3,2	0,11		3,4	0,06
	3,4	0,05		3,5	0,07		3,5	0,07		3,3	0,11		3,3	0,09		3,5	0,06
	3,5	0,03		3,6	0,07		3,6	0,07		3,4	0,04		3,4	0,04		3,6	0,06
	3,6	0,03		3,7	0,05		3,7	0,05		3,5	0,04		3,5	0,04		3,7	0,03
	3,7	0,03		3,8	0,05		3,8	0,04		3,6	0,04		3,6	0,04		3,8	0,03
	3,8	0,02		3,9	0,04		3,9	0,04		3,7	0,04		3,7	0,04		3,9	0,03
	3,9	0,03		4,0	0,04		4,0	0,04		3,8	0,03		3,8	0,04		4,0	0,03
	4,0	0,03		4,1	0,04		4,1	0,04		3,9	0,03		3,9	0,04		4,1	0,03
	4,1	0,03		4,2	0,04		4,2	0,04		4,0	0,03		4,0	0,03		4,2	0,02
	4,2	0,03		4,3	0,04		4,3	0,04		4,1	0,04		4,1	0,04		4,3	0,03
	4,3	0,02		4,4	0,04		4,4	0,04		4,2	0,04		4,2	0,04		4,4	0,03
	4,4	0,02		4,5	0,04		4,5	0,04		4,3	0,04		4,3	0,04		4,5	0,02
7	1,6	0,50	8	1,4	0,52	9	1,4	0,53	10	1,6	0,52	11	1,6	0,51	12	1,5	0,58
	1,7	0,48		1,5	0,50		1,5	0,51		1,7	0,52		1,7	0,51		1,6	0,57
	1,8	0,44		1,6	0,47		1,6	0,47		1,8	0,49		1,8	0,49		1,7	0,53
	1,9	0,41		1,7	0,44		1,7	0,44		1,9	0,46		1,9	0,46		1,8	0,48
	2,0	0,37		1,8	0,40		1,8	0,40		2,0	0,43		2,0	0,43		1,9	0,44
	2,1	0,34		1,9	0,37		1,9	0,37		2,1	0,41		2,1	0,40		2,0	0,39
	2,2	0,31		2,0	0,34		2,0	0,34		2,2	0,38		2,2	0,38		2,1	0,36
	2,3	0,29		2,1	0,32		2,1	0,32		2,3	0,35		2,3	0,35		2,2	0,33
	2,4	0,27		2,2	0,29		2,2	0,30		2,4	0,33		2,4	0,33		2,3	0,30
	2,5	0,23		2,3	0,27		2,3	0,27		2,5	0,29		2,5	0,27		2,4	0,28
	2,6	0,21		2,4	0,26		2,4	0,26		2,6	0,27		2,6	0,25		2,5	0,24
	2,7	0,20		2,5	0,24		2,5	0,24		2,7	0,24		2,7	0,24		2,6	0,22
	2,8	0,17		2,6	0,20		2,6	0,23		2,8	0,23		2,8	0,23		2,7	0,20
	2,9	0,13		2,7	0,17		2,7	0,17		2,9	0,18		2,9	0,19		2,8	0,19
	3,0	0,12		2,8	0,16		2,8	0,16		3,0	0,17		3,0	0,16		2,9	0,11
	3,1	0,12		2,9	0,15		2,9	0,15		3,1	0,16		3,1	0,15		3,0	0,10
	3,2	0,07		3,0	0,13		3,0	0,15		3,2	0,12		3,2	0,11		3,1	0,10
	3,3	0,06		3,1	0,13		3,1	0,14		3,3	0,10		3,3	0,08		3,2	0,10
	3,4	0,06		3,2	0,11		3,2	0,11		3,4	0,07		3,4	0,07		3,3	0,07
	3,5	0,06		3,3	0,09		3,3	0,11		3,5	0,07		3,5	0,07		3,4	0,05
	3,6	0,06		3,4	0,04		3,4	0,04		3,6	0,07		3,6	0,07		3,5	0,03
	3,7	0,03		3,5	0,04		3,5	0,04		3,7	0,05		3,7	0,05		3,6	0,03
	3,8	0,03		3,6	0,04		3,6	0,04		3,8	0,04		3,8	0,05		3,7	0,03
	3,9	0,03		3,7	0,04		3,7	0,04		3,9	0,04		3,9	0,04		3,8	0,02
	4,0	0,03		3,8	0,04		3,8	0,03		4,0	0,04		4,0	0,04		3,9	0,03
	4,1	0,03		3,9	0,04		3,9	0,03		4,1	0,04		4,1	0,04		4,0	0,03
	4,2	0,02		4,0	0,03		4,0	0,03		4,2	0,04		4,2	0,04		4,1	0,03
	4,3	0,03		4,1	0,04		4,1	0,04		4,3	0,04		4,3	0,04		4,2	0,03
	4,4	0,03		4,2	0,04		4,2	0,04		4,4	0,04		4,4	0,04		4,3	0,02
	4,5	0,02		4,3	0,04		4,3	0,04		4,5	0,04		4,5	0,04		4,4	0,02
13	1,6	0,53	14	1,6	0,53												
	1,7	0,53		1,7	0,53												
	1,8	0,51		1,8	0,51												
	1,9	0,48		1,9	0,48												
	2,0	0,45		2,0	0,45												
	2,1	0,42		2,1	0,42												
	2,2	0,39		2,2	0,39												
	2,3	0,36		2,3	0,36												
	2,4	0,34		2,4	0,34												
	2,5	0,30		2,5	0,30												
	2,6	0,26		2,6	0,26												
	2,7	0,25		2,7	0,25												
	2,8	0,23		2,8	0,23												
	2,9	0,18		2,9	0,18												
	3,0	0,16		3,0	0,16												
	3,1	0,15		3,1	0,15												
	3,2	0,13		3,2	0,13												
	3,3	0,09		3,3	0,09												
	3,4	0,07		3,4	0,07												
	3,5	0,07		3,5	0,07												
	3,6	0,07		3,6	0,07												
	3,7	0,05		3,7	0,05												
	3,8	0,05		3,8	0,05												
	3,9	0,04		3,9	0,04												
	4,0	0,04		4,0	0,04												
	4,1	0,04		4,1	0,04												
	4,2	0,04		4,2	0,04												
	4,3	0,04		4,3	0,04												
	4,4	0,04		4,4	0,04												
	4,5	0,04		4,5	0,04												

STATO TENSIONALE NEL TERRENO - COMBINAZIONE:Rare 11

Filo N.ro	Quota m	Tens. kg/cmq	Filo N.ro	Quota m	Tens. kg/cmq	Filo N.ro	Quota m	Tens. kg/cmq	Filo N.ro	Quota m	Tens. kg/cmq	Filo N.ro	Quota m	Tens. kg/cmq	Filo N.ro	Quota m	Tens. kg/cmq
1	1,5	0,58	2	1,6	0,51	3	1,6	0,51	4	1,4	0,52	5	1,4	0,53	6	1,6	0,50
	1,6	0,56		1,7	0,51		1,7	0,50		1,5	0,50		1,5	0,51		1,7	0,47
	1,7	0,52		1,8	0,49		1,8	0,48		1,6	0,46		1,6	0,47		1,8	0,44
	1,8	0,48		1,9	0,46		1,9	0,45		1,7	0,43		1,7	0,44		1,9	0,40
	1,9	0,43		2,0	0,43		2,0	0,43		1,8	0,40		1,8	0,40		2,0	0,37
	2,0	0,39		2,1	0,40		2,1	0,40		1,9	0,37		1,9	0,37		2,1	0,34
	2,1	0,36		2,2	0,37		2,2	0,37		2,0	0,34		2,0	0,34		2,2	0,31
	2,2	0,32		2,3	0,35		2,3	0,35		2,1	0,31		2,1	0,32		2,3	0,28
	2,3	0,30		2,4	0,33		2,4	0,33		2,2	0,29		2,2	0,29		2,4	0,26
	2,4	0,27		2,5	0,27		2,5	0,29		2,3	0,27		2,3	0,27		2,5	0,22
	2,5	0,23		2,6	0,25		2,6	0,27		2,4	0,25		2,4	0,25		2,6	0,21
	2,6	0,22		2,7	0,24		2,7	0,23		2,5	0,24		2,5	0,24		2,7	0,20
	2,7	0,20		2,8	0,22		2,8	0,22		2,6	0,22		2,6	0,20		2,8	0,17
	2,8	0,19		2,9	0,18		2,9	0,18		2,7	0,17		2,7	0,17		2,9	0,13
	2,9	0,11		3,0	0,16		3,0	0,16		2,8	0,16		2,8	0,16		3,0	0,12
	3,0	0,10		3,1	0,15		3,1	0,16		2,9	0,15		2,9	0,15		3,1	0,12
	3,1	0,10		3,2	0,10		3,2	0,12		3,0	0,14		3,0	0,13		3,2	0,06
	3,2	0,09		3,3	0,08		3,3	0,10		3,1	0,14		3,1	0,13		3,3	0,06
	3,3	0,07		3,4	0,07		3,4	0,07		3,2	0,11		3,2	0,11		3,4	0,06
	3,4	0,05		3,5	0,07		3,5	0,07		3,3	0,11		3,3	0,09		3,5	0,06
	3,5	0,03		3,6	0,07		3,6	0,07		3,4	0,04		3,4	0,04		3,6	0,05
	3,6	0,03		3,7	0,05		3,7	0,05		3,5	0,04		3,5	0,04		3,7	0,03
	3,7	0,03		3,8	0,05		3,8	0,04		3,6	0,04		3,6	0,04		3,8	0,03
	3,8	0,02		3,9	0,04		3,9	0,04		3,7	0,04		3,7	0,04		3,9	0,03
	3,9	0,03		4,0	0,04		4,0	0,04		3,8	0,03		3,8	0,03		4,0	0,03
	4,0	0,03		4,1	0,04		4,1	0,04		3,9	0,03		3,9	0,04		4,1	0,03
	4,1	0,03		4,2	0,04		4,2	0,04		4,0	0,03		4,0	0,03		4,2	0,02
	4,2	0,03		4,3	0,04		4,3	0,04		4,1	0,04		4,1	0,04		4,3	0,03
	4,3	0,02		4,4	0,04		4,4	0,04		4,2	0,04		4,2	0,04		4,4	0,03
	4,4	0,02		4,5	0,04		4,5	0,04		4,3	0,04		4,3	0,04		4,5	0,02
7	1,6	0,50	8	1,4	0,52	9	1,4	0,53	10	1,6	0,51	11	1,6	0,51	12	1,5	0,58
	1,7	0,47		1,5	0,50		1,5	0,51		1,7	0,51		1,7	0,50		1,6	0,56
	1,8	0,44		1,6	0,46		1,6	0,47		1,8	0,49		1,8	0,48		1,7	0,52
	1,9	0,40		1,7	0,43		1,7	0,44		1,9	0,46		1,9	0,46		1,8	0,48
	2,0	0,37		1,8	0,40		1,8	0,40		2,0	0,43		2,0	0,43		1,9	0,43
	2,1	0,34		1,9	0,37		1,9	0,37		2,1	0,40		2,1	0,40		2,0	0,39
	2,2	0,31		2,0	0,34		2,0	0,34		2,2	0,37		2,2	0,37		2,1	0,36
	2,3	0,28		2,1	0,31		2,1	0,32		2,3	0,35		2,3	0,35		2,2	0,32
	2,4	0,26		2,2	0,29		2,2	0,29		2,4	0,33		2,4	0,33		2,3	0,30
	2,5	0,22		2,3	0,27		2,3	0,27		2,5	0,29		2,5	0,27		2,4	0,27
	2,6	0,21		2,4	0,25		2,4	0,25		2,6	0,27		2,6	0,25		2,5	0,23
	2,7	0,20		2,5	0,24		2,5	0,24		2,7	0,24		2,7	0,24		2,6	0,22
	2,8	0,17		2,6	0,20		2,6	0,23		2,8	0,22		2,8	0,22		2,7	0,20
	2,9	0,13		2,7	0,17		2,7	0,17		2,9	0,18		2,9	0,18		2,8	0,19
	3,0	0,12		2,8	0,16		2,8	0,16		3,0	0,16		3,0	0,15		2,9	0,11
	3,1	0,12		2,9	0,15		2,9	0,15		3,1	0,16		3,1	0,15		3,0	0,10
	3,2	0,07		3,0	0,13		3,0	0,14		3,2	0,12		3,2	0,10		3,1	0,10
	3,3	0,06		3,1	0,13		3,1	0,14		3,3	0,10		3,3	0,08		3,2	0,09
	3,4	0,06		3,2	0,11		3,2	0,11		3,4	0,07		3,4	0,07		3,3	0,07
	3,5	0,06		3,3	0,09		3,3	0,11		3,5	0,07		3,5	0,06		3,4	0,05
	3,6	0,05		3,4	0,04		3,4	0,04		3,6	0,07		3,6	0,07		3,5	0,03
	3,7	0,03		3,5	0,04		3,5	0,04		3,7	0,05		3,7	0,05		3,6	0,03
	3,8	0,03		3,6	0,04		3,6	0,04		3,8	0,04		3,8	0,05		3,7	0,03
	3,9	0,03		3,7	0,04		3,7	0,04		3,9	0,04		3,9	0,04		3,8	0,02
	4,0	0,03		3,8	0,04		3,8	0,03		4,0	0,04		4,0	0,04		3,9	0,03
	4,1	0,03		3,9	0,04		3,9	0,03		4,1	0,04		4,1	0,04		4,0	0,03
	4,2	0,02		4,0	0,03		4,0	0,03		4,2	0,04		4,2	0,04		4,1	0,03
	4,3	0,03		4,1	0,04		4,1	0,04		4,3	0,04		4,3	0,04		4,2	0,03
	4,4	0,03		4,2	0,04		4,2	0,04		4,4	0,04		4,4	0,04		4,3	0,02
	4,5	0,02		4,3	0,04		4,3	0,04		4,5	0,04		4,5	0,04		4,4	0,02
13	1,6	0,53	14	1,6	0,53												
	1,7	0,52		1,7	0,52												
	1,8	0,50		1,8	0,50												
	1,9	0,47		1,9	0,47												
	2,0	0,44		2,0	0,44												
	2,1	0,41		2,1	0,41												
	2,2	0,38		2,2	0,38												
	2,3	0,36		2,3	0,36												
	2,4	0,34		2,4	0,34												
	2,5	0,30		2,5	0,30												
	2,6	0,26		2,6	0,26												
	2,7	0,24		2,7	0,24												
	2,8	0,23		2,8	0,23												
	2,9	0,18		2,9	0,18												
	3,0	0,16		3,0	0,16												
	3,1	0,15		3,1	0,15												
	3,2	0,13		3,2	0,13												
	3,3	0,09		3,3	0,09												
	3,4	0,07		3,4	0,07												
	3,5	0,07		3,5	0,07												
	3,6	0,07		3,6	0,07												
	3,7	0,05		3,7	0,05												
	3,8	0,04		3,8	0,04												
	3,9	0,04		3,9	0,04												
	4,0	0,04		4,0	0,04												
	4,1	0,04		4,1	0,04												
	4,2	0,04		4,2	0,04												
	4,3	0,04		4,3	0,04												
	4,4	0,04		4,4	0,04												
	4,5	0,04		4,5	0,04												

STATO TENSIONALE NEL TERRENO - COMBINAZIONE:Rare 11

Filo N.ro	Quota m	Tens. kg/cmq	Filo N.ro	Quota m	Tens. kg/cmq	Filo N.ro	Quota m	Tens. kg/cmq	Filo N.ro	Quota m	Tens. kg/cmq	Filo N.ro	Quota m	Tens. kg/cmq	Filo N.ro	Quota m	Tens. kg/cmq

STATO TENSIONALE NEL TERRENO - COMBINAZIONE:Rare 12

Filo N.ro	Quota m	Tens. kg/cmq	Filo N.ro	Quota m	Tens. kg/cmq	Filo N.ro	Quota m	Tens. kg/cmq	Filo N.ro	Quota m	Tens. kg/cmq	Filo N.ro	Quota m	Tens. kg/cmq	Filo N.ro	Quota m	Tens. kg/cmq
1	1,5	0,67	2	1,6	0,55	3	1,6	0,53	4	1,4	0,53	5	1,4	0,54	6	1,6	0,58
	1,6	0,65		1,7	0,54		1,7	0,52		1,5	0,51		1,5	0,52		1,7	0,55
	1,7	0,61		1,8	0,52		1,8	0,50		1,6	0,48		1,6	0,48		1,8	0,51
	1,8	0,55		1,9	0,49		1,9	0,47		1,7	0,45		1,7	0,45		1,9	0,47
	1,9	0,50		2,0	0,46		2,0	0,44		1,8	0,41		1,8	0,41		2,0	0,43
	2,0	0,45		2,1	0,43		2,1	0,41		1,9	0,38		1,9	0,38		2,1	0,39
	2,1	0,41		2,2	0,40		2,2	0,39		2,0	0,35		2,0	0,35		2,2	0,36
	2,2	0,37		2,3	0,37		2,3	0,36		2,1	0,32		2,1	0,33		2,3	0,33
	2,3	0,34		2,4	0,35		2,4	0,34		2,2	0,30		2,2	0,30		2,4	0,30
	2,4	0,31		2,5	0,28		2,5	0,30		2,3	0,28		2,3	0,28		2,5	0,26
	2,5	0,27		2,6	0,27		2,6	0,28		2,4	0,26		2,4	0,26		2,6	0,24
	2,6	0,25		2,7	0,25		2,7	0,24		2,5	0,25		2,5	0,25		2,7	0,22
	2,7	0,23		2,8	0,24		2,8	0,23		2,6	0,23		2,6	0,21		2,8	0,20
	2,8	0,22		2,9	0,20		2,9	0,19		2,7	0,17		2,7	0,18		2,9	0,15
	2,9	0,12		3,0	0,16		3,0	0,17		2,8	0,16		2,8	0,16		3,0	0,14
	3,0	0,12		3,1	0,16		3,1	0,16		2,9	0,16		2,9	0,16		3,1	0,13
	3,1	0,11		3,2	0,11		3,2	0,13		3,0	0,15		3,0	0,14		3,2	0,07
	3,2	0,11		3,3	0,09		3,3	0,10		3,1	0,14		3,1	0,13		3,3	0,07
	3,3	0,07		3,4	0,08		3,4	0,07		3,2	0,11		3,2	0,12		3,4	0,06
	3,4	0,06		3,5	0,07		3,5	0,07		3,3	0,11		3,3	0,09		3,5	0,06
	3,5	0,03		3,6	0,07		3,6	0,07		3,4	0,04		3,4	0,04		3,6	0,06
	3,6	0,03		3,7	0,05		3,7	0,05		3,5	0,04		3,5	0,04		3,7	0,03
	3,7	0,03		3,8	0,05		3,8	0,04		3,6	0,04		3,6	0,04		3,8	0,03
	3,8	0,03		3,9	0,04		3,9	0,04		3,7	0,04		3,7	0,04		3,9	0,03
	3,9	0,03		4,0	0,04		4,0	0,04		3,8	0,03		3,8	0,04		4,0	0,03
	4,0	0,03		4,1	0,04		4,1	0,04		3,9	0,03		3,9	0,04		4,1	0,03
	4,1	0,03		4,2	0,04		4,2	0,04		4,0	0,03		4,0	0,03		4,2	0,02
	4,2	0,03		4,3	0,04		4,3	0,04		4,1	0,04		4,1	0,04		4,3	0,03
	4,3	0,02		4,4	0,04		4,4	0,04		4,2	0,04		4,2	0,04		4,4	0,03
	4,4	0,02		4,5	0,04		4,5	0,04		4,3	0,04		4,3	0,04		4,5	0,02
7	1,6	0,44	8	1,4	0,52	9	1,4	0,53	10	1,6	0,52	11	1,6	0,50	12	1,5	0,50
	1,7	0,42		1,5	0,50		1,5	0,51		1,7	0,51		1,7	0,50		1,6	0,49
	1,8	0,39		1,6	0,46		1,6	0,47		1,8	0,49		1,8	0,48		1,7	0,46
	1,9	0,35		1,7	0,44		1,7	0,44		1,9	0,46		1,9	0,45		1,8	0,42
	2,0	0,32		1,8	0,40		1,8	0,40		2,0	0,43		2,0	0,42		1,9	0,38
	2,1	0,30		1,9	0,37		1,9	0,37		2,1	0,40		2,1	0,39		2,0	0,35
	2,2	0,27		2,0	0,34		2,0	0,34		2,2	0,38		2,2	0,37		2,1	0,31
	2,3	0,25		2,1	0,32		2,1	0,32		2,3	0,35		2,3	0,34		2,2	0,29
	2,4	0,23		2,2	0,29		2,2	0,30		2,4	0,33		2,4	0,32		2,3	0,27
	2,5	0,20		2,3	0,27		2,3	0,27		2,5	0,29		2,5	0,26		2,4	0,25
	2,6	0,19		2,4	0,26		2,4	0,26		2,6	0,27		2,6	0,25		2,5	0,21
	2,7	0,17		2,5	0,24		2,5	0,24		2,7	0,24		2,7	0,23		2,6	0,19
	2,8	0,15		2,6	0,20		2,6	0,23		2,8	0,23		2,8	0,22		2,7	0,18
	2,9	0,12		2,7	0,17		2,7	0,17		2,9	0,18		2,9	0,18		2,8	0,17
	3,0	0,11		2,8	0,16		2,8	0,16		3,0	0,17		3,0	0,15		2,9	0,10
	3,1	0,11		2,9	0,15		2,9	0,15		3,1	0,16		3,1	0,15		3,0	0,09
	3,2	0,06		3,0	0,13		3,0	0,14		3,2	0,12		3,2	0,10		3,1	0,09
	3,3	0,06		3,1	0,13		3,1	0,14		3,3	0,10		3,3	0,08		3,2	0,09
	3,4	0,05		3,2	0,11		3,2	0,11		3,4	0,07		3,4	0,07		3,3	0,06
	3,5	0,05		3,3	0,09		3,3	0,11		3,5	0,07		3,5	0,06		3,4	0,05
	3,6	0,05		3,4	0,04		3,4	0,04		3,6	0,07		3,6	0,06		3,5	0,03
	3,7	0,03		3,5	0,04		3,5	0,04		3,7	0,05		3,7	0,05		3,6	0,03
	3,8	0,03		3,6	0,04		3,6	0,04		3,8	0,04		3,8	0,05		3,7	0,03
	3,9	0,03		3,7	0,04		3,7	0,04		3,9	0,04		3,9	0,04		3,8	0,03
	4,0	0,03		3,8	0,04		3,8	0,03		4,0	0,04		4,0	0,04		3,9	0,03
	4,1	0,03		3,9	0,04		3,9	0,03		4,1	0,04		4,1	0,04		4,0	0,03
	4,2	0,03		4,0	0,03		4,0	0,03		4,2	0,04		4,2	0,04		4,1	0,03
	4,3	0,03		4,1	0,04		4,1	0,04		4,3	0,04		4,3	0,04		4,2	0,03
	4,4	0,03		4,2	0,04		4,2	0,04		4,4	0,04		4,4	0,04		4,3	0,02
	4,5	0,03		4,3	0,04		4,3	0,04		4,5	0,04		4,5	0,04		4,4	0,03
13	1,6	0,56	14	1,6	0,52												
	1,7	0,56		1,7	0,51												
	1,8	0,53		1,8	0,49												
	1,9	0,50		1,9	0,46												
	2,0	0,47		2,0	0,43												
	2,1	0,44		2,1	0,40												
	2,2	0,41		2,2	0,38												
	2,3	0,38		2,3	0,35												
	2,4	0,36		2,4	0,33												
	2,5	0,31		2,5	0,29												
	2,6	0,27		2,6	0,25												
	2,7	0,26		2,7	0,24												
	2,8	0,24		2,8	0,23												
	2,9	0,19		2,9	0,17												
	3,0	0,17		3,0	0,16												
	3,1	0,16		3,1	0,15												
	3,2	0,14		3,2	0,13												
	3,3	0,09		3,3	0,08												
	3,4	0,08		3,4	0,07												
	3,5	0,07		3,5	0,07												
	3,6	0,07		3,6	0,07												
	3,7	0,05		3,7	0,05												
	3,8	0,05		3,8	0,04												
	3,9	0,04		3,9	0,04												
	4,0	0,04		4,0	0,04												

STATO TENSIONALE NEL TERRENO - COMBINAZIONE:Rare 12

Filo N.ro	Quota m	Tens. kg/cmq	Filo N.ro	Quota m	Tens. kg/cmq	Filo N.ro	Quota m	Tens. kg/cmq	Filo N.ro	Quota m	Tens. kg/cmq	Filo N.ro	Quota m	Tens. kg/cmq	Filo N.ro	Quota m	Tens. kg/cmq
	4,1	0,04		4,1	0,04												
	4,2	0,04		4,2	0,04												
	4,3	0,04		4,3	0,04												
	4,4	0,04		4,4	0,04												
	4,5	0,04		4,5	0,04												

STATO TENSIONALE NEL TERRENO - COMBINAZIONE:Rare 13

Filo N.ro	Quota m	Tens. kg/cmq	Filo N.ro	Quota m	Tens. kg/cmq	Filo N.ro	Quota m	Tens. kg/cmq	Filo N.ro	Quota m	Tens. kg/cmq	Filo N.ro	Quota m	Tens. kg/cmq	Filo N.ro	Quota m	Tens. kg/cmq
1	1,5	0,67	2	1,6	0,54	3	1,6	0,52	4	1,4	0,53	5	1,4	0,54	6	1,6	0,57
	1,6	0,65		1,7	0,53		1,7	0,52		1,5	0,51		1,5	0,52		1,7	0,54
	1,7	0,60		1,8	0,51		1,8	0,49		1,6	0,47		1,6	0,48		1,8	0,50
	1,8	0,55		1,9	0,48		1,9	0,47		1,7	0,44		1,7	0,45		1,9	0,46
	1,9	0,49		2,0	0,45		2,0	0,44		1,8	0,40		1,8	0,41		2,0	0,42
	2,0	0,45		2,1	0,42		2,1	0,41		1,9	0,37		1,9	0,38		2,1	0,39
	2,1	0,41		2,2	0,39		2,2	0,38		2,0	0,35		2,0	0,35		2,2	0,35
	2,2	0,37		2,3	0,37		2,3	0,36		2,1	0,32		2,1	0,32		2,3	0,33
	2,3	0,34		2,4	0,34		2,4	0,33		2,2	0,30		2,2	0,30		2,4	0,30
	2,4	0,31		2,5	0,28		2,5	0,29		2,3	0,28		2,3	0,28		2,5	0,26
	2,5	0,27		2,6	0,26		2,6	0,28		2,4	0,26		2,4	0,26		2,6	0,24
	2,6	0,25		2,7	0,25		2,7	0,24		2,5	0,24		2,5	0,24		2,7	0,22
	2,7	0,23		2,8	0,23		2,8	0,23		2,6	0,23		2,6	0,21		2,8	0,19
	2,8	0,21		2,9	0,19		2,9	0,19		2,7	0,17		2,7	0,17		2,9	0,15
	2,9	0,12		3,0	0,16		3,0	0,17		2,8	0,16		2,8	0,16		3,0	0,14
	3,0	0,12		3,1	0,16		3,1	0,16		2,9	0,15		2,9	0,16		3,1	0,13
	3,1	0,11		3,2	0,11		3,2	0,12		3,0	0,15		3,0	0,14		3,2	0,07
	3,2	0,11		3,3	0,09		3,3	0,10		3,1	0,14		3,1	0,13		3,3	0,07
	3,3	0,07		3,4	0,07		3,4	0,07		3,2	0,11		3,2	0,12		3,4	0,06
	3,4	0,06		3,5	0,07		3,5	0,07		3,3	0,11		3,3	0,09		3,5	0,06
	3,5	0,03		3,6	0,07		3,6	0,07		3,4	0,04		3,4	0,04		3,6	0,06
	3,6	0,03		3,7	0,05		3,7	0,05		3,5	0,04		3,5	0,04		3,7	0,03
	3,7	0,03		3,8	0,05		3,8	0,04		3,6	0,04		3,6	0,04		3,8	0,03
	3,8	0,02		3,9	0,04		3,9	0,04		3,7	0,04		3,7	0,04		3,9	0,03
	3,9	0,03		4,0	0,04		4,0	0,04		3,8	0,03		3,8	0,04		4,0	0,03
	4,0	0,03		4,1	0,04		4,1	0,04		3,9	0,03		3,9	0,04		4,1	0,03
	4,1	0,03		4,2	0,04		4,2	0,04		4,0	0,03		4,0	0,03		4,2	0,02
	4,2	0,03		4,3	0,04		4,3	0,04		4,1	0,04		4,1	0,04		4,3	0,03
	4,3	0,02		4,4	0,04		4,4	0,04		4,2	0,04		4,2	0,04		4,4	0,03
	4,4	0,02		4,5	0,04		4,5	0,04		4,3	0,04		4,3	0,04		4,5	0,02
7	1,6	0,43	8	1,4	0,52	9	1,4	0,53	10	1,6	0,51	11	1,6	0,50	12	1,5	0,50
	1,7	0,41		1,5	0,50		1,5	0,51		1,7	0,51		1,7	0,49		1,6	0,49
	1,8	0,38		1,6	0,46		1,6	0,47		1,8	0,49		1,8	0,47		1,7	0,46
	1,9	0,35		1,7	0,43		1,7	0,44		1,9	0,46		1,9	0,45		1,8	0,42
	2,0	0,32		1,8	0,39		1,8	0,40		2,0	0,43		2,0	0,42		1,9	0,38
	2,1	0,29		1,9	0,36		1,9	0,37		2,1	0,40		2,1	0,39		2,0	0,34
	2,2	0,27		2,0	0,34		2,0	0,34		2,2	0,37		2,2	0,36		2,1	0,31
	2,3	0,25		2,1	0,31		2,1	0,31		2,3	0,35		2,3	0,34		2,2	0,29
	2,4	0,23		2,2	0,29		2,2	0,29		2,4	0,33		2,4	0,32		2,3	0,26
	2,5	0,20		2,3	0,27		2,3	0,27		2,5	0,29		2,5	0,26		2,4	0,24
	2,6	0,18		2,4	0,25		2,4	0,25		2,6	0,27		2,6	0,24		2,5	0,21
	2,7	0,17		2,5	0,24		2,5	0,24		2,7	0,24		2,7	0,23		2,6	0,19
	2,8	0,15		2,6	0,20		2,6	0,22		2,8	0,22		2,8	0,22		2,7	0,18
	2,9	0,12		2,7	0,17		2,7	0,17		2,9	0,18		2,9	0,18		2,8	0,17
	3,0	0,11		2,8	0,16		2,8	0,16		3,0	0,16		3,0	0,15		2,9	0,10
	3,1	0,11		2,9	0,15		2,9	0,15		3,1	0,16		3,1	0,14		3,0	0,09
	3,2	0,06		3,0	0,13		3,0	0,14		3,2	0,12		3,2	0,10		3,1	0,09
	3,3	0,06		3,1	0,13		3,1	0,14		3,3	0,10		3,3	0,08		3,2	0,09
	3,4	0,05		3,2	0,11		3,2	0,11		3,4	0,07		3,4	0,07		3,3	0,06
	3,5	0,05		3,3	0,09		3,3	0,11		3,5	0,07		3,5	0,06		3,4	0,05
	3,6	0,05		3,4	0,04		3,4	0,04		3,6	0,07		3,6	0,06		3,5	0,03
	3,7	0,03		3,5	0,04		3,5	0,04		3,7	0,05		3,7	0,05		3,6	0,03
	3,8	0,03		3,6	0,04		3,6	0,04		3,8	0,04		3,8	0,05		3,7	0,03
	3,9	0,03		3,7	0,04		3,7	0,04		3,9	0,04		3,9	0,04		3,8	0,03
	4,0	0,03		3,8	0,04		3,8	0,03		4,0	0,04		4,0	0,04		3,9	0,03
	4,1	0,03		3,9	0,04		3,9	0,03		4,1	0,04		4,1	0,04		4,0	0,03
	4,2	0,03		4,0	0,03		4,0	0,03		4,2	0,04		4,2	0,04		4,1	0,03
	4,3	0,03		4,1	0,04		4,1	0,04		4,3	0,04		4,3	0,04		4,2	0,03
	4,4	0,03		4,2	0,04		4,2	0,04		4,4	0,04		4,4	0,04		4,3	0,02
	4,5	0,03		4,3	0,04		4,3	0,04		4,5	0,04		4,5	0,04		4,4	0,03
13	1,6	0,56	14	1,6	0,51												
	1,7	0,55		1,7	0,51												
	1,8	0,53		1,8	0,49												
	1,9	0,50		1,9	0,46												
	2,0	0,47		2,0	0,43												
	2,1	0,43		2,1	0,40												
	2,2	0,41		2,2	0,37												
	2,3	0,38		2,3	0,35												
	2,4	0,35		2,4	0,33												
	2,5	0,31		2,5	0,29												
	2,6	0,27		2,6	0,25												
	2,7	0,26		2,7	0,24												
	2,8	0,24		2,8	0,22												
	2,9	0,19		2,9	0,17												
	3,0	0,17		3,0	0,15												
	3,1	0,16		3,1	0,15												
	3,2	0,13		3,2	0,12												
	3,3	0,09		3,3	0,08												
	3,4	0,08		3,4	0,07												
	3,5	0,07		3,5	0,06												

STATO TENSIONALE NEL TERRENO - COMBINAZIONE:Rare 13

Filo N.ro	Quota m	Tens. kg/cmq	Filo N.ro	Quota m	Tens. kg/cmq	Filo N.ro	Quota m	Tens. kg/cmq	Filo N.ro	Quota m	Tens. kg/cmq	Filo N.ro	Quota m	Tens. kg/cmq	Filo N.ro	Quota m	Tens. kg/cmq
	3,6	0,07		3,6	0,06												
	3,7	0,05		3,7	0,05												
	3,8	0,05		3,8	0,04												
	3,9	0,04		3,9	0,04												
	4,0	0,04		4,0	0,04												
	4,1	0,04		4,1	0,04												
	4,2	0,04		4,2	0,04												
	4,3	0,04		4,3	0,04												
	4,4	0,04		4,4	0,04												
	4,5	0,04		4,5	0,04												

STATO TENSIONALE NEL TERRENO - COMBINAZIONE:Rare 14

Filo N.ro	Quota m	Tens. kg/cmq	Filo N.ro	Quota m	Tens. kg/cmq	Filo N.ro	Quota m	Tens. kg/cmq	Filo N.ro	Quota m	Tens. kg/cmq	Filo N.ro	Quota m	Tens. kg/cmq	Filo N.ro	Quota m	Tens. kg/cmq
1	1,5	0,72	2	1,6	0,55	3	1,6	0,52	4	1,4	0,52	5	1,4	0,53	6	1,6	0,61
	1,6	0,70		1,7	0,54		1,7	0,51		1,5	0,51		1,5	0,52		1,7	0,58
	1,7	0,65		1,8	0,52		1,8	0,49		1,6	0,47		1,6	0,48		1,8	0,54
	1,8	0,59		1,9	0,49		1,9	0,47		1,7	0,44		1,7	0,45		1,9	0,50
	1,9	0,53		2,0	0,46		2,0	0,44		1,8	0,40		1,8	0,41		2,0	0,45
	2,0	0,48		2,1	0,43		2,1	0,41		1,9	0,37		1,9	0,38		2,1	0,41
	2,1	0,43		2,2	0,40		2,2	0,38		2,0	0,34		2,0	0,35		2,2	0,38
	2,2	0,39		2,3	0,37		2,3	0,36		2,1	0,32		2,1	0,32		2,3	0,35
	2,3	0,36		2,4	0,35		2,4	0,33		2,2	0,30		2,2	0,30		2,4	0,32
	2,4	0,33		2,5	0,28		2,5	0,29		2,3	0,28		2,3	0,28		2,5	0,27
	2,5	0,28		2,6	0,27		2,6	0,27		2,4	0,26		2,4	0,26		2,6	0,25
	2,6	0,26		2,7	0,25		2,7	0,24		2,5	0,24		2,5	0,24		2,7	0,24
	2,7	0,24		2,8	0,24		2,8	0,23		2,6	0,23		2,6	0,21		2,8	0,21
	2,8	0,23		2,9	0,20		2,9	0,18		2,7	0,17		2,7	0,17		2,9	0,16
	2,9	0,13		3,0	0,16		3,0	0,17		2,8	0,16		2,8	0,16		3,0	0,15
	3,0	0,12		3,1	0,16		3,1	0,16		2,9	0,15		2,9	0,15		3,1	0,14
	3,1	0,12		3,2	0,11		3,2	0,12		3,0	0,15		3,0	0,14		3,2	0,07
	3,2	0,11		3,3	0,09		3,3	0,10		3,1	0,14		3,1	0,13		3,3	0,07
	3,3	0,08		3,4	0,08		3,4	0,07		3,2	0,11		3,2	0,11		3,4	0,06
	3,4	0,06		3,5	0,07		3,5	0,07		3,3	0,11		3,3	0,09		3,5	0,06
	3,5	0,03		3,6	0,07		3,6	0,07		3,4	0,04		3,4	0,04		3,6	0,06
	3,6	0,03		3,7	0,05		3,7	0,05		3,5	0,04		3,5	0,04		3,7	0,03
	3,7	0,03		3,8	0,05		3,8	0,04		3,6	0,04		3,6	0,04		3,8	0,03
	3,8	0,02		3,9	0,04		3,9	0,04		3,7	0,04		3,7	0,04		3,9	0,03
	3,9	0,03		4,0	0,04		4,0	0,04		3,8	0,03		3,8	0,04		4,0	0,03
	4,0	0,03		4,1	0,04		4,1	0,04		3,9	0,03		3,9	0,04		4,1	0,03
	4,1	0,03		4,2	0,04		4,2	0,04		4,0	0,03		4,0	0,03		4,2	0,02
	4,2	0,03		4,3	0,04		4,3	0,04		4,1	0,04		4,1	0,04		4,3	0,02
	4,3	0,02		4,4	0,04		4,4	0,04		4,2	0,04		4,2	0,04		4,4	0,03
	4,4	0,02		4,5	0,04		4,5	0,04		4,3	0,04		4,3	0,04		4,5	0,02
7	1,6	0,38	8	1,4	0,51	9	1,4	0,52	10	1,6	0,50	11	1,6	0,48	12	1,5	0,44
	1,7	0,36		1,5	0,49		1,5	0,50		1,7	0,50		1,7	0,48		1,6	0,43
	1,8	0,33		1,6	0,45		1,6	0,46		1,8	0,48		1,8	0,46		1,7	0,40
	1,9	0,31		1,7	0,42		1,7	0,43		1,9	0,45		1,9	0,43		1,8	0,37
	2,0	0,28		1,8	0,39		1,8	0,39		2,0	0,42		2,0	0,40		1,9	0,33
	2,1	0,26		1,9	0,36		1,9	0,36		2,1	0,39		2,1	0,38		2,0	0,30
	2,2	0,24		2,0	0,33		2,0	0,33		2,2	0,37		2,2	0,35		2,1	0,28
	2,3	0,22		2,1	0,31		2,1	0,31		2,3	0,34		2,3	0,33		2,2	0,25
	2,4	0,21		2,2	0,29		2,2	0,29		2,4	0,32		2,4	0,31		2,3	0,23
	2,5	0,17		2,3	0,26		2,3	0,27		2,5	0,28		2,5	0,25		2,4	0,22
	2,6	0,16		2,4	0,25		2,4	0,25		2,6	0,26		2,6	0,24		2,5	0,18
	2,7	0,15		2,5	0,23		2,5	0,23		2,7	0,23		2,7	0,22		2,6	0,17
	2,8	0,14		2,6	0,20		2,6	0,22		2,8	0,22		2,8	0,21		2,7	0,16
	2,9	0,10		2,7	0,17		2,7	0,17		2,9	0,18		2,9	0,17		2,8	0,15
	3,0	0,10		2,8	0,16		2,8	0,16		3,0	0,16		3,0	0,15		2,9	0,09
	3,1	0,10		2,9	0,15		2,9	0,15		3,1	0,15		3,1	0,14		3,0	0,08
	3,2	0,06		3,0	0,13		3,0	0,14		3,2	0,12		3,2	0,10		3,1	0,08
	3,3	0,06		3,1	0,12		3,1	0,13		3,3	0,10		3,3	0,08		3,2	0,08
	3,4	0,05		3,2	0,11		3,2	0,11		3,4	0,06		3,4	0,07		3,3	0,06
	3,5	0,05		3,3	0,08		3,3	0,10		3,5	0,06		3,5	0,06		3,4	0,05
	3,6	0,05		3,4	0,04		3,4	0,04		3,6	0,06		3,6	0,06		3,5	0,03
	3,7	0,03		3,5	0,04		3,5	0,04		3,7	0,05		3,7	0,04		3,6	0,03
	3,8	0,03		3,6	0,04		3,6	0,04		3,8	0,04		3,8	0,05		3,7	0,03
	3,9	0,03		3,7	0,04		3,7	0,04		3,9	0,04		3,9	0,04		3,8	0,02
	4,0	0,03		3,8	0,03		3,8	0,03		4,0	0,04		4,0	0,04		3,9	0,03
	4,1	0,03		3,9	0,04		3,9	0,03		4,1	0,04		4,1	0,04		4,0	0,03
	4,2	0,03		4,0	0,03		4,0	0,03		4,2	0,04		4,2	0,04		4,1	0,03
	4,3	0,03		4,1	0,03		4,1	0,03		4,3	0,04		4,3	0,04		4,2	0,03
	4,4	0,03		4,2	0,04		4,2	0,04		4,4	0,04		4,4	0,04		4,3	0,02
	4,5	0,03		4,3	0,04		4,3	0,04		4,5	0,04		4,5	0,04		4,4	0,03
13	1,6	0,57	14	1,6	0,49												
	1,7	0,56		1,7	0,49												
	1,8	0,54		1,8	0,47												
	1,9	0,51		1,9	0,44												
	2,0	0,47		2,0	0,41												
	2,1	0,44		2,1	0,38												
	2,2	0,41		2,2	0,36												
	2,3	0,38		2,3	0,33												
	2,4	0,36		2,4	0,31												
	2,5	0,32		2,5	0,28												
	2,6	0,27		2,6	0,24												
	2,7	0,26		2,7	0,23												
	2,8	0,25		2,8	0,21												
	2,9	0,19		2,9	0,17												
	3,0	0,17		3,0	0,15												

STATO TENSIONALE NEL TERRENO - COMBINAZIONE:Rare 14

Filo N.ro	Quota m	Tens. kg/cmq	Filo N.ro	Quota m	Tens. kg/cmq	Filo N.ro	Quota m	Tens. kg/cmq	Filo N.ro	Quota m	Tens. kg/cmq	Filo N.ro	Quota m	Tens. kg/cmq	Filo N.ro	Quota m	Tens. kg/cmq
	3,1	0,16		3,1	0,14												
	3,2	0,14		3,2	0,12												
	3,3	0,09		3,3	0,08												
	3,4	0,08		3,4	0,07												
	3,5	0,07		3,5	0,06												
	3,6	0,07		3,6	0,06												
	3,7	0,05		3,7	0,04												
	3,8	0,05		3,8	0,04												
	3,9	0,04		3,9	0,04												
	4,0	0,04		4,0	0,04												
	4,1	0,04		4,1	0,04												
	4,2	0,04		4,2	0,04												
	4,3	0,04		4,3	0,04												
	4,4	0,04		4,4	0,04												
	4,5	0,04		4,5	0,04												

STATO TENSIONALE NEL TERRENO - COMBINAZIONE:Freq 1

Filo N.ro	Quota m	Tens. kg/cmq	Filo N.ro	Quota m	Tens. kg/cmq	Filo N.ro	Quota m	Tens. kg/cmq	Filo N.ro	Quota m	Tens. kg/cmq	Filo N.ro	Quota m	Tens. kg/cmq	Filo N.ro	Quota m	Tens. kg/cmq
1	1,5	0,57	2	1,6	0,51	3	1,6	0,50	4	1,4	0,51	5	1,4	0,52	6	1,6	0,49
	1,6	0,56		1,7	0,50		1,7	0,50		1,5	0,49		1,5	0,50		1,7	0,47
	1,7	0,52		1,8	0,48		1,8	0,48		1,6	0,46		1,6	0,46		1,8	0,43
	1,8	0,47		1,9	0,45		1,9	0,45		1,7	0,43		1,7	0,43		1,9	0,40
	1,9	0,43		2,0	0,42		2,0	0,42		1,8	0,39		1,8	0,40		2,0	0,36
	2,0	0,39		2,1	0,40		2,1	0,39		1,9	0,36		1,9	0,37		2,1	0,33
	2,1	0,35		2,2	0,37		2,2	0,37		2,0	0,33		2,0	0,34		2,2	0,31
	2,2	0,32		2,3	0,35		2,3	0,34		2,1	0,31		2,1	0,31		2,3	0,28
	2,3	0,29		2,4	0,32		2,4	0,32		2,2	0,29		2,2	0,29		2,4	0,26
	2,4	0,27		2,5	0,26		2,5	0,28		2,3	0,27		2,3	0,27		2,5	0,22
	2,5	0,23		2,6	0,25		2,6	0,27		2,4	0,25		2,4	0,25		2,6	0,21
	2,6	0,22		2,7	0,23		2,7	0,23		2,5	0,24		2,5	0,24		2,7	0,19
	2,7	0,20		2,8	0,22		2,8	0,22		2,6	0,22		2,6	0,20		2,8	0,17
	2,8	0,19		2,9	0,18		2,9	0,18		2,7	0,17		2,7	0,17		2,9	0,13
	2,9	0,11		3,0	0,15		3,0	0,16		2,8	0,16		2,8	0,16		3,0	0,12
	3,0	0,10		3,1	0,15		3,1	0,15		2,9	0,15		2,9	0,15		3,1	0,12
	3,1	0,10		3,2	0,10		3,2	0,12		3,0	0,14		3,0	0,13		3,2	0,06
	3,2	0,09		3,3	0,08		3,3	0,10		3,1	0,14		3,1	0,13		3,3	0,06
	3,3	0,07		3,4	0,07		3,4	0,06		3,2	0,11		3,2	0,11		3,4	0,06
	3,4	0,05		3,5	0,06		3,5	0,06		3,3	0,10		3,3	0,09		3,5	0,05
	3,5	0,03		3,6	0,06		3,6	0,06		3,4	0,04		3,4	0,04		3,6	0,05
	3,6	0,03		3,7	0,05		3,7	0,05		3,5	0,04		3,5	0,04		3,7	0,03
	3,7	0,03		3,8	0,05		3,8	0,04		3,6	0,04		3,6	0,04		3,8	0,03
	3,8	0,02		3,9	0,04		3,9	0,04		3,7	0,04		3,7	0,04		3,9	0,03
	3,9	0,03		4,0	0,04		4,0	0,04		3,8	0,03		3,8	0,03		4,0	0,03
	4,0	0,03		4,1	0,04		4,1	0,04		3,9	0,03		3,9	0,04		4,1	0,03
	4,1	0,03		4,2	0,04		4,2	0,04		4,0	0,03		4,0	0,03		4,2	0,02
	4,2	0,03		4,3	0,04		4,3	0,04		4,1	0,03		4,1	0,03		4,3	0,03
	4,3	0,02		4,4	0,04		4,4	0,04		4,2	0,04		4,2	0,04		4,4	0,03
	4,4	0,02		4,5	0,04		4,5	0,04		4,3	0,04		4,3	0,04		4,5	0,02
7	1,6	0,49	8	1,4	0,51	9	1,4	0,52	10	1,6	0,51	11	1,6	0,50	12	1,5	0,57
	1,7	0,47		1,5	0,49		1,5	0,50		1,7	0,50		1,7	0,50		1,6	0,56
	1,8	0,43		1,6	0,46		1,6	0,46		1,8	0,48		1,8	0,48		1,7	0,52
	1,9	0,40		1,7	0,43		1,7	0,43		1,9	0,45		1,9	0,45		1,8	0,47
	2,0	0,36		1,8	0,39		1,8	0,40		2,0	0,42		2,0	0,42		1,9	0,43
	2,1	0,33		1,9	0,36		1,9	0,37		2,1	0,40		2,1	0,39		2,0	0,39
	2,2	0,31		2,0	0,33		2,0	0,34		2,2	0,37		2,2	0,37		2,1	0,35
	2,3	0,28		2,1	0,31		2,1	0,31		2,3	0,35		2,3	0,34		2,2	0,32
	2,4	0,26		2,2	0,29		2,2	0,29		2,4	0,32		2,4	0,32		2,3	0,29
	2,5	0,22		2,3	0,27		2,3	0,27		2,5	0,28		2,5	0,26		2,4	0,27
	2,6	0,21		2,4	0,25		2,4	0,25		2,6	0,27		2,6	0,25		2,5	0,23
	2,7	0,19		2,5	0,24		2,5	0,24		2,7	0,23		2,7	0,23		2,6	0,22
	2,8	0,17		2,6	0,20		2,6	0,22		2,8	0,22		2,8	0,22		2,7	0,20
	2,9	0,13		2,7	0,17		2,7	0,17		2,9	0,18		2,9	0,18		2,8	0,19
	3,0	0,12		2,8	0,16		2,8	0,16		3,0	0,16		3,0	0,15		2,9	0,11
	3,1	0,12		2,9	0,15		2,9	0,15		3,1	0,15		3,1	0,15		3,0	0,10
	3,2	0,06		3,0	0,13		3,0	0,14		3,2	0,12		3,2	0,10		3,1	0,10
	3,3	0,06		3,1	0,13		3,1	0,14		3,3	0,10		3,3	0,08		3,2	0,09
	3,4	0,06		3,2	0,11		3,2	0,11		3,4	0,07		3,4	0,07		3,3	0,07
	3,5	0,05		3,3	0,09		3,3	0,11		3,5	0,07		3,5	0,06		3,4	0,05
	3,6	0,05		3,4	0,04		3,4	0,04		3,6	0,07		3,6	0,06		3,5	0,03
	3,7	0,03		3,5	0,04		3,5	0,04		3,7	0,05		3,7	0,05		3,6	0,03
	3,8	0,03		3,6	0,04		3,6	0,04		3,8	0,04		3,8	0,05		3,7	0,03
	3,9	0,03		3,7	0,04		3,7	0,04		3,9	0,04		3,9	0,04		3,8	0,02
	4,0	0,03		3,8	0,03		3,8	0,03		4,0	0,04		4,0	0,04		3,9	0,03
	4,1	0,03		3,9	0,04		3,9	0,03		4,1	0,04		4,1	0,04		4,0	0,03
	4,2	0,02		4,0	0,03		4,0	0,03		4,2	0,04		4,2	0,04		4,1	0,03
	4,3	0,03		4,1	0,03		4,1	0,03		4,3	0,04		4,3	0,04		4,2	0,03
	4,4	0,03		4,2	0,04		4,2	0,04		4,4	0,04		4,4	0,04		4,3	0,02
	4,5	0,02		4,3	0,04		4,3	0,04		4,5	0,04		4,5	0,04		4,4	0,02
13	1,6	0,52	14	1,6	0,52												
	1,7	0,52		1,7	0,52												
	1,8	0,50		1,8	0,50												
	1,9	0,47		1,9	0,47												
	2,0	0,44		2,0	0,44												
	2,1	0,41		2,1	0,41												
	2,2	0,38		2,2	0,38												
	2,3	0,36		2,3	0,36												
	2,4	0,33		2,4	0,33												
	2,5	0,29		2,5	0,29												

STATO TENSIONALE NEL TERRENO - COMBINAZIONE:Freq 1

Filo N.ro	Quota m	Tens. kg/cmq	Filo N.ro	Quota m	Tens. kg/cmq	Filo N.ro	Quota m	Tens. kg/cmq	Filo N.ro	Quota m	Tens. kg/cmq	Filo N.ro	Quota m	Tens. kg/cmq	Filo N.ro	Quota m	Tens. kg/cmq
	2,6	0,25		2,6	0,25												
	2,7	0,24		2,7	0,24												
	2,8	0,23		2,8	0,23												
	2,9	0,18		2,9	0,18												
	3,0	0,16		3,0	0,16												
	3,1	0,15		3,1	0,15												
	3,2	0,13		3,2	0,13												
	3,3	0,08		3,3	0,08												
	3,4	0,07		3,4	0,07												
	3,5	0,07		3,5	0,07												
	3,6	0,07		3,6	0,07												
	3,7	0,05		3,7	0,05												
	3,8	0,04		3,8	0,04												
	3,9	0,04		3,9	0,04												
	4,0	0,04		4,0	0,04												
	4,1	0,04		4,1	0,04												
	4,2	0,04		4,2	0,04												
	4,3	0,04		4,3	0,04												
	4,4	0,04		4,4	0,04												
	4,5	0,04		4,5	0,04												

STATO TENSIONALE NEL TERRENO - COMBINAZIONE:Freq 2

Filo N.ro	Quota m	Tens. kg/cmq	Filo N.ro	Quota m	Tens. kg/cmq	Filo N.ro	Quota m	Tens. kg/cmq	Filo N.ro	Quota m	Tens. kg/cmq	Filo N.ro	Quota m	Tens. kg/cmq	Filo N.ro	Quota m	Tens. kg/cmq
1	1,5	0,57	2	1,6	0,51	3	1,6	0,50	4	1,4	0,51	5	1,4	0,52	6	1,6	0,49
	1,6	0,56		1,7	0,51		1,7	0,50		1,5	0,50		1,5	0,50		1,7	0,47
	1,7	0,52		1,8	0,48		1,8	0,48		1,6	0,46		1,6	0,46		1,8	0,43
	1,8	0,47		1,9	0,46		1,9	0,45		1,7	0,43		1,7	0,43		1,9	0,40
	1,9	0,43		2,0	0,43		2,0	0,42		1,8	0,39		1,8	0,40		2,0	0,36
	2,0	0,39		2,1	0,40		2,1	0,39		1,9	0,36		1,9	0,37		2,1	0,33
	2,1	0,35		2,2	0,37		2,2	0,37		2,0	0,34		2,0	0,34		2,2	0,31
	2,2	0,32		2,3	0,35		2,3	0,34		2,1	0,31		2,1	0,31		2,3	0,28
	2,3	0,30		2,4	0,33		2,4	0,32		2,2	0,29		2,2	0,29		2,4	0,26
	2,4	0,27		2,5	0,27		2,5	0,28		2,3	0,27		2,3	0,27		2,5	0,22
	2,5	0,23		2,6	0,25		2,6	0,27		2,4	0,25		2,4	0,25		2,6	0,21
	2,6	0,22		2,7	0,23		2,7	0,23		2,5	0,24		2,5	0,24		2,7	0,19
	2,7	0,20		2,8	0,22		2,8	0,22		2,6	0,22		2,6	0,20		2,8	0,17
	2,8	0,19		2,9	0,18		2,9	0,18		2,7	0,17		2,7	0,17		2,9	0,13
	2,9	0,11		3,0	0,15		3,0	0,16		2,8	0,16		2,8	0,16		3,0	0,12
	3,0	0,10		3,1	0,15		3,1	0,15		2,9	0,15		2,9	0,15		3,1	0,12
	3,1	0,10		3,2	0,10		3,2	0,12		3,0	0,14		3,0	0,13		3,2	0,06
	3,2	0,09		3,3	0,08		3,3	0,10		3,1	0,14		3,1	0,13		3,3	0,06
	3,3	0,07		3,4	0,07		3,4	0,06		3,2	0,11		3,2	0,11		3,4	0,06
	3,4	0,05		3,5	0,06		3,5	0,06		3,3	0,11		3,3	0,09		3,5	0,06
	3,5	0,03		3,6	0,07		3,6	0,06		3,4	0,04		3,4	0,04		3,6	0,05
	3,6	0,03		3,7	0,05		3,7	0,05		3,5	0,04		3,5	0,04		3,7	0,03
	3,7	0,03		3,8	0,05		3,8	0,04		3,6	0,04		3,6	0,04		3,8	0,03
	3,8	0,02		3,9	0,04		3,9	0,04		3,7	0,04		3,7	0,04		3,9	0,03
	3,9	0,03		4,0	0,04		4,0	0,04		3,8	0,03		3,8	0,03		4,0	0,03
	4,0	0,03		4,1	0,04		4,1	0,04		3,9	0,03		3,9	0,04		4,1	0,03
	4,1	0,03		4,2	0,04		4,2	0,04		4,0	0,03		4,0	0,03		4,2	0,02
	4,2	0,03		4,3	0,04		4,3	0,04		4,1	0,04		4,1	0,04		4,3	0,03
	4,3	0,02		4,4	0,04		4,4	0,04		4,2	0,04		4,2	0,04		4,4	0,03
	4,4	0,02		4,5	0,04		4,5	0,04		4,3	0,04		4,3	0,04		4,5	0,02
7	1,6	0,49	8	1,4	0,51	9	1,4	0,52	10	1,6	0,51	11	1,6	0,50	12	1,5	0,57
	1,7	0,47		1,5	0,50		1,5	0,50		1,7	0,51		1,7	0,50		1,6	0,56
	1,8	0,43		1,6	0,46		1,6	0,46		1,8	0,48		1,8	0,48		1,7	0,52
	1,9	0,40		1,7	0,43		1,7	0,43		1,9	0,46		1,9	0,45		1,8	0,47
	2,0	0,36		1,8	0,39		1,8	0,40		2,0	0,43		2,0	0,42		1,9	0,43
	2,1	0,33		1,9	0,36		1,9	0,37		2,1	0,40		2,1	0,40		2,0	0,39
	2,2	0,31		2,0	0,34		2,0	0,34		2,2	0,37		2,2	0,37		2,1	0,35
	2,3	0,28		2,1	0,31		2,1	0,31		2,3	0,35		2,3	0,35		2,2	0,32
	2,4	0,26		2,2	0,29		2,2	0,29		2,4	0,32		2,4	0,32		2,3	0,30
	2,5	0,22		2,3	0,27		2,3	0,27		2,5	0,29		2,5	0,26		2,4	0,27
	2,6	0,21		2,4	0,25		2,4	0,25		2,6	0,27		2,6	0,25		2,5	0,23
	2,7	0,19		2,5	0,24		2,5	0,24		2,7	0,23		2,7	0,23		2,6	0,22
	2,8	0,17		2,6	0,20		2,6	0,22		2,8	0,22		2,8	0,22		2,7	0,20
	2,9	0,13		2,7	0,17		2,7	0,17		2,9	0,18		2,9	0,18		2,8	0,19
	3,0	0,12		2,8	0,16		2,8	0,16		3,0	0,16		3,0	0,15		2,9	0,11
	3,1	0,12		2,9	0,15		2,9	0,15		3,1	0,15		3,1	0,15		3,0	0,10
	3,2	0,06		3,0	0,13		3,0	0,14		3,2	0,12		3,2	0,10		3,1	0,10
	3,3	0,06		3,1	0,13		3,1	0,14		3,3	0,10		3,3	0,08		3,2	0,09
	3,4	0,06		3,2	0,11		3,2	0,11		3,4	0,07		3,4	0,07		3,3	0,07
	3,5	0,06		3,3	0,09		3,3	0,11		3,5	0,07		3,5	0,06		3,4	0,05
	3,6	0,05		3,4	0,04		3,4	0,04		3,6	0,07		3,6	0,06		3,5	0,03
	3,7	0,03		3,5	0,04		3,5	0,04		3,7	0,05		3,7	0,05		3,6	0,03
	3,8	0,03		3,6	0,04		3,6	0,04		3,8	0,04		3,8	0,05		3,7	0,03
	3,9	0,03		3,7	0,04		3,7	0,04		3,9	0,04		3,9	0,04		3,8	0,02
	4,0	0,03		3,8	0,03		3,8	0,03		4,0	0,04		4,0	0,04		3,9	0,03
	4,1	0,03		3,9	0,04		3,9	0,03		4,1	0,04		4,1	0,04		4,0	0,03
	4,2	0,02		4,0	0,03		4,0	0,03		4,2	0,04		4,2	0,04		4,1	0,03
	4,3	0,03		4,1	0,04		4,1	0,03		4,3	0,04		4,3	0,04		4,2	0,03
	4,4	0,03		4,2	0,04		4,2	0,04		4,4	0,04		4,4	0,04		4,3	0,02
	4,5	0,02		4,3	0,04		4,3	0,04		4,5	0,04		4,5	0,04		4,4	0,02
13	1,6	0,52	14	1,6	0,52												
	1,7	0,52		1,7	0,52												
	1,8	0,50		1,8	0,50												
	1,9	0,47		1,9	0,47												
	2,0	0,44		2,0	0,44												

STATO TENSIONALE NEL TERRENO - COMBINAZIONE:Freq 2

Filo N.ro	Quota m	Tens. kg/cmq	Filo N.ro	Quota m	Tens. kg/cmq	Filo N.ro	Quota m	Tens. kg/cmq	Filo N.ro	Quota m	Tens. kg/cmq	Filo N.ro	Quota m	Tens. kg/cmq	Filo N.ro	Quota m	Tens. kg/cmq
	2,1	0,41		2,1	0,41												
	2,2	0,38		2,2	0,38												
	2,3	0,36		2,3	0,36												
	2,4	0,33		2,4	0,33												
	2,5	0,29		2,5	0,29												
	2,6	0,26		2,6	0,26												
	2,7	0,24		2,7	0,24												
	2,8	0,23		2,8	0,23												
	2,9	0,18		2,9	0,18												
	3,0	0,16		3,0	0,16												
	3,1	0,15		3,1	0,15												
	3,2	0,13		3,2	0,13												
	3,3	0,08		3,3	0,08												
	3,4	0,07		3,4	0,07												
	3,5	0,07		3,5	0,07												
	3,6	0,07		3,6	0,07												
	3,7	0,05		3,7	0,05												
	3,8	0,04		3,8	0,04												
	3,9	0,04		3,9	0,04												
	4,0	0,04		4,0	0,04												
	4,1	0,04		4,1	0,04												
	4,2	0,04		4,2	0,04												
	4,3	0,04		4,3	0,04												
	4,4	0,04		4,4	0,04												
	4,5	0,04		4,5	0,04												

STATO TENSIONALE NEL TERRENO - COMBINAZIONE:Freq 3

Filo N.ro	Quota m	Tens. kg/cmq	Filo N.ro	Quota m	Tens. kg/cmq	Filo N.ro	Quota m	Tens. kg/cmq	Filo N.ro	Quota m	Tens. kg/cmq	Filo N.ro	Quota m	Tens. kg/cmq	Filo N.ro	Quota m	Tens. kg/cmq
1	1,5	0,57	2	1,6	0,51	3	1,6	0,50	4	1,4	0,51	5	1,4	0,52	6	1,6	0,49
	1,6	0,56		1,7	0,50		1,7	0,50		1,5	0,49		1,5	0,50		1,7	0,47
	1,7	0,52		1,8	0,48		1,8	0,48		1,6	0,46		1,6	0,46		1,8	0,43
	1,8	0,47		1,9	0,45		1,9	0,45		1,7	0,43		1,7	0,43		1,9	0,40
	1,9	0,43		2,0	0,42		2,0	0,42		1,8	0,39		1,8	0,40		2,0	0,36
	2,0	0,39		2,1	0,40		2,1	0,39		1,9	0,36		1,9	0,37		2,1	0,33
	2,1	0,35		2,2	0,37		2,2	0,37		2,0	0,33		2,0	0,34		2,2	0,31
	2,2	0,32		2,3	0,35		2,3	0,34		2,1	0,31		2,1	0,31		2,3	0,28
	2,3	0,29		2,4	0,32		2,4	0,32		2,2	0,29		2,2	0,29		2,4	0,26
	2,4	0,27		2,5	0,26		2,5	0,28		2,3	0,27		2,3	0,27		2,5	0,22
	2,5	0,23		2,6	0,25		2,6	0,27		2,4	0,25		2,4	0,25		2,6	0,21
	2,6	0,22		2,7	0,23		2,7	0,23		2,5	0,24		2,5	0,24		2,7	0,19
	2,7	0,20		2,8	0,22		2,8	0,22		2,6	0,22		2,6	0,20		2,8	0,17
	2,8	0,19		2,9	0,18		2,9	0,18		2,7	0,17		2,7	0,17		2,9	0,13
	2,9	0,11		3,0	0,15		3,0	0,16		2,8	0,16		2,8	0,16		3,0	0,12
	3,0	0,10		3,1	0,15		3,1	0,15		2,9	0,15		2,9	0,15		3,1	0,12
	3,1	0,10		3,2	0,10		3,2	0,12		3,0	0,14		3,0	0,13		3,2	0,06
	3,2	0,09		3,3	0,08		3,3	0,10		3,1	0,14		3,1	0,13		3,3	0,06
	3,3	0,07		3,4	0,07		3,4	0,06		3,2	0,11		3,2	0,11		3,4	0,06
	3,4	0,05		3,5	0,06		3,5	0,06		3,3	0,10		3,3	0,09		3,5	0,05
	3,5	0,03		3,6	0,06		3,6	0,06		3,4	0,04		3,4	0,04		3,6	0,05
	3,6	0,03		3,7	0,05		3,7	0,05		3,5	0,04		3,5	0,04		3,7	0,03
	3,7	0,03		3,8	0,05		3,8	0,04		3,6	0,04		3,6	0,04		3,8	0,03
	3,8	0,02		3,9	0,04		3,9	0,04		3,7	0,04		3,7	0,04		3,9	0,03
	3,9	0,03		4,0	0,04		4,0	0,04		3,8	0,03		3,8	0,03		4,0	0,03
	4,0	0,03		4,1	0,04		4,1	0,04		3,9	0,03		3,9	0,04		4,1	0,03
	4,1	0,03		4,2	0,04		4,2	0,04		4,0	0,03		4,0	0,03		4,2	0,02
	4,2	0,03		4,3	0,04		4,3	0,04		4,1	0,03		4,1	0,03		4,3	0,03
	4,3	0,02		4,4	0,04		4,4	0,04		4,2	0,04		4,2	0,04		4,4	0,03
	4,4	0,02		4,5	0,04		4,5	0,04		4,3	0,04		4,3	0,04		4,5	0,02
7	1,6	0,49	8	1,4	0,51	9	1,4	0,52	10	1,6	0,51	11	1,6	0,50	12	1,5	0,57
	1,7	0,47		1,5	0,49		1,5	0,50		1,7	0,50		1,7	0,50		1,6	0,56
	1,8	0,43		1,6	0,46		1,6	0,46		1,8	0,48		1,8	0,48		1,7	0,52
	1,9	0,40		1,7	0,43		1,7	0,43		1,9	0,45		1,9	0,45		1,8	0,47
	2,0	0,36		1,8	0,39		1,8	0,40		2,0	0,42		2,0	0,42		1,9	0,43
	2,1	0,33		1,9	0,36		1,9	0,37		2,1	0,40		2,1	0,39		2,0	0,39
	2,2	0,31		2,0	0,33		2,0	0,34		2,2	0,37		2,2	0,37		2,1	0,35
	2,3	0,28		2,1	0,31		2,1	0,31		2,3	0,35		2,3	0,34		2,2	0,32
	2,4	0,26		2,2	0,29		2,2	0,29		2,4	0,32		2,4	0,32		2,3	0,29
	2,5	0,22		2,3	0,27		2,3	0,27		2,5	0,28		2,5	0,26		2,4	0,27
	2,6	0,21		2,4	0,25		2,4	0,25		2,6	0,27		2,6	0,25		2,5	0,23
	2,7	0,19		2,5	0,24		2,5	0,24		2,7	0,23		2,7	0,23		2,6	0,22
	2,8	0,17		2,6	0,20		2,6	0,22		2,8	0,22		2,8	0,22		2,7	0,20
	2,9	0,13		2,7	0,17		2,7	0,17		2,9	0,18		2,9	0,18		2,8	0,19
	3,0	0,12		2,8	0,16		2,8	0,16		3,0	0,16		3,0	0,15		2,9	0,11
	3,1	0,12		2,9	0,15		2,9	0,15		3,1	0,15		3,1	0,15		3,0	0,10
	3,2	0,06		3,0	0,13		3,0	0,14		3,2	0,12		3,2	0,10		3,1	0,10
	3,3	0,06		3,1	0,13		3,1	0,14		3,3	0,10		3,3	0,08		3,2	0,09
	3,4	0,06		3,2	0,11		3,2	0,11		3,4	0,07		3,4	0,07		3,3	0,07
	3,5	0,05		3,3	0,09		3,3	0,11		3,5	0,07		3,5	0,06		3,4	0,05
	3,6	0,05		3,4	0,04		3,4	0,04		3,6	0,07		3,6	0,06		3,5	0,03
	3,7	0,03		3,5	0,04		3,5	0,04		3,7	0,05		3,7	0,05		3,6	0,03
	3,8	0,03		3,6	0,04		3,6	0,04		3,8	0,04		3,8	0,05		3,7	0,03
	3,9	0,03		3,7	0,04		3,7	0,04		3,9	0,04		3,9	0,04		3,8	0,02
	4,0	0,03		3,8	0,03		3,8	0,03		4,0	0,04		4,0	0,04		3,9	0,03
	4,1	0,03		3,9	0,04		3,9	0,03		4,1	0,04		4,1	0,04		4,0	0,03
	4,2	0,02		4,0	0,03		4,0	0,03		4,2	0,04		4,2	0,04		4,1	0,03
	4,3	0,03		4,1	0,03		4,1	0,03		4,3	0,04		4,3	0,04		4,2	0,03
	4,4	0,03		4,2	0,04		4,2	0,04		4,4	0,04		4,4	0,04		4,3	0,02
	4,5	0,02		4,3	0,04		4,3	0,04		4,5	0,04		4,5	0,04		4,4	0,02

STATO TENSIONALE NEL TERRENO - COMBINAZIONE:Freq 3

Filo N.ro	Quota m	Tens. kg/cmq	Filo N.ro	Quota m	Tens. kg/cmq	Filo N.ro	Quota m	Tens. kg/cmq	Filo N.ro	Quota m	Tens. kg/cmq	Filo N.ro	Quota m	Tens. kg/cmq	Filo N.ro	Quota m	Tens. kg/cmq
13	1,6	0,52	14	1,6	0,52												
	1,7	0,52		1,7	0,52												
	1,8	0,50		1,8	0,50												
	1,9	0,47		1,9	0,47												
	2,0	0,44		2,0	0,44												
	2,1	0,41		2,1	0,41												
	2,2	0,38		2,2	0,38												
	2,3	0,36		2,3	0,36												
	2,4	0,33		2,4	0,33												
	2,5	0,29		2,5	0,29												
	2,6	0,25		2,6	0,25												
	2,7	0,24		2,7	0,24												
	2,8	0,23		2,8	0,23												
	2,9	0,18		2,9	0,18												
	3,0	0,16		3,0	0,16												
	3,1	0,15		3,1	0,15												
	3,2	0,13		3,2	0,13												
	3,3	0,08		3,3	0,08												
	3,4	0,07		3,4	0,07												
	3,5	0,07		3,5	0,07												
	3,6	0,07		3,6	0,07												
	3,7	0,05		3,7	0,05												
	3,8	0,04		3,8	0,04												
	3,9	0,04		3,9	0,04												
	4,0	0,04		4,0	0,04												
	4,1	0,04		4,1	0,04												
	4,2	0,04		4,2	0,04												
	4,3	0,04		4,3	0,04												
	4,4	0,04		4,4	0,04												
	4,5	0,04		4,5	0,04												

STATO TENSIONALE NEL TERRENO - COMBINAZIONE:Freq 4

Filo N.ro	Quota m	Tens. kg/cmq	Filo N.ro	Quota m	Tens. kg/cmq	Filo N.ro	Quota m	Tens. kg/cmq	Filo N.ro	Quota m	Tens. kg/cmq	Filo N.ro	Quota m	Tens. kg/cmq	Filo N.ro	Quota m	Tens. kg/cmq
1	1,5	0,54	2	1,6	0,50	3	1,6	0,50	4	1,4	0,51	5	1,4	0,52	6	1,6	0,47
	1,6	0,53		1,7	0,50		1,7	0,49		1,5	0,49		1,5	0,50		1,7	0,44
	1,7	0,50		1,8	0,48		1,8	0,47		1,6	0,45		1,6	0,46		1,8	0,41
	1,8	0,45		1,9	0,45		1,9	0,45		1,7	0,42		1,7	0,43		1,9	0,38
	1,9	0,41		2,0	0,42		2,0	0,42		1,8	0,39		1,8	0,39		2,0	0,35
	2,0	0,37		2,1	0,39		2,1	0,39		1,9	0,36		1,9	0,36		2,1	0,32
	2,1	0,34		2,2	0,37		2,2	0,37		2,0	0,33		2,0	0,34		2,2	0,29
	2,2	0,31		2,3	0,34		2,3	0,34		2,1	0,31		2,1	0,31		2,3	0,27
	2,3	0,28		2,4	0,32		2,4	0,32		2,2	0,29		2,2	0,29		2,4	0,25
	2,4	0,26		2,5	0,26		2,5	0,28		2,3	0,27		2,3	0,27		2,5	0,21
	2,5	0,22		2,6	0,24		2,6	0,26		2,4	0,25		2,4	0,25		2,6	0,20
	2,6	0,21		2,7	0,23		2,7	0,23		2,5	0,23		2,5	0,24		2,7	0,18
	2,7	0,19		2,8	0,22		2,8	0,22		2,6	0,22		2,6	0,20		2,8	0,16
	2,8	0,18		2,9	0,18		2,9	0,18		2,7	0,17		2,7	0,17		2,9	0,12
	2,9	0,10		3,0	0,15		3,0	0,16		2,8	0,16		2,8	0,16		3,0	0,12
	3,0	0,10		3,1	0,14		3,1	0,15		2,9	0,15		2,9	0,15		3,1	0,11
	3,1	0,09		3,2	0,10		3,2	0,12		3,0	0,14		3,0	0,13		3,2	0,06
	3,2	0,09		3,3	0,08		3,3	0,10		3,1	0,13		3,1	0,13		3,3	0,06
	3,3	0,07		3,4	0,07		3,4	0,06		3,2	0,11		3,2	0,11		3,4	0,05
	3,4	0,05		3,5	0,06		3,5	0,06		3,3	0,10		3,3	0,09		3,5	0,05
	3,5	0,03		3,6	0,06		3,6	0,06		3,4	0,04		3,4	0,04		3,6	0,05
	3,6	0,03		3,7	0,05		3,7	0,05		3,5	0,04		3,5	0,04		3,7	0,03
	3,7	0,03		3,8	0,05		3,8	0,04		3,6	0,04		3,6	0,04		3,8	0,03
	3,8	0,02		3,9	0,04		3,9	0,04		3,7	0,04		3,7	0,04		3,9	0,03
	3,9	0,03		4,0	0,04		4,0	0,04		3,8	0,03		3,8	0,03		4,0	0,03
	4,0	0,03		4,1	0,04		4,1	0,04		3,9	0,03		3,9	0,04		4,1	0,03
	4,1	0,03		4,2	0,04		4,2	0,04		4,0	0,03		4,0	0,03		4,2	0,02
	4,2	0,03		4,3	0,04		4,3	0,04		4,1	0,03		4,1	0,03		4,3	0,03
	4,3	0,02		4,4	0,04		4,4	0,04		4,2	0,04		4,2	0,04		4,4	0,03
	4,4	0,02		4,5	0,04		4,5	0,04		4,3	0,04		4,3	0,04		4,5	0,02
7	1,6	0,51	8	1,4	0,51	9	1,4	0,52	10	1,6	0,51	11	1,6	0,51	12	1,5	0,60
	1,7	0,49		1,5	0,50		1,5	0,50		1,7	0,51		1,7	0,50		1,6	0,58
	1,8	0,45		1,6	0,46		1,6	0,46		1,8	0,48		1,8	0,48		1,7	0,54
	1,9	0,42		1,7	0,43		1,7	0,43		1,9	0,46		1,9	0,45		1,8	0,50
	2,0	0,38		1,8	0,39		1,8	0,40		2,0	0,43		2,0	0,43		1,9	0,45
	2,1	0,35		1,9	0,36		1,9	0,37		2,1	0,40		2,1	0,40		2,0	0,40
	2,2	0,32		2,0	0,34		2,0	0,34		2,2	0,37		2,2	0,37		2,1	0,37
	2,3	0,29		2,1	0,31		2,1	0,31		2,3	0,35		2,3	0,35		2,2	0,34
	2,4	0,27		2,2	0,29		2,2	0,29		2,4	0,32		2,4	0,33		2,3	0,31
	2,5	0,23		2,3	0,27		2,3	0,27		2,5	0,29		2,5	0,27		2,4	0,28
	2,6	0,22		2,4	0,25		2,4	0,25		2,6	0,27		2,6	0,25		2,5	0,24
	2,7	0,20		2,5	0,24		2,5	0,24		2,7	0,23		2,7	0,23		2,6	0,22
	2,8	0,18		2,6	0,20		2,6	0,22		2,8	0,22		2,8	0,22		2,7	0,21
	2,9	0,13		2,7	0,17		2,7	0,17		2,9	0,18		2,9	0,18		2,8	0,20
	3,0	0,13		2,8	0,16		2,8	0,16		3,0	0,16		3,0	0,15		2,9	0,11
	3,1	0,12		2,9	0,15		2,9	0,15		3,1	0,15		3,1	0,15		3,0	0,11
	3,2	0,07		3,0	0,13		3,0	0,14		3,2	0,12		3,2	0,10		3,1	0,10
	3,3	0,06		3,1	0,13		3,1	0,14		3,3	0,10		3,3	0,08		3,2	0,10
	3,4	0,06		3,2	0,11		3,2	0,11		3,4	0,07		3,4	0,07		3,3	0,07
	3,5	0,06		3,3	0,09		3,3	0,11		3,5	0,07		3,5	0,06		3,4	0,05
	3,6	0,06		3,4	0,04		3,4	0,04		3,6	0,07		3,6	0,06		3,5	0,03
	3,7	0,03		3,5	0,04		3,5	0,04		3,7	0,05		3,7	0,05		3,6	0,03
	3,8	0,03		3,6	0,04		3,6	0,04		3,8	0,04		3,8	0,05		3,7	0,03
	3,9	0,03		3,7	0,04		3,7	0,04		3,9	0,04		3,9	0,04		3,8	0,02
	4,0	0,03		3,8	0,03		3,8	0,03		4,0	0,04		4,0	0,04		3,9	0,03
	4,1	0,03		3,9	0,04		3,9	0,03		4,1	0,04		4,1	0,04		4,0	0,03

STATO TENSIONALE NEL TERRENO - COMBINAZIONE:Freq 4

Filo N.ro	Quota m	Tens. kg/cmq	Filo N.ro	Quota m	Tens. kg/cmq	Filo N.ro	Quota m	Tens. kg/cmq	Filo N.ro	Quota m	Tens. kg/cmq	Filo N.ro	Quota m	Tens. kg/cmq	Filo N.ro	Quota m	Tens. kg/cmq
	4,2	0,02		4,0	0,03		4,0	0,03		4,2	0,04		4,2	0,04		4,1	0,03
	4,3	0,03		4,1	0,03		4,1	0,03		4,3	0,04		4,3	0,04		4,2	0,03
	4,4	0,03		4,2	0,04		4,2	0,04		4,4	0,04		4,4	0,04		4,3	0,02
	4,5	0,02		4,3	0,04		4,3	0,04		4,5	0,04		4,5	0,04		4,4	0,02
13	1,6	0,51	14	1,6	0,53												
	1,7	0,51		1,7	0,52												
	1,8	0,49		1,8	0,50												
	1,9	0,46		1,9	0,47												
	2,0	0,43		2,0	0,44												
	2,1	0,40		2,1	0,41												
	2,2	0,37		2,2	0,39												
	2,3	0,35		2,3	0,36												
	2,4	0,33		2,4	0,34												
	2,5	0,29		2,5	0,30												
	2,6	0,25		2,6	0,26												
	2,7	0,24		2,7	0,24												
	2,8	0,22		2,8	0,23												
	2,9	0,17		2,9	0,18												
	3,0	0,16		3,0	0,16												
	3,1	0,15		3,1	0,15												
	3,2	0,12		3,2	0,13												
	3,3	0,08		3,3	0,09												
	3,4	0,07		3,4	0,07												
	3,5	0,06		3,5	0,07												
	3,6	0,06		3,6	0,07												
	3,7	0,05		3,7	0,05												
	3,8	0,04		3,8	0,04												
	3,9	0,04		3,9	0,04												
	4,0	0,04		4,0	0,04												
	4,1	0,04		4,1	0,04												
	4,2	0,04		4,2	0,04												
	4,3	0,04		4,3	0,04												
	4,4	0,04		4,4	0,04												
	4,5	0,04		4,5	0,04												

STATO TENSIONALE NEL TERRENO - COMBINAZIONE:Freq 5

Filo N.ro	Quota m	Tens. kg/cmq	Filo N.ro	Quota m	Tens. kg/cmq	Filo N.ro	Quota m	Tens. kg/cmq	Filo N.ro	Quota m	Tens. kg/cmq	Filo N.ro	Quota m	Tens. kg/cmq	Filo N.ro	Quota m	Tens. kg/cmq
1	1,5	0,57	2	1,6	0,51	3	1,6	0,50	4	1,4	0,51	5	1,4	0,52	6	1,6	0,49
	1,6	0,56		1,7	0,50		1,7	0,50		1,5	0,49		1,5	0,50		1,7	0,47
	1,7	0,52		1,8	0,48		1,8	0,48		1,6	0,46		1,6	0,46		1,8	0,43
	1,8	0,47		1,9	0,45		1,9	0,45		1,7	0,43		1,7	0,43		1,9	0,40
	1,9	0,43		2,0	0,42		2,0	0,42		1,8	0,39		1,8	0,40		2,0	0,36
	2,0	0,39		2,1	0,40		2,1	0,39		1,9	0,36		1,9	0,37		2,1	0,33
	2,1	0,35		2,2	0,37		2,2	0,37		2,0	0,33		2,0	0,34		2,2	0,31
	2,2	0,32		2,3	0,35		2,3	0,34		2,1	0,31		2,1	0,31		2,3	0,28
	2,3	0,29		2,4	0,32		2,4	0,32		2,2	0,29		2,2	0,29		2,4	0,26
	2,4	0,27		2,5	0,26		2,5	0,28		2,3	0,27		2,3	0,27		2,5	0,22
	2,5	0,23		2,6	0,25		2,6	0,27		2,4	0,25		2,4	0,25		2,6	0,21
	2,6	0,22		2,7	0,23		2,7	0,23		2,5	0,24		2,5	0,24		2,7	0,19
	2,7	0,20		2,8	0,22		2,8	0,22		2,6	0,22		2,6	0,20		2,8	0,17
	2,8	0,19		2,9	0,18		2,9	0,18		2,7	0,17		2,7	0,17		2,9	0,13
	2,9	0,11		3,0	0,15		3,0	0,16		2,8	0,16		2,8	0,16		3,0	0,12
	3,0	0,10		3,1	0,15		3,1	0,15		2,9	0,15		2,9	0,15		3,1	0,12
	3,1	0,10		3,2	0,10		3,2	0,12		3,0	0,14		3,0	0,13		3,2	0,06
	3,2	0,09		3,3	0,08		3,3	0,10		3,1	0,14		3,1	0,13		3,3	0,06
	3,3	0,07		3,4	0,07		3,4	0,06		3,2	0,11		3,2	0,11		3,4	0,06
	3,4	0,05		3,5	0,06		3,5	0,06		3,3	0,10		3,3	0,09		3,5	0,05
	3,5	0,03		3,6	0,06		3,6	0,06		3,4	0,04		3,4	0,04		3,6	0,05
	3,6	0,03		3,7	0,05		3,7	0,05		3,5	0,04		3,5	0,04		3,7	0,03
	3,7	0,03		3,8	0,05		3,8	0,04		3,6	0,04		3,6	0,04		3,8	0,03
	3,8	0,02		3,9	0,04		3,9	0,04		3,7	0,04		3,7	0,04		3,9	0,03
	3,9	0,03		4,0	0,04		4,0	0,04		3,8	0,03		3,8	0,03		4,0	0,03
	4,0	0,03		4,1	0,04		4,1	0,04		3,9	0,03		3,9	0,04		4,1	0,03
	4,1	0,03		4,2	0,04		4,2	0,04		4,0	0,03		4,0	0,03		4,2	0,02
	4,2	0,03		4,3	0,04		4,3	0,04		4,1	0,03		4,1	0,03		4,3	0,03
	4,3	0,02		4,4	0,04		4,4	0,04		4,2	0,04		4,2	0,04		4,4	0,03
	4,4	0,02		4,5	0,04		4,5	0,04		4,3	0,04		4,3	0,04		4,5	0,02
7	1,6	0,49	8	1,4	0,51	9	1,4	0,52	10	1,6	0,51	11	1,6	0,50	12	1,5	0,57
	1,7	0,47		1,5	0,49		1,5	0,50		1,7	0,50		1,7	0,50		1,6	0,56
	1,8	0,43		1,6	0,46		1,6	0,46		1,8	0,48		1,8	0,48		1,7	0,52
	1,9	0,40		1,7	0,43		1,7	0,43		1,9	0,45		1,9	0,45		1,8	0,47
	2,0	0,36		1,8	0,39		1,8	0,40		2,0	0,42		2,0	0,42		1,9	0,43
	2,1	0,33		1,9	0,36		1,9	0,37		2,1	0,40		2,1	0,39		2,0	0,39
	2,2	0,31		2,0	0,33		2,0	0,34		2,2	0,37		2,2	0,37		2,1	0,35
	2,3	0,28		2,1	0,31		2,1	0,31		2,3	0,35		2,3	0,34		2,2	0,32
	2,4	0,26		2,2	0,29		2,2	0,29		2,4	0,32		2,4	0,32		2,3	0,29
	2,5	0,22		2,3	0,27		2,3	0,27		2,5	0,28		2,5	0,26		2,4	0,27
	2,6	0,21		2,4	0,25		2,4	0,25		2,6	0,27		2,6	0,25		2,5	0,23
	2,7	0,19		2,5	0,24		2,5	0,24		2,7	0,23		2,7	0,23		2,6	0,22
	2,8	0,17		2,6	0,20		2,6	0,22		2,8	0,22		2,8	0,22		2,7	0,20
	2,9	0,13		2,7	0,17		2,7	0,17		2,9	0,18		2,9	0,18		2,8	0,19
	3,0	0,12		2,8	0,16		2,8	0,16		3,0	0,16		3,0	0,15		2,9	0,11
	3,1	0,12		2,9	0,15		2,9	0,15		3,1	0,15		3,1	0,15		3,0	0,10
	3,2	0,06		3,0	0,13		3,0	0,14		3,2	0,12		3,2	0,10		3,1	0,10
	3,3	0,06		3,1	0,13		3,1	0,14		3,3	0,10		3,3	0,08		3,2	0,09
	3,4	0,06		3,2	0,11		3,2	0,11		3,4	0,07		3,4	0,07		3,3	0,07
	3,5	0,05		3,3	0,09		3,3	0,11		3,5	0,07		3,5	0,06		3,4	0,05
	3,6	0,05		3,4	0,04		3,4	0,04		3,6	0,07		3,6	0,06		3,5	0,03

STATO TENSIONALE NEL TERRENO - COMBINAZIONE:Freq 5

Filo N.ro	Quota m	Tens. kg/cmq	Filo N.ro	Quota m	Tens. kg/cmq	Filo N.ro	Quota m	Tens. kg/cmq	Filo N.ro	Quota m	Tens. kg/cmq	Filo N.ro	Quota m	Tens. kg/cmq	Filo N.ro	Quota m	Tens. kg/cmq
	3,7	0,03		3,5	0,04		3,5	0,04		3,7	0,05		3,7	0,05		3,6	0,03
	3,8	0,03		3,6	0,04		3,6	0,04		3,8	0,04		3,8	0,05		3,7	0,03
	3,9	0,03		3,7	0,04		3,7	0,04		3,9	0,04		3,9	0,04		3,8	0,02
	4,0	0,03		3,8	0,03		3,8	0,03		4,0	0,04		4,0	0,04		3,9	0,03
	4,1	0,03		3,9	0,04		3,9	0,03		4,1	0,04		4,1	0,04		4,0	0,03
	4,2	0,02		4,0	0,03		4,0	0,03		4,2	0,04		4,2	0,04		4,1	0,03
	4,3	0,03		4,1	0,03		4,1	0,03		4,3	0,04		4,3	0,04		4,2	0,03
	4,4	0,03		4,2	0,04		4,2	0,04		4,4	0,04		4,4	0,04		4,3	0,02
	4,5	0,02		4,3	0,04		4,3	0,04		4,5	0,04		4,5	0,04		4,4	0,02
13	1,6	0,52	14	1,6	0,52												
	1,7	0,52		1,7	0,52												
	1,8	0,50		1,8	0,50												
	1,9	0,47		1,9	0,47												
	2,0	0,44		2,0	0,44												
	2,1	0,41		2,1	0,41												
	2,2	0,38		2,2	0,38												
	2,3	0,36		2,3	0,36												
	2,4	0,33		2,4	0,33												
	2,5	0,29		2,5	0,29												
	2,6	0,25		2,6	0,25												
	2,7	0,24		2,7	0,24												
	2,8	0,23		2,8	0,23												
	2,9	0,18		2,9	0,18												
	3,0	0,16		3,0	0,16												
	3,1	0,15		3,1	0,15												
	3,2	0,13		3,2	0,13												
	3,3	0,08		3,3	0,08												
	3,4	0,07		3,4	0,07												
	3,5	0,07		3,5	0,07												
	3,6	0,07		3,6	0,07												
	3,7	0,05		3,7	0,05												
	3,8	0,04		3,8	0,04												
	3,9	0,04		3,9	0,04												
	4,0	0,04		4,0	0,04												
	4,1	0,04		4,1	0,04												
	4,2	0,04		4,2	0,04												
	4,3	0,04		4,3	0,04												
	4,4	0,04		4,4	0,04												
	4,5	0,04		4,5	0,04												

STATO TENSIONALE NEL TERRENO - COMBINAZIONE:Freq 6

Filo N.ro	Quota m	Tens. kg/cmq	Filo N.ro	Quota m	Tens. kg/cmq	Filo N.ro	Quota m	Tens. kg/cmq	Filo N.ro	Quota m	Tens. kg/cmq	Filo N.ro	Quota m	Tens. kg/cmq	Filo N.ro	Quota m	Tens. kg/cmq
1	1,5	0,60	2	1,6	0,52	3	1,6	0,50	4	1,4	0,51	5	1,4	0,52	6	1,6	0,51
	1,6	0,58		1,7	0,51		1,7	0,50		1,5	0,50		1,5	0,50		1,7	0,49
	1,7	0,54		1,8	0,49		1,8	0,48		1,6	0,46		1,6	0,46		1,8	0,45
	1,8	0,50		1,9	0,46		1,9	0,45		1,7	0,43		1,7	0,43		1,9	0,42
	1,9	0,45		2,0	0,43		2,0	0,42		1,8	0,39		1,8	0,40		2,0	0,38
	2,0	0,40		2,1	0,40		2,1	0,39		1,9	0,36		1,9	0,37		2,1	0,35
	2,1	0,37		2,2	0,37		2,2	0,37		2,0	0,34		2,0	0,34		2,2	0,32
	2,2	0,34		2,3	0,35		2,3	0,34		2,1	0,31		2,1	0,31		2,3	0,29
	2,3	0,31		2,4	0,33		2,4	0,32		2,2	0,29		2,2	0,29		2,4	0,27
	2,4	0,28		2,5	0,27		2,5	0,28		2,3	0,27		2,3	0,27		2,5	0,23
	2,5	0,24		2,6	0,25		2,6	0,27		2,4	0,25		2,4	0,25		2,6	0,22
	2,6	0,22		2,7	0,24		2,7	0,23		2,5	0,24		2,5	0,24		2,7	0,20
	2,7	0,21		2,8	0,22		2,8	0,22		2,6	0,22		2,6	0,20		2,8	0,18
	2,8	0,20		2,9	0,18		2,9	0,18		2,7	0,17		2,7	0,17		2,9	0,13
	2,9	0,11		3,0	0,16		3,0	0,16		2,8	0,16		2,8	0,16		3,0	0,13
	3,0	0,11		3,1	0,15		3,1	0,15		2,9	0,15		2,9	0,15		3,1	0,12
	3,1	0,10		3,2	0,10		3,2	0,12		3,0	0,14		3,0	0,13		3,2	0,07
	3,2	0,10		3,3	0,08		3,3	0,10		3,1	0,14		3,1	0,13		3,3	0,06
	3,3	0,07		3,4	0,07		3,4	0,06		3,2	0,11		3,2	0,11		3,4	0,06
	3,4	0,05		3,5	0,07		3,5	0,06		3,3	0,11		3,3	0,09		3,5	0,06
	3,5	0,03		3,6	0,07		3,6	0,06		3,4	0,04		3,4	0,04		3,6	0,06
	3,6	0,03		3,7	0,05		3,7	0,05		3,5	0,04		3,5	0,04		3,7	0,03
	3,7	0,03		3,8	0,05		3,8	0,04		3,6	0,04		3,6	0,04		3,8	0,03
	3,8	0,02		3,9	0,04		3,9	0,04		3,7	0,04		3,7	0,04		3,9	0,03
	3,9	0,03		4,0	0,04		4,0	0,04		3,8	0,03		3,8	0,03		4,0	0,03
	4,0	0,03		4,1	0,04		4,1	0,04		3,9	0,03		3,9	0,04		4,1	0,03
	4,1	0,03		4,2	0,04		4,2	0,04		4,0	0,03		4,0	0,03		4,2	0,02
	4,2	0,03		4,3	0,04		4,3	0,04		4,1	0,03		4,1	0,03		4,3	0,02
	4,3	0,02		4,4	0,04		4,4	0,04		4,2	0,04		4,2	0,04		4,4	0,03
	4,4	0,02		4,5	0,04		4,5	0,04		4,3	0,04		4,3	0,04		4,5	0,02
7	1,6	0,47	8	1,4	0,51	9	1,4	0,52	10	1,6	0,51	11	1,6	0,50	12	1,5	0,54
	1,7	0,44		1,5	0,49		1,5	0,50		1,7	0,50		1,7	0,49		1,6	0,53
	1,8	0,41		1,6	0,45		1,6	0,46		1,8	0,48		1,8	0,47		1,7	0,50
	1,9	0,38		1,7	0,43		1,7	0,43		1,9	0,45		1,9	0,44		1,8	0,45
	2,0	0,35		1,8	0,39		1,8	0,39		2,0	0,42		2,0	0,42		1,9	0,41
	2,1	0,32		1,9	0,36		1,9	0,36		2,1	0,39		2,1	0,39		2,0	0,37
	2,2	0,29		2,0	0,33		2,0	0,34		2,2	0,37		2,2	0,36		2,1	0,34
	2,3	0,27		2,1	0,31		2,1	0,31		2,3	0,34		2,3	0,34		2,2	0,31
	2,4	0,25		2,2	0,29		2,2	0,29		2,4	0,32		2,4	0,32		2,3	0,28
	2,5	0,21		2,3	0,27		2,3	0,27		2,5	0,28		2,5	0,26		2,4	0,26
	2,6	0,20		2,4	0,25		2,4	0,25		2,6	0,27		2,6	0,24		2,5	0,22
	2,7	0,18		2,5	0,23		2,5	0,24		2,7	0,23		2,7	0,23		2,6	0,21
	2,8	0,16		2,6	0,20		2,6	0,22		2,8	0,22		2,8	0,22		2,7	0,19
	2,9	0,12		2,7	0,17		2,7	0,17		2,9	0,18		2,9	0,18		2,8	0,18
	3,0	0,12		2,8	0,16		2,8	0,16		3,0	0,16		3,0	0,15		2,9	0,10
	3,1	0,11		2,9	0,15		2,9	0,15		3,1	0,15		3,1	0,14		3,0	0,10

STATO TENSIONALE NEL TERRENO - COMBINAZIONE:Freq 6

Filo N.ro	Quota m	Tens. kg/cmq	Filo N.ro	Quota m	Tens. kg/cmq	Filo N.ro	Quota m	Tens. kg/cmq	Filo N.ro	Quota m	Tens. kg/cmq	Filo N.ro	Quota m	Tens. kg/cmq	Filo N.ro	Quota m	Tens. kg/cmq
	3,2	0,06		3,0	0,13		3,0	0,14		3,2	0,12		3,2	0,10		3,1	0,09
	3,3	0,06		3,1	0,13		3,1	0,14		3,3	0,10		3,3	0,08		3,2	0,09
	3,4	0,05		3,2	0,11		3,2	0,11		3,4	0,06		3,4	0,07		3,3	0,07
	3,5	0,05		3,3	0,09		3,3	0,10		3,5	0,06		3,5	0,06		3,4	0,05
	3,6	0,05		3,4	0,04		3,4	0,04		3,6	0,06		3,6	0,06		3,5	0,03
	3,7	0,03		3,5	0,04		3,5	0,04		3,7	0,05		3,7	0,05		3,6	0,03
	3,8	0,03		3,6	0,04		3,6	0,04		3,8	0,04		3,8	0,05		3,7	0,03
	3,9	0,03		3,7	0,04		3,7	0,04		3,9	0,04		3,9	0,04		3,8	0,02
	4,0	0,03		3,8	0,03		3,8	0,03		4,0	0,04		4,0	0,04		3,9	0,03
	4,1	0,03		3,9	0,04		3,9	0,03		4,1	0,04		4,1	0,04		4,0	0,03
	4,2	0,02		4,0	0,03		4,0	0,03		4,2	0,04		4,2	0,04		4,1	0,03
	4,3	0,03		4,1	0,03		4,1	0,03		4,3	0,04		4,3	0,04		4,2	0,03
	4,4	0,03		4,2	0,04		4,2	0,04		4,4	0,04		4,4	0,04		4,3	0,02
	4,5	0,02		4,3	0,04		4,3	0,04		4,5	0,04		4,5	0,04		4,4	0,02
13	1,6	0,53	14	1,6	0,51												
	1,7	0,52		1,7	0,51												
	1,8	0,50		1,8	0,49												
	1,9	0,47		1,9	0,46												
	2,0	0,44		2,0	0,43												
	2,1	0,41		2,1	0,40												
	2,2	0,39		2,2	0,37												
	2,3	0,36		2,3	0,35												
	2,4	0,34		2,4	0,33												
	2,5	0,30		2,5	0,29												
	2,6	0,26		2,6	0,25												
	2,7	0,24		2,7	0,24												
	2,8	0,23		2,8	0,22												
	2,9	0,18		2,9	0,17												
	3,0	0,16		3,0	0,16												
	3,1	0,15		3,1	0,15												
	3,2	0,13		3,2	0,12												
	3,3	0,09		3,3	0,08												
	3,4	0,07		3,4	0,07												
	3,5	0,07		3,5	0,06												
	3,6	0,07		3,6	0,06												
	3,7	0,05		3,7	0,05												
	3,8	0,04		3,8	0,04												
	3,9	0,04		3,9	0,04												
	4,0	0,04		4,0	0,04												
	4,1	0,04		4,1	0,04												
	4,2	0,04		4,2	0,04												
	4,3	0,04		4,3	0,04												
	4,4	0,04		4,4	0,04												
	4,5	0,04		4,5	0,04												

STATO TENSIONALE NEL TERRENO - COMBINAZIONE:Perm 1

Filo N.ro	Quota m	Tens. kg/cmq	Filo N.ro	Quota m	Tens. kg/cmq	Filo N.ro	Quota m	Tens. kg/cmq	Filo N.ro	Quota m	Tens. kg/cmq	Filo N.ro	Quota m	Tens. kg/cmq	Filo N.ro	Quota m	Tens. kg/cmq
1	1,5	0,57	2	1,6	0,51	3	1,6	0,50	4	1,4	0,51	5	1,4	0,52	6	1,6	0,49
	1,6	0,56		1,7	0,50		1,7	0,50		1,5	0,49		1,5	0,50		1,7	0,47
	1,7	0,52		1,8	0,48		1,8	0,48		1,6	0,46		1,6	0,46		1,8	0,43
	1,8	0,47		1,9	0,45		1,9	0,45		1,7	0,43		1,7	0,43		1,9	0,40
	1,9	0,43		2,0	0,42		2,0	0,42		1,8	0,39		1,8	0,40		2,0	0,36
	2,0	0,39		2,1	0,40		2,1	0,39		1,9	0,36		1,9	0,37		2,1	0,33
	2,1	0,35		2,2	0,37		2,2	0,37		2,0	0,33		2,0	0,34		2,2	0,31
	2,2	0,32		2,3	0,35		2,3	0,34		2,1	0,31		2,1	0,31		2,3	0,28
	2,3	0,29		2,4	0,32		2,4	0,32		2,2	0,29		2,2	0,29		2,4	0,26
	2,4	0,27		2,5	0,26		2,5	0,28		2,3	0,27		2,3	0,27		2,5	0,22
	2,5	0,23		2,6	0,25		2,6	0,27		2,4	0,25		2,4	0,25		2,6	0,21
	2,6	0,22		2,7	0,23		2,7	0,23		2,5	0,24		2,5	0,24		2,7	0,19
	2,7	0,20		2,8	0,22		2,8	0,22		2,6	0,22		2,6	0,20		2,8	0,17
	2,8	0,19		2,9	0,18		2,9	0,18		2,7	0,17		2,7	0,17		2,9	0,13
	2,9	0,11		3,0	0,15		3,0	0,16		2,8	0,16		2,8	0,16		3,0	0,12
	3,0	0,10		3,1	0,15		3,1	0,15		2,9	0,15		2,9	0,15		3,1	0,12
	3,1	0,10		3,2	0,10		3,2	0,12		3,0	0,14		3,0	0,13		3,2	0,06
	3,2	0,09		3,3	0,08		3,3	0,10		3,1	0,14		3,1	0,13		3,3	0,06
	3,3	0,07		3,4	0,07		3,4	0,06		3,2	0,11		3,2	0,11		3,4	0,06
	3,4	0,05		3,5	0,06		3,5	0,06		3,3	0,10		3,3	0,09		3,5	0,05
	3,5	0,03		3,6	0,06		3,6	0,06		3,4	0,04		3,4	0,04		3,6	0,05
	3,6	0,03		3,7	0,05		3,7	0,05		3,5	0,04		3,5	0,04		3,7	0,03
	3,7	0,03		3,8	0,05		3,8	0,04		3,6	0,04		3,6	0,04		3,8	0,03
	3,8	0,02		3,9	0,04		3,9	0,04		3,7	0,04		3,7	0,04		3,9	0,03
	3,9	0,03		4,0	0,04		4,0	0,04		3,8	0,03		3,8	0,03		4,0	0,03
	4,0	0,03		4,1	0,04		4,1	0,04		3,9	0,03		3,9	0,04		4,1	0,03
	4,1	0,03		4,2	0,04		4,2	0,04		4,0	0,03		4,0	0,03		4,2	0,02
	4,2	0,03		4,3	0,04		4,3	0,04		4,1	0,03		4,1	0,03		4,3	0,03
	4,3	0,02		4,4	0,04		4,4	0,04		4,2	0,04		4,2	0,04		4,4	0,03
	4,4	0,02		4,5	0,04		4,5	0,04		4,3	0,04		4,3	0,04		4,5	0,02
7	1,6	0,49	8	1,4	0,51	9	1,4	0,52	10	1,6	0,51	11	1,6	0,50	12	1,5	0,57
	1,7	0,47		1,5	0,49		1,5	0,50		1,7	0,50		1,7	0,50		1,6	0,56
	1,8	0,43		1,6	0,46		1,6	0,46		1,8	0,48		1,8	0,48		1,7	0,52
	1,9	0,40		1,7	0,43		1,7	0,43		1,9	0,45		1,9	0,45		1,8	0,47
	2,0	0,36		1,8	0,39		1,8	0,40		2,0	0,42		2,0	0,42		1,9	0,43
	2,1	0,33		1,9	0,36		1,9	0,37		2,1	0,40		2,1	0,39		2,0	0,39
	2,2	0,31		2,0	0,33		2,0	0,34		2,2	0,37		2,2	0,37		2,1	0,35
	2,3	0,28		2,1	0,31		2,1	0,31		2,3	0,35		2,3	0,34		2,2	0,32
	2,4	0,26		2,2	0,29		2,2	0,29		2,4	0,32		2,4	0,32		2,3	0,29
	2,5	0,22		2,3	0,27		2,3	0,27		2,5	0,28		2,5	0,26		2,4	0,27
	2,6	0,21		2,4	0,25		2,4	0,25		2,6	0,27		2,6	0,25		2,5	0,23

STATO TENSIONALE NEL TERRENO - COMBINAZIONE:Perm 1

Filo N.ro	Quota m	Tens. kg/cmq	Filo N.ro	Quota m	Tens. kg/cmq	Filo N.ro	Quota m	Tens. kg/cmq	Filo N.ro	Quota m	Tens. kg/cmq	Filo N.ro	Quota m	Tens. kg/cmq	Filo N.ro	Quota m	Tens. kg/cmq
	2,7	0,19		2,5	0,24		2,5	0,24		2,7	0,23		2,7	0,23		2,6	0,22
	2,8	0,17		2,6	0,20		2,6	0,22		2,8	0,22		2,8	0,22		2,7	0,20
	2,9	0,13		2,7	0,17		2,7	0,17		2,9	0,18		2,9	0,18		2,8	0,19
	3,0	0,12		2,8	0,16		2,8	0,16		3,0	0,16		3,0	0,15		2,9	0,11
	3,1	0,12		2,9	0,15		2,9	0,15		3,1	0,15		3,1	0,15		3,0	0,10
	3,2	0,06		3,0	0,13		3,0	0,14		3,2	0,12		3,2	0,10		3,1	0,10
	3,3	0,06		3,1	0,13		3,1	0,14		3,3	0,10		3,3	0,08		3,2	0,09
	3,4	0,06		3,2	0,11		3,2	0,11		3,4	0,07		3,4	0,07		3,3	0,07
	3,5	0,05		3,3	0,09		3,3	0,11		3,5	0,07		3,5	0,06		3,4	0,05
	3,6	0,05		3,4	0,04		3,4	0,04		3,6	0,07		3,6	0,06		3,5	0,03
	3,7	0,03		3,5	0,04		3,5	0,04		3,7	0,05		3,7	0,05		3,6	0,03
	3,8	0,03		3,6	0,04		3,6	0,04		3,8	0,04		3,8	0,05		3,7	0,03
	3,9	0,03		3,7	0,04		3,7	0,04		3,9	0,04		3,9	0,04		3,8	0,02
	4,0	0,03		3,8	0,03		3,8	0,03		4,0	0,04		4,0	0,04		3,9	0,03
	4,1	0,03		3,9	0,04		3,9	0,03		4,1	0,04		4,1	0,04		4,0	0,03
	4,2	0,02		4,0	0,03		4,0	0,03		4,2	0,04		4,2	0,04		4,1	0,03
	4,3	0,03		4,1	0,03		4,1	0,03		4,3	0,04		4,3	0,04		4,2	0,03
	4,4	0,03		4,2	0,04		4,2	0,04		4,4	0,04		4,4	0,04		4,3	0,02
	4,5	0,02		4,3	0,04		4,3	0,04		4,5	0,04		4,5	0,04		4,4	0,02
13	1,6	0,52	14	1,6	0,52												
	1,7	0,52		1,7	0,52												
	1,8	0,50		1,8	0,50												
	1,9	0,47		1,9	0,47												
	2,0	0,44		2,0	0,44												
	2,1	0,41		2,1	0,41												
	2,2	0,38		2,2	0,38												
	2,3	0,36		2,3	0,36												
	2,4	0,33		2,4	0,33												
	2,5	0,29		2,5	0,29												
	2,6	0,25		2,6	0,25												
	2,7	0,24		2,7	0,24												
	2,8	0,23		2,8	0,23												
	2,9	0,18		2,9	0,18												
	3,0	0,16		3,0	0,16												
	3,1	0,15		3,1	0,15												
	3,2	0,13		3,2	0,13												
	3,3	0,08		3,3	0,08												
	3,4	0,07		3,4	0,07												
	3,5	0,07		3,5	0,07												
	3,6	0,07		3,6	0,07												
	3,7	0,05		3,7	0,05												
	3,8	0,04		3,8	0,04												
	3,9	0,04		3,9	0,04												
	4,0	0,04		4,0	0,04												
	4,1	0,04		4,1	0,04												
	4,2	0,04		4,2	0,04												
	4,3	0,04		4,3	0,04												
	4,4	0,04		4,4	0,04												
	4,5	0,04		4,5	0,04												

25 TABULATI DI CALCOLO FONDAZIONI CONTROL ROOM

DATI GENERALI

COEFFICIENTI PARZIALI GEOTECNICA		
	TABELLA M1	TABELLA M2
Tangente Resist. Taglio	1,00	
Peso Specifico	1,00	
Coesione Efficace (c'k)	1,00	
Resist. a taglio NON drenata (cuk)	1,00	
Tipo Approccio	Combinazione Unica: (A1+M1+R3)	
Tipo di fondazione	Superficiale	

	COEFFICIENTE R1	COEFFICIENTE R2	COEFFICIENTE R3
Capacita' Portante			2,30
Scorrimento			1,10

CRITERI DI PROGETTO GEOTECNICI - FONDAZIONI SUPERFICIALI

IDEN	CARATTERISTICHE DI SITO					IDEN	CARATTERISTICHE DI SITO					IDEN	CARATTERISTICHE DI SITO				
Crit N.ro	Falda (m)	Affond (m)	Ricopr (m)	Pend.X (grd)	Pend.Y (Grd)	Crit N.ro	Falda (m)	Affond (m)	Ricopr (m)	Pend.X (grd)	Pend.Y (Grd)	Crit N.ro	Falda (m)	Affond (m)	Ricopr (m)	Pend.X (grd)	Pend.Y (Grd)
1	1,00	0,00	0,10	0	0	2	1,00	0,50	0,00	0	0						

COORDINATE NODI3D PLATEA

IDENT.	POSIZIONE NODO			IDENT.	POSIZIONE NODO			IDENT.	POSIZIONE NODO			IDENT.	POSIZIONE NODO		
Nodo3d N.ro	Coord.X (m)	Coord.Y (m)	Coord.Z (m)	Nodo3d N.ro	Coord.X (m)	Coord.Y (m)	Coord.Z (m)	Nodo3d N.ro	Coord.X (m)	Coord.Y (m)	Coord.Z (m)	Nodo3d N.ro	Coord.X (m)	Coord.Y (m)	Coord.Z (m)
1	0,50	0,50	0,00	2	12,50	0,50	0,00	5	12,50	4,50	0,00	6	0,50	4,50	0,00
9	0,00	0,00	0,00	10	13,00	0,00	0,00	11	13,00	5,00	0,00	12	0,00	5,00	0,00
13	2,50	0,50	0,00	14	4,50	0,50	0,00	15	6,50	0,50	0,00	16	8,50	0,50	0,00
17	10,50	0,50	0,00	18	10,50	4,50	0,00	19	8,50	4,50	0,00	20	6,50	4,50	0,00
21	4,50	4,50	0,00	22	2,50	4,50	0,00	23	12,50	1,50	0,00	24	12,50	2,50	0,00
25	12,50	3,50	0,00	26	0,50	3,50	0,00	27	0,50	2,50	0,00	28	0,50	1,50	0,00
29	1,00	1,00	0,00	30	2,00	1,00	0,00	31	2,00	2,00	0,00	32	1,00	2,00	0,00
33	2,00	3,00	0,00	34	1,00	3,00	0,00	35	3,00	1,00	0,00	36	3,00	2,00	0,00
37	4,00	2,00	0,00	38	4,00	1,00	0,00	39	5,00	1,00	0,00	40	5,00	2,00	0,00
41	4,00	3,00	0,00	42	3,00	3,00	0,00	43	6,00	1,00	0,00	44	6,00	2,00	0,00
45	6,00	3,00	0,00	46	5,00	3,00	0,00	47	7,00	1,00	0,00	48	7,00	2,00	0,00
49	7,00	3,00	0,00	50	2,00	4,00	0,00	51	1,00	4,00	0,00	52	3,00	4,00	0,00
53	4,00	4,00	0,00	54	5,00	4,00	0,00	55	6,00	4,00	0,00	56	7,00	4,00	0,00
57	8,00	2,00	0,00	58	8,00	1,00	0,00	59	9,00	1,00	0,00	60	9,00	2,00	0,00
61	8,00	3,00	0,00	62	10,00	1,00	0,00	63	10,00	2,00	0,00	64	10,00	3,00	0,00
65	9,00	3,00	0,00	66	11,00	1,00	0,00	67	11,00	2,00	0,00	68	12,00	2,00	0,00
69	12,00	1,00	0,00	70	12,00	3,00	0,00	71	11,00	3,00	0,00	72	8,00	4,00	0,00
73	9,00	4,00	0,00	74	10,00	4,00	0,00	75	11,00	4,00	0,00	76	12,00	4,00	0,00
77	2,00	0,00	0,00	78	1,00	0,00	0,00	79	4,00	0,00	0,00	80	3,00	0,00	0,00
81	6,00	0,00	0,00	82	5,00	0,00	0,00	83	2,00	5,00	0,00	84	1,00	5,00	0,00
85	3,00	5,00	0,00	86	4,00	5,00	0,00	87	6,00	5,00	0,00	88	5,00	5,00	0,00
89	10,00	0,00	0,00	90	9,00	0,00	0,00	91	12,00	0,00	0,00	92	11,00	0,00	0,00
93	8,00	5,00	0,00	94	7,00	5,00	0,00	95	9,00	5,00	0,00	96	10,00	5,00	0,00
97	11,00	5,00	0,00	98	12,00	5,00	0,00	99	7,00	0,00	0,00	100	8,00	0,00	0,00
101	0,00	1,00	0,00	102	0,00	2,00	0,00	103	0,00	3,00	0,00	104	0,00	4,00	0,00
105	13,00	1,00	0,00	106	13,00	2,00	0,00	107	13,00	3,00	0,00	108	13,00	4,00	0,00

GEOMETRIA PLATEA

Shell N.ro	Nodo 1	Nodo 2	Nodo 3	Nodo 4	Sez Nro	Shell N.ro	Nodo 1	Nodo 2	Nodo 3	Nodo 4	Sez Nro	Shell N.ro	Nodo 1	Nodo 2	Nodo 3	Nodo 4	Sez Nro	Shell N.ro	Nodo 1	Nodo 2	Nodo 3	Nodo 4	Sez Nro
5	29	30	31	32	1	6	32	31	33	34	1	7	31	30	35	36	1	8	36	35	38	37	1
9	37	38	39	40	1	10	36	37	41	42	1	11	39	43	44	40	1	12	40	44	45	46	1
13	44	43	47	48	1	14	37	40	46	41	1	15	48	49	45	44	1	16	31	36	42	33	1
17	50	51	34	33	1	18	50	33	42	52	1	19	41	53	52	42	1	20	53	41	46	54	1
21	55	54	46	45	1	22	55	45	49	56	1	23	48	47	58	57	1	24	57	58	59	60	1
25	61	49	48	57	1	26	59	62	63	60	1	27	64	65	60	63	1	28	66	67	63	62	1
29	65	61	57	60	1	30	67	66	69	68	1	31	70	71	67	68	1	32	63	67	71	64	1
33	61	72	56	49	1	34	72	61	65	73	1	35	74	73	65	64	1	36	71	75	74	64	1
37	70	76	75	71	1	38	77	13	1	78	1	39	1	13	30	29	1	40	79	14	13	80	1
41	13	14	38	35	1	42	81	15	14	82	1	43	14	15	43	39	1	44	22	83	84	6	1
45	22	6	51	50	1	46	21	22	52	53	1	47	85	22	21	86	1	48	20	21	54	55	1
49	20	87	88	21	1	50	15	16	58	47	1	51	89	17	16	90	1	52	16	17	62	59	1
53	91	2	17	92	1	54	17	2	69	66	1	55	19	20	56	72	1	56	18	19	73	74	1
57	19	93	94	20	1	58	5	18	75	76	1	59	95	19	18	96	1	60	97	18	5	98	1
61	15	99	100	16	1	62	1	28	101	9	1	63	28	27	102	101	1	64	28	29	32	27	1
65	103	27	26	104	1	66	27	32	34	26	1	67	51	6	26	34	1	68	104	26	6	12	1
69	105	23	2	10	1	70	69	2	23	68	1	71	106	24	23	105	1	72	107	25	24	106	1
73	24	25	70	68	1	74	25	107	108	5	1	75	25	5	76	70	1	76	9	78	1	1	1
77	77	80	13	13	1	78	35	30	13	13	1	79	1	29	28	28	1	80	14	79	82	82	1
81	15	81	99	99	1	82	38	14	39	39	1	83	27	103	102	102	1	84	12	6	84	84	1
85	52	22	50	50	1	86	22	85	83	83	1	87	86	21	88	88	1	88	53	54	21	21	1
89	43	15	47	47	1	90	90	16	100	100	1	91	58	16	59	59	1	92	92	17	89	89	1
93	91	10	2	2	1	94	23	24	68	68	1	95	66	62	17	17	1	96	56	20	55	55	1
97	20	94	87	87	1	98	19	95	93	93	1	99	72	73	19	19	1	100	75	18	74	74	1
101	96	18	97	97	1	102	5	108	11	11	1	103	11	98	5	5	1						

STRATIGRAFIA PLATEA

Str. N.ro	Q.t.v. (m)	Q.t.d. (m)	Q.falda (m)	Incl Grd	Kw kg/cmc	Num Str	Sp.str. (m)	Peso Sp kg/mc	Fi' (Grd)	C' kg/cmq	Cu kg/cmq	Mod.El. kg/cmq	Poisson	Gr.Sovr (%)	Mod.Ed. kg/cmq
1	-0,10	0,00	1,40	0	1,00	1		1900	26,00	0,15	0,50	40,00	0,20	1	50,00

COMBINAZIONI CARICHI - S.L.U. - A1

DESCRIZIONI	1	2	3	4	5	6	7	8	9	10	11	12	13	14	15
Peso Strutturale	1,30	1,30	1,00	1,00	1,00	1,00	1,00	1,00	1,00	1,00	1,00	1,00	1,00	1,00	1,00
Perm.Non Strutturale	1,50	1,50	1,00	1,00	1,00	1,00	1,00	1,00	1,00	1,00	1,00	1,00	1,00	1,00	1,00
Var.Neve h>1000	1,05	1,50	0,20	0,20	0,20	0,20	0,20	0,20	0,20	0,20	0,20	0,20	0,20	0,20	0,20
Var.Bibl.Arch.	1,50	1,50	0,80	0,80	0,80	0,80	0,80	0,80	0,80	0,80	0,80	0,80	0,80	0,80	0,80
Corr. Tors. dir. 0	0,00	0,00	1,00	-1,00	1,00	-1,00	1,00	-1,00	1,00	-1,00	-1,00	1,00	-1,00	1,00	-1,00
Corr. Tors. dir. 90	0,00	0,00	0,30	0,30	-0,30	-0,30	-0,30	-0,30	0,30	0,30	0,30	0,30	-0,30	-0,30	-0,30
Sisma direz. grd 0	0,00	0,00	1,00	1,00	1,00	1,00	1,00	1,00	1,00	1,00	-1,00	-1,00	-1,00	-1,00	-1,00
Sisma direz. grd 90	0,00	0,00	0,30	0,30	0,30	0,30	-0,30	-0,30	-0,30	-0,30	0,30	0,30	0,30	0,30	-0,30

COMBINAZIONI CARICHI - S.L.U. - A1

DESCRIZIONI	16	17	18	19	20	21	22	23	24	25	26	27	28	29	30
Peso Strutturale	1,00	1,00	1,00	1,00	1,00	1,00	1,00	1,00	1,00	1,00	1,00	1,00	1,00	1,00	1,00
Perm.Non Strutturale	1,00	1,00	1,00	1,00	1,00	1,00	1,00	1,00	1,00	1,00	1,00	1,00	1,00	1,00	1,00
Var.Neve h>1000	0,20	0,20	0,20	0,20	0,20	0,20	0,20	0,20	0,20	0,20	0,20	0,20	0,20	0,20	0,20
Var.Bibl.Arch.	0,80	0,80	0,80	0,80	0,80	0,80	0,80	0,80	0,80	0,80	0,80	0,80	0,80	0,80	0,80
Corr. Tors. dir. 0	1,00	-1,00	1,00	0,30	-0,30	0,30	-0,30	0,30	-0,30	0,30	-0,30	-0,30	0,30	-0,30	0,30
Corr. Tors. dir. 90	-0,30	0,30	0,30	1,00	1,00	-1,00	-1,00	-1,00	-1,00	1,00	1,00	1,00	1,00	-1,00	-1,00
Sisma direz. grd 0	-1,00	-1,00	-1,00	0,30	0,30	0,30	0,30	0,30	0,30	0,30	0,30	-0,30	-0,30	-0,30	-0,30
Sisma direz. grd 90	-0,30	-0,30	-0,30	1,00	1,00	1,00	1,00	-1,00	-1,00	-1,00	-1,00	1,00	1,00	1,00	1,00

COMBINAZIONI CARICHI - S.L.U. - A1

DESCRIZIONI	31	32	33	34
Peso Strutturale	1,00	1,00	1,00	1,00
Perm.Non Strutturale	1,00	1,00	1,00	1,00
Var.Neve h>1000	0,20	0,20	0,20	0,20
Var.Bibl.Arch.	0,80	0,80	0,80	0,80
Corr. Tors. dir. 0	-0,30	0,30	-0,30	0,30
Corr. Tors. dir. 90	-1,00	-1,00	1,00	1,00
Sisma direz. grd 0	-0,30	-0,30	-0,30	-0,30
Sisma direz. grd 90	-1,00	-1,00	-1,00	-1,00

COMBINAZIONI RARE - S.L.E.

DESCRIZIONI	1	2
Peso Strutturale	1,00	1,00
Perm.Non Strutturale	1,00	1,00
Var.Neve h>1000	0,70	1,00
Var.Bibl.Arch.	1,00	1,00
Corr. Tors. dir. 0	0,00	0,00
Corr. Tors. dir. 90	0,00	0,00
Sisma direz. grd 0	0,00	0,00
Sisma direz. grd 90	0,00	0,00

COMBINAZIONI FREQUENTI - S.L.E.

DESCRIZIONI	1	2
Peso Strutturale	1,00	1,00
Perm.Non Strutturale	1,00	1,00
Var.Neve h>1000	0,20	0,50
Var.Bibl.Arch.	0,90	0,80
Corr. Tors. dir. 0	0,00	0,00
Corr. Tors. dir. 90	0,00	0,00
Sisma direz. grd 0	0,00	0,00
Sisma direz. grd 90	0,00	0,00

COMBINAZIONI PERMANENTI - S.L.E.

DESCRIZIONI	1
Peso Strutturale	1,00
Perm.Non Strutturale	1,00
Var.Neve h>1000	0,20
Var.Bibl.Arch.	0,80
Corr. Tors. dir. 0	0,00
Corr. Tors. dir. 90	0,00
Sisma direz. grd 0	0,00
Sisma direz. grd 90	0,00

RISULTANTI SOLLECITAZIONI NODI PLATEE - SLU

Nod3d N.ro	Combinazione N.ro		Fz (t)	Nod3d N.ro	Combinazione N.ro		Fz (t)	Nod3d N.ro	Combinazione N.ro		Fz (t)	Nod3d N.ro	Combinazione N.ro		Fz (t)
1		A1/1	-2,64	2		A1/1	-2,80	5		A1/1	-3,13	6		A1/1	-2,80
		A1/2	-2,65			A1/2	-2,82			A1/2	-3,15			A1/2	-2,82
	X+	A1/9	-1,78		X+	A1/8	-2,44		X+	A1/3	-2,72		X+	A1/6	-1,89
	X-	A1/18	-2,29		X-	A1/15	-1,89		X-	A1/12	-2,12		X-	A1/13	-2,44
	Y+	A1/28	-1,33		Y+	A1/22	-1,41		Y+	A1/19	-3,02		Y+	A1/29	-2,70
	Y-	A1/34	-2,54		Y-	A1/24	-2,70		Y-	A1/25	-1,57		Y-	A1/31	-1,41
9		A1/1	-0,82	10		A1/1	-0,82	11		A1/1	-0,66	12		A1/1	-0,82
		A1/2	-0,83			A1/2	-0,83			A1/2	-0,66			A1/2	-0,83
	X+	A1/9	-0,56		X+	A1/8	-0,74		X+	A1/3	-0,59		X+	A1/6	-0,56
	X-	A1/18	-0,74		X-	A1/15	-0,56		X-	A1/12	-0,45		X-	A1/13	-0,74
	Y+	A1/28	-0,37		Y+	A1/22	-0,37		Y+	A1/19	-0,68		Y+	A1/29	-0,85
	Y-	A1/34	-0,85		Y-	A1/24	-0,85		Y-	A1/25	-0,29		Y-	A1/31	-0,37
13		A1/1	-3,66	14		A1/1	-3,69	15		A1/1	-3,69	16		A1/1	-3,69
		A1/2	-3,69			A1/2	-3,71			A1/2	-3,71			A1/2	-3,71
	X+	A1/9	-2,58		X+	A1/9	-2,69		X+	A1/9	-2,80		X+	A1/8	-2,92
	X-	A1/18	-3,04		X-	A1/18	-2,92		X-	A1/18	-2,80		X-	A1/15	-2,69
	Y+	A1/28	-1,88		Y+	A1/28	-1,90		Y+	A1/19	-1,89		Y+	A1/22	-1,90
	Y-	A1/34	-3,41		Y-	A1/34	-3,34		Y-	A1/25	-3,30		Y-	A1/24	-3,34
17		A1/1	-3,66	18		A1/1	-3,66	19		A1/1	-3,69	20		A1/1	-3,69
		A1/2	-3,69			A1/2	-3,68			A1/2	-3,71			A1/2	-3,71
	X+	A1/8	-3,04		X+	A1/3	-3,04		X+	A1/3	-2,92		X+	A1/3	-2,80
	X-	A1/15	-2,58		X-	A1/12	-2,58		X-	A1/12	-2,69		X-	A1/12	-2,80
	Y+	A1/22	-1,88		Y+	A1/19	-3,41		Y+	A1/19	-3,34		Y+	A1/28	-3,30
	Y-	A1/24	-3,41		Y-	A1/25	-1,88		Y-	A1/25	-1,90		Y-	A1/34	-1,89

RISULTANTI SOLLECITAZIONI NODI PLATEE - SLU

Nod3d N.ro	Combinazione N.ro		Fz (t)	Nod3d N.ro	Combinazione N.ro		Fz (t)	Nod3d N.ro	Combinazione N.ro		Fz (t)	Nod3d N.ro	Combinazione N.ro		Fz (t)
21		A1/1	-3,69	22		A1/1	-3,66	23		A1/1	-1,80	24		A1/1	-1,80
		A1/2	-3,71			A1/2	-3,69			A1/2	-1,81			A1/2	-1,81
	X+	A1/6	-2,69		X+	A1/6	-2,58		X+	A1/8	-1,51		X+	A1/6	-1,44
	X-	A1/13	-2,92		X-	A1/13	-3,04		X-	A1/15	-1,16		X-	A1/13	-1,09
	Y+	A1/29	-3,34		Y+	A1/29	-3,41		Y+	A1/22	-1,11		Y+	A1/22	-1,32
	Y-	A1/31	-1,90		Y-	A1/31	-1,88		Y-	A1/24	-1,53		Y-	A1/24	-1,32
25		A1/1	-1,97	26		A1/1	-1,97	27		A1/1	-2,29	28		A1/1	-1,80
		A1/2	-1,98			A1/2	-1,98			A1/2	-2,30			A1/2	-1,81
	X+	A1/3	-1,64		X+	A1/6	-1,26		X+	A1/8	-1,39		X+	A1/9	-1,16
	X-	A1/12	-1,26		X-	A1/13	-1,64		X-	A1/15	-1,83		X-	A1/18	-1,51
	Y+	A1/19	-1,67		Y+	A1/29	-1,67		Y+	A1/29	-1,68		Y+	A1/28	-1,11
	Y-	A1/25	-1,21		Y-	A1/31	-1,21		Y-	A1/31	-1,68		Y-	A1/34	-1,53
29		A1/1	-2,55	30		A1/1	-3,03	31		A1/1	-3,85	32		A1/1	-2,93
		A1/2	-2,56			A1/2	-3,05			A1/2	-3,87			A1/2	-2,94
	X+	A1/9	-1,70		X+	A1/9	-2,06		X+	A1/9	-2,50		X+	A1/9	-1,85
	X-	A1/18	-2,15		X-	A1/18	-2,49		X-	A1/18	-3,04		X-	A1/18	-2,37
	Y+	A1/28	-1,43		Y+	A1/28	-1,70		Y+	A1/28	-2,58		Y+	A1/28	-1,97
	Y-	A1/34	-2,29		Y-	A1/34	-2,69		Y-	A1/34	-3,00		Y-	A1/34	-2,31
33		A1/1	-3,85	34		A1/1	-2,93	35		A1/1	-3,03	36		A1/1	-3,81
		A1/2	-3,87			A1/2	-2,94			A1/2	-3,04			A1/2	-3,83
	X+	A1/6	-2,50		X+	A1/6	-1,85		X+	A1/9	-2,11		X+	A1/9	-2,54
	X-	A1/13	-3,04		X-	A1/13	-2,37		X-	A1/18	-2,44		X-	A1/18	-2,95
	Y+	A1/29	-3,00		Y+	A1/29	-2,30		Y+	A1/28	-1,71		Y+	A1/28	-2,54
	Y-	A1/31	-2,58		Y-	A1/31	-1,97		Y-	A1/34	-2,65		Y-	A1/34	-2,95
37		A1/1	-3,79	38		A1/1	-3,02	39		A1/1	-3,03	40		A1/1	-3,78
		A1/2	-3,81			A1/2	-3,04			A1/2	-3,04			A1/2	-3,80
	X+	A1/9	-2,58		X+	A1/9	-2,15		X+	A1/9	-2,19		X+	A1/9	-2,64
	X-	A1/18	-2,87		X-	A1/18	-2,38		X-	A1/18	-2,33		X-	A1/18	-2,81
	Y+	A1/28	-2,52		Y+	A1/28	-1,70		Y+	A1/28	-1,70		Y+	A1/28	-2,50
	Y-	A1/34	-2,91		Y-	A1/34	-2,62		Y-	A1/34	-2,60		Y-	A1/34	-2,88
41		A1/1	-3,79	42		A1/1	-3,81	43		A1/1	-3,03	44		A1/1	-3,78
		A1/2	-3,81			A1/2	-3,83			A1/2	-3,04			A1/2	-3,80
	X+	A1/6	-2,58		X+	A1/6	-2,54		X+	A1/9	-2,24		X+	A1/9	-2,69
	X-	A1/13	-2,87		X-	A1/13	-2,95		X-	A1/18	-2,28		X-	A1/18	-2,75
	Y+	A1/29	-2,91		Y+	A1/29	-2,95		Y+	A1/28	-1,69		Y+	A1/28	-2,48
	Y-	A1/31	-2,52		Y-	A1/31	-2,54		Y-	A1/34	-2,58		Y-	A1/34	-2,86
45		A1/1	-3,78	46		A1/1	-3,78	47		A1/1	-3,03	48		A1/1	-3,78
		A1/2	-3,80			A1/2	-3,80			A1/2	-3,04			A1/2	-3,80
	X+	A1/6	-2,69		X+	A1/6	-2,64		X+	A1/8	-2,28		X+	A1/8	-2,75
	X-	A1/13	-2,75		X-	A1/13	-2,81		X-	A1/15	-2,24		X-	A1/15	-2,69
	Y+	A1/29	-2,86		Y+	A1/29	-2,88		Y+	A1/22	-1,69		Y+	A1/22	-2,48
	Y-	A1/31	-2,48		Y-	A1/31	-2,50		Y-	A1/24	-2,58		Y-	A1/24	-2,86
49		A1/1	-3,78	50		A1/1	-3,03	51		A1/1	-2,22	52		A1/1	-3,03
		A1/2	-3,80			A1/2	-3,05			A1/2	-2,23			A1/2	-3,04
	X+	A1/3	-2,75		X+	A1/6	-2,06		X+	A1/6	-1,48		X+	A1/6	-2,11
	X-	A1/12	-2,69		X-	A1/13	-2,49		X-	A1/13	-1,87		X-	A1/13	-2,44
	Y+	A1/19	-2,86		Y+	A1/29	-2,69		Y+	A1/29	-2,00		Y+	A1/29	-2,65
	Y-	A1/25	-2,48		Y-	A1/31	-1,70		Y-	A1/31	-1,24		Y-	A1/31	-1,71
53		A1/1	-3,02	54		A1/1	-3,03	55		A1/1	-3,03	56		A1/1	-3,03
		A1/2	-3,04			A1/2	-3,04			A1/2	-3,04			A1/2	-3,04
	X+	A1/6	-2,15		X+	A1/6	-2,19		X+	A1/6	-2,24		X+	A1/3	-2,28
	X-	A1/13	-2,38		X-	A1/13	-2,33		X-	A1/13	-2,28		X-	A1/12	-2,24
	Y+	A1/29	-2,62		Y+	A1/29	-2,60		Y+	A1/29	-2,58		Y+	A1/19	-2,58
	Y-	A1/31	-1,70		Y-	A1/31	-1,70		Y-	A1/31	-1,69		Y-	A1/25	-1,69
57		A1/1	-3,78	58		A1/1	-3,03	59		A1/1	-3,02	60		A1/1	-3,79
		A1/2	-3,80			A1/2	-3,04			A1/2	-3,04			A1/2	-3,81
	X+	A1/8	-2,81		X+	A1/8	-2,33		X+	A1/8	-2,38		X+	A1/8	-2,87
	X-	A1/15	-2,64		X-	A1/15	-2,19		X-	A1/15	-2,15		X-	A1/15	-2,58
	Y+	A1/22	-2,50		Y+	A1/22	-1,70		Y+	A1/22	-1,70		Y+	A1/22	-2,52
	Y-	A1/24	-2,88		Y-	A1/24	-2,60		Y-	A1/24	-2,62		Y-	A1/24	-2,91
61		A1/1	-3,78	62		A1/1	-3,03	63		A1/1	-3,81	64		A1/1	-3,81
		A1/2	-3,80			A1/2	-3,04			A1/2	-3,83			A1/2	-3,83
	X+	A1/3	-2,81		X+	A1/8	-2,44		X+	A1/8	-2,95		X+	A1/3	-2,95
	X-	A1/12	-2,64		X-	A1/15	-2,11		X-	A1/15	-2,54		X-	A1/12	-2,54
	Y+	A1/19	-2,88		Y+	A1/22	-1,71		Y+	A1/22	-2,54		Y+	A1/19	-2,95
	Y-	A1/25	-2,50		Y-	A1/24	-2,65		Y-	A1/24	-2,95		Y-	A1/25	-2,54
65		A1/1	-3,79	66		A1/1	-3,03	67		A1/1	-3,85	68		A1/1	-3,26
		A1/2	-3,81			A1/2	-3,05			A1/2	-3,87			A1/2	-3,27
	X+	A1/3	-2,87		X+	A1/8	-2,49		X+	A1/8	-3,04		X+	A1/8	-2,63
	X-	A1/12	-2,58		X-	A1/15	-2,06		X-	A1/15	-2,50		X-	A1/15	-2,06
	Y+	A1/19	-2,91		Y+	A1/22	-1,70		Y+	A1/22	-2,58		Y+	A1/22	-2,19
	Y-	A1/25	-2,52		Y-	A1/24	-2,69		Y-	A1/24	-3,00		Y-	A1/24	-2,56
69		A1/1	-2,22	70		A1/1	-2,93	71		A1/1	-3,85	72		A1/1	-3,03
		A1/2	-2,23			A1/2	-2,94			A1/2	-3,87			A1/2	-3,04
	X+	A1/8	-1,87		X+	A1/3	-2,37		X+	A1/3	-3,04		X+	A1/3	-2,33
	X-	A1/15	-1,48		X-	A1/12	-1,85		X-	A1/12	-2,50		X-	A1/12	-2,19
	Y+	A1/22	-1,24		Y+	A1/19	-2,31		Y+	A1/19	-3,00		Y+	A1/19	-2,60
	Y-	A1/24	-2,00		Y-	A1/25	-1,97		Y-	A1/25	-2,58		Y-	A1/25	-1,70

RISULTANTI SOLLECITAZIONI NODI PLATEE - SLU

Nod3d N.ro	Combinazione N.ro	Fz (t)	Nod3d N.ro	Combinazione N.ro	Fz (t)	Nod3d N.ro	Combinazione N.ro	Fz (t)	Nod3d N.ro	Combinazione N.ro	Fz (t)
73	A1/1	-3,02	74	A1/1	-3,03	75	A1/1	-3,03	76	A1/1	-2,22
	A1/2	-3,04		A1/2	-3,04		A1/2	-3,05		A1/2	-2,23
	X+ A1/3	-2,38		X+ A1/3	-2,44		X+ A1/3	-2,49		X+ A1/3	-1,87
	X- A1/12	-2,15		X- A1/12	-2,11		X- A1/12	-2,06		X- A1/12	-1,48
	Y+ A1/19	-2,62		Y+ A1/19	-2,65		Y+ A1/19	-2,69		Y+ A1/19	-2,00
	Y- A1/25	-1,70		Y- A1/25	-1,71		Y- A1/25	-1,70		Y- A1/25	-1,24
77	A1/1	-1,09	78	A1/1	-1,08	79	A1/1	-1,11	80	A1/1	-1,10
	A1/2	-1,10		A1/2	-1,08		A1/2	-1,12		A1/2	-1,11
	X+ A1/9	-0,78		X+ A1/9	-0,75		X+ A1/9	-0,82		X+ A1/9	-0,80
	X- A1/18	-0,93		X- A1/18	-0,94		X- A1/18	-0,90		X- A1/18	-0,92
	Y+ A1/28	-0,50		Y+ A1/28	-0,49		Y+ A1/28	-0,52		Y+ A1/28	-0,51
	Y- A1/34	-1,08		Y- A1/34	-1,09		Y- A1/34	-1,06		Y- A1/34	-1,07
81	A1/1	-1,11	82	A1/1	-1,11	83	A1/1	-1,09	84	A1/1	-1,08
	A1/2	-1,12		A1/2	-1,12		A1/2	-1,10		A1/2	-1,08
	X+ A1/9	-0,85		X+ A1/9	-0,83		X+ A1/6	-0,78		X+ A1/6	-0,75
	X- A1/18	-0,87		X- A1/18	-0,89		X- A1/13	-0,93		X- A1/13	-0,94
	Y+ A1/28	-0,52		Y+ A1/28	-0,52		Y+ A1/29	-1,08		Y+ A1/29	-1,09
	Y- A1/34	-1,05		Y- A1/34	-1,05		Y- A1/31	-0,50		Y- A1/31	-0,49
85	A1/1	-1,10	86	A1/1	-1,11	87	A1/1	-1,11	88	A1/1	-1,11
	A1/2	-1,11		A1/2	-1,12		A1/2	-1,12		A1/2	-1,12
	X+ A1/6	-0,80		X+ A1/6	-0,82		X+ A1/6	-0,85		X+ A1/6	-0,83
	X- A1/13	-0,92		X- A1/13	-0,90		X- A1/13	-0,87		X- A1/13	-0,89
	Y+ A1/29	-1,07		Y+ A1/29	-1,06		Y+ A1/29	-1,05		Y+ A1/29	-1,05
	Y- A1/31	-0,51		Y- A1/31	-0,52		Y- A1/31	-0,52		Y- A1/31	-0,52
89	A1/1	-1,10	90	A1/1	-1,11	91	A1/1	-1,08	92	A1/1	-1,09
	A1/2	-1,11		A1/2	-1,12		A1/2	-1,08		A1/2	-1,10
	X+ A1/8	-0,92		X+ A1/8	-0,90		X+ A1/8	-0,94		X+ A1/8	-0,93
	X- A1/15	-0,80		X- A1/15	-0,82		X- A1/15	-0,75		X- A1/15	-0,78
	Y+ A1/22	-0,51		Y+ A1/22	-0,52		Y+ A1/22	-0,49		Y+ A1/22	-0,50
	Y- A1/24	-1,07		Y- A1/24	-1,06		Y- A1/24	-1,09		Y- A1/24	-1,08
93	A1/1	-1,11	94	A1/1	-1,11	95	A1/1	-1,11	96	A1/1	-1,10
	A1/2	-1,12		A1/2	-1,12		A1/2	-1,12		A1/2	-1,11
	X+ A1/3	-0,89		X+ A1/3	-0,87		X+ A1/3	-0,90		X+ A1/3	-0,92
	X- A1/12	-0,83		X- A1/12	-0,85		X- A1/12	-0,82		X- A1/12	-0,80
	Y+ A1/19	-1,05		Y+ A1/19	-1,05		Y+ A1/19	-1,06		Y+ A1/19	-1,07
	Y- A1/25	-0,52		Y- A1/25	-0,52		Y- A1/25	-0,52		Y- A1/25	-0,51
97	A1/1	-1,09	98	A1/1	-1,08	99	A1/1	-1,11	100	A1/1	-1,11
	A1/2	-1,10		A1/2	-1,08		A1/2	-1,12		A1/2	-1,12
	X+ A1/3	-0,93		X+ A1/3	-0,94		X+ A1/8	-0,87		X+ A1/8	-0,89
	X- A1/12	-0,78		X- A1/12	-0,75		X- A1/15	-0,85		X- A1/15	-0,83
	Y+ A1/19	-1,08		Y+ A1/19	-1,09		Y+ A1/22	-0,52		Y+ A1/22	-0,52
	Y- A1/25	-0,50		Y- A1/25	-0,49		Y- A1/24	-1,05		Y- A1/24	-1,05
101	A1/1	-0,99	102	A1/1	-0,82	103	A1/1	-0,82	104	A1/1	-0,99
	A1/2	-0,99		A1/2	-0,83		A1/2	-0,83		A1/2	-0,99
	X+ A1/9	-0,64		X+ A1/9	-0,51		X+ A1/6	-0,51		X+ A1/6	-0,64
	X- A1/18	-0,85		X- A1/18	-0,68		X- A1/13	-0,68		X- A1/13	-0,85
	Y+ A1/28	-0,55		Y+ A1/28	-0,55		Y+ A1/29	-0,65		Y+ A1/29	-0,90
	Y- A1/34	-0,90		Y- A1/34	-0,65		Y- A1/31	-0,56		Y- A1/31	-0,55
105	A1/1	-0,99	106	A1/1	-0,99	107	A1/1	-0,99	108	A1/1	-0,82
	A1/2	-0,99		A1/2	-0,99		A1/2	-0,99		A1/2	-0,83
	X+ A1/8	-0,85		X+ A1/8	-0,81		X+ A1/3	-0,81		X+ A1/3	-0,71
	X- A1/15	-0,64		X- A1/15	-0,61		X- A1/12	-0,61		X- A1/12	-0,53
	Y+ A1/22	-0,55		Y+ A1/22	-0,67		Y+ A1/19	-0,78		Y+ A1/19	-0,75
	Y- A1/24	-0,90		Y- A1/24	-0,78		Y- A1/25	-0,67		Y- A1/25	-0,46

RISULTANTI SOLLECITAZIONI NODI PLATEE - SLD

Nod3d N.ro	Combinazione N.ro	Fz (t)	Nod3d N.ro	Combinazione N.ro	Fz (t)	Nod3d N.ro	Combinazione N.ro	Fz (t)	Nod3d N.ro	Combinazione N.ro	Fz (t)
1	SLD/1	-2,64	2	SLD/1	-2,80	5	SLD/1	-3,13	6	SLD/1	-2,80
	SLD/2	-2,65		SLD/2	-2,82		SLD/2	-3,15		SLD/2	-2,82
	X+ SLD/9	-1,81		X+ SLD/8	-2,24		X+ SLD/3	-2,50		X+ SLD/6	-1,93
	X- SLD/18	-2,10		X- SLD/15	-1,93		X- SLD/12	-2,15		X- SLD/13	-2,24
	Y+ SLD/28	-1,55		Y+ SLD/22	-1,65		Y+ SLD/19	-2,67		Y+ SLD/29	-2,39
	Y- SLD/34	-2,25		Y- SLD/24	-2,39		Y- SLD/25	-1,84		Y- SLD/31	-1,65
9	SLD/1	-0,82	10	SLD/1	-0,82	11	SLD/1	-0,66	12	SLD/1	-0,82
	SLD/2	-0,83		SLD/2	-0,83		SLD/2	-0,66		SLD/2	-0,83
	X+ SLD/9	-0,57		X+ SLD/8	-0,67		X+ SLD/3	-0,54		X+ SLD/6	-0,57
	X- SLD/18	-0,67		X- SLD/15	-0,57		X- SLD/12	-0,46		X- SLD/13	-0,67
	Y+ SLD/28	-0,46		Y+ SLD/22	-0,46		Y+ SLD/19	-0,58		Y+ SLD/29	-0,73
	Y- SLD/34	-0,73		Y- SLD/24	-0,73		Y- SLD/25	-0,37		Y- SLD/31	-0,46
13	SLD/1	-3,66	14	SLD/1	-3,69	15	SLD/1	-3,69	16	SLD/1	-3,69
	SLD/2	-3,69		SLD/2	-3,71		SLD/2	-3,71		SLD/2	-3,71
	X+ SLD/9	-2,58		X+ SLD/9	-2,65		X+ SLD/9	-2,71		X+ SLD/8	-2,78
	X- SLD/18	-2,84		X- SLD/18	-2,78		X- SLD/18	-2,71		X- SLD/15	-2,65
	Y+ SLD/28	-2,18		Y+ SLD/28	-2,20		Y+ SLD/19	-2,19		Y+ SLD/22	-2,20
	Y- SLD/34	-3,05		Y- SLD/34	-3,02		Y- SLD/25	-2,99		Y- SLD/24	-3,02
17	SLD/1	-3,66	18	SLD/1	-3,66	19	SLD/1	-3,69	20	SLD/1	-3,69
	SLD/2	-3,69		SLD/2	-3,68		SLD/2	-3,71		SLD/2	-3,71

RISULTANTI SOLLECITAZIONI NODI PLATEE - SLD

Nod3d N.ro	Combinazione N.ro		Fz (t)	Nod3d N.ro	Combinazione N.ro		Fz (t)	Nod3d N.ro	Combinazione N.ro		Fz (t)	Nod3d N.ro	Combinazione N.ro		Fz (t)
	X+	SLD/8	-2,84		X+	SLD/3	-2,84		X+	SLD/3	-2,78		X+	SLD/3	-2,71
	X-	SLD/15	-2,58		X-	SLD/12	-2,58		X-	SLD/12	-2,65		X-	SLD/12	-2,71
	Y+	SLD/22	-2,18		Y+	SLD/19	-3,05		Y+	SLD/19	-3,02		Y+	SLD/27	-2,99
	Y-	SLD/24	-3,05		Y-	SLD/25	-2,18		Y-	SLD/25	-2,20		Y-	SLD/33	-2,19
21		SLD/1	-3,69	22		SLD/1	-3,66	23		SLD/1	-1,80	24		SLD/1	-1,80
		SLD/2	-3,71			SLD/2	-3,69			SLD/2	-1,81			SLD/2	-1,81
	X+	SLD/6	-2,65		X+	SLD/6	-2,58		X+	SLD/8	-1,40		X+	SLD/6	-1,37
	X-	SLD/13	-2,78		X-	SLD/13	-2,84		X-	SLD/15	-1,21		X-	SLD/13	-1,17
	Y+	SLD/29	-3,02		Y+	SLD/29	-3,05		Y+	SLD/22	-1,18		Y+	SLD/22	-1,30
	Y-	SLD/31	-2,20		Y-	SLD/31	-2,18		Y-	SLD/24	-1,42		Y-	SLD/24	-1,30
25		SLD/1	-1,97	26		SLD/1	-1,97	27		SLD/1	-2,29	28		SLD/1	-1,80
		SLD/2	-1,98			SLD/2	-1,98			SLD/2	-2,30			SLD/2	-1,81
	X+	SLD/3	-1,53		X+	SLD/6	-1,31		X+	SLD/8	-1,48		X+	SLD/9	-1,21
	X-	SLD/12	-1,31		X-	SLD/13	-1,53		X-	SLD/15	-1,74		X-	SLD/18	-1,40
	Y+	SLD/19	-1,55		Y+	SLD/29	-1,55		Y+	SLD/29	-1,65		Y+	SLD/28	-1,18
	Y-	SLD/25	-1,29		Y-	SLD/31	-1,29		Y-	SLD/31	-1,65		Y-	SLD/34	-1,42
29		SLD/1	-2,55	30		SLD/1	-3,03	31		SLD/1	-3,85	32		SLD/1	-2,93
		SLD/2	-2,56			SLD/2	-3,05			SLD/2	-3,87			SLD/2	-2,94
	X+	SLD/9	-1,74		X+	SLD/9	-2,09		X+	SLD/9	-2,59		X+	SLD/9	-1,94
	X-	SLD/18	-1,99		X-	SLD/18	-2,34		X-	SLD/18	-2,90		X-	SLD/18	-2,24
	Y+	SLD/28	-1,58		Y+	SLD/28	-1,89		Y+	SLD/28	-2,63		Y+	SLD/28	-2,01
	Y-	SLD/34	-2,08		Y-	SLD/34	-2,45		Y-	SLD/34	-2,88		Y-	SLD/34	-2,20
33		SLD/1	-3,85	34		SLD/1	-2,93	35		SLD/1	-3,03	36		SLD/1	-3,81
		SLD/2	-3,87			SLD/2	-2,94			SLD/2	-3,04			SLD/2	-3,83
	X+	SLD/6	-2,59		X+	SLD/6	-1,94		X+	SLD/9	-2,12		X+	SLD/9	-2,60
	X-	SLD/13	-2,90		X-	SLD/13	-2,23		X-	SLD/18	-2,30		X-	SLD/18	-2,83
	Y+	SLD/29	-2,88		Y+	SLD/29	-2,20		Y+	SLD/28	-1,89		Y+	SLD/28	-2,60
	Y-	SLD/31	-2,63		Y-	SLD/31	-2,01		Y-	SLD/34	-2,43		Y-	SLD/34	-2,83
37		SLD/1	-3,79	38		SLD/1	-3,02	39		SLD/1	-3,03	40		SLD/1	-3,78
		SLD/2	-3,81			SLD/2	-3,04			SLD/2	-3,04			SLD/2	-3,80
	X+	SLD/9	-2,62		X+	SLD/9	-2,14		X+	SLD/9	-2,16		X+	SLD/9	-2,65
	X-	SLD/18	-2,79		X-	SLD/18	-2,27		X-	SLD/18	-2,24		X-	SLD/18	-2,75
	Y+	SLD/28	-2,58		Y+	SLD/28	-1,88		Y+	SLD/28	-1,88		Y+	SLD/28	-2,57
	Y-	SLD/34	-2,81		Y-	SLD/34	-2,41		Y-	SLD/34	-2,39		Y-	SLD/34	-2,79
41		SLD/1	-3,79	42		SLD/1	-3,81	43		SLD/1	-3,03	44		SLD/1	-3,78
		SLD/2	-3,81			SLD/2	-3,83			SLD/2	-3,04			SLD/2	-3,80
	X+	SLD/6	-2,62		X+	SLD/6	-2,60		X+	SLD/9	-2,19		X+	SLD/9	-2,68
	X-	SLD/13	-2,78		X-	SLD/13	-2,83		X-	SLD/18	-2,22		X-	SLD/18	-2,71
	Y+	SLD/29	-2,81		Y+	SLD/29	-2,83		Y+	SLD/28	-1,88		Y+	SLD/28	-2,56
	Y-	SLD/31	-2,58		Y-	SLD/31	-2,60		Y-	SLD/34	-2,38		Y-	SLD/34	-2,78
45		SLD/1	-3,78	46		SLD/1	-3,78	47		SLD/1	-3,03	48		SLD/1	-3,78
		SLD/2	-3,80			SLD/2	-3,80			SLD/2	-3,04			SLD/2	-3,80
	X+	SLD/6	-2,68		X+	SLD/6	-2,65		X+	SLD/8	-2,22		X+	SLD/8	-2,71
	X-	SLD/13	-2,71		X-	SLD/13	-2,75		X-	SLD/15	-2,19		X-	SLD/15	-2,68
	Y+	SLD/29	-2,78		Y+	SLD/29	-2,79		Y+	SLD/22	-1,88		Y+	SLD/22	-2,56
	Y-	SLD/31	-2,56		Y-	SLD/31	-2,57		Y-	SLD/24	-2,38		Y-	SLD/24	-2,78
49		SLD/1	-3,78	50		SLD/1	-3,03	51		SLD/1	-2,22	52		SLD/1	-3,03
		SLD/2	-3,80			SLD/2	-3,05			SLD/2	-2,23			SLD/2	-3,04
	X+	SLD/3	-2,71		X+	SLD/6	-2,09		X+	SLD/6	-1,51		X+	SLD/6	-2,12
	X-	SLD/12	-2,68		X-	SLD/13	-2,34		X-	SLD/13	-1,74		X-	SLD/13	-2,30
	Y+	SLD/19	-2,78		Y+	SLD/29	-2,45		Y+	SLD/29	-1,81		Y+	SLD/29	-2,43
	Y-	SLD/25	-2,56		Y-	SLD/31	-1,89		Y-	SLD/31	-1,38		Y-	SLD/31	-1,89
53		SLD/1	-3,02	54		SLD/1	-3,03	55		SLD/1	-3,03	56		SLD/1	-3,03
		SLD/2	-3,04			SLD/2	-3,04			SLD/2	-3,04			SLD/2	-3,04
	X+	SLD/6	-2,14		X+	SLD/6	-2,16		X+	SLD/6	-2,19		X+	SLD/3	-2,22
	X-	SLD/13	-2,27		X-	SLD/13	-2,24		X-	SLD/13	-2,22		X-	SLD/12	-2,19
	Y+	SLD/29	-2,41		Y+	SLD/29	-2,39		Y+	SLD/29	-2,38		Y+	SLD/19	-2,38
	Y-	SLD/31	-1,88		Y-	SLD/31	-1,88		Y-	SLD/31	-1,88		Y-	SLD/25	-1,88
57		SLD/1	-3,78	58		SLD/1	-3,03	59		SLD/1	-3,02	60		SLD/1	-3,79
		SLD/2	-3,80			SLD/2	-3,04			SLD/2	-3,04			SLD/2	-3,81
	X+	SLD/8	-2,75		X+	SLD/8	-2,24		X+	SLD/8	-2,27		X+	SLD/8	-2,79
	X-	SLD/15	-2,65		X-	SLD/15	-2,16		X-	SLD/15	-2,14		X-	SLD/15	-2,62
	Y+	SLD/22	-2,57		Y+	SLD/22	-1,88		Y+	SLD/22	-1,88		Y+	SLD/22	-2,58
	Y-	SLD/24	-2,79		Y-	SLD/24	-2,39		Y-	SLD/24	-2,41		Y-	SLD/24	-2,81
61		SLD/1	-3,78	62		SLD/1	-3,03	63		SLD/1	-3,81	64		SLD/1	-3,81
		SLD/2	-3,80			SLD/2	-3,04			SLD/2	-3,83			SLD/2	-3,83
	X+	SLD/3	-2,75		X+	SLD/8	-2,30		X+	SLD/8	-2,83		X+	SLD/3	-2,83
	X-	SLD/12	-2,65		X-	SLD/15	-2,12		X-	SLD/15	-2,60		X-	SLD/12	-2,60
	Y+	SLD/19	-2,79		Y+	SLD/22	-1,89		Y+	SLD/22	-2,60		Y+	SLD/19	-2,83
	Y-	SLD/25	-2,57		Y-	SLD/24	-2,43		Y-	SLD/24	-2,83		Y-	SLD/25	-2,60
65		SLD/1	-3,79	66		SLD/1	-3,03	67		SLD/1	-3,85	68		SLD/1	-3,26
		SLD/2	-3,81			SLD/2	-3,05			SLD/2	-3,87			SLD/2	-3,27
	X+	SLD/3	-2,79		X+	SLD/8	-2,34		X+	SLD/8	-2,90		X+	SLD/8	-2,49
	X-	SLD/12	-2,62		X-	SLD/15	-2,09		X-	SLD/15	-2,59		X-	SLD/15	-2,16
	Y+	SLD/19	-2,81		Y+	SLD/22	-1,89		Y+	SLD/22	-2,63		Y+	SLD/22	-2,23
	Y-	SLD/25	-2,58		Y-	SLD/24	-2,45		Y-	SLD/24	-2,88		Y-	SLD/24	-2,45
69		SLD/1	-2,22	70		SLD/1	-2,93	71		SLD/1	-3,85	72		SLD/1	-3,03
		SLD/2	-2,23			SLD/2	-2,94			SLD/2	-3,87			SLD/2	-3,04

RISULTANTI SOLLECITAZIONI NODI PLATEE - SLD

Nod3d N.ro	Combinazione N.ro		Fz (t)	Nod3d N.ro	Combinazione N.ro		Fz (t)	Nod3d N.ro	Combinazione N.ro		Fz (t)	Nod3d N.ro	Combinazione N.ro		Fz (t)
	X+	SLD/8	-1,74		X+	SLD/3	-2,23		X+	SLD/3	-2,90		X+	SLD/3	-2,24
	X-	SLD/15	-1,51		X-	SLD/12	-1,94		X-	SLD/12	-2,59		X-	SLD/12	-2,16
	Y+	SLD/22	-1,38		Y+	SLD/19	-2,20		Y+	SLD/19	-2,88		Y+	SLD/19	-2,39
	Y-	SLD/24	-1,81		Y-	SLD/25	-2,01		Y-	SLD/25	-2,63		Y-	SLD/25	-1,88
73		SLD/1	-3,02	74		SLD/1	-3,03	75		SLD/1	-3,03	76		SLD/1	-2,22
		SLD/2	-3,04			SLD/2	-3,04			SLD/2	-3,05			SLD/2	-2,23
	X+	SLD/3	-2,27		X+	SLD/3	-2,30		X+	SLD/3	-2,34		X+	SLD/3	-1,74
	X-	SLD/12	-2,14		X-	SLD/12	-2,12		X-	SLD/12	-2,09		X-	SLD/12	-1,51
	Y+	SLD/19	-2,41		Y+	SLD/19	-2,43		Y+	SLD/19	-2,45		Y+	SLD/19	-1,81
	Y-	SLD/25	-1,88		Y-	SLD/25	-1,89		Y-	SLD/25	-1,89		Y-	SLD/25	-1,38
77		SLD/1	-1,09	78		SLD/1	-1,08	79		SLD/1	-1,11	80		SLD/1	-1,10
		SLD/2	-1,10			SLD/2	-1,08			SLD/2	-1,12			SLD/2	-1,11
	X+	SLD/9	-0,77		X+	SLD/9	-0,76		X+	SLD/9	-0,80		X+	SLD/9	-0,79
	X-	SLD/18	-0,86		X-	SLD/18	-0,86		X-	SLD/18	-0,85		X-	SLD/18	-0,86
	Y+	SLD/28	-0,62		Y+	SLD/28	-0,60		Y+	SLD/28	-0,63		Y+	SLD/28	-0,62
	Y-	SLD/34	-0,95		Y-	SLD/34	-0,95		Y-	SLD/34	-0,94		Y-	SLD/34	-0,94
81		SLD/1	-1,11	82		SLD/1	-1,11	83		SLD/1	-1,09	84		SLD/1	-1,08
		SLD/2	-1,12			SLD/2	-1,12			SLD/2	-1,10			SLD/2	-1,08
	X+	SLD/9	-0,82		X+	SLD/9	-0,81		X+	SLD/6	-0,77		X+	SLD/6	-0,76
	X-	SLD/18	-0,83		X-	SLD/18	-0,84		X-	SLD/13	-0,86		X-	SLD/13	-0,86
	Y+	SLD/28	-0,63		Y+	SLD/28	-0,63		Y+	SLD/29	-0,95		Y+	SLD/29	-0,95
	Y-	SLD/34	-0,93		Y-	SLD/34	-0,94		Y-	SLD/31	-0,62		Y-	SLD/31	-0,60
85		SLD/1	-1,10	86		SLD/1	-1,11	87		SLD/1	-1,11	88		SLD/1	-1,11
		SLD/2	-1,11			SLD/2	-1,12			SLD/2	-1,12			SLD/2	-1,12
	X+	SLD/6	-0,79		X+	SLD/6	-0,80		X+	SLD/6	-0,82		X+	SLD/6	-0,81
	X-	SLD/13	-0,86		X-	SLD/13	-0,85		X-	SLD/13	-0,83		X-	SLD/13	-0,84
	Y+	SLD/29	-0,94		Y+	SLD/29	-0,94		Y+	SLD/29	-0,93		Y+	SLD/29	-0,94
	Y-	SLD/31	-0,62		Y-	SLD/31	-0,63		Y-	SLD/31	-0,63		Y-	SLD/31	-0,63
89		SLD/1	-1,10	90		SLD/1	-1,11	91		SLD/1	-1,08	92		SLD/1	-1,09
		SLD/2	-1,11			SLD/2	-1,12			SLD/2	-1,08			SLD/2	-1,10
	X+	SLD/8	-0,86		X+	SLD/8	-0,85		X+	SLD/8	-0,86		X+	SLD/8	-0,86
	X-	SLD/15	-0,79		X-	SLD/15	-0,80		X-	SLD/15	-0,76		X-	SLD/15	-0,77
	Y+	SLD/22	-0,62		Y+	SLD/22	-0,63		Y+	SLD/22	-0,60		Y+	SLD/22	-0,62
	Y-	SLD/24	-0,94		Y-	SLD/24	-0,94		Y-	SLD/24	-0,95		Y-	SLD/24	-0,95
93		SLD/1	-1,11	94		SLD/1	-1,11	95		SLD/1	-1,11	96		SLD/1	-1,10
		SLD/2	-1,12			SLD/2	-1,12			SLD/2	-1,12			SLD/2	-1,11
	X+	SLD/3	-0,84		X+	SLD/3	-0,83		X+	SLD/3	-0,85		X+	SLD/3	-0,86
	X-	SLD/12	-0,81		X-	SLD/12	-0,82		X-	SLD/12	-0,80		X-	SLD/12	-0,79
	Y+	SLD/19	-0,94		Y+	SLD/19	-0,93		Y+	SLD/19	-0,94		Y+	SLD/19	-0,94
	Y-	SLD/25	-0,63		Y-	SLD/25	-0,63		Y-	SLD/25	-0,63		Y-	SLD/25	-0,62
97		SLD/1	-1,09	98		SLD/1	-1,08	99		SLD/1	-1,11	100		SLD/1	-1,11
		SLD/2	-1,10			SLD/2	-1,08			SLD/2	-1,12			SLD/2	-1,12
	X+	SLD/3	-0,86		X+	SLD/3	-0,86		X+	SLD/8	-0,83		X+	SLD/8	-0,84
	X-	SLD/12	-0,77		X-	SLD/12	-0,76		X-	SLD/15	-0,82		X-	SLD/15	-0,81
	Y+	SLD/19	-0,95		Y+	SLD/19	-0,95		Y+	SLD/22	-0,63		Y+	SLD/22	-0,63
	Y-	SLD/25	-0,62		Y-	SLD/25	-0,60		Y-	SLD/24	-0,93		Y-	SLD/24	-0,94
101		SLD/1	-0,99	102		SLD/1	-0,82	103		SLD/1	-0,82	104		SLD/1	-0,99
		SLD/2	-0,99			SLD/2	-0,83			SLD/2	-0,83			SLD/2	-0,99
	X+	SLD/9	-0,66		X+	SLD/9	-0,54		X+	SLD/6	-0,54		X+	SLD/6	-0,66
	X-	SLD/18	-0,78		X-	SLD/18	-0,63		X-	SLD/13	-0,63		X-	SLD/13	-0,78
	Y+	SLD/28	-0,61		Y+	SLD/28	-0,56		Y+	SLD/29	-0,62		Y+	SLD/29	-0,81
	Y-	SLD/34	-0,81		Y-	SLD/34	-0,62		Y-	SLD/31	-0,56		Y-	SLD/31	-0,61
105		SLD/1	-0,99	106		SLD/1	-0,99	107		SLD/1	-0,99	108		SLD/1	-0,82
		SLD/2	-0,99			SLD/2	-0,99			SLD/2	-0,99			SLD/2	-0,83
	X+	SLD/8	-0,78		X+	SLD/8	-0,76		X+	SLD/3	-0,76		X+	SLD/3	-0,65
	X-	SLD/15	-0,66		X-	SLD/15	-0,64		X-	SLD/12	-0,64		X-	SLD/12	-0,55
	Y+	SLD/22	-0,61		Y+	SLD/22	-0,68		Y+	SLD/19	-0,74		Y+	SLD/19	-0,68
	Y-	SLD/24	-0,81		Y-	SLD/24	-0,74		Y-	SLD/25	-0,68		Y-	SLD/25	-0,51

PARAMETRI GEOTECNICI PIASTRE WINKLER - S.L.U.

IDENTIFICATIVO				CONDIZIONE DRENATA							NON DRENATA	
Piast N.ro	Infiss m	Tipo Tabel	Gamma kg/mc	Fi' Grd	C' kg/cmq	Mod.El kg/cmq	Poiss on	P base kg/cmq	Indice Rigid.	IndRig Crit.	Cu kg/cmq	P base kg/cmq
1	0,40	M1	1900	26,00	0,15	40,00	0,20	0,08	74,11	47,84		
2	0,40	M1	1900	26,00	0,15	40,00	0,20	0,08	73,73	47,84		
3	0,40	M1	1900	26,00	0,15	40,00	0,20	0,08	73,01	47,84		
4	0,40	M1	1900	26,00	0,15	40,00	0,20	0,08	73,73	47,84		
5	0,40	M1	1900	26,00	0,15	40,00	0,20	0,08	80,04	47,84		
6	0,40	M1	1900	26,00	0,15	40,00	0,20	0,08	80,04	47,84		

PARAMETRI GEOTECNICI PIASTRE WINKLER - S.L.U.												
IDENTIFICATIVO				CONDIZIONE DRENATA							NON DRENATA	
Piast N.ro	Infiss m	Tipo Tabel	Gamma kg/mc	Fi' Grd	C' kg/cmq	Mod.El kg/cmq	Poiss on	P base kg/cmq	Indice Rigid.	IndRig Crit.	Cu kg/cmq	P base kg/cmq
7	0,40	M1	1900	26,00	0,15	40,00	0,20	0,08	80,91	47,84		
8	0,40	M1	1900	26,00	0,15	40,00	0,20	0,08	80,04	47,84		
9	0,40	M1	1900	26,00	0,15	40,00	0,20	0,08	72,02	47,84		
10	0,40	M1	1900	26,00	0,15	40,00	0,20	0,08	72,02	47,84		
11	0,40	M1	1900	26,00	0,15	40,00	0,20	0,08	72,02	47,84		
12	0,40	M1	1900	26,00	0,15	40,00	0,20	0,08	72,02	47,84		
13	0,40	M1	1900	26,00	0,15	40,00	0,20	0,08	72,02	47,84		
14	0,40	M1	1900	26,00	0,15	40,00	0,20	0,08	72,02	47,84		
15	0,40	M1	1900	26,00	0,15	40,00	0,20	0,08	72,02	47,84		
16	0,40	M1	1900	26,00	0,15	40,00	0,20	0,08	72,02	47,84		
17	0,40	M1	1900	26,00	0,15	40,00	0,20	0,08	72,02	47,84		
18	0,40	M1	1900	26,00	0,15	40,00	0,20	0,08	72,02	47,84		
19	0,40	M1	1900	26,00	0,15	40,00	0,20	0,08	76,30	47,84		
20	0,40	M1	1900	26,00	0,15	40,00	0,20	0,08	76,30	47,84		
21	0,40	M1	1900	26,00	0,15	40,00	0,20	0,08	75,82	47,84		
22	0,40	M1	1900	26,00	0,15	40,00	0,20	0,08	75,82	47,84		
23	0,40	M1	1900	26,00	0,15	40,00	0,20	0,08	74,92	47,84		
24	0,40	M1	1900	26,00	0,15	40,00	0,20	0,08	76,30	47,84		
25	0,40	M1	1900	26,00	0,15	40,00	0,20	0,08	74,30	47,84		
26	0,40	M1	1900	26,00	0,15	40,00	0,20	0,08	73,18	47,84		
27	0,40	M1	1900	26,00	0,15	40,00	0,20	0,08	71,41	47,84		
28	0,40	M1	1900	26,00	0,15	40,00	0,20	0,08	73,36	47,84		
29	0,40	M1	1900	26,00	0,15	40,00	0,20	0,08	71,41	47,84		
30	0,40	M1	1900	26,00	0,15	40,00	0,20	0,08	73,36	47,84		
31	0,40	M1	1900	26,00	0,15	40,00	0,20	0,08	73,18	47,84		
32	0,40	M1	1900	26,00	0,15	40,00	0,20	0,08	71,41	47,84		
33	0,40	M1	1900	26,00	0,15	40,00	0,20	0,08	71,41	47,84		
34	0,40	M1	1900	26,00	0,15	40,00	0,20	0,08	73,18	47,84		
35	0,40	M1	1900	26,00	0,15	40,00	0,20	0,08	73,18	47,84		
36	0,40	M1	1900	26,00	0,15	40,00	0,20	0,08	71,41	47,84		
37	0,40	M1	1900	26,00	0,15	40,00	0,20	0,08	71,41	47,84		
38	0,40	M1	1900	26,00	0,15	40,00	0,20	0,08	71,41	47,84		
39	0,40	M1	1900	26,00	0,15	40,00	0,20	0,08	73,18	47,84		
40	0,40	M1	1900	26,00	0,15	40,00	0,20	0,08	71,41	47,84		

PARAMETRI GEOTECNICI PIASTRE WINKLER - S.L.U.												
IDENTIFICATIVO				CONDIZIONE DRENATA							NON DRENATA	
Piast N.ro	Infiss m	Tipo Tabel	Gamma kg/mc	Fi' Grd	C' kg/cmq	Mod.El kg/cmq	Poiss on	P base kg/cmq	Indice Rigid.	IndRig Crit.	Cu kg/cmq	P base kg/cmq
41	0,40	M1	1900	26,00	0,15	40,00	0,20	0,08	71,41	47,84		
42	0,40	M1	1900	26,00	0,15	40,00	0,20	0,08	71,41	47,84		
43	0,40	M1	1900	26,00	0,15	40,00	0,20	0,08	73,18	47,84		
44	0,40	M1	1900	26,00	0,15	40,00	0,20	0,08	71,41	47,84		
45	0,40	M1	1900	26,00	0,15	40,00	0,20	0,08	71,41	47,84		
46	0,40	M1	1900	26,00	0,15	40,00	0,20	0,08	73,18	47,84		
47	0,40	M1	1900	26,00	0,15	40,00	0,20	0,08	75,14	47,84		
48	0,40	M1	1900	26,00	0,15	40,00	0,20	0,08	73,18	47,84		
49	0,40	M1	1900	26,00	0,15	40,00	0,20	0,08	73,18	47,84		
50	0,40	M1	1900	26,00	0,15	40,00	0,20	0,08	73,18	47,84		
51	0,40	M1	1900	26,00	0,15	40,00	0,20	0,08	73,18	47,84		
52	0,40	M1	1900	26,00	0,15	40,00	0,20	0,08	73,18	47,84		
53	0,40	M1	1900	26,00	0,15	40,00	0,20	0,08	71,41	47,84		
54	0,40	M1	1900	26,00	0,15	40,00	0,20	0,08	73,18	47,84		
55	0,40	M1	1900	26,00	0,15	40,00	0,20	0,08	73,18	47,84		
56	0,40	M1	1900	26,00	0,15	40,00	0,20	0,08	71,41	47,84		
57	0,40	M1	1900	26,00	0,15	40,00	0,20	0,08	71,41	47,84		
58	0,40	M1	1900	26,00	0,15	40,00	0,20	0,08	73,18	47,84		
59	0,40	M1	1900	26,00	0,15	40,00	0,20	0,08	71,41	47,84		
60	0,40	M1	1900	26,00	0,15	40,00	0,20	0,08	71,41	47,84		
61	0,40	M1	1900	26,00	0,15	40,00	0,20	0,08	71,41	47,84		
62	0,40	M1	1900	26,00	0,15	40,00	0,20	0,08	73,18	47,84		
63	0,40	M1	1900	26,00	0,15	40,00	0,20	0,08	71,41	47,84		
64	0,40	M1	1900	26,00	0,15	40,00	0,20	0,08	72,66	47,84		
65	0,40	M1	1900	26,00	0,15	40,00	0,20	0,08	75,14	47,84		
66	0,40	M1	1900	26,00	0,15	40,00	0,20	0,08	73,36	47,84		
67	0,40	M1	1900	26,00	0,15	40,00	0,20	0,08	71,41	47,84		
68	0,40	M1	1900	26,00	0,15	40,00	0,20	0,08	73,18	47,84		
69	0,40	M1	1900	26,00	0,15	40,00	0,20	0,08	73,18	47,84		
70	0,40	M1	1900	26,00	0,15	40,00	0,20	0,08	73,18	47,84		
71	0,40	M1	1900	26,00	0,15	40,00	0,20	0,08	73,18	47,84		
72	0,40	M1	1900	26,00	0,15	40,00	0,20	0,08	75,14	47,84		
73	0,40	M1	1900	26,00	0,15	40,00	0,20	0,08	78,92	47,84		
74	0,40	M1	1900	26,00	0,15	40,00	0,20	0,08	78,92	47,84		

PARAMETRI GEOTECNICI PIASTRE WINKLER - S.L.U.

IDENTIFICATIVO				CONDIZIONE DRENATA							NON DRENATA	
Piast N.ro	Infiss m	Tipo Tabel	Gamma kg/mc	Fi' Grd	C' kg/cmq	Mod.El kg/cmq	Poiss on	P base kg/cmq	Indice Rigid.	IndRig Crit.	Cu kg/cmq	P base kg/cmq
75	0,40	M1	1900	26,00	0,15	40,00	0,20	0,08	78,92	47,84		
76	0,40	M1	1900	26,00	0,15	40,00	0,20	0,08	78,92	47,84		
77	0,40	M1	1900	26,00	0,15	40,00	0,20	0,08	78,92	47,84		
78	0,40	M1	1900	26,00	0,15	40,00	0,20	0,08	78,92	47,84		
79	0,40	M1	1900	26,00	0,15	40,00	0,20	0,08	78,92	47,84		
80	0,40	M1	1900	26,00	0,15	40,00	0,20	0,08	78,92	47,84		
81	0,40	M1	1900	26,00	0,15	40,00	0,20	0,08	78,92	47,84		
82	0,40	M1	1900	26,00	0,15	40,00	0,20	0,08	78,92	47,84		
83	0,40	M1	1900	26,00	0,15	40,00	0,20	0,08	78,92	47,84		
84	0,40	M1	1900	26,00	0,15	40,00	0,20	0,08	78,92	47,84		
85	0,40	M1	1900	26,00	0,15	40,00	0,20	0,08	78,92	47,84		
86	0,40	M1	1900	26,00	0,15	40,00	0,20	0,08	78,92	47,84		
87	0,40	M1	1900	26,00	0,15	40,00	0,20	0,08	78,92	47,84		
88	0,40	M1	1900	26,00	0,15	40,00	0,20	0,08	78,92	47,84		
89	0,40	M1	1900	26,00	0,15	40,00	0,20	0,08	78,92	47,84		
90	0,40	M1	1900	26,00	0,15	40,00	0,20	0,08	78,92	47,84		
91	0,40	M1	1900	26,00	0,15	40,00	0,20	0,08	78,92	47,84		
92	0,40	M1	1900	26,00	0,15	40,00	0,20	0,08	78,92	47,84		
93	0,40	M1	1900	26,00	0,15	40,00	0,20	0,08	78,92	47,84		
94	0,40	M1	1900	26,00	0,15	40,00	0,20	0,08	78,92	47,84		
95	0,40	M1	1900	26,00	0,15	40,00	0,20	0,08	78,92	47,84		
96	0,40	M1	1900	26,00	0,15	40,00	0,20	0,08	78,92	47,84		
97	0,40	M1	1900	26,00	0,15	40,00	0,20	0,08	79,28	47,84		
98	0,40	M1	1900	26,00	0,15	40,00	0,20	0,08	80,04	47,84		
99	0,40	M1	1900	26,00	0,15	40,00	0,20	0,08	80,04	47,84		
100	0,40	M1	1900	26,00	0,15	40,00	0,20	0,08	79,28	47,84		
101	0,40	M1	1900	26,00	0,15	40,00	0,20	0,08	79,28	47,84		
102	0,40	M1	1900	26,00	0,15	40,00	0,20	0,08	79,28	47,84		
103	0,40	M1	1900	26,00	0,15	40,00	0,20	0,08	79,28	47,84		
104	0,40	M1	1900	26,00	0,15	40,00	0,20	0,08	80,04	47,84		

COEFFICIENTI DI PORTANZA PIASTRE WINKLER - CONDIZIONI DRENATE - S.L.U.

Piast	Brinch Hansen			IclTe	Incl.PianoPosa			Comb		Igk	CoeffIncl.Car.			Affondamento			Forma			Punzonamento		
Nro	Nc	Nq	Ng	Gc=Gq	Bc	Bq	Bg		N.ro	Sism	IcV	IqV	IgV	Dc	Dq	Dg	Sc	Sq	Sg	Psic	Psiq	Psig
1	22,25	11,85	12,54	1,00	1,00	1,00	1,00		A1/1	1,00	1,00	1,00	1,00	1,16	1,15	1,00	1,53	1,49	0,60	1,00	1,00	1,00
									A1/2	1,00	1,00	1,00	1,00	1,16	1,15	1,00	1,53	1,49	0,60	1,00	1,00	1,00
								X+	A1/9	1,00	0,84	0,86	0,77	1,16	1,15	1,00	1,53	1,49	0,60	1,00	1,00	1,00
								X-	A1/18	1,00	0,82	0,84	0,74	1,16	1,15	1,00	1,53	1,49	0,60	1,00	1,00	1,00
								Y+	A1/28	1,00	0,86	0,88	0,80	1,16	1,15	1,00	1,53	1,49	0,60	1,00	1,00	1,00
								Y-	A1/34	1,00	0,81	0,83	0,73	1,16	1,15	1,00	1,53	1,49	0,60	1,00	1,00	1,00

COEFFICIENTI DI PORTANZA PIASTRE WINKLER - CONDIZIONI DRENATE - S.L.U.

Piast	Brinch Hansen			IclTe	Incl.PianoPosa			Comb		Igk	CoeffIncl.Car.			Affondamento			Forma			Punzonamento		
Nro	Nc	Nq	Ng	Gc=Gq	Bc	Bq	Bg		N.ro	Sism	IcV	IqV	IgV	Dc	Dq	Dg	Sc	Sq	Sg	Psic	Psiq	Psig
2	22,25	11,85	12,54	1,00	1,00	1,00	1,00		A1/1	1,00	1,00	1,00	1,00	1,16	1,15	1,00	1,53	1,49	0,60	1,00	1,00	1,00
									A1/2	1,00	1,00	1,00	1,00	1,16	1,15	1,00	1,53	1,49	0,60	1,00	1,00	1,00
								X+	A1/8	1,00	0,82	0,84	0,74	1,16	1,15	1,00	1,53	1,49	0,60	1,00	1,00	1,00
								X-	A1/15	1,00	0,84	0,86	0,77	1,16	1,15	1,00	1,53	1,49	0,60	1,00	1,00	1,00
								Y+	A1/22	1,00	0,86	0,88	0,80	1,16	1,15	1,00	1,53	1,49	0,60	1,00	1,00	1,00
								Y-	A1/24	1,00	0,81	0,83	0,73	1,16	1,15	1,00	1,53	1,49	0,60	1,00	1,00	1,00
3	22,25	11,85	12,54	1,00	1,00	1,00	1,00		A1/1	1,00	1,00	1,00	1,00	1,15	1,14	1,00	1,53	1,49	0,60	1,00	1,00	1,00
									A1/2	1,00	1,00	1,00	1,00	1,15	1,14	1,00	1,53	1,49	0,60	1,00	1,00	1,00
								X+	A1/3	1,00	0,82	0,84	0,74	1,15	1,14	1,00	1,53	1,49	0,60	1,00	1,00	1,00
								X-	A1/12	1,00	0,84	0,86	0,77	1,15	1,14	1,00	1,53	1,49	0,60	1,00	1,00	1,00
								Y+	A1/19	1,00	0,81	0,83	0,73	1,15	1,14	1,00	1,53	1,49	0,60	1,00	1,00	1,00
								Y-	A1/25	1,00	0,86	0,88	0,80	1,15	1,14	1,00	1,53	1,49	0,60	1,00	1,00	1,00
4	22,25	11,85	12,54	1,00	1,00	1,00	1,00		A1/1	1,00	1,00	1,00	1,00	1,16	1,15	1,00	1,53	1,49	0,60	1,00	1,00	1,00
									A1/2	1,00	1,00	1,00	1,00	1,16	1,15	1,00	1,53	1,49	0,60	1,00	1,00	1,00
								X+	A1/6	1,00	0,84	0,86	0,77	1,16	1,15	1,00	1,53	1,49	0,60	1,00	1,00	1,00
								X-	A1/13	1,00	0,82	0,84	0,74	1,16	1,15	1,00	1,53	1,49	0,60	1,00	1,00	1,00
								Y+	A1/29	1,00	0,81	0,83	0,73	1,16	1,15	1,00	1,53	1,49	0,60	1,00	1,00	1,00
								Y-	A1/31	1,00	0,86	0,88	0,80	1,16	1,15	1,00	1,53	1,49	0,60	1,00	1,00	1,00
5	22,25	11,85	12,54	1,00	1,00	1,00	1,00		A1/1	1,00	1,00	1,00	1,00	1,29	1,27	1,00	1,53	1,49	0,60	1,00	1,00	1,00
									A1/2	1,00	1,00	1,00	1,00	1,29	1,27	1,00	1,53	1,49	0,60	1,00	1,00	1,00
								X+	A1/9	1,00	0,84	0,86	0,77	1,29	1,27	1,00	1,53	1,49	0,60	1,00	1,00	1,00
								X-	A1/18	1,00	0,82	0,84	0,74	1,29	1,27	1,00	1,53	1,49	0,60	1,00	1,00	1,00
								Y+	A1/28	1,00	0,87	0,88	0,81	1,29	1,27	1,00	1,53	1,49	0,60	1,00	1,00	1,00
								Y-	A1/34	1,00	0,80	0,82	0,72	1,29	1,27	1,00	1,53	1,49	0,60	1,00	1,00	1,00
6	22,25	11,85	12,54	1,00	1,00	1,00	1,00		A1/1	1,00	1,00	1,00	1,00	1,29	1,27	1,00	1,53	1,49	0,60	1,00	1,00	1,00
									A1/2	1,00	1,00	1,00	1,00	1,29	1,27	1,00	1,53	1,49	0,60	1,00	1,00	1,00
								X+	A1/8	1,00	0,82	0,84	0,74	1,29	1,27	1,00	1,53	1,49	0,60	1,00	1,00	1,00
								X-	A1/15	1,00	0,84	0,86	0,77	1,29	1,27	1,00	1,53	1,49	0,60	1,00	1,00	1,00
								Y+	A1/22	1,00	0,87	0,88	0,81	1,29	1,27	1,00	1,53	1,49	0,60	1,00	1,00	1,00
								Y-	A1/24	1,00	0,80	0,82	0,72	1,29	1,27	1,00	1,53	1,49	0,60	1,00	1,00	1,00
7	22,25	11,85	12,54	1,00	1,00	1,00	1,00		A1/1	1,00	1,00	1,00	1,00	1,33	1,30	1,00	1,53	1,49	0,60	1,00	1,00	1,00
									A1/2	1,00	1,00	1,00	1,00	1,33	1,30	1,00	1,53	1,49	0,60	1,00	1,00	1,00
								X+	A1/3	1,00	0,82	0,84	0,74	1,33	1,30	1,00	1,53	1,49	0,60	1,00	1,00	1,00
								X-	A1/12	1,00	0,84	0,86	0,77	1,33	1,30	1,00	1,53	1,49	0,60	1,00	1,00	1,00
								Y+	A1/19	1,00	0,80	0,82	0,72	1,33	1,30	1,00	1,53	1,49	0,60	1,00	1,00	1,00
								Y-	A1/25	1,00	0,87	0,88	0,81	1,33	1,30	1,00	1,53	1,49	0,60	1,00	1,00	1,00
8	22,25	11,85	12,54	1,00	1,00	1,00	1,00		A1/1	1,00	1,00	1,00	1,00	1,29	1,27	1,00	1,53	1,49	0,60	1,00	1,00	1,00
									A1/2	1,00	1,00	1,00	1,00	1,29	1,27	1,00	1,53	1,49	0,60	1,00	1,00	1,00
								X+	A1/6	1,00	0,84	0,86	0,77	1,29	1,27	1,00	1,53	1,49	0,60	1,00	1,00	1,00
								X-	A1/13	1,00	0,82	0,84	0,74	1,29	1,27	1,00	1,53	1,49	0,60	1,00	1,00	1,00
								Y+	A1/29	1,00	0,80	0,82	0,72	1,29	1,27	1,00	1,53	1,49	0,60	1,00	1,00	1,00
								Y-	A1/31	1,00	0,87	0,88	0,81	1,29	1,27	1,00	1,53	1,49	0,60	1,00	1,00	1,00
9	22,25	11,85	12,54	1,00	1,00	1,00	1,00		A1/1	1,00	1,00	1,00	1,00	1,14	1,13	1,00	1,53	1,49	0,60	1,00	1,00	1,00
									A1/2	1,00	1,00	1,00	1,00	1,14	1,13	1,00	1,53	1,49	0,60	1,00	1,00	1,00
								X+	A1/9	1,00	0,84	0,85	0,77	1,14	1,13	1,00	1,53	1,49	0,60	1,00	1,00	1,00
								X-	A1/18	1,00	0,83	0,84	0,75	1,14	1,13	1,00	1,53	1,49	0,60	1,00	1,00	1,00
								Y+	A1/28	1,00	0,86	0,87	0,80	1,14	1,13	1,00	1,53	1,49	0,60	1,00	1,00	1,00
								Y-	A1/34	1,00	0,81	0,83	0,73	1,14	1,13	1,00	1,53	1,49	0,60	1,00	1,00	1,00
10	22,25	11,85	12,54	1,00	1,00	1,00	1,00		A1/1	1,00	1,00	1,00	1,00	1,14	1,13	1,00	1,53	1,49	0,60	1,00	1,00	1,00
									A1/2	1,00	1,00	1,00	1,00	1,14	1,13	1,00	1,53	1,49	0,60	1,00	1,00	1,00
								X+	A1/9	1,00	0,84	0,85	0,76	1,14	1,13	1,00	1,53	1,49	0,60	1,00	1,00	1,00
								X-	A1/18	1,00	0,83	0,84	0,75	1,14	1,13	1,00	1,53	1,49	0,60	1,00	1,00	1,00
								Y+	A1/28	1,00	0,86	0,87	0,80	1,14	1,13	1,00	1,53	1,49	0,60	1,00	1,00	1,00
								Y-	A1/34	1,00	0,81	0,83	0,73	1,14	1,13	1,00	1,53	1,49	0,60	1,00	1,00	1,00
11	22,25	11,85	12,54	1,00	1,00	1,00	1,00		A1/1	1,00	1,00	1,00	1,00	1,14	1,13	1,00	1,53	1,49	0,60	1,00	1,00	1,00
									A1/2	1,00	1,00	1,00	1,00	1,14	1,13	1,00	1,53	1,49	0,60	1,00	1,00	1,00
								X+	A1/9	1,00	0,83	0,85	0,76	1,14	1,13	1,00	1,53	1,49	0,60	1,00	1,00	1,00
								X-	A1/18	1,00	0,83	0,85	0,76	1,14	1,13	1,00	1,53	1,49	0,60	1,00	1,00	1,00
								Y+	A1/19	1,00	0,86	0,87	0,80	1,14	1,13	1,00	1,53	1,49	0,60	1,00	1,00	1,00
								Y-	A1/25	1,00	0,81	0,83	0,73	1,14	1,13	1,00	1,53	1,49	0,60	1,00	1,00	1,00
12	22,25	11,85	12,54	1,00	1,00	1,00	1,00		A1/1	1,00	1,00	1,00	1,00	1,14	1,13	1,00	1,53	1,49	0,60	1,00	1,00	1,00
									A1/2	1,00	1,00	1,00	1,00	1,14	1,13	1,00	1,53	1,49	0,60	1,00	1,00	1,00
								X+	A1/8	1,00	0,83	0,84	0,75	1,14	1,13	1,00	1,53	1,49	0,60	1,00	1,00	1,00
								X-	A1/15	1,00	0,84	0,85	0,76	1,14	1,13	1,00	1,53	1,49	0,60	1,00	1,00	1,00
								Y+	A1/22	1,00	0,86	0,87	0,80	1,14	1,13	1,00	1,53	1,49	0,60	1,00	1,00	1,00
								Y-	A1/24	1,00	0,81	0,83	0,73	1,14	1,13	1,00	1,53	1,49	0,60	1,00	1,00	1,00
13	22,25	11,85	12,54	1,00	1,00	1,00	1,00		A1/1	1,00	1,00	1,00	1,00	1,14	1,13	1,00	1,53	1,49	0,60	1,00	1,00	1,00
									A1/2	1,00	1,00	1,00	1,00	1,14	1,13	1,00	1,53	1,49	0,60	1,00	1,00	1,00
								X+	A1/8	1,00	0,83	0,84	0,75	1,14	1,13	1,00	1,53	1,49	0,60	1,00	1,00	1,00
								X-	A1/15	1,00	0,84	0,85	0,77	1,14	1,13	1,00	1,53	1,49	0,60	1,00	1,00	1,00
								Y+	A1/22	1,00	0,86	0,87	0,80	1,14	1,13	1,00	1,53	1,49	0,60	1,00	1,00	1,00
								Y-	A1/24	1,00	0,81	0,83	0,73	1,14	1,13	1,00	1,53	1,49	0,60	1,00	1,00	1,00
14	22,25	11,85	12,54	1,00	1,00	1,00	1,00		A1/1	1,00	1,00	1,00	1,00	1,14	1,13	1,00	1,53	1,49	0,60	1,00	1,00	1,00
									A1/2	1,00	1,00	1,00	1,00	1,14	1,13	1,00	1,53	1,49	0,60	1,00	1,00	1,00
								X+	A1/3	1,00	0,83	0,84	0,75	1,14	1,13	1,00	1,53	1,49	0,60	1,00	1,00	1,00
								X-	A1/12	1,00	0,84	0,85	0,77	1,14	1,13	1,00	1,53	1,49	0,60	1,00	1,00	1,00
								Y+	A1/19	1,00	0,81	0,83	0,73	1,14	1,13	1,00	1,53	1,49	0,60	1,00	1,00	1,00
								Y-	A1/25	1,00	0,86	0,87	0,80	1,14	1,13	1,00	1,53	1,49	0,60	1,00	1,00	1,00
15	22,25	11,85	12,54	1,00	1,00	1,00	1,00		A1/1	1,00	1,00	1,00	1,00	1,14	1,13	1,00	1,53	1,49	0,60	1,00	1,00	1,00
									A1/2	1,00	1,00	1,00	1,00	1,14	1,13	1,00	1,53	1,49	0,60	1,00	1,00	1,00
								X+	A1/3	1,00	0,83	0,84	0,75	1,14	1,13	1,00	1,53	1,49	0,60	1,00	1,00	1,00
								X-	A1/12	1,00	0,84	0,85	0,76	1,14	1,13	1,00	1,53	1,49	0,60	1,00	1,00	1,00
								Y+	A1/19	1,00	0,81	0,83	0,73	1,14	1,13	1,00	1,53	1,49	0,60	1,00	1,00	1,00
								Y-	A1/25	1,00	0,86	0,87	0,80	1,14	1,13	1,00	1,53	1,49	0,60	1,00	1,00	1,00

COEFFICIENTI DI PORTANZA PIASTRE WINKLER - CONDIZIONI DRENATE - S.L.U.

Piast	Brinch Hansen			IclTe	Incl.PianoPosa			Comb		Igk	CoeffIncl.Car.			Affondamento			Forma			Punzonamento		
Nro	Nc	Nq	Ng	Gc=Gq	Bc	Bq	Bg		N.ro	Sism	IcV	IqV	IgV	Dc	Dq	Dg	Sc	Sq	Sg	Psic	Psiq	Psig
16	22,25	11,85	12,54	1,00	1,00	1,00	1,00		A1/1	1,00	1,00	1,00	1,00	1,14	1,13	1,00	1,53	1,49	0,60	1,00	1,00	1,00
									A1/2	1,00	1,00	1,00	1,00	1,14	1,13	1,00	1,53	1,49	0,60	1,00	1,00	1,00
								X+	A1/3	1,00	0,83	0,85	0,76	1,14	1,13	1,00	1,53	1,49	0,60	1,00	1,00	1,00
								X-	A1/12	1,00	0,83	0,85	0,76	1,14	1,13	1,00	1,53	1,49	0,60	1,00	1,00	1,00
								Y+	A1/28	1,00	0,81	0,83	0,73	1,14	1,13	1,00	1,53	1,49	0,60	1,00	1,00	1,00
								Y-	A1/34	1,00	0,86	0,87	0,80	1,14	1,13	1,00	1,53	1,49	0,60	1,00	1,00	1,00
17	22,25	11,85	12,54	1,00	1,00	1,00	1,00		A1/1	1,00	1,00	1,00	1,00	1,14	1,13	1,00	1,53	1,49	0,60	1,00	1,00	1,00
									A1/2	1,00	1,00	1,00	1,00	1,14	1,13	1,00	1,53	1,49	0,60	1,00	1,00	1,00
								X+	A1/6	1,00	0,84	0,85	0,76	1,14	1,13	1,00	1,53	1,49	0,60	1,00	1,00	1,00
								X-	A1/13	1,00	0,83	0,84	0,75	1,14	1,13	1,00	1,53	1,49	0,60	1,00	1,00	1,00
								Y+	A1/29	1,00	0,81	0,83	0,73	1,14	1,13	1,00	1,53	1,49	0,60	1,00	1,00	1,00
								Y-	A1/31	1,00	0,86	0,87	0,80	1,14	1,13	1,00	1,53	1,49	0,60	1,00	1,00	1,00
18	22,25	11,85	12,54	1,00	1,00	1,00	1,00		A1/1	1,00	1,00	1,00	1,00	1,14	1,13	1,00	1,53	1,49	0,60	1,00	1,00	1,00
									A1/2	1,00	1,00	1,00	1,00	1,14	1,13	1,00	1,53	1,49	0,60	1,00	1,00	1,00
								X+	A1/6	1,00	0,84	0,85	0,77	1,14	1,13	1,00	1,53	1,49	0,60	1,00	1,00	1,00
								X-	A1/13	1,00	0,83	0,84	0,75	1,14	1,13	1,00	1,53	1,49	0,60	1,00	1,00	1,00
								Y+	A1/29	1,00	0,81	0,83	0,73	1,14	1,13	1,00	1,53	1,49	0,60	1,00	1,00	1,00
								Y-	A1/31	1,00	0,86	0,87	0,80	1,14	1,13	1,00	1,53	1,49	0,60	1,00	1,00	1,00
19	22,25	11,85	12,54	1,00	1,00	1,00	1,00		A1/1	1,00	1,00	1,00	1,00	1,20	1,18	1,00	1,53	1,49	0,60	1,00	1,00	1,00
									A1/2	1,00	1,00	1,00	1,00	1,20	1,18	1,00	1,53	1,49	0,60	1,00	1,00	1,00
								X+	A1/8	1,00	0,83	0,84	0,75	1,20	1,18	1,00	1,53	1,49	0,60	1,00	1,00	1,00
								X-	A1/15	1,00	0,85	0,86	0,78	1,20	1,18	1,00	1,53	1,49	0,60	1,00	1,00	1,00
								Y+	A1/22	1,00	0,85	0,86	0,78	1,20	1,18	1,00	1,53	1,49	0,60	1,00	1,00	1,00
								Y-	A1/24	1,00	0,82	0,84	0,74	1,20	1,18	1,00	1,53	1,49	0,60	1,00	1,00	1,00
20	22,25	11,85	12,54	1,00	1,00	1,00	1,00		A1/1	1,00	1,00	1,00	1,00	1,20	1,18	1,00	1,53	1,49	0,60	1,00	1,00	1,00
									A1/2	1,00	1,00	1,00	1,00	1,20	1,18	1,00	1,53	1,49	0,60	1,00	1,00	1,00
								X+	A1/6	1,00	0,83	0,84	0,75	1,20	1,18	1,00	1,53	1,49	0,60	1,00	1,00	1,00
								X-	A1/13	1,00	0,85	0,86	0,78	1,20	1,18	1,00	1,53	1,49	0,60	1,00	1,00	1,00
								Y+	A1/22	1,00	0,83	0,85	0,76	1,20	1,18	1,00	1,53	1,49	0,60	1,00	1,00	1,00
								Y-	A1/24	1,00	0,83	0,85	0,76	1,20	1,18	1,00	1,53	1,49	0,60	1,00	1,00	1,00
21	22,25	11,85	12,54	1,00	1,00	1,00	1,00		A1/1	1,00	1,00	1,00	1,00	1,19	1,17	1,00	1,53	1,49	0,60	1,00	1,00	1,00
									A1/2	1,00	1,00	1,00	1,00	1,19	1,17	1,00	1,53	1,49	0,60	1,00	1,00	1,00
								X+	A1/3	1,00	0,83	0,84	0,75	1,19	1,17	1,00	1,53	1,49	0,60	1,00	1,00	1,00
								X-	A1/12	1,00	0,85	0,86	0,78	1,19	1,17	1,00	1,53	1,49	0,60	1,00	1,00	1,00
								Y+	A1/19	1,00	0,82	0,84	0,74	1,19	1,17	1,00	1,53	1,49	0,60	1,00	1,00	1,00
								Y-	A1/25	1,00	0,85	0,86	0,78	1,19	1,17	1,00	1,53	1,49	0,60	1,00	1,00	1,00
22	22,25	11,85	12,54	1,00	1,00	1,00	1,00		A1/1	1,00	1,00	1,00	1,00	1,19	1,17	1,00	1,53	1,49	0,60	1,00	1,00	1,00
									A1/2	1,00	1,00	1,00	1,00	1,19	1,17	1,00	1,53	1,49	0,60	1,00	1,00	1,00
								X+	A1/6	1,00	0,85	0,86	0,78	1,19	1,17	1,00	1,53	1,49	0,60	1,00	1,00	1,00
								X-	A1/13	1,00	0,83	0,84	0,75	1,19	1,17	1,00	1,53	1,49	0,60	1,00	1,00	1,00
								Y+	A1/29	1,00	0,82	0,84	0,74	1,19	1,17	1,00	1,53	1,49	0,60	1,00	1,00	1,00
								Y-	A1/31	1,00	0,85	0,86	0,78	1,19	1,17	1,00	1,53	1,49	0,60	1,00	1,00	1,00
23	22,25	11,85	12,54	1,00	1,00	1,00	1,00		A1/1	1,00	1,00	1,00	1,00	1,18	1,16	1,00	1,53	1,49	0,60	1,00	1,00	1,00
									A1/2	1,00	1,00	1,00	1,00	1,18	1,16	1,00	1,53	1,49	0,60	1,00	1,00	1,00
								X+	A1/8	1,00	0,85	0,86	0,78	1,18	1,16	1,00	1,53	1,49	0,60	1,00	1,00	1,00
								X-	A1/15	1,00	0,83	0,84	0,75	1,18	1,16	1,00	1,53	1,49	0,60	1,00	1,00	1,00
								Y+	A1/29	1,00	0,83	0,85	0,76	1,18	1,16	1,00	1,53	1,49	0,60	1,00	1,00	1,00
								Y-	A1/31	1,00	0,83	0,85	0,76	1,18	1,16	1,00	1,53	1,49	0,60	1,00	1,00	1,00
24	22,25	11,85	12,54	1,00	1,00	1,00	1,00		A1/1	1,00	1,00	1,00	1,00	1,20	1,18	1,00	1,53	1,49	0,60	1,00	1,00	1,00
									A1/2	1,00	1,00	1,00	1,00	1,20	1,18	1,00	1,53	1,49	0,60	1,00	1,00	1,00
								X+	A1/9	1,00	0,85	0,86	0,78	1,20	1,18	1,00	1,53	1,49	0,60	1,00	1,00	1,00
								X-	A1/18	1,00	0,83	0,84	0,75	1,20	1,18	1,00	1,53	1,49	0,60	1,00	1,00	1,00
								Y+	A1/28	1,00	0,85	0,86	0,78	1,20	1,18	1,00	1,53	1,49	0,60	1,00	1,00	1,00
								Y-	A1/34	1,00	0,82	0,84	0,74	1,20	1,18	1,00	1,53	1,49	0,60	1,00	1,00	1,00
25	22,25	11,85	12,54	1,00	1,00	1,00	1,00		A1/1	1,00	1,00	1,00	1,00	1,17	1,15	1,00	1,53	1,49	0,60	1,00	1,00	1,00
									A1/2	1,00	1,00	1,00	1,00	1,17	1,15	1,00	1,53	1,49	0,60	1,00	1,00	1,00
								X+	A1/9	1,00	0,84	0,86	0,77	1,17	1,15	1,00	1,53	1,49	0,60	1,00	1,00	1,00
								X-	A1/18	1,00	0,83	0,84	0,75	1,17	1,15	1,00	1,53	1,49	0,60	1,00	1,00	1,00
								Y+	A1/28	1,00	0,86	0,87	0,79	1,17	1,15	1,00	1,53	1,49	0,60	1,00	1,00	1,00
								Y-	A1/34	1,00	0,82	0,83	0,73	1,17	1,15	1,00	1,53	1,49	0,60	1,00	1,00	1,00
26	22,25	11,85	12,54	1,00	1,00	1,00	1,00		A1/1	1,00	1,00	1,00	1,00	1,15	1,14	1,00	1,53	1,49	0,60	1,00	1,00	1,00
									A1/2	1,00	1,00	1,00	1,00	1,15	1,14	1,00	1,53	1,49	0,60	1,00	1,00	1,00
								X+	A1/9	1,00	0,84	0,86	0,77	1,15	1,14	1,00	1,53	1,49	0,60	1,00	1,00	1,00
								X-	A1/18	1,00	0,83	0,84	0,75	1,15	1,14	1,00	1,53	1,49	0,60	1,00	1,00	1,00
								Y+	A1/28	1,00	0,86	0,87	0,79	1,15	1,14	1,00	1,53	1,49	0,60	1,00	1,00	1,00
								Y-	A1/34	1,00	0,82	0,83	0,74	1,15	1,14	1,00	1,53	1,49	0,60	1,00	1,00	1,00
27	22,25	11,85	12,54	1,00	1,00	1,00	1,00		A1/1	1,00	1,00	1,00	1,00	1,13	1,12	1,00	1,53	1,49	0,60	1,00	1,00	1,00
									A1/2	1,00	1,00	1,00	1,00	1,13	1,12	1,00	1,53	1,49	0,60	1,00	1,00	1,00
								X+	A1/9	1,00	0,85	0,86	0,78	1,13	1,12	1,00	1,53	1,49	0,60	1,00	1,00	1,00
								X-	A1/18	1,00	0,83	0,85	0,76	1,13	1,12	1,00	1,53	1,49	0,60	1,00	1,00	1,00
								Y+	A1/28	1,00	0,84	0,86	0,77	1,13	1,12	1,00	1,53	1,49	0,60	1,00	1,00	1,00
								Y-	A1/34	1,00	0,83	0,84	0,75	1,13	1,12	1,00	1,53	1,49	0,60	1,00	1,00	1,00
28	22,25	11,85	12,54	1,00	1,00	1,00	1,00		A1/1	1,00	1,00	1,00	1,00	1,16	1,14	1,00	1,53	1,49	0,60	1,00	1,00	1,00
									A1/2	1,00	1,00	1,00	1,00	1,16	1,14	1,00	1,53	1,49	0,60	1,00	1,00	1,00
								X+	A1/9	1,00	0,85	0,86	0,78	1,16	1,14	1,00	1,53	1,49	0,60	1,00	1,00	1,00
								X-	A1/18	1,00	0,83	0,84	0,75	1,16	1,14	1,00	1,53	1,49	0,60	1,00	1,00	1,00
								Y+	A1/28	1,00	0,84	0,85	0,77	1,16	1,14	1,00	1,53	1,49	0,60	1,00	1,00	1,00
								Y-	A1/34	1,00	0,83	0,84	0,75	1,16	1,14	1,00	1,53	1,49	0,60	1,00	1,00	1,00
29	22,25	11,85	12,54	1,00	1,00	1,00	1,00		A1/1	1,00	1,00	1,00	1,00	1,13	1,12	1,00	1,53	1,49	0,60	1,00	1,00	1,00
									A1/2	1,00	1,00	1,00	1,00	1,13	1,12	1,00	1,53	1,49	0,60	1,00	1,00	1,00
								X+	A1/6	1,00	0,85	0,86	0,78	1,13	1,12	1,00	1,53	1,49	0,60	1,00	1,00	1,00
								X-	A1/13	1,00	0,83	0,85	0,76	1,13	1,12	1,00	1,53	1,49	0,60	1,00	1,00	1,00
								Y+	A1/29	1,00	0,83	0,84	0,75	1,13	1,12	1,00	1,53	1,49	0,60	1,00	1,00	1,00
								Y-	A1/31	1,00	0,84	0,86	0,77	1,13	1,12	1,00	1,53	1,49	0,60	1,00	1,00	1,00

COEFFICIENTI DI PORTANZA PIASTRE WINKLER - CONDIZIONI DRENATE - S.L.U.

Piast	Brinch Hansen			IclTe	Incl.PianoPosa			Comb		Igk	CoeffIncl.Car.			Affondamento			Forma			Punzonamento		
Nro	Nc	Nq	Ng	Gc=Gq	Bc	Bq	Bg		N.ro	Sism	IcV	IqV	IgV	Dc	Dq	Dg	Sc	Sq	Sg	Psic	Psiq	Psig
30	22,25	11,85	12,54	1,00	1,00	1,00	1,00		A1/1	1,00	1,00	1,00	1,00	1,16	1,14	1,00	1,53	1,49	0,60	1,00	1,00	1,00
									A1/2	1,00	1,00	1,00	1,00	1,16	1,14	1,00	1,53	1,49	0,60	1,00	1,00	1,00
								X+	A1/6	1,00	0,85	0,86	0,78	1,16	1,14	1,00	1,53	1,49	0,60	1,00	1,00	1,00
								X-	A1/13	1,00	0,83	0,84	0,75	1,16	1,14	1,00	1,53	1,49	0,60	1,00	1,00	1,00
								Y+	A1/29	1,00	0,83	0,84	0,75	1,16	1,14	1,00	1,53	1,49	0,60	1,00	1,00	1,00
								Y-	A1/31	1,00	0,84	0,85	0,77	1,16	1,14	1,00	1,53	1,49	0,60	1,00	1,00	1,00
31	22,25	11,85	12,54	1,00	1,00	1,00	1,00		A1/1	1,00	1,00	1,00	1,00	1,15	1,14	1,00	1,53	1,49	0,60	1,00	1,00	1,00
									A1/2	1,00	1,00	1,00	1,00	1,15	1,14	1,00	1,53	1,49	0,60	1,00	1,00	1,00
								X+	A1/9	1,00	0,84	0,85	0,77	1,15	1,14	1,00	1,53	1,49	0,60	1,00	1,00	1,00
								X-	A1/18	1,00	0,83	0,84	0,75	1,15	1,14	1,00	1,53	1,49	0,60	1,00	1,00	1,00
								Y+	A1/28	1,00	0,86	0,87	0,79	1,15	1,14	1,00	1,53	1,49	0,60	1,00	1,00	1,00
								Y-	A1/34	1,00	0,82	0,83	0,74	1,15	1,14	1,00	1,53	1,49	0,60	1,00	1,00	1,00
32	22,25	11,85	12,54	1,00	1,00	1,00	1,00		A1/1	1,00	1,00	1,00	1,00	1,13	1,12	1,00	1,53	1,49	0,60	1,00	1,00	1,00
									A1/2	1,00	1,00	1,00	1,00	1,13	1,12	1,00	1,53	1,49	0,60	1,00	1,00	1,00
								X+	A1/9	1,00	0,85	0,86	0,78	1,13	1,12	1,00	1,53	1,49	0,60	1,00	1,00	1,00
								X-	A1/18	1,00	0,83	0,85	0,76	1,13	1,12	1,00	1,53	1,49	0,60	1,00	1,00	1,00
								Y+	A1/28	1,00	0,84	0,86	0,77	1,13	1,12	1,00	1,53	1,49	0,60	1,00	1,00	1,00
								Y-	A1/34	1,00	0,83	0,85	0,76	1,13	1,12	1,00	1,53	1,49	0,60	1,00	1,00	1,00
33	22,25	11,85	12,54	1,00	1,00	1,00	1,00		A1/1	1,00	1,00	1,00	1,00	1,13	1,12	1,00	1,53	1,49	0,60	1,00	1,00	1,00
									A1/2	1,00	1,00	1,00	1,00	1,13	1,12	1,00	1,53	1,49	0,60	1,00	1,00	1,00
								X+	A1/9	1,00	0,85	0,86	0,78	1,13	1,12	1,00	1,53	1,49	0,60	1,00	1,00	1,00
								X-	A1/18	1,00	0,84	0,85	0,76	1,13	1,12	1,00	1,53	1,49	0,60	1,00	1,00	1,00
								Y+	A1/28	1,00	0,84	0,86	0,77	1,13	1,12	1,00	1,53	1,49	0,60	1,00	1,00	1,00
								Y-	A1/34	1,00	0,83	0,85	0,76	1,13	1,12	1,00	1,53	1,49	0,60	1,00	1,00	1,00
34	22,25	11,85	12,54	1,00	1,00	1,00	1,00		A1/1	1,00	1,00	1,00	1,00	1,15	1,14	1,00	1,53	1,49	0,60	1,00	1,00	1,00
									A1/2	1,00	1,00	1,00	1,00	1,15	1,14	1,00	1,53	1,49	0,60	1,00	1,00	1,00
								X+	A1/9	1,00	0,84	0,85	0,77	1,15	1,14	1,00	1,53	1,49	0,60	1,00	1,00	1,00
								X-	A1/18	1,00	0,83	0,85	0,76	1,15	1,14	1,00	1,53	1,49	0,60	1,00	1,00	1,00
								Y+	A1/28	1,00	0,86	0,87	0,79	1,15	1,14	1,00	1,53	1,49	0,60	1,00	1,00	1,00
								Y-	A1/34	1,00	0,82	0,83	0,74	1,15	1,14	1,00	1,53	1,49	0,60	1,00	1,00	1,00
35	22,25	11,85	12,54	1,00	1,00	1,00	1,00		A1/1	1,00	1,00	1,00	1,00	1,15	1,14	1,00	1,53	1,49	0,60	1,00	1,00	1,00
									A1/2	1,00	1,00	1,00	1,00	1,15	1,14	1,00	1,53	1,49	0,60	1,00	1,00	1,00
								X+	A1/9	1,00	0,84	0,85	0,76	1,15	1,14	1,00	1,53	1,49	0,60	1,00	1,00	1,00
								X-	A1/18	1,00	0,83	0,85	0,76	1,15	1,14	1,00	1,53	1,49	0,60	1,00	1,00	1,00
								Y+	A1/28	1,00	0,86	0,87	0,79	1,15	1,14	1,00	1,53	1,49	0,60	1,00	1,00	1,00
								Y-	A1/34	1,00	0,82	0,84	0,74	1,15	1,14	1,00	1,53	1,49	0,60	1,00	1,00	1,00
36	22,25	11,85	12,54	1,00	1,00	1,00	1,00		A1/1	1,00	1,00	1,00	1,00	1,13	1,12	1,00	1,53	1,49	0,60	1,00	1,00	1,00
									A1/2	1,00	1,00	1,00	1,00	1,13	1,12	1,00	1,53	1,49	0,60	1,00	1,00	1,00
								X+	A1/9	1,00	0,84	0,86	0,77	1,13	1,12	1,00	1,53	1,49	0,60	1,00	1,00	1,00
								X-	A1/18	1,00	0,84	0,85	0,77	1,13	1,12	1,00	1,53	1,49	0,60	1,00	1,00	1,00
								Y+	A1/28	1,00	0,85	0,86	0,77	1,13	1,12	1,00	1,53	1,49	0,60	1,00	1,00	1,00
								Y-	A1/34	1,00	0,83	0,85	0,76	1,13	1,12	1,00	1,53	1,49	0,60	1,00	1,00	1,00
37	22,25	11,85	12,54	1,00	1,00	1,00	1,00		A1/1	1,00	1,00	1,00	1,00	1,13	1,12	1,00	1,53	1,49	0,60	1,00	1,00	1,00
									A1/2	1,00	1,00	1,00	1,00	1,13	1,12	1,00	1,53	1,49	0,60	1,00	1,00	1,00
								X+	A1/6	1,00	0,85	0,86	0,78	1,13	1,12	1,00	1,53	1,49	0,60	1,00	1,00	1,00
								X-	A1/13	1,00	0,84	0,85	0,76	1,13	1,12	1,00	1,53	1,49	0,60	1,00	1,00	1,00
								Y+	A1/29	1,00	0,83	0,85	0,76	1,13	1,12	1,00	1,53	1,49	0,60	1,00	1,00	1,00
								Y-	A1/31	1,00	0,84	0,86	0,77	1,13	1,12	1,00	1,53	1,49	0,60	1,00	1,00	1,00
38	22,25	11,85	12,54	1,00	1,00	1,00	1,00		A1/1	1,00	1,00	1,00	1,00	1,13	1,12	1,00	1,53	1,49	0,60	1,00	1,00	1,00
									A1/2	1,00	1,00	1,00	1,00	1,13	1,12	1,00	1,53	1,49	0,60	1,00	1,00	1,00
								X+	A1/6	1,00	0,85	0,86	0,78	1,13	1,12	1,00	1,53	1,49	0,60	1,00	1,00	1,00
								X-	A1/13	1,00	0,83	0,85	0,76	1,13	1,12	1,00	1,53	1,49	0,60	1,00	1,00	1,00
								Y+	A1/29	1,00	0,83	0,85	0,76	1,13	1,12	1,00	1,53	1,49	0,60	1,00	1,00	1,00
								Y-	A1/31	1,00	0,84	0,86	0,77	1,13	1,12	1,00	1,53	1,49	0,60	1,00	1,00	1,00
39	22,25	11,85	12,54	1,00	1,00	1,00	1,00		A1/1	1,00	1,00	1,00	1,00	1,15	1,14	1,00	1,53	1,49	0,60	1,00	1,00	1,00
									A1/2	1,00	1,00	1,00	1,00	1,15	1,14	1,00	1,53	1,49	0,60	1,00	1,00	1,00
								X+	A1/9	1,00	0,84	0,85	0,76	1,15	1,14	1,00	1,53	1,49	0,60	1,00	1,00	1,00
								X-	A1/18	1,00	0,83	0,85	0,76	1,15	1,14	1,00	1,53	1,49	0,60	1,00	1,00	1,00
								Y+	A1/28	1,00	0,86	0,87	0,79	1,15	1,14	1,00	1,53	1,49	0,60	1,00	1,00	1,00
								Y-	A1/34	1,00	0,82	0,84	0,74	1,15	1,14	1,00	1,53	1,49	0,60	1,00	1,00	1,00
40	22,25	11,85	12,54	1,00	1,00	1,00	1,00		A1/1	1,00	1,00	1,00	1,00	1,13	1,12	1,00	1,53	1,49	0,60	1,00	1,00	1,00
									A1/2	1,00	1,00	1,00	1,00	1,13	1,12	1,00	1,53	1,49	0,60	1,00	1,00	1,00
								X+	A1/9	1,00	0,84	0,86	0,77	1,13	1,12	1,00	1,53	1,49	0,60	1,00	1,00	1,00
								X-	A1/18	1,00	0,84	0,85	0,77	1,13	1,12	1,00	1,53	1,49	0,60	1,00	1,00	1,00
								Y+	A1/28	1,00	0,85	0,86	0,78	1,13	1,12	1,00	1,53	1,49	0,60	1,00	1,00	1,00
								Y-	A1/34	1,00	0,83	0,85	0,76	1,13	1,12	1,00	1,53	1,49	0,60	1,00	1,00	1,00
41	22,25	11,85	12,54	1,00	1,00	1,00	1,00		A1/1	1,00	1,00	1,00	1,00	1,13	1,12	1,00	1,53	1,49	0,60	1,00	1,00	1,00
									A1/2	1,00	1,00	1,00	1,00	1,13	1,12	1,00	1,53	1,49	0,60	1,00	1,00	1,00
								X+	A1/6	1,00	0,84	0,86	0,77	1,13	1,12	1,00	1,53	1,49	0,60	1,00	1,00	1,00
								X-	A1/13	1,00	0,84	0,85	0,77	1,13	1,12	1,00	1,53	1,49	0,60	1,00	1,00	1,00
								Y+	A1/29	1,00	0,83	0,85	0,76	1,13	1,12	1,00	1,53	1,49	0,60	1,00	1,00	1,00
								Y-	A1/31	1,00	0,85	0,86	0,78	1,13	1,12	1,00	1,53	1,49	0,60	1,00	1,00	1,00
42	22,25	11,85	12,54	1,00	1,00	1,00	1,00		A1/1	1,00	1,00	1,00	1,00	1,13	1,12	1,00	1,53	1,49	0,60	1,00	1,00	1,00
									A1/2	1,00	1,00	1,00	1,00	1,13	1,12	1,00	1,53	1,49	0,60	1,00	1,00	1,00
								X+	A1/6	1,00	0,84	0,86	0,77	1,13	1,12	1,00	1,53	1,49	0,60	1,00	1,00	1,00
								X-	A1/13	1,00	0,84	0,85	0,77	1,13	1,12	1,00	1,53	1,49	0,60	1,00	1,00	1,00
								Y+	A1/29	1,00	0,83	0,85	0,76	1,13	1,12	1,00	1,53	1,49	0,60	1,00	1,00	1,00
								Y-	A1/31	1,00	0,84	0,86	0,77	1,13	1,12	1,00	1,53	1,49	0,60	1,00	1,00	1,00
43	22,25	11,85	12,54	1,00	1,00	1,00	1,00		A1/1	1,00	1,00	1,00	1,00	1,15	1,14	1,00	1,53	1,49	0,60	1,00	1,00	1,00
									A1/2	1,00	1,00	1,00	1,00	1,15	1,14	1,00	1,53	1,49	0,60	1,00	1,00	1,00
								X+	A1/8	1,00	0,83	0,85	0,76	1,15	1,14	1,00	1,53	1,49	0,60	1,00	1,00	1,00
								X-	A1/15	1,00	0,84	0,85	0,76	1,15	1,14	1,00	1,53	1,49	0,60	1,00	1,00	1,00
								Y+	A1/22	1,00	0,86	0,87	0,79	1,15	1,14	1,00	1,53	1,49	0,60	1,00	1,00	1,00
								Y-	A1/24	1,00	0,82	0,84	0,74	1,15	1,14	1,00	1,53	1,49	0,60	1,00	1,00	1,00

COEFFICIENTI DI PORTANZA PIASTRE WINKLER - CONDIZIONI DRENATE - S.L.U.

Piast	Brinch Hansen			IclTe	Incl.PianoPosa			Comb		Igk	CoeffIncl.Car.			Affondamento			Forma			Punzonamento		
Nro	Nc	Nq	Ng	Gc=Gq	Bc	Bq	Bg		N.ro	Sism	IcV	IqV	IgV	Dc	Dq	Dg	Sc	Sq	Sg	Psic	Psiq	Psig
44	22,25	11,85	12,54	1,00	1,00	1,00	1,00		A1/1	1,00	1,00	1,00	1,00	1,13	1,12	1,00	1,53	1,49	0,60	1,00	1,00	1,00
									A1/2	1,00	1,00	1,00	1,00	1,13	1,12	1,00	1,53	1,49	0,60	1,00	1,00	1,00
								X+	A1/8	1,00	0,84	0,85	0,77	1,13	1,12	1,00	1,53	1,49	0,60	1,00	1,00	1,00
								X-	A1/15	1,00	0,84	0,86	0,77	1,13	1,12	1,00	1,53	1,49	0,60	1,00	1,00	1,00
								Y+	A1/22	1,00	0,85	0,86	0,78	1,13	1,12	1,00	1,53	1,49	0,60	1,00	1,00	1,00
								Y-	A1/24	1,00	0,83	0,85	0,76	1,13	1,12	1,00	1,53	1,49	0,60	1,00	1,00	1,00
45	22,25	11,85	12,54	1,00	1,00	1,00	1,00		A1/1	1,00	1,00	1,00	1,00	1,13	1,12	1,00	1,53	1,49	0,60	1,00	1,00	1,00
									A1/2	1,00	1,00	1,00	1,00	1,13	1,12	1,00	1,53	1,49	0,60	1,00	1,00	1,00
								X+	A1/3	1,00	0,84	0,85	0,77	1,13	1,12	1,00	1,53	1,49	0,60	1,00	1,00	1,00
								X-	A1/12	1,00	0,84	0,86	0,77	1,13	1,12	1,00	1,53	1,49	0,60	1,00	1,00	1,00
								Y+	A1/19	1,00	0,83	0,85	0,76	1,13	1,12	1,00	1,53	1,49	0,60	1,00	1,00	1,00
								Y-	A1/25	1,00	0,85	0,86	0,78	1,13	1,12	1,00	1,53	1,49	0,60	1,00	1,00	1,00
46	22,25	11,85	12,54	1,00	1,00	1,00	1,00		A1/1	1,00	1,00	1,00	1,00	1,15	1,14	1,00	1,53	1,49	0,60	1,00	1,00	1,00
									A1/2	1,00	1,00	1,00	1,00	1,15	1,14	1,00	1,53	1,49	0,60	1,00	1,00	1,00
								X+	A1/6	1,00	0,84	0,86	0,77	1,15	1,14	1,00	1,53	1,49	0,60	1,00	1,00	1,00
								X-	A1/13	1,00	0,83	0,84	0,75	1,15	1,14	1,00	1,53	1,49	0,60	1,00	1,00	1,00
								Y+	A1/29	1,00	0,82	0,83	0,74	1,15	1,14	1,00	1,53	1,49	0,60	1,00	1,00	1,00
								Y-	A1/31	1,00	0,86	0,87	0,79	1,15	1,14	1,00	1,53	1,49	0,60	1,00	1,00	1,00
47	22,25	11,85	12,54	1,00	1,00	1,00	1,00		A1/1	1,00	1,00	1,00	1,00	1,18	1,16	1,00	1,53	1,49	0,60	1,00	1,00	1,00
									A1/2	1,00	1,00	1,00	1,00	1,18	1,16	1,00	1,53	1,49	0,60	1,00	1,00	1,00
								X+	A1/6	1,00	0,84	0,86	0,77	1,18	1,16	1,00	1,53	1,49	0,60	1,00	1,00	1,00
								X-	A1/13	1,00	0,83	0,84	0,75	1,18	1,16	1,00	1,53	1,49	0,60	1,00	1,00	1,00
								Y+	A1/29	1,00	0,82	0,83	0,73	1,18	1,16	1,00	1,53	1,49	0,60	1,00	1,00	1,00
								Y-	A1/31	1,00	0,86	0,87	0,79	1,18	1,16	1,00	1,53	1,49	0,60	1,00	1,00	1,00
48	22,25	11,85	12,54	1,00	1,00	1,00	1,00		A1/1	1,00	1,00	1,00	1,00	1,15	1,14	1,00	1,53	1,49	0,60	1,00	1,00	1,00
									A1/2	1,00	1,00	1,00	1,00	1,15	1,14	1,00	1,53	1,49	0,60	1,00	1,00	1,00
								X+	A1/6	1,00	0,84	0,85	0,77	1,15	1,14	1,00	1,53	1,49	0,60	1,00	1,00	1,00
								X-	A1/13	1,00	0,83	0,84	0,75	1,15	1,14	1,00	1,53	1,49	0,60	1,00	1,00	1,00
								Y+	A1/29	1,00	0,82	0,83	0,74	1,15	1,14	1,00	1,53	1,49	0,60	1,00	1,00	1,00
								Y-	A1/31	1,00	0,86	0,87	0,79	1,15	1,14	1,00	1,53	1,49	0,60	1,00	1,00	1,00
49	22,25	11,85	12,54	1,00	1,00	1,00	1,00		A1/1	1,00	1,00	1,00	1,00	1,15	1,14	1,00	1,53	1,49	0,60	1,00	1,00	1,00
									A1/2	1,00	1,00	1,00	1,00	1,15	1,14	1,00	1,53	1,49	0,60	1,00	1,00	1,00
								X+	A1/6	1,00	0,84	0,85	0,77	1,15	1,14	1,00	1,53	1,49	0,60	1,00	1,00	1,00
								X-	A1/13	1,00	0,83	0,85	0,76	1,15	1,14	1,00	1,53	1,49	0,60	1,00	1,00	1,00
								Y+	A1/29	1,00	0,82	0,83	0,74	1,15	1,14	1,00	1,53	1,49	0,60	1,00	1,00	1,00
								Y-	A1/31	1,00	0,86	0,87	0,79	1,15	1,14	1,00	1,53	1,49	0,60	1,00	1,00	1,00
50	22,25	11,85	12,54	1,00	1,00	1,00	1,00		A1/1	1,00	1,00	1,00	1,00	1,15	1,14	1,00	1,53	1,49	0,60	1,00	1,00	1,00
									A1/2	1,00	1,00	1,00	1,00	1,15	1,14	1,00	1,53	1,49	0,60	1,00	1,00	1,00
								X+	A1/6	1,00	0,84	0,85	0,76	1,15	1,14	1,00	1,53	1,49	0,60	1,00	1,00	1,00
								X-	A1/13	1,00	0,83	0,85	0,76	1,15	1,14	1,00	1,53	1,49	0,60	1,00	1,00	1,00
								Y+	A1/29	1,00	0,82	0,84	0,74	1,15	1,14	1,00	1,53	1,49	0,60	1,00	1,00	1,00
								Y-	A1/31	1,00	0,86	0,87	0,79	1,15	1,14	1,00	1,53	1,49	0,60	1,00	1,00	1,00
51	22,25	11,85	12,54	1,00	1,00	1,00	1,00		A1/1	1,00	1,00	1,00	1,00	1,15	1,14	1,00	1,53	1,49	0,60	1,00	1,00	1,00
									A1/2	1,00	1,00	1,00	1,00	1,15	1,14	1,00	1,53	1,49	0,60	1,00	1,00	1,00
								X+	A1/6	1,00	0,84	0,85	0,76	1,15	1,14	1,00	1,53	1,49	0,60	1,00	1,00	1,00
								X-	A1/13	1,00	0,83	0,85	0,76	1,15	1,14	1,00	1,53	1,49	0,60	1,00	1,00	1,00
								Y+	A1/29	1,00	0,82	0,84	0,74	1,15	1,14	1,00	1,53	1,49	0,60	1,00	1,00	1,00
								Y-	A1/31	1,00	0,86	0,87	0,79	1,15	1,14	1,00	1,53	1,49	0,60	1,00	1,00	1,00
52	22,25	11,85	12,54	1,00	1,00	1,00	1,00		A1/1	1,00	1,00	1,00	1,00	1,15	1,14	1,00	1,53	1,49	0,60	1,00	1,00	1,00
									A1/2	1,00	1,00	1,00	1,00	1,15	1,14	1,00	1,53	1,49	0,60	1,00	1,00	1,00
								X+	A1/3	1,00	0,83	0,85	0,76	1,15	1,14	1,00	1,53	1,49	0,60	1,00	1,00	1,00
								X-	A1/12	1,00	0,84	0,85	0,76	1,15	1,14	1,00	1,53	1,49	0,60	1,00	1,00	1,00
								Y+	A1/19	1,00	0,82	0,84	0,74	1,15	1,14	1,00	1,53	1,49	0,60	1,00	1,00	1,00
								Y-	A1/25	1,00	0,86	0,87	0,79	1,15	1,14	1,00	1,53	1,49	0,60	1,00	1,00	1,00
53	22,25	11,85	12,54	1,00	1,00	1,00	1,00		A1/1	1,00	1,00	1,00	1,00	1,13	1,12	1,00	1,53	1,49	0,60	1,00	1,00	1,00
									A1/2	1,00	1,00	1,00	1,00	1,13	1,12	1,00	1,53	1,49	0,60	1,00	1,00	1,00
								X+	A1/8	1,00	0,84	0,85	0,77	1,13	1,12	1,00	1,53	1,49	0,60	1,00	1,00	1,00
								X-	A1/15	1,00	0,84	0,86	0,77	1,13	1,12	1,00	1,53	1,49	0,60	1,00	1,00	1,00
								Y+	A1/22	1,00	0,84	0,86	0,77	1,13	1,12	1,00	1,53	1,49	0,60	1,00	1,00	1,00
								Y-	A1/24	1,00	0,83	0,85	0,76	1,13	1,12	1,00	1,53	1,49	0,60	1,00	1,00	1,00
54	22,25	11,85	12,54	1,00	1,00	1,00	1,00		A1/1	1,00	1,00	1,00	1,00	1,15	1,14	1,00	1,53	1,49	0,60	1,00	1,00	1,00
									A1/2	1,00	1,00	1,00	1,00	1,15	1,14	1,00	1,53	1,49	0,60	1,00	1,00	1,00
								X+	A1/8	1,00	0,83	0,85	0,76	1,15	1,14	1,00	1,53	1,49	0,60	1,00	1,00	1,00
								X-	A1/15	1,00	0,84	0,85	0,76	1,15	1,14	1,00	1,53	1,49	0,60	1,00	1,00	1,00
								Y+	A1/22	1,00	0,86	0,87	0,79	1,15	1,14	1,00	1,53	1,49	0,60	1,00	1,00	1,00
								Y-	A1/24	1,00	0,82	0,84	0,74	1,15	1,14	1,00	1,53	1,49	0,60	1,00	1,00	1,00
55	22,25	11,85	12,54	1,00	1,00	1,00	1,00		A1/1	1,00	1,00	1,00	1,00	1,15	1,14	1,00	1,53	1,49	0,60	1,00	1,00	1,00
									A1/2	1,00	1,00	1,00	1,00	1,15	1,14	1,00	1,53	1,49	0,60	1,00	1,00	1,00
								X+	A1/8	1,00	0,83	0,85	0,76	1,15	1,14	1,00	1,53	1,49	0,60	1,00	1,00	1,00
								X-	A1/15	1,00	0,84	0,85	0,77	1,15	1,14	1,00	1,53	1,49	0,60	1,00	1,00	1,00
								Y+	A1/22	1,00	0,86	0,87	0,79	1,15	1,14	1,00	1,53	1,49	0,60	1,00	1,00	1,00
								Y-	A1/24	1,00	0,82	0,83	0,74	1,15	1,14	1,00	1,53	1,49	0,60	1,00	1,00	1,00
56	22,25	11,85	12,54	1,00	1,00	1,00	1,00		A1/1	1,00	1,00	1,00	1,00	1,13	1,12	1,00	1,53	1,49	0,60	1,00	1,00	1,00
									A1/2	1,00	1,00	1,00	1,00	1,13	1,12	1,00	1,53	1,49	0,60	1,00	1,00	1,00
								X+	A1/8	1,00	0,84	0,85	0,76	1,13	1,12	1,00	1,53	1,49	0,60	1,00	1,00	1,00
								X-	A1/15	1,00	0,85	0,86	0,78	1,13	1,12	1,00	1,53	1,49	0,60	1,00	1,00	1,00
								Y+	A1/22	1,00	0,84	0,86	0,77	1,13	1,12	1,00	1,53	1,49	0,60	1,00	1,00	1,00
								Y-	A1/24	1,00	0,83	0,85	0,76	1,13	1,12	1,00	1,53	1,49	0,60	1,00	1,00	1,00
57	22,25	11,85	12,54	1,00	1,00	1,00	1,00		A1/1	1,00	1,00	1,00	1,00	1,13	1,12	1,00	1,53	1,49	0,60	1,00	1,00	1,00
									A1/2	1,00	1,00	1,00	1,00	1,13	1,12	1,00	1,53	1,49	0,60	1,00	1,00	1,00
								X+	A1/3	1,00	0,84	0,85	0,77	1,13	1,12	1,00	1,53	1,49	0,60	1,00	1,00	1,00
								X-	A1/12	1,00	0,84	0,86	0,77	1,13	1,12	1,00	1,53	1,49	0,60	1,00	1,00	1,00
								Y+	A1/19	1,00	0,83	0,85	0,76	1,13	1,12	1,00	1,53	1,49	0,60	1,00	1,00	1,00
								Y-	A1/25	1,00	0,85	0,86	0,77	1,13	1,12	1,00	1,53	1,49	0,60	1,00	1,00	1,00

COEFFICIENTI DI PORTANZA PIASTRE WINKLER - CONDIZIONI DRENATE - S.L.U.

Piast	Brinch Hansen			IclTe	Incl.PianoPosa			Comb		Igk	CoeffIncl.Car.			Affondamento			Forma			Punzonamento		
Nro	Nc	Nq	Ng	Gc=Gq	Bc	Bq	Bg		N.ro	Sism	IcV	IqV	IgV	Dc	Dq	Dg	Sc	Sq	Sg	Psic	Psiq	Psig
58	22,25	11,85	12,54	1,00	1,00	1,00	1,00		A1/1	1,00	1,00	1,00	1,00	1,15	1,14	1,00	1,53	1,49	0,60	1,00	1,00	1,00
									A1/2	1,00	1,00	1,00	1,00	1,15	1,14	1,00	1,53	1,49	0,60	1,00	1,00	1,00
								X+	A1/8	1,00	0,83	0,84	0,75	1,15	1,14	1,00	1,53	1,49	0,60	1,00	1,00	1,00
								X-	A1/15	1,00	0,84	0,85	0,77	1,15	1,14	1,00	1,53	1,49	0,60	1,00	1,00	1,00
								Y+	A1/22	1,00	0,86	0,87	0,79	1,15	1,14	1,00	1,53	1,49	0,60	1,00	1,00	1,00
								Y-	A1/24	1,00	0,82	0,83	0,74	1,15	1,14	1,00	1,53	1,49	0,60	1,00	1,00	1,00
59	22,25	11,85	12,54	1,00	1,00	1,00	1,00		A1/1	1,00	1,00	1,00	1,00	1,13	1,12	1,00	1,53	1,49	0,60	1,00	1,00	1,00
									A1/2	1,00	1,00	1,00	1,00	1,13	1,12	1,00	1,53	1,49	0,60	1,00	1,00	1,00
								X+	A1/8	1,00	0,83	0,85	0,76	1,13	1,12	1,00	1,53	1,49	0,60	1,00	1,00	1,00
								X-	A1/15	1,00	0,85	0,86	0,78	1,13	1,12	1,00	1,53	1,49	0,60	1,00	1,00	1,00
								Y+	A1/22	1,00	0,84	0,86	0,77	1,13	1,12	1,00	1,53	1,49	0,60	1,00	1,00	1,00
								Y-	A1/24	1,00	0,83	0,85	0,76	1,13	1,12	1,00	1,53	1,49	0,60	1,00	1,00	1,00
60	22,25	11,85	12,54	1,00	1,00	1,00	1,00		A1/1	1,00	1,00	1,00	1,00	1,13	1,12	1,00	1,53	1,49	0,60	1,00	1,00	1,00
									A1/2	1,00	1,00	1,00	1,00	1,13	1,12	1,00	1,53	1,49	0,60	1,00	1,00	1,00
								X+	A1/3	1,00	0,83	0,85	0,76	1,13	1,12	1,00	1,53	1,49	0,60	1,00	1,00	1,00
								X-	A1/12	1,00	0,85	0,86	0,78	1,13	1,12	1,00	1,53	1,49	0,60	1,00	1,00	1,00
								Y+	A1/19	1,00	0,83	0,85	0,76	1,13	1,12	1,00	1,53	1,49	0,60	1,00	1,00	1,00
								Y-	A1/25	1,00	0,84	0,86	0,77	1,13	1,12	1,00	1,53	1,49	0,60	1,00	1,00	1,00
61	22,25	11,85	12,54	1,00	1,00	1,00	1,00		A1/1	1,00	1,00	1,00	1,00	1,13	1,12	1,00	1,53	1,49	0,60	1,00	1,00	1,00
									A1/2	1,00	1,00	1,00	1,00	1,13	1,12	1,00	1,53	1,49	0,60	1,00	1,00	1,00
								X+	A1/3	1,00	0,84	0,85	0,76	1,13	1,12	1,00	1,53	1,49	0,60	1,00	1,00	1,00
								X-	A1/12	1,00	0,85	0,86	0,78	1,13	1,12	1,00	1,53	1,49	0,60	1,00	1,00	1,00
								Y+	A1/19	1,00	0,83	0,85	0,76	1,13	1,12	1,00	1,53	1,49	0,60	1,00	1,00	1,00
								Y-	A1/25	1,00	0,84	0,86	0,77	1,13	1,12	1,00	1,53	1,49	0,60	1,00	1,00	1,00
62	22,25	11,85	12,54	1,00	1,00	1,00	1,00		A1/1	1,00	1,00	1,00	1,00	1,15	1,14	1,00	1,53	1,49	0,60	1,00	1,00	1,00
									A1/2	1,00	1,00	1,00	1,00	1,15	1,14	1,00	1,53	1,49	0,60	1,00	1,00	1,00
								X+	A1/8	1,00	0,83	0,84	0,75	1,15	1,14	1,00	1,53	1,49	0,60	1,00	1,00	1,00
								X-	A1/15	1,00	0,84	0,86	0,77	1,15	1,14	1,00	1,53	1,49	0,60	1,00	1,00	1,00
								Y+	A1/22	1,00	0,86	0,87	0,79	1,15	1,14	1,00	1,53	1,49	0,60	1,00	1,00	1,00
								Y-	A1/24	1,00	0,82	0,83	0,74	1,15	1,14	1,00	1,53	1,49	0,60	1,00	1,00	1,00
63	22,25	11,85	12,54	1,00	1,00	1,00	1,00		A1/1	1,00	1,00	1,00	1,00	1,13	1,12	1,00	1,53	1,49	0,60	1,00	1,00	1,00
									A1/2	1,00	1,00	1,00	1,00	1,13	1,12	1,00	1,53	1,49	0,60	1,00	1,00	1,00
								X+	A1/8	1,00	0,83	0,85	0,76	1,13	1,12	1,00	1,53	1,49	0,60	1,00	1,00	1,00
								X-	A1/15	1,00	0,85	0,86	0,78	1,13	1,12	1,00	1,53	1,49	0,60	1,00	1,00	1,00
								Y+	A1/22	1,00	0,84	0,86	0,77	1,13	1,12	1,00	1,53	1,49	0,60	1,00	1,00	1,00
								Y-	A1/24	1,00	0,83	0,84	0,75	1,13	1,12	1,00	1,53	1,49	0,60	1,00	1,00	1,00
64	22,25	11,85	12,54	1,00	1,00	1,00	1,00		A1/1	1,00	1,00	1,00	1,00	1,15	1,13	1,00	1,53	1,49	0,60	1,00	1,00	1,00
									A1/2	1,00	1,00	1,00	1,00	1,15	1,13	1,00	1,53	1,49	0,60	1,00	1,00	1,00
								X+	A1/8	1,00	0,83	0,84	0,75	1,15	1,13	1,00	1,53	1,49	0,60	1,00	1,00	1,00
								X-	A1/15	1,00	0,85	0,86	0,78	1,15	1,13	1,00	1,53	1,49	0,60	1,00	1,00	1,00
								Y+	A1/22	1,00	0,84	0,85	0,77	1,15	1,13	1,00	1,53	1,49	0,60	1,00	1,00	1,00
								Y-	A1/24	1,00	0,83	0,84	0,75	1,15	1,13	1,00	1,53	1,49	0,60	1,00	1,00	1,00
65	22,25	11,85	12,54	1,00	1,00	1,00	1,00		A1/1	1,00	1,00	1,00	1,00	1,18	1,16	1,00	1,53	1,49	0,60	1,00	1,00	1,00
									A1/2	1,00	1,00	1,00	1,00	1,18	1,16	1,00	1,53	1,49	0,60	1,00	1,00	1,00
								X+	A1/8	1,00	0,83	0,84	0,75	1,18	1,16	1,00	1,53	1,49	0,60	1,00	1,00	1,00
								X-	A1/15	1,00	0,84	0,86	0,77	1,18	1,16	1,00	1,53	1,49	0,60	1,00	1,00	1,00
								Y+	A1/22	1,00	0,86	0,87	0,79	1,18	1,16	1,00	1,53	1,49	0,60	1,00	1,00	1,00
								Y-	A1/24	1,00	0,82	0,83	0,73	1,18	1,16	1,00	1,53	1,49	0,60	1,00	1,00	1,00
66	22,25	11,85	12,54	1,00	1,00	1,00	1,00		A1/1	1,00	1,00	1,00	1,00	1,16	1,14	1,00	1,53	1,49	0,60	1,00	1,00	1,00
									A1/2	1,00	1,00	1,00	1,00	1,16	1,14	1,00	1,53	1,49	0,60	1,00	1,00	1,00
								X+	A1/3	1,00	0,83	0,84	0,75	1,16	1,14	1,00	1,53	1,49	0,60	1,00	1,00	1,00
								X-	A1/12	1,00	0,85	0,86	0,78	1,16	1,14	1,00	1,53	1,49	0,60	1,00	1,00	1,00
								Y+	A1/19	1,00	0,83	0,84	0,75	1,16	1,14	1,00	1,53	1,49	0,60	1,00	1,00	1,00
								Y-	A1/25	1,00	0,84	0,85	0,77	1,16	1,14	1,00	1,53	1,49	0,60	1,00	1,00	1,00
67	22,25	11,85	12,54	1,00	1,00	1,00	1,00		A1/1	1,00	1,00	1,00	1,00	1,13	1,12	1,00	1,53	1,49	0,60	1,00	1,00	1,00
									A1/2	1,00	1,00	1,00	1,00	1,13	1,12	1,00	1,53	1,49	0,60	1,00	1,00	1,00
								X+	A1/3	1,00	0,83	0,85	0,76	1,13	1,12	1,00	1,53	1,49	0,60	1,00	1,00	1,00
								X-	A1/12	1,00	0,85	0,86	0,78	1,13	1,12	1,00	1,53	1,49	0,60	1,00	1,00	1,00
								Y+	A1/19	1,00	0,83	0,84	0,75	1,13	1,12	1,00	1,53	1,49	0,60	1,00	1,00	1,00
								Y-	A1/25	1,00	0,84	0,86	0,77	1,13	1,12	1,00	1,53	1,49	0,60	1,00	1,00	1,00
68	22,25	11,85	12,54	1,00	1,00	1,00	1,00		A1/1	1,00	1,00	1,00	1,00	1,15	1,14	1,00	1,53	1,49	0,60	1,00	1,00	1,00
									A1/2	1,00	1,00	1,00	1,00	1,15	1,14	1,00	1,53	1,49	0,60	1,00	1,00	1,00
								X+	A1/3	1,00	0,83	0,85	0,76	1,15	1,14	1,00	1,53	1,49	0,60	1,00	1,00	1,00
								X-	A1/12	1,00	0,84	0,85	0,76	1,15	1,14	1,00	1,53	1,49	0,60	1,00	1,00	1,00
								Y+	A1/19	1,00	0,82	0,84	0,74	1,15	1,14	1,00	1,53	1,49	0,60	1,00	1,00	1,00
								Y-	A1/25	1,00	0,86	0,87	0,79	1,15	1,14	1,00	1,53	1,49	0,60	1,00	1,00	1,00
69	22,25	11,85	12,54	1,00	1,00	1,00	1,00		A1/1	1,00	1,00	1,00	1,00	1,15	1,14	1,00	1,53	1,49	0,60	1,00	1,00	1,00
									A1/2	1,00	1,00	1,00	1,00	1,15	1,14	1,00	1,53	1,49	0,60	1,00	1,00	1,00
								X+	A1/3	1,00	0,83	0,85	0,76	1,15	1,14	1,00	1,53	1,49	0,60	1,00	1,00	1,00
								X-	A1/12	1,00	0,84	0,85	0,77	1,15	1,14	1,00	1,53	1,49	0,60	1,00	1,00	1,00
								Y+	A1/19	1,00	0,82	0,83	0,74	1,15	1,14	1,00	1,53	1,49	0,60	1,00	1,00	1,00
								Y-	A1/25	1,00	0,86	0,87	0,79	1,15	1,14	1,00	1,53	1,49	0,60	1,00	1,00	1,00
70	22,25	11,85	12,54	1,00	1,00	1,00	1,00		A1/1	1,00	1,00	1,00	1,00	1,15	1,14	1,00	1,53	1,49	0,60	1,00	1,00	1,00
									A1/2	1,00	1,00	1,00	1,00	1,15	1,14	1,00	1,53	1,49	0,60	1,00	1,00	1,00
								X+	A1/3	1,00	0,83	0,84	0,75	1,15	1,14	1,00	1,53	1,49	0,60	1,00	1,00	1,00
								X-	A1/12	1,00	0,84	0,85	0,77	1,15	1,14	1,00	1,53	1,49	0,60	1,00	1,00	1,00
								Y+	A1/19	1,00	0,82	0,83	0,74	1,15	1,14	1,00	1,53	1,49	0,60	1,00	1,00	1,00
								Y-	A1/25	1,00	0,86	0,87	0,79	1,15	1,14	1,00	1,53	1,49	0,60	1,00	1,00	1,00
71	22,25	11,85	12,54	1,00	1,00	1,00	1,00		A1/1	1,00	1,00	1,00	1,00	1,15	1,14	1,00	1,53	1,49	0,60	1,00	1,00	1,00
									A1/2	1,00	1,00	1,00	1,00	1,15	1,14	1,00	1,53	1,49	0,60	1,00	1,00	1,00
								X+	A1/3	1,00	0,83	0,84	0,75	1,15	1,14	1,00	1,53	1,49	0,60	1,00	1,00	1,00
								X-	A1/12	1,00	0,84	0,86	0,77	1,15	1,14	1,00	1,53	1,49	0,60	1,00	1,00	1,00
								Y+	A1/19	1,00	0,82	0,83	0,74	1,15	1,14	1,00	1,53	1,49	0,60	1,00	1,00	1,00
								Y-	A1/25	1,00	0,86	0,87	0,79	1,15	1,14	1,00	1,53	1,49	0,60	1,00	1,00	1,00

COEFFICIENTI DI PORTANZA PIASTRE WINKLER - CONDIZIONI DRENATE - S.L.U.

Piast	Brinch Hansen			IclTe	Incl.PianoPosa			Comb		Igk	CoeffIncl.Car.			Affondamento			Forma			Punzonamento		
Nro	Nc	Nq	Ng	Gc=Gq	Bc	Bq	Bg		N.ro	Sism	IcV	IqV	IgV	Dc	Dq	Dg	Sc	Sq	Sg	Psic	Psiq	Psig
72	22,25	11,85	12,54	1,00	1,00	1,00	1,00		A1/1	1,00	1,00	1,00	1,00	1,18	1,16	1,00	1,53	1,49	0,60	1,00	1,00	1,00
									A1/2	1,00	1,00	1,00	1,00	1,18	1,16	1,00	1,53	1,49	0,60	1,00	1,00	1,00
								X+	A1/3	1,00	0,83	0,84	0,75	1,18	1,16	1,00	1,53	1,49	0,60	1,00	1,00	1,00
								X-	A1/12	1,00	0,84	0,86	0,77	1,18	1,16	1,00	1,53	1,49	0,60	1,00	1,00	1,00
								Y+	A1/19	1,00	0,82	0,83	0,73	1,18	1,16	1,00	1,53	1,49	0,60	1,00	1,00	1,00
								Y-	A1/25	1,00	0,86	0,87	0,79	1,18	1,16	1,00	1,53	1,49	0,60	1,00	1,00	1,00
73	22,25	11,85	12,54	1,00	1,00	1,00	1,00		A1/1	1,00	1,00	1,00	1,00	1,26	1,24	1,00	1,53	1,49	0,60	1,00	1,00	1,00
									A1/2	1,00	1,00	1,00	1,00	1,26	1,24	1,00	1,53	1,49	0,60	1,00	1,00	1,00
								X+	A1/9	1,00	0,84	0,85	0,76	1,26	1,24	1,00	1,53	1,49	0,60	1,00	1,00	1,00
								X-	A1/18	1,00	0,82	0,84	0,74	1,26	1,24	1,00	1,53	1,49	0,60	1,00	1,00	1,00
								Y+	A1/28	1,00	0,87	0,88	0,81	1,26	1,24	1,00	1,53	1,49	0,60	1,00	1,00	1,00
								Y-	A1/34	1,00	0,81	0,82	0,72	1,26	1,24	1,00	1,53	1,49	0,60	1,00	1,00	1,00
74	22,25	11,85	12,54	1,00	1,00	1,00	1,00		A1/1	1,00	1,00	1,00	1,00	1,26	1,24	1,00	1,53	1,49	0,60	1,00	1,00	1,00
									A1/2	1,00	1,00	1,00	1,00	1,26	1,24	1,00	1,53	1,49	0,60	1,00	1,00	1,00
								X+	A1/9	1,00	0,84	0,85	0,77	1,26	1,24	1,00	1,53	1,49	0,60	1,00	1,00	1,00
								X-	A1/18	1,00	0,82	0,84	0,74	1,26	1,24	1,00	1,53	1,49	0,60	1,00	1,00	1,00
								Y+	A1/28	1,00	0,87	0,88	0,81	1,26	1,24	1,00	1,53	1,49	0,60	1,00	1,00	1,00
								Y-	A1/34	1,00	0,81	0,82	0,72	1,26	1,24	1,00	1,53	1,49	0,60	1,00	1,00	1,00
75	22,25	11,85	12,54	1,00	1,00	1,00	1,00		A1/1	1,00	1,00	1,00	1,00	1,26	1,24	1,00	1,53	1,49	0,60	1,00	1,00	1,00
									A1/2	1,00	1,00	1,00	1,00	1,26	1,24	1,00	1,53	1,49	0,60	1,00	1,00	1,00
								X+	A1/9	1,00	0,83	0,85	0,76	1,26	1,24	1,00	1,53	1,49	0,60	1,00	1,00	1,00
								X-	A1/18	1,00	0,82	0,84	0,75	1,26	1,24	1,00	1,53	1,49	0,60	1,00	1,00	1,00
								Y+	A1/28	1,00	0,87	0,88	0,80	1,26	1,24	1,00	1,53	1,49	0,60	1,00	1,00	1,00
								Y-	A1/34	1,00	0,81	0,82	0,72	1,26	1,24	1,00	1,53	1,49	0,60	1,00	1,00	1,00
76	22,25	11,85	12,54	1,00	1,00	1,00	1,00		A1/1	1,00	1,00	1,00	1,00	1,26	1,24	1,00	1,53	1,49	0,60	1,00	1,00	1,00
									A1/2	1,00	1,00	1,00	1,00	1,26	1,24	1,00	1,53	1,49	0,60	1,00	1,00	1,00
								X+	A1/9	1,00	0,84	0,85	0,76	1,26	1,24	1,00	1,53	1,49	0,60	1,00	1,00	1,00
								X-	A1/18	1,00	0,82	0,84	0,75	1,26	1,24	1,00	1,53	1,49	0,60	1,00	1,00	1,00
								Y+	A1/28	1,00	0,87	0,88	0,81	1,26	1,24	1,00	1,53	1,49	0,60	1,00	1,00	1,00
								Y-	A1/34	1,00	0,81	0,82	0,72	1,26	1,24	1,00	1,53	1,49	0,60	1,00	1,00	1,00
77	22,25	11,85	12,54	1,00	1,00	1,00	1,00		A1/1	1,00	1,00	1,00	1,00	1,26	1,24	1,00	1,53	1,49	0,60	1,00	1,00	1,00
									A1/2	1,00	1,00	1,00	1,00	1,26	1,24	1,00	1,53	1,49	0,60	1,00	1,00	1,00
								X+	A1/9	1,00	0,83	0,84	0,75	1,26	1,24	1,00	1,53	1,49	0,60	1,00	1,00	1,00
								X-	A1/18	1,00	0,83	0,84	0,75	1,26	1,24	1,00	1,53	1,49	0,60	1,00	1,00	1,00
								Y+	A1/28	1,00	0,87	0,88	0,80	1,26	1,24	1,00	1,53	1,49	0,60	1,00	1,00	1,00
								Y-	A1/34	1,00	0,81	0,82	0,73	1,26	1,24	1,00	1,53	1,49	0,60	1,00	1,00	1,00
78	22,25	11,85	12,54	1,00	1,00	1,00	1,00		A1/1	1,00	1,00	1,00	1,00	1,26	1,24	1,00	1,53	1,49	0,60	1,00	1,00	1,00
									A1/2	1,00	1,00	1,00	1,00	1,26	1,24	1,00	1,53	1,49	0,60	1,00	1,00	1,00
								X+	A1/9	1,00	0,83	0,85	0,76	1,26	1,24	1,00	1,53	1,49	0,60	1,00	1,00	1,00
								X-	A1/18	1,00	0,83	0,84	0,75	1,26	1,24	1,00	1,53	1,49	0,60	1,00	1,00	1,00
								Y+	A1/28	1,00	0,87	0,88	0,80	1,26	1,24	1,00	1,53	1,49	0,60	1,00	1,00	1,00
								Y-	A1/34	1,00	0,81	0,82	0,72	1,26	1,24	1,00	1,53	1,49	0,60	1,00	1,00	1,00
79	22,25	11,85	12,54	1,00	1,00	1,00	1,00		A1/1	1,00	1,00	1,00	1,00	1,26	1,24	1,00	1,53	1,49	0,60	1,00	1,00	1,00
									A1/2	1,00	1,00	1,00	1,00	1,26	1,24	1,00	1,53	1,49	0,60	1,00	1,00	1,00
								X+	A1/6	1,00	0,84	0,85	0,76	1,26	1,24	1,00	1,53	1,49	0,60	1,00	1,00	1,00
								X-	A1/13	1,00	0,82	0,84	0,74	1,26	1,24	1,00	1,53	1,49	0,60	1,00	1,00	1,00
								Y+	A1/29	1,00	0,81	0,82	0,72	1,26	1,24	1,00	1,53	1,49	0,60	1,00	1,00	1,00
								Y-	A1/31	1,00	0,87	0,88	0,81	1,26	1,24	1,00	1,53	1,49	0,60	1,00	1,00	1,00
80	22,25	11,85	12,54	1,00	1,00	1,00	1,00		A1/1	1,00	1,00	1,00	1,00	1,26	1,24	1,00	1,53	1,49	0,60	1,00	1,00	1,00
									A1/2	1,00	1,00	1,00	1,00	1,26	1,24	1,00	1,53	1,49	0,60	1,00	1,00	1,00
								X+	A1/6	1,00	0,84	0,85	0,77	1,26	1,24	1,00	1,53	1,49	0,60	1,00	1,00	1,00
								X-	A1/13	1,00	0,82	0,84	0,74	1,26	1,24	1,00	1,53	1,49	0,60	1,00	1,00	1,00
								Y+	A1/29	1,00	0,81	0,82	0,72	1,26	1,24	1,00	1,53	1,49	0,60	1,00	1,00	1,00
								Y-	A1/31	1,00	0,87	0,88	0,81	1,26	1,24	1,00	1,53	1,49	0,60	1,00	1,00	1,00
81	22,25	11,85	12,54	1,00	1,00	1,00	1,00		A1/1	1,00	1,00	1,00	1,00	1,26	1,24	1,00	1,53	1,49	0,60	1,00	1,00	1,00
									A1/2	1,00	1,00	1,00	1,00	1,26	1,24	1,00	1,53	1,49	0,60	1,00	1,00	1,00
								X+	A1/6	1,00	0,83	0,85	0,76	1,26	1,24	1,00	1,53	1,49	0,60	1,00	1,00	1,00
								X-	A1/13	1,00	0,82	0,84	0,75	1,26	1,24	1,00	1,53	1,49	0,60	1,00	1,00	1,00
								Y+	A1/29	1,00	0,81	0,82	0,72	1,26	1,24	1,00	1,53	1,49	0,60	1,00	1,00	1,00
								Y-	A1/31	1,00	0,87	0,88	0,81	1,26	1,24	1,00	1,53	1,49	0,60	1,00	1,00	1,00
82	22,25	11,85	12,54	1,00	1,00	1,00	1,00		A1/1	1,00	1,00	1,00	1,00	1,26	1,24	1,00	1,53	1,49	0,60	1,00	1,00	1,00
									A1/2	1,00	1,00	1,00	1,00	1,26	1,24	1,00	1,53	1,49	0,60	1,00	1,00	1,00
								X+	A1/6	1,00	0,83	0,85	0,76	1,26	1,24	1,00	1,53	1,49	0,60	1,00	1,00	1,00
								X-	A1/13	1,00	0,82	0,84	0,75	1,26	1,24	1,00	1,53	1,49	0,60	1,00	1,00	1,00
								Y+	A1/29	1,00	0,81	0,82	0,72	1,26	1,24	1,00	1,53	1,49	0,60	1,00	1,00	1,00
								Y-	A1/31	1,00	0,87	0,88	0,80	1,26	1,24	1,00	1,53	1,49	0,60	1,00	1,00	1,00
83	22,25	11,85	12,54	1,00	1,00	1,00	1,00		A1/1	1,00	1,00	1,00	1,00	1,26	1,24	1,00	1,53	1,49	0,60	1,00	1,00	1,00
									A1/2	1,00	1,00	1,00	1,00	1,26	1,24	1,00	1,53	1,49	0,60	1,00	1,00	1,00
								X+	A1/6	1,00	0,83	0,84	0,75	1,26	1,24	1,00	1,53	1,49	0,60	1,00	1,00	1,00
								X-	A1/13	1,00	0,83	0,84	0,75	1,26	1,24	1,00	1,53	1,49	0,60	1,00	1,00	1,00
								Y+	A1/29	1,00	0,81	0,82	0,73	1,26	1,24	1,00	1,53	1,49	0,60	1,00	1,00	1,00
								Y-	A1/31	1,00	0,87	0,88	0,80	1,26	1,24	1,00	1,53	1,49	0,60	1,00	1,00	1,00
84	22,25	11,85	12,54	1,00	1,00	1,00	1,00		A1/1	1,00	1,00	1,00	1,00	1,26	1,24	1,00	1,53	1,49	0,60	1,00	1,00	1,00
									A1/2	1,00	1,00	1,00	1,00	1,26	1,24	1,00	1,53	1,49	0,60	1,00	1,00	1,00
								X+	A1/6	1,00	0,83	0,85	0,76	1,26	1,24	1,00	1,53	1,49	0,60	1,00	1,00	1,00
								X-	A1/13	1,00	0,83	0,84	0,75	1,26	1,24	1,00	1,53	1,49	0,60	1,00	1,00	1,00
								Y+	A1/29	1,00	0,81	0,82	0,72	1,26	1,24	1,00	1,53	1,49	0,60	1,00	1,00	1,00
								Y-	A1/31	1,00	0,87	0,88	0,80	1,26	1,24	1,00	1,53	1,49	0,60	1,00	1,00	1,00
85	22,25	11,85	12,54	1,00	1,00	1,00	1,00		A1/1	1,00	1,00	1,00	1,00	1,26	1,24	1,00	1,53	1,49	0,60	1,00	1,00	1,00
									A1/2	1,00	1,00	1,00	1,00	1,26	1,24	1,00	1,53	1,49	0,60	1,00	1,00	1,00
								X+	A1/8	1,00	0,82	0,84	0,75	1,26	1,24	1,00	1,53	1,49	0,60	1,00	1,00	1,00
								X-	A1/15	1,00	0,83	0,85	0,76	1,26	1,24	1,00	1,53	1,49	0,60	1,00	1,00	1,00
								Y+	A1/22	1,00	0,87	0,88	0,81	1,26	1,24	1,00	1,53	1,49	0,60	1,00	1,00	1,00
								Y-	A1/24	1,00	0,81	0,82	0,72	1,26	1,24	1,00	1,53	1,49	0,60	1,00	1,00	1,00

COEFFICIENTI DI PORTANZA PIASTRE WINKLER - CONDIZIONI DRENATE - S.L.U.

Piast	Brinch Hansen			IclTe	Incl.PianoPosa			Comb		Igk	CoeffIncl.Car.			Affondamento			Forma			Punzonamento		
Nro	Nc	Nq	Ng	Gc=Gq	Bc	Bq	Bg		N.ro	Sism	IcV	IqV	IgV	Dc	Dq	Dg	Sc	Sq	Sg	Psic	Psiq	Psig
86	22,25	11,85	12,54	1,00	1,00	1,00	1,00		A1/1	1,00	1,00	1,00	1,00	1,26	1,24	1,00	1,53	1,49	0,60	1,00	1,00	1,00
									A1/2	1,00	1,00	1,00	1,00	1,26	1,24	1,00	1,53	1,49	0,60	1,00	1,00	1,00
								X+	A1/8	1,00	0,82	0,84	0,75	1,26	1,24	1,00	1,53	1,49	0,60	1,00	1,00	1,00
								X-	A1/15	1,00	0,83	0,85	0,76	1,26	1,24	1,00	1,53	1,49	0,60	1,00	1,00	1,00
								Y+	A1/22	1,00	0,87	0,88	0,80	1,26	1,24	1,00	1,53	1,49	0,60	1,00	1,00	1,00
								Y-	A1/24	1,00	0,81	0,82	0,72	1,26	1,24	1,00	1,53	1,49	0,60	1,00	1,00	1,00
87	22,25	11,85	12,54	1,00	1,00	1,00	1,00		A1/1	1,00	1,00	1,00	1,00	1,26	1,24	1,00	1,53	1,49	0,60	1,00	1,00	1,00
									A1/2	1,00	1,00	1,00	1,00	1,26	1,24	1,00	1,53	1,49	0,60	1,00	1,00	1,00
								X+	A1/8	1,00	0,82	0,84	0,74	1,26	1,24	1,00	1,53	1,49	0,60	1,00	1,00	1,00
								X-	A1/15	1,00	0,84	0,85	0,77	1,26	1,24	1,00	1,53	1,49	0,60	1,00	1,00	1,00
								Y+	A1/22	1,00	0,87	0,88	0,81	1,26	1,24	1,00	1,53	1,49	0,60	1,00	1,00	1,00
								Y-	A1/24	1,00	0,81	0,82	0,72	1,26	1,24	1,00	1,53	1,49	0,60	1,00	1,00	1,00
88	22,25	11,85	12,54	1,00	1,00	1,00	1,00		A1/1	1,00	1,00	1,00	1,00	1,26	1,24	1,00	1,53	1,49	0,60	1,00	1,00	1,00
									A1/2	1,00	1,00	1,00	1,00	1,26	1,24	1,00	1,53	1,49	0,60	1,00	1,00	1,00
								X+	A1/8	1,00	0,82	0,84	0,74	1,26	1,24	1,00	1,53	1,49	0,60	1,00	1,00	1,00
								X-	A1/15	1,00	0,84	0,85	0,76	1,26	1,24	1,00	1,53	1,49	0,60	1,00	1,00	1,00
								Y+	A1/22	1,00	0,87	0,88	0,81	1,26	1,24	1,00	1,53	1,49	0,60	1,00	1,00	1,00
								Y-	A1/24	1,00	0,81	0,82	0,72	1,26	1,24	1,00	1,53	1,49	0,60	1,00	1,00	1,00
89	22,25	11,85	12,54	1,00	1,00	1,00	1,00		A1/1	1,00	1,00	1,00	1,00	1,26	1,24	1,00	1,53	1,49	0,60	1,00	1,00	1,00
									A1/2	1,00	1,00	1,00	1,00	1,26	1,24	1,00	1,53	1,49	0,60	1,00	1,00	1,00
								X+	A1/3	1,00	0,83	0,84	0,75	1,26	1,24	1,00	1,53	1,49	0,60	1,00	1,00	1,00
								X-	A1/12	1,00	0,83	0,85	0,76	1,26	1,24	1,00	1,53	1,49	0,60	1,00	1,00	1,00
								Y+	A1/19	1,00	0,81	0,82	0,72	1,26	1,24	1,00	1,53	1,49	0,60	1,00	1,00	1,00
								Y-	A1/25	1,00	0,87	0,88	0,80	1,26	1,24	1,00	1,53	1,49	0,60	1,00	1,00	1,00
90	22,25	11,85	12,54	1,00	1,00	1,00	1,00		A1/1	1,00	1,00	1,00	1,00	1,26	1,24	1,00	1,53	1,49	0,60	1,00	1,00	1,00
									A1/2	1,00	1,00	1,00	1,00	1,26	1,24	1,00	1,53	1,49	0,60	1,00	1,00	1,00
								X+	A1/3	1,00	0,83	0,84	0,75	1,26	1,24	1,00	1,53	1,49	0,60	1,00	1,00	1,00
								X-	A1/12	1,00	0,83	0,84	0,75	1,26	1,24	1,00	1,53	1,49	0,60	1,00	1,00	1,00
								Y+	A1/19	1,00	0,81	0,82	0,73	1,26	1,24	1,00	1,53	1,49	0,60	1,00	1,00	1,00
								Y-	A1/25	1,00	0,87	0,88	0,80	1,26	1,24	1,00	1,53	1,49	0,60	1,00	1,00	1,00
91	22,25	11,85	12,54	1,00	1,00	1,00	1,00		A1/1	1,00	1,00	1,00	1,00	1,26	1,24	1,00	1,53	1,49	0,60	1,00	1,00	1,00
									A1/2	1,00	1,00	1,00	1,00	1,26	1,24	1,00	1,53	1,49	0,60	1,00	1,00	1,00
								X+	A1/3	1,00	0,82	0,84	0,75	1,26	1,24	1,00	1,53	1,49	0,60	1,00	1,00	1,00
								X-	A1/12	1,00	0,83	0,85	0,76	1,26	1,24	1,00	1,53	1,49	0,60	1,00	1,00	1,00
								Y+	A1/19	1,00	0,81	0,82	0,72	1,26	1,24	1,00	1,53	1,49	0,60	1,00	1,00	1,00
								Y-	A1/25	1,00	0,87	0,88	0,80	1,26	1,24	1,00	1,53	1,49	0,60	1,00	1,00	1,00
92	22,25	11,85	12,54	1,00	1,00	1,00	1,00		A1/1	1,00	1,00	1,00	1,00	1,26	1,24	1,00	1,53	1,49	0,60	1,00	1,00	1,00
									A1/2	1,00	1,00	1,00	1,00	1,26	1,24	1,00	1,53	1,49	0,60	1,00	1,00	1,00
								X+	A1/3	1,00	0,82	0,84	0,75	1,26	1,24	1,00	1,53	1,49	0,60	1,00	1,00	1,00
								X-	A1/12	1,00	0,84	0,85	0,76	1,26	1,24	1,00	1,53	1,49	0,60	1,00	1,00	1,00
								Y+	A1/19	1,00	0,81	0,82	0,72	1,26	1,24	1,00	1,53	1,49	0,60	1,00	1,00	1,00
								Y-	A1/25	1,00	0,87	0,88	0,81	1,26	1,24	1,00	1,53	1,49	0,60	1,00	1,00	1,00
93	22,25	11,85	12,54	1,00	1,00	1,00	1,00		A1/1	1,00	1,00	1,00	1,00	1,26	1,24	1,00	1,53	1,49	0,60	1,00	1,00	1,00
									A1/2	1,00	1,00	1,00	1,00	1,26	1,24	1,00	1,53	1,49	0,60	1,00	1,00	1,00
								X+	A1/3	1,00	0,82	0,84	0,74	1,26	1,24	1,00	1,53	1,49	0,60	1,00	1,00	1,00
								X-	A1/12	1,00	0,84	0,85	0,76	1,26	1,24	1,00	1,53	1,49	0,60	1,00	1,00	1,00
								Y+	A1/19	1,00	0,81	0,82	0,72	1,26	1,24	1,00	1,53	1,49	0,60	1,00	1,00	1,00
								Y-	A1/25	1,00	0,87	0,88	0,81	1,26	1,24	1,00	1,53	1,49	0,60	1,00	1,00	1,00
94	22,25	11,85	12,54	1,00	1,00	1,00	1,00		A1/1	1,00	1,00	1,00	1,00	1,26	1,24	1,00	1,53	1,49	0,60	1,00	1,00	1,00
									A1/2	1,00	1,00	1,00	1,00	1,26	1,24	1,00	1,53	1,49	0,60	1,00	1,00	1,00
								X+	A1/3	1,00	0,82	0,84	0,74	1,26	1,24	1,00	1,53	1,49	0,60	1,00	1,00	1,00
								X-	A1/12	1,00	0,84	0,85	0,77	1,26	1,24	1,00	1,53	1,49	0,60	1,00	1,00	1,00
								Y+	A1/19	1,00	0,81	0,82	0,72	1,26	1,24	1,00	1,53	1,49	0,60	1,00	1,00	1,00
								Y-	A1/25	1,00	0,87	0,88	0,81	1,26	1,24	1,00	1,53	1,49	0,60	1,00	1,00	1,00
95	22,25	11,85	12,54	1,00	1,00	1,00	1,00		A1/1	1,00	1,00	1,00	1,00	1,26	1,24	1,00	1,53	1,49	0,60	1,00	1,00	1,00
									A1/2	1,00	1,00	1,00	1,00	1,26	1,24	1,00	1,53	1,49	0,60	1,00	1,00	1,00
								X+	A1/8	1,00	0,83	0,84	0,75	1,26	1,24	1,00	1,53	1,49	0,60	1,00	1,00	1,00
								X-	A1/15	1,00	0,83	0,84	0,75	1,26	1,24	1,00	1,53	1,49	0,60	1,00	1,00	1,00
								Y+	A1/22	1,00	0,87	0,88	0,80	1,26	1,24	1,00	1,53	1,49	0,60	1,00	1,00	1,00
								Y-	A1/24	1,00	0,81	0,82	0,73	1,26	1,24	1,00	1,53	1,49	0,60	1,00	1,00	1,00
96	22,25	11,85	12,54	1,00	1,00	1,00	1,00		A1/1	1,00	1,00	1,00	1,00	1,26	1,24	1,00	1,53	1,49	0,60	1,00	1,00	1,00
									A1/2	1,00	1,00	1,00	1,00	1,26	1,24	1,00	1,53	1,49	0,60	1,00	1,00	1,00
								X+	A1/8	1,00	0,83	0,84	0,75	1,26	1,24	1,00	1,53	1,49	0,60	1,00	1,00	1,00
								X-	A1/15	1,00	0,83	0,85	0,76	1,26	1,24	1,00	1,53	1,49	0,60	1,00	1,00	1,00
								Y+	A1/22	1,00	0,87	0,88	0,80	1,26	1,24	1,00	1,53	1,49	0,60	1,00	1,00	1,00
								Y-	A1/24	1,00	0,81	0,82	0,72	1,26	1,24	1,00	1,53	1,49	0,60	1,00	1,00	1,00
97	22,25	11,85	12,54	1,00	1,00	1,00	1,00		A1/1	1,00	1,00	1,00	1,00	1,27	1,25	1,00	1,53	1,49	0,60	1,00	1,00	1,00
									A1/2	1,00	1,00	1,00	1,00	1,27	1,25	1,00	1,53	1,49	0,60	1,00	1,00	1,00
								X+	A1/9	1,00	0,85	0,86	0,78	1,27	1,25	1,00	1,53	1,49	0,60	1,00	1,00	1,00
								X-	A1/18	1,00	0,82	0,84	0,75	1,27	1,25	1,00	1,53	1,49	0,60	1,00	1,00	1,00
								Y+	A1/28	1,00	0,86	0,87	0,79	1,27	1,25	1,00	1,53	1,49	0,60	1,00	1,00	1,00
								Y-	A1/34	1,00	0,81	0,83	0,73	1,27	1,25	1,00	1,53	1,49	0,60	1,00	1,00	1,00
98	22,25	11,85	12,54	1,00	1,00	1,00	1,00		A1/1	1,00	1,00	1,00	1,00	1,29	1,27	1,00	1,53	1,49	0,60	1,00	1,00	1,00
									A1/2	1,00	1,00	1,00	1,00	1,29	1,27	1,00	1,53	1,49	0,60	1,00	1,00	1,00
								X+	A1/9	1,00	0,85	0,86	0,78	1,29	1,27	1,00	1,53	1,49	0,60	1,00	1,00	1,00
								X-	A1/18	1,00	0,83	0,84	0,75	1,29	1,27	1,00	1,53	1,49	0,60	1,00	1,00	1,00
								Y+	A1/28	1,00	0,84	0,85	0,77	1,29	1,27	1,00	1,53	1,49	0,60	1,00	1,00	1,00
								Y-	A1/34	1,00	0,83	0,84	0,75	1,29	1,27	1,00	1,53	1,49	0,60	1,00	1,00	1,00
99	22,25	11,85	12,54	1,00	1,00	1,00	1,00		A1/1	1,00	1,00	1,00	1,00	1,29	1,27	1,00	1,53	1,49	0,60	1,00	1,00	1,00
									A1/2	1,00	1,00	1,00	1,00	1,29	1,27	1,00	1,53	1,49	0,60	1,00	1,00	1,00
								X+	A1/6	1,00	0,85	0,86	0,78	1,29	1,27	1,00	1,53	1,49	0,60	1,00	1,00	1,00
								X-	A1/13	1,00	0,83	0,84	0,75	1,29	1,27	1,00	1,53	1,49	0,60	1,00	1,00	1,00
								Y+	A1/29	1,00	0,83	0,84	0,75	1,29	1,27	1,00	1,53	1,49	0,60	1,00	1,00	1,00
								Y-	A1/31	1,00	0,84	0,85	0,77	1,29	1,27	1,00	1,53	1,49	0,60	1,00	1,00	1,00

COEFFICIENTI DI PORTANZA PIASTRE WINKLER - CONDIZIONI DRENATE - S.L.U.

Piast	Brinch Hansen			IclTe	Incl.PianoPosa			Comb		Igk	CoeffIncl.Car.			Affondamento			Forma			Punzonamento		
Nro	Nc	Nq	Ng	Gc=Gq	Bc	Bq	Bg		N.ro	Sism	IcV	IqV	IgV	Dc	Dq	Dg	Sc	Sq	Sg	Psic	Psiq	Psig
100	22,25	11,85	12,54	1,00	1,00	1,00	1,00		A1/1	1,00	1,00	1,00	1,00	1,27	1,25	1,00	1,53	1,49	0,60	1,00	1,00	1,00
									A1/2	1,00	1,00	1,00	1,00	1,27	1,25	1,00	1,53	1,49	0,60	1,00	1,00	1,00
								X+	A1/6	1,00	0,85	0,86	0,78	1,27	1,25	1,00	1,53	1,49	0,60	1,00	1,00	1,00
								X-	A1/13	1,00	0,82	0,84	0,75	1,27	1,25	1,00	1,53	1,49	0,60	1,00	1,00	1,00
								Y+	A1/29	1,00	0,81	0,83	0,73	1,27	1,25	1,00	1,53	1,49	0,60	1,00	1,00	1,00
								Y-	A1/31	1,00	0,86	0,87	0,79	1,27	1,25	1,00	1,53	1,49	0,60	1,00	1,00	1,00
101	22,25	11,85	12,54	1,00	1,00	1,00	1,00		A1/1	1,00	1,00	1,00	1,00	1,27	1,25	1,00	1,53	1,49	0,60	1,00	1,00	1,00
									A1/2	1,00	1,00	1,00	1,00	1,27	1,25	1,00	1,53	1,49	0,60	1,00	1,00	1,00
								X+	A1/8	1,00	0,82	0,84	0,75	1,27	1,25	1,00	1,53	1,49	0,60	1,00	1,00	1,00
								X-	A1/15	1,00	0,85	0,86	0,78	1,27	1,25	1,00	1,53	1,49	0,60	1,00	1,00	1,00
								Y+	A1/22	1,00	0,86	0,87	0,79	1,27	1,25	1,00	1,53	1,49	0,60	1,00	1,00	1,00
								Y-	A1/24	1,00	0,81	0,83	0,73	1,27	1,25	1,00	1,53	1,49	0,60	1,00	1,00	1,00
102	22,25	11,85	12,54	1,00	1,00	1,00	1,00		A1/1	1,00	1,00	1,00	1,00	1,27	1,25	1,00	1,53	1,49	0,60	1,00	1,00	1,00
									A1/2	1,00	1,00	1,00	1,00	1,27	1,25	1,00	1,53	1,49	0,60	1,00	1,00	1,00
								X+	A1/8	1,00	0,83	0,84	0,75	1,27	1,25	1,00	1,53	1,49	0,60	1,00	1,00	1,00
								X-	A1/15	1,00	0,85	0,86	0,78	1,27	1,25	1,00	1,53	1,49	0,60	1,00	1,00	1,00
								Y+	A1/22	1,00	0,84	0,85	0,77	1,27	1,25	1,00	1,53	1,49	0,60	1,00	1,00	1,00
								Y-	A1/24	1,00	0,83	0,84	0,75	1,27	1,25	1,00	1,53	1,49	0,60	1,00	1,00	1,00
103	22,25	11,85	12,54	1,00	1,00	1,00	1,00		A1/1	1,00	1,00	1,00	1,00	1,27	1,25	1,00	1,53	1,49	0,60	1,00	1,00	1,00
									A1/2	1,00	1,00	1,00	1,00	1,27	1,25	1,00	1,53	1,49	0,60	1,00	1,00	1,00
								X+	A1/3	1,00	0,83	0,84	0,75	1,27	1,25	1,00	1,53	1,49	0,60	1,00	1,00	1,00
								X-	A1/12	1,00	0,85	0,86	0,78	1,27	1,25	1,00	1,53	1,49	0,60	1,00	1,00	1,00
								Y+	A1/19	1,00	0,83	0,84	0,75	1,27	1,25	1,00	1,53	1,49	0,60	1,00	1,00	1,00
								Y-	A1/25	1,00	0,84	0,85	0,77	1,27	1,25	1,00	1,53	1,49	0,60	1,00	1,00	1,00
104	22,25	11,85	12,54	1,00	1,00	1,00	1,00		A1/1	1,00	1,00	1,00	1,00	1,29	1,27	1,00	1,53	1,49	0,60	1,00	1,00	1,00
									A1/2	1,00	1,00	1,00	1,00	1,29	1,27	1,00	1,53	1,49	0,60	1,00	1,00	1,00
								X+	A1/3	1,00	0,82	0,84	0,75	1,29	1,27	1,00	1,53	1,49	0,60	1,00	1,00	1,00
								X-	A1/12	1,00	0,85	0,86	0,78	1,29	1,27	1,00	1,53	1,49	0,60	1,00	1,00	1,00
								Y+	A1/19	1,00	0,81	0,83	0,73	1,29	1,27	1,00	1,53	1,49	0,60	1,00	1,00	1,00
								Y-	A1/25	1,00	0,86	0,87	0,79	1,29	1,27	1,00	1,53	1,49	0,60	1,00	1,00	1,00

CARICO LIMITE PIASTRE WINKLER - S.L.U.

IDENTIIFICATIVO						DRENATE		NON DRENATE		RISULTATI					
Piastr N.ro	Nodo3d N.ro		Comb N.ro	Bx' m	By' m	GamEf kg/mc	QLimV (t)	GamEf kg/mc	QLimV (t)	N (t)	Coeff. Sicur.	Minimo CoeSic	N/Ar kg/cmq	QLim/Ar kg/cmq	Status Verifica
1	1		A1/1	0,82	0,82	1900	23,4								
			A1/2	0,82	0,82	1900	23,4								
		X+	A1/9	0,82	0,82	1900	19,7								
		X-	A1/18	0,82	0,82	1900	19,2								
		Y+	A1/28	0,82	0,82	1900	20,2								
		Y-	A1/34	0,82	0,82	1900	18,9								
2	2		A1/1	0,84	0,84	1900	24,9								
			A1/2	0,84	0,84	1900	24,9								
		X+	A1/8	0,84	0,84	1900	20,4								
		X-	A1/15	0,84	0,84	1900	20,9								
		Y+	A1/22	0,84	0,84	1900	21,4								
		Y-	A1/24	0,84	0,84	1900	20,1								
3	5		A1/1	0,89	0,89	1900	27,7								
			A1/2	0,89	0,89	1900	27,7								
		X+	A1/3	0,89	0,89	1900	22,7								
		X-	A1/12	0,89	0,89	1900	23,3								
		Y+	A1/19	0,89	0,89	1900	22,3								
		Y-	A1/25	0,89	0,89	1900	23,9								
4	6		A1/1	0,84	0,84	1900	24,9								
			A1/2	0,84	0,84	1900	24,9								
		X+	A1/6	0,84	0,84	1900	20,9								
		X-	A1/13	0,84	0,84	1900	20,4								
		Y+	A1/29	0,84	0,84	1900	20,1								
		Y-	A1/31	0,84	0,84	1900	21,4								
5	9		A1/1	0,46	0,46	1900	7,8								
			A1/2	0,46	0,46	1900	7,8								
		X+	A1/9	0,46	0,46	1900	6,6								
		X-	A1/18	0,46	0,46	1900	6,4								
		Y+	A1/28	0,46	0,46	1900	6,8								
		Y-	A1/34	0,46	0,46	1900	6,3								
6	10		A1/1	0,46	0,46	1900	7,8								
			A1/2	0,46	0,46	1900	7,8								
		X+	A1/8	0,46	0,46	1900	6,4								
		X-	A1/15	0,46	0,46	1900	6,6								
		Y+	A1/22	0,46	0,46	1900	6,8								
		Y-	A1/24	0,46	0,46	1900	6,3								
7	11		A1/1	0,41	0,41	1900	6,4								
			A1/2	0,41	0,41	1900	6,4								
		X+	A1/3	0,41	0,41	1900	5,3								
		X-	A1/12	0,41	0,41	1900	5,4								
		Y+	A1/19	0,41	0,41	1900	5,2								
		Y-	A1/25	0,41	0,41	1900	5,6								
8	12		A1/1	0,46	0,46	1900	7,8								
			A1/2	0,46	0,46	1900	7,8								
		X+	A1/6	0,46	0,46	1900	6,6								
		X-	A1/13	0,46	0,46	1900	6,4								

CARICO LIMITE PIASTRE WINKLER - S.L.U.

IDENTIIFICATIVO						DRENATE		NON DRENATE		RISULTATI					
Piastr N.ro	Nodo3d N.ro	Comb N.ro		Bx' m	By' m	GamEf kg/mc	QLimV (t)	GamEf kg/mc	QLimV (t)	N (t)	Coeff. Sicur.	Minimo CoeSic	N/Ar kg/cmq	QLim/Ar kg/cmq	Status Verifica
		Y+	A1/29	0,46	0,46	1900	6,3								
		Y-	A1/31	0,46	0,46	1900	6,8								
9	13		A1/1	0,96	0,96	1900	32,0								
			A1/2	0,96	0,96	1900	32,0								
		X+	A1/9	0,96	0,96	1900	26,7								
		X-	A1/18	0,96	0,96	1900	26,3								
		Y+	A1/28	0,96	0,96	1900	27,5								
		Y-	A1/34	0,96	0,96	1900	25,9								
10	14		A1/1	0,96	0,96	1900	32,0								
			A1/2	0,96	0,96	1900	32,0								
		X+	A1/9	0,96	0,96	1900	26,6								
		X-	A1/18	0,96	0,96	1900	26,4								
		Y+	A1/28	0,96	0,96	1900	27,4								
		Y-	A1/34	0,96	0,96	1900	25,9								
11	15		A1/1	0,96	0,96	1900	32,0								
			A1/2	0,96	0,96	1900	32,0								
		X+	A1/9	0,96	0,96	1900	26,5								
		X-	A1/18	0,96	0,96	1900	26,5								
		Y+	A1/19	0,96	0,96	1900	27,5								
		Y-	A1/25	0,96	0,96	1900	25,9								
12	16		A1/1	0,96	0,96	1900	32,0								
			A1/2	0,96	0,96	1900	32,0								
		X+	A1/8	0,96	0,96	1900	26,4								
		X-	A1/15	0,96	0,96	1900	26,6								
		Y+	A1/22	0,96	0,96	1900	27,4								
		Y-	A1/24	0,96	0,96	1900	25,9								
13	17		A1/1	0,96	0,96	1900	32,0								
			A1/2	0,96	0,96	1900	32,0								
		X+	A1/8	0,96	0,96	1900	26,3								
		X-	A1/15	0,96	0,96	1900	26,7								
		Y+	A1/22	0,96	0,96	1900	27,5								
		Y-	A1/24	0,96	0,96	1900	25,9								
14	18		A1/1	0,96	0,96	1900	32,0								
			A1/2	0,96	0,96	1900	32,0								
		X+	A1/3	0,96	0,96	1900	26,3								
		X-	A1/12	0,96	0,96	1900	26,7								
		Y+	A1/19	0,96	0,96	1900	25,9								
		Y-	A1/25	0,96	0,96	1900	27,5								
15	19		A1/1	0,96	0,96	1900	32,0								
			A1/2	0,96	0,96	1900	32,0								
		X+	A1/3	0,96	0,96	1900	26,4								
		X-	A1/12	0,96	0,96	1900	26,6								
		Y+	A1/19	0,96	0,96	1900	25,9								
		Y-	A1/25	0,96	0,96	1900	27,4								
16	20		A1/1	0,96	0,96	1900	32,0								
			A1/2	0,96	0,96	1900	32,0								
		X+	A1/3	0,96	0,96	1900	26,5								
		X-	A1/12	0,96	0,96	1900	26,5								
		Y+	A1/28	0,96	0,96	1900	25,9								
		Y-	A1/34	0,96	0,96	1900	27,5								
17	21		A1/1	0,96	0,96	1900	32,0								
			A1/2	0,96	0,96	1900	32,0								
		X+	A1/6	0,96	0,96	1900	26,6								
		X-	A1/13	0,96	0,96	1900	26,4								
		Y+	A1/29	0,96	0,96	1900	25,9								
		Y-	A1/31	0,96	0,96	1900	27,4								
18	22		A1/1	0,96	0,96	1900	32,0								
			A1/2	0,96	0,96	1900	32,0								
		X+	A1/6	0,96	0,96	1900	26,7								
		X-	A1/13	0,96	0,96	1900	26,3								
		Y+	A1/29	0,96	0,96	1900	25,9								
		Y-	A1/31	0,96	0,96	1900	27,5								
19	23		A1/1	0,68	0,68	1900	16,3								
			A1/2	0,68	0,68	1900	16,3								
		X+	A1/8	0,68	0,68	1900	13,5								
		X-	A1/15	0,68	0,68	1900	13,8								
		Y+	A1/22	0,68	0,68	1900	13,8								
		Y-	A1/24	0,68	0,68	1900	13,4								
20	24		A1/1	0,68	0,68	1900	16,3								
			A1/2	0,68	0,68	1900	16,3								
		X+	A1/6	0,68	0,68	1900	13,5								
		X-	A1/13	0,68	0,68	1900	13,9								
		Y+	A1/22	0,68	0,68	1900	13,6								
		Y-	A1/24	0,68	0,68	1900	13,6								
21	25		A1/1	0,71	0,71	1900	17,8								
			A1/2	0,71	0,71	1900	17,8								

CARICO LIMITE PIASTRE WINKLER - S.L.U.

IDENTIIFICATIVO						DRENATE		NON DRENATE		RISULTATI					
Piastr N.ro	Nodo3d N.ro	Comb N.ro		Bx' m	By' m	GamEf kg/mc	QLimV (t)	GamEf kg/mc	QLimV (t)	N (t)	Coeff. Sicur.	Minimo CoeSic	N/Ar kg/cmq	QLim/Ar kg/cmq	Status Verifica
		X+	A1/3	0,71	0,71	1900	14,6								
		X-	A1/12	0,71	0,71	1900	15,0								
		Y+	A1/19	0,71	0,71	1900	14,5								
		Y-	A1/25	0,71	0,71	1900	15,0								
22	26		A1/1	0,71	0,71	1900	17,8								
			A1/2	0,71	0,71	1900	17,8								
		X+	A1/6	0,71	0,71	1900	15,0								
		X-	A1/13	0,71	0,71	1900	14,6								
		Y+	A1/29	0,71	0,71	1900	14,5								
		Y-	A1/31	0,71	0,71	1900	15,0								
23	27		A1/1	0,76	0,76	1900	20,6								
			A1/2	0,76	0,76	1900	20,6								
		X+	A1/8	0,76	0,76	1900	17,5								
		X-	A1/15	0,76	0,76	1900	17,0								
		Y+	A1/29	0,76	0,76	1900	17,1								
		Y-	A1/31	0,76	0,76	1900	17,1								
24	28		A1/1	0,68	0,68	1900	16,3								
			A1/2	0,68	0,68	1900	16,3								
		X+	A1/9	0,68	0,68	1900	13,8								
		X-	A1/18	0,68	0,68	1900	13,5								
		Y+	A1/28	0,68	0,68	1900	13,8								
		Y-	A1/34	0,68	0,68	1900	13,4								
25	29		A1/1	0,80	0,80	1900	22,7								
			A1/2	0,80	0,80	1900	22,7								
		X+	A1/9	0,80	0,80	1900	19,1								
		X-	A1/18	0,80	0,80	1900	18,7								
		Y+	A1/28	0,80	0,80	1900	19,4								
		Y-	A1/34	0,80	0,80	1900	18,5								
26	30		A1/1	0,88	0,88	1900	27,0								
			A1/2	0,88	0,88	1900	27,0								
		X+	A1/9	0,88	0,88	1900	22,7								
		X-	A1/18	0,88	0,88	1900	22,2								
		Y+	A1/28	0,88	0,88	1900	23,0								
		Y-	A1/34	0,88	0,88	1900	22,0								
27	31		A1/1	1,00	1,00	1900	34,9								
			A1/2	1,00	1,00	1900	34,9								
		X+	A1/9	1,00	1,00	1900	29,5								
		X-	A1/18	1,00	1,00	1900	28,9								
		Y+	A1/28	1,00	1,00	1900	29,3								
		Y-	A1/34	1,00	1,00	1900	28,8								
28	32		A1/1	0,87	0,87	1900	26,3								
			A1/2	0,87	0,87	1900	26,3								
		X+	A1/9	0,87	0,87	1900	22,2								
		X-	A1/18	0,87	0,87	1900	21,7								
		Y+	A1/28	0,87	0,87	1900	22,0								
		Y-	A1/34	0,87	0,87	1900	21,7								
29	33		A1/1	1,00	1,00	1900	34,9								
			A1/2	1,00	1,00	1900	34,9								
		X+	A1/6	1,00	1,00	1900	29,5								
		X-	A1/13	1,00	1,00	1900	28,9								
		Y+	A1/29	1,00	1,00	1900	28,8								
		Y-	A1/31	1,00	1,00	1900	29,3								
30	34		A1/1	0,87	0,87	1900	26,3								
			A1/2	0,87	0,87	1900	26,3								
		X+	A1/6	0,87	0,87	1900	22,2								
		X-	A1/13	0,87	0,87	1900	21,7								
		Y+	A1/29	0,87	0,87	1900	21,7								
		Y-	A1/31	0,87	0,87	1900	22,0								
31	35		A1/1	0,88	0,88	1900	27,0								
			A1/2	0,88	0,88	1900	27,0								
		X+	A1/9	0,88	0,88	1900	22,6								
		X-	A1/18	0,88	0,88	1900	22,3								
		Y+	A1/28	0,88	0,88	1900	23,0								
		Y-	A1/34	0,88	0,88	1900	22,0								
32	36		A1/1	1,00	1,00	1900	34,9								
			A1/2	1,00	1,00	1900	34,9								
		X+	A1/9	1,00	1,00	1900	29,4								
		X-	A1/18	1,00	1,00	1900	29,0								
		Y+	A1/28	1,00	1,00	1900	29,3								
		Y-	A1/34	1,00	1,00	1900	28,9								
33	37		A1/1	1,00	1,00	1900	34,9								
			A1/2	1,00	1,00	1900	34,9								
		X+	A1/9	1,00	1,00	1900	29,4								
		X-	A1/18	1,00	1,00	1900	29,1								
		Y+	A1/28	1,00	1,00	1900	29,3								
		Y-	A1/34	1,00	1,00	1900	28,9								

CARICO LIMITE PIASTRE WINKLER - S.L.U.

IDENTIIFICATIVO						DRENATE		NON DRENATE		RISULTATI					
Piastr N.ro	Nodo3d N.ro		Comb N.ro	Bx' m	By' m	GamEf kg/mc	QLimV (t)	GamEf kg/mc	QLimV (t)	N (t)	Coeff. Sicur.	Minimo CoeSic	N/Ar kg/cmq	QLim/Ar kg/cmq	Status Verifica
34	38		A1/1	0,88	0,88	1900	27,0								
			A1/2	0,88	0,88	1900	27,0								
		X+	A1/9	0,88	0,88	1900	22,6								
		X-	A1/18	0,88	0,88	1900	22,4								
		Y+	A1/28	0,88	0,88	1900	23,0								
		Y-	A1/34	0,88	0,88	1900	22,0								
35	39		A1/1	0,88	0,88	1900	27,0								
			A1/2	0,88	0,88	1900	27,0								
		X+	A1/9	0,88	0,88	1900	22,5								
		X-	A1/18	0,88	0,88	1900	22,4								
		Y+	A1/28	0,88	0,88	1900	23,0								
		Y-	A1/34	0,88	0,88	1900	22,0								
36	40		A1/1	1,00	1,00	1900	34,9								
			A1/2	1,00	1,00	1900	34,9								
		X+	A1/9	1,00	1,00	1900	29,3								
		X-	A1/18	1,00	1,00	1900	29,1								
		Y+	A1/28	1,00	1,00	1900	29,3								
		Y-	A1/34	1,00	1,00	1900	28,9								
37	41		A1/1	1,00	1,00	1900	34,9								
			A1/2	1,00	1,00	1900	34,9								
		X+	A1/6	1,00	1,00	1900	29,4								
		X-	A1/13	1,00	1,00	1900	29,1								
		Y+	A1/29	1,00	1,00	1900	28,9								
		Y-	A1/31	1,00	1,00	1900	29,3								
38	42		A1/1	1,00	1,00	1900	34,9								
			A1/2	1,00	1,00	1900	34,9								
		X+	A1/6	1,00	1,00	1900	29,4								
		X-	A1/13	1,00	1,00	1900	29,0								
		Y+	A1/29	1,00	1,00	1900	28,9								
		Y-	A1/31	1,00	1,00	1900	29,3								
39	43		A1/1	0,88	0,88	1900	27,0								
			A1/2	0,88	0,88	1900	27,0								
		X+	A1/9	0,88	0,88	1900	22,5								
		X-	A1/18	0,88	0,88	1900	22,4								
		Y+	A1/28	0,88	0,88	1900	23,0								
		Y-	A1/34	0,88	0,88	1900	22,1								
40	44		A1/1	1,00	1,00	1900	34,9								
			A1/2	1,00	1,00	1900	34,9								
		X+	A1/9	1,00	1,00	1900	29,3								
		X-	A1/18	1,00	1,00	1900	29,2								
		Y+	A1/28	1,00	1,00	1900	29,4								
		Y-	A1/34	1,00	1,00	1900	28,9								
41	45		A1/1	1,00	1,00	1900	34,9								
			A1/2	1,00	1,00	1900	34,9								
		X+	A1/6	1,00	1,00	1900	29,3								
		X-	A1/13	1,00	1,00	1900	29,2								
		Y+	A1/29	1,00	1,00	1900	28,9								
		Y-	A1/31	1,00	1,00	1900	29,4								
42	46		A1/1	1,00	1,00	1900	34,9								
			A1/2	1,00	1,00	1900	34,9								
		X+	A1/6	1,00	1,00	1900	29,3								
		X-	A1/13	1,00	1,00	1900	29,1								
		Y+	A1/29	1,00	1,00	1900	28,9								
		Y-	A1/31	1,00	1,00	1900	29,3								
43	47		A1/1	0,88	0,88	1900	27,0								
			A1/2	0,88	0,88	1900	27,0								
		X+	A1/8	0,88	0,88	1900	22,4								
		X-	A1/15	0,88	0,88	1900	22,5								
		Y+	A1/22	0,88	0,88	1900	23,0								
		Y-	A1/24	0,88	0,88	1900	22,1								
44	48		A1/1	1,00	1,00	1900	34,9								
			A1/2	1,00	1,00	1900	34,9								
		X+	A1/8	1,00	1,00	1900	29,2								
		X-	A1/15	1,00	1,00	1900	29,3								
		Y+	A1/22	1,00	1,00	1900	29,4								
		Y-	A1/24	1,00	1,00	1900	28,9								
45	49		A1/1	1,00	1,00	1900	34,9								
			A1/2	1,00	1,00	1900	34,9								
		X+	A1/3	1,00	1,00	1900	29,2								
		X-	A1/12	1,00	1,00	1900	29,3								
		Y+	A1/19	1,00	1,00	1900	28,9								
		Y-	A1/25	1,00	1,00	1900	29,4								
46	50		A1/1	0,88	0,88	1900	27,0								
			A1/2	0,88	0,88	1900	27,0								
		X+	A1/6	0,88	0,88	1900	22,7								
		X-	A1/13	0,88	0,88	1900	22,2								
		Y+	A1/29	0,88	0,88	1900	22,0								
		Y-	A1/31	0,88	0,88	1900	23,0								

CARICO LIMITE PIASTRE WINKLER - S.L.U.

IDENTIIFICATIVO						DRENATE		NON DRENATE		RISULTATI					
Piastr N.ro	Nodo3d N.ro		Comb N.ro	Bx' m	By' m	GamEf kg/mc	QLimV (t)	GamEf kg/mc	QLimV (t)	N (t)	Coeff. Sicur.	Minimo CoeSic	N/Ar kg/cmq	QLim/Ar kg/cmq	Status Verifica
47	51		A1/1	0,75	0,75	1900	19,9								
			A1/2	0,75	0,75	1900	19,9								
		X+	A1/6	0,75	0,75	1900	16,7								
		X-	A1/13	0,75	0,75	1900	16,4								
		Y+	A1/29	0,75	0,75	1900	16,2								
		Y-	A1/31	0,75	0,75	1900	17,0								
48	52		A1/1	0,88	0,88	1900	27,0								
			A1/2	0,88	0,88	1900	27,0								
		X+	A1/6	0,88	0,88	1900	22,6								
		X-	A1/13	0,88	0,88	1900	22,3								
		Y+	A1/29	0,88	0,88	1900	22,0								
		Y-	A1/31	0,88	0,88	1900	23,0								
49	53		A1/1	0,88	0,88	1900	27,0								
			A1/2	0,88	0,88	1900	27,0								
		X+	A1/6	0,88	0,88	1900	22,6								
		X-	A1/13	0,88	0,88	1900	22,4								
		Y+	A1/29	0,88	0,88	1900	22,0								
		Y-	A1/31	0,88	0,88	1900	23,0								
50	54		A1/1	0,88	0,88	1900	27,0								
			A1/2	0,88	0,88	1900	27,0								
		X+	A1/6	0,88	0,88	1900	22,5								
		X-	A1/13	0,88	0,88	1900	22,4								
		Y+	A1/29	0,88	0,88	1900	22,0								
		Y-	A1/31	0,88	0,88	1900	23,0								
51	55		A1/1	0,88	0,88	1900	27,0								
			A1/2	0,88	0,88	1900	27,0								
		X+	A1/6	0,88	0,88	1900	22,5								
		X-	A1/13	0,88	0,88	1900	22,4								
		Y+	A1/29	0,88	0,88	1900	22,1								
		Y-	A1/31	0,88	0,88	1900	23,0								
52	56		A1/1	0,88	0,88	1900	27,0								
			A1/2	0,88	0,88	1900	27,0								
		X+	A1/3	0,88	0,88	1900	22,4								
		X-	A1/12	0,88	0,88	1900	22,5								
		Y+	A1/19	0,88	0,88	1900	22,1								
		Y-	A1/25	0,88	0,88	1900	23,0								
53	57		A1/1	1,00	1,00	1900	34,9								
			A1/2	1,00	1,00	1900	34,9								
		X+	A1/8	1,00	1,00	1900	29,1								
		X-	A1/15	1,00	1,00	1900	29,3								
		Y+	A1/22	1,00	1,00	1900	29,3								
		Y-	A1/24	1,00	1,00	1900	28,9								
54	58		A1/1	0,88	0,88	1900	27,0								
			A1/2	0,88	0,88	1900	27,0								
		X+	A1/8	0,88	0,88	1900	22,4								
		X-	A1/15	0,88	0,88	1900	22,5								
		Y+	A1/22	0,88	0,88	1900	23,0								
		Y-	A1/24	0,88	0,88	1900	22,0								
55	59		A1/1	0,88	0,88	1900	27,0								
			A1/2	0,88	0,88	1900	27,0								
		X+	A1/8	0,88	0,88	1900	22,4								
		X-	A1/15	0,88	0,88	1900	22,6								
		Y+	A1/22	0,88	0,88	1900	23,0								
		Y-	A1/24	0,88	0,88	1900	22,0								
56	60		A1/1	1,00	1,00	1900	34,9								
			A1/2	1,00	1,00	1900	34,9								
		X+	A1/8	1,00	1,00	1900	29,1								
		X-	A1/15	1,00	1,00	1900	29,4								
		Y+	A1/22	1,00	1,00	1900	29,3								
		Y-	A1/24	1,00	1,00	1900	28,9								
57	61		A1/1	1,00	1,00	1900	34,9								
			A1/2	1,00	1,00	1900	34,9								
		X+	A1/3	1,00	1,00	1900	29,1								
		X-	A1/12	1,00	1,00	1900	29,3								
		Y+	A1/19	1,00	1,00	1900	28,9								
		Y-	A1/25	1,00	1,00	1900	29,3								
58	62		A1/1	0,88	0,88	1900	27,0								
			A1/2	0,88	0,88	1900	27,0								
		X+	A1/8	0,88	0,88	1900	22,3								
		X-	A1/15	0,88	0,88	1900	22,6								
		Y+	A1/22	0,88	0,88	1900	23,0								
		Y-	A1/24	0,88	0,88	1900	22,0								
59	63		A1/1	1,00	1,00	1900	34,9								
			A1/2	1,00	1,00	1900	34,9								
		X+	A1/8	1,00	1,00	1900	29,0								
		X-	A1/15	1,00	1,00	1900	29,4								

CARICO LIMITE PIASTRE WINKLER - S.L.U.

IDENTIIFICATIVO						DRENATE		NON DRENATE		RISULTATI					
Piastr N.ro	Nodo3d N.ro	Comb N.ro		Bx' m	By' m	GamEf kg/mc	QLimV (t)	GamEf kg/mc	QLimV (t)	N (t)	Coeff. Sicur.	Minimo CoeSic	N/Ar kg/cmq	QLim/Ar kg/cmq	Status Verifica
		Y+	A1/22	1,00	1,00	1900	29,3								
		Y-	A1/24	1,00	1,00	1900	28,9								
60	64		A1/1	1,00	1,00	1900	34,9								
			A1/2	1,00	1,00	1900	34,9								
		X+	A1/3	1,00	1,00	1900	29,0								
		X-	A1/12	1,00	1,00	1900	29,4								
		Y+	A1/19	1,00	1,00	1900	28,9								
		Y-	A1/25	1,00	1,00	1900	29,3								
61	65		A1/1	1,00	1,00	1900	34,9								
			A1/2	1,00	1,00	1900	34,9								
		X+	A1/3	1,00	1,00	1900	29,1								
		X-	A1/12	1,00	1,00	1900	29,4								
		Y+	A1/19	1,00	1,00	1900	28,9								
		Y-	A1/25	1,00	1,00	1900	29,3								
62	66		A1/1	0,88	0,88	1900	27,0								
			A1/2	0,88	0,88	1900	27,0								
		X+	A1/8	0,88	0,88	1900	22,2								
		X-	A1/15	0,88	0,88	1900	22,7								
		Y+	A1/22	0,88	0,88	1900	23,0								
		Y-	A1/24	0,88	0,88	1900	22,0								
63	67		A1/1	1,00	1,00	1900	34,9								
			A1/2	1,00	1,00	1900	34,9								
		X+	A1/8	1,00	1,00	1900	28,9								
		X-	A1/15	1,00	1,00	1900	29,5								
		Y+	A1/22	1,00	1,00	1900	29,3								
		Y-	A1/24	1,00	1,00	1900	28,8								
64	68		A1/1	0,91	0,91	1900	29,1								
			A1/2	0,91	0,91	1900	29,1								
		X+	A1/8	0,91	0,91	1900	24,1								
		X-	A1/15	0,91	0,91	1900	24,7								
		Y+	A1/22	0,91	0,91	1900	24,4								
		Y-	A1/24	0,91	0,91	1900	24,0								
65	69		A1/1	0,75	0,75	1900	19,9								
			A1/2	0,75	0,75	1900	19,9								
		X+	A1/8	0,75	0,75	1900	16,4								
		X-	A1/15	0,75	0,75	1900	16,7								
		Y+	A1/22	0,75	0,75	1900	17,0								
		Y-	A1/24	0,75	0,75	1900	16,2								
66	70		A1/1	0,87	0,87	1900	26,3								
			A1/2	0,87	0,87	1900	26,3								
		X+	A1/3	0,87	0,87	1900	21,7								
		X-	A1/12	0,87	0,87	1900	22,2								
		Y+	A1/19	0,87	0,87	1900	21,7								
		Y-	A1/25	0,87	0,87	1900	22,0								
67	71		A1/1	1,00	1,00	1900	34,9								
			A1/2	1,00	1,00	1900	34,9								
		X+	A1/3	1,00	1,00	1900	28,9								
		X-	A1/12	1,00	1,00	1900	29,5								
		Y+	A1/19	1,00	1,00	1900	28,8								
		Y-	A1/25	1,00	1,00	1900	29,3								
68	72		A1/1	0,88	0,88	1900	27,0								
			A1/2	0,88	0,88	1900	27,0								
		X+	A1/3	0,88	0,88	1900	22,4								
		X-	A1/12	0,88	0,88	1900	22,5								
		Y+	A1/19	0,88	0,88	1900	22,0								
		Y-	A1/25	0,88	0,88	1900	23,0								
69	73		A1/1	0,88	0,88	1900	27,0								
			A1/2	0,88	0,88	1900	27,0								
		X+	A1/3	0,88	0,88	1900	22,4								
		X-	A1/12	0,88	0,88	1900	22,6								
		Y+	A1/19	0,88	0,88	1900	22,0								
		Y-	A1/25	0,88	0,88	1900	23,0								
70	74		A1/1	0,88	0,88	1900	27,0								
			A1/2	0,88	0,88	1900	27,0								
		X+	A1/3	0,88	0,88	1900	22,3								
		X-	A1/12	0,88	0,88	1900	22,6								
		Y+	A1/19	0,88	0,88	1900	22,0								
		Y-	A1/25	0,88	0,88	1900	23,0								
71	75		A1/1	0,88	0,88	1900	27,0								
			A1/2	0,88	0,88	1900	27,0								
		X+	A1/3	0,88	0,88	1900	22,2								
		X-	A1/12	0,88	0,88	1900	22,7								
		Y+	A1/19	0,88	0,88	1900	22,0								
		Y-	A1/25	0,88	0,88	1900	23,0								
72	76		A1/1	0,75	0,75	1900	19,9								
			A1/2	0,75	0,75	1900	19,9								

CARICO LIMITE PIASTRE WINKLER - S.L.U.

IDENTIIFICATIVO						DRENATE		NON DRENATE		RISULTATI					
Piastr N.ro	Nodo3d N.ro	Comb N.ro		Bx' m	By' m	GamEf kg/mc	QLimV (t)	GamEf kg/mc	QLimV (t)	N (t)	Coeff. Sicur.	Minimo CoeSic	N/Ar kg/cmq	QLim/Ar kg/cmq	Status Verifica
		X+	A1/3	0,75	0,75	1900	16,4								
		X-	A1/12	0,75	0,75	1900	16,7								
		Y+	A1/19	0,75	0,75	1900	16,2								
		Y-	A1/25	0,75	0,75	1900	17,0								
73	77		A1/1	0,52	0,52	1900	10,0								
			A1/2	0,52	0,52	1900	10,0								
		X+	A1/9	0,52	0,52	1900	8,3								
		X-	A1/18	0,52	0,52	1900	8,2								
		Y+	A1/28	0,52	0,52	1900	8,7								
		Y-	A1/34	0,52	0,52	1900	8,0								
74	78		A1/1	0,52	0,52	1900	10,0								
			A1/2	0,52	0,52	1900	10,0								
		X+	A1/9	0,52	0,52	1900	8,4								
		X-	A1/18	0,52	0,52	1900	8,2								
		Y+	A1/28	0,52	0,52	1900	8,7								
		Y-	A1/34	0,52	0,52	1900	8,0								
75	79		A1/1	0,52	0,52	1900	10,0								
			A1/2	0,52	0,52	1900	10,0								
		X+	A1/9	0,52	0,52	1900	8,3								
		X-	A1/18	0,52	0,52	1900	8,2								
		Y+	A1/28	0,52	0,52	1900	8,6								
		Y-	A1/34	0,52	0,52	1900	8,0								
76	80		A1/1	0,52	0,52	1900	10,0								
			A1/2	0,52	0,52	1900	10,0								
		X+	A1/9	0,52	0,52	1900	8,3								
		X-	A1/18	0,52	0,52	1900	8,2								
		Y+	A1/28	0,52	0,52	1900	8,6								
		Y-	A1/34	0,52	0,52	1900	8,0								
77	81		A1/1	0,52	0,52	1900	10,0								
			A1/2	0,52	0,52	1900	10,0								
		X+	A1/9	0,52	0,52	1900	8,3								
		X-	A1/18	0,52	0,52	1900	8,2								
		Y+	A1/28	0,52	0,52	1900	8,6								
		Y-	A1/34	0,52	0,52	1900	8,1								
78	82		A1/1	0,52	0,52	1900	10,0								
			A1/2	0,52	0,52	1900	10,0								
		X+	A1/9	0,52	0,52	1900	8,3								
		X-	A1/18	0,52	0,52	1900	8,2								
		Y+	A1/28	0,52	0,52	1900	8,6								
		Y-	A1/34	0,52	0,52	1900	8,1								
79	83		A1/1	0,52	0,52	1900	10,0								
			A1/2	0,52	0,52	1900	10,0								
		X+	A1/6	0,52	0,52	1900	8,3								
		X-	A1/13	0,52	0,52	1900	8,2								
		Y+	A1/29	0,52	0,52	1900	8,0								
		Y-	A1/31	0,52	0,52	1900	8,7								
80	84		A1/1	0,52	0,52	1900	10,0								
			A1/2	0,52	0,52	1900	10,0								
		X+	A1/6	0,52	0,52	1900	8,4								
		X-	A1/13	0,52	0,52	1900	8,2								
		Y+	A1/29	0,52	0,52	1900	8,0								
		Y-	A1/31	0,52	0,52	1900	8,7								
81	85		A1/1	0,52	0,52	1900	10,0								
			A1/2	0,52	0,52	1900	10,0								
		X+	A1/6	0,52	0,52	1900	8,3								
		X-	A1/13	0,52	0,52	1900	8,2								
		Y+	A1/29	0,52	0,52	1900	8,0								
		Y-	A1/31	0,52	0,52	1900	8,6								
82	86		A1/1	0,52	0,52	1900	10,0								
			A1/2	0,52	0,52	1900	10,0								
		X+	A1/6	0,52	0,52	1900	8,3								
		X-	A1/13	0,52	0,52	1900	8,2								
		Y+	A1/29	0,52	0,52	1900	8,0								
		Y-	A1/31	0,52	0,52	1900	8,6								
83	87		A1/1	0,52	0,52	1900	10,0								
			A1/2	0,52	0,52	1900	10,0								
		X+	A1/6	0,52	0,52	1900	8,3								
		X-	A1/13	0,52	0,52	1900	8,3								
		Y+	A1/29	0,52	0,52	1900	8,1								
		Y-	A1/31	0,52	0,52	1900	8,6								
84	88		A1/1	0,52	0,52	1900	10,0								
			A1/2	0,52	0,52	1900	10,0								
		X+	A1/6	0,52	0,52	1900	8,3								
		X-	A1/13	0,52	0,52	1900	8,2								
		Y+	A1/29	0,52	0,52	1900	8,1								
		Y-	A1/31	0,52	0,52	1900	8,6								

CARICO LIMITE PIASTRE WINKLER - S.L.U.

IDENTIIFICATIVO						DRENATE		NON DRENATE		RISULTATI					
Piastr N.ro	Nodo3d N.ro		Comb N.ro	Bx' m	By' m	GamEf kg/mc	QLimV (t)	GamEf kg/mc	QLimV (t)	N (t)	Coeff. Sicur.	Minimo CoeSic	N/Ar kg/cmq	QLim/Ar kg/cmq	Status Verifica
85	89		A1/1	0,52	0,52	1900	10,0								
			A1/2	0,52	0,52	1900	10,0								
		X+	A1/8	0,52	0,52	1900	8,2								
		X-	A1/15	0,52	0,52	1900	8,3								
		Y+	A1/22	0,52	0,52	1900	8,6								
		Y-	A1/24	0,52	0,52	1900	8,0								
86	90		A1/1	0,52	0,52	1900	10,0								
			A1/2	0,52	0,52	1900	10,0								
		X+	A1/8	0,52	0,52	1900	8,2								
		X-	A1/15	0,52	0,52	1900	8,3								
		Y+	A1/22	0,52	0,52	1900	8,6								
		Y-	A1/24	0,52	0,52	1900	8,0								
87	91		A1/1	0,52	0,52	1900	10,0								
			A1/2	0,52	0,52	1900	10,0								
		X+	A1/8	0,52	0,52	1900	8,2								
		X-	A1/15	0,52	0,52	1900	8,4								
		Y+	A1/22	0,52	0,52	1900	8,7								
		Y-	A1/24	0,52	0,52	1900	8,0								
88	92		A1/1	0,52	0,52	1900	10,0								
			A1/2	0,52	0,52	1900	10,0								
		X+	A1/8	0,52	0,52	1900	8,2								
		X-	A1/15	0,52	0,52	1900	8,3								
		Y+	A1/22	0,52	0,52	1900	8,7								
		Y-	A1/24	0,52	0,52	1900	8,0								
89	93		A1/1	0,52	0,52	1900	10,0								
			A1/2	0,52	0,52	1900	10,0								
		X+	A1/3	0,52	0,52	1900	8,2								
		X-	A1/12	0,52	0,52	1900	8,3								
		Y+	A1/19	0,52	0,52	1900	8,1								
		Y-	A1/25	0,52	0,52	1900	8,6								
90	94		A1/1	0,52	0,52	1900	10,0								
			A1/2	0,52	0,52	1900	10,0								
		X+	A1/3	0,52	0,52	1900	8,2								
		X-	A1/12	0,52	0,52	1900	8,3								
		Y+	A1/19	0,52	0,52	1900	8,1								
		Y-	A1/25	0,52	0,52	1900	8,6								
91	95		A1/1	0,52	0,52	1900	10,0								
			A1/2	0,52	0,52	1900	10,0								
		X+	A1/3	0,52	0,52	1900	8,2								
		X-	A1/12	0,52	0,52	1900	8,3								
		Y+	A1/19	0,52	0,52	1900	8,0								
		Y-	A1/25	0,52	0,52	1900	8,6								
92	96		A1/1	0,52	0,52	1900	10,0								
			A1/2	0,52	0,52	1900	10,0								
		X+	A1/3	0,52	0,52	1900	8,2								
		X-	A1/12	0,52	0,52	1900	8,3								
		Y+	A1/19	0,52	0,52	1900	8,0								
		Y-	A1/25	0,52	0,52	1900	8,6								
93	97		A1/1	0,52	0,52	1900	10,0								
			A1/2	0,52	0,52	1900	10,0								
		X+	A1/3	0,52	0,52	1900	8,2								
		X-	A1/12	0,52	0,52	1900	8,3								
		Y+	A1/19	0,52	0,52	1900	8,0								
		Y-	A1/25	0,52	0,52	1900	8,7								
94	98		A1/1	0,52	0,52	1900	10,0								
			A1/2	0,52	0,52	1900	10,0								
		X+	A1/3	0,52	0,52	1900	8,2								
		X-	A1/12	0,52	0,52	1900	8,4								
		Y+	A1/19	0,52	0,52	1900	8,0								
		Y-	A1/25	0,52	0,52	1900	8,7								
95	99		A1/1	0,52	0,52	1900	10,0								
			A1/2	0,52	0,52	1900	10,0								
		X+	A1/8	0,52	0,52	1900	8,3								
		X-	A1/15	0,52	0,52	1900	8,3								
		Y+	A1/22	0,52	0,52	1900	8,6								
		Y-	A1/24	0,52	0,52	1900	8,1								
96	100		A1/1	0,52	0,52	1900	10,0								
			A1/2	0,52	0,52	1900	10,0								
		X+	A1/8	0,52	0,52	1900	8,2								
		X-	A1/15	0,52	0,52	1900	8,3								
		Y+	A1/22	0,52	0,52	1900	8,6								
		Y-	A1/24	0,52	0,52	1900	8,1								
97	101		A1/1	0,50	0,50	1900	9,3								
			A1/2	0,50	0,50	1900	9,3								
		X+	A1/9	0,50	0,50	1900	7,8								
		X-	A1/18	0,50	0,50	1900	7,6								
		Y+	A1/28	0,50	0,50	1900	7,9								
		Y-	A1/34	0,50	0,50	1900	7,5								

CARICO LIMITE PIASTRE WINKLER - S.L.U.

IDENTIIFICATIVO						DRENATE		NON DRENATE		RISULTATI					
Piastr N.ro	Nodo3d N.ro		Comb N.ro	Bx' m	By' m	GamEf kg/mc	QLimV (t)	GamEf kg/mc	QLimV (t)	N (t)	Coeff. Sicur.	Minimo CoeSic	N/Ar kg/cmq	QLim/Ar kg/cmq	Status Verifica
98	102		A1/1	0,46	0,46	1900	7,8								
			A1/2	0,46	0,46	1900	7,8								
		X+	A1/9	0,46	0,46	1900	6,7								
		X-	A1/18	0,46	0,46	1900	6,5								
		Y+	A1/28	0,46	0,46	1900	6,6								
		Y-	A1/34	0,46	0,46	1900	6,5								
99	103		A1/1	0,46	0,46	1900	7,8								
			A1/2	0,46	0,46	1900	7,8								
		X+	A1/6	0,46	0,46	1900	6,7								
		X-	A1/13	0,46	0,46	1900	6,5								
		Y+	A1/29	0,46	0,46	1900	6,5								
		Y-	A1/31	0,46	0,46	1900	6,6								
100	104		A1/1	0,50	0,50	1900	9,3								
			A1/2	0,50	0,50	1900	9,3								
		X+	A1/6	0,50	0,50	1900	7,8								
		X-	A1/13	0,50	0,50	1900	7,6								
		Y+	A1/29	0,50	0,50	1900	7,5								
		Y-	A1/31	0,50	0,50	1900	7,9								
101	105		A1/1	0,50	0,50	1900	9,3								
			A1/2	0,50	0,50	1900	9,3								
		X+	A1/8	0,50	0,50	1900	7,6								
		X-	A1/15	0,50	0,50	1900	7,8								
		Y+	A1/22	0,50	0,50	1900	7,9								
		Y-	A1/24	0,50	0,50	1900	7,5								
102	106		A1/1	0,50	0,50	1900	9,3								
			A1/2	0,50	0,50	1900	9,3								
		X+	A1/8	0,50	0,50	1900	7,7								
		X-	A1/15	0,50	0,50	1900	7,9								
		Y+	A1/22	0,50	0,50	1900	7,8								
		Y-	A1/24	0,50	0,50	1900	7,6								
103	107		A1/1	0,50	0,50	1900	9,3								
			A1/2	0,50	0,50	1900	9,3								
		X+	A1/3	0,50	0,50	1900	7,7								
		X-	A1/12	0,50	0,50	1900	7,9								
		Y+	A1/19	0,50	0,50	1900	7,6								
		Y-	A1/25	0,50	0,50	1900	7,8								
104	108		A1/1	0,46	0,46	1900	7,8								
			A1/2	0,46	0,46	1900	7,8								
		X+	A1/3	0,46	0,46	1900	6,5								
		X-	A1/12	0,46	0,46	1900	6,6								
		Y+	A1/19	0,46	0,46	1900	6,4								
		Y-	A1/25	0,46	0,46	1900	6,7								

VERIFICA ALLO SCORRIMENTO - CONDIZIONI DRENATE

IDENTIFICATIVO			RISULTATI									
Combinazione N.ro	Tipo Elem.	Elem N.ro	N (t)	Tg(fi)/ Gfi/Gr	C/Gc/Gr t/mq	Area mq	Vres (t)	Fh (t)	Verifica Locale	S(Vres) (t)	S(Fh) (t)	Verifica Globale
A1 / 22	PIASTRA	1	1,16	0,227	1,36	0,667	1,17	0,25	OK	1,17	0,25	
	PIASTRA	2	1,41	0,227	1,36	0,708	1,29	0,30	OK	2,46	0,56	
	PIASTRA	5	3,01	0,227	1,36	0,792	1,76	0,65	OK	4,22	1,21	
	PIASTRA	6	2,54	0,227	1,36	0,708	1,54	0,55	OK	5,76	1,76	
	PIASTRA	9	0,31	0,227	1,36	0,208	0,35	0,07	OK	6,12	1,82	
	PIASTRA	10	0,37	0,227	1,36	0,208	0,37	0,08	OK	6,48	1,90	
	PIASTRA	11	0,67	0,227	1,36	0,167	0,38	0,15	OK	6,86	2,05	
	PIASTRA	12	0,79	0,227	1,36	0,208	0,46	0,17	OK	7,33	2,22	
	PIASTRA	13	1,73	0,227	1,36	0,917	1,64	0,38	OK	8,97	2,60	
	PIASTRA	14	1,83	0,227	1,36	0,917	1,67	0,40	OK	10,63	2,99	
	PIASTRA	15	1,89	0,227	1,36	0,917	1,68	0,41	OK	12,31	3,40	
	PIASTRA	16	1,90	0,227	1,36	0,917	1,68	0,41	OK	13,99	3,81	
	PIASTRA	17	1,88	0,227	1,36	0,917	1,68	0,41	OK	15,67	4,22	
	PIASTRA	18	3,41	0,227	1,36	0,917	2,02	0,74	OK	17,69	4,96	
	PIASTRA	19	3,34	0,227	1,36	0,917	2,01	0,72	OK	19,70	5,68	
	PIASTRA	20	3,30	0,227	1,36	0,917	2,00	0,71	OK	21,70	6,39	
	PIASTRA	21	3,28	0,227	1,36	0,917	1,99	0,71	OK	23,69	7,10	
	PIASTRA	22	3,28	0,227	1,36	0,917	1,99	0,71	OK	25,68	7,81	
	PIASTRA	23	1,11	0,227	1,36	0,458	0,88	0,24	OK	26,56	8,05	
	PIASTRA	24	1,32	0,227	1,36	0,458	0,92	0,29	OK	27,48	8,34	
	PIASTRA	25	1,67	0,227	1,36	0,500	1,06	0,36	OK	28,54	8,70	
	PIASTRA	26	1,56	0,227	1,36	0,500	1,03	0,34	OK	29,58	9,04	
	PIASTRA	27	1,54	0,227	1,36	0,583	1,15	0,33	OK	30,72	9,37	
	PIASTRA	28	1,00	0,227	1,36	0,458	0,85	0,22	OK	31,58	9,59	
	PIASTRA	29	1,29	0,227	1,36	0,646	1,17	0,28	OK	32,75	9,87	
	PIASTRA	30	1,57	0,227	1,36	0,771	1,41	0,34	OK	34,15	10,21	
	PIASTRA	31	2,41	0,227	1,36	1,000	1,91	0,52	OK	36,06	10,73	
	PIASTRA	32	1,81	0,227	1,36	0,750	1,43	0,39	OK	37,50	11,12	
	PIASTRA	33	2,84	0,227	1,36	1,000	2,01	0,61	OK	39,51	11,74	
	PIASTRA	34	2,15	0,227	1,36	0,750	1,51	0,47	OK	41,02	12,20	
	PIASTRA	35	1,60	0,227	1,36	0,771	1,41	0,35	OK	42,43	12,55	
	PIASTRA	36	2,42	0,227	1,36	1,000	1,91	0,52	OK	44,34	13,07	
	PIASTRA	37	2,43	0,227	1,36	1,000	1,91	0,53	OK	46,26	13,60	
	PIASTRA	38	1,63	0,227	1,36	0,771	1,42	0,35	OK	47,68	13,95	
	PIASTRA	39	1,66	0,227	1,36	0,771	1,43	0,36	OK	49,10	14,31	
	PIASTRA	40	2,45	0,227	1,36	1,000	1,92	0,53	OK	51,02	14,84	
	PIASTRA	41	2,82	0,227	1,36	1,000	2,00	0,61	OK	53,03	15,45	
	PIASTRA	42	2,82	0,227	1,36	1,000	2,00	0,61	OK	55,03	16,06	

VERIFICA ALLO SCORRIMENTO - CONDIZIONI DRENATE

IDENTIFICATIVO			RISULTATI									
Combinazione N.ro	Tipo Elem.	Elem N.ro	N (t)	Tg(fi)/ Gfi/Gr	C/Gc/Gr t/mq	Area mq	Vres (t)	Fh (t)	Verifica Locale	S(Vres) (t)	S(Fh) (t)	Verifica Globale
	PIASTRA	43	1,68	0,227	1,36	0,771	1,43	0,36	OK	56,46	16,42	
	PIASTRA	44	2,46	0,227	1,36	1,000	1,92	0,53	OK	58,38	16,96	
	PIASTRA	45	2,84	0,227	1,36	1,000	2,01	0,62	OK	60,39	17,57	
	PIASTRA	46	2,83	0,227	1,36	1,000	2,01	0,61	OK	62,40	18,19	
	PIASTRA	47	1,69	0,227	1,36	0,771	1,43	0,37	OK	63,83	18,55	
	PIASTRA	48	2,48	0,227	1,36	1,000	1,93	0,54	OK	65,76	19,09	
	PIASTRA	49	2,86	0,227	1,36	1,000	2,01	0,62	OK	67,77	19,71	
	PIASTRA	50	2,56	0,227	1,36	0,771	1,63	0,55	OK	69,40	20,26	
	PIASTRA	51	1,88	0,227	1,36	0,563	1,19	0,41	OK	70,59	20,67	
	PIASTRA	52	2,55	0,227	1,36	0,771	1,63	0,55	OK	72,22	21,22	
	PIASTRA	53	2,55	0,227	1,36	0,771	1,63	0,55	OK	73,85	21,77	
	PIASTRA	54	2,55	0,227	1,36	0,771	1,63	0,55	OK	75,48	22,33	
	PIASTRA	55	2,56	0,227	1,36	0,771	1,63	0,55	OK	77,11	22,88	
	PIASTRA	56	2,58	0,227	1,36	0,771	1,64	0,56	OK	78,75	23,44	
	PIASTRA	57	2,50	0,227	1,36	1,000	1,93	0,54	OK	80,68	23,98	
	PIASTRA	58	1,70	0,227	1,36	0,771	1,44	0,37	OK	82,12	24,35	
	PIASTRA	59	1,70	0,227	1,36	0,771	1,44	0,37	OK	83,55	24,72	
	PIASTRA	60	2,52	0,227	1,36	1,000	1,93	0,54	OK	85,49	25,26	
	PIASTRA	61	2,88	0,227	1,36	1,000	2,02	0,62	OK	87,50	25,89	
	PIASTRA	62	1,71	0,227	1,36	0,771	1,44	0,37	OK	88,94	26,26	
	PIASTRA	63	2,54	0,227	1,36	1,000	1,94	0,55	OK	90,88	26,81	
	PIASTRA	64	2,95	0,227	1,36	1,000	2,03	0,64	OK	92,91	27,44	
	PIASTRA	65	2,91	0,227	1,36	1,000	2,02	0,63	OK	94,94	28,07	
	PIASTRA	66	1,70	0,227	1,36	0,771	1,44	0,37	OK	96,37	28,44	
	PIASTRA	67	2,58	0,227	1,36	1,000	1,95	0,56	OK	98,32	29,00	
	PIASTRA	68	2,19	0,227	1,36	0,833	1,63	0,47	OK	99,95	29,47	
	PIASTRA	69	1,24	0,227	1,36	0,563	1,05	0,27	OK	101,00	29,74	
	PIASTRA	70	2,30	0,227	1,36	0,750	1,54	0,50	OK	102,55	30,24	
	PIASTRA	71	3,00	0,227	1,36	1,000	2,04	0,65	OK	104,59	30,89	
	PIASTRA	72	2,59	0,227	1,36	0,771	1,64	0,56	OK	106,23	31,45	
	PIASTRA	73	2,62	0,227	1,36	0,771	1,64	0,57	OK	107,87	32,02	
	PIASTRA	74	2,65	0,227	1,36	0,771	1,65	0,57	OK	109,53	32,59	
	PIASTRA	75	2,69	0,227	1,36	0,771	1,66	0,58	OK	111,19	33,17	
	PIASTRA	76	1,99	0,227	1,36	0,563	1,22	0,43	OK	112,40	33,60	
	PIASTRA	77	0,45	0,227	1,36	0,271	0,47	0,10	OK	112,88	33,70	
	PIASTRA	78	0,42	0,227	1,36	0,271	0,47	0,09	OK	113,34	33,79	
	PIASTRA	79	0,49	0,227	1,36	0,271	0,48	0,11	OK	113,82	33,90	
	PIASTRA	80	0,47	0,227	1,36	0,271	0,48	0,10	OK	114,30	34,00	
	PIASTRA	81	0,52	0,227	1,36	0,271	0,49	0,11	OK	114,79	34,12	
	PIASTRA	82	0,51	0,227	1,36	0,271	0,48	0,11	OK	115,27	34,23	
	PIASTRA	83	1,04	0,227	1,36	0,271	0,60	0,22	OK	115,87	34,45	
	PIASTRA	84	1,03	0,227	1,36	0,271	0,60	0,22	OK	116,48	34,67	
	PIASTRA	85	1,04	0,227	1,36	0,271	0,60	0,22	OK	117,08	34,90	
	PIASTRA	86	1,04	0,227	1,36	0,271	0,60	0,22	OK	117,69	35,12	
	PIASTRA	87	1,04	0,227	1,36	0,271	0,61	0,23	OK	118,29	35,35	
	PIASTRA	88	1,04	0,227	1,36	0,271	0,60	0,22	OK	118,90	35,57	
	PIASTRA	89	0,51	0,227	1,36	0,271	0,49	0,11	OK	119,38	35,68	
	PIASTRA	90	0,52	0,227	1,36	0,271	0,49	0,11	OK	119,87	35,79	
	PIASTRA	91	0,49	0,227	1,36	0,271	0,48	0,11	OK	120,35	35,90	
	PIASTRA	92	0,50	0,227	1,36	0,271	0,48	0,11	OK	120,83	36,01	
	PIASTRA	93	1,05	0,227	1,36	0,271	0,61	0,23	OK	121,44	36,24	
	PIASTRA	94	1,05	0,227	1,36	0,271	0,61	0,23	OK	122,05	36,46	
	PIASTRA	95	1,06	0,227	1,36	0,271	0,61	0,23	OK	122,65	36,69	
	PIASTRA	96	1,07	0,227	1,36	0,271	0,61	0,23	OK	123,27	36,92	
	PIASTRA	97	1,08	0,227	1,36	0,271	0,61	0,23	OK	123,88	37,16	
	PIASTRA	98	1,09	0,227	1,36	0,271	0,62	0,24	OK	124,50	37,39	
	PIASTRA	99	0,52	0,227	1,36	0,271	0,49	0,11	OK	124,98	37,51	
	PIASTRA	100	0,52	0,227	1,36	0,271	0,49	0,11	OK	125,47	37,62	
	PIASTRA	101	0,49	0,227	1,36	0,250	0,45	0,11	OK	125,92	37,72	
	PIASTRA	102	0,50	0,227	1,36	0,208	0,40	0,11	OK	126,32	37,83	
	PIASTRA	103	0,60	0,227	1,36	0,208	0,42	0,13	OK	126,74	37,96	
	PIASTRA	104	0,84	0,227	1,36	0,250	0,53	0,18	OK	127,27	38,14	
	PIASTRA	105	0,55	0,227	1,36	0,250	0,47	0,12	OK	127,74	38,26	
	PIASTRA	106	0,67	0,227	1,36	0,250	0,49	0,14	OK	128,23	38,41	
	PIASTRA	107	0,78	0,227	1,36	0,250	0,52	0,17	OK	128,75	38,58	
	PIASTRA	108	0,75	0,227	1,36	0,208	0,45	0,16	OK	129,20	38,74	OK

PORTANZA GLOBALE PIASTRE - MOLTIPLICATORI DI COLLASSO - SLU

	DRENATE				NON DRENATE				RISULTATI	
Comb N.ro	Risult (t)	Resist (t)	Moltipl. Collasso	%Pl. Moll	Risult (t)	Resist (t)	Moltipl. Collasso	%Pl. Moll	Moltipl. Minimo	STATUS (m)
A1 / 1	255	255	1,000	0					1,000	OK
A1 / 2	256	256	1,000	0						OK
A1 / 3	179	179	1,000	0						OK
A1 / 4	179	179	1,000	0						OK
A1 / 5	179	179	1,000	0						OK
A1 / 6	179	179	1,000	0						OK
A1 / 7	179	179	1,000	0						OK
A1 / 8	179	179	1,000	0						OK
A1 / 9	179	179	1,000	0						OK
A1 / 10	179	179	1,000	0						OK
A1 / 11	179	179	1,000	0						OK
A1 / 12	179	179	1,000	0						OK
A1 / 13	179	179	1,000	0						OK
A1 / 14	179	179	1,000	0						OK
A1 / 15	179	179	1,000	0						OK
A1 / 16	179	179	1,000	0						OK
A1 / 17	179	179	1,000	0						OK
A1 / 18	179	179	1,000	0						OK

PORTANZA GLOBALE PIASTRE - MOLTIPLICATORI DI COLLASSO - SLU

	DRENATE				NON DRENATE				RISULTATI	
Comb N.ro	Risult (t)	Resist (t)	Moltipl. Collasso	%Pl. Moll	Risult (t)	Resist (t)	Moltipl. Collasso	%Pl. Moll	Moltipl. Minimo	STATUS (m)
A1 / 19	179	179	1,000	0						OK
A1 / 20	179	179	1,000	0						OK
A1 / 21	179	179	1,000	0						OK
A1 / 22	179	179	1,000	0						OK
A1 / 23	179	179	1,000	0						OK
A1 / 24	179	179	1,000	0						OK
A1 / 25	179	179	1,000	0						OK
A1 / 26	179	179	1,000	0						OK
A1 / 27	179	179	1,000	0						OK
A1 / 28	179	179	1,000	0						OK
A1 / 29	179	179	1,000	0						OK
A1 / 30	179	179	1,000	0						OK
A1 / 31	179	179	1,000	0						OK
A1 / 32	179	179	1,000	0						OK
A1 / 33	179	179	1,000	0						OK
A1 / 34	179	179	1,000	0						OK

PORTANZA GLOBALE PIASTRE - ABBASSAMENTI COMBINAZ.: A1/1

	DRENATE		NON DRENATE			DRENATE		NON DRENATE			DRENATE		NON DRENATE	
Nodo3d N.ro	SpostZ (cm)	SpostZ/ SpostEl	SpostZ (cm)	SpostZ/ SpostEl	Nodo3d N.ro	SpostZ (cm)	SpostZ/ SpostEl	SpostZ (cm)	SpostZ/ SpostEl	Nodo3d N.ro	SpostZ (cm)	SpostZ/ SpostEl	SpostZ (cm)	SpostZ/ SpostEl
1	-0,393	ELAST.			2	-0,393	ELAST.			5	-0,393	ELAST.		
6	-0,393	ELAST.			9	-0,394	ELAST.			10	-0,394	ELAST.		
11	-0,394	ELAST.			12	-0,394	ELAST.			13	-0,392	ELAST.		
14	-0,392	ELAST.			15	-0,391	ELAST.			16	-0,392	ELAST.		
17	-0,392	ELAST.			18	-0,392	ELAST.			19	-0,392	ELAST.		
20	-0,391	ELAST.			21	-0,392	ELAST.			22	-0,392	ELAST.		
23	-0,393	ELAST.			24	-0,392	ELAST.			25	-0,393	ELAST.		
26	-0,393	ELAST.			27	-0,392	ELAST.			28	-0,393	ELAST.		
29	-0,393	ELAST.			30	-0,392	ELAST.			31	-0,392	ELAST.		
32	-0,392	ELAST.			33	-0,392	ELAST.			34	-0,392	ELAST.		
35	-0,392	ELAST.			36	-0,391	ELAST.			37	-0,390	ELAST.		
38	-0,391	ELAST.			39	-0,391	ELAST.			40	-0,390	ELAST.		
41	-0,390	ELAST.			42	-0,391	ELAST.			43	-0,391	ELAST.		
44	-0,390	ELAST.			45	-0,390	ELAST.			46	-0,390	ELAST.		
47	-0,391	ELAST.			48	-0,390	ELAST.			49	-0,390	ELAST.		
50	-0,392	ELAST.			51	-0,393	ELAST.			52	-0,392	ELAST.		
53	-0,391	ELAST.			54	-0,391	ELAST.			55	-0,391	ELAST.		
56	-0,391	ELAST.			57	-0,390	ELAST.			58	-0,391	ELAST.		
59	-0,391	ELAST.			60	-0,390	ELAST.			61	-0,390	ELAST.		
62	-0,392	ELAST.			63	-0,391	ELAST.			64	-0,391	ELAST.		
65	-0,390	ELAST.			66	-0,392	ELAST.			67	-0,392	ELAST.		
68	-0,392	ELAST.			69	-0,393	ELAST.			70	-0,392	ELAST.		
71	-0,392	ELAST.			72	-0,391	ELAST.			73	-0,391	ELAST.		
74	-0,392	ELAST.			75	-0,392	ELAST.			76	-0,393	ELAST.		
77	-0,393	ELAST.			78	-0,393	ELAST.			79	-0,392	ELAST.		
80	-0,393	ELAST.			81	-0,392	ELAST.			82	-0,392	ELAST.		
83	-0,393	ELAST.			84	-0,393	ELAST.			85	-0,393	ELAST.		
86	-0,392	ELAST.			87	-0,392	ELAST.			88	-0,392	ELAST.		
89	-0,393	ELAST.			90	-0,392	ELAST.			91	-0,393	ELAST.		
92	-0,393	ELAST.			93	-0,392	ELAST.			94	-0,392	ELAST.		
95	-0,392	ELAST.			96	-0,393	ELAST.			97	-0,393	ELAST.		
98	-0,393	ELAST.			99	-0,392	ELAST.			100	-0,392	ELAST.		
101	-0,393	ELAST.			102	-0,393	ELAST.			103	-0,393	ELAST.		
104	-0,393	ELAST.			105	-0,393	ELAST.			106	-0,393	ELAST.		
107	-0,393	ELAST.			108	-0,393	ELAST.							

PORTANZA GLOBALE PIASTRE - MOLTIPLICATORI DI COLLASSO - SLD

	DRENATE				NON DRENATE				RISULTATI	
Comb N.ro	Risult (t)	Resist (t)	Moltipl. Collasso	%Pl. Moll	Risult (t)	Resist (t)	Moltipl. Collasso	%Pl. Moll	Moltipl. Minimo	STATUS (m)
A1 / 1	255	255	1,000	0					1,000	OK
A1 / 2	256	256	1,000	0						OK
A1 / 3	179	179	1,000	0						OK
A1 / 4	179	179	1,000	0						OK
A1 / 5	179	179	1,000	0						OK
A1 / 6	179	179	1,000	0						OK
A1 / 7	179	179	1,000	0						OK
A1 / 8	179	179	1,000	0						OK
A1 / 9	179	179	1,000	0						OK
A1 / 10	179	179	1,000	0						OK
A1 / 11	179	179	1,000	0						OK
A1 / 12	179	179	1,000	0						OK
A1 / 13	179	179	1,000	0						OK
A1 / 14	179	179	1,000	0						OK
A1 / 15	179	179	1,000	0						OK
A1 / 16	179	179	1,000	0						OK

PORTANZA GLOBALE PIASTRE - MOLTIPLICATORI DI COLLASSO - SLD

	DRENATE				NON DRENATE				RISULTATI	
Comb N.ro	Risult (t)	Resist (t)	Moltipl. Collasso	%Pl. Moll	Risult (t)	Resist (t)	Moltipl. Collasso	%Pl. Moll	Moltipl. Minimo	STATUS (m)
A1 / 17	179	179	1,000	0						OK
A1 / 18	179	179	1,000	0						OK
A1 / 19	179	179	1,000	0						OK
A1 / 20	179	179	1,000	0						OK
A1 / 21	179	179	1,000	0						OK
A1 / 22	179	179	1,000	0						OK
A1 / 23	179	179	1,000	0						OK
A1 / 24	179	179	1,000	0						OK
A1 / 25	179	179	1,000	0						OK
A1 / 26	179	179	1,000	0						OK
A1 / 27	179	179	1,000	0						OK
A1 / 28	179	179	1,000	0						OK
A1 / 29	179	179	1,000	0						OK
A1 / 30	179	179	1,000	0						OK
A1 / 31	179	179	1,000	0						OK
A1 / 32	179	179	1,000	0						OK
A1 / 33	179	179	1,000	0						OK
A1 / 34	179	179	1,000	0						OK

PORTANZA GLOBALE PIASTRE - ABBASSAMENTI COMBINAZ.: SLD/1

	DRENATE		NON DRENATE			DRENATE		NON DRENATE			DRENATE		NON DRENATE	
Nodo3d N.ro	SpostZ (cm)	SpostZ/ SpostEl	SpostZ (cm)	SpostZ/ SpostEl	Nodo3d N.ro	SpostZ (cm)	SpostZ/ SpostEl	SpostZ (cm)	SpostZ/ SpostEl	Nodo3d N.ro	SpostZ (cm)	SpostZ/ SpostEl	SpostZ (cm)	SpostZ/ SpostEl
1	-0,393	ELAST.			2	-0,393	ELAST.			5	-0,393	ELAST.		
6	-0,393	ELAST.			9	-0,394	ELAST.			10	-0,394	ELAST.		
11	-0,394	ELAST.			12	-0,394	ELAST.			13	-0,392	ELAST.		
14	-0,392	ELAST.			15	-0,391	ELAST.			16	-0,392	ELAST.		
17	-0,392	ELAST.			18	-0,392	ELAST.			19	-0,392	ELAST.		
20	-0,391	ELAST.			21	-0,392	ELAST.			22	-0,392	ELAST.		
23	-0,393	ELAST.			24	-0,392	ELAST.			25	-0,393	ELAST.		
26	-0,393	ELAST.			27	-0,392	ELAST.			28	-0,393	ELAST.		
29	-0,393	ELAST.			30	-0,392	ELAST.			31	-0,392	ELAST.		
32	-0,392	ELAST.			33	-0,392	ELAST.			34	-0,392	ELAST.		
35	-0,392	ELAST.			36	-0,391	ELAST.			37	-0,390	ELAST.		
38	-0,391	ELAST.			39	-0,391	ELAST.			40	-0,390	ELAST.		
41	-0,390	ELAST.			42	-0,391	ELAST.			43	-0,391	ELAST.		
44	-0,390	ELAST.			45	-0,390	ELAST.			46	-0,390	ELAST.		
47	-0,391	ELAST.			48	-0,390	ELAST.			49	-0,390	ELAST.		
50	-0,392	ELAST.			51	-0,393	ELAST.			52	-0,392	ELAST.		
53	-0,391	ELAST.			54	-0,391	ELAST.			55	-0,391	ELAST.		
56	-0,391	ELAST.			57	-0,390	ELAST.			58	-0,391	ELAST.		
59	-0,391	ELAST.			60	-0,390	ELAST.			61	-0,390	ELAST.		
62	-0,392	ELAST.			63	-0,391	ELAST.			64	-0,391	ELAST.		
65	-0,390	ELAST.			66	-0,392	ELAST.			67	-0,392	ELAST.		
68	-0,392	ELAST.			69	-0,393	ELAST.			70	-0,392	ELAST.		
71	-0,392	ELAST.			72	-0,391	ELAST.			73	-0,391	ELAST.		
74	-0,392	ELAST.			75	-0,392	ELAST.			76	-0,393	ELAST.		
77	-0,393	ELAST.			78	-0,393	ELAST.			79	-0,392	ELAST.		
80	-0,393	ELAST.			81	-0,392	ELAST.			82	-0,392	ELAST.		
83	-0,393	ELAST.			84	-0,393	ELAST.			85	-0,393	ELAST.		
86	-0,392	ELAST.			87	-0,392	ELAST.			88	-0,392	ELAST.		
89	-0,393	ELAST.			90	-0,392	ELAST.			91	-0,393	ELAST.		
92	-0,393	ELAST.			93	-0,392	ELAST.			94	-0,392	ELAST.		
95	-0,392	ELAST.			96	-0,393	ELAST.			97	-0,393	ELAST.		
98	-0,393	ELAST.			99	-0,392	ELAST.			100	-0,392	ELAST.		
101	-0,393	ELAST.			102	-0,393	ELAST.			103	-0,393	ELAST.		
104	-0,393	ELAST.			105	-0,393	ELAST.			106	-0,393	ELAST.		
107	-0,393	ELAST.			108	-0,393	ELAST.							

CEDIMENTI ELASTICI ED EDOMETRICI

Filo N.ro	Combinaz N.ro	Ced.El. cm	Ced.Ed. cm	Filo N.ro	Combinaz N.ro	Ced.El. cm	Ced.Ed. cm	Filo N.ro	Combinaz N.ro	Ced.El. cm	Ced.Ed. cm	Filo N.ro	Combinaz N.ro	Ced.El. cm	Ced.Ed. cm
1	Rare 1	1,13	0,90	2	Rare 1	1,13	0,91	3	Rare 1	1,12	0,90	4	Rare 1	1,13	0,91
	Rare 2	1,13	0,91		Rare 2	1,14	0,91		Rare 2	1,12	0,90		Rare 2	1,14	0,91
	Freq 1	1,10	0,88		Freq 1	1,11	0,89		Freq 1	1,09	0,87		Freq 1	1,11	0,89
	Freq 2	1,09	0,87		Freq 2	1,10	0,88		Freq 2	1,08	0,86		Freq 2	1,10	0,88
	Perm 1	1,08	0,87		Perm 1	1,09	0,87		Perm 1	1,08	0,86		Perm 1	1,09	0,87
	MAX.	1,13	0,91		MAX.	1,14	0,91		MAX.	1,12	0,90		MAX.	1,14	0,91
5	Rare 1	1,62	1,30	6	Rare 1	1,62	1,30	7	Rare 1	1,63	1,31	8	Rare 1	1,62	1,30
	Rare 2	1,63	1,30		Rare 2	1,63	1,30		Rare 2	1,64	1,31		Rare 2	1,63	1,31
	Freq 1	1,58	1,27		Freq 1	1,58	1,26		Freq 1	1,59	1,28		Freq 1	1,58	1,27
	Freq 2	1,57	1,25		Freq 2	1,56	1,25		Freq 2	1,58	1,26		Freq 2	1,57	1,25
	Perm 1	1,56	1,25		Perm 1	1,56	1,24		Perm 1	1,57	1,26		Perm 1	1,56	1,25
	MAX.	1,63	1,30		MAX.	1,63	1,30		MAX.	1,64	1,31		MAX.	1,63	1,31
9	Rare 1	1,95	1,56	10	Rare 1	2,02	1,62	11	Rare 1	2,04	1,64	12	Rare 1	2,02	1,62
	Rare 2	1,96	1,57		Rare 2	2,03	1,63		Rare 2	2,05	1,64		Rare 2	2,03	1,63
	Freq 1	1,91	1,53		Freq 1	1,98	1,58		Freq 1	1,99	1,60		Freq 1	1,98	1,58
	Freq 2	1,89	1,51		Freq 2	1,95	1,56		Freq 2	1,97	1,58		Freq 2	1,95	1,56
	Perm 1	1,88	1,50		Perm 1	1,94	1,56		Perm 1	1,96	1,57		Perm 1	1,94	1,56
	MAX.	1,96	1,57		MAX.	2,03	1,63		MAX.	2,05	1,64		MAX.	2,03	1,63
13	Rare 1	1,95	1,56	14	Rare 1	1,95	1,56	15	Rare 1	2,02	1,62	16	Rare 1	2,04	1,64
	Rare 2	1,96	1,57		Rare 2	1,96	1,57		Rare 2	2,03	1,63		Rare 2	2,05	1,64

CEDIMENTI ELASTICI ED EDOMETRICI

Filo N.ro	Combinaz N.ro	Ced.El. cm	Ced.Ed. cm	Filo N.ro	Combinaz N.ro	Ced.El. cm	Ced.Ed. cm	Filo N.ro	Combinaz N.ro	Ced.El. cm	Ced.Ed. cm	Filo N.ro	Combinaz N.ro	Ced.El. cm	Ced.Ed. cm
	Freq 1	1,91	1,53		Freq 1	1,91	1,53		Freq 1	1,98	1,58		Freq 1	1,99	1,60
	Freq 2	1,89	1,51		Freq 2	1,89	1,51		Freq 2	1,95	1,56		Freq 2	1,97	1,58
	Perm 1	1,88	1,50		Perm 1	1,88	1,50		Perm 1	1,94	1,56		Perm 1	1,96	1,57
	MAX.	1,96	1,57		MAX.	1,96	1,57		MAX.	2,03	1,63		MAX.	2,05	1,64
17	Rare 1	2,02	1,62	18	Rare 1	1,95	1,56	19	Rare 1	1,73	1,38	20	Rare 1	1,76	1,41
	Rare 2	2,03	1,63		Rare 2	1,96	1,57		Rare 2	1,73	1,39		Rare 2	1,77	1,42
	Freq 1	1,98	1,58		Freq 1	1,91	1,53		Freq 1	1,68	1,35		Freq 1	1,72	1,38
	Freq 2	1,95	1,56		Freq 2	1,89	1,51		Freq 2	1,67	1,33		Freq 2	1,70	1,36
	Perm 1	1,94	1,56		Perm 1	1,88	1,50		Perm 1	1,66	1,33		Perm 1	1,69	1,35
	MAX.	2,03	1,63		MAX.	1,96	1,57		MAX.	1,73	1,39		MAX.	1,77	1,42
21	Rare 1	1,73	1,38	22	Rare 1	1,73	1,38	23	Rare 1	1,78	1,42	24	Rare 1	1,72	1,38
	Rare 2	1,73	1,39		Rare 2	1,74	1,39		Rare 2	1,79	1,43		Rare 2	1,73	1,39
	Freq 1	1,69	1,35		Freq 1	1,69	1,35		Freq 1	1,74	1,39		Freq 1	1,68	1,35
	Freq 2	1,67	1,33		Freq 2	1,67	1,34		Freq 2	1,72	1,38		Freq 2	1,67	1,33
	Perm 1	1,66	1,33		Perm 1	1,66	1,33		Perm 1	1,71	1,37		Perm 1	1,66	1,33
	MAX.	1,73	1,39		MAX.	1,74	1,39		MAX.	1,79	1,43		MAX.	1,73	1,39
25	Rare 1	1,79	1,43	26	Rare 1	1,92	1,54	27	Rare 1	1,95	1,56	28	Rare 1	1,89	1,51
	Rare 2	1,80	1,44		Rare 2	1,93	1,55		Rare 2	1,96	1,56		Rare 2	1,90	1,52
	Freq 1	1,75	1,40		Freq 1	1,88	1,50		Freq 1	1,90	1,52		Freq 1	1,85	1,48
	Freq 2	1,73	1,38		Freq 2	1,86	1,49		Freq 2	1,88	1,50		Freq 2	1,83	1,46
	Perm 1	1,72	1,38		Perm 1	1,85	1,48		Perm 1	1,87	1,50		Perm 1	1,82	1,46
	MAX.	1,80	1,44		MAX.	1,93	1,55		MAX.	1,96	1,56		MAX.	1,90	1,52
29	Rare 1	1,94	1,56	30	Rare 1	1,89	1,51	31	Rare 1	1,99	1,59	32	Rare 1	2,01	1,61
	Rare 2	1,95	1,56		Rare 2	1,90	1,52		Rare 2	2,00	1,60		Rare 2	2,02	1,62
	Freq 1	1,90	1,52		Freq 1	1,85	1,48		Freq 1	1,94	1,55		Freq 1	1,96	1,57
	Freq 2	1,88	1,50		Freq 2	1,83	1,46		Freq 2	1,92	1,53		Freq 2	1,94	1,55
	Perm 1	1,87	1,50		Perm 1	1,82	1,46		Perm 1	1,91	1,53		Perm 1	1,93	1,55
	MAX.	1,95	1,56		MAX.	1,90	1,52		MAX.	2,00	1,60		MAX.	2,02	1,62
33	Rare 1	2,04	1,63	34	Rare 1	2,02	1,62	35	Rare 1	2,04	1,63	36	Rare 1	2,06	1,65
	Rare 2	2,05	1,64		Rare 2	2,03	1,62		Rare 2	2,05	1,64		Rare 2	2,07	1,66
	Freq 1	1,99	1,60		Freq 1	1,97	1,58		Freq 1	1,99	1,59		Freq 1	2,01	1,61
	Freq 2	1,97	1,58		Freq 2	1,95	1,56		Freq 2	1,97	1,58		Freq 2	1,99	1,59
	Perm 1	1,96	1,57		Perm 1	1,94	1,55		Perm 1	1,96	1,57		Perm 1	1,98	1,59
	MAX.	2,05	1,64		MAX.	2,03	1,62		MAX.	2,05	1,64		MAX.	2,07	1,66
37	Rare 1	2,04	1,63	38	Rare 1	2,01	1,61	39	Rare 1	2,05	1,64	40	Rare 1	2,07	1,66
	Rare 2	2,05	1,64		Rare 2	2,02	1,62		Rare 2	2,06	1,65		Rare 2	2,08	1,66
	Freq 1	1,99	1,60		Freq 1	1,96	1,57		Freq 1	2,00	1,60		Freq 1	2,02	1,62
	Freq 2	1,97	1,58		Freq 2	1,94	1,55		Freq 2	1,98	1,58		Freq 2	2,00	1,60
	Perm 1	1,96	1,57		Perm 1	1,93	1,55		Perm 1	1,97	1,58		Perm 1	1,99	1,59
	MAX.	2,05	1,64		MAX.	2,02	1,62		MAX.	2,06	1,65		MAX.	2,08	1,66
41	Rare 1	2,07	1,66	42	Rare 1	2,06	1,65	43	Rare 1	2,05	1,64	44	Rare 1	2,07	1,66
	Rare 2	2,08	1,66		Rare 2	2,07	1,66		Rare 2	2,06	1,65		Rare 2	2,08	1,66
	Freq 1	2,02	1,62		Freq 1	2,01	1,61		Freq 1	2,00	1,60		Freq 1	2,02	1,62
	Freq 2	2,00	1,60		Freq 2	1,99	1,59		Freq 2	1,98	1,58		Freq 2	2,00	1,60
	Perm 1	1,99	1,59		Perm 1	1,98	1,59		Perm 1	1,97	1,58		Perm 1	1,99	1,59
	MAX.	2,08	1,66		MAX.	2,07	1,66		MAX.	2,06	1,65		MAX.	2,08	1,66
45	Rare 1	2,07	1,66	46	Rare 1	1,92	1,53	47	Rare 1	1,75	1,40	48	Rare 1	1,99	1,59
	Rare 2	2,08	1,66		Rare 2	1,93	1,54		Rare 2	1,75	1,40		Rare 2	2,00	1,60
	Freq 1	2,02	1,62		Freq 1	1,87	1,50		Freq 1	1,70	1,36		Freq 1	1,94	1,55
	Freq 2	2,00	1,60		Freq 2	1,85	1,48		Freq 2	1,69	1,35		Freq 2	1,92	1,53
	Perm 1	1,99	1,59		Perm 1	1,84	1,47		Perm 1	1,68	1,34		Perm 1	1,91	1,53
	MAX.	2,08	1,66		MAX.	1,93	1,54		MAX.	1,75	1,40		MAX.	2,00	1,60
49	Rare 1	2,02	1,62	50	Rare 1	2,04	1,63	51	Rare 1	2,05	1,64	52	Rare 1	2,05	1,64
	Rare 2	2,03	1,62		Rare 2	2,05	1,64		Rare 2	2,06	1,65		Rare 2	2,06	1,65
	Freq 1	1,97	1,58		Freq 1	1,99	1,59		Freq 1	2,00	1,60		Freq 1	2,00	1,60
	Freq 2	1,95	1,56		Freq 2	1,97	1,58		Freq 2	1,98	1,58		Freq 2	1,98	1,58
	Perm 1	1,94	1,55		Perm 1	1,96	1,57		Perm 1	1,97	1,58		Perm 1	1,97	1,58
	MAX.	2,03	1,62		MAX.	2,05	1,64		MAX.	2,06	1,65		MAX.	2,06	1,65
53	Rare 1	2,06	1,65	54	Rare 1	2,04	1,63	55	Rare 1	2,02	1,62	56	Rare 1	2,04	1,63
	Rare 2	2,07	1,66		Rare 2	2,05	1,64		Rare 2	2,03	1,62		Rare 2	2,05	1,64
	Freq 1	2,01	1,61		Freq 1	1,99	1,59		Freq 1	1,97	1,58		Freq 1	1,99	1,60
	Freq 2	1,99	1,59		Freq 2	1,97	1,58		Freq 2	1,95	1,56		Freq 2	1,97	1,58
	Perm 1	1,98	1,59		Perm 1	1,96	1,57		Perm 1	1,94	1,55		Perm 1	1,96	1,57
	MAX.	2,07	1,66		MAX.	2,05	1,64		MAX.	2,03	1,62		MAX.	2,05	1,64
57	Rare 1	2,06	1,65	58	Rare 1	1,99	1,59	59	Rare 1	2,01	1,61	60	Rare 1	2,01	1,61
	Rare 2	2,07	1,66		Rare 2	2,00	1,60		Rare 2	2,02	1,62		Rare 2	2,02	1,62
	Freq 1	2,01	1,61		Freq 1	1,94	1,55		Freq 1	1,96	1,57		Freq 1	1,96	1,57
	Freq 2	1,99	1,59		Freq 2	1,92	1,53		Freq 2	1,94	1,56		Freq 2	1,94	1,55
	Perm 1	1,98	1,59		Perm 1	1,91	1,53		Perm 1	1,93	1,55		Perm 1	1,93	1,55
	MAX.	2,07	1,66		MAX.	2,00	1,60		MAX.	2,02	1,62		MAX.	2,02	1,62
61	Rare 1	2,04	1,63	62	Rare 1	1,92	1,53	63	Rare 1	1,95	1,56	64	Rare 1	1,91	1,53
	Rare 2	2,05	1,64		Rare 2	1,93	1,54		Rare 2	1,96	1,57		Rare 2	1,92	1,53
	Freq 1	1,99	1,60		Freq 1	1,87	1,50		Freq 1	1,91	1,52		Freq 1	1,86	1,49
	Freq 2	1,97	1,58		Freq 2	1,85	1,48		Freq 2	1,89	1,51		Freq 2	1,84	1,47
	Perm 1	1,96	1,57		Perm 1	1,84	1,47		Perm 1	1,88	1,50		Perm 1	1,83	1,47
	MAX.	2,05	1,64		MAX.	1,93	1,54		MAX.	1,96	1,57		MAX.	1,92	1,53
65	Rare 1	1,75	1,40	66	Rare 1	1,88	1,51	67	Rare 1	1,95	1,56	68	Rare 1	2,04	1,63
	Rare 2	1,75	1,40		Rare 2	1,89	1,51		Rare 2	1,95	1,56		Rare 2	2,05	1,64
	Freq 1	1,70	1,36		Freq 1	1,84	1,47		Freq 1	1,90	1,52		Freq 1	1,99	1,59
	Freq 2	1,69	1,35		Freq 2	1,82	1,45		Freq 2	1,88	1,50		Freq 2	1,97	1,58
	Perm 1	1,68	1,34		Perm 1	1,81	1,45		Perm 1	1,87	1,50		Perm 1	1,96	1,57
	MAX.	1,75	1,40		MAX.	1,89	1,51		MAX.	1,95	1,56		MAX.	2,05	1,64
69	Rare 1	2,02	1,62	70	Rare 1	1,99	1,59	71	Rare 1	1,92	1,53	72	Rare 1	1,76	1,41
	Rare 2	2,03	1,62		Rare 2	2,00	1,60		Rare 2	1,93	1,54		Rare 2	1,77	1,41

CEDIMENTI ELASTICI ED EDOMETRICI

Filo N.ro	Combinaz N.ro	Ced.El. cm	Ced.Ed. cm	Filo N.ro	Combinaz N.ro	Ced.El. cm	Ced.Ed. cm	Filo N.ro	Combinaz N.ro	Ced.El. cm	Ced.Ed. cm	Filo N.ro	Combinaz N.ro	Ced.El. cm	Ced.Ed. cm
	Freq 1	1,97	1,58		Freq 1	1,94	1,55		Freq 1	1,87	1,50		Freq 1	1,72	1,37
	Freq 2	1,95	1,56		Freq 2	1,92	1,53		Freq 2	1,85	1,48		Freq 2	1,70	1,36
	Perm 1	1,94	1,55		Perm 1	1,91	1,53		Perm 1	1,84	1,47		Perm 1	1,69	1,35
	MAX.	2,03	1,62		MAX.	2,00	1,60		MAX.	1,93	1,54		MAX.	1,77	1,41
73	Rare 1	1,48	1,18	74	Rare 1	1,35	1,08	75	Rare 1	1,56	1,25	76	Rare 1	1,53	1,22
	Rare 2	1,49	1,19		Rare 2	1,35	1,08		Rare 2	1,57	1,26		Rare 2	1,54	1,23
	Freq 1	1,45	1,16		Freq 1	1,31	1,05		Freq 1	1,53	1,22		Freq 1	1,49	1,19
	Freq 2	1,43	1,14		Freq 2	1,30	1,04		Freq 2	1,51	1,21		Freq 2	1,48	1,18
	Perm 1	1,42	1,14		Perm 1	1,29	1,04		Perm 1	1,50	1,20		Perm 1	1,47	1,18
	MAX.	1,49	1,19		MAX.	1,35	1,08		MAX.	1,57	1,26		MAX.	1,54	1,23
77	Rare 1	1,59	1,27	78	Rare 1	1,58	1,27	79	Rare 1	1,48	1,18	80	Rare 1	1,35	1,08
	Rare 2	1,60	1,28		Rare 2	1,59	1,27		Rare 2	1,49	1,19		Rare 2	1,35	1,08
	Freq 1	1,55	1,24		Freq 1	1,54	1,24		Freq 1	1,44	1,16		Freq 1	1,32	1,05
	Freq 2	1,54	1,23		Freq 2	1,53	1,22		Freq 2	1,43	1,14		Freq 2	1,30	1,04
	Perm 1	1,53	1,22		Perm 1	1,52	1,22		Perm 1	1,42	1,14		Perm 1	1,29	1,04
	MAX.	1,60	1,28		MAX.	1,59	1,27		MAX.	1,49	1,19		MAX.	1,35	1,08
81	Rare 1	1,53	1,22	82	Rare 1	1,56	1,25	83	Rare 1	1,59	1,27	84	Rare 1	1,58	1,27
	Rare 2	1,54	1,23		Rare 2	1,57	1,26		Rare 2	1,60	1,28		Rare 2	1,59	1,27
	Freq 1	1,49	1,19		Freq 1	1,53	1,22		Freq 1	1,55	1,24		Freq 1	1,54	1,24
	Freq 2	1,48	1,18		Freq 2	1,51	1,21		Freq 2	1,54	1,23		Freq 2	1,53	1,22
	Perm 1	1,47	1,18		Perm 1	1,50	1,20		Perm 1	1,53	1,22		Perm 1	1,52	1,22
	MAX.	1,54	1,23		MAX.	1,57	1,26		MAX.	1,60	1,28		MAX.	1,59	1,27
85	Rare 1	1,53	1,22	86	Rare 1	1,56	1,25	87	Rare 1	1,35	1,08	88	Rare 1	1,48	1,18
	Rare 2	1,54	1,23		Rare 2	1,57	1,26		Rare 2	1,35	1,08		Rare 2	1,49	1,19
	Freq 1	1,49	1,19		Freq 1	1,53	1,22		Freq 1	1,31	1,05		Freq 1	1,44	1,16
	Freq 2	1,48	1,18		Freq 2	1,51	1,21		Freq 2	1,30	1,04		Freq 2	1,43	1,14
	Perm 1	1,47	1,18		Perm 1	1,50	1,20		Perm 1	1,29	1,04		Perm 1	1,42	1,14
	MAX.	1,54	1,23		MAX.	1,57	1,26		MAX.	1,35	1,08		MAX.	1,49	1,19
89	Rare 1	1,58	1,27	90	Rare 1	1,59	1,27	91	Rare 1	1,56	1,25	92	Rare 1	1,53	1,22
	Rare 2	1,59	1,27		Rare 2	1,60	1,28		Rare 2	1,57	1,26		Rare 2	1,54	1,23
	Freq 1	1,54	1,24		Freq 1	1,55	1,24		Freq 1	1,53	1,22		Freq 1	1,49	1,19
	Freq 2	1,53	1,22		Freq 2	1,54	1,23		Freq 2	1,51	1,21		Freq 2	1,48	1,18
	Perm 1	1,52	1,22		Perm 1	1,53	1,22		Perm 1	1,50	1,20		Perm 1	1,47	1,18
	MAX.	1,59	1,27		MAX.	1,60	1,28		MAX.	1,57	1,26		MAX.	1,54	1,23
93	Rare 1	1,48	1,18	94	Rare 1	1,36	1,09	95	Rare 1	1,59	1,27	96	Rare 1	1,58	1,27
	Rare 2	1,49	1,19		Rare 2	1,37	1,09		Rare 2	1,60	1,28		Rare 2	1,59	1,27
	Freq 1	1,45	1,16		Freq 1	1,33	1,06		Freq 1	1,55	1,24		Freq 1	1,54	1,24
	Freq 2	1,43	1,14		Freq 2	1,31	1,05		Freq 2	1,54	1,23		Freq 2	1,53	1,22
	Perm 1	1,42	1,14		Perm 1	1,31	1,04		Perm 1	1,53	1,22		Perm 1	1,52	1,22
	MAX.	1,49	1,19		MAX.	1,37	1,09		MAX.	1,60	1,28		MAX.	1,59	1,27
97	Rare 1	1,35	1,08	98	Rare 1	1,35	1,08	99	Rare 1	1,36	1,09	100	Rare 1	1,35	1,08
	Rare 2	1,35	1,08		Rare 2	1,36	1,09		Rare 2	1,37	1,09		Rare 2	1,36	1,09
	Freq 1	1,31	1,05		Freq 1	1,32	1,06		Freq 1	1,33	1,06		Freq 1	1,32	1,06
	Freq 2	1,30	1,04		Freq 2	1,31	1,04		Freq 2	1,31	1,05		Freq 2	1,31	1,05
	Perm 1	1,29	1,03		Perm 1	1,30	1,04		Perm 1	1,31	1,04		Perm 1	1,30	1,04
	MAX.	1,35	1,08		MAX.	1,36	1,09		MAX.	1,37	1,09		MAX.	1,36	1,09
101	Rare 1	1,35	1,08	102	Rare 1	1,37	1,09	103	Rare 1	1,36	1,09	104	Rare 1	1,34	1,07
	Rare 2	1,36	1,08		Rare 2	1,37	1,10		Rare 2	1,37	1,10		Rare 2	1,35	1,08
	Freq 1	1,32	1,05		Freq 1	1,33	1,07		Freq 1	1,33	1,07		Freq 1	1,31	1,05
	Freq 2	1,30	1,04		Freq 2	1,32	1,06		Freq 2	1,32	1,05		Freq 2	1,29	1,04
	Perm 1	1,30	1,04		Perm 1	1,31	1,05		Perm 1	1,31	1,05		Perm 1	1,29	1,03
	MAX.	1,36	1,08		MAX.	1,37	1,10		MAX.	1,37	1,10		MAX.	1,35	1,08

26 TABULATI DI CALCOLO FONDAZINI POWER STATION

DATI GENERALI

COEFFICIENTI PARZIALI GEOTECNICA	TABELLA M1	TABELLA M2
Tangente Resist. Taglio	1,00	
Peso Specifico	1,00	
Coesione Efficace (c'k)	1,00	
Resist. a taglio NON drenata (cuk)	1,00	
Tipo Approccio	Combinazione Unica: (A1+M1+R3)	
Tipo di fondazione	Superficiale	

	COEFFICIENTE R1	COEFFICIENTE R2	COEFFICIENTE R3
Capacita' Portante			2,30
Scorrimento			1,10

CRITERI DI PROGETTO GEOTECNICI - FONDAZIONI SUPERFICIALI

IDEN	CARATTERISTICHE DI SITO					IDEN	CARATTERISTICHE DI SITO					IDEN	CARATTERISTICHE DI SITO				
Crit N.ro	Falda (m)	Affond (m)	Ricopr (m)	Pend.X (grd)	Pend.Y (Grd)	Crit N.ro	Falda (m)	Affond (m)	Ricopr (m)	Pend.X (grd)	Pend.Y (Grd)	Crit N.ro	Falda (m)	Affond (m)	Ricopr (m)	Pend.X (grd)	Pend.Y (Grd)
1	1,00	0,00	0,10	0	0	2	1,00	0,50	0,00	0	0						

COORDINATE NODI3D PLATEA

IDENT.	POSIZIONE NODO			IDENT.	POSIZIONE NODO			IDENT.	POSIZIONE NODO			IDENT.	POSIZIONE NODO		
Nodo3d N.ro	Coord.X (m)	Coord.Y (m)	Coord.Z (m)	Nodo3d N.ro	Coord.X (m)	Coord.Y (m)	Coord.Z (m)	Nodo3d N.ro	Coord.X (m)	Coord.Y (m)	Coord.Z (m)	Nodo3d N.ro	Coord.X (m)	Coord.Y (m)	Coord.Z (m)
1	0,50	0,50	0,00	2	6,65	0,50	0,00	5	6,65	2,95	0,00	6	0,50	2,95	0,00
9	0,00	0,00	0,00	10	7,10	0,00	0,00	11	7,10	3,45	0,00	12	0,00	3,45	0,00
13	1,73	0,50	0,00	14	2,96	0,50	0,00	15	4,19	0,50	0,00	16	5,42	0,50	0,00
17	5,42	2,95	0,00	18	4,19	2,95	0,00	19	2,96	2,95	0,00	20	1,73	2,95	0,00
21	6,65	1,73	0,00	22	0,50	1,73	0,00	23	2,00	2,00	0,00	24	2,00	1,00	0,00
25	1,00	1,00	0,00	26	1,00	2,00	0,00	27	4,00	1,00	0,00	28	3,00	1,00	0,00
29	3,00	2,00	0,00	30	4,00	2,00	0,00	31	5,00	2,00	0,00	32	5,00	1,00	0,00
33	6,00	1,00	0,00	34	6,00	2,00	0,00	35	3,04	0,00	0,00	36	2,03	0,00	0,00
37	2,03	3,45	0,00	38	3,04	3,45	0,00	39	4,06	3,45	0,00	40	4,06	0,00	0,00
41	1,01	0,00	0,00	42	0,00	1,15	0,00	43	0,00	2,30	0,00	44	1,01	3,45	0,00
45	5,07	0,00	0,00	46	6,09	0,00	0,00	47	7,10	1,15	0,00	48	5,07	3,45	0,00
49	6,09	3,45	0,00	50	7,10	2,30	0,00								

GEOMETRIA PLATEA

Shell N.ro	Nodo 1	Nodo 2	Nodo 3	Nodo 4	Sez Nro	Shell N.ro	Nodo 1	Nodo 2	Nodo 3	Nodo 4	Sez Nro	Shell N.ro	Nodo 1	Nodo 2	Nodo 3	Nodo 4	Sez Nro	Shell N.ro	Nodo 1	Nodo 2	Nodo 3	Nodo 4	Sez Nro
5	23	26	25	24	1	6	27	30	29	28	1	7	29	23	24	28	1	8	31	30	27	32	1
9	32	33	34	31	1	10	14	13	36	35	1	11	24	13	14	28	1	12	27	28	14	15	1
13	19	20	23	29	1	14	20	6	26	23	1	15	37	20	19	38	1	16	39	38	19	18	1
17	30	18	19	29	1	18	40	15	14	35	1	19	31	17	18	30	1	20	34	5	17	31	1
21	41	13	1	9	1	22	25	26	22	1	1	23	1	22	42	9	1	24	13	24	25	1	1
25	22	6	43	42	1	26	6	20	44	12	1	27	45	16	15	40	1	28	15	16	32	27	1
29	16	45	46	2	1	30	2	10	47	21	1	31	33	32	16	2	1	32	21	34	33	2	1
33	18	17	48	39	1	34	17	5	49	48	1	35	21	47	50	5	1	36	36	13	41	41	1
37	22	26	6	6	1	38	6	12	43	43	1	39	20	37	44	44	1	40	2	46	10	10	1
41	21	5	34	34	1	42	49	5	11	11	1	43	11	5	50	50	1						

STRATIGRAFIA PLATEA

Str. N.ro	Q.t.v. (m)	Q.t.d. (m)	Q.falda (m)	Incl Grd	Kw kg/cmc	Num Str	Sp.str. (m)	Peso Sp kg/mc	Fi' (Grd)	C' kg/cmq	Cu kg/cmq	Mod.El. kg/cmq	Poisson	Gr.Sovr (%)	Mod.Ed. kg/cmq
1	-0,10	0,00	1,40	0	1,00	1	2,00	1850	20,00	0,04	0,02	40,00	0,20	1	50,00
						2		1900	16,00	0,15	0,50	40,00	0,20	1	50,00

COMBINAZIONI CARICHI - S.L.U. - A1

DESCRIZIONI	1	2	3	4	5	6	7	8	9	10	11	12	13	14	15
Peso Strutturale	1,30	1,30	1,00	1,00	1,00	1,00	1,00	1,00	1,00	1,00	1,00	1,00	1,00	1,00	1,00
Perm.Non Strutturale	1,50	1,50	1,00	1,00	1,00	1,00	1,00	1,00	1,00	1,00	1,00	1,00	1,00	1,00	1,00
Var.Neve h>1000	1,05	1,50	0,20	0,20	0,20	0,20	0,20	0,20	0,20	0,20	0,20	0,20	0,20	0,20	0,20
Var.Bibl.Arch.	1,50	1,50	0,80	0,80	0,80	0,80	0,80	0,80	0,80	0,80	0,80	0,80	0,80	0,80	0,80
Corr. Tors. dir. 0	0,00	0,00	1,00	-1,00	1,00	-1,00	1,00	-1,00	1,00	-1,00	-1,00	1,00	-1,00	1,00	-1,00
Corr. Tors. dir. 90	0,00	0,00	0,30	0,30	-0,30	-0,30	-0,30	-0,30	0,30	0,30	0,30	0,30	-0,30	-0,30	-0,30
Sisma direz. grd 0	0,00	0,00	1,00	1,00	1,00	1,00	1,00	1,00	1,00	1,00	-1,00	-1,00	-1,00	-1,00	-1,00
Sisma direz. grd 90	0,00	0,00	0,30	0,30	0,30	0,30	-0,30	-0,30	-0,30	-0,30	0,30	0,30	0,30	0,30	-0,30

COMBINAZIONI CARICHI - S.L.U. - A1

DESCRIZIONI	16	17	18	19	20	21	22	23	24	25	26	27	28	29	30
Peso Strutturale	1,00	1,00	1,00	1,00	1,00	1,00	1,00	1,00	1,00	1,00	1,00	1,00	1,00	1,00	1,00
Perm.Non Strutturale	1,00	1,00	1,00	1,00	1,00	1,00	1,00	1,00	1,00	1,00	1,00	1,00	1,00	1,00	1,00
Var.Neve h>1000	0,20	0,20	0,20	0,20	0,20	0,20	0,20	0,20	0,20	0,20	0,20	0,20	0,20	0,20	0,20
Var.Bibl.Arch.	0,80	0,80	0,80	0,80	0,80	0,80	0,80	0,80	0,80	0,80	0,80	0,80	0,80	0,80	0,80
Corr. Tors. dir. 0	1,00	-1,00	1,00	0,30	-0,30	0,30	-0,30	0,30	-0,30	0,30	-0,30	-0,30	0,30	-0,30	0,30
Corr. Tors. dir. 90	-0,30	0,30	0,30	1,00	1,00	-1,00	-1,00	-1,00	-1,00	1,00	1,00	1,00	1,00	-1,00	-1,00
Sisma direz. grd 0	-1,00	-1,00	-1,00	0,30	0,30	0,30	0,30	0,30	0,30	0,30	0,30	-0,30	-0,30	-0,30	-0,30
Sisma direz. grd 90	-0,30	-0,30	-0,30	1,00	1,00	1,00	1,00	-1,00	-1,00	-1,00	-1,00	1,00	1,00	1,00	1,00

COMBINAZIONI CARICHI - S.L.U. - A1

DESCRIZIONI	31	32	33	34
Peso Strutturale	1,00	1,00	1,00	1,00
Perm.Non Strutturale	1,00	1,00	1,00	1,00
Var.Neve h>1000	0,20	0,20	0,20	0,20
Var.Bibl.Arch.	0,80	0,80	0,80	0,80
Corr. Tors. dir. 0	-0,30	0,30	-0,30	0,30
Corr. Tors. dir. 90	-1,00	-1,00	1,00	1,00
Sisma direz. grd 0	-0,30	-0,30	-0,30	-0,30
Sisma direz. grd 90	-1,00	-1,00	-1,00	-1,00

COMBINAZIONI RARE - S.L.E.

DESCRIZIONI	1	2
Peso Strutturale	1,00	1,00
Perm.Non Strutturale	1,00	1,00
Var.Neve h>1000	0,70	1,00
Var.Bibl.Arch.	1,00	1,00
Corr. Tors. dir. 0	0,00	0,00
Corr. Tors. dir. 90	0,00	0,00
Sisma direz. grd 0	0,00	0,00
Sisma direz. grd 90	0,00	0,00

COMBINAZIONI FREQUENTI - S.L.E.

DESCRIZIONI	1	2
Peso Strutturale	1,00	1,00
Perm.Non Strutturale	1,00	1,00
Var.Neve h>1000	0,20	0,50
Var.Bibl.Arch.	0,90	0,80
Corr. Tors. dir. 0	0,00	0,00
Corr. Tors. dir. 90	0,00	0,00
Sisma direz. grd 0	0,00	0,00
Sisma direz. grd 90	0,00	0,00

COMBINAZIONI PERMANENTI - S.L.E.

DESCRIZIONI	1
Peso Strutturale	1,00
Perm.Non Strutturale	1,00
Var.Neve h>1000	0,20
Var.Bibl.Arch.	0,80
Corr. Tors. dir. 0	0,00
Corr. Tors. dir. 90	0,00
Sisma direz. grd 0	0,00
Sisma direz. grd 90	0,00

RISULTANTI SOLLECITAZIONI NODI PLATEE - SLU

Nod3d N.ro	Combinazione N.ro		Fz (t)	Nod3d N.ro	Combinazione N.ro		Fz (t)	Nod3d N.ro	Combinazione N.ro		Fz (t)	Nod3d N.ro	Combinazione N.ro		Fz (t)
1		A1/1	-2,35	2		A1/1	-2,89	5		A1/1	-3,59	6		A1/1	-3,13
		A1/2	-2,36			A1/2	-2,90			A1/2	-3,61			A1/2	-3,14
	X+	A1/3	-1,67		X+	A1/6	-2,05		X+	A1/9	-2,55		X+	A1/8	-2,22
	X-	A1/12	-1,67		X-	A1/13	-2,05		X-	A1/18	-2,55		X-	A1/15	-2,22
	Y+	A1/19	-1,67		Y+	A1/29	-2,05		Y+	A1/28	-2,55		Y+	A1/22	-2,22
	Y-	A1/25	-1,67		Y-	A1/31	-2,05		Y-	A1/34	-2,55		Y-	A1/24	-2,22
9		A1/1	-1,19	10		A1/1	-0,93	11		A1/1	-0,73	12		A1/1	-0,98
		A1/2	-1,19			A1/2	-0,93			A1/2	-0,73			A1/2	-0,98
	X+	A1/3	-0,84		X+	A1/6	-0,66		X+	A1/9	-0,52		X+	A1/8	-0,69
	X-	A1/12	-0,84		X-	A1/13	-0,66		X-	A1/18	-0,52		X-	A1/15	-0,69
	Y+	A1/19	-0,84		Y+	A1/29	-0,66		Y+	A1/28	-0,52		Y+	A1/22	-0,69
	Y-	A1/25	-0,84		Y-	A1/31	-0,66		Y-	A1/34	-0,52		Y-	A1/24	-0,70
13		A1/1	-2,69	14		A1/1	-2,36	15		A1/1	-2,37	16		A1/1	-2,38
		A1/2	-2,71			A1/2	-2,37			A1/2	-2,38			A1/2	-2,39
	X+	A1/3	-1,91		X+	A1/3	-1,67		X+	A1/6	-1,68		X+	A1/6	-1,69
	X-	A1/12	-1,91		X-	A1/12	-1,67		X-	A1/13	-1,68		X-	A1/13	-1,69
	Y+	A1/19	-1,91		Y+	A1/19	-1,67		Y+	A1/29	-1,68		Y+	A1/29	-1,69
	Y-	A1/25	-1,91		Y-	A1/25	-1,67		Y-	A1/31	-1,68		Y-	A1/31	-1,69
17		A1/1	-3,45	18		A1/1	-3,44	19		A1/1	-3,42	20		A1/1	-3,76
		A1/2	-3,47			A1/2	-3,46			A1/2	-3,44			A1/2	-3,77
	X+	A1/9	-2,45		X+	A1/9	-2,44		X+	A1/8	-2,43		X+	A1/8	-2,67
	X-	A1/18	-2,45		X-	A1/18	-2,44		X-	A1/15	-2,43		X-	A1/15	-2,67
	Y+	A1/28	-2,45		Y+	A1/28	-2,44		Y+	A1/22	-2,43		Y+	A1/22	-2,67
	Y-	A1/34	-2,45		Y-	A1/34	-2,44		Y-	A1/24	-2,43		Y-	A1/24	-2,67
21		A1/1	-2,47	22		A1/1	-2,23	23		A1/1	-4,30	24		A1/1	-3,26
		A1/2	-2,48			A1/2	-2,24			A1/2	-4,32			A1/2	-3,27
	X+	A1/9	-1,75		X+	A1/8	-1,59		X+	A1/8	-3,06		X+	A1/3	-2,31
	X-	A1/18	-1,75		X-	A1/15	-1,59		X-	A1/15	-3,06		X-	A1/12	-2,31
	Y+	A1/28	-1,75		Y+	A1/22	-1,59		Y+	A1/22	-3,06		Y+	A1/19	-2,31
	Y-	A1/34	-1,75		Y-	A1/24	-1,59		Y-	A1/24	-3,06		Y-	A1/25	-2,31
25		A1/1	-2,20	26		A1/1	-3,15	27		A1/1	-3,28	28		A1/1	-3,27
		A1/2	-2,21			A1/2	-3,16			A1/2	-3,30			A1/2	-3,28
	X+	A1/3	-1,56		X+	A1/8	-2,24		X+	A1/6	-2,33		X+	A1/3	-2,32
	X-	A1/12	-1,56		X-	A1/15	-2,24		X-	A1/13	-2,33		X-	A1/12	-2,32
	Y+	A1/19	-1,56		Y+	A1/22	-2,24		Y+	A1/29	-2,33		Y+	A1/19	-2,32

RISULTANTI SOLLECITAZIONI NODI PLATEE - SLU

Nod3d N.ro	Combinazione N.ro		Fz (t)	Nod3d N.ro	Combinazione N.ro		Fz (t)	Nod3d N.ro	Combinazione N.ro		Fz (t)	Nod3d N.ro	Combinazione N.ro		Fz (t)
	Y-	A1/25	-1,56		Y-	A1/24	-2,24		Y-	A1/31	-2,33		Y-	A1/25	-2,32
29		A1/1	-4,32	30		A1/1	-4,34	31		A1/1	-4,36	32		A1/1	-3,30
		A1/2	-4,34			A1/2	-4,36			A1/2	-4,37			A1/2	-3,31
	X+	A1/8	-3,07		X+	A1/9	-3,08		X+	A1/9	-3,09		X+	A1/6	-2,34
	X-	A1/15	-3,07		X-	A1/18	-3,08		X-	A1/18	-3,09		X-	A1/13	-2,34
	Y+	A1/22	-3,07		Y+	A1/28	-3,08		Y+	A1/28	-3,09		Y+	A1/29	-2,34
	Y-	A1/24	-3,07		Y-	A1/34	-3,08		Y-	A1/34	-3,09		Y-	A1/31	-2,34
33		A1/1	-2,42	34		A1/1	-3,52	35		A1/1	-1,18	36		A1/1	-0,94
		A1/2	-2,43			A1/2	-3,54			A1/2	-1,19			A1/2	-0,95
	X+	A1/6	-1,72		X+	A1/9	-2,50		X+	A1/3	-0,84		X+	A1/3	-0,67
	X-	A1/13	-1,72		X-	A1/18	-2,50		X-	A1/12	-0,84		X-	A1/12	-0,67
	Y+	A1/29	-1,72		Y+	A1/28	-2,50		Y+	A1/19	-0,84		Y+	A1/19	-0,67
	Y-	A1/31	-1,72		Y-	A1/34	-2,50		Y-	A1/25	-0,84		Y-	A1/25	-0,67
37		A1/1	-0,95	38		A1/1	-1,19	39		A1/1	-1,19	40		A1/1	-1,19
		A1/2	-0,95			A1/2	-1,19			A1/2	-1,20			A1/2	-1,19
	X+	A1/8	-0,67		X+	A1/8	-0,84		X+	A1/9	-0,85		X+	A1/6	-0,84
	X-	A1/15	-0,67		X-	A1/15	-0,84		X-	A1/18	-0,85		X-	A1/13	-0,84
	Y+	A1/22	-0,67		Y+	A1/22	-0,84		Y+	A1/28	-0,85		Y+	A1/29	-0,84
	Y-	A1/24	-0,67		Y-	A1/24	-0,84		Y-	A1/34	-0,85		Y-	A1/31	-0,84
41		A1/1	-0,94	42		A1/1	-1,23	43		A1/1	-1,01	44		A1/1	-0,94
		A1/2	-0,94			A1/2	-1,23			A1/2	-1,01			A1/2	-0,94
	X+	A1/3	-0,66		X+	A1/3	-0,87		X+	A1/8	-0,72		X+	A1/8	-0,67
	X-	A1/12	-0,66		X-	A1/12	-0,87		X-	A1/15	-0,72		X-	A1/15	-0,67
	Y+	A1/19	-0,67		Y+	A1/19	-0,87		Y+	A1/22	-0,72		Y+	A1/22	-0,67
	Y-	A1/25	-0,66		Y-	A1/25	-0,87		Y-	A1/24	-0,72		Y-	A1/24	-0,67
45		A1/1	-1,19	46		A1/1	-0,95	47		A1/1	-1,14	48		A1/1	-1,20
		A1/2	-1,20			A1/2	-0,96			A1/2	-1,14			A1/2	-1,20
	X+	A1/6	-0,85		X+	A1/6	-0,68		X+	A1/6	-0,81		X+	A1/9	-0,85
	X-	A1/13	-0,85		X-	A1/13	-0,68		X-	A1/13	-0,81		X-	A1/18	-0,85
	Y+	A1/29	-0,85		Y+	A1/29	-0,68		Y+	A1/29	-0,81		Y+	A1/28	-0,85
	Y-	A1/31	-0,85		Y-	A1/31	-0,68		Y-	A1/31	-0,81		Y-	A1/34	-0,85
49		A1/1	-0,96	50		A1/1	-0,94								
		A1/2	-0,96			A1/2	-0,94								
	X+	A1/9	-0,68		X+	A1/9	-0,66								
	X-	A1/18	-0,68		X-	A1/18	-0,67								
	Y+	A1/28	-0,68		Y+	A1/28	-0,66								
	Y-	A1/34	-0,68		Y-	A1/34	-0,67								

RISULTANTI SOLLECITAZIONI NODI PLATEE - SLD

Nod3d N.ro	Combinazione N.ro		Fz (t)	Nod3d N.ro	Combinazione N.ro		Fz (t)	Nod3d N.ro	Combinazione N.ro		Fz (t)	Nod3d N.ro	Combinazione N.ro		Fz (t)
1		SLD/1	-2,35	2		SLD/1	-2,89	5		SLD/1	-3,59	6		SLD/1	-3,13
		SLD/2	-2,36			SLD/2	-2,90			SLD/2	-3,61			SLD/2	-3,14
	X+	SLD/3	-1,67		X+	SLD/6	-2,05		X+	SLD/9	-2,55		X+	SLD/8	-2,22
	X-	SLD/12	-1,67		X-	SLD/13	-2,05		X-	SLD/18	-2,55		X-	SLD/15	-2,22
	Y+	SLD/19	-1,67		Y+	SLD/29	-2,05		Y+	SLD/28	-2,55		Y+	SLD/22	-2,22
	Y-	SLD/25	-1,67		Y-	SLD/31	-2,05		Y-	SLD/34	-2,55		Y-	SLD/24	-2,22
9		SLD/1	-1,19	10		SLD/1	-0,93	11		SLD/1	-0,73	12		SLD/1	-0,98
		SLD/2	-1,19			SLD/2	-0,93			SLD/2	-0,73			SLD/2	-0,98
	X+	SLD/3	-0,84		X+	SLD/6	-0,66		X+	SLD/9	-0,52		X+	SLD/8	-0,69
	X-	SLD/12	-0,84		X-	SLD/13	-0,66		X-	SLD/18	-0,52		X-	SLD/15	-0,69
	Y+	SLD/19	-0,84		Y+	SLD/29	-0,66		Y+	SLD/28	-0,52		Y+	SLD/22	-0,69
	Y-	SLD/25	-0,84		Y-	SLD/31	-0,66		Y-	SLD/34	-0,52		Y-	SLD/24	-0,69
13		SLD/1	-2,69	14		SLD/1	-2,36	15		SLD/1	-2,37	16		SLD/1	-2,38
		SLD/2	-2,71			SLD/2	-2,37			SLD/2	-2,38			SLD/2	-2,39
	X+	SLD/3	-1,91		X+	SLD/3	-1,67		X+	SLD/6	-1,68		X+	SLD/6	-1,69
	X-	SLD/12	-1,91		X-	SLD/12	-1,67		X-	SLD/13	-1,68		X-	SLD/13	-1,69
	Y+	SLD/19	-1,91		Y+	SLD/19	-1,67		Y+	SLD/29	-1,68		Y+	SLD/29	-1,69
	Y-	SLD/25	-1,91		Y-	SLD/25	-1,67		Y-	SLD/31	-1,68		Y-	SLD/31	-1,69
17		SLD/1	-3,45	18		SLD/1	-3,44	19		SLD/1	-3,42	20		SLD/1	-3,76
		SLD/2	-3,47			SLD/2	-3,46			SLD/2	-3,44			SLD/2	-3,77
	X+	SLD/9	-2,45		X+	SLD/9	-2,44		X+	SLD/8	-2,43		X+	SLD/8	-2,67
	X-	SLD/18	-2,45		X-	SLD/18	-2,44		X-	SLD/15	-2,43		X-	SLD/15	-2,67
	Y+	SLD/28	-2,45		Y+	SLD/28	-2,44		Y+	SLD/22	-2,43		Y+	SLD/22	-2,67
	Y-	SLD/34	-2,45		Y-	SLD/34	-2,44		Y-	SLD/24	-2,43		Y-	SLD/24	-2,67
21		SLD/1	-2,47	22		SLD/1	-2,23	23		SLD/1	-4,30	24		SLD/1	-3,26
		SLD/2	-2,48			SLD/2	-2,24			SLD/2	-4,32			SLD/2	-3,27
	X+	SLD/9	-1,75		X+	SLD/8	-1,59		X+	SLD/8	-3,06		X+	SLD/3	-2,31
	X-	SLD/18	-1,75		X-	SLD/15	-1,59		X-	SLD/15	-3,06		X-	SLD/12	-2,31
	Y+	SLD/28	-1,75		Y+	SLD/22	-1,59		Y+	SLD/22	-3,06		Y+	SLD/19	-2,31
	Y-	SLD/34	-1,75		Y-	SLD/24	-1,59		Y-	SLD/24	-3,06		Y-	SLD/25	-2,31

RISULTANTI SOLLECITAZIONI NODI PLATEE - SLD

Nod3d N.ro	Combinazione N.ro		Fz (t)	Nod3d N.ro	Combinazione N.ro		Fz (t)	Nod3d N.ro	Combinazione N.ro		Fz (t)	Nod3d N.ro	Combinazione N.ro		Fz (t)
25		SLD/1	-2,20	26		SLD/1	-3,15	27		SLD/1	-3,28	28		SLD/1	-3,27
		SLD/2	-2,21			SLD/2	-3,16			SLD/2	-3,30			SLD/2	-3,28
	X+	SLD/3	-1,56		X+	SLD/8	-2,24		X+	SLD/6	-2,33		X+	SLD/3	-2,32
	X-	SLD/12	-1,56		X-	SLD/15	-2,24		X-	SLD/13	-2,33		X-	SLD/12	-2,32
	Y+	SLD/19	-1,56		Y+	SLD/22	-2,24		Y+	SLD/29	-2,33		Y+	SLD/19	-2,32
	Y-	SLD/25	-1,56		Y-	SLD/24	-2,24		Y-	SLD/31	-2,33		Y-	SLD/25	-2,32
29		SLD/1	-4,32	30		SLD/1	-4,34	31		SLD/1	-4,36	32		SLD/1	-3,30
		SLD/2	-4,34			SLD/2	-4,36			SLD/2	-4,37			SLD/2	-3,31
	X+	SLD/8	-3,07		X+	SLD/9	-3,08		X+	SLD/9	-3,09		X+	SLD/6	-2,34
	X-	SLD/15	-3,07		X-	SLD/18	-3,08		X-	SLD/18	-3,09		X-	SLD/13	-2,34
	Y+	SLD/22	-3,07		Y+	SLD/28	-3,08		Y+	SLD/28	-3,09		Y+	SLD/29	-2,34
	Y-	SLD/24	-3,07		Y-	SLD/34	-3,08		Y-	SLD/34	-3,09		Y-	SLD/31	-2,34
33		SLD/1	-2,42	34		SLD/1	-3,52	35		SLD/1	-1,18	36		SLD/1	-0,94
		SLD/2	-2,43			SLD/2	-3,54			SLD/2	-1,19			SLD/2	-0,95
	X+	SLD/6	-1,72		X+	SLD/9	-2,50		X+	SLD/3	-0,84		X+	SLD/3	-0,67
	X-	SLD/13	-1,72		X-	SLD/18	-2,50		X-	SLD/12	-0,84		X-	SLD/12	-0,67
	Y+	SLD/29	-1,72		Y+	SLD/28	-2,50		Y+	SLD/19	-0,84		Y+	SLD/19	-0,67
	Y-	SLD/31	-1,72		Y-	SLD/34	-2,50		Y-	SLD/25	-0,84		Y-	SLD/25	-0,67
37		SLD/1	-0,95	38		SLD/1	-1,19	39		SLD/1	-1,19	40		SLD/1	-1,19
		SLD/2	-0,95			SLD/2	-1,19			SLD/2	-1,20			SLD/2	-1,19
	X+	SLD/8	-0,67		X+	SLD/8	-0,84		X+	SLD/9	-0,85		X+	SLD/6	-0,84
	X-	SLD/15	-0,67		X-	SLD/15	-0,84		X-	SLD/18	-0,85		X-	SLD/13	-0,84
	Y+	SLD/22	-0,67		Y+	SLD/22	-0,84		Y+	SLD/28	-0,85		Y+	SLD/29	-0,84
	Y-	SLD/24	-0,67		Y-	SLD/24	-0,84		Y-	SLD/34	-0,85		Y-	SLD/31	-0,84
41		SLD/1	-0,94	42		SLD/1	-1,23	43		SLD/1	-1,01	44		SLD/1	-0,94
		SLD/2	-0,94			SLD/2	-1,23			SLD/2	-1,01			SLD/2	-0,94
	X+	SLD/3	-0,66		X+	SLD/3	-0,87		X+	SLD/8	-0,72		X+	SLD/8	-0,67
	X-	SLD/12	-0,66		X-	SLD/12	-0,87		X-	SLD/15	-0,72		X-	SLD/15	-0,67
	Y+	SLD/19	-0,66		Y+	SLD/19	-0,87		Y+	SLD/22	-0,72		Y+	SLD/22	-0,67
	Y-	SLD/25	-0,66		Y-	SLD/25	-0,87		Y-	SLD/24	-0,72		Y-	SLD/24	-0,67
45		SLD/1	-1,19	46		SLD/1	-0,95	47		SLD/1	-1,14	48		SLD/1	-1,20
		SLD/2	-1,20			SLD/2	-0,96			SLD/2	-1,14			SLD/2	-1,20
	X+	SLD/6	-0,85		X+	SLD/6	-0,68		X+	SLD/6	-0,81		X+	SLD/9	-0,85
	X-	SLD/13	-0,85		X-	SLD/13	-0,68		X-	SLD/13	-0,81		X-	SLD/18	-0,85
	Y+	SLD/29	-0,85		Y+	SLD/29	-0,68		Y+	SLD/29	-0,81		Y+	SLD/28	-0,85
	Y-	SLD/31	-0,85		Y-	SLD/31	-0,68		Y-	SLD/31	-0,81		Y-	SLD/34	-0,85
49		SLD/1	-0,96	50		SLD/1	-0,94								
		SLD/2	-0,96			SLD/2	-0,94								
	X+	SLD/9	-0,68		X+	SLD/9	-0,66								
	X-	SLD/18	-0,68		X-	SLD/18	-0,66								
	Y+	SLD/28	-0,68		Y+	SLD/28	-0,66								
	Y-	SLD/34	-0,68		Y-	SLD/34	-0,66								

PARAMETRI GEOTECNICI PIASTRE WINKLER - S.L.U.

IDENTIFICATIVO				CONDIZIONE DRENATA							NON DRENATA	
Piast N.ro	Infiss m	Tipo Tabel	Gamma kg/mc	Fi' Grd	C' kg/cmq	Mod.El kg/cmq	Poiss on	P base kg/cmq	Indice Rigid.	IndRig Crit.	Cu kg/cmq	P base kg/cmq
1	0,40	M1	1850	20,00	0,04	40,00	0,20	0,07	180,59	29,28		
2	0,40	M1	1850	20,00	0,04	40,00	0,20	0,07	176,06	29,28		
3	0,40	M1	1850	20,00	0,04	40,00	0,20	0,07	170,36	29,28		
4	0,40	M1	1850	20,00	0,04	40,00	0,20	0,07	173,40	29,28		
5	0,40	M1	1850	20,00	0,04	40,00	0,20	0,07	196,02	29,28		
6	0,40	M1	1850	20,00	0,04	40,00	0,20	0,07	201,64	29,28		
7	0,40	M1	1850	20,00	0,04	40,00	0,20	0,07	206,15	29,28		
8	0,40	M1	1850	20,00	0,04	40,00	0,20	0,07	200,10	29,28		
9	0,40	M1	1850	20,00	0,04	40,00	0,20	0,07	177,40	29,28		
10	0,40	M1	1850	20,00	0,04	40,00	0,20	0,07	180,94	29,28		
11	0,40	M1	1850	20,00	0,04	40,00	0,20	0,07	180,94	29,28		

PARAMETRI GEOTECNICI PIASTRE WINKLER - S.L.U.												
IDENTIFICATIVO				CONDIZIONE DRENATA							NON DRENATA	
Piast N.ro	Infiss m	Tipo Tabel	Gamma kg/mc	Fi' Grd	C' kg/cmq	Mod.El kg/cmq	Poiss on	P base kg/cmq	Indice Rigid.	IndRig Crit.	Cu kg/cmq	P base kg/cmq
12	0,40	M1	1850	20,00	0,04	40,00	0,20	0,07	180,94	29,28		
13	0,40	M1	1850	20,00	0,04	40,00	0,20	0,07	171,40	29,28		
14	0,40	M1	1850	20,00	0,04	40,00	0,20	0,07	171,40	29,28		
15	0,40	M1	1850	20,00	0,04	40,00	0,20	0,07	171,40	29,28		
16	0,40	M1	1850	20,00	0,04	40,00	0,20	0,07	168,73	29,28		
17	0,40	M1	1850	20,00	0,04	40,00	0,20	0,07	180,01	29,28		
18	0,40	M1	1850	20,00	0,04	40,00	0,20	0,07	181,89	29,28		
19	0,40	M1	1850	20,00	0,04	40,00	0,20	0,07	164,86	29,28		
20	0,40	M1	1850	20,00	0,04	40,00	0,20	0,07	172,45	29,28		
21	0,40	M1	1850	20,00	0,04	40,00	0,20	0,07	182,33	29,28		
22	0,40	M1	1850	20,00	0,04	40,00	0,20	0,07	173,24	29,28		
23	0,40	M1	1850	20,00	0,04	40,00	0,20	0,07	172,45	29,28		
24	0,40	M1	1850	20,00	0,04	40,00	0,20	0,07	172,45	29,28		
25	0,40	M1	1850	20,00	0,04	40,00	0,20	0,07	164,86	29,28		
26	0,40	M1	1850	20,00	0,04	40,00	0,20	0,07	164,86	29,28		
27	0,40	M1	1850	20,00	0,04	40,00	0,20	0,07	164,86	29,28		
28	0,40	M1	1850	20,00	0,04	40,00	0,20	0,07	172,45	29,28		
29	0,40	M1	1850	20,00	0,04	40,00	0,20	0,07	180,46	29,28		
30	0,40	M1	1850	20,00	0,04	40,00	0,20	0,07	170,81	29,28		
31	0,40	M1	1850	20,00	0,04	40,00	0,20	0,07	196,62	29,28		
32	0,40	M1	1850	20,00	0,04	40,00	0,20	0,07	201,05	29,28		
33	0,40	M1	1850	20,00	0,04	40,00	0,20	0,07	201,05	29,28		
34	0,40	M1	1850	20,00	0,04	40,00	0,20	0,07	196,62	29,28		
35	0,40	M1	1850	20,00	0,04	40,00	0,20	0,07	196,62	29,28		
36	0,40	M1	1850	20,00	0,04	40,00	0,20	0,07	196,62	29,28		
37	0,40	M1	1850	20,00	0,04	40,00	0,20	0,07	201,05	29,28		
38	0,40	M1	1850	20,00	0,04	40,00	0,20	0,07	195,44	29,28		
39	0,40	M1	1850	20,00	0,04	40,00	0,20	0,07	199,43	29,28		
40	0,40	M1	1850	20,00	0,04	40,00	0,20	0,07	201,05	29,28		
41	0,40	M1	1850	20,00	0,04	40,00	0,20	0,07	196,62	29,28		
42	0,40	M1	1850	20,00	0,04	40,00	0,20	0,07	201,05	29,28		

PARAMETRI GEOTECNICI PIASTRE WINKLER - S.L.U.

IDENTIFICATIVO				CONDIZIONE DRENATA							NON DRENATA	
Piast N.ro	Infiss m	Tipo Tabel	Gamma kg/mc	Fi' Grd	C' kg/cmq	Mod.El kg/cmq	Poiss on	P base kg/cmq	Indice Rigid.	IndRig Crit.	Cu kg/cmq	P base kg/cmq
43	0,40	M1	1850	20,00	0,04	40,00	0,20	0,07	197,62	29,28		
44	0,40	M1	1850	20,00	0,04	40,00	0,20	0,07	196,62	29,28		
45	0,40	M1	1850	20,00	0,04	40,00	0,20	0,07	201,05	29,28		
46	0,40	M1	1850	20,00	0,04	40,00	0,20	0,07	201,48	29,28		

COEFFICIENTI DI PORTANZA PIASTRE WINKLER - CONDIZIONI DRENATE - S.L.U.

Piast	Brinch Hansen			IclTe	Incl.PianoPosa			Comb		Igk	CoeffIncl.Car.			Affondamento			Forma			Punzonamento		
Nro	Nc	Nq	Ng	Gc=Gq	Bc	Bq	Bg		N.ro	Sism	IcV	IqV	IgV	Dc	Dq	Dg	Sc	Sq	Sg	Psic	Psiq	Psig
1	14,83	6,40	5,39	1,00	1,00	1,00	1,00		A1/1	1,00	1,00	1,00	1,00	1,20	1,17	1,00	1,43	1,36	0,60	1,00	1,00	1,00
									A1/2	1,00	1,00	1,00	1,00	1,20	1,17	1,00	1,43	1,36	0,60	1,00	1,00	1,00
								X+	A1/3	1,00	0,72	0,76	0,64	1,20	1,17	1,00	1,43	1,36	0,60	1,00	1,00	1,00
								X-	A1/12	1,00	0,72	0,76	0,64	1,20	1,17	1,00	1,43	1,36	0,60	1,00	1,00	1,00
								Y+	A1/19	1,00	0,72	0,76	0,63	1,20	1,17	1,00	1,43	1,36	0,60	1,00	1,00	1,00
								Y-	A1/25	1,00	0,72	0,76	0,63	1,20	1,17	1,00	1,43	1,36	0,60	1,00	1,00	1,00
2	14,83	6,40	5,39	1,00	1,00	1,00	1,00		A1/1	1,00	1,00	1,00	1,00	1,18	1,15	1,00	1,43	1,36	0,60	1,00	1,00	1,00
									A1/2	1,00	1,00	1,00	1,00	1,18	1,15	1,00	1,43	1,36	0,60	1,00	1,00	1,00
								X+	A1/6	1,00	0,72	0,76	0,64	1,18	1,15	1,00	1,43	1,36	0,60	1,00	1,00	1,00
								X-	A1/13	1,00	0,72	0,76	0,64	1,18	1,15	1,00	1,43	1,36	0,60	1,00	1,00	1,00
								Y+	A1/29	1,00	0,71	0,76	0,63	1,18	1,15	1,00	1,43	1,36	0,60	1,00	1,00	1,00
								Y-	A1/31	1,00	0,71	0,76	0,63	1,18	1,15	1,00	1,43	1,36	0,60	1,00	1,00	1,00
3	14,83	6,40	5,39	1,00	1,00	1,00	1,00		A1/1	1,00	1,00	1,00	1,00	1,16	1,14	1,00	1,43	1,36	0,60	1,00	1,00	1,00
									A1/2	1,00	1,00	1,00	1,00	1,16	1,14	1,00	1,43	1,36	0,60	1,00	1,00	1,00
								X+	A1/9	1,00	0,72	0,76	0,64	1,16	1,14	1,00	1,43	1,36	0,60	1,00	1,00	1,00
								X-	A1/18	1,00	0,72	0,76	0,64	1,16	1,14	1,00	1,43	1,36	0,60	1,00	1,00	1,00
								Y+	A1/28	1,00	0,71	0,76	0,63	1,16	1,14	1,00	1,43	1,36	0,60	1,00	1,00	1,00
								Y-	A1/34	1,00	0,71	0,76	0,63	1,16	1,14	1,00	1,43	1,36	0,60	1,00	1,00	1,00
4	14,83	6,40	5,39	1,00	1,00	1,00	1,00		A1/1	1,00	1,00	1,00	1,00	1,17	1,15	1,00	1,43	1,36	0,60	1,00	1,00	1,00
									A1/2	1,00	1,00	1,00	1,00	1,17	1,15	1,00	1,43	1,36	0,60	1,00	1,00	1,00
								X+	A1/8	1,00	0,72	0,76	0,64	1,17	1,15	1,00	1,43	1,36	0,60	1,00	1,00	1,00
								X-	A1/15	1,00	0,72	0,76	0,64	1,17	1,15	1,00	1,43	1,36	0,60	1,00	1,00	1,00
								Y+	A1/22	1,00	0,72	0,76	0,63	1,17	1,15	1,00	1,43	1,36	0,60	1,00	1,00	1,00
								Y-	A1/24	1,00	0,72	0,76	0,63	1,17	1,15	1,00	1,43	1,36	0,60	1,00	1,00	1,00
5	14,83	6,40	5,39	1,00	1,00	1,00	1,00		A1/1	1,00	1,00	1,00	1,00	1,28	1,23	1,00	1,43	1,36	0,60	1,00	1,00	1,00
									A1/2	1,00	1,00	1,00	1,00	1,28	1,23	1,00	1,43	1,36	0,60	1,00	1,00	1,00
								X+	A1/3	1,00	0,72	0,76	0,64	1,28	1,23	1,00	1,43	1,36	0,60	1,00	1,00	1,00
								X-	A1/12	1,00	0,72	0,77	0,64	1,28	1,23	1,00	1,43	1,36	0,60	1,00	1,00	1,00
								Y+	A1/19	1,00	0,72	0,76	0,63	1,28	1,23	1,00	1,43	1,36	0,60	1,00	1,00	1,00
								Y-	A1/25	1,00	0,72	0,76	0,63	1,28	1,23	1,00	1,43	1,36	0,60	1,00	1,00	1,00
6	14,83	6,40	5,39	1,00	1,00	1,00	1,00		A1/1	1,00	1,00	1,00	1,00	1,32	1,27	1,00	1,43	1,36	0,60	1,00	1,00	1,00
									A1/2	1,00	1,00	1,00	1,00	1,32	1,27	1,00	1,43	1,36	0,60	1,00	1,00	1,00
								X+	A1/6	1,00	0,72	0,76	0,64	1,32	1,27	1,00	1,43	1,36	0,60	1,00	1,00	1,00
								X-	A1/13	1,00	0,72	0,76	0,64	1,32	1,27	1,00	1,43	1,36	0,60	1,00	1,00	1,00
								Y+	A1/29	1,00	0,71	0,76	0,63	1,32	1,27	1,00	1,43	1,36	0,60	1,00	1,00	1,00
								Y-	A1/31	1,00	0,71	0,76	0,63	1,32	1,27	1,00	1,43	1,36	0,60	1,00	1,00	1,00
7	14,83	6,40	5,39	1,00	1,00	1,00	1,00		A1/1	1,00	1,00	1,00	1,00	1,36	1,31	1,00	1,43	1,36	0,60	1,00	1,00	1,00
									A1/2	1,00	1,00	1,00	1,00	1,36	1,31	1,00	1,43	1,36	0,60	1,00	1,00	1,00
								X+	A1/9	1,00	0,72	0,76	0,64	1,36	1,31	1,00	1,43	1,36	0,60	1,00	1,00	1,00
								X-	A1/18	1,00	0,72	0,76	0,64	1,36	1,31	1,00	1,43	1,36	0,60	1,00	1,00	1,00
								Y+	A1/28	1,00	0,71	0,76	0,63	1,36	1,31	1,00	1,43	1,36	0,60	1,00	1,00	1,00
								Y-	A1/34	1,00	0,71	0,76	0,63	1,36	1,31	1,00	1,43	1,36	0,60	1,00	1,00	1,00
8	14,83	6,40	5,39	1,00	1,00	1,00	1,00		A1/1	1,00	1,00	1,00	1,00	1,31	1,26	1,00	1,43	1,36	0,60	1,00	1,00	1,00
									A1/2	1,00	1,00	1,00	1,00	1,31	1,26	1,00	1,43	1,36	0,60	1,00	1,00	1,00
								X+	A1/8	1,00	0,72	0,76	0,64	1,31	1,26	1,00	1,43	1,36	0,60	1,00	1,00	1,00
								X-	A1/15	1,00	0,72	0,76	0,64	1,31	1,26	1,00	1,43	1,36	0,60	1,00	1,00	1,00
								Y+	A1/22	1,00	0,72	0,76	0,63	1,31	1,26	1,00	1,43	1,36	0,60	1,00	1,00	1,00
								Y-	A1/24	1,00	0,72	0,76	0,63	1,31	1,26	1,00	1,43	1,36	0,60	1,00	1,00	1,00
9	14,83	6,40	5,39	1,00	1,00	1,00	1,00		A1/1	1,00	1,00	1,00	1,00	1,19	1,16	1,00	1,43	1,36	0,60	1,00	1,00	1,00
									A1/2	1,00	1,00	1,00	1,00	1,19	1,16	1,00	1,43	1,36	0,60	1,00	1,00	1,00
								X+	A1/3	1,00	0,72	0,76	0,64	1,19	1,16	1,00	1,43	1,36	0,60	1,00	1,00	1,00
								X-	A1/12	1,00	0,72	0,76	0,64	1,19	1,16	1,00	1,43	1,36	0,60	1,00	1,00	1,00
								Y+	A1/19	1,00	0,71	0,76	0,63	1,19	1,16	1,00	1,43	1,36	0,60	1,00	1,00	1,00
								Y-	A1/25	1,00	0,71	0,76	0,63	1,19	1,16	1,00	1,43	1,36	0,60	1,00	1,00	1,00
10	14,83	6,40	5,39	1,00	1,00	1,00	1,00		A1/1	1,00	1,00	1,00	1,00	1,20	1,17	1,00	1,43	1,36	0,60	1,00	1,00	1,00
									A1/2	1,00	1,00	1,00	1,00	1,20	1,17	1,00	1,43	1,36	0,60	1,00	1,00	1,00
								X+	A1/3	1,00	0,72	0,76	0,64	1,20	1,17	1,00	1,43	1,36	0,60	1,00	1,00	1,00
								X-	A1/12	1,00	0,72	0,76	0,64	1,20	1,17	1,00	1,43	1,36	0,60	1,00	1,00	1,00
								Y+	A1/19	1,00	0,71	0,76	0,63	1,20	1,17	1,00	1,43	1,36	0,60	1,00	1,00	1,00
								Y-	A1/25	1,00	0,71	0,76	0,63	1,20	1,17	1,00	1,43	1,36	0,60	1,00	1,00	1,00
11	14,83	6,40	5,39	1,00	1,00	1,00	1,00		A1/1	1,00	1,00	1,00	1,00	1,20	1,17	1,00	1,43	1,36	0,60	1,00	1,00	1,00
									A1/2	1,00	1,00	1,00	1,00	1,20	1,17	1,00	1,43	1,36	0,60	1,00	1,00	1,00

COEFFICIENTI DI PORTANZA PIASTRE WINKLER - CONDIZIONI DRENATE - S.L.U.

Piast	Brinch Hansen			IclTe	Incl.PianoPosa			Comb		Igk	CoeffIncl.Car.			Affondamento			Forma			Punzonamento		
Nro	Nc	Nq	Ng	Gc=Gq	Bc	Bq	Bg		N.ro	Sism	IcV	IqV	IgV	Dc	Dq	Dg	Sc	Sq	Sg	Psic	Psiq	Psig
								X+	A1/6	1,00	0,72	0,76	0,64	1,20	1,17	1,00	1,43	1,36	0,60	1,00	1,00	1,00
								X-	A1/13	1,00	0,72	0,76	0,64	1,20	1,17	1,00	1,43	1,36	0,60	1,00	1,00	1,00
								Y+	A1/29	1,00	0,71	0,76	0,63	1,20	1,17	1,00	1,43	1,36	0,60	1,00	1,00	1,00
								Y-	A1/31	1,00	0,71	0,76	0,63	1,20	1,17	1,00	1,43	1,36	0,60	1,00	1,00	1,00
12	14,83	6,40	5,39	1,00	1,00	1,00	1,00		A1/1	1,00	1,00	1,00	1,00	1,20	1,17	1,00	1,43	1,36	0,60	1,00	1,00	1,00
									A1/2	1,00	1,00	1,00	1,00	1,20	1,17	1,00	1,43	1,36	0,60	1,00	1,00	1,00
								X+	A1/6	1,00	0,72	0,76	0,64	1,20	1,17	1,00	1,43	1,36	0,60	1,00	1,00	1,00
								X-	A1/13	1,00	0,72	0,76	0,64	1,20	1,17	1,00	1,43	1,36	0,60	1,00	1,00	1,00
								Y+	A1/29	1,00	0,71	0,76	0,63	1,20	1,17	1,00	1,43	1,36	0,60	1,00	1,00	1,00
								Y-	A1/31	1,00	0,71	0,76	0,63	1,20	1,17	1,00	1,43	1,36	0,60	1,00	1,00	1,00
13	14,83	6,40	5,39	1,00	1,00	1,00	1,00		A1/1	1,00	1,00	1,00	1,00	1,17	1,14	1,00	1,43	1,36	0,60	1,00	1,00	1,00
									A1/2	1,00	1,00	1,00	1,00	1,17	1,14	1,00	1,43	1,36	0,60	1,00	1,00	1,00
								X+	A1/9	1,00	0,72	0,76	0,64	1,17	1,14	1,00	1,43	1,36	0,60	1,00	1,00	1,00
								X-	A1/18	1,00	0,72	0,76	0,64	1,17	1,14	1,00	1,43	1,36	0,60	1,00	1,00	1,00
								Y+	A1/28	1,00	0,71	0,76	0,63	1,17	1,14	1,00	1,43	1,36	0,60	1,00	1,00	1,00
								Y-	A1/34	1,00	0,71	0,76	0,63	1,17	1,14	1,00	1,43	1,36	0,60	1,00	1,00	1,00
14	14,83	6,40	5,39	1,00	1,00	1,00	1,00		A1/1	1,00	1,00	1,00	1,00	1,17	1,14	1,00	1,43	1,36	0,60	1,00	1,00	1,00
									A1/2	1,00	1,00	1,00	1,00	1,17	1,14	1,00	1,43	1,36	0,60	1,00	1,00	1,00
								X+	A1/9	1,00	0,72	0,76	0,64	1,17	1,14	1,00	1,43	1,36	0,60	1,00	1,00	1,00
								X-	A1/18	1,00	0,72	0,76	0,64	1,17	1,14	1,00	1,43	1,36	0,60	1,00	1,00	1,00
								Y+	A1/28	1,00	0,71	0,76	0,63	1,17	1,14	1,00	1,43	1,36	0,60	1,00	1,00	1,00
								Y-	A1/34	1,00	0,71	0,76	0,63	1,17	1,14	1,00	1,43	1,36	0,60	1,00	1,00	1,00
15	14,83	6,40	5,39	1,00	1,00	1,00	1,00		A1/1	1,00	1,00	1,00	1,00	1,17	1,14	1,00	1,43	1,36	0,60	1,00	1,00	1,00
									A1/2	1,00	1,00	1,00	1,00	1,17	1,14	1,00	1,43	1,36	0,60	1,00	1,00	1,00
								X+	A1/8	1,00	0,72	0,76	0,64	1,17	1,14	1,00	1,43	1,36	0,60	1,00	1,00	1,00
								X-	A1/15	1,00	0,72	0,76	0,64	1,17	1,14	1,00	1,43	1,36	0,60	1,00	1,00	1,00
								Y+	A1/22	1,00	0,71	0,76	0,63	1,17	1,14	1,00	1,43	1,36	0,60	1,00	1,00	1,00
								Y-	A1/24	1,00	0,71	0,76	0,63	1,17	1,14	1,00	1,43	1,36	0,60	1,00	1,00	1,00
16	14,83	6,40	5,39	1,00	1,00	1,00	1,00		A1/1	1,00	1,00	1,00	1,00	1,16	1,13	1,00	1,43	1,36	0,60	1,00	1,00	1,00
									A1/2	1,00	1,00	1,00	1,00	1,16	1,13	1,00	1,43	1,36	0,60	1,00	1,00	1,00
								X+	A1/8	1,00	0,72	0,76	0,64	1,16	1,13	1,00	1,43	1,36	0,60	1,00	1,00	1,00
								X-	A1/15	1,00	0,72	0,76	0,64	1,16	1,13	1,00	1,43	1,36	0,60	1,00	1,00	1,00
								Y+	A1/22	1,00	0,71	0,76	0,63	1,16	1,13	1,00	1,43	1,36	0,60	1,00	1,00	1,00
								Y-	A1/24	1,00	0,71	0,76	0,63	1,16	1,13	1,00	1,43	1,36	0,60	1,00	1,00	1,00
17	14,83	6,40	5,39	1,00	1,00	1,00	1,00		A1/1	1,00	1,00	1,00	1,00	1,20	1,17	1,00	1,43	1,36	0,60	1,00	1,00	1,00
									A1/2	1,00	1,00	1,00	1,00	1,20	1,17	1,00	1,43	1,36	0,60	1,00	1,00	1,00
								X+	A1/9	1,00	0,72	0,76	0,64	1,20	1,17	1,00	1,43	1,36	0,60	1,00	1,00	1,00
								X-	A1/18	1,00	0,72	0,76	0,64	1,20	1,17	1,00	1,43	1,36	0,60	1,00	1,00	1,00
								Y+	A1/28	1,00	0,71	0,76	0,63	1,20	1,17	1,00	1,43	1,36	0,60	1,00	1,00	1,00
								Y-	A1/34	1,00	0,71	0,76	0,63	1,20	1,17	1,00	1,43	1,36	0,60	1,00	1,00	1,00
18	14,83	6,40	5,39	1,00	1,00	1,00	1,00		A1/1	1,00	1,00	1,00	1,00	1,20	1,17	1,00	1,43	1,36	0,60	1,00	1,00	1,00
									A1/2	1,00	1,00	1,00	1,00	1,20	1,17	1,00	1,43	1,36	0,60	1,00	1,00	1,00
								X+	A1/8	1,00	0,72	0,76	0,64	1,20	1,17	1,00	1,43	1,36	0,60	1,00	1,00	1,00
								X-	A1/15	1,00	0,72	0,76	0,64	1,20	1,17	1,00	1,43	1,36	0,60	1,00	1,00	1,00
								Y+	A1/22	1,00	0,72	0,76	0,63	1,20	1,17	1,00	1,43	1,36	0,60	1,00	1,00	1,00
								Y-	A1/24	1,00	0,72	0,76	0,63	1,20	1,17	1,00	1,43	1,36	0,60	1,00	1,00	1,00
19	14,83	6,40	5,39	1,00	1,00	1,00	1,00		A1/1	1,00	1,00	1,00	1,00	1,15	1,12	1,00	1,43	1,36	0,60	1,00	1,00	1,00
									A1/2	1,00	1,00	1,00	1,00	1,15	1,12	1,00	1,43	1,36	0,60	1,00	1,00	1,00
								X+	A1/8	1,00	0,72	0,76	0,64	1,15	1,12	1,00	1,43	1,36	0,60	1,00	1,00	1,00
								X-	A1/15	1,00	0,72	0,76	0,64	1,15	1,12	1,00	1,43	1,36	0,60	1,00	1,00	1,00
								Y+	A1/22	1,00	0,71	0,76	0,63	1,15	1,12	1,00	1,43	1,36	0,60	1,00	1,00	1,00
								Y-	A1/24	1,00	0,71	0,76	0,63	1,15	1,12	1,00	1,43	1,36	0,60	1,00	1,00	1,00
20	14,83	6,40	5,39	1,00	1,00	1,00	1,00		A1/1	1,00	1,00	1,00	1,00	1,17	1,14	1,00	1,43	1,36	0,60	1,00	1,00	1,00
									A1/2	1,00	1,00	1,00	1,00	1,17	1,14	1,00	1,43	1,36	0,60	1,00	1,00	1,00
								X+	A1/3	1,00	0,72	0,76	0,64	1,17	1,14	1,00	1,43	1,36	0,60	1,00	1,00	1,00
								X-	A1/12	1,00	0,72	0,76	0,64	1,17	1,14	1,00	1,43	1,36	0,60	1,00	1,00	1,00
								Y+	A1/19	1,00	0,71	0,76	0,63	1,17	1,14	1,00	1,43	1,36	0,60	1,00	1,00	1,00
								Y-	A1/25	1,00	0,71	0,76	0,63	1,17	1,14	1,00	1,43	1,36	0,60	1,00	1,00	1,00
21	14,83	6,40	5,39	1,00	1,00	1,00	1,00		A1/1	1,00	1,00	1,00	1,00	1,21	1,17	1,00	1,43	1,36	0,60	1,00	1,00	1,00
									A1/2	1,00	1,00	1,00	1,00	1,21	1,17	1,00	1,43	1,36	0,60	1,00	1,00	1,00
								X+	A1/3	1,00	0,72	0,76	0,64	1,21	1,17	1,00	1,43	1,36	0,60	1,00	1,00	1,00
								X-	A1/12	1,00	0,72	0,76	0,64	1,21	1,17	1,00	1,43	1,36	0,60	1,00	1,00	1,00
								Y+	A1/19	1,00	0,72	0,76	0,63	1,21	1,17	1,00	1,43	1,36	0,60	1,00	1,00	1,00
								Y-	A1/25	1,00	0,72	0,76	0,63	1,21	1,17	1,00	1,43	1,36	0,60	1,00	1,00	1,00
22	14,83	6,40	5,39	1,00	1,00	1,00	1,00		A1/1	1,00	1,00	1,00	1,00	1,17	1,14	1,00	1,43	1,36	0,60	1,00	1,00	1,00
									A1/2	1,00	1,00	1,00	1,00	1,17	1,14	1,00	1,43	1,36	0,60	1,00	1,00	1,00
								X+	A1/8	1,00	0,72	0,76	0,64	1,17	1,14	1,00	1,43	1,36	0,60	1,00	1,00	1,00
								X-	A1/15	1,00	0,72	0,76	0,64	1,17	1,14	1,00	1,43	1,36	0,60	1,00	1,00	1,00
								Y+	A1/22	1,00	0,71	0,76	0,63	1,17	1,14	1,00	1,43	1,36	0,60	1,00	1,00	1,00
								Y-	A1/24	1,00	0,72	0,76	0,63	1,17	1,14	1,00	1,43	1,36	0,60	1,00	1,00	1,00
23	14,83	6,40	5,39	1,00	1,00	1,00	1,00		A1/1	1,00	1,00	1,00	1,00	1,17	1,14	1,00	1,43	1,36	0,60	1,00	1,00	1,00
									A1/2	1,00	1,00	1,00	1,00	1,17	1,14	1,00	1,43	1,36	0,60	1,00	1,00	1,00
								X+	A1/6	1,00	0,72	0,76	0,64	1,17	1,14	1,00	1,43	1,36	0,60	1,00	1,00	1,00
								X-	A1/13	1,00	0,72	0,76	0,64	1,17	1,14	1,00	1,43	1,36	0,60	1,00	1,00	1,00
								Y+	A1/29	1,00	0,71	0,76	0,63	1,17	1,14	1,00	1,43	1,36	0,60	1,00	1,00	1,00
								Y-	A1/31	1,00	0,71	0,76	0,63	1,17	1,14	1,00	1,43	1,36	0,60	1,00	1,00	1,00
24	14,83	6,40	5,39	1,00	1,00	1,00	1,00		A1/1	1,00	1,00	1,00	1,00	1,17	1,14	1,00	1,43	1,36	0,60	1,00	1,00	1,00

COEFFICIENTI DI PORTANZA PIASTRE WINKLER - CONDIZIONI DRENATE - S.L.U.

Piast	Brinch Hansen			IclTe	Incl.PianoPosa			Comb		Igk	CoeffIncl.Car.			Affondamento			Forma			Punzonamento		
Nro	Nc	Nq	Ng	Gc=Gq	Bc	Bq	Bg		N.ro	Sism	IcV	IqV	IgV	Dc	Dq	Dg	Sc	Sq	Sg	Psic	Psiq	Psig
									A1/2	1,00	1,00	1,00	1,00	1,17	1,14	1,00	1,43	1,36	0,60	1,00	1,00	1,00
								X+	A1/3	1,00	0,72	0,76	0,64	1,17	1,14	1,00	1,43	1,36	0,60	1,00	1,00	1,00
								X-	A1/12	1,00	0,72	0,76	0,64	1,17	1,14	1,00	1,43	1,36	0,60	1,00	1,00	1,00
								Y+	A1/19	1,00	0,71	0,76	0,63	1,17	1,14	1,00	1,43	1,36	0,60	1,00	1,00	1,00
								Y-	A1/25	1,00	0,71	0,76	0,63	1,17	1,14	1,00	1,43	1,36	0,60	1,00	1,00	1,00
25	14,83	6,40	5,39	1,00	1,00	1,00	1,00		A1/1	1,00	1,00	1,00	1,00	1,15	1,12	1,00	1,43	1,36	0,60	1,00	1,00	1,00
									A1/2	1,00	1,00	1,00	1,00	1,15	1,12	1,00	1,43	1,36	0,60	1,00	1,00	1,00
								X+	A1/8	1,00	0,72	0,76	0,64	1,15	1,12	1,00	1,43	1,36	0,60	1,00	1,00	1,00
								X-	A1/15	1,00	0,72	0,76	0,64	1,15	1,12	1,00	1,43	1,36	0,60	1,00	1,00	1,00
								Y+	A1/22	1,00	0,71	0,76	0,63	1,15	1,12	1,00	1,43	1,36	0,60	1,00	1,00	1,00
								Y-	A1/24	1,00	0,71	0,76	0,63	1,15	1,12	1,00	1,43	1,36	0,60	1,00	1,00	1,00
26	14,83	6,40	5,39	1,00	1,00	1,00	1,00		A1/1	1,00	1,00	1,00	1,00	1,15	1,12	1,00	1,43	1,36	0,60	1,00	1,00	1,00
									A1/2	1,00	1,00	1,00	1,00	1,15	1,12	1,00	1,43	1,36	0,60	1,00	1,00	1,00
								X+	A1/9	1,00	0,72	0,76	0,64	1,15	1,12	1,00	1,43	1,36	0,60	1,00	1,00	1,00
								X-	A1/18	1,00	0,72	0,76	0,64	1,15	1,12	1,00	1,43	1,36	0,60	1,00	1,00	1,00
								Y+	A1/28	1,00	0,71	0,76	0,63	1,15	1,12	1,00	1,43	1,36	0,60	1,00	1,00	1,00
								Y-	A1/34	1,00	0,71	0,76	0,63	1,15	1,12	1,00	1,43	1,36	0,60	1,00	1,00	1,00
27	14,83	6,40	5,39	1,00	1,00	1,00	1,00		A1/1	1,00	1,00	1,00	1,00	1,15	1,12	1,00	1,43	1,36	0,60	1,00	1,00	1,00
									A1/2	1,00	1,00	1,00	1,00	1,15	1,12	1,00	1,43	1,36	0,60	1,00	1,00	1,00
								X+	A1/9	1,00	0,72	0,76	0,64	1,15	1,12	1,00	1,43	1,36	0,60	1,00	1,00	1,00
								X-	A1/18	1,00	0,72	0,76	0,64	1,15	1,12	1,00	1,43	1,36	0,60	1,00	1,00	1,00
								Y+	A1/28	1,00	0,71	0,76	0,63	1,15	1,12	1,00	1,43	1,36	0,60	1,00	1,00	1,00
								Y-	A1/34	1,00	0,71	0,76	0,63	1,15	1,12	1,00	1,43	1,36	0,60	1,00	1,00	1,00
28	14,83	6,40	5,39	1,00	1,00	1,00	1,00		A1/1	1,00	1,00	1,00	1,00	1,17	1,14	1,00	1,43	1,36	0,60	1,00	1,00	1,00
									A1/2	1,00	1,00	1,00	1,00	1,17	1,14	1,00	1,43	1,36	0,60	1,00	1,00	1,00
								X+	A1/6	1,00	0,72	0,76	0,64	1,17	1,14	1,00	1,43	1,36	0,60	1,00	1,00	1,00
								X-	A1/13	1,00	0,72	0,76	0,64	1,17	1,14	1,00	1,43	1,36	0,60	1,00	1,00	1,00
								Y+	A1/29	1,00	0,71	0,76	0,63	1,17	1,14	1,00	1,43	1,36	0,60	1,00	1,00	1,00
								Y-	A1/31	1,00	0,71	0,76	0,63	1,17	1,14	1,00	1,43	1,36	0,60	1,00	1,00	1,00
29	14,83	6,40	5,39	1,00	1,00	1,00	1,00		A1/1	1,00	1,00	1,00	1,00	1,20	1,17	1,00	1,43	1,36	0,60	1,00	1,00	1,00
									A1/2	1,00	1,00	1,00	1,00	1,20	1,17	1,00	1,43	1,36	0,60	1,00	1,00	1,00
								X+	A1/6	1,00	0,72	0,76	0,64	1,20	1,17	1,00	1,43	1,36	0,60	1,00	1,00	1,00
								X-	A1/13	1,00	0,72	0,76	0,64	1,20	1,17	1,00	1,43	1,36	0,60	1,00	1,00	1,00
								Y+	A1/29	1,00	0,71	0,76	0,63	1,20	1,17	1,00	1,43	1,36	0,60	1,00	1,00	1,00
								Y-	A1/31	1,00	0,71	0,76	0,63	1,20	1,17	1,00	1,43	1,36	0,60	1,00	1,00	1,00
30	14,83	6,40	5,39	1,00	1,00	1,00	1,00		A1/1	1,00	1,00	1,00	1,00	1,16	1,14	1,00	1,43	1,36	0,60	1,00	1,00	1,00
									A1/2	1,00	1,00	1,00	1,00	1,16	1,14	1,00	1,43	1,36	0,60	1,00	1,00	1,00
								X+	A1/9	1,00	0,72	0,76	0,64	1,16	1,14	1,00	1,43	1,36	0,60	1,00	1,00	1,00
								X-	A1/18	1,00	0,72	0,76	0,64	1,16	1,14	1,00	1,43	1,36	0,60	1,00	1,00	1,00
								Y+	A1/28	1,00	0,71	0,76	0,63	1,16	1,14	1,00	1,43	1,36	0,60	1,00	1,00	1,00
								Y-	A1/34	1,00	0,71	0,76	0,63	1,16	1,14	1,00	1,43	1,36	0,60	1,00	1,00	1,00
31	14,83	6,40	5,39	1,00	1,00	1,00	1,00		A1/1	1,00	1,00	1,00	1,00	1,28	1,24	1,00	1,43	1,36	0,60	1,00	1,00	1,00
									A1/2	1,00	1,00	1,00	1,00	1,28	1,24	1,00	1,43	1,36	0,60	1,00	1,00	1,00
								X+	A1/3	1,00	0,72	0,76	0,64	1,28	1,24	1,00	1,43	1,36	0,60	1,00	1,00	1,00
								X-	A1/12	1,00	0,72	0,76	0,64	1,28	1,24	1,00	1,43	1,36	0,60	1,00	1,00	1,00
								Y+	A1/19	1,00	0,71	0,76	0,63	1,28	1,24	1,00	1,43	1,36	0,60	1,00	1,00	1,00
								Y-	A1/25	1,00	0,71	0,76	0,63	1,28	1,24	1,00	1,43	1,36	0,60	1,00	1,00	1,00
32	14,83	6,40	5,39	1,00	1,00	1,00	1,00		A1/1	1,00	1,00	1,00	1,00	1,32	1,27	1,00	1,43	1,36	0,60	1,00	1,00	1,00
									A1/2	1,00	1,00	1,00	1,00	1,32	1,27	1,00	1,43	1,36	0,60	1,00	1,00	1,00
								X+	A1/3	1,00	0,72	0,76	0,64	1,32	1,27	1,00	1,43	1,36	0,60	1,00	1,00	1,00
								X-	A1/12	1,00	0,72	0,76	0,64	1,32	1,27	1,00	1,43	1,36	0,60	1,00	1,00	1,00
								Y+	A1/19	1,00	0,71	0,76	0,63	1,32	1,27	1,00	1,43	1,36	0,60	1,00	1,00	1,00
								Y-	A1/25	1,00	0,71	0,76	0,63	1,32	1,27	1,00	1,43	1,36	0,60	1,00	1,00	1,00
33	14,83	6,40	5,39	1,00	1,00	1,00	1,00		A1/1	1,00	1,00	1,00	1,00	1,32	1,27	1,00	1,43	1,36	0,60	1,00	1,00	1,00
									A1/2	1,00	1,00	1,00	1,00	1,32	1,27	1,00	1,43	1,36	0,60	1,00	1,00	1,00
								X+	A1/8	1,00	0,72	0,76	0,64	1,32	1,27	1,00	1,43	1,36	0,60	1,00	1,00	1,00
								X-	A1/15	1,00	0,72	0,76	0,64	1,32	1,27	1,00	1,43	1,36	0,60	1,00	1,00	1,00
								Y+	A1/22	1,00	0,71	0,76	0,63	1,32	1,27	1,00	1,43	1,36	0,60	1,00	1,00	1,00
								Y-	A1/24	1,00	0,71	0,76	0,63	1,32	1,27	1,00	1,43	1,36	0,60	1,00	1,00	1,00
34	14,83	6,40	5,39	1,00	1,00	1,00	1,00		A1/1	1,00	1,00	1,00	1,00	1,28	1,24	1,00	1,43	1,36	0,60	1,00	1,00	1,00
									A1/2	1,00	1,00	1,00	1,00	1,28	1,24	1,00	1,43	1,36	0,60	1,00	1,00	1,00
								X+	A1/8	1,00	0,72	0,76	0,64	1,28	1,24	1,00	1,43	1,36	0,60	1,00	1,00	1,00
								X-	A1/15	1,00	0,72	0,76	0,64	1,28	1,24	1,00	1,43	1,36	0,60	1,00	1,00	1,00
								Y+	A1/22	1,00	0,71	0,76	0,63	1,28	1,24	1,00	1,43	1,36	0,60	1,00	1,00	1,00
								Y-	A1/24	1,00	0,71	0,76	0,63	1,28	1,24	1,00	1,43	1,36	0,60	1,00	1,00	1,00
35	14,83	6,40	5,39	1,00	1,00	1,00	1,00		A1/1	1,00	1,00	1,00	1,00	1,28	1,24	1,00	1,43	1,36	0,60	1,00	1,00	1,00
									A1/2	1,00	1,00	1,00	1,00	1,28	1,24	1,00	1,43	1,36	0,60	1,00	1,00	1,00
								X+	A1/9	1,00	0,72	0,76	0,64	1,28	1,24	1,00	1,43	1,36	0,60	1,00	1,00	1,00
								X-	A1/18	1,00	0,72	0,76	0,64	1,28	1,24	1,00	1,43	1,36	0,60	1,00	1,00	1,00
								Y+	A1/28	1,00	0,71	0,76	0,63	1,28	1,24	1,00	1,43	1,36	0,60	1,00	1,00	1,00
								Y-	A1/34	1,00	0,71	0,76	0,63	1,28	1,24	1,00	1,43	1,36	0,60	1,00	1,00	1,00
36	14,83	6,40	5,39	1,00	1,00	1,00	1,00		A1/1	1,00	1,00	1,00	1,00	1,28	1,24	1,00	1,43	1,36	0,60	1,00	1,00	1,00
									A1/2	1,00	1,00	1,00	1,00	1,28	1,24	1,00	1,43	1,36	0,60	1,00	1,00	1,00
								X+	A1/6	1,00	0,72	0,76	0,64	1,28	1,24	1,00	1,43	1,36	0,60	1,00	1,00	1,00
								X-	A1/13	1,00	0,72	0,76	0,64	1,28	1,24	1,00	1,43	1,36	0,60	1,00	1,00	1,00
								Y+	A1/29	1,00	0,71	0,76	0,63	1,28	1,24	1,00	1,43	1,36	0,60	1,00	1,00	1,00
								Y-	A1/31	1,00	0,71	0,76	0,63	1,28	1,24	1,00	1,43	1,36	0,60	1,00	1,00	1,00

COEFFICIENTI DI PORTANZA PIASTRE WINKLER - CONDIZIONI DRENATE - S.L.U.

Piast	Brinch Hansen			IclTe	Incl.PianoPosa			Comb		Igk	CoeffIncl.Car.			Affondamento			Forma			Punzonamento		
Nro	Nc	Nq	Ng	Gc=Gq	Bc	Bq	Bg		N.ro	Sism	IcV	IqV	IgV	Dc	Dq	Dg	Sc	Sq	Sg	Psic	Psiq	Psig
37	14,83	6,40	5,39	1,00	1,00	1,00	1,00		A1/1	1,00	1,00	1,00	1,00	1,32	1,27	1,00	1,43	1,36	0,60	1,00	1,00	1,00
									A1/2	1,00	1,00	1,00	1,00	1,32	1,27	1,00	1,43	1,36	0,60	1,00	1,00	1,00
								X+	A1/3	1,00	0,72	0,76	0,64	1,32	1,27	1,00	1,43	1,36	0,60	1,00	1,00	1,00
								X-	A1/12	1,00	0,72	0,76	0,64	1,32	1,27	1,00	1,43	1,36	0,60	1,00	1,00	1,00
								Y+	A1/19	1,00	0,71	0,76	0,63	1,32	1,27	1,00	1,43	1,36	0,60	1,00	1,00	1,00
								Y-	A1/25	1,00	0,72	0,76	0,63	1,32	1,27	1,00	1,43	1,36	0,60	1,00	1,00	1,00
38	14,83	6,40	5,39	1,00	1,00	1,00	1,00		A1/1	1,00	1,00	1,00	1,00	1,27	1,23	1,00	1,43	1,36	0,60	1,00	1,00	1,00
									A1/2	1,00	1,00	1,00	1,00	1,27	1,23	1,00	1,43	1,36	0,60	1,00	1,00	1,00
								X+	A1/3	1,00	0,72	0,76	0,64	1,27	1,23	1,00	1,43	1,36	0,60	1,00	1,00	1,00
								X-	A1/12	1,00	0,72	0,76	0,64	1,27	1,23	1,00	1,43	1,36	0,60	1,00	1,00	1,00
								Y+	A1/19	1,00	0,72	0,76	0,63	1,27	1,23	1,00	1,43	1,36	0,60	1,00	1,00	1,00
								Y-	A1/25	1,00	0,72	0,76	0,63	1,27	1,23	1,00	1,43	1,36	0,60	1,00	1,00	1,00
39	14,83	6,40	5,39	1,00	1,00	1,00	1,00		A1/1	1,00	1,00	1,00	1,00	1,30	1,26	1,00	1,43	1,36	0,60	1,00	1,00	1,00
									A1/2	1,00	1,00	1,00	1,00	1,30	1,26	1,00	1,43	1,36	0,60	1,00	1,00	1,00
								X+	A1/8	1,00	0,72	0,76	0,64	1,30	1,26	1,00	1,43	1,36	0,60	1,00	1,00	1,00
								X-	A1/15	1,00	0,72	0,76	0,64	1,30	1,26	1,00	1,43	1,36	0,60	1,00	1,00	1,00
								Y+	A1/22	1,00	0,72	0,76	0,63	1,30	1,26	1,00	1,43	1,36	0,60	1,00	1,00	1,00
								Y-	A1/24	1,00	0,72	0,76	0,63	1,30	1,26	1,00	1,43	1,36	0,60	1,00	1,00	1,00
40	14,83	6,40	5,39	1,00	1,00	1,00	1,00		A1/1	1,00	1,00	1,00	1,00	1,32	1,27	1,00	1,43	1,36	0,60	1,00	1,00	1,00
									A1/2	1,00	1,00	1,00	1,00	1,32	1,27	1,00	1,43	1,36	0,60	1,00	1,00	1,00
								X+	A1/8	1,00	0,72	0,76	0,64	1,32	1,27	1,00	1,43	1,36	0,60	1,00	1,00	1,00
								X-	A1/15	1,00	0,72	0,76	0,64	1,32	1,27	1,00	1,43	1,36	0,60	1,00	1,00	1,00
								Y+	A1/22	1,00	0,71	0,76	0,63	1,32	1,27	1,00	1,43	1,36	0,60	1,00	1,00	1,00
								Y-	A1/24	1,00	0,71	0,76	0,63	1,32	1,27	1,00	1,43	1,36	0,60	1,00	1,00	1,00
41	14,83	6,40	5,39	1,00	1,00	1,00	1,00		A1/1	1,00	1,00	1,00	1,00	1,28	1,24	1,00	1,43	1,36	0,60	1,00	1,00	1,00
									A1/2	1,00	1,00	1,00	1,00	1,28	1,24	1,00	1,43	1,36	0,60	1,00	1,00	1,00
								X+	A1/6	1,00	0,72	0,76	0,64	1,28	1,24	1,00	1,43	1,36	0,60	1,00	1,00	1,00
								X-	A1/13	1,00	0,72	0,76	0,64	1,28	1,24	1,00	1,43	1,36	0,60	1,00	1,00	1,00
								Y+	A1/29	1,00	0,71	0,76	0,63	1,28	1,24	1,00	1,43	1,36	0,60	1,00	1,00	1,00
								Y-	A1/31	1,00	0,71	0,76	0,63	1,28	1,24	1,00	1,43	1,36	0,60	1,00	1,00	1,00
42	14,83	6,40	5,39	1,00	1,00	1,00	1,00		A1/1	1,00	1,00	1,00	1,00	1,32	1,27	1,00	1,43	1,36	0,60	1,00	1,00	1,00
									A1/2	1,00	1,00	1,00	1,00	1,32	1,27	1,00	1,43	1,36	0,60	1,00	1,00	1,00
								X+	A1/6	1,00	0,72	0,76	0,64	1,32	1,27	1,00	1,43	1,36	0,60	1,00	1,00	1,00
								X-	A1/13	1,00	0,72	0,76	0,64	1,32	1,27	1,00	1,43	1,36	0,60	1,00	1,00	1,00
								Y+	A1/29	1,00	0,71	0,76	0,63	1,32	1,27	1,00	1,43	1,36	0,60	1,00	1,00	1,00
								Y-	A1/31	1,00	0,71	0,76	0,63	1,32	1,27	1,00	1,43	1,36	0,60	1,00	1,00	1,00
43	14,83	6,40	5,39	1,00	1,00	1,00	1,00		A1/1	1,00	1,00	1,00	1,00	1,29	1,24	1,00	1,43	1,36	0,60	1,00	1,00	1,00
									A1/2	1,00	1,00	1,00	1,00	1,29	1,24	1,00	1,43	1,36	0,60	1,00	1,00	1,00
								X+	A1/6	1,00	0,72	0,76	0,64	1,29	1,24	1,00	1,43	1,36	0,60	1,00	1,00	1,00
								X-	A1/13	1,00	0,72	0,76	0,64	1,29	1,24	1,00	1,43	1,36	0,60	1,00	1,00	1,00
								Y+	A1/29	1,00	0,71	0,76	0,63	1,29	1,24	1,00	1,43	1,36	0,60	1,00	1,00	1,00
								Y-	A1/31	1,00	0,71	0,76	0,63	1,29	1,24	1,00	1,43	1,36	0,60	1,00	1,00	1,00
44	14,83	6,40	5,39	1,00	1,00	1,00	1,00		A1/1	1,00	1,00	1,00	1,00	1,28	1,24	1,00	1,43	1,36	0,60	1,00	1,00	1,00
									A1/2	1,00	1,00	1,00	1,00	1,28	1,24	1,00	1,43	1,36	0,60	1,00	1,00	1,00
								X+	A1/9	1,00	0,72	0,76	0,64	1,28	1,24	1,00	1,43	1,36	0,60	1,00	1,00	1,00
								X-	A1/18	1,00	0,72	0,76	0,64	1,28	1,24	1,00	1,43	1,36	0,60	1,00	1,00	1,00
								Y+	A1/28	1,00	0,71	0,76	0,63	1,28	1,24	1,00	1,43	1,36	0,60	1,00	1,00	1,00
								Y-	A1/34	1,00	0,71	0,76	0,63	1,28	1,24	1,00	1,43	1,36	0,60	1,00	1,00	1,00
45	14,83	6,40	5,39	1,00	1,00	1,00	1,00		A1/1	1,00	1,00	1,00	1,00	1,32	1,27	1,00	1,43	1,36	0,60	1,00	1,00	1,00
									A1/2	1,00	1,00	1,00	1,00	1,32	1,27	1,00	1,43	1,36	0,60	1,00	1,00	1,00
								X+	A1/9	1,00	0,72	0,76	0,64	1,32	1,27	1,00	1,43	1,36	0,60	1,00	1,00	1,00
								X-	A1/18	1,00	0,72	0,76	0,64	1,32	1,27	1,00	1,43	1,36	0,60	1,00	1,00	1,00
								Y+	A1/28	1,00	0,71	0,76	0,63	1,32	1,27	1,00	1,43	1,36	0,60	1,00	1,00	1,00
								Y-	A1/34	1,00	0,71	0,76	0,63	1,32	1,27	1,00	1,43	1,36	0,60	1,00	1,00	1,00
46	14,83	6,40	5,39	1,00	1,00	1,00	1,00		A1/1	1,00	1,00	1,00	1,00	1,32	1,27	1,00	1,43	1,36	0,60	1,00	1,00	1,00
									A1/2	1,00	1,00	1,00	1,00	1,32	1,27	1,00	1,43	1,36	0,60	1,00	1,00	1,00
								X+	A1/9	1,00	0,72	0,76	0,64	1,32	1,27	1,00	1,43	1,36	0,60	1,00	1,00	1,00
								X-	A1/18	1,00	0,72	0,76	0,64	1,32	1,27	1,00	1,43	1,36	0,60	1,00	1,00	1,00
								Y+	A1/28	1,00	0,71	0,76	0,63	1,32	1,27	1,00	1,43	1,36	0,60	1,00	1,00	1,00
								Y-	A1/34	1,00	0,71	0,76	0,63	1,32	1,27	1,00	1,43	1,36	0,60	1,00	1,00	1,00

CARICO LIMITE PIASTRE WINKLER - S.L.U.

IDENTIIFICATIVO						DRENATE		NON DRENATE		RISULTATI					
Piastr N.ro	Nodo3d N.ro		Comb N.ro	Bx' m	By' m	GamEf kg/mc	QLimV (t)	GamEf kg/mc	QLimV (t)	N (t)	Coeff. Sicur.	Minimo CoeSic	N/Ar kg/cmq	QLim/Ar kg/cmq	Status Verifica
1	1		A1/1	0,75	0,75	1850	4,9								
			A1/2	0,75	0,75	1850	4,9								
		X+	A1/3	0,75	0,75	1850	3,6								
		X-	A1/12	0,75	0,75	1850	3,6								
		Y+	A1/19	0,75	0,75	1850	3,6								
		Y-	A1/25	0,75	0,75	1850	3,6								
2	2		A1/1	0,82	0,82	1850	5,9								
			A1/2	0,82	0,82	1850	5,9								
		X+	A1/6	0,82	0,82	1850	4,3								
		X-	A1/13	0,82	0,82	1850	4,3								
		Y+	A1/29	0,82	0,82	1850	4,2								
		Y-	A1/31	0,82	0,82	1850	4,2								

CARICO LIMITE PIASTRE WINKLER - S.L.U.

IDENTIIFICATIVO						DRENATE		NON DRENATE		RISULTATI					
Piastr N.ro	Nodo3d N.ro		Comb N.ro	Bx' m	By' m	GamEf kg/mc	QLimV (t)	GamEf kg/mc	QLimV (t)	N (t)	Coeff. Sicur.	Minimo CoeSic	N/Ar kg/cmq	QLim/Ar kg/cmq	Status Verifica
3	5		A1/1	0,92	0,92	1850	7,3								
			A1/2	0,92	0,92	1850	7,3								
		X+	A1/9	0,92	0,92	1850	5,3								
		X-	A1/18	0,92	0,92	1850	5,3								
		Y+	A1/28	0,92	0,92	1850	5,3								
		Y-	A1/34	0,92	0,92	1850	5,3								
4	6		A1/1	0,87	0,87	1850	6,5								
			A1/2	0,87	0,87	1850	6,5								
		X+	A1/8	0,87	0,87	1850	4,7								
		X-	A1/15	0,87	0,87	1850	4,7								
		Y+	A1/22	0,87	0,87	1850	4,7								
		Y-	A1/24	0,87	0,87	1850	4,7								
5	9		A1/1	0,54	0,54	1850	2,6								
			A1/2	0,54	0,54	1850	2,6								
		X+	A1/3	0,54	0,54	1850	1,9								
		X-	A1/12	0,54	0,54	1850	1,9								
		Y+	A1/19	0,54	0,54	1850	1,9								
		Y-	A1/25	0,54	0,54	1850	1,9								
6	10		A1/1	0,47	0,47	1850	2,0								
			A1/2	0,47	0,47	1850	2,0								
		X+	A1/6	0,47	0,47	1850	1,4								
		X-	A1/13	0,47	0,47	1850	1,4								
		Y+	A1/29	0,47	0,47	1850	1,4								
		Y-	A1/31	0,47	0,47	1850	1,4								
7	11		A1/1	0,41	0,41	1850	1,6								
			A1/2	0,41	0,41	1850	1,6								
		X+	A1/9	0,41	0,41	1850	1,2								
		X-	A1/18	0,41	0,41	1850	1,2								
		Y+	A1/28	0,41	0,41	1850	1,1								
		Y-	A1/34	0,41	0,41	1850	1,1								
8	12		A1/1	0,49	0,49	1850	2,1								
			A1/2	0,49	0,49	1850	2,1								
		X+	A1/8	0,49	0,49	1850	1,6								
		X-	A1/15	0,49	0,49	1850	1,6								
		Y+	A1/22	0,49	0,49	1850	1,5								
		Y-	A1/24	0,49	0,49	1850	1,5								
9	13		A1/1	0,80	0,80	1850	5,6								
			A1/2	0,80	0,80	1850	5,6								
		X+	A1/3	0,80	0,80	1850	4,1								
		X-	A1/12	0,80	0,80	1850	4,1								
		Y+	A1/19	0,80	0,80	1850	4,0								
		Y-	A1/25	0,80	0,80	1850	4,0								
10	14		A1/1	0,75	0,75	1850	4,9								
			A1/2	0,75	0,75	1850	4,9								
		X+	A1/3	0,75	0,75	1850	3,5								
		X-	A1/12	0,75	0,75	1850	3,5								
		Y+	A1/19	0,75	0,75	1850	3,5								
		Y-	A1/25	0,75	0,75	1850	3,5								
11	15		A1/1	0,75	0,75	1850	4,9								
			A1/2	0,75	0,75	1850	4,9								
		X+	A1/6	0,75	0,75	1850	3,5								
		X-	A1/13	0,75	0,75	1850	3,5								
		Y+	A1/29	0,75	0,75	1850	3,5								
		Y-	A1/31	0,75	0,75	1850	3,5								
12	16		A1/1	0,75	0,75	1850	4,9								
			A1/2	0,75	0,75	1850	4,9								
		X+	A1/6	0,75	0,75	1850	3,5								
		X-	A1/13	0,75	0,75	1850	3,5								
		Y+	A1/29	0,75	0,75	1850	3,5								
		Y-	A1/31	0,75	0,75	1850	3,5								
13	17		A1/1	0,90	0,90	1850	7,0								
			A1/2	0,90	0,90	1850	7,0								
		X+	A1/9	0,90	0,90	1850	5,1								
		X-	A1/18	0,90	0,90	1850	5,1								
		Y+	A1/28	0,90	0,90	1850	5,1								
		Y-	A1/34	0,90	0,90	1850	5,1								
14	18		A1/1	0,90	0,90	1850	7,0								
			A1/2	0,90	0,90	1850	7,0								
		X+	A1/9	0,90	0,90	1850	5,1								
		X-	A1/18	0,90	0,90	1850	5,1								

CARICO LIMITE PIASTRE WINKLER - S.L.U.

IDENTIIFICATIVO						DRENATE		NON DRENATE		RISULTATI					
Piastr N.ro	Nodo3d N.ro	Comb N.ro		Bx' m	By' m	GamEf kg/mc	QLimV (t)	GamEf kg/mc	QLimV (t)	N (t)	Coeff. Sicur.	Minimo CoeSic	N/Ar kg/cmq	QLim/Ar kg/cmq	Status Verifica
		Y+	A1/28	0,90	0,90	1850	5,1								
		Y-	A1/34	0,90	0,90	1850	5,1								
15	19		A1/1	0,90	0,90	1850	7,0								
			A1/2	0,90	0,90	1850	7,0								
		X+	A1/8	0,90	0,90	1850	5,1								
		X-	A1/15	0,90	0,90	1850	5,1								
		Y+	A1/22	0,90	0,90	1850	5,1								
		Y-	A1/24	0,90	0,90	1850	5,1								
16	20		A1/1	0,95	0,95	1850	7,8								
			A1/2	0,95	0,95	1850	7,8								
		X+	A1/8	0,95	0,95	1850	5,6								
		X-	A1/15	0,95	0,95	1850	5,6								
		Y+	A1/22	0,95	0,95	1850	5,6								
		Y-	A1/24	0,95	0,95	1850	5,6								
17	21		A1/1	0,76	0,76	1850	5,0								
			A1/2	0,76	0,76	1850	5,0								
		X+	A1/9	0,76	0,76	1850	3,7								
		X-	A1/18	0,76	0,76	1850	3,7								
		Y+	A1/28	0,76	0,76	1850	3,6								
		Y-	A1/34	0,76	0,76	1850	3,6								
18	22		A1/1	0,73	0,73	1850	4,7								
			A1/2	0,73	0,73	1850	4,7								
		X+	A1/8	0,73	0,73	1850	3,4								
		X-	A1/15	0,73	0,73	1850	3,4								
		Y+	A1/22	0,73	0,73	1850	3,4								
		Y-	A1/24	0,73	0,73	1850	3,4								
19	23		A1/1	1,01	1,01	1836	9,0								
			A1/2	1,01	1,01	1836	9,0								
		X+	A1/8	1,01	1,01	1836	6,5								
		X-	A1/15	1,01	1,01	1836	6,5								
		Y+	A1/22	1,01	1,01	1836	6,4								
		Y-	A1/24	1,01	1,01	1836	6,4								
20	24		A1/1	0,88	0,88	1850	6,8								
			A1/2	0,88	0,88	1850	6,8								
		X+	A1/3	0,88	0,88	1850	4,9								
		X-	A1/12	0,88	0,88	1850	4,9								
		Y+	A1/19	0,88	0,88	1850	4,9								
		Y-	A1/25	0,88	0,88	1850	4,9								
21	25		A1/1	0,73	0,73	1850	4,6								
			A1/2	0,73	0,73	1850	4,6								
		X+	A1/3	0,73	0,73	1850	3,3								
		X-	A1/12	0,73	0,73	1850	3,3								
		Y+	A1/19	0,73	0,73	1850	3,3								
		Y-	A1/25	0,73	0,73	1850	3,3								
22	26		A1/1	0,87	0,87	1850	6,6								
			A1/2	0,87	0,87	1850	6,6								
		X+	A1/8	0,87	0,87	1850	4,8								
		X-	A1/15	0,87	0,87	1850	4,8								
		Y+	A1/22	0,87	0,87	1850	4,7								
		Y-	A1/24	0,87	0,87	1850	4,7								
23	27		A1/1	0,88	0,88	1850	6,8								
			A1/2	0,88	0,88	1850	6,8								
		X+	A1/6	0,88	0,88	1850	4,9								
		X-	A1/13	0,88	0,88	1850	4,9								
		Y+	A1/29	0,88	0,88	1850	4,9								
		Y-	A1/31	0,88	0,88	1850	4,9								
24	28		A1/1	0,88	0,88	1850	6,8								
			A1/2	0,88	0,88	1850	6,8								
		X+	A1/3	0,88	0,88	1850	4,9								
		X-	A1/12	0,88	0,88	1850	4,9								
		Y+	A1/19	0,88	0,88	1850	4,9								
		Y-	A1/25	0,88	0,88	1850	4,9								
25	29		A1/1	1,01	1,01	1836	9,0								
			A1/2	1,01	1,01	1836	9,0								
		X+	A1/8	1,01	1,01	1836	6,5								
		X-	A1/15	1,01	1,01	1836	6,5								
		Y+	A1/22	1,01	1,01	1836	6,4								
		Y-	A1/24	1,01	1,01	1836	6,4								
26	30		A1/1	1,01	1,01	1836	9,0								
			A1/2	1,01	1,01	1836	9,0								

CARICO LIMITE PIASTRE WINKLER - S.L.U.

IDENTIIFICATIVO						DRENATE		NON DRENATE		RISULTATI					
Piastr N.ro	Nodo3d N.ro	Comb N.ro		Bx' m	By' m	GamEf kg/mc	QLimV (t)	GamEf kg/mc	QLimV (t)	N (t)	Coeff. Sicur.	Minimo CoeSic	N/Ar kg/cmq	QLim/Ar kg/cmq	Status Verifica
		X+	A1/9	1,01	1,01	1836	6,5								
		X-	A1/18	1,01	1,01	1836	6,5								
		Y+	A1/28	1,01	1,01	1836	6,4								
		Y-	A1/34	1,01	1,01	1836	6,4								
27	31		A1/1	1,01	1,01	1836	9,0								
			A1/2	1,01	1,01	1836	9,0								
		X+	A1/9	1,01	1,01	1836	6,5								
		X-	A1/18	1,01	1,01	1836	6,5								
		Y+	A1/28	1,01	1,01	1836	6,4								
		Y-	A1/34	1,01	1,01	1836	6,4								
28	32		A1/1	0,88	0,88	1850	6,8								
			A1/2	0,88	0,88	1850	6,8								
		X+	A1/6	0,88	0,88	1850	4,9								
		X-	A1/13	0,88	0,88	1850	4,9								
		Y+	A1/29	0,88	0,88	1850	4,9								
		Y-	A1/31	0,88	0,88	1850	4,9								
29	33		A1/1	0,76	0,76	1850	5,0								
			A1/2	0,76	0,76	1850	5,0								
		X+	A1/6	0,76	0,76	1850	3,6								
		X-	A1/13	0,76	0,76	1850	3,6								
		Y+	A1/29	0,76	0,76	1850	3,6								
		Y-	A1/31	0,76	0,76	1850	3,6								
30	34		A1/1	0,91	0,91	1850	7,2								
			A1/2	0,91	0,91	1850	7,2								
		X+	A1/9	0,91	0,91	1850	5,2								
		X-	A1/18	0,91	0,91	1850	5,2								
		Y+	A1/28	0,91	0,91	1850	5,2								
		Y-	A1/34	0,91	0,91	1850	5,2								
31	35		A1/1	0,53	0,53	1850	2,5								
			A1/2	0,53	0,53	1850	2,5								
		X+	A1/3	0,53	0,53	1850	1,8								
		X-	A1/12	0,53	0,53	1850	1,8								
		Y+	A1/19	0,53	0,53	1850	1,8								
		Y-	A1/25	0,53	0,53	1850	1,8								
32	36		A1/1	0,47	0,47	1850	2,0								
			A1/2	0,47	0,47	1850	2,0								
		X+	A1/3	0,47	0,47	1850	1,5								
		X-	A1/12	0,47	0,47	1850	1,5								
		Y+	A1/19	0,47	0,47	1850	1,5								
		Y-	A1/25	0,47	0,47	1850	1,5								
33	37		A1/1	0,47	0,47	1850	2,0								
			A1/2	0,47	0,47	1850	2,0								
		X+	A1/8	0,47	0,47	1850	1,5								
		X-	A1/15	0,47	0,47	1850	1,5								
		Y+	A1/22	0,47	0,47	1850	1,5								
		Y-	A1/24	0,47	0,47	1850	1,5								
34	38		A1/1	0,53	0,53	1850	2,5								
			A1/2	0,53	0,53	1850	2,5								
		X+	A1/8	0,53	0,53	1850	1,8								
		X-	A1/15	0,53	0,53	1850	1,8								
		Y+	A1/22	0,53	0,53	1850	1,8								
		Y-	A1/24	0,53	0,53	1850	1,8								
35	39		A1/1	0,53	0,53	1850	2,5								
			A1/2	0,53	0,53	1850	2,5								
		X+	A1/9	0,53	0,53	1850	1,8								
		X-	A1/18	0,53	0,53	1850	1,8								
		Y+	A1/28	0,53	0,53	1850	1,8								
		Y-	A1/34	0,53	0,53	1850	1,8								
36	40		A1/1	0,53	0,53	1850	2,5								
			A1/2	0,53	0,53	1850	2,5								
		X+	A1/6	0,53	0,53	1850	1,8								
		X-	A1/13	0,53	0,53	1850	1,8								
		Y+	A1/29	0,53	0,53	1850	1,8								
		Y-	A1/31	0,53	0,53	1850	1,8								
37	41		A1/1	0,47	0,47	1850	2,0								
			A1/2	0,47	0,47	1850	2,0								
		X+	A1/3	0,47	0,47	1850	1,5								
		X-	A1/12	0,47	0,47	1850	1,5								
		Y+	A1/19	0,47	0,47	1850	1,5								
		Y-	A1/25	0,47	0,47	1850	1,5								

CARICO LIMITE PIASTRE WINKLER - S.L.U.

IDENTIIFICATIVO						DRENATE		NON DRENATE		RISULTATI					
Piastr N.ro	Nodo3d N.ro		Comb N.ro	Bx' m	By' m	GamEf kg/mc	QLimV (t)	GamEf kg/mc	QLimV (t)	N (t)	Coeff. Sicur.	Minimo CoeSic	N/Ar kg/cmq	QLim/Ar kg/cmq	Status Verifica
38	42		A1/1	0,54	0,54	1850	2,6								
			A1/2	0,54	0,54	1850	2,6								
		X+	A1/3	0,54	0,54	1850	1,9								
		X-	A1/12	0,54	0,54	1850	1,9								
		Y+	A1/19	0,54	0,54	1850	1,9								
		Y-	A1/25	0,54	0,54	1850	1,9								
39	43		A1/1	0,49	0,49	1850	2,2								
			A1/2	0,49	0,49	1850	2,2								
		X+	A1/8	0,49	0,49	1850	1,6								
		X-	A1/15	0,49	0,49	1850	1,6								
		Y+	A1/22	0,49	0,49	1850	1,6								
		Y-	A1/24	0,49	0,49	1850	1,6								
40	44		A1/1	0,47	0,47	1850	2,0								
			A1/2	0,47	0,47	1850	2,0								
		X+	A1/8	0,47	0,47	1850	1,5								
		X-	A1/15	0,47	0,47	1850	1,5								
		Y+	A1/22	0,47	0,47	1850	1,5								
		Y-	A1/24	0,47	0,47	1850	1,5								
41	45		A1/1	0,53	0,53	1850	2,5								
			A1/2	0,53	0,53	1850	2,5								
		X+	A1/6	0,53	0,53	1850	1,8								
		X-	A1/13	0,53	0,53	1850	1,8								
		Y+	A1/29	0,53	0,53	1850	1,8								
		Y-	A1/31	0,53	0,53	1850	1,8								
42	46		A1/1	0,47	0,47	1850	2,0								
			A1/2	0,47	0,47	1850	2,0								
		X+	A1/6	0,47	0,47	1850	1,5								
		X-	A1/13	0,47	0,47	1850	1,5								
		Y+	A1/29	0,47	0,47	1850	1,5								
		Y-	A1/31	0,47	0,47	1850	1,5								
43	47		A1/1	0,52	0,52	1850	2,4								
			A1/2	0,52	0,52	1850	2,4								
		X+	A1/6	0,52	0,52	1850	1,7								
		X-	A1/13	0,52	0,52	1850	1,7								
		Y+	A1/29	0,52	0,52	1850	1,7								
		Y-	A1/31	0,52	0,52	1850	1,7								
44	48		A1/1	0,53	0,53	1850	2,5								
			A1/2	0,53	0,53	1850	2,5								
		X+	A1/9	0,53	0,53	1850	1,8								
		X-	A1/18	0,53	0,53	1850	1,8								
		Y+	A1/28	0,53	0,53	1850	1,8								
		Y-	A1/34	0,53	0,53	1850	1,8								
45	49		A1/1	0,47	0,47	1850	2,0								
			A1/2	0,47	0,47	1850	2,0								
		X+	A1/9	0,47	0,47	1850	1,5								
		X-	A1/18	0,47	0,47	1850	1,5								
		Y+	A1/28	0,47	0,47	1850	1,5								
		Y-	A1/34	0,47	0,47	1850	1,5								
46	50		A1/1	0,47	0,47	1850	2,0								
			A1/2	0,47	0,47	1850	2,0								
		X+	A1/9	0,47	0,47	1850	1,5								
		X-	A1/18	0,47	0,47	1850	1,5								
		Y+	A1/28	0,47	0,47	1850	1,4								
		Y-	A1/34	0,47	0,47	1850	1,4								

VERIFICA ALLO SCORRIMENTO - CONDIZIONI DRENATE

IDENTIFICATIVO			RISULTATI									
Combinazione N.ro	Tipo Elem.	Elem N.ro	N (t)	Tg(fi)/ Gfi/Gr	C/Gc/Gr t/mq	Area mq	Vres (t)	Fh (t)	Verifica Locale	S(Vres) (t)	S(Fh) (t)	Verifica Globale
A1 / 21	PIASTRA	1	1,67	0,227	0,36	0,567	0,58	0,38	OK	0,58	0,38	
	PIASTRA	2	2,05	0,227	0,36	0,679	0,71	0,47	OK	1,30	0,85	
	PIASTRA	5	2,55	0,227	0,36	0,842	0,88	0,59	OK	2,18	1,44	
	PIASTRA	6	2,22	0,227	0,36	0,751	0,78	0,51	OK	2,96	1,95	
	PIASTRA	9	0,84	0,227	0,36	0,289	0,30	0,19	OK	3,25	2,14	
	PIASTRA	10	0,66	0,227	0,36	0,218	0,23	0,15	OK	3,48	2,30	
	PIASTRA	11	0,52	0,227	0,36	0,171	0,18	0,12	OK	3,66	2,41	
	PIASTRA	12	0,69	0,227	0,36	0,236	0,24	0,16	OK	3,90	2,57	
	PIASTRA	13	1,91	0,227	0,36	0,644	0,67	0,44	OK	4,57	3,01	
	PIASTRA	14	1,67	0,227	0,36	0,559	0,58	0,38	OK	5,15	3,40	
	PIASTRA	15	1,68	0,227	0,36	0,559	0,58	0,39	OK	5,74	3,78	
	PIASTRA	16	1,69	0,227	0,36	0,559	0,59	0,39	OK	6,32	4,17	
	PIASTRA	17	2,45	0,227	0,36	0,810	0,85	0,56	OK	7,17	4,73	
	PIASTRA	18	2,44	0,227	0,36	0,810	0,85	0,56	OK	8,02	5,30	
	PIASTRA	19	2,43	0,227	0,36	0,810	0,85	0,56	OK	8,87	5,85	

VERIFICA ALLO SCORRIMENTO - CONDIZIONI DRENATE

IDENTIFICATIVO			RISULTATI									
Combinazione N.ro	Tipo Elem.	Elem N.ro	N (t)	Tg(fi)/ Gfi/Gr	C/Gc/Gr t/mq	Area mq	Vres (t)	Fh (t)	Verifica Locale	S(Vres) (t)	S(Fh) (t)	Verifica Globale
	PIASTRA	20	2,67	0,227	0,36	0,895	0,93	0,61	OK	9,80	6,47	
	PIASTRA	21	1,75	0,227	0,36	0,581	0,61	0,40	OK	10,41	6,87	
	PIASTRA	22	1,59	0,227	0,36	0,538	0,56	0,36	OK	10,96	7,23	
	PIASTRA	23	3,06	0,227	0,36	1,030	1,07	0,70	OK	12,03	7,94	
	PIASTRA	24	2,31	0,227	0,36	0,779	0,81	0,53	OK	12,84	8,47	
	PIASTRA	25	1,56	0,227	0,36	0,528	0,55	0,36	OK	13,38	8,83	
	PIASTRA	26	2,24	0,227	0,36	0,756	0,78	0,51	OK	14,16	9,34	
	PIASTRA	27	2,33	0,227	0,36	0,779	0,81	0,54	OK	14,97	9,88	
	PIASTRA	28	2,32	0,227	0,36	0,779	0,81	0,53	OK	15,78	10,41	
	PIASTRA	29	3,07	0,227	0,36	1,030	1,07	0,70	OK	16,85	11,11	
	PIASTRA	30	3,08	0,227	0,36	1,030	1,07	0,71	OK	17,93	11,82	
	PIASTRA	31	3,09	0,227	0,36	1,030	1,08	0,71	OK	19,00	12,53	
	PIASTRA	32	2,34	0,227	0,36	0,779	0,81	0,54	OK	19,82	13,07	
	PIASTRA	33	1,72	0,227	0,36	0,570	0,60	0,40	OK	20,41	13,47	
	PIASTRA	34	2,50	0,227	0,36	0,828	0,87	0,57	OK	21,28	14,04	
	PIASTRA	35	0,84	0,227	0,36	0,281	0,29	0,19	OK	21,57	14,23	
	PIASTRA	36	0,67	0,227	0,36	0,225	0,23	0,15	OK	21,81	14,39	
	PIASTRA	37	0,67	0,227	0,36	0,225	0,23	0,15	OK	22,04	14,54	
	PIASTRA	38	0,84	0,227	0,36	0,281	0,29	0,19	OK	22,33	14,74	
	PIASTRA	39	0,85	0,227	0,36	0,281	0,29	0,19	OK	22,63	14,93	
	PIASTRA	40	0,84	0,227	0,36	0,281	0,29	0,19	OK	22,92	15,12	
	PIASTRA	41	0,66	0,227	0,36	0,225	0,23	0,15	OK	23,15	15,28	
	PIASTRA	42	0,87	0,227	0,36	0,297	0,31	0,20	OK	23,46	15,48	
	PIASTRA	43	0,72	0,227	0,36	0,244	0,25	0,16	OK	23,71	15,64	
	PIASTRA	44	0,67	0,227	0,36	0,225	0,23	0,15	OK	23,94	15,79	
	PIASTRA	45	0,85	0,227	0,36	0,281	0,29	0,19	OK	24,24	15,99	
	PIASTRA	46	0,68	0,227	0,36	0,225	0,24	0,16	OK	24,47	16,15	
	PIASTRA	47	0,81	0,227	0,36	0,267	0,28	0,19	OK	24,75	16,33	
	PIASTRA	48	0,85	0,227	0,36	0,281	0,29	0,19	OK	25,05	16,53	
	PIASTRA	49	0,68	0,227	0,36	0,225	0,24	0,16	OK	25,28	16,68	
	PIASTRA	50	0,66	0,227	0,36	0,220	0,23	0,15	OK	25,51	16,83	OK

PORTANZA GLOBALE PIASTRE - MOLTIPLICATORI DI COLLASSO - SLU

	DRENATE				NON DRENATE				RISULTATI	
Comb N.ro	Risult (t)	Resist (t)	Moltipl. Collasso	%Pl. Moll	Risult (t)	Resist (t)	Moltipl. Collasso	%Pl. Moll	Moltipl. Minimo	STATUS (m)
A1 / 1	103	103	1,000	0					1,000	OK
A1 / 2	104	104	1,000	0						OK
A1 / 3	73	73	1,000	0						OK
A1 / 4	73	73	1,000	0						OK
A1 / 5	73	73	1,000	0						OK
A1 / 6	73	73	1,000	0						OK
A1 / 7	73	73	1,000	0						OK
A1 / 8	73	73	1,000	0						OK
A1 / 9	73	73	1,000	0						OK
A1 / 10	73	73	1,000	0						OK
A1 / 11	73	73	1,000	0						OK
A1 / 12	73	73	1,000	0						OK
A1 / 13	73	73	1,000	0						OK
A1 / 14	73	73	1,000	0						OK
A1 / 15	73	73	1,000	0						OK
A1 / 16	73	73	1,000	0						OK
A1 / 17	73	73	1,000	0						OK
A1 / 18	73	73	1,000	0						OK
A1 / 19	73	73	1,000	0						OK
A1 / 20	73	73	1,000	0						OK
A1 / 21	73	73	1,000	0						OK
A1 / 22	73	73	1,000	0						OK
A1 / 23	73	73	1,000	0						OK
A1 / 24	73	73	1,000	0						OK
A1 / 25	73	73	1,000	0						OK
A1 / 26	73	73	1,000	0						OK
A1 / 27	73	73	1,000	0						OK
A1 / 28	73	73	1,000	0						OK
A1 / 29	73	73	1,000	0						OK
A1 / 30	73	73	1,000	0						OK
A1 / 31	73	73	1,000	0						OK
A1 / 32	73	73	1,000	0						OK
A1 / 33	73	73	1,000	0						OK
A1 / 34	73	73	1,000	0						OK

PORTANZA GLOBALE PIASTRE - ABBASSAMENTI COMBINAZ.: A1/1

	DRENATE	NON DRENATE		DRENATE	NON DRENATE		DRENATE	NON DRENATE

Nodo3d N.ro	SpostZ (cm)	SpostZ/ SpostEl	SpostZ (cm)	SpostZ/ SpostEl	Nodo3d N.ro	SpostZ (cm)	SpostZ/ SpostEl	SpostZ (cm)	SpostZ/ SpostEl	Nodo3d N.ro	SpostZ (cm)	SpostZ/ SpostEl	SpostZ (cm)	SpostZ/ SpostEl
1	-0,415	ELAST.			2	-0,426	ELAST.			5	-0,427	ELAST.		
6	-0,416	ELAST.			9	-0,414	ELAST.			10	-0,426	ELAST.		
11	-0,428	ELAST.			12	-0,416	ELAST.			13	-0,417	ELAST.		
14	-0,420	ELAST.			15	-0,422	ELAST.			16	-0,424	ELAST.		
17	-0,425	ELAST.			18	-0,423	ELAST.			19	-0,421	ELAST.		
20	-0,419	ELAST.			21	-0,426	ELAST.			22	-0,416	ELAST.		
23	-0,419	ELAST.			24	-0,418	ELAST.			25	-0,416	ELAST.		
26	-0,417	ELAST.			27	-0,422	ELAST.			28	-0,420	ELAST.		
29	-0,421	ELAST.			30	-0,422	ELAST.			31	-0,424	ELAST.		
32	-0,423	ELAST.			33	-0,425	ELAST.			34	-0,426	ELAST.		
35	-0,420	ELAST.			36	-0,418	ELAST.			37	-0,420	ELAST.		
38	-0,422	ELAST.			39	-0,424	ELAST.			40	-0,421	ELAST.		
41	-0,416	ELAST.			42	-0,414	ELAST.			43	-0,415	ELAST.		
44	-0,418	ELAST.			45	-0,423	ELAST.			46	-0,425	ELAST.		
47	-0,427	ELAST.			48	-0,425	ELAST.			49	-0,427	ELAST.		
50	-0,428	ELAST.												

PORTANZA GLOBALE PIASTRE - MOLTIPLICATORI DI COLLASSO - SLD

	DRENATE				NON DRENATE				RISULTATI	
Comb N.ro	Risult (t)	Resist (t)	Moltipl. Collasso	%Pl. Moll	Risult (t)	Resist (t)	Moltipl. Collasso	%Pl. Moll	Moltipl. Minimo	STATUS (m)
A1 / 1	103	103	1,000	0					1,000	OK
A1 / 2	104	104	1,000	0						OK
A1 / 3	73	73	1,000	0						OK
A1 / 4	73	73	1,000	0						OK
A1 / 5	73	73	1,000	0						OK
A1 / 6	73	73	1,000	0						OK
A1 / 7	73	73	1,000	0						OK
A1 / 8	73	73	1,000	0						OK
A1 / 9	73	73	1,000	0						OK
A1 / 10	73	73	1,000	0						OK
A1 / 11	73	73	1,000	0						OK
A1 / 12	73	73	1,000	0						OK
A1 / 13	73	73	1,000	0						OK
A1 / 14	73	73	1,000	0						OK
A1 / 15	73	73	1,000	0						OK
A1 / 16	73	73	1,000	0						OK
A1 / 17	73	73	1,000	0						OK
A1 / 18	73	73	1,000	0						OK
A1 / 19	73	73	1,000	0						OK
A1 / 20	73	73	1,000	0						OK
A1 / 21	73	73	1,000	0						OK
A1 / 22	73	73	1,000	0						OK
A1 / 23	73	73	1,000	0						OK
A1 / 24	73	73	1,000	0						OK
A1 / 25	73	73	1,000	0						OK
A1 / 26	73	73	1,000	0						OK
A1 / 27	73	73	1,000	0						OK
A1 / 28	73	73	1,000	0						OK
A1 / 29	73	73	1,000	0						OK
A1 / 30	73	73	1,000	0						OK
A1 / 31	73	73	1,000	0						OK
A1 / 32	73	73	1,000	0						OK
A1 / 33	73	73	1,000	0						OK
A1 / 34	73	73	1,000	0						OK

PORTANZA GLOBALE PIASTRE - ABBASSAMENTI COMBINAZ.: SLD/1

	DRENATE		NON DRENATE			DRENATE		NON DRENATE			DRENATE		NON DRENATE	
Nodo3d N.ro	SpostZ (cm)	SpostZ/ SpostEl	SpostZ (cm)	SpostZ/ SpostEl	Nodo3d N.ro	SpostZ (cm)	SpostZ/ SpostEl	SpostZ (cm)	SpostZ/ SpostEl	Nodo3d N.ro	SpostZ (cm)	SpostZ/ SpostEl	SpostZ (cm)	SpostZ/ SpostEl
1	-0,415	ELAST.			2	-0,426	ELAST.			5	-0,427	ELAST.		
6	-0,416	ELAST.			9	-0,414	ELAST.			10	-0,426	ELAST.		
11	-0,428	ELAST.			12	-0,416	ELAST.			13	-0,417	ELAST.		
14	-0,420	ELAST.			15	-0,422	ELAST.			16	-0,424	ELAST.		
17	-0,425	ELAST.			18	-0,423	ELAST.			19	-0,421	ELAST.		
20	-0,419	ELAST.			21	-0,426	ELAST.			22	-0,416	ELAST.		
23	-0,419	ELAST.			24	-0,418	ELAST.			25	-0,416	ELAST.		
26	-0,417	ELAST.			27	-0,422	ELAST.			28	-0,420	ELAST.		
29	-0,421	ELAST.			30	-0,422	ELAST.			31	-0,424	ELAST.		
32	-0,423	ELAST.			33	-0,425	ELAST.			34	-0,426	ELAST.		
35	-0,420	ELAST.			36	-0,418	ELAST.			37	-0,420	ELAST.		
38	-0,422	ELAST.			39	-0,424	ELAST.			40	-0,421	ELAST.		
41	-0,416	ELAST.			42	-0,414	ELAST.			43	-0,415	ELAST.		

PORTANZA GLOBALE PIASTRE - ABBASSAMENTI COMBINAZ.: SLD/1

	DRENATE		NON DRENATE			DRENATE		NON DRENATE			DRENATE		NON DRENATE	
Nodo3d N.ro	SpostZ (cm)	SpostZ/ SpostEl	SpostZ (cm)	SpostZ/ SpostEl	Nodo3d N.ro	SpostZ (cm)	SpostZ/ SpostEl	SpostZ (cm)	SpostZ/ SpostEl	Nodo3d N.ro	SpostZ (cm)	SpostZ/ SpostEl	SpostZ (cm)	SpostZ/ SpostEl
44	-0,418	ELAST.			45	-0,423	ELAST.			46	-0,425	ELAST.		
47	-0,427	ELAST.			48	-0,425	ELAST.			49	-0,427	ELAST.		
50	-0,428	ELAST.												

CEDIMENTI ELASTICI ED EDOMETRICI

Filo N.ro	Combinaz N.ro	Ced.El. cm	Ced.Ed. cm	Filo N.ro	Combinaz N.ro	Ced.El. cm	Ced.Ed. cm	Filo N.ro	Combinaz N.ro	Ced.El. cm	Ced.Ed. cm	Filo N.ro	Combinaz N.ro	Ced.El. cm	Ced.Ed. cm
1	Rare 1	1,03	0,83	2	Rare 1	1,00	0,80	3	Rare 1	1,00	0,80	4	Rare 1	1,00	0,80
	Rare 2	1,04	0,83		Rare 2	1,00	0,80		Rare 2	1,00	0,80		Rare 2	1,00	0,80
	Freq 1	1,01	0,81		Freq 1	0,98	0,79		Freq 1	0,98	0,78		Freq 1	0,98	0,78
	Freq 2	1,00	0,80		Freq 2	0,97	0,78		Freq 2	0,97	0,78		Freq 2	0,97	0,78
	Perm 1	1,00	0,80		Perm 1	0,97	0,78		Perm 1	0,97	0,78		Perm 1	0,97	0,77
	MAX.	1,04	0,83		MAX.	1,00	0,80		MAX.	1,00	0,80		MAX.	1,00	0,80
5	Rare 1	1,39	1,11	6	Rare 1	1,44	1,15	7	Rare 1	1,46	1,17	8	Rare 1	1,43	1,14
	Rare 2	1,39	1,11		Rare 2	1,45	1,16		Rare 2	1,47	1,18		Rare 2	1,43	1,14
	Freq 1	1,36	1,09		Freq 1	1,42	1,13		Freq 1	1,44	1,15		Freq 1	1,40	1,12
	Freq 2	1,35	1,08		Freq 2	1,40	1,12		Freq 2	1,43	1,14		Freq 2	1,39	1,11
	Perm 1	1,34	1,07		Perm 1	1,40	1,12		Perm 1	1,42	1,14		Perm 1	1,38	1,11
	MAX.	1,39	1,11		MAX.	1,45	1,16		MAX.	1,47	1,18		MAX.	1,43	1,14
9	Rare 1	1,66	1,33	10	Rare 1	1,75	1,40	11	Rare 1	1,73	1,38	12	Rare 1	1,62	1,29
	Rare 2	1,67	1,33		Rare 2	1,75	1,40		Rare 2	1,74	1,39		Rare 2	1,62	1,30
	Freq 1	1,63	1,30		Freq 1	1,71	1,37		Freq 1	1,70	1,36		Freq 1	1,59	1,27
	Freq 2	1,62	1,29		Freq 2	1,70	1,36		Freq 2	1,68	1,35		Freq 2	1,57	1,26
	Perm 1	1,61	1,29		Perm 1	1,69	1,35		Perm 1	1,68	1,34		Perm 1	1,57	1,25
	MAX.	1,67	1,33		MAX.	1,75	1,40		MAX.	1,74	1,39		MAX.	1,62	1,30
13	Rare 1	1,61	1,29	14	Rare 1	1,66	1,33	15	Rare 1	1,64	1,31	16	Rare 1	1,61	1,29
	Rare 2	1,61	1,29		Rare 2	1,67	1,34		Rare 2	1,65	1,32		Rare 2	1,62	1,30
	Freq 1	1,58	1,26		Freq 1	1,63	1,31		Freq 1	1,61	1,29		Freq 1	1,58	1,27
	Freq 2	1,57	1,25		Freq 2	1,62	1,30		Freq 2	1,60	1,28		Freq 2	1,57	1,26
	Perm 1	1,56	1,25		Perm 1	1,61	1,29		Perm 1	1,59	1,27		Perm 1	1,57	1,25
	MAX.	1,61	1,29		MAX.	1,67	1,34		MAX.	1,65	1,32		MAX.	1,62	1,30
17	Rare 1	1,53	1,23	18	Rare 1	1,55	1,24	19	Rare 1	1,77	1,42	20	Rare 1	1,79	1,43
	Rare 2	1,54	1,23		Rare 2	1,55	1,24		Rare 2	1,78	1,42		Rare 2	1,80	1,44
	Freq 1	1,51	1,20		Freq 1	1,52	1,21		Freq 1	1,74	1,39		Freq 1	1,76	1,41
	Freq 2	1,49	1,19		Freq 2	1,51	1,20		Freq 2	1,72	1,38		Freq 2	1,74	1,39
	Perm 1	1,49	1,19		Perm 1	1,50	1,20		Perm 1	1,72	1,37		Perm 1	1,74	1,39
	MAX.	1,54	1,23		MAX.	1,55	1,24		MAX.	1,78	1,42		MAX.	1,80	1,44
21	Rare 1	1,59	1,27	22	Rare 1	1,68	1,35	23	Rare 1	1,84	1,47	24	Rare 1	1,84	1,47
	Rare 2	1,60	1,28		Rare 2	1,69	1,35		Rare 2	1,85	1,48		Rare 2	1,84	1,47
	Freq 1	1,56	1,25		Freq 1	1,65	1,32		Freq 1	1,81	1,44		Freq 1	1,80	1,44
	Freq 2	1,55	1,24		Freq 2	1,64	1,31		Freq 2	1,79	1,43		Freq 2	1,79	1,43
	Perm 1	1,54	1,23		Perm 1	1,63	1,31		Perm 1	1,78	1,43		Perm 1	1,78	1,42
	MAX.	1,60	1,28		MAX.	1,69	1,35		MAX.	1,85	1,48		MAX.	1,84	1,47
25	Rare 1	1,82	1,46	26	Rare 1	1,83	1,46	27	Rare 1	1,79	1,44	28	Rare 1	1,78	1,43
	Rare 2	1,83	1,47		Rare 2	1,83	1,47		Rare 2	1,80	1,44		Rare 2	1,79	1,43
	Freq 1	1,79	1,43		Freq 1	1,79	1,43		Freq 1	1,76	1,41		Freq 1	1,75	1,40
	Freq 2	1,78	1,42		Freq 2	1,78	1,42		Freq 2	1,75	1,40		Freq 2	1,74	1,39
	Perm 1	1,77	1,42		Perm 1	1,77	1,42		Perm 1	1,74	1,39		Perm 1	1,73	1,38
	MAX.	1,83	1,47		MAX.	1,83	1,47		MAX.	1,80	1,44		MAX.	1,79	1,43
29	Rare 1	1,63	1,30	30	Rare 1	1,72	1,38	31	Rare 1	1,36	1,09	32	Rare 1	1,26	1,01
	Rare 2	1,64	1,31		Rare 2	1,73	1,38		Rare 2	1,36	1,09		Rare 2	1,27	1,01
	Freq 1	1,60	1,28		Freq 1	1,69	1,35		Freq 1	1,33	1,06		Freq 1	1,24	0,99
	Freq 2	1,59	1,27		Freq 2	1,67	1,34		Freq 2	1,32	1,06		Freq 2	1,23	0,98
	Perm 1	1,58	1,26		Perm 1	1,67	1,33		Perm 1	1,32	1,05		Perm 1	1,22	0,98
	MAX.	1,64	1,31		MAX.	1,73	1,38		MAX.	1,36	1,09		MAX.	1,27	1,01
33	Rare 1	1,28	1,02	34	Rare 1	1,38	1,11	35	Rare 1	1,39	1,11	36	Rare 1	1,36	1,09
	Rare 2	1,29	1,03		Rare 2	1,39	1,11		Rare 2	1,40	1,12		Rare 2	1,37	1,10
	Freq 1	1,26	1,01		Freq 1	1,36	1,08		Freq 1	1,36	1,09		Freq 1	1,34	1,07
	Freq 2	1,25	1,00		Freq 2	1,34	1,08		Freq 2	1,35	1,08		Freq 2	1,33	1,06
	Perm 1	1,24	0,99		Perm 1	1,34	1,07		Perm 1	1,35	1,08		Perm 1	1,32	1,06
	MAX.	1,29	1,03		MAX.	1,39	1,11		MAX.	1,40	1,12		MAX.	1,37	1,10
37	Rare 1	1,16	0,93	38	Rare 1	1,20	0,96	39	Rare 1	1,15	0,92	40	Rare 1	1,18	0,94
	Rare 2	1,16	0,93		Rare 2	1,20	0,96		Rare 2	1,16	0,93		Rare 2	1,18	0,94
	Freq 1	1,14	0,91		Freq 1	1,17	0,94		Freq 1	1,13	0,91		Freq 1	1,15	0,92
	Freq 2	1,13	0,90		Freq 2	1,17	0,93		Freq 2	1,12	0,90		Freq 2	1,14	0,92
	Perm 1	1,12	0,90		Perm 1	1,16	0,93		Perm 1	1,12	0,90		Perm 1	1,14	0,91
	MAX.	1,16	0,93		MAX.	1,20	0,96		MAX.	1,16	0,93		MAX.	1,18	0,94
41	Rare 1	1,32	1,06	42	Rare 1	1,18	0,95	43	Rare 1	1,19	0,95	44	Rare 1	1,34	1,07
	Rare 2	1,33	1,06		Rare 2	1,19	0,95		Rare 2	1,19	0,95		Rare 2	1,35	1,08
	Freq 1	1,30	1,04		Freq 1	1,16	0,93		Freq 1	1,16	0,93		Freq 1	1,32	1,05
	Freq 2	1,29	1,03		Freq 2	1,15	0,92		Freq 2	1,15	0,92		Freq 2	1,31	1,04
	Perm 1	1,28	1,02		Perm 1	1,15	0,92		Perm 1	1,15	0,92		Perm 1	1,30	1,04
	MAX.	1,33	1,06		MAX.	1,19	0,95		MAX.	1,19	0,95		MAX.	1,35	1,08
45	Rare 1	1,20	0,96	46	Rare 1	1,18	0,95								
	Rare 2	1,20	0,96		Rare 2	1,19	0,95								
	Freq 1	1,18	0,94		Freq 1	1,16	0,93								
	Freq 2	1,17	0,93		Freq 2	1,15	0,92								

CEDIMENTI ELASTICI ED EDOMETRICI															
Filo N.ro	Combinaz N.ro	Ced.El. cm	Ced.Ed. cm	Filo N.ro	Combinaz N.ro	Ced.El. cm	Ced.Ed. cm	Filo N.ro	Combinaz N.ro	Ced.El. cm	Ced.Ed. cm	Filo N.ro	Combinaz N.ro	Ced.El. cm	Ced.Ed. cm
	Perm 1	1,16	0,93		Perm 1	1,15	0,92								
	MAX.	1,20	0,96		MAX.	1,19	0,95								

27 TABULATI DI CALCOLO FONDAZIONE LOCALE MTR MINEO

DATI GENERALI

COEFFICIENTI PARZIALI GEOTECNICA		
	TABELLA M1	TABELLA M2
Tangente Resist. Taglio	1,00	
Peso Specifico	1,00	
Coesione Efficace (c'k)	1,00	
Resist. a taglio NON drenata (cuk)	1,00	
Tipo Approccio	Combinazione Unica: (A1+M1+R3)	
Tipo di fondazione	Superficiale	

	COEFFICIENTE R1	COEFFICIENTE R2	COEFFICIENTE R3
Capacita' Portante			2,30
Scorrimento			1,10

CRITERI DI PROGETTO GEOTECNICI - FONDAZIONI SUPERFICIALI

IDEN	CARATTERISTICHE DI SITO					IDEN	CARATTERISTICHE DI SITO					IDEN	CARATTERISTICHE DI SITO				
Crit N.ro	Falda (m)	Affond (m)	Ricopr (m)	Pend.X (grd)	Pend.Y (Grd)	Crit N.ro	Falda (m)	Affond (m)	Ricopr (m)	Pend.X (grd)	Pend.Y (Grd)	Crit N.ro	Falda (m)	Affond (m)	Ricopr (m)	Pend.X (grd)	Pend.Y (Grd)
1	1,00	0,00	0,10	0	0	2	1,00	0,50	0,00	0	0						

COORDINATE NODI3D PLATEA

IDENT.	POSIZIONE NODO			IDENT.	POSIZIONE NODO			IDENT.	POSIZIONE NODO			IDENT.	POSIZIONE NODO		
Nodo3d N.ro	Coord.X (m)	Coord.Y (m)	Coord.Z (m)	Nodo3d N.ro	Coord.X (m)	Coord.Y (m)	Coord.Z (m)	Nodo3d N.ro	Coord.X (m)	Coord.Y (m)	Coord.Z (m)	Nodo3d N.ro	Coord.X (m)	Coord.Y (m)	Coord.Z (m)
1	0,50	0,50	0,00	2	12,50	0,50	0,00	5	12,50	4,50	0,00	6	0,50	4,50	0,00
9	0,00	0,00	0,00	10	13,00	0,00	0,00	11	13,00	5,00	0,00	12	0,00	5,00	0,00
13	2,50	0,50	0,00	14	4,50	0,50	0,00	15	6,50	0,50	0,00	16	8,50	0,50	0,00
17	10,50	0,50	0,00	18	10,50	4,50	0,00	19	8,50	4,50	0,00	20	6,50	4,50	0,00
21	4,50	4,50	0,00	22	2,50	4,50	0,00	23	12,50	1,50	0,00	24	12,50	2,50	0,00
25	12,50	3,50	0,00	26	0,50	3,50	0,00	27	0,50	2,50	0,00	28	0,50	1,50	0,00
29	1,00	1,00	0,00	30	2,00	1,00	0,00	31	2,00	2,00	0,00	32	1,00	2,00	0,00
33	2,00	3,00	0,00	34	1,00	3,00	0,00	35	3,00	1,00	0,00	36	3,00	2,00	0,00
37	4,00	2,00	0,00	38	4,00	1,00	0,00	39	5,00	1,00	0,00	40	5,00	2,00	0,00
41	4,00	3,00	0,00	42	3,00	3,00	0,00	43	6,00	1,00	0,00	44	6,00	2,00	0,00
45	6,00	3,00	0,00	46	5,00	3,00	0,00	47	7,00	1,00	0,00	48	7,00	2,00	0,00
49	7,00	3,00	0,00	50	2,00	4,00	0,00	51	1,00	4,00	0,00	52	3,00	4,00	0,00
53	4,00	4,00	0,00	54	5,00	4,00	0,00	55	6,00	4,00	0,00	56	7,00	4,00	0,00
57	8,00	2,00	0,00	58	8,00	1,00	0,00	59	9,00	1,00	0,00	60	9,00	2,00	0,00
61	8,00	3,00	0,00	62	10,00	1,00	0,00	63	10,00	2,00	0,00	64	10,00	3,00	0,00
65	9,00	3,00	0,00	66	11,00	1,00	0,00	67	11,00	2,00	0,00	68	12,00	2,00	0,00
69	12,00	1,00	0,00	70	12,00	3,00	0,00	71	11,00	3,00	0,00	72	8,00	4,00	0,00
73	9,00	4,00	0,00	74	10,00	4,00	0,00	75	11,00	4,00	0,00	76	12,00	4,00	0,00
77	2,00	0,00	0,00	78	1,00	0,00	0,00	79	4,00	0,00	0,00	80	3,00	0,00	0,00
81	6,00	0,00	0,00	82	5,00	0,00	0,00	83	2,00	5,00	0,00	84	1,00	5,00	0,00
85	3,00	5,00	0,00	86	4,00	5,00	0,00	87	6,00	5,00	0,00	88	5,00	5,00	0,00
89	10,00	0,00	0,00	90	9,00	0,00	0,00	91	12,00	0,00	0,00	92	11,00	0,00	0,00
93	8,00	5,00	0,00	94	7,00	5,00	0,00	95	9,00	5,00	0,00	96	10,00	5,00	0,00
97	11,00	5,00	0,00	98	12,00	5,00	0,00	99	7,00	0,00	0,00	100	8,00	0,00	0,00
101	0,00	1,00	0,00	102	0,00	2,00	0,00	103	0,00	3,00	0,00	104	0,00	4,00	0,00
105	13,00	1,00	0,00	106	13,00	2,00	0,00	107	13,00	3,00	0,00	108	13,00	4,00	0,00

GEOMETRIA PLATEA

Shell N.ro	Nodo 1	Nodo 2	Nodo 3	Nodo 4	Sez Nro	Shell N.ro	Nodo 1	Nodo 2	Nodo 3	Nodo 4	Sez Nro	Shell N.ro	Nodo 1	Nodo 2	Nodo 3	Nodo 4	Sez Nro	Shell N.ro	Nodo 1	Nodo 2	Nodo 3	Nodo 4	Sez Nro
5	29	30	31	32	1	6	32	31	33	34	1	7	31	30	35	36	1	8	36	35	38	37	1
9	37	38	39	40	1	10	36	37	41	42	1	11	39	43	44	40	1	12	40	44	45	46	1
13	44	43	47	48	1	14	37	40	46	41	1	15	48	49	45	44	1	16	31	36	42	33	1
17	50	51	34	33	1	18	50	33	42	52	1	19	41	53	52	42	1	20	53	41	46	54	1
21	55	54	46	45	1	22	55	45	49	56	1	23	48	47	58	57	1	24	57	58	59	60	1
25	61	49	48	57	1	26	59	62	63	60	1	27	64	65	60	63	1	28	66	67	63	62	1
29	65	61	57	60	1	30	67	66	69	68	1	31	70	71	67	68	1	32	63	67	71	64	1
33	61	72	56	49	1	34	72	61	65	73	1	35	74	73	65	64	1	36	71	75	74	64	1
37	70	76	75	71	1	38	77	13	1	78	1	39	1	13	30	29	1	40	79	14	13	80	1
41	13	14	38	35	1	42	81	15	14	82	1	43	14	15	43	39	1	44	22	83	84	6	1
45	22	6	51	50	1	46	21	22	52	53	1	47	85	22	21	86	1	48	20	21	54	55	1
49	20	87	88	21	1	50	15	16	58	47	1	51	89	17	16	90	1	52	16	17	62	59	1
53	91	2	17	92	1	54	17	2	69	66	1	55	19	20	56	72	1	56	18	19	73	74	1
57	19	93	94	20	1	58	5	18	75	76	1	59	95	19	18	96	1	60	97	18	5	98	1
61	15	99	100	16	1	62	1	28	101	9	1	63	28	27	102	101	1	64	28	29	32	27	1
65	103	27	26	104	1	66	27	32	34	26	1	67	51	6	26	34	1	68	104	26	6	12	1
69	105	23	2	10	1	70	69	2	23	68	1	71	106	24	23	105	1	72	107	25	24	106	1
73	24	25	70	68	1	74	25	107	108	5	1	75	25	5	76	70	1	76	9	78	1	1	1
77	77	80	13	13	1	78	35	30	13	13	1	79	1	29	28	28	1	80	14	79	82	82	1
81	15	81	99	99	1	82	38	14	39	39	1	83	27	103	102	102	1	84	12	6	84	84	1
85	52	22	50	50	1	86	22	85	83	83	1	87	86	21	88	88	1	88	53	54	21	21	1
89	43	15	47	47	1	90	90	16	100	100	1	91	58	16	59	59	1	92	92	17	89	89	1
93	91	10	2	2	1	94	23	24	68	68	1	95	66	62	17	17	1	96	56	20	55	55	1
97	20	94	87	87	1	98	19	95	93	93	1	99	72	73	19	19	1	100	75	18	74	74	1
101	96	18	97	97	1	102	5	108	11	11	1	103	11	98	5	5	1						

STRATIGRAFIA PLATEA

Str. N.ro	Q.t.v. (m)	Q.t.d. (m)	Q.falda (m)	Incl Grd	Kw kg/cmc	Num Str	Sp.str. (m)	Peso Sp kg/mc	Fi' (Grd)	C' kg/cmq	Cu kg/cmq	Mod.El. kg/cmq	Poisson	Gr.Sovr (%)	Mod.Ed. kg/cmq
1	-0,10	0,00	1,40	0	1,00	1		1900	26,00	0,15	0,50	40,00	0,20	1	50,00

COMBINAZIONI CARICHI - S.L.U. - A1

DESCRIZIONI	1	2	3	4	5	6	7	8	9	10	11	12	13	14	15
Peso Strutturale	1,30	1,30	1,00	1,00	1,00	1,00	1,00	1,00	1,00	1,00	1,00	1,00	1,00	1,00	1,00
Perm.Non Strutturale	1,50	1,50	1,00	1,00	1,00	1,00	1,00	1,00	1,00	1,00	1,00	1,00	1,00	1,00	1,00
Var.Neve h>1000	1,05	1,50	0,20	0,20	0,20	0,20	0,20	0,20	0,20	0,20	0,20	0,20	0,20	0,20	0,20
Var.Bibl.Arch.	1,50	1,50	0,80	0,80	0,80	0,80	0,80	0,80	0,80	0,80	0,80	0,80	0,80	0,80	0,80
Corr. Tors. dir. 0	0,00	0,00	1,00	-1,00	1,00	-1,00	1,00	-1,00	1,00	-1,00	-1,00	1,00	-1,00	1,00	-1,00
Corr. Tors. dir. 90	0,00	0,00	0,30	0,30	-0,30	-0,30	-0,30	-0,30	0,30	0,30	0,30	0,30	-0,30	-0,30	-0,30
Sisma direz. grd 0	0,00	0,00	1,00	1,00	1,00	1,00	1,00	1,00	1,00	1,00	-1,00	-1,00	-1,00	-1,00	-1,00
Sisma direz. grd 90	0,00	0,00	0,30	0,30	0,30	0,30	-0,30	-0,30	-0,30	-0,30	0,30	0,30	0,30	0,30	-0,30

COMBINAZIONI CARICHI - S.L.U. - A1

DESCRIZIONI	16	17	18	19	20	21	22	23	24	25	26	27	28	29	30
Peso Strutturale	1,00	1,00	1,00	1,00	1,00	1,00	1,00	1,00	1,00	1,00	1,00	1,00	1,00	1,00	1,00
Perm.Non Strutturale	1,00	1,00	1,00	1,00	1,00	1,00	1,00	1,00	1,00	1,00	1,00	1,00	1,00	1,00	1,00
Var.Neve h>1000	0,20	0,20	0,20	0,20	0,20	0,20	0,20	0,20	0,20	0,20	0,20	0,20	0,20	0,20	0,20
Var.Bibl.Arch.	0,80	0,80	0,80	0,80	0,80	0,80	0,80	0,80	0,80	0,80	0,80	0,80	0,80	0,80	0,80
Corr. Tors. dir. 0	1,00	-1,00	1,00	0,30	-0,30	0,30	-0,30	0,30	-0,30	0,30	-0,30	-0,30	0,30	-0,30	0,30
Corr. Tors. dir. 90	-0,30	0,30	0,30	1,00	1,00	-1,00	-1,00	-1,00	-1,00	1,00	1,00	1,00	1,00	-1,00	-1,00
Sisma direz. grd 0	-1,00	-1,00	-1,00	0,30	0,30	0,30	0,30	0,30	0,30	0,30	0,30	-0,30	-0,30	-0,30	-0,30
Sisma direz. grd 90	-0,30	-0,30	-0,30	1,00	1,00	1,00	1,00	-1,00	-1,00	-1,00	-1,00	1,00	1,00	1,00	1,00

COMBINAZIONI CARICHI - S.L.U. - A1

DESCRIZIONI	31	32	33	34
Peso Strutturale	1,00	1,00	1,00	1,00
Perm.Non Strutturale	1,00	1,00	1,00	1,00
Var.Neve h>1000	0,20	0,20	0,20	0,20
Var.Bibl.Arch.	0,80	0,80	0,80	0,80
Corr. Tors. dir. 0	-0,30	0,30	-0,30	0,30
Corr. Tors. dir. 90	-1,00	-1,00	1,00	1,00
Sisma direz. grd 0	-0,30	-0,30	-0,30	-0,30
Sisma direz. grd 90	-1,00	-1,00	-1,00	-1,00

COMBINAZIONI RARE - S.L.E.

DESCRIZIONI	1	2
Peso Strutturale	1,00	1,00
Perm.Non Strutturale	1,00	1,00
Var.Neve h>1000	0,70	1,00
Var.Bibl.Arch.	1,00	1,00
Corr. Tors. dir. 0	0,00	0,00
Corr. Tors. dir. 90	0,00	0,00
Sisma direz. grd 0	0,00	0,00
Sisma direz. grd 90	0,00	0,00

COMBINAZIONI FREQUENTI - S.L.E.

DESCRIZIONI	1	2
Peso Strutturale	1,00	1,00
Perm.Non Strutturale	1,00	1,00
Var.Neve h>1000	0,20	0,50
Var.Bibl.Arch.	0,90	0,80
Corr. Tors. dir. 0	0,00	0,00
Corr. Tors. dir. 90	0,00	0,00
Sisma direz. grd 0	0,00	0,00
Sisma direz. grd 90	0,00	0,00

COMBINAZIONI PERMANENTI - S.L.E.

DESCRIZIONI	1
Peso Strutturale	1,00
Perm.Non Strutturale	1,00
Var.Neve h>1000	0,20
Var.Bibl.Arch.	0,80
Corr. Tors. dir. 0	0,00
Corr. Tors. dir. 90	0,00
Sisma direz. grd 0	0,00
Sisma direz. grd 90	0,00

RISULTANTI SOLLECITAZIONI NODI PLATEE - SLU

Nod3d N.ro	Combinazione N.ro		Fz (t)	Nod3d N.ro	Combinazione N.ro		Fz (t)	Nod3d N.ro	Combinazione N.ro		Fz (t)	Nod3d N.ro	Combinazione N.ro		Fz (t)
1		A1/1	-2,64	2		A1/1	-2,80	5		A1/1	-3,13	6		A1/1	-2,80
		A1/2	-2,65			A1/2	-2,82			A1/2	-3,15			A1/2	-2,82
	X+	A1/9	-1,78		X+	A1/8	-2,44		X+	A1/3	-2,72		X+	A1/6	-1,89
	X-	A1/18	-2,29		X-	A1/15	-1,89		X-	A1/12	-2,12		X-	A1/13	-2,44
	Y+	A1/28	-1,33		Y+	A1/22	-1,41		Y+	A1/19	-3,02		Y+	A1/29	-2,70
	Y-	A1/34	-2,54		Y-	A1/24	-2,70		Y-	A1/25	-1,57		Y-	A1/31	-1,41
9		A1/1	-0,82	10		A1/1	-0,82	11		A1/1	-0,66	12		A1/1	-0,82
		A1/2	-0,83			A1/2	-0,83			A1/2	-0,66			A1/2	-0,83
	X+	A1/9	-0,56		X+	A1/8	-0,74		X+	A1/3	-0,59		X+	A1/6	-0,56
	X-	A1/18	-0,74		X-	A1/15	-0,56		X-	A1/12	-0,45		X-	A1/13	-0,74
	Y+	A1/28	-0,37		Y+	A1/22	-0,37		Y+	A1/19	-0,68		Y+	A1/29	-0,85
	Y-	A1/34	-0,85		Y-	A1/24	-0,85		Y-	A1/25	-0,29		Y-	A1/31	-0,37
13		A1/1	-3,66	14		A1/1	-3,69	15		A1/1	-3,69	16		A1/1	-3,69
		A1/2	-3,69			A1/2	-3,71			A1/2	-3,71			A1/2	-3,71
	X+	A1/9	-2,58		X+	A1/9	-2,69		X+	A1/9	-2,80		X+	A1/8	-2,92
	X-	A1/18	-3,04		X-	A1/18	-2,92		X-	A1/18	-2,80		X-	A1/15	-2,69
	Y+	A1/28	-1,88		Y+	A1/28	-1,90		Y+	A1/19	-1,89		Y+	A1/22	-1,90
	Y-	A1/34	-3,41		Y-	A1/34	-3,34		Y-	A1/25	-3,30		Y-	A1/24	-3,34
17		A1/1	-3,66	18		A1/1	-3,66	19		A1/1	-3,69	20		A1/1	-3,69
		A1/2	-3,69			A1/2	-3,68			A1/2	-3,71			A1/2	-3,71
	X+	A1/8	-3,04		X+	A1/3	-3,04		X+	A1/3	-2,92		X+	A1/3	-2,80
	X-	A1/15	-2,58		X-	A1/12	-2,58		X-	A1/12	-2,69		X-	A1/12	-2,80
	Y+	A1/22	-1,88		Y+	A1/19	-3,41		Y+	A1/19	-3,34		Y+	A1/28	-3,30
	Y-	A1/24	-3,41		Y-	A1/25	-1,88		Y-	A1/25	-1,90		Y-	A1/34	-1,89

RISULTANTI SOLLECITAZIONI NODI PLATEE - SLU

Nod3d N.ro	Combinazione N.ro		Fz (t)	Nod3d N.ro	Combinazione N.ro		Fz (t)	Nod3d N.ro	Combinazione N.ro		Fz (t)	Nod3d N.ro	Combinazione N.ro		Fz (t)
21		A1/1	-3,69	22		A1/1	-3,66	23		A1/1	-1,80	24		A1/1	-1,80
		A1/2	-3,71			A1/2	-3,69			A1/2	-1,81			A1/2	-1,81
	X+	A1/6	-2,69		X+	A1/6	-2,58		X+	A1/8	-1,51		X+	A1/6	-1,44
	X-	A1/13	-2,92		X-	A1/13	-3,04		X-	A1/15	-1,16		X-	A1/13	-1,09
	Y+	A1/29	-3,34		Y+	A1/29	-3,41		Y+	A1/22	-1,11		Y+	A1/22	-1,32
	Y-	A1/31	-1,90		Y-	A1/31	-1,88		Y-	A1/24	-1,53		Y-	A1/24	-1,32
25		A1/1	-1,97	26		A1/1	-1,97	27		A1/1	-2,29	28		A1/1	-1,80
		A1/2	-1,98			A1/2	-1,98			A1/2	-2,30			A1/2	-1,81
	X+	A1/3	-1,64		X+	A1/6	-1,26		X+	A1/8	-1,39		X+	A1/9	-1,16
	X-	A1/12	-1,26		X-	A1/13	-1,64		X-	A1/15	-1,83		X-	A1/18	-1,51
	Y+	A1/19	-1,67		Y+	A1/29	-1,67		Y+	A1/29	-1,68		Y+	A1/28	-1,11
	Y-	A1/25	-1,21		Y-	A1/31	-1,21		Y-	A1/31	-1,68		Y-	A1/34	-1,53
29		A1/1	-2,55	30		A1/1	-3,03	31		A1/1	-3,85	32		A1/1	-2,93
		A1/2	-2,56			A1/2	-3,05			A1/2	-3,87			A1/2	-2,94
	X+	A1/9	-1,70		X+	A1/9	-2,06		X+	A1/9	-2,50		X+	A1/9	-1,85
	X-	A1/18	-2,15		X-	A1/18	-2,49		X-	A1/18	-3,04		X-	A1/18	-2,37
	Y+	A1/28	-1,43		Y+	A1/28	-1,70		Y+	A1/28	-2,58		Y+	A1/28	-1,97
	Y-	A1/34	-2,29		Y-	A1/34	-2,69		Y-	A1/34	-3,00		Y-	A1/34	-2,31
33		A1/1	-3,85	34		A1/1	-2,93	35		A1/1	-3,03	36		A1/1	-3,81
		A1/2	-3,87			A1/2	-2,94			A1/2	-3,04			A1/2	-3,83
	X+	A1/6	-2,50		X+	A1/6	-1,85		X+	A1/9	-2,11		X+	A1/9	-2,54
	X-	A1/13	-3,04		X-	A1/13	-2,37		X-	A1/18	-2,44		X-	A1/18	-2,95
	Y+	A1/29	-3,00		Y+	A1/29	-2,30		Y+	A1/28	-1,71		Y+	A1/28	-2,54
	Y-	A1/31	-2,58		Y-	A1/31	-1,97		Y-	A1/34	-2,65		Y-	A1/34	-2,95
37		A1/1	-3,79	38		A1/1	-3,02	39		A1/1	-3,03	40		A1/1	-3,78
		A1/2	-3,81			A1/2	-3,04			A1/2	-3,04			A1/2	-3,80
	X+	A1/9	-2,58		X+	A1/9	-2,15		X+	A1/9	-2,19		X+	A1/9	-2,64
	X-	A1/18	-2,87		X-	A1/18	-2,38		X-	A1/18	-2,33		X-	A1/18	-2,81
	Y+	A1/28	-2,52		Y+	A1/28	-1,70		Y+	A1/28	-1,70		Y+	A1/28	-2,50
	Y-	A1/34	-2,91		Y-	A1/34	-2,62		Y-	A1/34	-2,60		Y-	A1/34	-2,88
41		A1/1	-3,79	42		A1/1	-3,81	43		A1/1	-3,03	44		A1/1	-3,78
		A1/2	-3,81			A1/2	-3,83			A1/2	-3,04			A1/2	-3,80
	X+	A1/6	-2,58		X+	A1/6	-2,54		X+	A1/9	-2,24		X+	A1/9	-2,69
	X-	A1/13	-2,87		X-	A1/13	-2,95		X-	A1/18	-2,28		X-	A1/18	-2,75
	Y+	A1/29	-2,91		Y+	A1/29	-2,95		Y+	A1/28	-1,69		Y+	A1/28	-2,48
	Y-	A1/31	-2,52		Y-	A1/31	-2,54		Y-	A1/34	-2,58		Y-	A1/34	-2,86
45		A1/1	-3,78	46		A1/1	-3,78	47		A1/1	-3,03	48		A1/1	-3,78
		A1/2	-3,80			A1/2	-3,80			A1/2	-3,04			A1/2	-3,80
	X+	A1/6	-2,69		X+	A1/6	-2,64		X+	A1/8	-2,28		X+	A1/8	-2,75
	X-	A1/13	-2,75		X-	A1/13	-2,81		X-	A1/15	-2,24		X-	A1/15	-2,69
	Y+	A1/29	-2,86		Y+	A1/29	-2,88		Y+	A1/22	-1,69		Y+	A1/22	-2,48
	Y-	A1/31	-2,48		Y-	A1/31	-2,50		Y-	A1/24	-2,58		Y-	A1/24	-2,86
49		A1/1	-3,78	50		A1/1	-3,03	51		A1/1	-2,22	52		A1/1	-3,03
		A1/2	-3,80			A1/2	-3,05			A1/2	-2,23			A1/2	-3,04
	X+	A1/3	-2,75		X+	A1/6	-2,06		X+	A1/6	-1,48		X+	A1/6	-2,11
	X-	A1/12	-2,69		X-	A1/13	-2,49		X-	A1/13	-1,87		X-	A1/13	-2,44
	Y+	A1/19	-2,86		Y+	A1/29	-2,69		Y+	A1/29	-2,00		Y+	A1/29	-2,65
	Y-	A1/25	-2,48		Y-	A1/31	-1,70		Y-	A1/31	-1,24		Y-	A1/31	-1,71
53		A1/1	-3,02	54		A1/1	-3,03	55		A1/1	-3,03	56		A1/1	-3,03
		A1/2	-3,04			A1/2	-3,04			A1/2	-3,04			A1/2	-3,04
	X+	A1/6	-2,15		X+	A1/6	-2,19		X+	A1/6	-2,24		X+	A1/3	-2,28
	X-	A1/13	-2,38		X-	A1/13	-2,33		X-	A1/13	-2,28		X-	A1/12	-2,24
	Y+	A1/29	-2,62		Y+	A1/29	-2,60		Y+	A1/29	-2,58		Y+	A1/19	-2,58
	Y-	A1/31	-1,70		Y-	A1/31	-1,70		Y-	A1/31	-1,69		Y-	A1/25	-1,69
57		A1/1	-3,78	58		A1/1	-3,03	59		A1/1	-3,02	60		A1/1	-3,79
		A1/2	-3,80			A1/2	-3,04			A1/2	-3,04			A1/2	-3,81
	X+	A1/8	-2,81		X+	A1/8	-2,33		X+	A1/8	-2,38		X+	A1/8	-2,87
	X-	A1/15	-2,64		X-	A1/15	-2,19		X-	A1/15	-2,15		X-	A1/15	-2,58
	Y+	A1/22	-2,50		Y+	A1/22	-1,70		Y+	A1/22	-1,70		Y+	A1/22	-2,52
	Y-	A1/24	-2,88		Y-	A1/24	-2,60		Y-	A1/24	-2,62		Y-	A1/24	-2,91
61		A1/1	-3,78	62		A1/1	-3,03	63		A1/1	-3,81	64		A1/1	-3,81
		A1/2	-3,80			A1/2	-3,04			A1/2	-3,83			A1/2	-3,83
	X+	A1/3	-2,81		X+	A1/8	-2,43		X+	A1/8	-2,95		X+	A1/3	-2,95
	X-	A1/12	-2,64		X-	A1/15	-2,11		X-	A1/15	-2,54		X-	A1/12	-2,54
	Y+	A1/19	-2,88		Y+	A1/22	-1,71		Y+	A1/22	-2,54		Y+	A1/19	-2,95
	Y-	A1/25	-2,50		Y-	A1/24	-2,65		Y-	A1/24	-2,95		Y-	A1/25	-2,54
65		A1/1	-3,79	66		A1/1	-3,03	67		A1/1	-3,85	68		A1/1	-3,26
		A1/2	-3,81			A1/2	-3,05			A1/2	-3,87			A1/2	-3,27
	X+	A1/3	-2,87		X+	A1/8	-2,49		X+	A1/8	-3,04		X+	A1/8	-2,63
	X-	A1/12	-2,58		X-	A1/15	-2,06		X-	A1/15	-2,50		X-	A1/15	-2,06
	Y+	A1/19	-2,91		Y+	A1/22	-1,70		Y+	A1/22	-2,58		Y+	A1/22	-2,19
	Y-	A1/25	-2,52		Y-	A1/24	-2,69		Y-	A1/24	-3,00		Y-	A1/24	-2,56
69		A1/1	-2,22	70		A1/1	-2,93	71		A1/1	-3,85	72		A1/1	-3,03
		A1/2	-2,23			A1/2	-2,94			A1/2	-3,87			A1/2	-3,04
	X+	A1/8	-1,87		X+	A1/3	-2,37		X+	A1/3	-3,04		X+	A1/3	-2,33
	X-	A1/15	-1,48		X-	A1/12	-1,85		X-	A1/12	-2,50		X-	A1/12	-2,19
	Y+	A1/22	-1,24		Y+	A1/19	-2,30		Y+	A1/19	-3,00		Y+	A1/19	-2,60
	Y-	A1/24	-2,00		Y-	A1/25	-1,97		Y-	A1/25	-2,58		Y-	A1/25	-1,70

RISULTANTI SOLLECITAZIONI NODI PLATEE - SLU

Nod3d N.ro	Combinazione N.ro		Fz (t)	Nod3d N.ro	Combinazione N.ro		Fz (t)	Nod3d N.ro	Combinazione N.ro		Fz (t)	Nod3d N.ro	Combinazione N.ro		Fz (t)
73		A1/1	-3,02	74		A1/1	-3,03	75		A1/1	-3,03	76		A1/1	-2,22
		A1/2	-3,04			A1/2	-3,04			A1/2	-3,05			A1/2	-2,23
	X+	A1/3	-2,38		X+	A1/3	-2,44		X+	A1/3	-2,49		X+	A1/3	-1,87
	X-	A1/12	-2,15		X-	A1/12	-2,11		X-	A1/12	-2,06		X-	A1/12	-1,48
	Y+	A1/19	-2,62		Y+	A1/19	-2,65		Y+	A1/19	-2,69		Y+	A1/19	-2,00
	Y-	A1/25	-1,70		Y-	A1/25	-1,71		Y-	A1/25	-1,70		Y-	A1/25	-1,24
77		A1/1	-1,09	78		A1/1	-1,08	79		A1/1	-1,11	80		A1/1	-1,10
		A1/2	-1,10			A1/2	-1,08			A1/2	-1,12			A1/2	-1,11
	X+	A1/9	-0,78		X+	A1/9	-0,75		X+	A1/9	-0,82		X+	A1/9	-0,80
	X-	A1/18	-0,93		X-	A1/18	-0,94		X-	A1/18	-0,90		X-	A1/18	-0,92
	Y+	A1/28	-0,50		Y+	A1/28	-0,49		Y+	A1/28	-0,52		Y+	A1/28	-0,51
	Y-	A1/34	-1,08		Y-	A1/34	-1,09		Y-	A1/34	-1,06		Y-	A1/34	-1,07
81		A1/1	-1,11	82		A1/1	-1,11	83		A1/1	-1,09	84		A1/1	-1,08
		A1/2	-1,12			A1/2	-1,12			A1/2	-1,10			A1/2	-1,08
	X+	A1/9	-0,85		X+	A1/9	-0,83		X+	A1/6	-0,78		X+	A1/6	-0,75
	X-	A1/18	-0,87		X-	A1/18	-0,89		X-	A1/13	-0,93		X-	A1/13	-0,94
	Y+	A1/28	-0,52		Y+	A1/28	-0,52		Y+	A1/29	-1,08		Y+	A1/29	-1,09
	Y-	A1/34	-1,05		Y-	A1/34	-1,05		Y-	A1/31	-0,50		Y-	A1/31	-0,49
85		A1/1	-1,10	86		A1/1	-1,11	87		A1/1	-1,11	88		A1/1	-1,11
		A1/2	-1,11			A1/2	-1,12			A1/2	-1,12			A1/2	-1,12
	X+	A1/6	-0,80		X+	A1/6	-0,82		X+	A1/6	-0,85		X+	A1/6	-0,83
	X-	A1/13	-0,92		X-	A1/13	-0,90		X-	A1/13	-0,87		X-	A1/13	-0,89
	Y+	A1/29	-1,07		Y+	A1/29	-1,06		Y+	A1/29	-1,05		Y+	A1/29	-1,05
	Y-	A1/31	-0,51		Y-	A1/31	-0,52		Y-	A1/31	-0,52		Y-	A1/31	-0,52
89		A1/1	-1,10	90		A1/1	-1,11	91		A1/1	-1,08	92		A1/1	-1,09
		A1/2	-1,11			A1/2	-1,12			A1/2	-1,08			A1/2	-1,10
	X+	A1/8	-0,92		X+	A1/8	-0,90		X+	A1/8	-0,94		X+	A1/8	-0,93
	X-	A1/15	-0,80		X-	A1/15	-0,82		X-	A1/15	-0,75		X-	A1/15	-0,78
	Y+	A1/22	-0,51		Y+	A1/22	-0,52		Y+	A1/22	-0,49		Y+	A1/22	-0,50
	Y-	A1/24	-1,07		Y-	A1/24	-1,06		Y-	A1/24	-1,09		Y-	A1/24	-1,08
93		A1/1	-1,11	94		A1/1	-1,11	95		A1/1	-1,11	96		A1/1	-1,10
		A1/2	-1,12			A1/2	-1,12			A1/2	-1,12			A1/2	-1,11
	X+	A1/3	-0,89		X+	A1/3	-0,87		X+	A1/3	-0,90		X+	A1/3	-0,92
	X-	A1/12	-0,83		X-	A1/12	-0,85		X-	A1/12	-0,82		X-	A1/12	-0,80
	Y+	A1/19	-1,05		Y+	A1/19	-1,05		Y+	A1/19	-1,06		Y+	A1/19	-1,07
	Y-	A1/25	-0,52		Y-	A1/25	-0,52		Y-	A1/25	-0,52		Y-	A1/25	-0,51
97		A1/1	-1,09	98		A1/1	-1,08	99		A1/1	-1,11	100		A1/1	-1,11
		A1/2	-1,10			A1/2	-1,08			A1/2	-1,12			A1/2	-1,12
	X+	A1/3	-0,93		X+	A1/3	-0,94		X+	A1/8	-0,87		X+	A1/8	-0,89
	X-	A1/12	-0,78		X-	A1/12	-0,75		X-	A1/15	-0,85		X-	A1/15	-0,83
	Y+	A1/19	-1,08		Y+	A1/19	-1,09		Y+	A1/22	-0,52		Y+	A1/22	-0,52
	Y-	A1/25	-0,50		Y-	A1/25	-0,49		Y-	A1/24	-1,05		Y-	A1/24	-1,05
101		A1/1	-0,99	102		A1/1	-0,82	103		A1/1	-0,82	104		A1/1	-0,99
		A1/2	-0,99			A1/2	-0,83			A1/2	-0,83			A1/2	-0,99
	X+	A1/9	-0,64		X+	A1/9	-0,51		X+	A1/6	-0,51		X+	A1/6	-0,64
	X-	A1/18	-0,85		X-	A1/18	-0,68		X-	A1/13	-0,68		X-	A1/13	-0,85
	Y+	A1/28	-0,55		Y+	A1/28	-0,55		Y+	A1/29	-0,65		Y+	A1/29	-0,90
	Y-	A1/34	-0,90		Y-	A1/34	-0,65		Y-	A1/31	-0,56		Y-	A1/31	-0,55
105		A1/1	-0,99	106		A1/1	-0,99	107		A1/1	-0,99	108		A1/1	-0,82
		A1/2	-0,99			A1/2	-0,99			A1/2	-0,99			A1/2	-0,83
	X+	A1/8	-0,85		X+	A1/8	-0,81		X+	A1/3	-0,81		X+	A1/3	-0,71
	X-	A1/15	-0,64		X-	A1/15	-0,61		X-	A1/12	-0,61		X-	A1/12	-0,53
	Y+	A1/22	-0,55		Y+	A1/22	-0,67		Y+	A1/19	-0,78		Y+	A1/19	-0,75
	Y-	A1/24	-0,90		Y-	A1/24	-0,78		Y-	A1/25	-0,67		Y-	A1/25	-0,46

RISULTANTI SOLLECITAZIONI NODI PLATEE - SLD

Nod3d N.ro	Combinazione N.ro		Fz (t)	Nod3d N.ro	Combinazione N.ro		Fz (t)	Nod3d N.ro	Combinazione N.ro		Fz (t)	Nod3d N.ro	Combinazione N.ro		Fz (t)
1		SLD/1	-2,64	2		SLD/1	-2,80	5		SLD/1	-3,13	6		SLD/1	-2,80
		SLD/2	-2,65			SLD/2	-2,82			SLD/2	-3,15			SLD/2	-2,82
	X+	SLD/9	-1,81		X+	SLD/8	-2,24		X+	SLD/3	-2,50		X+	SLD/6	-1,93
	X-	SLD/18	-2,10		X-	SLD/15	-1,93		X-	SLD/12	-2,15		X-	SLD/13	-2,24
	Y+	SLD/28	-1,55		Y+	SLD/22	-1,65		Y+	SLD/19	-2,67		Y+	SLD/29	-2,39
	Y-	SLD/34	-2,25		Y-	SLD/24	-2,39		Y-	SLD/25	-1,84		Y-	SLD/31	-1,65
9		SLD/1	-0,82	10		SLD/1	-0,82	11		SLD/1	-0,66	12		SLD/1	-0,82
		SLD/2	-0,83			SLD/2	-0,83			SLD/2	-0,66			SLD/2	-0,83
	X+	SLD/9	-0,57		X+	SLD/8	-0,67		X+	SLD/3	-0,54		X+	SLD/6	-0,57
	X-	SLD/18	-0,67		X-	SLD/15	-0,57		X-	SLD/12	-0,46		X-	SLD/13	-0,67
	Y+	SLD/28	-0,46		Y+	SLD/22	-0,46		Y+	SLD/19	-0,58		Y+	SLD/29	-0,73
	Y-	SLD/34	-0,73		Y-	SLD/24	-0,73		Y-	SLD/25	-0,37		Y-	SLD/31	-0,46
13		SLD/1	-3,66	14		SLD/1	-3,69	15		SLD/1	-3,69	16		SLD/1	-3,69
		SLD/2	-3,69			SLD/2	-3,71			SLD/2	-3,71			SLD/2	-3,71
	X+	SLD/9	-2,58		X+	SLD/9	-2,65		X+	SLD/9	-2,71		X+	SLD/8	-2,78
	X-	SLD/18	-2,84		X-	SLD/18	-2,78		X-	SLD/18	-2,71		X-	SLD/15	-2,65
	Y+	SLD/28	-2,18		Y+	SLD/28	-2,20		Y+	SLD/19	-2,19		Y+	SLD/22	-2,20
	Y-	SLD/34	-3,05		Y-	SLD/34	-3,02		Y-	SLD/25	-2,99		Y-	SLD/24	-3,02
17		SLD/1	-3,66	18		SLD/1	-3,66	19		SLD/1	-3,69	20		SLD/1	-3,69

RISULTANTI SOLLECITAZIONI NODI PLATEE - SLD

Nod3d N.ro	Combinazione N.ro		Fz (t)	Nod3d N.ro	Combinazione N.ro		Fz (t)	Nod3d N.ro	Combinazione N.ro		Fz (t)	Nod3d N.ro	Combinazione N.ro		Fz (t)
		SLD/2	-3,69			SLD/2	-3,68			SLD/2	-3,71			SLD/2	-3,71
	X+	SLD/8	-2,84		X+	SLD/3	-2,84		X+	SLD/3	-2,78		X+	SLD/3	-2,71
	X-	SLD/15	-2,58		X-	SLD/12	-2,58		X-	SLD/12	-2,65		X-	SLD/12	-2,71
	Y+	SLD/22	-2,18		Y+	SLD/19	-3,05		Y+	SLD/19	-3,02		Y+	SLD/27	-2,99
	Y-	SLD/24	-3,05		Y-	SLD/25	-2,18		Y-	SLD/25	-2,20		Y-	SLD/33	-2,19
21		SLD/1	-3,69	22		SLD/1	-3,66	23		SLD/1	-1,80	24		SLD/1	-1,80
		SLD/2	-3,71			SLD/2	-3,69			SLD/2	-1,81			SLD/2	-1,81
	X+	SLD/6	-2,65		X+	SLD/6	-2,58		X+	SLD/8	-1,40		X+	SLD/6	-1,37
	X-	SLD/13	-2,78		X-	SLD/13	-2,84		X-	SLD/15	-1,21		X-	SLD/13	-1,17
	Y+	SLD/29	-3,02		Y+	SLD/29	-3,05		Y+	SLD/22	-1,18		Y+	SLD/22	-1,30
	Y-	SLD/31	-2,20		Y-	SLD/31	-2,18		Y-	SLD/24	-1,42		Y-	SLD/24	-1,30
25		SLD/1	-1,97	26		SLD/1	-1,97	27		SLD/1	-2,29	28		SLD/1	-1,80
		SLD/2	-1,98			SLD/2	-1,98			SLD/2	-2,30			SLD/2	-1,81
	X+	SLD/3	-1,53		X+	SLD/6	-1,31		X+	SLD/8	-1,48		X+	SLD/9	-1,21
	X-	SLD/12	-1,31		X-	SLD/13	-1,53		X-	SLD/15	-1,74		X-	SLD/18	-1,40
	Y+	SLD/19	-1,55		Y+	SLD/29	-1,55		Y+	SLD/29	-1,65		Y+	SLD/28	-1,18
	Y-	SLD/25	-1,29		Y-	SLD/31	-1,29		Y-	SLD/31	-1,65		Y-	SLD/34	-1,42
29		SLD/1	-2,55	30		SLD/1	-3,03	31		SLD/1	-3,85	32		SLD/1	-2,93
		SLD/2	-2,56			SLD/2	-3,05			SLD/2	-3,87			SLD/2	-2,94
	X+	SLD/9	-1,74		X+	SLD/9	-2,09		X+	SLD/9	-2,59		X+	SLD/9	-1,94
	X-	SLD/18	-1,99		X-	SLD/18	-2,34		X-	SLD/18	-2,90		X-	SLD/18	-2,24
	Y+	SLD/28	-1,58		Y+	SLD/28	-1,89		Y+	SLD/28	-2,63		Y+	SLD/28	-2,01
	Y-	SLD/34	-2,08		Y-	SLD/34	-2,45		Y-	SLD/34	-2,88		Y-	SLD/34	-2,20
33		SLD/1	-3,85	34		SLD/1	-2,93	35		SLD/1	-3,03	36		SLD/1	-3,81
		SLD/2	-3,87			SLD/2	-2,94			SLD/2	-3,04			SLD/2	-3,83
	X+	SLD/6	-2,59		X+	SLD/6	-1,94		X+	SLD/9	-2,12		X+	SLD/9	-2,60
	X-	SLD/13	-2,90		X-	SLD/13	-2,23		X-	SLD/18	-2,30		X-	SLD/18	-2,83
	Y+	SLD/29	-2,88		Y+	SLD/29	-2,20		Y+	SLD/28	-1,89		Y+	SLD/28	-2,60
	Y-	SLD/31	-2,63		Y-	SLD/31	-2,01		Y-	SLD/34	-2,43		Y-	SLD/34	-2,83
37		SLD/1	-3,79	38		SLD/1	-3,02	39		SLD/1	-3,03	40		SLD/1	-3,78
		SLD/2	-3,81			SLD/2	-3,04			SLD/2	-3,04			SLD/2	-3,80
	X+	SLD/9	-2,62		X+	SLD/9	-2,14		X+	SLD/9	-2,16		X+	SLD/9	-2,65
	X-	SLD/18	-2,79		X-	SLD/18	-2,27		X-	SLD/18	-2,24		X-	SLD/18	-2,75
	Y+	SLD/28	-2,58		Y+	SLD/28	-1,88		Y+	SLD/28	-1,88		Y+	SLD/28	-2,57
	Y-	SLD/34	-2,81		Y-	SLD/34	-2,41		Y-	SLD/34	-2,39		Y-	SLD/34	-2,79
41		SLD/1	-3,79	42		SLD/1	-3,81	43		SLD/1	-3,03	44		SLD/1	-3,78
		SLD/2	-3,81			SLD/2	-3,83			SLD/2	-3,04			SLD/2	-3,80
	X+	SLD/6	-2,62		X+	SLD/6	-2,60		X+	SLD/9	-2,19		X+	SLD/9	-2,68
	X-	SLD/13	-2,78		X-	SLD/13	-2,83		X-	SLD/18	-2,22		X-	SLD/18	-2,71
	Y+	SLD/29	-2,81		Y+	SLD/29	-2,83		Y+	SLD/28	-1,88		Y+	SLD/28	-2,56
	Y-	SLD/31	-2,58		Y-	SLD/31	-2,60		Y-	SLD/34	-2,38		Y-	SLD/34	-2,78
45		SLD/1	-3,78	46		SLD/1	-3,78	47		SLD/1	-3,03	48		SLD/1	-3,78
		SLD/2	-3,80			SLD/2	-3,80			SLD/2	-3,04			SLD/2	-3,80
	X+	SLD/6	-2,68		X+	SLD/6	-2,65		X+	SLD/8	-2,22		X+	SLD/8	-2,71
	X-	SLD/13	-2,71		X-	SLD/13	-2,75		X-	SLD/15	-2,19		X-	SLD/15	-2,68
	Y+	SLD/29	-2,78		Y+	SLD/29	-2,79		Y+	SLD/22	-1,88		Y+	SLD/22	-2,56
	Y-	SLD/31	-2,56		Y-	SLD/31	-2,57		Y-	SLD/24	-2,38		Y-	SLD/24	-2,78
49		SLD/1	-3,78	50		SLD/1	-3,03	51		SLD/1	-2,22	52		SLD/1	-3,03
		SLD/2	-3,80			SLD/2	-3,05			SLD/2	-2,23			SLD/2	-3,04
	X+	SLD/3	-2,71		X+	SLD/6	-2,09		X+	SLD/6	-1,51		X+	SLD/6	-2,12
	X-	SLD/12	-2,68		X-	SLD/13	-2,34		X-	SLD/13	-1,74		X-	SLD/13	-2,30
	Y+	SLD/19	-2,78		Y+	SLD/29	-2,45		Y+	SLD/29	-1,81		Y+	SLD/29	-2,43
	Y-	SLD/25	-2,56		Y-	SLD/31	-1,89		Y-	SLD/31	-1,38		Y-	SLD/31	-1,89
53		SLD/1	-3,02	54		SLD/1	-3,03	55		SLD/1	-3,03	56		SLD/1	-3,03
		SLD/2	-3,04			SLD/2	-3,04			SLD/2	-3,04			SLD/2	-3,04
	X+	SLD/6	-2,14		X+	SLD/6	-2,16		X+	SLD/6	-2,19		X+	SLD/3	-2,22
	X-	SLD/13	-2,27		X-	SLD/13	-2,24		X-	SLD/13	-2,22		X-	SLD/12	-2,19
	Y+	SLD/29	-2,41		Y+	SLD/29	-2,39		Y+	SLD/29	-2,38		Y+	SLD/19	-2,38
	Y-	SLD/31	-1,88		Y-	SLD/31	-1,88		Y-	SLD/31	-1,88		Y-	SLD/25	-1,88
57		SLD/1	-3,78	58		SLD/1	-3,03	59		SLD/1	-3,02	60		SLD/1	-3,79
		SLD/2	-3,80			SLD/2	-3,04			SLD/2	-3,04			SLD/2	-3,81
	X+	SLD/8	-2,75		X+	SLD/8	-2,24		X+	SLD/8	-2,27		X+	SLD/8	-2,79
	X-	SLD/15	-2,65		X-	SLD/15	-2,16		X-	SLD/15	-2,14		X-	SLD/15	-2,62
	Y+	SLD/22	-2,57		Y+	SLD/22	-1,88		Y+	SLD/22	-1,88		Y+	SLD/22	-2,58
	Y-	SLD/24	-2,79		Y-	SLD/24	-2,39		Y-	SLD/24	-2,41		Y-	SLD/24	-2,81
61		SLD/1	-3,78	62		SLD/1	-3,03	63		SLD/1	-3,81	64		SLD/1	-3,81
		SLD/2	-3,80			SLD/2	-3,04			SLD/2	-3,83			SLD/2	-3,83
	X+	SLD/3	-2,75		X+	SLD/8	-2,30		X+	SLD/8	-2,83		X+	SLD/3	-2,83
	X-	SLD/12	-2,65		X-	SLD/15	-2,12		X-	SLD/15	-2,60		X-	SLD/12	-2,60
	Y+	SLD/19	-2,79		Y+	SLD/22	-1,89		Y+	SLD/22	-2,60		Y+	SLD/19	-2,83
	Y-	SLD/25	-2,57		Y-	SLD/24	-2,43		Y-	SLD/24	-2,83		Y-	SLD/25	-2,60
65		SLD/1	-3,79	66		SLD/1	-3,03	67		SLD/1	-3,85	68		SLD/1	-3,26
		SLD/2	-3,81			SLD/2	-3,05			SLD/2	-3,87			SLD/2	-3,27
	X+	SLD/3	-2,79		X+	SLD/8	-2,34		X+	SLD/8	-2,90		X+	SLD/8	-2,49
	X-	SLD/12	-2,62		X-	SLD/15	-2,09		X-	SLD/15	-2,59		X-	SLD/15	-2,16
	Y+	SLD/19	-2,81		Y+	SLD/22	-1,89		Y+	SLD/22	-2,63		Y+	SLD/22	-2,23
	Y-	SLD/25	-2,58		Y-	SLD/24	-2,45		Y-	SLD/24	-2,88		Y-	SLD/24	-2,45
69		SLD/1	-2,22	70		SLD/1	-2,93	71		SLD/1	-3,85	72		SLD/1	-3,03

RISULTANTI SOLLECITAZIONI NODI PLATEE - SLD

Nod3d N.ro	Combinazione N.ro		Fz (t)	Nod3d N.ro	Combinazione N.ro		Fz (t)	Nod3d N.ro	Combinazione N.ro		Fz (t)	Nod3d N.ro	Combinazione N.ro		Fz (t)
		SLD/2	-2,23			SLD/2	-2,94			SLD/2	-3,87			SLD/2	-3,04
	X+	SLD/8	-1,74		X+	SLD/3	-2,23		X+	SLD/3	-2,90		X+	SLD/3	-2,24
	X-	SLD/15	-1,51		X-	SLD/12	-1,94		X-	SLD/12	-2,59		X-	SLD/12	-2,16
	Y+	SLD/22	-1,38		Y+	SLD/19	-2,20		Y+	SLD/19	-2,88		Y+	SLD/19	-2,39
	Y-	SLD/24	-1,81		Y-	SLD/25	-2,01		Y-	SLD/25	-2,63		Y-	SLD/25	-1,88
73		SLD/1	-3,02	74		SLD/1	-3,03	75		SLD/1	-3,03	76		SLD/1	-2,22
		SLD/2	-3,04			SLD/2	-3,04			SLD/2	-3,05			SLD/2	-2,23
	X+	SLD/3	-2,27		X+	SLD/3	-2,30		X+	SLD/3	-2,34		X+	SLD/3	-1,74
	X-	SLD/12	-2,14		X-	SLD/12	-2,12		X-	SLD/12	-2,09		X-	SLD/12	-1,51
	Y+	SLD/19	-2,41		Y+	SLD/19	-2,43		Y+	SLD/19	-2,45		Y+	SLD/19	-1,81
	Y-	SLD/25	-1,88		Y-	SLD/25	-1,89		Y-	SLD/25	-1,89		Y-	SLD/25	-1,38
77		SLD/1	-1,09	78		SLD/1	-1,08	79		SLD/1	-1,11	80		SLD/1	-1,10
		SLD/2	-1,10			SLD/2	-1,08			SLD/2	-1,12			SLD/2	-1,11
	X+	SLD/9	-0,77		X+	SLD/9	-0,76		X+	SLD/9	-0,80		X+	SLD/9	-0,79
	X-	SLD/18	-0,86		X-	SLD/18	-0,86		X-	SLD/18	-0,85		X-	SLD/18	-0,86
	Y+	SLD/28	-0,62		Y+	SLD/28	-0,60		Y+	SLD/28	-0,63		Y+	SLD/28	-0,62
	Y-	SLD/34	-0,95		Y-	SLD/34	-0,95		Y-	SLD/34	-0,94		Y-	SLD/34	-0,94
81		SLD/1	-1,11	82		SLD/1	-1,11	83		SLD/1	-1,09	84		SLD/1	-1,08
		SLD/2	-1,12			SLD/2	-1,12			SLD/2	-1,10			SLD/2	-1,08
	X+	SLD/9	-0,82		X+	SLD/9	-0,81		X+	SLD/6	-0,77		X+	SLD/6	-0,76
	X-	SLD/18	-0,83		X-	SLD/18	-0,84		X-	SLD/13	-0,86		X-	SLD/13	-0,86
	Y+	SLD/28	-0,63		Y+	SLD/28	-0,63		Y+	SLD/29	-0,95		Y+	SLD/29	-0,95
	Y-	SLD/34	-0,93		Y-	SLD/34	-0,94		Y-	SLD/31	-0,62		Y-	SLD/31	-0,60
85		SLD/1	-1,10	86		SLD/1	-1,11	87		SLD/1	-1,11	88		SLD/1	-1,11
		SLD/2	-1,11			SLD/2	-1,12			SLD/2	-1,12			SLD/2	-1,12
	X+	SLD/6	-0,79		X+	SLD/6	-0,80		X+	SLD/6	-0,82		X+	SLD/6	-0,81
	X-	SLD/13	-0,86		X-	SLD/13	-0,85		X-	SLD/13	-0,83		X-	SLD/13	-0,84
	Y+	SLD/29	-0,94		Y+	SLD/29	-0,94		Y+	SLD/29	-0,93		Y+	SLD/29	-0,94
	Y-	SLD/31	-0,62		Y-	SLD/31	-0,63		Y-	SLD/31	-0,63		Y-	SLD/31	-0,63
89		SLD/1	-1,10	90		SLD/1	-1,11	91		SLD/1	-1,08	92		SLD/1	-1,09
		SLD/2	-1,11			SLD/2	-1,12			SLD/2	-1,08			SLD/2	-1,10
	X+	SLD/8	-0,86		X+	SLD/8	-0,85		X+	SLD/8	-0,86		X+	SLD/8	-0,86
	X-	SLD/15	-0,79		X-	SLD/15	-0,80		X-	SLD/15	-0,76		X-	SLD/15	-0,77
	Y+	SLD/22	-0,62		Y+	SLD/22	-0,63		Y+	SLD/22	-0,60		Y+	SLD/22	-0,62
	Y-	SLD/24	-0,94		Y-	SLD/24	-0,94		Y-	SLD/24	-0,95		Y-	SLD/24	-0,95
93		SLD/1	-1,11	94		SLD/1	-1,11	95		SLD/1	-1,11	96		SLD/1	-1,10
		SLD/2	-1,12			SLD/2	-1,12			SLD/2	-1,12			SLD/2	-1,11
	X+	SLD/3	-0,84		X+	SLD/3	-0,83		X+	SLD/3	-0,85		X+	SLD/3	-0,86
	X-	SLD/12	-0,81		X-	SLD/12	-0,82		X-	SLD/12	-0,80		X-	SLD/12	-0,79
	Y+	SLD/19	-0,94		Y+	SLD/19	-0,93		Y+	SLD/19	-0,94		Y+	SLD/19	-0,94
	Y-	SLD/25	-0,63		Y-	SLD/25	-0,63		Y-	SLD/25	-0,63		Y-	SLD/25	-0,62
97		SLD/1	-1,09	98		SLD/1	-1,08	99		SLD/1	-1,11	100		SLD/1	-1,11
		SLD/2	-1,10			SLD/2	-1,08			SLD/2	-1,12			SLD/2	-1,12
	X+	SLD/3	-0,86		X+	SLD/3	-0,86		X+	SLD/8	-0,83		X+	SLD/8	-0,84
	X-	SLD/12	-0,77		X-	SLD/12	-0,76		X-	SLD/15	-0,82		X-	SLD/15	-0,81
	Y+	SLD/19	-0,95		Y+	SLD/19	-0,95		Y+	SLD/22	-0,63		Y+	SLD/22	-0,63
	Y-	SLD/25	-0,62		Y-	SLD/25	-0,60		Y-	SLD/24	-0,93		Y-	SLD/24	-0,94
101		SLD/1	-0,99	102		SLD/1	-0,82	103		SLD/1	-0,82	104		SLD/1	-0,99
		SLD/2	-0,99			SLD/2	-0,83			SLD/2	-0,83			SLD/2	-0,99
	X+	SLD/9	-0,66		X+	SLD/9	-0,54		X+	SLD/6	-0,54		X+	SLD/6	-0,66
	X-	SLD/18	-0,78		X-	SLD/18	-0,63		X-	SLD/13	-0,63		X-	SLD/13	-0,78
	Y+	SLD/28	-0,61		Y+	SLD/28	-0,56		Y+	SLD/29	-0,62		Y+	SLD/29	-0,81
	Y-	SLD/34	-0,81		Y-	SLD/34	-0,62		Y-	SLD/31	-0,56		Y-	SLD/31	-0,61
105		SLD/1	-0,99	106		SLD/1	-0,99	107		SLD/1	-0,99	108		SLD/1	-0,82
		SLD/2	-0,99			SLD/2	-0,99			SLD/2	-0,99			SLD/2	-0,83
	X+	SLD/8	-0,78		X+	SLD/8	-0,76		X+	SLD/3	-0,76		X+	SLD/3	-0,65
	X-	SLD/15	-0,66		X-	SLD/15	-0,64		X-	SLD/12	-0,64		X-	SLD/12	-0,55
	Y+	SLD/22	-0,61		Y+	SLD/22	-0,68		Y+	SLD/19	-0,74		Y+	SLD/19	-0,68
	Y-	SLD/24	-0,81		Y-	SLD/24	-0,74		Y-	SLD/25	-0,68		Y-	SLD/25	-0,51

PARAMETRI GEOTECNICI PIASTRE WINKLER - S.L.U.

IDENTIFICATIVO				CONDIZIONE DRENATA							NON DRENATA	
Piast N.ro	Infiss m	Tipo Tabel	Gamma kg/mc	Fi' Grd	C' kg/cmq	Mod.El kg/cmq	Poiss on	P base kg/cmq	Indice Rigid.	IndRig Crit.	Cu kg/cmq	P base kg/cmq
1	0,40	M1	1900	26,00	0,15	40,00	0,20	0,08	74,11	47,84		
2	0,40	M1	1900	26,00	0,15	40,00	0,20	0,08	73,73	47,84		
3	0,40	M1	1900	26,00	0,15	40,00	0,20	0,08	73,01	47,84		
4	0,40	M1	1900	26,00	0,15	40,00	0,20	0,08	73,73	47,84		
5	0,40	M1	1900	26,00	0,15	40,00	0,20	0,08	80,04	47,84		
6	0,40	M1	1900	26,00	0,15	40,00	0,20	0,08	80,04	47,84		

PARAMETRI GEOTECNICI PIASTRE WINKLER - S.L.U.												
IDENTIFICATIVO				CONDIZIONE DRENATA							NON DRENATA	
Piast N.ro	Infiss m	Tipo Tabel	Gamma kg/mc	Fi' Grd	C' kg/cmq	Mod.El kg/cmq	Poiss on	P base kg/cmq	Indice Rigid.	IndRig Crit.	Cu kg/cmq	P base kg/cmq
7	0,40	M1	1900	26,00	0,15	40,00	0,20	0,08	80,91	47,84		
8	0,40	M1	1900	26,00	0,15	40,00	0,20	0,08	80,04	47,84		
9	0,40	M1	1900	26,00	0,15	40,00	0,20	0,08	72,02	47,84		
10	0,40	M1	1900	26,00	0,15	40,00	0,20	0,08	72,02	47,84		
11	0,40	M1	1900	26,00	0,15	40,00	0,20	0,08	72,02	47,84		
12	0,40	M1	1900	26,00	0,15	40,00	0,20	0,08	72,02	47,84		
13	0,40	M1	1900	26,00	0,15	40,00	0,20	0,08	72,02	47,84		
14	0,40	M1	1900	26,00	0,15	40,00	0,20	0,08	72,02	47,84		
15	0,40	M1	1900	26,00	0,15	40,00	0,20	0,08	72,02	47,84		
16	0,40	M1	1900	26,00	0,15	40,00	0,20	0,08	72,02	47,84		
17	0,40	M1	1900	26,00	0,15	40,00	0,20	0,08	72,02	47,84		
18	0,40	M1	1900	26,00	0,15	40,00	0,20	0,08	72,02	47,84		
19	0,40	M1	1900	26,00	0,15	40,00	0,20	0,08	76,30	47,84		
20	0,40	M1	1900	26,00	0,15	40,00	0,20	0,08	76,30	47,84		
21	0,40	M1	1900	26,00	0,15	40,00	0,20	0,08	75,82	47,84		
22	0,40	M1	1900	26,00	0,15	40,00	0,20	0,08	75,82	47,84		
23	0,40	M1	1900	26,00	0,15	40,00	0,20	0,08	74,92	47,84		
24	0,40	M1	1900	26,00	0,15	40,00	0,20	0,08	76,30	47,84		
25	0,40	M1	1900	26,00	0,15	40,00	0,20	0,08	74,30	47,84		
26	0,40	M1	1900	26,00	0,15	40,00	0,20	0,08	73,18	47,84		
27	0,40	M1	1900	26,00	0,15	40,00	0,20	0,08	71,41	47,84		
28	0,40	M1	1900	26,00	0,15	40,00	0,20	0,08	73,36	47,84		
29	0,40	M1	1900	26,00	0,15	40,00	0,20	0,08	71,41	47,84		
30	0,40	M1	1900	26,00	0,15	40,00	0,20	0,08	73,36	47,84		
31	0,40	M1	1900	26,00	0,15	40,00	0,20	0,08	73,18	47,84		
32	0,40	M1	1900	26,00	0,15	40,00	0,20	0,08	71,41	47,84		
33	0,40	M1	1900	26,00	0,15	40,00	0,20	0,08	71,41	47,84		
34	0,40	M1	1900	26,00	0,15	40,00	0,20	0,08	73,18	47,84		
35	0,40	M1	1900	26,00	0,15	40,00	0,20	0,08	73,18	47,84		
36	0,40	M1	1900	26,00	0,15	40,00	0,20	0,08	71,41	47,84		
37	0,40	M1	1900	26,00	0,15	40,00	0,20	0,08	71,41	47,84		
38	0,40	M1	1900	26,00	0,15	40,00	0,20	0,08	71,41	47,84		
39	0,40	M1	1900	26,00	0,15	40,00	0,20	0,08	73,18	47,84		
40	0,40	M1	1900	26,00	0,15	40,00	0,20	0,08	71,41	47,84		

PARAMETRI GEOTECNICI PIASTRE WINKLER - S.L.U.												
IDENTIFICATIVO				CONDIZIONE DRENATA							NON DRENATA	
Piast N.ro	Infiss m	Tipo Tabel	Gamma kg/mc	Fi' Grd	C' kg/cmq	Mod.El kg/cmq	Poiss on	P base kg/cmq	Indice Rigid.	IndRig Crit.	Cu kg/cmq	P base kg/cmq
41	0,40	M1	1900	26,00	0,15	40,00	0,20	0,08	71,41	47,84		
42	0,40	M1	1900	26,00	0,15	40,00	0,20	0,08	71,41	47,84		
43	0,40	M1	1900	26,00	0,15	40,00	0,20	0,08	73,18	47,84		
44	0,40	M1	1900	26,00	0,15	40,00	0,20	0,08	71,41	47,84		
45	0,40	M1	1900	26,00	0,15	40,00	0,20	0,08	71,41	47,84		
46	0,40	M1	1900	26,00	0,15	40,00	0,20	0,08	73,18	47,84		
47	0,40	M1	1900	26,00	0,15	40,00	0,20	0,08	75,14	47,84		
48	0,40	M1	1900	26,00	0,15	40,00	0,20	0,08	73,18	47,84		
49	0,40	M1	1900	26,00	0,15	40,00	0,20	0,08	73,18	47,84		
50	0,40	M1	1900	26,00	0,15	40,00	0,20	0,08	73,18	47,84		
51	0,40	M1	1900	26,00	0,15	40,00	0,20	0,08	73,18	47,84		
52	0,40	M1	1900	26,00	0,15	40,00	0,20	0,08	73,18	47,84		
53	0,40	M1	1900	26,00	0,15	40,00	0,20	0,08	71,41	47,84		
54	0,40	M1	1900	26,00	0,15	40,00	0,20	0,08	73,18	47,84		
55	0,40	M1	1900	26,00	0,15	40,00	0,20	0,08	73,18	47,84		
56	0,40	M1	1900	26,00	0,15	40,00	0,20	0,08	71,41	47,84		
57	0,40	M1	1900	26,00	0,15	40,00	0,20	0,08	71,41	47,84		
58	0,40	M1	1900	26,00	0,15	40,00	0,20	0,08	73,18	47,84		
59	0,40	M1	1900	26,00	0,15	40,00	0,20	0,08	71,41	47,84		
60	0,40	M1	1900	26,00	0,15	40,00	0,20	0,08	71,41	47,84		
61	0,40	M1	1900	26,00	0,15	40,00	0,20	0,08	71,41	47,84		
62	0,40	M1	1900	26,00	0,15	40,00	0,20	0,08	73,18	47,84		
63	0,40	M1	1900	26,00	0,15	40,00	0,20	0,08	71,41	47,84		
64	0,40	M1	1900	26,00	0,15	40,00	0,20	0,08	72,66	47,84		
65	0,40	M1	1900	26,00	0,15	40,00	0,20	0,08	75,14	47,84		
66	0,40	M1	1900	26,00	0,15	40,00	0,20	0,08	73,36	47,84		
67	0,40	M1	1900	26,00	0,15	40,00	0,20	0,08	71,41	47,84		
68	0,40	M1	1900	26,00	0,15	40,00	0,20	0,08	73,18	47,84		
69	0,40	M1	1900	26,00	0,15	40,00	0,20	0,08	73,18	47,84		
70	0,40	M1	1900	26,00	0,15	40,00	0,20	0,08	73,18	47,84		
71	0,40	M1	1900	26,00	0,15	40,00	0,20	0,08	73,18	47,84		
72	0,40	M1	1900	26,00	0,15	40,00	0,20	0,08	75,14	47,84		
73	0,40	M1	1900	26,00	0,15	40,00	0,20	0,08	78,92	47,84		
74	0,40	M1	1900	26,00	0,15	40,00	0,20	0,08	78,92	47,84		

PARAMETRI GEOTECNICI PIASTRE WINKLER - S.L.U.

IDENTIFICATIVO				CONDIZIONE DRENATA							NON DRENATA	
Piast N.ro	Infiss m	Tipo Tabel	Gamma kg/mc	Fi' Grd	C' kg/cmq	Mod.El kg/cmq	Poiss on	P base kg/cmq	Indice Rigid.	IndRig Crit.	Cu kg/cmq	P base kg/cmq
75	0,40	M1	1900	26,00	0,15	40,00	0,20	0,08	78,92	47,84		
76	0,40	M1	1900	26,00	0,15	40,00	0,20	0,08	78,92	47,84		
77	0,40	M1	1900	26,00	0,15	40,00	0,20	0,08	78,92	47,84		
78	0,40	M1	1900	26,00	0,15	40,00	0,20	0,08	78,92	47,84		
79	0,40	M1	1900	26,00	0,15	40,00	0,20	0,08	78,92	47,84		
80	0,40	M1	1900	26,00	0,15	40,00	0,20	0,08	78,92	47,84		
81	0,40	M1	1900	26,00	0,15	40,00	0,20	0,08	78,92	47,84		
82	0,40	M1	1900	26,00	0,15	40,00	0,20	0,08	78,92	47,84		
83	0,40	M1	1900	26,00	0,15	40,00	0,20	0,08	78,92	47,84		
84	0,40	M1	1900	26,00	0,15	40,00	0,20	0,08	78,92	47,84		
85	0,40	M1	1900	26,00	0,15	40,00	0,20	0,08	78,92	47,84		
86	0,40	M1	1900	26,00	0,15	40,00	0,20	0,08	78,92	47,84		
87	0,40	M1	1900	26,00	0,15	40,00	0,20	0,08	78,92	47,84		
88	0,40	M1	1900	26,00	0,15	40,00	0,20	0,08	78,92	47,84		
89	0,40	M1	1900	26,00	0,15	40,00	0,20	0,08	78,92	47,84		
90	0,40	M1	1900	26,00	0,15	40,00	0,20	0,08	78,92	47,84		
91	0,40	M1	1900	26,00	0,15	40,00	0,20	0,08	78,92	47,84		
92	0,40	M1	1900	26,00	0,15	40,00	0,20	0,08	78,92	47,84		
93	0,40	M1	1900	26,00	0,15	40,00	0,20	0,08	78,92	47,84		
94	0,40	M1	1900	26,00	0,15	40,00	0,20	0,08	78,92	47,84		
95	0,40	M1	1900	26,00	0,15	40,00	0,20	0,08	78,92	47,84		
96	0,40	M1	1900	26,00	0,15	40,00	0,20	0,08	78,92	47,84		
97	0,40	M1	1900	26,00	0,15	40,00	0,20	0,08	79,28	47,84		
98	0,40	M1	1900	26,00	0,15	40,00	0,20	0,08	80,04	47,84		
99	0,40	M1	1900	26,00	0,15	40,00	0,20	0,08	80,04	47,84		
100	0,40	M1	1900	26,00	0,15	40,00	0,20	0,08	79,28	47,84		
101	0,40	M1	1900	26,00	0,15	40,00	0,20	0,08	79,28	47,84		
102	0,40	M1	1900	26,00	0,15	40,00	0,20	0,08	79,28	47,84		
103	0,40	M1	1900	26,00	0,15	40,00	0,20	0,08	79,28	47,84		
104	0,40	M1	1900	26,00	0,15	40,00	0,20	0,08	80,04	47,84		

COEFFICIENTI DI PORTANZA PIASTRE WINKLER - CONDIZIONI DRENATE - S.L.U.

Piast	Brinch Hansen			IclTe	Incl.PianoPosa			Comb		Igk	CoeffIncl.Car.			Affondamento			Forma			Punzonamento		
Nro	Nc	Nq	Ng	Gc=Gq	Bc	Bq	Bg		N.ro	Sism	IcV	IqV	IgV	Dc	Dq	Dg	Sc	Sq	Sg	Psic	Psiq	Psig
1	22,25	11,85	12,54	1,00	1,00	1,00	1,00		A1/1	1,00	1,00	1,00	1,00	1,16	1,15	1,00	1,53	1,49	0,60	1,00	1,00	1,00
									A1/2	1,00	1,00	1,00	1,00	1,16	1,15	1,00	1,53	1,49	0,60	1,00	1,00	1,00
								X+	A1/9	1,00	0,84	0,86	0,77	1,16	1,15	1,00	1,53	1,49	0,60	1,00	1,00	1,00
								X-	A1/18	1,00	0,82	0,84	0,74	1,16	1,15	1,00	1,53	1,49	0,60	1,00	1,00	1,00
								Y+	A1/28	1,00	0,86	0,88	0,80	1,16	1,15	1,00	1,53	1,49	0,60	1,00	1,00	1,00
								Y-	A1/34	1,00	0,81	0,83	0,73	1,16	1,15	1,00	1,53	1,49	0,60	1,00	1,00	1,00

COEFFICIENTI DI PORTANZA PIASTRE WINKLER - CONDIZIONI DRENATE - S.L.U.

Piast	Brinch Hansen			IclTe	Incl.PianoPosa			Comb		Igk	CoeffIncl.Car.			Affondamento			Forma			Punzonamento		
Nro	Nc	Nq	Ng	Gc=Gq	Bc	Bq	Bg		N.ro	Sism	IcV	IqV	IgV	Dc	Dq	Dg	Sc	Sq	Sg	Psic	Psiq	Psig
2	22,25	11,85	12,54	1,00	1,00	1,00	1,00		A1/1	1,00	1,00	1,00	1,00	1,16	1,15	1,00	1,53	1,49	0,60	1,00	1,00	1,00
									A1/2	1,00	1,00	1,00	1,00	1,16	1,15	1,00	1,53	1,49	0,60	1,00	1,00	1,00
								X+	A1/8	1,00	0,82	0,84	0,74	1,16	1,15	1,00	1,53	1,49	0,60	1,00	1,00	1,00
								X-	A1/15	1,00	0,84	0,86	0,77	1,16	1,15	1,00	1,53	1,49	0,60	1,00	1,00	1,00
								Y+	A1/22	1,00	0,86	0,88	0,80	1,16	1,15	1,00	1,53	1,49	0,60	1,00	1,00	1,00
								Y-	A1/24	1,00	0,81	0,83	0,73	1,16	1,15	1,00	1,53	1,49	0,60	1,00	1,00	1,00
3	22,25	11,85	12,54	1,00	1,00	1,00	1,00		A1/1	1,00	1,00	1,00	1,00	1,15	1,14	1,00	1,53	1,49	0,60	1,00	1,00	1,00
									A1/2	1,00	1,00	1,00	1,00	1,15	1,14	1,00	1,53	1,49	0,60	1,00	1,00	1,00
								X+	A1/3	1,00	0,82	0,84	0,74	1,15	1,14	1,00	1,53	1,49	0,60	1,00	1,00	1,00
								X-	A1/12	1,00	0,84	0,86	0,77	1,15	1,14	1,00	1,53	1,49	0,60	1,00	1,00	1,00
								Y+	A1/19	1,00	0,81	0,83	0,73	1,15	1,14	1,00	1,53	1,49	0,60	1,00	1,00	1,00
								Y-	A1/25	1,00	0,86	0,88	0,80	1,15	1,14	1,00	1,53	1,49	0,60	1,00	1,00	1,00
4	22,25	11,85	12,54	1,00	1,00	1,00	1,00		A1/1	1,00	1,00	1,00	1,00	1,16	1,15	1,00	1,53	1,49	0,60	1,00	1,00	1,00
									A1/2	1,00	1,00	1,00	1,00	1,16	1,15	1,00	1,53	1,49	0,60	1,00	1,00	1,00
								X+	A1/6	1,00	0,84	0,86	0,77	1,16	1,15	1,00	1,53	1,49	0,60	1,00	1,00	1,00
								X-	A1/13	1,00	0,82	0,84	0,74	1,16	1,15	1,00	1,53	1,49	0,60	1,00	1,00	1,00
								Y+	A1/29	1,00	0,81	0,83	0,73	1,16	1,15	1,00	1,53	1,49	0,60	1,00	1,00	1,00
								Y-	A1/31	1,00	0,86	0,88	0,80	1,16	1,15	1,00	1,53	1,49	0,60	1,00	1,00	1,00
5	22,25	11,85	12,54	1,00	1,00	1,00	1,00		A1/1	1,00	1,00	1,00	1,00	1,29	1,27	1,00	1,53	1,49	0,60	1,00	1,00	1,00
									A1/2	1,00	1,00	1,00	1,00	1,29	1,27	1,00	1,53	1,49	0,60	1,00	1,00	1,00
								X+	A1/9	1,00	0,84	0,86	0,77	1,29	1,27	1,00	1,53	1,49	0,60	1,00	1,00	1,00
								X-	A1/18	1,00	0,82	0,84	0,74	1,29	1,27	1,00	1,53	1,49	0,60	1,00	1,00	1,00
								Y+	A1/28	1,00	0,87	0,88	0,81	1,29	1,27	1,00	1,53	1,49	0,60	1,00	1,00	1,00
								Y-	A1/34	1,00	0,80	0,82	0,72	1,29	1,27	1,00	1,53	1,49	0,60	1,00	1,00	1,00
6	22,25	11,85	12,54	1,00	1,00	1,00	1,00		A1/1	1,00	1,00	1,00	1,00	1,29	1,27	1,00	1,53	1,49	0,60	1,00	1,00	1,00
									A1/2	1,00	1,00	1,00	1,00	1,29	1,27	1,00	1,53	1,49	0,60	1,00	1,00	1,00
								X+	A1/8	1,00	0,82	0,84	0,74	1,29	1,27	1,00	1,53	1,49	0,60	1,00	1,00	1,00
								X-	A1/15	1,00	0,84	0,86	0,77	1,29	1,27	1,00	1,53	1,49	0,60	1,00	1,00	1,00
								Y+	A1/22	1,00	0,87	0,88	0,81	1,29	1,27	1,00	1,53	1,49	0,60	1,00	1,00	1,00
								Y-	A1/24	1,00	0,80	0,82	0,72	1,29	1,27	1,00	1,53	1,49	0,60	1,00	1,00	1,00
7	22,25	11,85	12,54	1,00	1,00	1,00	1,00		A1/1	1,00	1,00	1,00	1,00	1,33	1,30	1,00	1,53	1,49	0,60	1,00	1,00	1,00
									A1/2	1,00	1,00	1,00	1,00	1,33	1,30	1,00	1,53	1,49	0,60	1,00	1,00	1,00
								X+	A1/3	1,00	0,82	0,84	0,74	1,33	1,30	1,00	1,53	1,49	0,60	1,00	1,00	1,00
								X-	A1/12	1,00	0,84	0,86	0,77	1,33	1,30	1,00	1,53	1,49	0,60	1,00	1,00	1,00
								Y+	A1/19	1,00	0,80	0,82	0,72	1,33	1,30	1,00	1,53	1,49	0,60	1,00	1,00	1,00
								Y-	A1/25	1,00	0,87	0,88	0,81	1,33	1,30	1,00	1,53	1,49	0,60	1,00	1,00	1,00
8	22,25	11,85	12,54	1,00	1,00	1,00	1,00		A1/1	1,00	1,00	1,00	1,00	1,29	1,27	1,00	1,53	1,49	0,60	1,00	1,00	1,00
									A1/2	1,00	1,00	1,00	1,00	1,29	1,27	1,00	1,53	1,49	0,60	1,00	1,00	1,00
								X+	A1/6	1,00	0,84	0,86	0,77	1,29	1,27	1,00	1,53	1,49	0,60	1,00	1,00	1,00
								X-	A1/13	1,00	0,82	0,84	0,74	1,29	1,27	1,00	1,53	1,49	0,60	1,00	1,00	1,00
								Y+	A1/29	1,00	0,80	0,82	0,72	1,29	1,27	1,00	1,53	1,49	0,60	1,00	1,00	1,00
								Y-	A1/31	1,00	0,87	0,88	0,81	1,29	1,27	1,00	1,53	1,49	0,60	1,00	1,00	1,00
9	22,25	11,85	12,54	1,00	1,00	1,00	1,00		A1/1	1,00	1,00	1,00	1,00	1,14	1,13	1,00	1,53	1,49	0,60	1,00	1,00	1,00
									A1/2	1,00	1,00	1,00	1,00	1,14	1,13	1,00	1,53	1,49	0,60	1,00	1,00	1,00
								X+	A1/9	1,00	0,84	0,85	0,77	1,14	1,13	1,00	1,53	1,49	0,60	1,00	1,00	1,00
								X-	A1/18	1,00	0,83	0,84	0,75	1,14	1,13	1,00	1,53	1,49	0,60	1,00	1,00	1,00
								Y+	A1/28	1,00	0,86	0,87	0,80	1,14	1,13	1,00	1,53	1,49	0,60	1,00	1,00	1,00
								Y-	A1/34	1,00	0,81	0,83	0,73	1,14	1,13	1,00	1,53	1,49	0,60	1,00	1,00	1,00
10	22,25	11,85	12,54	1,00	1,00	1,00	1,00		A1/1	1,00	1,00	1,00	1,00	1,14	1,13	1,00	1,53	1,49	0,60	1,00	1,00	1,00
									A1/2	1,00	1,00	1,00	1,00	1,14	1,13	1,00	1,53	1,49	0,60	1,00	1,00	1,00
								X+	A1/9	1,00	0,84	0,85	0,76	1,14	1,13	1,00	1,53	1,49	0,60	1,00	1,00	1,00
								X-	A1/18	1,00	0,83	0,84	0,75	1,14	1,13	1,00	1,53	1,49	0,60	1,00	1,00	1,00
								Y+	A1/28	1,00	0,86	0,87	0,80	1,14	1,13	1,00	1,53	1,49	0,60	1,00	1,00	1,00
								Y-	A1/34	1,00	0,81	0,83	0,73	1,14	1,13	1,00	1,53	1,49	0,60	1,00	1,00	1,00
11	22,25	11,85	12,54	1,00	1,00	1,00	1,00		A1/1	1,00	1,00	1,00	1,00	1,14	1,13	1,00	1,53	1,49	0,60	1,00	1,00	1,00
									A1/2	1,00	1,00	1,00	1,00	1,14	1,13	1,00	1,53	1,49	0,60	1,00	1,00	1,00
								X+	A1/9	1,00	0,83	0,85	0,76	1,14	1,13	1,00	1,53	1,49	0,60	1,00	1,00	1,00
								X-	A1/18	1,00	0,83	0,85	0,76	1,14	1,13	1,00	1,53	1,49	0,60	1,00	1,00	1,00
								Y+	A1/19	1,00	0,86	0,87	0,80	1,14	1,13	1,00	1,53	1,49	0,60	1,00	1,00	1,00
								Y-	A1/25	1,00	0,81	0,83	0,73	1,14	1,13	1,00	1,53	1,49	0,60	1,00	1,00	1,00
12	22,25	11,85	12,54	1,00	1,00	1,00	1,00		A1/1	1,00	1,00	1,00	1,00	1,14	1,13	1,00	1,53	1,49	0,60	1,00	1,00	1,00
									A1/2	1,00	1,00	1,00	1,00	1,14	1,13	1,00	1,53	1,49	0,60	1,00	1,00	1,00
								X+	A1/8	1,00	0,83	0,84	0,75	1,14	1,13	1,00	1,53	1,49	0,60	1,00	1,00	1,00
								X-	A1/15	1,00	0,84	0,85	0,76	1,14	1,13	1,00	1,53	1,49	0,60	1,00	1,00	1,00
								Y+	A1/22	1,00	0,86	0,87	0,80	1,14	1,13	1,00	1,53	1,49	0,60	1,00	1,00	1,00
								Y-	A1/24	1,00	0,81	0,83	0,73	1,14	1,13	1,00	1,53	1,49	0,60	1,00	1,00	1,00
13	22,25	11,85	12,54	1,00	1,00	1,00	1,00		A1/1	1,00	1,00	1,00	1,00	1,14	1,13	1,00	1,53	1,49	0,60	1,00	1,00	1,00
									A1/2	1,00	1,00	1,00	1,00	1,14	1,13	1,00	1,53	1,49	0,60	1,00	1,00	1,00
								X+	A1/8	1,00	0,83	0,84	0,75	1,14	1,13	1,00	1,53	1,49	0,60	1,00	1,00	1,00
								X-	A1/15	1,00	0,84	0,85	0,77	1,14	1,13	1,00	1,53	1,49	0,60	1,00	1,00	1,00
								Y+	A1/22	1,00	0,86	0,87	0,80	1,14	1,13	1,00	1,53	1,49	0,60	1,00	1,00	1,00
								Y-	A1/24	1,00	0,81	0,83	0,73	1,14	1,13	1,00	1,53	1,49	0,60	1,00	1,00	1,00
14	22,25	11,85	12,54	1,00	1,00	1,00	1,00		A1/1	1,00	1,00	1,00	1,00	1,14	1,13	1,00	1,53	1,49	0,60	1,00	1,00	1,00
									A1/2	1,00	1,00	1,00	1,00	1,14	1,13	1,00	1,53	1,49	0,60	1,00	1,00	1,00
								X+	A1/3	1,00	0,83	0,84	0,75	1,14	1,13	1,00	1,53	1,49	0,60	1,00	1,00	1,00
								X-	A1/12	1,00	0,84	0,85	0,77	1,14	1,13	1,00	1,53	1,49	0,60	1,00	1,00	1,00
								Y+	A1/19	1,00	0,81	0,83	0,73	1,14	1,13	1,00	1,53	1,49	0,60	1,00	1,00	1,00
								Y-	A1/25	1,00	0,86	0,87	0,80	1,14	1,13	1,00	1,53	1,49	0,60	1,00	1,00	1,00
15	22,25	11,85	12,54	1,00	1,00	1,00	1,00		A1/1	1,00	1,00	1,00	1,00	1,14	1,13	1,00	1,53	1,49	0,60	1,00	1,00	1,00
									A1/2	1,00	1,00	1,00	1,00	1,14	1,13	1,00	1,53	1,49	0,60	1,00	1,00	1,00
								X+	A1/3	1,00	0,83	0,84	0,75	1,14	1,13	1,00	1,53	1,49	0,60	1,00	1,00	1,00
								X-	A1/12	1,00	0,84	0,85	0,76	1,14	1,13	1,00	1,53	1,49	0,60	1,00	1,00	1,00
								Y+	A1/19	1,00	0,81	0,83	0,73	1,14	1,13	1,00	1,53	1,49	0,60	1,00	1,00	1,00
								Y-	A1/25	1,00	0,86	0,87	0,80	1,14	1,13	1,00	1,53	1,49	0,60	1,00	1,00	1,00

COEFFICIENTI DI PORTANZA PIASTRE WINKLER - CONDIZIONI DRENATE - S.L.U.

Piast	Brinch Hansen			IclTe	Incl.PianoPosa			Comb		Igk	CoeffIncl.Car.			Affondamento			Forma			Punzonamento		
Nro	Nc	Nq	Ng	Gc=Gq	Bc	Bq	Bg		N.ro	Sism	IcV	IqV	IgV	Dc	Dq	Dg	Sc	Sq	Sg	Psic	Psiq	Psig
16	22,25	11,85	12,54	1,00	1,00	1,00	1,00		A1/1	1,00	1,00	1,00	1,00	1,14	1,13	1,00	1,53	1,49	0,60	1,00	1,00	1,00
									A1/2	1,00	1,00	1,00	1,00	1,14	1,13	1,00	1,53	1,49	0,60	1,00	1,00	1,00
								X+	A1/3	1,00	0,83	0,85	0,76	1,14	1,13	1,00	1,53	1,49	0,60	1,00	1,00	1,00
								X-	A1/12	1,00	0,83	0,85	0,76	1,14	1,13	1,00	1,53	1,49	0,60	1,00	1,00	1,00
								Y+	A1/28	1,00	0,81	0,83	0,73	1,14	1,13	1,00	1,53	1,49	0,60	1,00	1,00	1,00
								Y-	A1/34	1,00	0,86	0,87	0,80	1,14	1,13	1,00	1,53	1,49	0,60	1,00	1,00	1,00
17	22,25	11,85	12,54	1,00	1,00	1,00	1,00		A1/1	1,00	1,00	1,00	1,00	1,14	1,13	1,00	1,53	1,49	0,60	1,00	1,00	1,00
									A1/2	1,00	1,00	1,00	1,00	1,14	1,13	1,00	1,53	1,49	0,60	1,00	1,00	1,00
								X+	A1/6	1,00	0,84	0,85	0,76	1,14	1,13	1,00	1,53	1,49	0,60	1,00	1,00	1,00
								X-	A1/13	1,00	0,83	0,84	0,75	1,14	1,13	1,00	1,53	1,49	0,60	1,00	1,00	1,00
								Y+	A1/29	1,00	0,81	0,83	0,73	1,14	1,13	1,00	1,53	1,49	0,60	1,00	1,00	1,00
								Y-	A1/31	1,00	0,86	0,87	0,80	1,14	1,13	1,00	1,53	1,49	0,60	1,00	1,00	1,00
18	22,25	11,85	12,54	1,00	1,00	1,00	1,00		A1/1	1,00	1,00	1,00	1,00	1,14	1,13	1,00	1,53	1,49	0,60	1,00	1,00	1,00
									A1/2	1,00	1,00	1,00	1,00	1,14	1,13	1,00	1,53	1,49	0,60	1,00	1,00	1,00
								X+	A1/6	1,00	0,84	0,85	0,77	1,14	1,13	1,00	1,53	1,49	0,60	1,00	1,00	1,00
								X-	A1/13	1,00	0,83	0,84	0,75	1,14	1,13	1,00	1,53	1,49	0,60	1,00	1,00	1,00
								Y+	A1/29	1,00	0,81	0,83	0,73	1,14	1,13	1,00	1,53	1,49	0,60	1,00	1,00	1,00
								Y-	A1/31	1,00	0,86	0,87	0,80	1,14	1,13	1,00	1,53	1,49	0,60	1,00	1,00	1,00
19	22,25	11,85	12,54	1,00	1,00	1,00	1,00		A1/1	1,00	1,00	1,00	1,00	1,20	1,18	1,00	1,53	1,49	0,60	1,00	1,00	1,00
									A1/2	1,00	1,00	1,00	1,00	1,20	1,18	1,00	1,53	1,49	0,60	1,00	1,00	1,00
								X+	A1/8	1,00	0,83	0,84	0,75	1,20	1,18	1,00	1,53	1,49	0,60	1,00	1,00	1,00
								X-	A1/15	1,00	0,85	0,86	0,78	1,20	1,18	1,00	1,53	1,49	0,60	1,00	1,00	1,00
								Y+	A1/22	1,00	0,85	0,86	0,78	1,20	1,18	1,00	1,53	1,49	0,60	1,00	1,00	1,00
								Y-	A1/24	1,00	0,82	0,84	0,74	1,20	1,18	1,00	1,53	1,49	0,60	1,00	1,00	1,00
20	22,25	11,85	12,54	1,00	1,00	1,00	1,00		A1/1	1,00	1,00	1,00	1,00	1,20	1,18	1,00	1,53	1,49	0,60	1,00	1,00	1,00
									A1/2	1,00	1,00	1,00	1,00	1,20	1,18	1,00	1,53	1,49	0,60	1,00	1,00	1,00
								X+	A1/6	1,00	0,83	0,84	0,75	1,20	1,18	1,00	1,53	1,49	0,60	1,00	1,00	1,00
								X-	A1/13	1,00	0,85	0,86	0,78	1,20	1,18	1,00	1,53	1,49	0,60	1,00	1,00	1,00
								Y+	A1/22	1,00	0,83	0,85	0,76	1,20	1,18	1,00	1,53	1,49	0,60	1,00	1,00	1,00
								Y-	A1/24	1,00	0,83	0,85	0,76	1,20	1,18	1,00	1,53	1,49	0,60	1,00	1,00	1,00
21	22,25	11,85	12,54	1,00	1,00	1,00	1,00		A1/1	1,00	1,00	1,00	1,00	1,19	1,17	1,00	1,53	1,49	0,60	1,00	1,00	1,00
									A1/2	1,00	1,00	1,00	1,00	1,19	1,17	1,00	1,53	1,49	0,60	1,00	1,00	1,00
								X+	A1/3	1,00	0,83	0,84	0,75	1,19	1,17	1,00	1,53	1,49	0,60	1,00	1,00	1,00
								X-	A1/12	1,00	0,85	0,86	0,78	1,19	1,17	1,00	1,53	1,49	0,60	1,00	1,00	1,00
								Y+	A1/19	1,00	0,82	0,84	0,74	1,19	1,17	1,00	1,53	1,49	0,60	1,00	1,00	1,00
								Y-	A1/25	1,00	0,85	0,86	0,78	1,19	1,17	1,00	1,53	1,49	0,60	1,00	1,00	1,00
22	22,25	11,85	12,54	1,00	1,00	1,00	1,00		A1/1	1,00	1,00	1,00	1,00	1,19	1,17	1,00	1,53	1,49	0,60	1,00	1,00	1,00
									A1/2	1,00	1,00	1,00	1,00	1,19	1,17	1,00	1,53	1,49	0,60	1,00	1,00	1,00
								X+	A1/6	1,00	0,85	0,86	0,78	1,19	1,17	1,00	1,53	1,49	0,60	1,00	1,00	1,00
								X-	A1/13	1,00	0,83	0,84	0,75	1,19	1,17	1,00	1,53	1,49	0,60	1,00	1,00	1,00
								Y+	A1/29	1,00	0,82	0,84	0,74	1,19	1,17	1,00	1,53	1,49	0,60	1,00	1,00	1,00
								Y-	A1/31	1,00	0,85	0,86	0,78	1,19	1,17	1,00	1,53	1,49	0,60	1,00	1,00	1,00
23	22,25	11,85	12,54	1,00	1,00	1,00	1,00		A1/1	1,00	1,00	1,00	1,00	1,18	1,16	1,00	1,53	1,49	0,60	1,00	1,00	1,00
									A1/2	1,00	1,00	1,00	1,00	1,18	1,16	1,00	1,53	1,49	0,60	1,00	1,00	1,00
								X+	A1/8	1,00	0,85	0,86	0,78	1,18	1,16	1,00	1,53	1,49	0,60	1,00	1,00	1,00
								X-	A1/15	1,00	0,83	0,84	0,75	1,18	1,16	1,00	1,53	1,49	0,60	1,00	1,00	1,00
								Y+	A1/29	1,00	0,83	0,85	0,76	1,18	1,16	1,00	1,53	1,49	0,60	1,00	1,00	1,00
								Y-	A1/31	1,00	0,83	0,85	0,76	1,18	1,16	1,00	1,53	1,49	0,60	1,00	1,00	1,00
24	22,25	11,85	12,54	1,00	1,00	1,00	1,00		A1/1	1,00	1,00	1,00	1,00	1,20	1,18	1,00	1,53	1,49	0,60	1,00	1,00	1,00
									A1/2	1,00	1,00	1,00	1,00	1,20	1,18	1,00	1,53	1,49	0,60	1,00	1,00	1,00
								X+	A1/9	1,00	0,85	0,86	0,78	1,20	1,18	1,00	1,53	1,49	0,60	1,00	1,00	1,00
								X-	A1/18	1,00	0,83	0,84	0,75	1,20	1,18	1,00	1,53	1,49	0,60	1,00	1,00	1,00
								Y+	A1/28	1,00	0,85	0,86	0,78	1,20	1,18	1,00	1,53	1,49	0,60	1,00	1,00	1,00
								Y-	A1/34	1,00	0,82	0,84	0,74	1,20	1,18	1,00	1,53	1,49	0,60	1,00	1,00	1,00
25	22,25	11,85	12,54	1,00	1,00	1,00	1,00		A1/1	1,00	1,00	1,00	1,00	1,17	1,15	1,00	1,53	1,49	0,60	1,00	1,00	1,00
									A1/2	1,00	1,00	1,00	1,00	1,17	1,15	1,00	1,53	1,49	0,60	1,00	1,00	1,00
								X+	A1/9	1,00	0,84	0,86	0,77	1,17	1,15	1,00	1,53	1,49	0,60	1,00	1,00	1,00
								X-	A1/18	1,00	0,83	0,84	0,75	1,17	1,15	1,00	1,53	1,49	0,60	1,00	1,00	1,00
								Y+	A1/28	1,00	0,86	0,87	0,79	1,17	1,15	1,00	1,53	1,49	0,60	1,00	1,00	1,00
								Y-	A1/34	1,00	0,82	0,83	0,73	1,17	1,15	1,00	1,53	1,49	0,60	1,00	1,00	1,00
26	22,25	11,85	12,54	1,00	1,00	1,00	1,00		A1/1	1,00	1,00	1,00	1,00	1,15	1,14	1,00	1,53	1,49	0,60	1,00	1,00	1,00
									A1/2	1,00	1,00	1,00	1,00	1,15	1,14	1,00	1,53	1,49	0,60	1,00	1,00	1,00
								X+	A1/9	1,00	0,84	0,86	0,77	1,15	1,14	1,00	1,53	1,49	0,60	1,00	1,00	1,00
								X-	A1/18	1,00	0,83	0,84	0,75	1,15	1,14	1,00	1,53	1,49	0,60	1,00	1,00	1,00
								Y+	A1/28	1,00	0,86	0,87	0,79	1,15	1,14	1,00	1,53	1,49	0,60	1,00	1,00	1,00
								Y-	A1/34	1,00	0,82	0,83	0,74	1,15	1,14	1,00	1,53	1,49	0,60	1,00	1,00	1,00
27	22,25	11,85	12,54	1,00	1,00	1,00	1,00		A1/1	1,00	1,00	1,00	1,00	1,13	1,12	1,00	1,53	1,49	0,60	1,00	1,00	1,00
									A1/2	1,00	1,00	1,00	1,00	1,13	1,12	1,00	1,53	1,49	0,60	1,00	1,00	1,00
								X+	A1/9	1,00	0,85	0,86	0,78	1,13	1,12	1,00	1,53	1,49	0,60	1,00	1,00	1,00
								X-	A1/18	1,00	0,83	0,85	0,76	1,13	1,12	1,00	1,53	1,49	0,60	1,00	1,00	1,00
								Y+	A1/28	1,00	0,84	0,86	0,77	1,13	1,12	1,00	1,53	1,49	0,60	1,00	1,00	1,00
								Y-	A1/34	1,00	0,83	0,84	0,75	1,13	1,12	1,00	1,53	1,49	0,60	1,00	1,00	1,00
28	22,25	11,85	12,54	1,00	1,00	1,00	1,00		A1/1	1,00	1,00	1,00	1,00	1,16	1,14	1,00	1,53	1,49	0,60	1,00	1,00	1,00
									A1/2	1,00	1,00	1,00	1,00	1,16	1,14	1,00	1,53	1,49	0,60	1,00	1,00	1,00
								X+	A1/9	1,00	0,85	0,86	0,78	1,16	1,14	1,00	1,53	1,49	0,60	1,00	1,00	1,00
								X-	A1/18	1,00	0,83	0,84	0,75	1,16	1,14	1,00	1,53	1,49	0,60	1,00	1,00	1,00
								Y+	A1/28	1,00	0,84	0,85	0,77	1,16	1,14	1,00	1,53	1,49	0,60	1,00	1,00	1,00
								Y-	A1/34	1,00	0,83	0,84	0,75	1,16	1,14	1,00	1,53	1,49	0,60	1,00	1,00	1,00
29	22,25	11,85	12,54	1,00	1,00	1,00	1,00		A1/1	1,00	1,00	1,00	1,00	1,13	1,12	1,00	1,53	1,49	0,60	1,00	1,00	1,00
									A1/2	1,00	1,00	1,00	1,00	1,13	1,12	1,00	1,53	1,49	0,60	1,00	1,00	1,00
								X+	A1/6	1,00	0,85	0,86	0,78	1,13	1,12	1,00	1,53	1,49	0,60	1,00	1,00	1,00
								X-	A1/13	1,00	0,83	0,85	0,76	1,13	1,12	1,00	1,53	1,49	0,60	1,00	1,00	1,00
								Y+	A1/29	1,00	0,83	0,84	0,75	1,13	1,12	1,00	1,53	1,49	0,60	1,00	1,00	1,00
								Y-	A1/31	1,00	0,84	0,86	0,77	1,13	1,12	1,00	1,53	1,49	0,60	1,00	1,00	1,00

COEFFICIENTI DI PORTANZA PIASTRE WINKLER - CONDIZIONI DRENATE - S.L.U.

Piast	Brinch Hansen			IclTe	Incl.PianoPosa			Comb		Igk	CoeffIncl.Car.			Affondamento			Forma			Punzonamento		
Nro	Nc	Nq	Ng	Gc=Gq	Bc	Bq	Bg		N.ro	Sism	IcV	IqV	IgV	Dc	Dq	Dg	Sc	Sq	Sg	Psic	Psiq	Psig
30	22,25	11,85	12,54	1,00	1,00	1,00	1,00		A1/1	1,00	1,00	1,00	1,00	1,16	1,14	1,00	1,53	1,49	0,60	1,00	1,00	1,00
									A1/2	1,00	1,00	1,00	1,00	1,16	1,14	1,00	1,53	1,49	0,60	1,00	1,00	1,00
								X+	A1/6	1,00	0,85	0,86	0,78	1,16	1,14	1,00	1,53	1,49	0,60	1,00	1,00	1,00
								X-	A1/13	1,00	0,83	0,84	0,75	1,16	1,14	1,00	1,53	1,49	0,60	1,00	1,00	1,00
								Y+	A1/29	1,00	0,83	0,84	0,75	1,16	1,14	1,00	1,53	1,49	0,60	1,00	1,00	1,00
								Y-	A1/31	1,00	0,84	0,85	0,77	1,16	1,14	1,00	1,53	1,49	0,60	1,00	1,00	1,00
31	22,25	11,85	12,54	1,00	1,00	1,00	1,00		A1/1	1,00	1,00	1,00	1,00	1,15	1,14	1,00	1,53	1,49	0,60	1,00	1,00	1,00
									A1/2	1,00	1,00	1,00	1,00	1,15	1,14	1,00	1,53	1,49	0,60	1,00	1,00	1,00
								X+	A1/9	1,00	0,84	0,85	0,77	1,15	1,14	1,00	1,53	1,49	0,60	1,00	1,00	1,00
								X-	A1/18	1,00	0,83	0,84	0,75	1,15	1,14	1,00	1,53	1,49	0,60	1,00	1,00	1,00
								Y+	A1/28	1,00	0,86	0,87	0,79	1,15	1,14	1,00	1,53	1,49	0,60	1,00	1,00	1,00
								Y-	A1/34	1,00	0,82	0,83	0,74	1,15	1,14	1,00	1,53	1,49	0,60	1,00	1,00	1,00
32	22,25	11,85	12,54	1,00	1,00	1,00	1,00		A1/1	1,00	1,00	1,00	1,00	1,13	1,12	1,00	1,53	1,49	0,60	1,00	1,00	1,00
									A1/2	1,00	1,00	1,00	1,00	1,13	1,12	1,00	1,53	1,49	0,60	1,00	1,00	1,00
								X+	A1/9	1,00	0,85	0,86	0,78	1,13	1,12	1,00	1,53	1,49	0,60	1,00	1,00	1,00
								X-	A1/18	1,00	0,83	0,85	0,76	1,13	1,12	1,00	1,53	1,49	0,60	1,00	1,00	1,00
								Y+	A1/28	1,00	0,84	0,86	0,77	1,13	1,12	1,00	1,53	1,49	0,60	1,00	1,00	1,00
								Y-	A1/34	1,00	0,83	0,85	0,76	1,13	1,12	1,00	1,53	1,49	0,60	1,00	1,00	1,00
33	22,25	11,85	12,54	1,00	1,00	1,00	1,00		A1/1	1,00	1,00	1,00	1,00	1,13	1,12	1,00	1,53	1,49	0,60	1,00	1,00	1,00
									A1/2	1,00	1,00	1,00	1,00	1,13	1,12	1,00	1,53	1,49	0,60	1,00	1,00	1,00
								X+	A1/9	1,00	0,85	0,86	0,78	1,13	1,12	1,00	1,53	1,49	0,60	1,00	1,00	1,00
								X-	A1/18	1,00	0,84	0,85	0,76	1,13	1,12	1,00	1,53	1,49	0,60	1,00	1,00	1,00
								Y+	A1/28	1,00	0,84	0,86	0,77	1,13	1,12	1,00	1,53	1,49	0,60	1,00	1,00	1,00
								Y-	A1/34	1,00	0,83	0,85	0,76	1,13	1,12	1,00	1,53	1,49	0,60	1,00	1,00	1,00
34	22,25	11,85	12,54	1,00	1,00	1,00	1,00		A1/1	1,00	1,00	1,00	1,00	1,15	1,14	1,00	1,53	1,49	0,60	1,00	1,00	1,00
									A1/2	1,00	1,00	1,00	1,00	1,15	1,14	1,00	1,53	1,49	0,60	1,00	1,00	1,00
								X+	A1/9	1,00	0,84	0,85	0,77	1,15	1,14	1,00	1,53	1,49	0,60	1,00	1,00	1,00
								X-	A1/18	1,00	0,83	0,85	0,76	1,15	1,14	1,00	1,53	1,49	0,60	1,00	1,00	1,00
								Y+	A1/28	1,00	0,86	0,87	0,79	1,15	1,14	1,00	1,53	1,49	0,60	1,00	1,00	1,00
								Y-	A1/34	1,00	0,82	0,83	0,74	1,15	1,14	1,00	1,53	1,49	0,60	1,00	1,00	1,00
35	22,25	11,85	12,54	1,00	1,00	1,00	1,00		A1/1	1,00	1,00	1,00	1,00	1,15	1,14	1,00	1,53	1,49	0,60	1,00	1,00	1,00
									A1/2	1,00	1,00	1,00	1,00	1,15	1,14	1,00	1,53	1,49	0,60	1,00	1,00	1,00
								X+	A1/9	1,00	0,84	0,85	0,76	1,15	1,14	1,00	1,53	1,49	0,60	1,00	1,00	1,00
								X-	A1/18	1,00	0,83	0,85	0,76	1,15	1,14	1,00	1,53	1,49	0,60	1,00	1,00	1,00
								Y+	A1/28	1,00	0,86	0,87	0,79	1,15	1,14	1,00	1,53	1,49	0,60	1,00	1,00	1,00
								Y-	A1/34	1,00	0,82	0,84	0,74	1,15	1,14	1,00	1,53	1,49	0,60	1,00	1,00	1,00
36	22,25	11,85	12,54	1,00	1,00	1,00	1,00		A1/1	1,00	1,00	1,00	1,00	1,13	1,12	1,00	1,53	1,49	0,60	1,00	1,00	1,00
									A1/2	1,00	1,00	1,00	1,00	1,13	1,12	1,00	1,53	1,49	0,60	1,00	1,00	1,00
								X+	A1/9	1,00	0,84	0,86	0,77	1,13	1,12	1,00	1,53	1,49	0,60	1,00	1,00	1,00
								X-	A1/18	1,00	0,84	0,85	0,77	1,13	1,12	1,00	1,53	1,49	0,60	1,00	1,00	1,00
								Y+	A1/28	1,00	0,85	0,86	0,77	1,13	1,12	1,00	1,53	1,49	0,60	1,00	1,00	1,00
								Y-	A1/34	1,00	0,83	0,85	0,76	1,13	1,12	1,00	1,53	1,49	0,60	1,00	1,00	1,00
37	22,25	11,85	12,54	1,00	1,00	1,00	1,00		A1/1	1,00	1,00	1,00	1,00	1,13	1,12	1,00	1,53	1,49	0,60	1,00	1,00	1,00
									A1/2	1,00	1,00	1,00	1,00	1,13	1,12	1,00	1,53	1,49	0,60	1,00	1,00	1,00
								X+	A1/6	1,00	0,85	0,86	0,78	1,13	1,12	1,00	1,53	1,49	0,60	1,00	1,00	1,00
								X-	A1/13	1,00	0,84	0,85	0,76	1,13	1,12	1,00	1,53	1,49	0,60	1,00	1,00	1,00
								Y+	A1/29	1,00	0,83	0,85	0,76	1,13	1,12	1,00	1,53	1,49	0,60	1,00	1,00	1,00
								Y-	A1/31	1,00	0,84	0,86	0,77	1,13	1,12	1,00	1,53	1,49	0,60	1,00	1,00	1,00
38	22,25	11,85	12,54	1,00	1,00	1,00	1,00		A1/1	1,00	1,00	1,00	1,00	1,13	1,12	1,00	1,53	1,49	0,60	1,00	1,00	1,00
									A1/2	1,00	1,00	1,00	1,00	1,13	1,12	1,00	1,53	1,49	0,60	1,00	1,00	1,00
								X+	A1/6	1,00	0,85	0,86	0,78	1,13	1,12	1,00	1,53	1,49	0,60	1,00	1,00	1,00
								X-	A1/13	1,00	0,83	0,85	0,76	1,13	1,12	1,00	1,53	1,49	0,60	1,00	1,00	1,00
								Y+	A1/29	1,00	0,83	0,85	0,76	1,13	1,12	1,00	1,53	1,49	0,60	1,00	1,00	1,00
								Y-	A1/31	1,00	0,84	0,86	0,77	1,13	1,12	1,00	1,53	1,49	0,60	1,00	1,00	1,00
39	22,25	11,85	12,54	1,00	1,00	1,00	1,00		A1/1	1,00	1,00	1,00	1,00	1,15	1,14	1,00	1,53	1,49	0,60	1,00	1,00	1,00
									A1/2	1,00	1,00	1,00	1,00	1,15	1,14	1,00	1,53	1,49	0,60	1,00	1,00	1,00
								X+	A1/9	1,00	0,84	0,85	0,76	1,15	1,14	1,00	1,53	1,49	0,60	1,00	1,00	1,00
								X-	A1/18	1,00	0,83	0,85	0,76	1,15	1,14	1,00	1,53	1,49	0,60	1,00	1,00	1,00
								Y+	A1/28	1,00	0,86	0,87	0,79	1,15	1,14	1,00	1,53	1,49	0,60	1,00	1,00	1,00
								Y-	A1/34	1,00	0,82	0,84	0,74	1,15	1,14	1,00	1,53	1,49	0,60	1,00	1,00	1,00
40	22,25	11,85	12,54	1,00	1,00	1,00	1,00		A1/1	1,00	1,00	1,00	1,00	1,13	1,12	1,00	1,53	1,49	0,60	1,00	1,00	1,00
									A1/2	1,00	1,00	1,00	1,00	1,13	1,12	1,00	1,53	1,49	0,60	1,00	1,00	1,00
								X+	A1/9	1,00	0,84	0,86	0,77	1,13	1,12	1,00	1,53	1,49	0,60	1,00	1,00	1,00
								X-	A1/18	1,00	0,84	0,85	0,77	1,13	1,12	1,00	1,53	1,49	0,60	1,00	1,00	1,00
								Y+	A1/28	1,00	0,85	0,86	0,78	1,13	1,12	1,00	1,53	1,49	0,60	1,00	1,00	1,00
								Y-	A1/34	1,00	0,83	0,85	0,76	1,13	1,12	1,00	1,53	1,49	0,60	1,00	1,00	1,00
41	22,25	11,85	12,54	1,00	1,00	1,00	1,00		A1/1	1,00	1,00	1,00	1,00	1,13	1,12	1,00	1,53	1,49	0,60	1,00	1,00	1,00
									A1/2	1,00	1,00	1,00	1,00	1,13	1,12	1,00	1,53	1,49	0,60	1,00	1,00	1,00
								X+	A1/6	1,00	0,84	0,86	0,77	1,13	1,12	1,00	1,53	1,49	0,60	1,00	1,00	1,00
								X-	A1/13	1,00	0,84	0,85	0,77	1,13	1,12	1,00	1,53	1,49	0,60	1,00	1,00	1,00
								Y+	A1/29	1,00	0,83	0,85	0,76	1,13	1,12	1,00	1,53	1,49	0,60	1,00	1,00	1,00
								Y-	A1/31	1,00	0,85	0,86	0,78	1,13	1,12	1,00	1,53	1,49	0,60	1,00	1,00	1,00
42	22,25	11,85	12,54	1,00	1,00	1,00	1,00		A1/1	1,00	1,00	1,00	1,00	1,13	1,12	1,00	1,53	1,49	0,60	1,00	1,00	1,00
									A1/2	1,00	1,00	1,00	1,00	1,13	1,12	1,00	1,53	1,49	0,60	1,00	1,00	1,00
								X+	A1/6	1,00	0,84	0,86	0,77	1,13	1,12	1,00	1,53	1,49	0,60	1,00	1,00	1,00
								X-	A1/13	1,00	0,84	0,85	0,77	1,13	1,12	1,00	1,53	1,49	0,60	1,00	1,00	1,00
								Y+	A1/29	1,00	0,83	0,85	0,76	1,13	1,12	1,00	1,53	1,49	0,60	1,00	1,00	1,00
								Y-	A1/31	1,00	0,85	0,86	0,77	1,13	1,12	1,00	1,53	1,49	0,60	1,00	1,00	1,00
43	22,25	11,85	12,54	1,00	1,00	1,00	1,00		A1/1	1,00	1,00	1,00	1,00	1,15	1,14	1,00	1,53	1,49	0,60	1,00	1,00	1,00
									A1/2	1,00	1,00	1,00	1,00	1,15	1,14	1,00	1,53	1,49	0,60	1,00	1,00	1,00
								X+	A1/8	1,00	0,83	0,85	0,76	1,15	1,14	1,00	1,53	1,49	0,60	1,00	1,00	1,00
								X-	A1/15	1,00	0,84	0,85	0,76	1,15	1,14	1,00	1,53	1,49	0,60	1,00	1,00	1,00
								Y+	A1/22	1,00	0,86	0,87	0,79	1,15	1,14	1,00	1,53	1,49	0,60	1,00	1,00	1,00
								Y-	A1/24	1,00	0,82	0,84	0,74	1,15	1,14	1,00	1,53	1,49	0,60	1,00	1,00	1,00

COEFFICIENTI DI PORTANZA PIASTRE WINKLER - CONDIZIONI DRENATE - S.L.U.

Piast	Brinch Hansen			IclTe	Incl.PianoPosa			Comb		Igk	CoeffIncl.Car.			Affondamento			Forma			Punzonamento		
Nro	Nc	Nq	Ng	Gc=Gq	Bc	Bq	Bg		N.ro	Sism	IcV	IqV	IgV	Dc	Dq	Dg	Sc	Sq	Sg	Psic	Psiq	Psig
44	22,25	11,85	12,54	1,00	1,00	1,00	1,00		A1/1	1,00	1,00	1,00	1,00	1,13	1,12	1,00	1,53	1,49	0,60	1,00	1,00	1,00
									A1/2	1,00	1,00	1,00	1,00	1,13	1,12	1,00	1,53	1,49	0,60	1,00	1,00	1,00
								X+	A1/8	1,00	0,84	0,85	0,77	1,13	1,12	1,00	1,53	1,49	0,60	1,00	1,00	1,00
								X-	A1/15	1,00	0,84	0,86	0,77	1,13	1,12	1,00	1,53	1,49	0,60	1,00	1,00	1,00
								Y+	A1/22	1,00	0,85	0,86	0,78	1,13	1,12	1,00	1,53	1,49	0,60	1,00	1,00	1,00
								Y-	A1/24	1,00	0,83	0,85	0,76	1,13	1,12	1,00	1,53	1,49	0,60	1,00	1,00	1,00
45	22,25	11,85	12,54	1,00	1,00	1,00	1,00		A1/1	1,00	1,00	1,00	1,00	1,13	1,12	1,00	1,53	1,49	0,60	1,00	1,00	1,00
									A1/2	1,00	1,00	1,00	1,00	1,13	1,12	1,00	1,53	1,49	0,60	1,00	1,00	1,00
								X+	A1/3	1,00	0,84	0,85	0,77	1,13	1,12	1,00	1,53	1,49	0,60	1,00	1,00	1,00
								X-	A1/12	1,00	0,84	0,86	0,77	1,13	1,12	1,00	1,53	1,49	0,60	1,00	1,00	1,00
								Y+	A1/19	1,00	0,83	0,85	0,76	1,13	1,12	1,00	1,53	1,49	0,60	1,00	1,00	1,00
								Y-	A1/25	1,00	0,85	0,86	0,78	1,13	1,12	1,00	1,53	1,49	0,60	1,00	1,00	1,00
46	22,25	11,85	12,54	1,00	1,00	1,00	1,00		A1/1	1,00	1,00	1,00	1,00	1,15	1,14	1,00	1,53	1,49	0,60	1,00	1,00	1,00
									A1/2	1,00	1,00	1,00	1,00	1,15	1,14	1,00	1,53	1,49	0,60	1,00	1,00	1,00
								X+	A1/6	1,00	0,84	0,86	0,77	1,15	1,14	1,00	1,53	1,49	0,60	1,00	1,00	1,00
								X-	A1/13	1,00	0,83	0,84	0,75	1,15	1,14	1,00	1,53	1,49	0,60	1,00	1,00	1,00
								Y+	A1/29	1,00	0,82	0,83	0,74	1,15	1,14	1,00	1,53	1,49	0,60	1,00	1,00	1,00
								Y-	A1/31	1,00	0,86	0,87	0,79	1,15	1,14	1,00	1,53	1,49	0,60	1,00	1,00	1,00
47	22,25	11,85	12,54	1,00	1,00	1,00	1,00		A1/1	1,00	1,00	1,00	1,00	1,18	1,16	1,00	1,53	1,49	0,60	1,00	1,00	1,00
									A1/2	1,00	1,00	1,00	1,00	1,18	1,16	1,00	1,53	1,49	0,60	1,00	1,00	1,00
								X+	A1/6	1,00	0,84	0,86	0,77	1,18	1,16	1,00	1,53	1,49	0,60	1,00	1,00	1,00
								X-	A1/13	1,00	0,83	0,84	0,75	1,18	1,16	1,00	1,53	1,49	0,60	1,00	1,00	1,00
								Y+	A1/29	1,00	0,82	0,83	0,73	1,18	1,16	1,00	1,53	1,49	0,60	1,00	1,00	1,00
								Y-	A1/31	1,00	0,86	0,87	0,79	1,18	1,16	1,00	1,53	1,49	0,60	1,00	1,00	1,00
48	22,25	11,85	12,54	1,00	1,00	1,00	1,00		A1/1	1,00	1,00	1,00	1,00	1,15	1,14	1,00	1,53	1,49	0,60	1,00	1,00	1,00
									A1/2	1,00	1,00	1,00	1,00	1,15	1,14	1,00	1,53	1,49	0,60	1,00	1,00	1,00
								X+	A1/6	1,00	0,84	0,85	0,77	1,15	1,14	1,00	1,53	1,49	0,60	1,00	1,00	1,00
								X-	A1/13	1,00	0,83	0,84	0,75	1,15	1,14	1,00	1,53	1,49	0,60	1,00	1,00	1,00
								Y+	A1/29	1,00	0,82	0,83	0,74	1,15	1,14	1,00	1,53	1,49	0,60	1,00	1,00	1,00
								Y-	A1/31	1,00	0,86	0,87	0,79	1,15	1,14	1,00	1,53	1,49	0,60	1,00	1,00	1,00
49	22,25	11,85	12,54	1,00	1,00	1,00	1,00		A1/1	1,00	1,00	1,00	1,00	1,15	1,14	1,00	1,53	1,49	0,60	1,00	1,00	1,00
									A1/2	1,00	1,00	1,00	1,00	1,15	1,14	1,00	1,53	1,49	0,60	1,00	1,00	1,00
								X+	A1/6	1,00	0,84	0,85	0,77	1,15	1,14	1,00	1,53	1,49	0,60	1,00	1,00	1,00
								X-	A1/13	1,00	0,83	0,85	0,76	1,15	1,14	1,00	1,53	1,49	0,60	1,00	1,00	1,00
								Y+	A1/29	1,00	0,82	0,83	0,74	1,15	1,14	1,00	1,53	1,49	0,60	1,00	1,00	1,00
								Y-	A1/31	1,00	0,86	0,87	0,79	1,15	1,14	1,00	1,53	1,49	0,60	1,00	1,00	1,00
50	22,25	11,85	12,54	1,00	1,00	1,00	1,00		A1/1	1,00	1,00	1,00	1,00	1,15	1,14	1,00	1,53	1,49	0,60	1,00	1,00	1,00
									A1/2	1,00	1,00	1,00	1,00	1,15	1,14	1,00	1,53	1,49	0,60	1,00	1,00	1,00
								X+	A1/6	1,00	0,84	0,85	0,76	1,15	1,14	1,00	1,53	1,49	0,60	1,00	1,00	1,00
								X-	A1/13	1,00	0,83	0,85	0,76	1,15	1,14	1,00	1,53	1,49	0,60	1,00	1,00	1,00
								Y+	A1/29	1,00	0,82	0,84	0,74	1,15	1,14	1,00	1,53	1,49	0,60	1,00	1,00	1,00
								Y-	A1/31	1,00	0,86	0,87	0,79	1,15	1,14	1,00	1,53	1,49	0,60	1,00	1,00	1,00
51	22,25	11,85	12,54	1,00	1,00	1,00	1,00		A1/1	1,00	1,00	1,00	1,00	1,15	1,14	1,00	1,53	1,49	0,60	1,00	1,00	1,00
									A1/2	1,00	1,00	1,00	1,00	1,15	1,14	1,00	1,53	1,49	0,60	1,00	1,00	1,00
								X+	A1/6	1,00	0,84	0,85	0,76	1,15	1,14	1,00	1,53	1,49	0,60	1,00	1,00	1,00
								X-	A1/13	1,00	0,83	0,85	0,76	1,15	1,14	1,00	1,53	1,49	0,60	1,00	1,00	1,00
								Y+	A1/29	1,00	0,82	0,84	0,74	1,15	1,14	1,00	1,53	1,49	0,60	1,00	1,00	1,00
								Y-	A1/31	1,00	0,86	0,87	0,79	1,15	1,14	1,00	1,53	1,49	0,60	1,00	1,00	1,00
52	22,25	11,85	12,54	1,00	1,00	1,00	1,00		A1/1	1,00	1,00	1,00	1,00	1,15	1,14	1,00	1,53	1,49	0,60	1,00	1,00	1,00
									A1/2	1,00	1,00	1,00	1,00	1,15	1,14	1,00	1,53	1,49	0,60	1,00	1,00	1,00
								X+	A1/3	1,00	0,83	0,85	0,76	1,15	1,14	1,00	1,53	1,49	0,60	1,00	1,00	1,00
								X-	A1/12	1,00	0,84	0,85	0,76	1,15	1,14	1,00	1,53	1,49	0,60	1,00	1,00	1,00
								Y+	A1/19	1,00	0,82	0,84	0,74	1,15	1,14	1,00	1,53	1,49	0,60	1,00	1,00	1,00
								Y-	A1/25	1,00	0,86	0,87	0,79	1,15	1,14	1,00	1,53	1,49	0,60	1,00	1,00	1,00
53	22,25	11,85	12,54	1,00	1,00	1,00	1,00		A1/1	1,00	1,00	1,00	1,00	1,13	1,12	1,00	1,53	1,49	0,60	1,00	1,00	1,00
									A1/2	1,00	1,00	1,00	1,00	1,13	1,12	1,00	1,53	1,49	0,60	1,00	1,00	1,00
								X+	A1/8	1,00	0,84	0,85	0,77	1,13	1,12	1,00	1,53	1,49	0,60	1,00	1,00	1,00
								X-	A1/15	1,00	0,84	0,86	0,77	1,13	1,12	1,00	1,53	1,49	0,60	1,00	1,00	1,00
								Y+	A1/22	1,00	0,85	0,86	0,77	1,13	1,12	1,00	1,53	1,49	0,60	1,00	1,00	1,00
								Y-	A1/24	1,00	0,83	0,85	0,76	1,13	1,12	1,00	1,53	1,49	0,60	1,00	1,00	1,00
54	22,25	11,85	12,54	1,00	1,00	1,00	1,00		A1/1	1,00	1,00	1,00	1,00	1,15	1,14	1,00	1,53	1,49	0,60	1,00	1,00	1,00
									A1/2	1,00	1,00	1,00	1,00	1,15	1,14	1,00	1,53	1,49	0,60	1,00	1,00	1,00
								X+	A1/8	1,00	0,83	0,85	0,76	1,15	1,14	1,00	1,53	1,49	0,60	1,00	1,00	1,00
								X-	A1/15	1,00	0,84	0,85	0,76	1,15	1,14	1,00	1,53	1,49	0,60	1,00	1,00	1,00
								Y+	A1/22	1,00	0,86	0,87	0,79	1,15	1,14	1,00	1,53	1,49	0,60	1,00	1,00	1,00
								Y-	A1/24	1,00	0,82	0,84	0,74	1,15	1,14	1,00	1,53	1,49	0,60	1,00	1,00	1,00
55	22,25	11,85	12,54	1,00	1,00	1,00	1,00		A1/1	1,00	1,00	1,00	1,00	1,15	1,14	1,00	1,53	1,49	0,60	1,00	1,00	1,00
									A1/2	1,00	1,00	1,00	1,00	1,15	1,14	1,00	1,53	1,49	0,60	1,00	1,00	1,00
								X+	A1/8	1,00	0,83	0,85	0,76	1,15	1,14	1,00	1,53	1,49	0,60	1,00	1,00	1,00
								X-	A1/15	1,00	0,84	0,85	0,77	1,15	1,14	1,00	1,53	1,49	0,60	1,00	1,00	1,00
								Y+	A1/22	1,00	0,86	0,87	0,79	1,15	1,14	1,00	1,53	1,49	0,60	1,00	1,00	1,00
								Y-	A1/24	1,00	0,82	0,83	0,74	1,15	1,14	1,00	1,53	1,49	0,60	1,00	1,00	1,00
56	22,25	11,85	12,54	1,00	1,00	1,00	1,00		A1/1	1,00	1,00	1,00	1,00	1,13	1,12	1,00	1,53	1,49	0,60	1,00	1,00	1,00
									A1/2	1,00	1,00	1,00	1,00	1,13	1,12	1,00	1,53	1,49	0,60	1,00	1,00	1,00
								X+	A1/8	1,00	0,84	0,85	0,76	1,13	1,12	1,00	1,53	1,49	0,60	1,00	1,00	1,00
								X-	A1/15	1,00	0,85	0,86	0,78	1,13	1,12	1,00	1,53	1,49	0,60	1,00	1,00	1,00
								Y+	A1/22	1,00	0,84	0,86	0,77	1,13	1,12	1,00	1,53	1,49	0,60	1,00	1,00	1,00
								Y-	A1/24	1,00	0,83	0,85	0,76	1,13	1,12	1,00	1,53	1,49	0,60	1,00	1,00	1,00
57	22,25	11,85	12,54	1,00	1,00	1,00	1,00		A1/1	1,00	1,00	1,00	1,00	1,13	1,12	1,00	1,53	1,49	0,60	1,00	1,00	1,00
									A1/2	1,00	1,00	1,00	1,00	1,13	1,12	1,00	1,53	1,49	0,60	1,00	1,00	1,00
								X+	A1/3	1,00	0,84	0,85	0,77	1,13	1,12	1,00	1,53	1,49	0,60	1,00	1,00	1,00
								X-	A1/12	1,00	0,84	0,86	0,77	1,13	1,12	1,00	1,53	1,49	0,60	1,00	1,00	1,00
								Y+	A1/19	1,00	0,83	0,85	0,76	1,13	1,12	1,00	1,53	1,49	0,60	1,00	1,00	1,00
								Y-	A1/25	1,00	0,85	0,86	0,77	1,13	1,12	1,00	1,53	1,49	0,60	1,00	1,00	1,00

COEFFICIENTI DI PORTANZA PIASTRE WINKLER - CONDIZIONI DRENATE - S.L.U.

Piast	Brinch Hansen			IclTe	Incl.PianoPosa			Comb		Igk	CoeffIncl.Car.			Affondamento			Forma			Punzonamento		
Nro	Nc	Nq	Ng	Gc=Gq	Bc	Bq	Bg		N.ro	Sism	IcV	IqV	IgV	Dc	Dq	Dg	Sc	Sq	Sg	Psic	Psiq	Psig
58	22,25	11,85	12,54	1,00	1,00	1,00	1,00		A1/1	1,00	1,00	1,00	1,00	1,15	1,14	1,00	1,53	1,49	0,60	1,00	1,00	1,00
									A1/2	1,00	1,00	1,00	1,00	1,15	1,14	1,00	1,53	1,49	0,60	1,00	1,00	1,00
								X+	A1/8	1,00	0,83	0,84	0,75	1,15	1,14	1,00	1,53	1,49	0,60	1,00	1,00	1,00
								X-	A1/15	1,00	0,84	0,85	0,77	1,15	1,14	1,00	1,53	1,49	0,60	1,00	1,00	1,00
								Y+	A1/22	1,00	0,86	0,87	0,79	1,15	1,14	1,00	1,53	1,49	0,60	1,00	1,00	1,00
								Y-	A1/24	1,00	0,82	0,83	0,74	1,15	1,14	1,00	1,53	1,49	0,60	1,00	1,00	1,00
59	22,25	11,85	12,54	1,00	1,00	1,00	1,00		A1/1	1,00	1,00	1,00	1,00	1,13	1,12	1,00	1,53	1,49	0,60	1,00	1,00	1,00
									A1/2	1,00	1,00	1,00	1,00	1,13	1,12	1,00	1,53	1,49	0,60	1,00	1,00	1,00
								X+	A1/8	1,00	0,83	0,85	0,76	1,13	1,12	1,00	1,53	1,49	0,60	1,00	1,00	1,00
								X-	A1/15	1,00	0,85	0,86	0,78	1,13	1,12	1,00	1,53	1,49	0,60	1,00	1,00	1,00
								Y+	A1/22	1,00	0,84	0,86	0,77	1,13	1,12	1,00	1,53	1,49	0,60	1,00	1,00	1,00
								Y-	A1/24	1,00	0,83	0,85	0,76	1,13	1,12	1,00	1,53	1,49	0,60	1,00	1,00	1,00
60	22,25	11,85	12,54	1,00	1,00	1,00	1,00		A1/1	1,00	1,00	1,00	1,00	1,13	1,12	1,00	1,53	1,49	0,60	1,00	1,00	1,00
									A1/2	1,00	1,00	1,00	1,00	1,13	1,12	1,00	1,53	1,49	0,60	1,00	1,00	1,00
								X+	A1/3	1,00	0,83	0,85	0,76	1,13	1,12	1,00	1,53	1,49	0,60	1,00	1,00	1,00
								X-	A1/12	1,00	0,85	0,86	0,78	1,13	1,12	1,00	1,53	1,49	0,60	1,00	1,00	1,00
								Y+	A1/19	1,00	0,83	0,85	0,76	1,13	1,12	1,00	1,53	1,49	0,60	1,00	1,00	1,00
								Y-	A1/25	1,00	0,84	0,86	0,77	1,13	1,12	1,00	1,53	1,49	0,60	1,00	1,00	1,00
61	22,25	11,85	12,54	1,00	1,00	1,00	1,00		A1/1	1,00	1,00	1,00	1,00	1,13	1,12	1,00	1,53	1,49	0,60	1,00	1,00	1,00
									A1/2	1,00	1,00	1,00	1,00	1,13	1,12	1,00	1,53	1,49	0,60	1,00	1,00	1,00
								X+	A1/3	1,00	0,84	0,85	0,76	1,13	1,12	1,00	1,53	1,49	0,60	1,00	1,00	1,00
								X-	A1/12	1,00	0,85	0,86	0,78	1,13	1,12	1,00	1,53	1,49	0,60	1,00	1,00	1,00
								Y+	A1/19	1,00	0,83	0,85	0,76	1,13	1,12	1,00	1,53	1,49	0,60	1,00	1,00	1,00
								Y-	A1/25	1,00	0,84	0,86	0,77	1,13	1,12	1,00	1,53	1,49	0,60	1,00	1,00	1,00
62	22,25	11,85	12,54	1,00	1,00	1,00	1,00		A1/1	1,00	1,00	1,00	1,00	1,15	1,14	1,00	1,53	1,49	0,60	1,00	1,00	1,00
									A1/2	1,00	1,00	1,00	1,00	1,15	1,14	1,00	1,53	1,49	0,60	1,00	1,00	1,00
								X+	A1/8	1,00	0,83	0,84	0,75	1,15	1,14	1,00	1,53	1,49	0,60	1,00	1,00	1,00
								X-	A1/15	1,00	0,84	0,86	0,77	1,15	1,14	1,00	1,53	1,49	0,60	1,00	1,00	1,00
								Y+	A1/22	1,00	0,86	0,87	0,79	1,15	1,14	1,00	1,53	1,49	0,60	1,00	1,00	1,00
								Y-	A1/24	1,00	0,82	0,83	0,74	1,15	1,14	1,00	1,53	1,49	0,60	1,00	1,00	1,00
63	22,25	11,85	12,54	1,00	1,00	1,00	1,00		A1/1	1,00	1,00	1,00	1,00	1,13	1,12	1,00	1,53	1,49	0,60	1,00	1,00	1,00
									A1/2	1,00	1,00	1,00	1,00	1,13	1,12	1,00	1,53	1,49	0,60	1,00	1,00	1,00
								X+	A1/8	1,00	0,83	0,85	0,76	1,13	1,12	1,00	1,53	1,49	0,60	1,00	1,00	1,00
								X-	A1/15	1,00	0,85	0,86	0,78	1,13	1,12	1,00	1,53	1,49	0,60	1,00	1,00	1,00
								Y+	A1/22	1,00	0,84	0,86	0,77	1,13	1,12	1,00	1,53	1,49	0,60	1,00	1,00	1,00
								Y-	A1/24	1,00	0,83	0,84	0,75	1,13	1,12	1,00	1,53	1,49	0,60	1,00	1,00	1,00
64	22,25	11,85	12,54	1,00	1,00	1,00	1,00		A1/1	1,00	1,00	1,00	1,00	1,15	1,13	1,00	1,53	1,49	0,60	1,00	1,00	1,00
									A1/2	1,00	1,00	1,00	1,00	1,15	1,13	1,00	1,53	1,49	0,60	1,00	1,00	1,00
								X+	A1/8	1,00	0,83	0,84	0,75	1,15	1,13	1,00	1,53	1,49	0,60	1,00	1,00	1,00
								X-	A1/15	1,00	0,85	0,86	0,78	1,15	1,13	1,00	1,53	1,49	0,60	1,00	1,00	1,00
								Y+	A1/22	1,00	0,84	0,85	0,77	1,15	1,13	1,00	1,53	1,49	0,60	1,00	1,00	1,00
								Y-	A1/24	1,00	0,83	0,84	0,75	1,15	1,13	1,00	1,53	1,49	0,60	1,00	1,00	1,00
65	22,25	11,85	12,54	1,00	1,00	1,00	1,00		A1/1	1,00	1,00	1,00	1,00	1,18	1,16	1,00	1,53	1,49	0,60	1,00	1,00	1,00
									A1/2	1,00	1,00	1,00	1,00	1,18	1,16	1,00	1,53	1,49	0,60	1,00	1,00	1,00
								X+	A1/8	1,00	0,83	0,84	0,75	1,18	1,16	1,00	1,53	1,49	0,60	1,00	1,00	1,00
								X-	A1/15	1,00	0,84	0,86	0,77	1,18	1,16	1,00	1,53	1,49	0,60	1,00	1,00	1,00
								Y+	A1/22	1,00	0,86	0,87	0,79	1,18	1,16	1,00	1,53	1,49	0,60	1,00	1,00	1,00
								Y-	A1/24	1,00	0,82	0,83	0,73	1,18	1,16	1,00	1,53	1,49	0,60	1,00	1,00	1,00
66	22,25	11,85	12,54	1,00	1,00	1,00	1,00		A1/1	1,00	1,00	1,00	1,00	1,16	1,14	1,00	1,53	1,49	0,60	1,00	1,00	1,00
									A1/2	1,00	1,00	1,00	1,00	1,16	1,14	1,00	1,53	1,49	0,60	1,00	1,00	1,00
								X+	A1/3	1,00	0,83	0,84	0,75	1,16	1,14	1,00	1,53	1,49	0,60	1,00	1,00	1,00
								X-	A1/12	1,00	0,85	0,86	0,78	1,16	1,14	1,00	1,53	1,49	0,60	1,00	1,00	1,00
								Y+	A1/19	1,00	0,83	0,84	0,75	1,16	1,14	1,00	1,53	1,49	0,60	1,00	1,00	1,00
								Y-	A1/25	1,00	0,84	0,85	0,77	1,16	1,14	1,00	1,53	1,49	0,60	1,00	1,00	1,00
67	22,25	11,85	12,54	1,00	1,00	1,00	1,00		A1/1	1,00	1,00	1,00	1,00	1,13	1,12	1,00	1,53	1,49	0,60	1,00	1,00	1,00
									A1/2	1,00	1,00	1,00	1,00	1,13	1,12	1,00	1,53	1,49	0,60	1,00	1,00	1,00
								X+	A1/3	1,00	0,83	0,85	0,76	1,13	1,12	1,00	1,53	1,49	0,60	1,00	1,00	1,00
								X-	A1/12	1,00	0,85	0,86	0,78	1,13	1,12	1,00	1,53	1,49	0,60	1,00	1,00	1,00
								Y+	A1/19	1,00	0,83	0,84	0,75	1,13	1,12	1,00	1,53	1,49	0,60	1,00	1,00	1,00
								Y-	A1/25	1,00	0,84	0,86	0,77	1,13	1,12	1,00	1,53	1,49	0,60	1,00	1,00	1,00
68	22,25	11,85	12,54	1,00	1,00	1,00	1,00		A1/1	1,00	1,00	1,00	1,00	1,15	1,14	1,00	1,53	1,49	0,60	1,00	1,00	1,00
									A1/2	1,00	1,00	1,00	1,00	1,15	1,14	1,00	1,53	1,49	0,60	1,00	1,00	1,00
								X+	A1/3	1,00	0,83	0,85	0,76	1,15	1,14	1,00	1,53	1,49	0,60	1,00	1,00	1,00
								X-	A1/12	1,00	0,84	0,85	0,76	1,15	1,14	1,00	1,53	1,49	0,60	1,00	1,00	1,00
								Y+	A1/19	1,00	0,82	0,84	0,74	1,15	1,14	1,00	1,53	1,49	0,60	1,00	1,00	1,00
								Y-	A1/25	1,00	0,86	0,87	0,79	1,15	1,14	1,00	1,53	1,49	0,60	1,00	1,00	1,00
69	22,25	11,85	12,54	1,00	1,00	1,00	1,00		A1/1	1,00	1,00	1,00	1,00	1,15	1,14	1,00	1,53	1,49	0,60	1,00	1,00	1,00
									A1/2	1,00	1,00	1,00	1,00	1,15	1,14	1,00	1,53	1,49	0,60	1,00	1,00	1,00
								X+	A1/3	1,00	0,83	0,85	0,76	1,15	1,14	1,00	1,53	1,49	0,60	1,00	1,00	1,00
								X-	A1/12	1,00	0,84	0,85	0,77	1,15	1,14	1,00	1,53	1,49	0,60	1,00	1,00	1,00
								Y+	A1/19	1,00	0,82	0,83	0,74	1,15	1,14	1,00	1,53	1,49	0,60	1,00	1,00	1,00
								Y-	A1/25	1,00	0,86	0,87	0,79	1,15	1,14	1,00	1,53	1,49	0,60	1,00	1,00	1,00
70	22,25	11,85	12,54	1,00	1,00	1,00	1,00		A1/1	1,00	1,00	1,00	1,00	1,15	1,14	1,00	1,53	1,49	0,60	1,00	1,00	1,00
									A1/2	1,00	1,00	1,00	1,00	1,15	1,14	1,00	1,53	1,49	0,60	1,00	1,00	1,00
								X+	A1/3	1,00	0,83	0,84	0,75	1,15	1,14	1,00	1,53	1,49	0,60	1,00	1,00	1,00
								X-	A1/12	1,00	0,84	0,85	0,77	1,15	1,14	1,00	1,53	1,49	0,60	1,00	1,00	1,00
								Y+	A1/19	1,00	0,82	0,83	0,74	1,15	1,14	1,00	1,53	1,49	0,60	1,00	1,00	1,00
								Y-	A1/25	1,00	0,86	0,87	0,79	1,15	1,14	1,00	1,53	1,49	0,60	1,00	1,00	1,00
71	22,25	11,85	12,54	1,00	1,00	1,00	1,00		A1/1	1,00	1,00	1,00	1,00	1,15	1,14	1,00	1,53	1,49	0,60	1,00	1,00	1,00
									A1/2	1,00	1,00	1,00	1,00	1,15	1,14	1,00	1,53	1,49	0,60	1,00	1,00	1,00
								X+	A1/3	1,00	0,83	0,84	0,75	1,15	1,14	1,00	1,53	1,49	0,60	1,00	1,00	1,00
								X-	A1/12	1,00	0,84	0,86	0,77	1,15	1,14	1,00	1,53	1,49	0,60	1,00	1,00	1,00
								Y+	A1/19	1,00	0,82	0,83	0,74	1,15	1,14	1,00	1,53	1,49	0,60	1,00	1,00	1,00
								Y-	A1/25	1,00	0,86	0,87	0,79	1,15	1,14	1,00	1,53	1,49	0,60	1,00	1,00	1,00

COEFFICIENTI DI PORTANZA PIASTRE WINKLER - CONDIZIONI DRENATE - S.L.U.

Piast	Brinch Hansen			IclTe	Incl.PianoPosa			Comb		Igk	CoeffIncl.Car.			Affondamento			Forma			Punzonamento		
Nro	Nc	Nq	Ng	Gc=Gq	Bc	Bq	Bg		N.ro	Sism	IcV	IqV	IgV	Dc	Dq	Dg	Sc	Sq	Sg	Psic	Psiq	Psig
72	22,25	11,85	12,54	1,00	1,00	1,00	1,00		A1/1	1,00	1,00	1,00	1,00	1,18	1,16	1,00	1,53	1,49	0,60	1,00	1,00	1,00
									A1/2	1,00	1,00	1,00	1,00	1,18	1,16	1,00	1,53	1,49	0,60	1,00	1,00	1,00
								X+	A1/3	1,00	0,83	0,84	0,75	1,18	1,16	1,00	1,53	1,49	0,60	1,00	1,00	1,00
								X-	A1/12	1,00	0,84	0,86	0,77	1,18	1,16	1,00	1,53	1,49	0,60	1,00	1,00	1,00
								Y+	A1/19	1,00	0,82	0,83	0,73	1,18	1,16	1,00	1,53	1,49	0,60	1,00	1,00	1,00
								Y-	A1/25	1,00	0,86	0,87	0,79	1,18	1,16	1,00	1,53	1,49	0,60	1,00	1,00	1,00
73	22,25	11,85	12,54	1,00	1,00	1,00	1,00		A1/1	1,00	1,00	1,00	1,00	1,26	1,24	1,00	1,53	1,49	0,60	1,00	1,00	1,00
									A1/2	1,00	1,00	1,00	1,00	1,26	1,24	1,00	1,53	1,49	0,60	1,00	1,00	1,00
								X+	A1/9	1,00	0,84	0,85	0,76	1,26	1,24	1,00	1,53	1,49	0,60	1,00	1,00	1,00
								X-	A1/18	1,00	0,82	0,84	0,74	1,26	1,24	1,00	1,53	1,49	0,60	1,00	1,00	1,00
								Y+	A1/28	1,00	0,87	0,88	0,81	1,26	1,24	1,00	1,53	1,49	0,60	1,00	1,00	1,00
								Y-	A1/34	1,00	0,81	0,82	0,72	1,26	1,24	1,00	1,53	1,49	0,60	1,00	1,00	1,00
74	22,25	11,85	12,54	1,00	1,00	1,00	1,00		A1/1	1,00	1,00	1,00	1,00	1,26	1,24	1,00	1,53	1,49	0,60	1,00	1,00	1,00
									A1/2	1,00	1,00	1,00	1,00	1,26	1,24	1,00	1,53	1,49	0,60	1,00	1,00	1,00
								X+	A1/9	1,00	0,84	0,85	0,77	1,26	1,24	1,00	1,53	1,49	0,60	1,00	1,00	1,00
								X-	A1/18	1,00	0,82	0,84	0,74	1,26	1,24	1,00	1,53	1,49	0,60	1,00	1,00	1,00
								Y+	A1/28	1,00	0,87	0,88	0,81	1,26	1,24	1,00	1,53	1,49	0,60	1,00	1,00	1,00
								Y-	A1/34	1,00	0,81	0,82	0,72	1,26	1,24	1,00	1,53	1,49	0,60	1,00	1,00	1,00
75	22,25	11,85	12,54	1,00	1,00	1,00	1,00		A1/1	1,00	1,00	1,00	1,00	1,26	1,24	1,00	1,53	1,49	0,60	1,00	1,00	1,00
									A1/2	1,00	1,00	1,00	1,00	1,26	1,24	1,00	1,53	1,49	0,60	1,00	1,00	1,00
								X+	A1/9	1,00	0,83	0,85	0,76	1,26	1,24	1,00	1,53	1,49	0,60	1,00	1,00	1,00
								X-	A1/18	1,00	0,82	0,84	0,75	1,26	1,24	1,00	1,53	1,49	0,60	1,00	1,00	1,00
								Y+	A1/28	1,00	0,87	0,88	0,80	1,26	1,24	1,00	1,53	1,49	0,60	1,00	1,00	1,00
								Y-	A1/34	1,00	0,81	0,82	0,72	1,26	1,24	1,00	1,53	1,49	0,60	1,00	1,00	1,00
76	22,25	11,85	12,54	1,00	1,00	1,00	1,00		A1/1	1,00	1,00	1,00	1,00	1,26	1,24	1,00	1,53	1,49	0,60	1,00	1,00	1,00
									A1/2	1,00	1,00	1,00	1,00	1,26	1,24	1,00	1,53	1,49	0,60	1,00	1,00	1,00
								X+	A1/9	1,00	0,84	0,85	0,76	1,26	1,24	1,00	1,53	1,49	0,60	1,00	1,00	1,00
								X-	A1/18	1,00	0,82	0,84	0,75	1,26	1,24	1,00	1,53	1,49	0,60	1,00	1,00	1,00
								Y+	A1/28	1,00	0,87	0,88	0,81	1,26	1,24	1,00	1,53	1,49	0,60	1,00	1,00	1,00
								Y-	A1/34	1,00	0,81	0,82	0,72	1,26	1,24	1,00	1,53	1,49	0,60	1,00	1,00	1,00
77	22,25	11,85	12,54	1,00	1,00	1,00	1,00		A1/1	1,00	1,00	1,00	1,00	1,26	1,24	1,00	1,53	1,49	0,60	1,00	1,00	1,00
									A1/2	1,00	1,00	1,00	1,00	1,26	1,24	1,00	1,53	1,49	0,60	1,00	1,00	1,00
								X+	A1/9	1,00	0,83	0,84	0,75	1,26	1,24	1,00	1,53	1,49	0,60	1,00	1,00	1,00
								X-	A1/18	1,00	0,83	0,84	0,75	1,26	1,24	1,00	1,53	1,49	0,60	1,00	1,00	1,00
								Y+	A1/28	1,00	0,87	0,88	0,80	1,26	1,24	1,00	1,53	1,49	0,60	1,00	1,00	1,00
								Y-	A1/34	1,00	0,81	0,82	0,73	1,26	1,24	1,00	1,53	1,49	0,60	1,00	1,00	1,00
78	22,25	11,85	12,54	1,00	1,00	1,00	1,00		A1/1	1,00	1,00	1,00	1,00	1,26	1,24	1,00	1,53	1,49	0,60	1,00	1,00	1,00
									A1/2	1,00	1,00	1,00	1,00	1,26	1,24	1,00	1,53	1,49	0,60	1,00	1,00	1,00
								X+	A1/9	1,00	0,83	0,85	0,76	1,26	1,24	1,00	1,53	1,49	0,60	1,00	1,00	1,00
								X-	A1/18	1,00	0,83	0,84	0,75	1,26	1,24	1,00	1,53	1,49	0,60	1,00	1,00	1,00
								Y+	A1/28	1,00	0,87	0,88	0,80	1,26	1,24	1,00	1,53	1,49	0,60	1,00	1,00	1,00
								Y-	A1/34	1,00	0,81	0,82	0,72	1,26	1,24	1,00	1,53	1,49	0,60	1,00	1,00	1,00
79	22,25	11,85	12,54	1,00	1,00	1,00	1,00		A1/1	1,00	1,00	1,00	1,00	1,26	1,24	1,00	1,53	1,49	0,60	1,00	1,00	1,00
									A1/2	1,00	1,00	1,00	1,00	1,26	1,24	1,00	1,53	1,49	0,60	1,00	1,00	1,00
								X+	A1/6	1,00	0,84	0,85	0,76	1,26	1,24	1,00	1,53	1,49	0,60	1,00	1,00	1,00
								X-	A1/13	1,00	0,82	0,84	0,74	1,26	1,24	1,00	1,53	1,49	0,60	1,00	1,00	1,00
								Y+	A1/29	1,00	0,81	0,82	0,72	1,26	1,24	1,00	1,53	1,49	0,60	1,00	1,00	1,00
								Y-	A1/31	1,00	0,87	0,88	0,81	1,26	1,24	1,00	1,53	1,49	0,60	1,00	1,00	1,00
80	22,25	11,85	12,54	1,00	1,00	1,00	1,00		A1/1	1,00	1,00	1,00	1,00	1,26	1,24	1,00	1,53	1,49	0,60	1,00	1,00	1,00
									A1/2	1,00	1,00	1,00	1,00	1,26	1,24	1,00	1,53	1,49	0,60	1,00	1,00	1,00
								X+	A1/6	1,00	0,84	0,85	0,77	1,26	1,24	1,00	1,53	1,49	0,60	1,00	1,00	1,00
								X-	A1/13	1,00	0,82	0,84	0,74	1,26	1,24	1,00	1,53	1,49	0,60	1,00	1,00	1,00
								Y+	A1/29	1,00	0,81	0,82	0,72	1,26	1,24	1,00	1,53	1,49	0,60	1,00	1,00	1,00
								Y-	A1/31	1,00	0,87	0,88	0,81	1,26	1,24	1,00	1,53	1,49	0,60	1,00	1,00	1,00
81	22,25	11,85	12,54	1,00	1,00	1,00	1,00		A1/1	1,00	1,00	1,00	1,00	1,26	1,24	1,00	1,53	1,49	0,60	1,00	1,00	1,00
									A1/2	1,00	1,00	1,00	1,00	1,26	1,24	1,00	1,53	1,49	0,60	1,00	1,00	1,00
								X+	A1/6	1,00	0,84	0,85	0,76	1,26	1,24	1,00	1,53	1,49	0,60	1,00	1,00	1,00
								X-	A1/13	1,00	0,82	0,84	0,75	1,26	1,24	1,00	1,53	1,49	0,60	1,00	1,00	1,00
								Y+	A1/29	1,00	0,81	0,82	0,72	1,26	1,24	1,00	1,53	1,49	0,60	1,00	1,00	1,00
								Y-	A1/31	1,00	0,87	0,88	0,81	1,26	1,24	1,00	1,53	1,49	0,60	1,00	1,00	1,00
82	22,25	11,85	12,54	1,00	1,00	1,00	1,00		A1/1	1,00	1,00	1,00	1,00	1,26	1,24	1,00	1,53	1,49	0,60	1,00	1,00	1,00
									A1/2	1,00	1,00	1,00	1,00	1,26	1,24	1,00	1,53	1,49	0,60	1,00	1,00	1,00
								X+	A1/6	1,00	0,83	0,85	0,76	1,26	1,24	1,00	1,53	1,49	0,60	1,00	1,00	1,00
								X-	A1/13	1,00	0,82	0,84	0,75	1,26	1,24	1,00	1,53	1,49	0,60	1,00	1,00	1,00
								Y+	A1/29	1,00	0,81	0,82	0,72	1,26	1,24	1,00	1,53	1,49	0,60	1,00	1,00	1,00
								Y-	A1/31	1,00	0,87	0,88	0,80	1,26	1,24	1,00	1,53	1,49	0,60	1,00	1,00	1,00
83	22,25	11,85	12,54	1,00	1,00	1,00	1,00		A1/1	1,00	1,00	1,00	1,00	1,26	1,24	1,00	1,53	1,49	0,60	1,00	1,00	1,00
									A1/2	1,00	1,00	1,00	1,00	1,26	1,24	1,00	1,53	1,49	0,60	1,00	1,00	1,00
								X+	A1/6	1,00	0,83	0,84	0,75	1,26	1,24	1,00	1,53	1,49	0,60	1,00	1,00	1,00
								X-	A1/13	1,00	0,83	0,84	0,75	1,26	1,24	1,00	1,53	1,49	0,60	1,00	1,00	1,00
								Y+	A1/29	1,00	0,81	0,82	0,73	1,26	1,24	1,00	1,53	1,49	0,60	1,00	1,00	1,00
								Y-	A1/31	1,00	0,87	0,88	0,80	1,26	1,24	1,00	1,53	1,49	0,60	1,00	1,00	1,00
84	22,25	11,85	12,54	1,00	1,00	1,00	1,00		A1/1	1,00	1,00	1,00	1,00	1,26	1,24	1,00	1,53	1,49	0,60	1,00	1,00	1,00
									A1/2	1,00	1,00	1,00	1,00	1,26	1,24	1,00	1,53	1,49	0,60	1,00	1,00	1,00
								X+	A1/6	1,00	0,83	0,85	0,76	1,26	1,24	1,00	1,53	1,49	0,60	1,00	1,00	1,00
								X-	A1/13	1,00	0,83	0,84	0,75	1,26	1,24	1,00	1,53	1,49	0,60	1,00	1,00	1,00
								Y+	A1/29	1,00	0,81	0,82	0,72	1,26	1,24	1,00	1,53	1,49	0,60	1,00	1,00	1,00
								Y-	A1/31	1,00	0,87	0,88	0,80	1,26	1,24	1,00	1,53	1,49	0,60	1,00	1,00	1,00
85	22,25	11,85	12,54	1,00	1,00	1,00	1,00		A1/1	1,00	1,00	1,00	1,00	1,26	1,24	1,00	1,53	1,49	0,60	1,00	1,00	1,00
									A1/2	1,00	1,00	1,00	1,00	1,26	1,24	1,00	1,53	1,49	0,60	1,00	1,00	1,00
								X+	A1/8	1,00	0,82	0,84	0,75	1,26	1,24	1,00	1,53	1,49	0,60	1,00	1,00	1,00
								X-	A1/15	1,00	0,84	0,85	0,76	1,26	1,24	1,00	1,53	1,49	0,60	1,00	1,00	1,00
								Y+	A1/22	1,00	0,87	0,88	0,81	1,26	1,24	1,00	1,53	1,49	0,60	1,00	1,00	1,00
								Y-	A1/24	1,00	0,81	0,82	0,72	1,26	1,24	1,00	1,53	1,49	0,60	1,00	1,00	1,00

COEFFICIENTI DI PORTANZA PIASTRE WINKLER - CONDIZIONI DRENATE - S.L.U.

Piast	Brinch Hansen			IclTe	Incl.PianoPosa			Comb		Igk	CoeffIncl.Car.			Affondamento			Forma			Punzonamento		
Nro	Nc	Nq	Ng	Gc=Gq	Bc	Bq	Bg		N.ro	Sism	IcV	IqV	IgV	Dc	Dq	Dg	Sc	Sq	Sg	Psic	Psiq	Psig
86	22,25	11,85	12,54	1,00	1,00	1,00	1,00		A1/1	1,00	1,00	1,00	1,00	1,26	1,24	1,00	1,53	1,49	0,60	1,00	1,00	1,00
									A1/2	1,00	1,00	1,00	1,00	1,26	1,24	1,00	1,53	1,49	0,60	1,00	1,00	1,00
								X+	A1/8	1,00	0,82	0,84	0,75	1,26	1,24	1,00	1,53	1,49	0,60	1,00	1,00	1,00
								X-	A1/15	1,00	0,83	0,85	0,76	1,26	1,24	1,00	1,53	1,49	0,60	1,00	1,00	1,00
								Y+	A1/22	1,00	0,87	0,88	0,80	1,26	1,24	1,00	1,53	1,49	0,60	1,00	1,00	1,00
								Y-	A1/24	1,00	0,81	0,82	0,72	1,26	1,24	1,00	1,53	1,49	0,60	1,00	1,00	1,00
87	22,25	11,85	12,54	1,00	1,00	1,00	1,00		A1/1	1,00	1,00	1,00	1,00	1,26	1,24	1,00	1,53	1,49	0,60	1,00	1,00	1,00
									A1/2	1,00	1,00	1,00	1,00	1,26	1,24	1,00	1,53	1,49	0,60	1,00	1,00	1,00
								X+	A1/8	1,00	0,82	0,84	0,74	1,26	1,24	1,00	1,53	1,49	0,60	1,00	1,00	1,00
								X-	A1/15	1,00	0,84	0,85	0,77	1,26	1,24	1,00	1,53	1,49	0,60	1,00	1,00	1,00
								Y+	A1/22	1,00	0,87	0,88	0,81	1,26	1,24	1,00	1,53	1,49	0,60	1,00	1,00	1,00
								Y-	A1/24	1,00	0,81	0,82	0,72	1,26	1,24	1,00	1,53	1,49	0,60	1,00	1,00	1,00
88	22,25	11,85	12,54	1,00	1,00	1,00	1,00		A1/1	1,00	1,00	1,00	1,00	1,26	1,24	1,00	1,53	1,49	0,60	1,00	1,00	1,00
									A1/2	1,00	1,00	1,00	1,00	1,26	1,24	1,00	1,53	1,49	0,60	1,00	1,00	1,00
								X+	A1/8	1,00	0,82	0,84	0,74	1,26	1,24	1,00	1,53	1,49	0,60	1,00	1,00	1,00
								X-	A1/15	1,00	0,84	0,85	0,76	1,26	1,24	1,00	1,53	1,49	0,60	1,00	1,00	1,00
								Y+	A1/22	1,00	0,87	0,88	0,81	1,26	1,24	1,00	1,53	1,49	0,60	1,00	1,00	1,00
								Y-	A1/24	1,00	0,81	0,82	0,72	1,26	1,24	1,00	1,53	1,49	0,60	1,00	1,00	1,00
89	22,25	11,85	12,54	1,00	1,00	1,00	1,00		A1/1	1,00	1,00	1,00	1,00	1,26	1,24	1,00	1,53	1,49	0,60	1,00	1,00	1,00
									A1/2	1,00	1,00	1,00	1,00	1,26	1,24	1,00	1,53	1,49	0,60	1,00	1,00	1,00
								X+	A1/3	1,00	0,83	0,84	0,75	1,26	1,24	1,00	1,53	1,49	0,60	1,00	1,00	1,00
								X-	A1/12	1,00	0,83	0,85	0,76	1,26	1,24	1,00	1,53	1,49	0,60	1,00	1,00	1,00
								Y+	A1/19	1,00	0,81	0,82	0,72	1,26	1,24	1,00	1,53	1,49	0,60	1,00	1,00	1,00
								Y-	A1/25	1,00	0,87	0,88	0,80	1,26	1,24	1,00	1,53	1,49	0,60	1,00	1,00	1,00
90	22,25	11,85	12,54	1,00	1,00	1,00	1,00		A1/1	1,00	1,00	1,00	1,00	1,26	1,24	1,00	1,53	1,49	0,60	1,00	1,00	1,00
									A1/2	1,00	1,00	1,00	1,00	1,26	1,24	1,00	1,53	1,49	0,60	1,00	1,00	1,00
								X+	A1/3	1,00	0,83	0,84	0,75	1,26	1,24	1,00	1,53	1,49	0,60	1,00	1,00	1,00
								X-	A1/12	1,00	0,83	0,84	0,75	1,26	1,24	1,00	1,53	1,49	0,60	1,00	1,00	1,00
								Y+	A1/19	1,00	0,81	0,82	0,73	1,26	1,24	1,00	1,53	1,49	0,60	1,00	1,00	1,00
								Y-	A1/25	1,00	0,87	0,88	0,80	1,26	1,24	1,00	1,53	1,49	0,60	1,00	1,00	1,00
91	22,25	11,85	12,54	1,00	1,00	1,00	1,00		A1/1	1,00	1,00	1,00	1,00	1,26	1,24	1,00	1,53	1,49	0,60	1,00	1,00	1,00
									A1/2	1,00	1,00	1,00	1,00	1,26	1,24	1,00	1,53	1,49	0,60	1,00	1,00	1,00
								X+	A1/3	1,00	0,82	0,84	0,75	1,26	1,24	1,00	1,53	1,49	0,60	1,00	1,00	1,00
								X-	A1/12	1,00	0,83	0,85	0,76	1,26	1,24	1,00	1,53	1,49	0,60	1,00	1,00	1,00
								Y+	A1/19	1,00	0,81	0,82	0,72	1,26	1,24	1,00	1,53	1,49	0,60	1,00	1,00	1,00
								Y-	A1/25	1,00	0,87	0,88	0,80	1,26	1,24	1,00	1,53	1,49	0,60	1,00	1,00	1,00
92	22,25	11,85	12,54	1,00	1,00	1,00	1,00		A1/1	1,00	1,00	1,00	1,00	1,26	1,24	1,00	1,53	1,49	0,60	1,00	1,00	1,00
									A1/2	1,00	1,00	1,00	1,00	1,26	1,24	1,00	1,53	1,49	0,60	1,00	1,00	1,00
								X+	A1/3	1,00	0,82	0,84	0,75	1,26	1,24	1,00	1,53	1,49	0,60	1,00	1,00	1,00
								X-	A1/12	1,00	0,84	0,85	0,76	1,26	1,24	1,00	1,53	1,49	0,60	1,00	1,00	1,00
								Y+	A1/19	1,00	0,81	0,82	0,72	1,26	1,24	1,00	1,53	1,49	0,60	1,00	1,00	1,00
								Y-	A1/25	1,00	0,87	0,88	0,81	1,26	1,24	1,00	1,53	1,49	0,60	1,00	1,00	1,00
93	22,25	11,85	12,54	1,00	1,00	1,00	1,00		A1/1	1,00	1,00	1,00	1,00	1,26	1,24	1,00	1,53	1,49	0,60	1,00	1,00	1,00
									A1/2	1,00	1,00	1,00	1,00	1,26	1,24	1,00	1,53	1,49	0,60	1,00	1,00	1,00
								X+	A1/3	1,00	0,82	0,84	0,74	1,26	1,24	1,00	1,53	1,49	0,60	1,00	1,00	1,00
								X-	A1/12	1,00	0,84	0,85	0,76	1,26	1,24	1,00	1,53	1,49	0,60	1,00	1,00	1,00
								Y+	A1/19	1,00	0,81	0,82	0,72	1,26	1,24	1,00	1,53	1,49	0,60	1,00	1,00	1,00
								Y-	A1/25	1,00	0,87	0,88	0,81	1,26	1,24	1,00	1,53	1,49	0,60	1,00	1,00	1,00
94	22,25	11,85	12,54	1,00	1,00	1,00	1,00		A1/1	1,00	1,00	1,00	1,00	1,26	1,24	1,00	1,53	1,49	0,60	1,00	1,00	1,00
									A1/2	1,00	1,00	1,00	1,00	1,26	1,24	1,00	1,53	1,49	0,60	1,00	1,00	1,00
								X+	A1/3	1,00	0,82	0,84	0,74	1,26	1,24	1,00	1,53	1,49	0,60	1,00	1,00	1,00
								X-	A1/12	1,00	0,84	0,85	0,77	1,26	1,24	1,00	1,53	1,49	0,60	1,00	1,00	1,00
								Y+	A1/19	1,00	0,81	0,82	0,72	1,26	1,24	1,00	1,53	1,49	0,60	1,00	1,00	1,00
								Y-	A1/25	1,00	0,87	0,88	0,81	1,26	1,24	1,00	1,53	1,49	0,60	1,00	1,00	1,00
95	22,25	11,85	12,54	1,00	1,00	1,00	1,00		A1/1	1,00	1,00	1,00	1,00	1,26	1,24	1,00	1,53	1,49	0,60	1,00	1,00	1,00
									A1/2	1,00	1,00	1,00	1,00	1,26	1,24	1,00	1,53	1,49	0,60	1,00	1,00	1,00
								X+	A1/8	1,00	0,83	0,84	0,75	1,26	1,24	1,00	1,53	1,49	0,60	1,00	1,00	1,00
								X-	A1/15	1,00	0,83	0,84	0,75	1,26	1,24	1,00	1,53	1,49	0,60	1,00	1,00	1,00
								Y+	A1/22	1,00	0,87	0,88	0,80	1,26	1,24	1,00	1,53	1,49	0,60	1,00	1,00	1,00
								Y-	A1/24	1,00	0,81	0,82	0,73	1,26	1,24	1,00	1,53	1,49	0,60	1,00	1,00	1,00
96	22,25	11,85	12,54	1,00	1,00	1,00	1,00		A1/1	1,00	1,00	1,00	1,00	1,26	1,24	1,00	1,53	1,49	0,60	1,00	1,00	1,00
									A1/2	1,00	1,00	1,00	1,00	1,26	1,24	1,00	1,53	1,49	0,60	1,00	1,00	1,00
								X+	A1/8	1,00	0,83	0,84	0,75	1,26	1,24	1,00	1,53	1,49	0,60	1,00	1,00	1,00
								X-	A1/15	1,00	0,83	0,85	0,76	1,26	1,24	1,00	1,53	1,49	0,60	1,00	1,00	1,00
								Y+	A1/22	1,00	0,87	0,88	0,80	1,26	1,24	1,00	1,53	1,49	0,60	1,00	1,00	1,00
								Y-	A1/24	1,00	0,81	0,82	0,72	1,26	1,24	1,00	1,53	1,49	0,60	1,00	1,00	1,00
97	22,25	11,85	12,54	1,00	1,00	1,00	1,00		A1/1	1,00	1,00	1,00	1,00	1,27	1,25	1,00	1,53	1,49	0,60	1,00	1,00	1,00
									A1/2	1,00	1,00	1,00	1,00	1,27	1,25	1,00	1,53	1,49	0,60	1,00	1,00	1,00
								X+	A1/9	1,00	0,85	0,86	0,78	1,27	1,25	1,00	1,53	1,49	0,60	1,00	1,00	1,00
								X-	A1/18	1,00	0,82	0,84	0,75	1,27	1,25	1,00	1,53	1,49	0,60	1,00	1,00	1,00
								Y+	A1/28	1,00	0,86	0,87	0,79	1,27	1,25	1,00	1,53	1,49	0,60	1,00	1,00	1,00
								Y-	A1/34	1,00	0,81	0,83	0,73	1,27	1,25	1,00	1,53	1,49	0,60	1,00	1,00	1,00
98	22,25	11,85	12,54	1,00	1,00	1,00	1,00		A1/1	1,00	1,00	1,00	1,00	1,29	1,27	1,00	1,53	1,49	0,60	1,00	1,00	1,00
									A1/2	1,00	1,00	1,00	1,00	1,29	1,27	1,00	1,53	1,49	0,60	1,00	1,00	1,00
								X+	A1/9	1,00	0,85	0,86	0,78	1,29	1,27	1,00	1,53	1,49	0,60	1,00	1,00	1,00
								X-	A1/18	1,00	0,83	0,84	0,75	1,29	1,27	1,00	1,53	1,49	0,60	1,00	1,00	1,00
								Y+	A1/28	1,00	0,84	0,85	0,77	1,29	1,27	1,00	1,53	1,49	0,60	1,00	1,00	1,00
								Y-	A1/34	1,00	0,83	0,84	0,75	1,29	1,27	1,00	1,53	1,49	0,60	1,00	1,00	1,00
99	22,25	11,85	12,54	1,00	1,00	1,00	1,00		A1/1	1,00	1,00	1,00	1,00	1,29	1,27	1,00	1,53	1,49	0,60	1,00	1,00	1,00
									A1/2	1,00	1,00	1,00	1,00	1,29	1,27	1,00	1,53	1,49	0,60	1,00	1,00	1,00
								X+	A1/6	1,00	0,85	0,86	0,78	1,29	1,27	1,00	1,53	1,49	0,60	1,00	1,00	1,00
								X-	A1/13	1,00	0,83	0,84	0,75	1,29	1,27	1,00	1,53	1,49	0,60	1,00	1,00	1,00
								Y+	A1/29	1,00	0,83	0,84	0,75	1,29	1,27	1,00	1,53	1,49	0,60	1,00	1,00	1,00
								Y-	A1/31	1,00	0,84	0,85	0,77	1,29	1,27	1,00	1,53	1,49	0,60	1,00	1,00	1,00

COEFFICIENTI DI PORTANZA PIASTRE WINKLER - CONDIZIONI DRENATE - S.L.U.

Piast	Brinch Hansen			IclTe	Incl.PianoPosa			Comb		Igk	CoeffIncl.Car.			Affondamento			Forma			Punzonamento		
Nro	Nc	Nq	Ng	Gc=Gq	Bc	Bq	Bg		N.ro	Sism	IcV	IqV	IgV	Dc	Dq	Dg	Sc	Sq	Sg	Psic	Psiq	Psig
100	22,25	11,85	12,54	1,00	1,00	1,00	1,00		A1/1	1,00	1,00	1,00	1,00	1,27	1,25	1,00	1,53	1,49	0,60	1,00	1,00	1,00
									A1/2	1,00	1,00	1,00	1,00	1,27	1,25	1,00	1,53	1,49	0,60	1,00	1,00	1,00
								X+	A1/6	1,00	0,85	0,86	0,78	1,27	1,25	1,00	1,53	1,49	0,60	1,00	1,00	1,00
								X-	A1/13	1,00	0,82	0,84	0,75	1,27	1,25	1,00	1,53	1,49	0,60	1,00	1,00	1,00
								Y+	A1/29	1,00	0,81	0,83	0,73	1,27	1,25	1,00	1,53	1,49	0,60	1,00	1,00	1,00
								Y-	A1/31	1,00	0,86	0,87	0,79	1,27	1,25	1,00	1,53	1,49	0,60	1,00	1,00	1,00
101	22,25	11,85	12,54	1,00	1,00	1,00	1,00		A1/1	1,00	1,00	1,00	1,00	1,27	1,25	1,00	1,53	1,49	0,60	1,00	1,00	1,00
									A1/2	1,00	1,00	1,00	1,00	1,27	1,25	1,00	1,53	1,49	0,60	1,00	1,00	1,00
								X+	A1/8	1,00	0,82	0,84	0,75	1,27	1,25	1,00	1,53	1,49	0,60	1,00	1,00	1,00
								X-	A1/15	1,00	0,85	0,86	0,78	1,27	1,25	1,00	1,53	1,49	0,60	1,00	1,00	1,00
								Y+	A1/22	1,00	0,86	0,87	0,79	1,27	1,25	1,00	1,53	1,49	0,60	1,00	1,00	1,00
								Y-	A1/24	1,00	0,81	0,83	0,73	1,27	1,25	1,00	1,53	1,49	0,60	1,00	1,00	1,00
102	22,25	11,85	12,54	1,00	1,00	1,00	1,00		A1/1	1,00	1,00	1,00	1,00	1,27	1,25	1,00	1,53	1,49	0,60	1,00	1,00	1,00
									A1/2	1,00	1,00	1,00	1,00	1,27	1,25	1,00	1,53	1,49	0,60	1,00	1,00	1,00
								X+	A1/8	1,00	0,83	0,84	0,75	1,27	1,25	1,00	1,53	1,49	0,60	1,00	1,00	1,00
								X-	A1/15	1,00	0,85	0,86	0,78	1,27	1,25	1,00	1,53	1,49	0,60	1,00	1,00	1,00
								Y+	A1/22	1,00	0,84	0,85	0,77	1,27	1,25	1,00	1,53	1,49	0,60	1,00	1,00	1,00
								Y-	A1/24	1,00	0,83	0,84	0,75	1,27	1,25	1,00	1,53	1,49	0,60	1,00	1,00	1,00
103	22,25	11,85	12,54	1,00	1,00	1,00	1,00		A1/1	1,00	1,00	1,00	1,00	1,27	1,25	1,00	1,53	1,49	0,60	1,00	1,00	1,00
									A1/2	1,00	1,00	1,00	1,00	1,27	1,25	1,00	1,53	1,49	0,60	1,00	1,00	1,00
								X+	A1/3	1,00	0,83	0,84	0,75	1,27	1,25	1,00	1,53	1,49	0,60	1,00	1,00	1,00
								X-	A1/12	1,00	0,85	0,86	0,78	1,27	1,25	1,00	1,53	1,49	0,60	1,00	1,00	1,00
								Y+	A1/19	1,00	0,83	0,84	0,75	1,27	1,25	1,00	1,53	1,49	0,60	1,00	1,00	1,00
								Y-	A1/25	1,00	0,84	0,85	0,77	1,27	1,25	1,00	1,53	1,49	0,60	1,00	1,00	1,00
104	22,25	11,85	12,54	1,00	1,00	1,00	1,00		A1/1	1,00	1,00	1,00	1,00	1,29	1,27	1,00	1,53	1,49	0,60	1,00	1,00	1,00
									A1/2	1,00	1,00	1,00	1,00	1,29	1,27	1,00	1,53	1,49	0,60	1,00	1,00	1,00
								X+	A1/3	1,00	0,82	0,84	0,75	1,29	1,27	1,00	1,53	1,49	0,60	1,00	1,00	1,00
								X-	A1/12	1,00	0,85	0,86	0,78	1,29	1,27	1,00	1,53	1,49	0,60	1,00	1,00	1,00
								Y+	A1/19	1,00	0,81	0,83	0,73	1,29	1,27	1,00	1,53	1,49	0,60	1,00	1,00	1,00
								Y-	A1/25	1,00	0,86	0,87	0,79	1,29	1,27	1,00	1,53	1,49	0,60	1,00	1,00	1,00

CARICO LIMITE PIASTRE WINKLER - S.L.U.

IDENTIIFICATIVO						DRENATE		NON DRENATE		RISULTATI					
Piastr N.ro	Nodo3d N.ro		Comb N.ro	Bx' m	By' m	GamEf kg/mc	QLimV (t)	GamEf kg/mc	QLimV (t)	N (t)	Coeff. Sicur.	Minimo CoeSic	N/Ar kg/cmq	QLim/Ar kg/cmq	Status Verifica
1	1		A1/1	0,82	0,82	1900	23,4								
			A1/2	0,82	0,82	1900	23,4								
		X+	A1/9	0,82	0,82	1900	19,7								
		X-	A1/18	0,82	0,82	1900	19,2								
		Y+	A1/28	0,82	0,82	1900	20,2								
		Y-	A1/34	0,82	0,82	1900	18,9								
2	2		A1/1	0,84	0,84	1900	24,9								
			A1/2	0,84	0,84	1900	24,9								
		X+	A1/8	0,84	0,84	1900	20,4								
		X-	A1/15	0,84	0,84	1900	20,9								
		Y+	A1/22	0,84	0,84	1900	21,4								
		Y-	A1/24	0,84	0,84	1900	20,1								
3	5		A1/1	0,89	0,89	1900	27,7								
			A1/2	0,89	0,89	1900	27,7								
		X+	A1/3	0,89	0,89	1900	22,7								
		X-	A1/12	0,89	0,89	1900	23,3								
		Y+	A1/19	0,89	0,89	1900	22,3								
		Y-	A1/25	0,89	0,89	1900	23,9								
4	6		A1/1	0,84	0,84	1900	24,9								
			A1/2	0,84	0,84	1900	24,9								
		X+	A1/6	0,84	0,84	1900	20,9								
		X-	A1/13	0,84	0,84	1900	20,4								
		Y+	A1/29	0,84	0,84	1900	20,1								
		Y-	A1/31	0,84	0,84	1900	21,4								
5	9		A1/1	0,46	0,46	1900	7,8								
			A1/2	0,46	0,46	1900	7,8								
		X+	A1/9	0,46	0,46	1900	6,6								
		X-	A1/18	0,46	0,46	1900	6,4								
		Y+	A1/28	0,46	0,46	1900	6,8								
		Y-	A1/34	0,46	0,46	1900	6,3								
6	10		A1/1	0,46	0,46	1900	7,8								
			A1/2	0,46	0,46	1900	7,8								
		X+	A1/8	0,46	0,46	1900	6,4								
		X-	A1/15	0,46	0,46	1900	6,6								
		Y+	A1/22	0,46	0,46	1900	6,8								
		Y-	A1/24	0,46	0,46	1900	6,3								
7	11		A1/1	0,41	0,41	1900	6,4								
			A1/2	0,41	0,41	1900	6,4								
		X+	A1/3	0,41	0,41	1900	5,3								
		X-	A1/12	0,41	0,41	1900	5,4								
		Y+	A1/19	0,41	0,41	1900	5,2								
		Y-	A1/25	0,41	0,41	1900	5,6								
8	12		A1/1	0,46	0,46	1900	7,8								
			A1/2	0,46	0,46	1900	7,8								
		X+	A1/6	0,46	0,46	1900	6,6								
		X-	A1/13	0,46	0,46	1900	6,4								

CARICO LIMITE PIASTRE WINKLER - S.L.U.

IDENTIIFICATIVO						DRENATE		NON DRENATE		RISULTATI					
Piastr N.ro	Nodo3d N.ro	Comb N.ro		Bx' m	By' m	GamEf kg/mc	QLimV (t)	GamEf kg/mc	QLimV (t)	N (t)	Coeff. Sicur.	Minimo CoeSic	N/Ar kg/cmq	QLim/Ar kg/cmq	Status Verifica
		Y+	A1/29	0,46	0,46	1900	6,3								
		Y-	A1/31	0,46	0,46	1900	6,8								
9	13		A1/1	0,96	0,96	1900	32,0								
			A1/2	0,96	0,96	1900	32,0								
		X+	A1/9	0,96	0,96	1900	26,7								
		X-	A1/18	0,96	0,96	1900	26,3								
		Y+	A1/28	0,96	0,96	1900	27,5								
		Y-	A1/34	0,96	0,96	1900	25,9								
10	14		A1/1	0,96	0,96	1900	32,0								
			A1/2	0,96	0,96	1900	32,0								
		X+	A1/9	0,96	0,96	1900	26,6								
		X-	A1/18	0,96	0,96	1900	26,4								
		Y+	A1/28	0,96	0,96	1900	27,4								
		Y-	A1/34	0,96	0,96	1900	25,9								
11	15		A1/1	0,96	0,96	1900	32,0								
			A1/2	0,96	0,96	1900	32,0								
		X+	A1/9	0,96	0,96	1900	26,5								
		X-	A1/18	0,96	0,96	1900	26,5								
		Y+	A1/19	0,96	0,96	1900	27,5								
		Y-	A1/25	0,96	0,96	1900	25,9								
12	16		A1/1	0,96	0,96	1900	32,0								
			A1/2	0,96	0,96	1900	32,0								
		X+	A1/8	0,96	0,96	1900	26,4								
		X-	A1/15	0,96	0,96	1900	26,6								
		Y+	A1/22	0,96	0,96	1900	27,4								
		Y-	A1/24	0,96	0,96	1900	25,9								
13	17		A1/1	0,96	0,96	1900	32,0								
			A1/2	0,96	0,96	1900	32,0								
		X+	A1/8	0,96	0,96	1900	26,3								
		X-	A1/15	0,96	0,96	1900	26,7								
		Y+	A1/22	0,96	0,96	1900	27,5								
		Y-	A1/24	0,96	0,96	1900	25,9								
14	18		A1/1	0,96	0,96	1900	32,0								
			A1/2	0,96	0,96	1900	32,0								
		X+	A1/3	0,96	0,96	1900	26,3								
		X-	A1/12	0,96	0,96	1900	26,7								
		Y+	A1/19	0,96	0,96	1900	25,9								
		Y-	A1/25	0,96	0,96	1900	27,5								
15	19		A1/1	0,96	0,96	1900	32,0								
			A1/2	0,96	0,96	1900	32,0								
		X+	A1/3	0,96	0,96	1900	26,4								
		X-	A1/12	0,96	0,96	1900	26,6								
		Y+	A1/19	0,96	0,96	1900	25,9								
		Y-	A1/25	0,96	0,96	1900	27,4								
16	20		A1/1	0,96	0,96	1900	32,0								
			A1/2	0,96	0,96	1900	32,0								
		X+	A1/3	0,96	0,96	1900	26,5								
		X-	A1/12	0,96	0,96	1900	26,5								
		Y+	A1/28	0,96	0,96	1900	25,9								
		Y-	A1/34	0,96	0,96	1900	27,5								
17	21		A1/1	0,96	0,96	1900	32,0								
			A1/2	0,96	0,96	1900	32,0								
		X+	A1/6	0,96	0,96	1900	26,6								
		X-	A1/13	0,96	0,96	1900	26,4								
		Y+	A1/29	0,96	0,96	1900	25,9								
		Y-	A1/31	0,96	0,96	1900	27,4								
18	22		A1/1	0,96	0,96	1900	32,0								
			A1/2	0,96	0,96	1900	32,0								
		X+	A1/6	0,96	0,96	1900	26,7								
		X-	A1/13	0,96	0,96	1900	26,3								
		Y+	A1/29	0,96	0,96	1900	25,9								
		Y-	A1/31	0,96	0,96	1900	27,5								
19	23		A1/1	0,68	0,68	1900	16,3								
			A1/2	0,68	0,68	1900	16,3								
		X+	A1/8	0,68	0,68	1900	13,5								
		X-	A1/15	0,68	0,68	1900	13,8								
		Y+	A1/22	0,68	0,68	1900	13,8								
		Y-	A1/24	0,68	0,68	1900	13,4								
20	24		A1/1	0,68	0,68	1900	16,3								
			A1/2	0,68	0,68	1900	16,3								
		X+	A1/6	0,68	0,68	1900	13,5								
		X-	A1/13	0,68	0,68	1900	13,9								
		Y+	A1/22	0,68	0,68	1900	13,6								
		Y-	A1/24	0,68	0,68	1900	13,6								
21	25		A1/1	0,71	0,71	1900	17,8								
			A1/2	0,71	0,71	1900	17,8								

CARICO LIMITE PIASTRE WINKLER - S.L.U.

IDENTIIFICATIVO						DRENATE		NON DRENATE		RISULTATI					
Piastr N.ro	Nodo3d N.ro	Comb N.ro		Bx' m	By' m	GamEf kg/mc	QLimV (t)	GamEf kg/mc	QLimV (t)	N (t)	Coeff. Sicur.	Minimo CoeSic	N/Ar kg/cmq	QLim/Ar kg/cmq	Status Verifica
		X+	A1/3	0,71	0,71	1900	14,6								
		X-	A1/12	0,71	0,71	1900	15,0								
		Y+	A1/19	0,71	0,71	1900	14,5								
		Y-	A1/25	0,71	0,71	1900	15,0								
22	26		A1/1	0,71	0,71	1900	17,8								
			A1/2	0,71	0,71	1900	17,8								
		X+	A1/6	0,71	0,71	1900	15,0								
		X-	A1/13	0,71	0,71	1900	14,6								
		Y+	A1/29	0,71	0,71	1900	14,5								
		Y-	A1/31	0,71	0,71	1900	15,0								
23	27		A1/1	0,76	0,76	1900	20,6								
			A1/2	0,76	0,76	1900	20,6								
		X+	A1/8	0,76	0,76	1900	17,5								
		X-	A1/15	0,76	0,76	1900	17,0								
		Y+	A1/29	0,76	0,76	1900	17,1								
		Y-	A1/31	0,76	0,76	1900	17,1								
24	28		A1/1	0,68	0,68	1900	16,3								
			A1/2	0,68	0,68	1900	16,3								
		X+	A1/9	0,68	0,68	1900	13,8								
		X-	A1/18	0,68	0,68	1900	13,5								
		Y+	A1/28	0,68	0,68	1900	13,8								
		Y-	A1/34	0,68	0,68	1900	13,4								
25	29		A1/1	0,80	0,80	1900	22,7								
			A1/2	0,80	0,80	1900	22,7								
		X+	A1/9	0,80	0,80	1900	19,1								
		X-	A1/18	0,80	0,80	1900	18,7								
		Y+	A1/28	0,80	0,80	1900	19,4								
		Y-	A1/34	0,80	0,80	1900	18,5								
26	30		A1/1	0,88	0,88	1900	27,0								
			A1/2	0,88	0,88	1900	27,0								
		X+	A1/9	0,88	0,88	1900	22,7								
		X-	A1/18	0,88	0,88	1900	22,2								
		Y+	A1/28	0,88	0,88	1900	23,0								
		Y-	A1/34	0,88	0,88	1900	22,0								
27	31		A1/1	1,00	1,00	1900	34,9								
			A1/2	1,00	1,00	1900	34,9								
		X+	A1/9	1,00	1,00	1900	29,5								
		X-	A1/18	1,00	1,00	1900	28,9								
		Y+	A1/28	1,00	1,00	1900	29,3								
		Y-	A1/34	1,00	1,00	1900	28,8								
28	32		A1/1	0,87	0,87	1900	26,3								
			A1/2	0,87	0,87	1900	26,3								
		X+	A1/9	0,87	0,87	1900	22,2								
		X-	A1/18	0,87	0,87	1900	21,7								
		Y+	A1/28	0,87	0,87	1900	22,0								
		Y-	A1/34	0,87	0,87	1900	21,7								
29	33		A1/1	1,00	1,00	1900	34,9								
			A1/2	1,00	1,00	1900	34,9								
		X+	A1/6	1,00	1,00	1900	29,5								
		X-	A1/13	1,00	1,00	1900	28,9								
		Y+	A1/29	1,00	1,00	1900	28,8								
		Y-	A1/31	1,00	1,00	1900	29,3								
30	34		A1/1	0,87	0,87	1900	26,3								
			A1/2	0,87	0,87	1900	26,3								
		X+	A1/6	0,87	0,87	1900	22,2								
		X-	A1/13	0,87	0,87	1900	21,7								
		Y+	A1/29	0,87	0,87	1900	21,7								
		Y-	A1/31	0,87	0,87	1900	22,0								
31	35		A1/1	0,88	0,88	1900	27,0								
			A1/2	0,88	0,88	1900	27,0								
		X+	A1/9	0,88	0,88	1900	22,6								
		X-	A1/18	0,88	0,88	1900	22,3								
		Y+	A1/28	0,88	0,88	1900	23,0								
		Y-	A1/34	0,88	0,88	1900	22,0								
32	36		A1/1	1,00	1,00	1900	34,9								
			A1/2	1,00	1,00	1900	34,9								
		X+	A1/9	1,00	1,00	1900	29,4								
		X-	A1/18	1,00	1,00	1900	29,0								
		Y+	A1/28	1,00	1,00	1900	29,3								
		Y-	A1/34	1,00	1,00	1900	28,9								
33	37		A1/1	1,00	1,00	1900	34,9								
			A1/2	1,00	1,00	1900	34,9								
		X+	A1/9	1,00	1,00	1900	29,4								
		X-	A1/18	1,00	1,00	1900	29,1								
		Y+	A1/28	1,00	1,00	1900	29,3								
		Y-	A1/34	1,00	1,00	1900	28,9								

CARICO LIMITE PIASTRE WINKLER - S.L.U.

IDENTIIFICATIVO						DRENATE		NON DRENATE		RISULTATI					
Piastr N.ro	Nodo3d N.ro		Comb N.ro	Bx' m	By' m	GamEf kg/mc	QLimV (t)	GamEf kg/mc	QLimV (t)	N (t)	Coeff. Sicur.	Minimo CoeSic	N/Ar kg/cmq	QLim/Ar kg/cmq	Status Verifica
34	38		A1/1	0,88	0,88	1900	27,0								
			A1/2	0,88	0,88	1900	27,0								
		X+	A1/9	0,88	0,88	1900	22,6								
		X-	A1/18	0,88	0,88	1900	22,4								
		Y+	A1/28	0,88	0,88	1900	23,0								
		Y-	A1/34	0,88	0,88	1900	22,0								
35	39		A1/1	0,88	0,88	1900	27,0								
			A1/2	0,88	0,88	1900	27,0								
		X+	A1/9	0,88	0,88	1900	22,5								
		X-	A1/18	0,88	0,88	1900	22,4								
		Y+	A1/28	0,88	0,88	1900	23,0								
		Y-	A1/34	0,88	0,88	1900	22,0								
36	40		A1/1	1,00	1,00	1900	34,9								
			A1/2	1,00	1,00	1900	34,9								
		X+	A1/9	1,00	1,00	1900	29,3								
		X-	A1/18	1,00	1,00	1900	29,1								
		Y+	A1/28	1,00	1,00	1900	29,3								
		Y-	A1/34	1,00	1,00	1900	28,9								
37	41		A1/1	1,00	1,00	1900	34,9								
			A1/2	1,00	1,00	1900	34,9								
		X+	A1/6	1,00	1,00	1900	29,4								
		X-	A1/13	1,00	1,00	1900	29,1								
		Y+	A1/29	1,00	1,00	1900	28,9								
		Y-	A1/31	1,00	1,00	1900	29,3								
38	42		A1/1	1,00	1,00	1900	34,9								
			A1/2	1,00	1,00	1900	34,9								
		X+	A1/6	1,00	1,00	1900	29,4								
		X-	A1/13	1,00	1,00	1900	29,0								
		Y+	A1/29	1,00	1,00	1900	28,9								
		Y-	A1/31	1,00	1,00	1900	29,3								
39	43		A1/1	0,88	0,88	1900	27,0								
			A1/2	0,88	0,88	1900	27,0								
		X+	A1/9	0,88	0,88	1900	22,5								
		X-	A1/18	0,88	0,88	1900	22,4								
		Y+	A1/28	0,88	0,88	1900	23,0								
		Y-	A1/34	0,88	0,88	1900	22,1								
40	44		A1/1	1,00	1,00	1900	34,9								
			A1/2	1,00	1,00	1900	34,9								
		X+	A1/9	1,00	1,00	1900	29,3								
		X-	A1/18	1,00	1,00	1900	29,2								
		Y+	A1/28	1,00	1,00	1900	29,4								
		Y-	A1/34	1,00	1,00	1900	28,9								
41	45		A1/1	1,00	1,00	1900	34,9								
			A1/2	1,00	1,00	1900	34,9								
		X+	A1/6	1,00	1,00	1900	29,3								
		X-	A1/13	1,00	1,00	1900	29,2								
		Y+	A1/29	1,00	1,00	1900	28,9								
		Y-	A1/31	1,00	1,00	1900	29,4								
42	46		A1/1	1,00	1,00	1900	34,9								
			A1/2	1,00	1,00	1900	34,9								
		X+	A1/6	1,00	1,00	1900	29,3								
		X-	A1/13	1,00	1,00	1900	29,1								
		Y+	A1/29	1,00	1,00	1900	28,9								
		Y-	A1/31	1,00	1,00	1900	29,3								
43	47		A1/1	0,88	0,88	1900	27,0								
			A1/2	0,88	0,88	1900	27,0								
		X+	A1/8	0,88	0,88	1900	22,4								
		X-	A1/15	0,88	0,88	1900	22,5								
		Y+	A1/22	0,88	0,88	1900	23,0								
		Y-	A1/24	0,88	0,88	1900	22,1								
44	48		A1/1	1,00	1,00	1900	34,9								
			A1/2	1,00	1,00	1900	34,9								
		X+	A1/8	1,00	1,00	1900	29,2								
		X-	A1/15	1,00	1,00	1900	29,3								
		Y+	A1/22	1,00	1,00	1900	29,4								
		Y-	A1/24	1,00	1,00	1900	28,9								
45	49		A1/1	1,00	1,00	1900	34,9								
			A1/2	1,00	1,00	1900	34,9								
		X+	A1/3	1,00	1,00	1900	29,2								
		X-	A1/12	1,00	1,00	1900	29,3								
		Y+	A1/19	1,00	1,00	1900	28,9								
		Y-	A1/25	1,00	1,00	1900	29,4								
46	50		A1/1	0,88	0,88	1900	27,0								
			A1/2	0,88	0,88	1900	27,0								
		X+	A1/6	0,88	0,88	1900	22,7								
		X-	A1/13	0,88	0,88	1900	22,2								
		Y+	A1/29	0,88	0,88	1900	22,0								
		Y-	A1/31	0,88	0,88	1900	23,0								

CARICO LIMITE PIASTRE WINKLER - S.L.U.

IDENTIIFICATIVO						DRENATE		NON DRENATE		RISULTATI					
Piastr N.ro	Nodo3d N.ro		Comb N.ro	Bx' m	By' m	GamEf kg/mc	QLimV (t)	GamEf kg/mc	QLimV (t)	N (t)	Coeff. Sicur.	Minimo CoeSic	N/Ar kg/cmq	QLim/Ar kg/cmq	Status Verifica
47	51		A1/1	0,75	0,75	1900	19,9								
			A1/2	0,75	0,75	1900	19,9								
		X+	A1/6	0,75	0,75	1900	16,7								
		X-	A1/13	0,75	0,75	1900	16,4								
		Y+	A1/29	0,75	0,75	1900	16,2								
		Y-	A1/31	0,75	0,75	1900	17,0								
48	52		A1/1	0,88	0,88	1900	27,0								
			A1/2	0,88	0,88	1900	27,0								
		X+	A1/6	0,88	0,88	1900	22,6								
		X-	A1/13	0,88	0,88	1900	22,3								
		Y+	A1/29	0,88	0,88	1900	22,0								
		Y-	A1/31	0,88	0,88	1900	23,0								
49	53		A1/1	0,88	0,88	1900	27,0								
			A1/2	0,88	0,88	1900	27,0								
		X+	A1/6	0,88	0,88	1900	22,6								
		X-	A1/13	0,88	0,88	1900	22,4								
		Y+	A1/29	0,88	0,88	1900	22,0								
		Y-	A1/31	0,88	0,88	1900	23,0								
50	54		A1/1	0,88	0,88	1900	27,0								
			A1/2	0,88	0,88	1900	27,0								
		X+	A1/6	0,88	0,88	1900	22,5								
		X-	A1/13	0,88	0,88	1900	22,4								
		Y+	A1/29	0,88	0,88	1900	22,1								
		Y-	A1/31	0,88	0,88	1900	23,0								
51	55		A1/1	0,88	0,88	1900	27,0								
			A1/2	0,88	0,88	1900	27,0								
		X+	A1/6	0,88	0,88	1900	22,5								
		X-	A1/13	0,88	0,88	1900	22,4								
		Y+	A1/29	0,88	0,88	1900	22,1								
		Y-	A1/31	0,88	0,88	1900	23,0								
52	56		A1/1	0,88	0,88	1900	27,0								
			A1/2	0,88	0,88	1900	27,0								
		X+	A1/3	0,88	0,88	1900	22,4								
		X-	A1/12	0,88	0,88	1900	22,5								
		Y+	A1/19	0,88	0,88	1900	22,1								
		Y-	A1/25	0,88	0,88	1900	23,0								
53	57		A1/1	1,00	1,00	1900	34,9								
			A1/2	1,00	1,00	1900	34,9								
		X+	A1/8	1,00	1,00	1900	29,1								
		X-	A1/15	1,00	1,00	1900	29,3								
		Y+	A1/22	1,00	1,00	1900	29,3								
		Y-	A1/24	1,00	1,00	1900	28,9								
54	58		A1/1	0,88	0,88	1900	27,0								
			A1/2	0,88	0,88	1900	27,0								
		X+	A1/8	0,88	0,88	1900	22,4								
		X-	A1/15	0,88	0,88	1900	22,5								
		Y+	A1/22	0,88	0,88	1900	23,0								
		Y-	A1/24	0,88	0,88	1900	22,1								
55	59		A1/1	0,88	0,88	1900	27,0								
			A1/2	0,88	0,88	1900	27,0								
		X+	A1/8	0,88	0,88	1900	22,4								
		X-	A1/15	0,88	0,88	1900	22,6								
		Y+	A1/22	0,88	0,88	1900	23,0								
		Y-	A1/24	0,88	0,88	1900	22,0								
56	60		A1/1	1,00	1,00	1900	34,9								
			A1/2	1,00	1,00	1900	34,9								
		X+	A1/8	1,00	1,00	1900	29,1								
		X-	A1/15	1,00	1,00	1900	29,4								
		Y+	A1/22	1,00	1,00	1900	29,3								
		Y-	A1/24	1,00	1,00	1900	28,9								
57	61		A1/1	1,00	1,00	1900	34,9								
			A1/2	1,00	1,00	1900	34,9								
		X+	A1/3	1,00	1,00	1900	29,1								
		X-	A1/12	1,00	1,00	1900	29,3								
		Y+	A1/19	1,00	1,00	1900	28,9								
		Y-	A1/25	1,00	1,00	1900	29,3								
58	62		A1/1	0,88	0,88	1900	27,0								
			A1/2	0,88	0,88	1900	27,0								
		X+	A1/8	0,88	0,88	1900	22,3								
		X-	A1/15	0,88	0,88	1900	22,6								
		Y+	A1/22	0,88	0,88	1900	23,0								
		Y-	A1/24	0,88	0,88	1900	22,0								
59	63		A1/1	1,00	1,00	1900	34,9								
			A1/2	1,00	1,00	1900	34,9								
		X+	A1/8	1,00	1,00	1900	29,0								
		X-	A1/15	1,00	1,00	1900	29,4								

CARICO LIMITE PIASTRE WINKLER - S.L.U.

IDENTIIFICATIVO						DRENATE		NON DRENATE		RISULTATI					
Piastr N.ro	Nodo3d N.ro	Comb N.ro		Bx' m	By' m	GamEf kg/mc	QLimV (t)	GamEf kg/mc	QLimV (t)	N (t)	Coeff. Sicur.	Minimo CoeSic	N/Ar kg/cmq	QLim/Ar kg/cmq	Status Verifica
		Y+	A1/22	1,00	1,00	1900	29,3								
		Y-	A1/24	1,00	1,00	1900	28,9								
60	64		A1/1	1,00	1,00	1900	34,9								
			A1/2	1,00	1,00	1900	34,9								
		X+	A1/3	1,00	1,00	1900	29,0								
		X-	A1/12	1,00	1,00	1900	29,4								
		Y+	A1/19	1,00	1,00	1900	28,9								
		Y-	A1/25	1,00	1,00	1900	29,3								
61	65		A1/1	1,00	1,00	1900	34,9								
			A1/2	1,00	1,00	1900	34,9								
		X+	A1/3	1,00	1,00	1900	29,1								
		X-	A1/12	1,00	1,00	1900	29,4								
		Y+	A1/19	1,00	1,00	1900	28,9								
		Y-	A1/25	1,00	1,00	1900	29,3								
62	66		A1/1	0,88	0,88	1900	27,0								
			A1/2	0,88	0,88	1900	27,0								
		X+	A1/8	0,88	0,88	1900	22,2								
		X-	A1/15	0,88	0,88	1900	22,7								
		Y+	A1/22	0,88	0,88	1900	23,0								
		Y-	A1/24	0,88	0,88	1900	22,0								
63	67		A1/1	1,00	1,00	1900	34,9								
			A1/2	1,00	1,00	1900	34,9								
		X+	A1/8	1,00	1,00	1900	28,9								
		X-	A1/15	1,00	1,00	1900	29,5								
		Y+	A1/22	1,00	1,00	1900	29,3								
		Y-	A1/24	1,00	1,00	1900	28,8								
64	68		A1/1	0,91	0,91	1900	29,1								
			A1/2	0,91	0,91	1900	29,1								
		X+	A1/8	0,91	0,91	1900	24,1								
		X-	A1/15	0,91	0,91	1900	24,7								
		Y+	A1/22	0,91	0,91	1900	24,4								
		Y-	A1/24	0,91	0,91	1900	24,0								
65	69		A1/1	0,75	0,75	1900	19,9								
			A1/2	0,75	0,75	1900	19,9								
		X+	A1/8	0,75	0,75	1900	16,4								
		X-	A1/15	0,75	0,75	1900	16,7								
		Y+	A1/22	0,75	0,75	1900	17,0								
		Y-	A1/24	0,75	0,75	1900	16,2								
66	70		A1/1	0,87	0,87	1900	26,3								
			A1/2	0,87	0,87	1900	26,3								
		X+	A1/3	0,87	0,87	1900	21,7								
		X-	A1/12	0,87	0,87	1900	22,2								
		Y+	A1/19	0,87	0,87	1900	21,7								
		Y-	A1/25	0,87	0,87	1900	22,0								
67	71		A1/1	1,00	1,00	1900	34,9								
			A1/2	1,00	1,00	1900	34,9								
		X+	A1/3	1,00	1,00	1900	28,9								
		X-	A1/12	1,00	1,00	1900	29,5								
		Y+	A1/19	1,00	1,00	1900	28,8								
		Y-	A1/25	1,00	1,00	1900	29,3								
68	72		A1/1	0,88	0,88	1900	27,0								
			A1/2	0,88	0,88	1900	27,0								
		X+	A1/3	0,88	0,88	1900	22,4								
		X-	A1/12	0,88	0,88	1900	22,5								
		Y+	A1/19	0,88	0,88	1900	22,0								
		Y-	A1/25	0,88	0,88	1900	23,0								
69	73		A1/1	0,88	0,88	1900	27,0								
			A1/2	0,88	0,88	1900	27,0								
		X+	A1/3	0,88	0,88	1900	22,4								
		X-	A1/12	0,88	0,88	1900	22,6								
		Y+	A1/19	0,88	0,88	1900	22,0								
		Y-	A1/25	0,88	0,88	1900	23,0								
70	74		A1/1	0,88	0,88	1900	27,0								
			A1/2	0,88	0,88	1900	27,0								
		X+	A1/3	0,88	0,88	1900	22,3								
		X-	A1/12	0,88	0,88	1900	22,6								
		Y+	A1/19	0,88	0,88	1900	22,0								
		Y-	A1/25	0,88	0,88	1900	23,0								
71	75		A1/1	0,88	0,88	1900	27,0								
			A1/2	0,88	0,88	1900	27,0								
		X+	A1/3	0,88	0,88	1900	22,2								
		X-	A1/12	0,88	0,88	1900	22,7								
		Y+	A1/19	0,88	0,88	1900	22,0								
		Y-	A1/25	0,88	0,88	1900	23,0								
72	76		A1/1	0,75	0,75	1900	19,9								
			A1/2	0,75	0,75	1900	19,9								

CARICO LIMITE PIASTRE WINKLER - S.L.U.

IDENTIIFICATIVO						DRENATE		NON DRENATE		RISULTATI					
Piastr N.ro	Nodo3d N.ro	Comb N.ro		Bx' m	By' m	GamEf kg/mc	QLimV (t)	GamEf kg/mc	QLimV (t)	N (t)	Coeff. Sicur.	Minimo CoeSic	N/Ar kg/cmq	QLim/Ar kg/cmq	Status Verifica
		X+	A1/3	0,75	0,75	1900	16,4								
		X-	A1/12	0,75	0,75	1900	16,7								
		Y+	A1/19	0,75	0,75	1900	16,2								
		Y-	A1/25	0,75	0,75	1900	17,0								
73	77		A1/1	0,52	0,52	1900	10,0								
			A1/2	0,52	0,52	1900	10,0								
		X+	A1/9	0,52	0,52	1900	8,3								
		X-	A1/18	0,52	0,52	1900	8,2								
		Y+	A1/28	0,52	0,52	1900	8,7								
		Y-	A1/34	0,52	0,52	1900	8,0								
74	78		A1/1	0,52	0,52	1900	10,0								
			A1/2	0,52	0,52	1900	10,0								
		X+	A1/9	0,52	0,52	1900	8,4								
		X-	A1/18	0,52	0,52	1900	8,2								
		Y+	A1/28	0,52	0,52	1900	8,7								
		Y-	A1/34	0,52	0,52	1900	8,0								
75	79		A1/1	0,52	0,52	1900	10,0								
			A1/2	0,52	0,52	1900	10,0								
		X+	A1/9	0,52	0,52	1900	8,3								
		X-	A1/18	0,52	0,52	1900	8,2								
		Y+	A1/28	0,52	0,52	1900	8,6								
		Y-	A1/34	0,52	0,52	1900	8,0								
76	80		A1/1	0,52	0,52	1900	10,0								
			A1/2	0,52	0,52	1900	10,0								
		X+	A1/9	0,52	0,52	1900	8,3								
		X-	A1/18	0,52	0,52	1900	8,2								
		Y+	A1/28	0,52	0,52	1900	8,6								
		Y-	A1/34	0,52	0,52	1900	8,0								
77	81		A1/1	0,52	0,52	1900	10,0								
			A1/2	0,52	0,52	1900	10,0								
		X+	A1/9	0,52	0,52	1900	8,3								
		X-	A1/18	0,52	0,52	1900	8,2								
		Y+	A1/28	0,52	0,52	1900	8,6								
		Y-	A1/34	0,52	0,52	1900	8,1								
78	82		A1/1	0,52	0,52	1900	10,0								
			A1/2	0,52	0,52	1900	10,0								
		X+	A1/9	0,52	0,52	1900	8,3								
		X-	A1/18	0,52	0,52	1900	8,2								
		Y+	A1/28	0,52	0,52	1900	8,6								
		Y-	A1/34	0,52	0,52	1900	8,1								
79	83		A1/1	0,52	0,52	1900	10,0								
			A1/2	0,52	0,52	1900	10,0								
		X+	A1/6	0,52	0,52	1900	8,3								
		X-	A1/13	0,52	0,52	1900	8,2								
		Y+	A1/29	0,52	0,52	1900	8,0								
		Y-	A1/31	0,52	0,52	1900	8,7								
80	84		A1/1	0,52	0,52	1900	10,0								
			A1/2	0,52	0,52	1900	10,0								
		X+	A1/6	0,52	0,52	1900	8,4								
		X-	A1/13	0,52	0,52	1900	8,2								
		Y+	A1/29	0,52	0,52	1900	8,0								
		Y-	A1/31	0,52	0,52	1900	8,7								
81	85		A1/1	0,52	0,52	1900	10,0								
			A1/2	0,52	0,52	1900	10,0								
		X+	A1/6	0,52	0,52	1900	8,3								
		X-	A1/13	0,52	0,52	1900	8,2								
		Y+	A1/29	0,52	0,52	1900	8,0								
		Y-	A1/31	0,52	0,52	1900	8,6								
82	86		A1/1	0,52	0,52	1900	10,0								
			A1/2	0,52	0,52	1900	10,0								
		X+	A1/6	0,52	0,52	1900	8,3								
		X-	A1/13	0,52	0,52	1900	8,2								
		Y+	A1/29	0,52	0,52	1900	8,0								
		Y-	A1/31	0,52	0,52	1900	8,6								
83	87		A1/1	0,52	0,52	1900	10,0								
			A1/2	0,52	0,52	1900	10,0								
		X+	A1/6	0,52	0,52	1900	8,3								
		X-	A1/13	0,52	0,52	1900	8,3								
		Y+	A1/29	0,52	0,52	1900	8,1								
		Y-	A1/31	0,52	0,52	1900	8,6								
84	88		A1/1	0,52	0,52	1900	10,0								
			A1/2	0,52	0,52	1900	10,0								
		X+	A1/6	0,52	0,52	1900	8,3								
		X-	A1/13	0,52	0,52	1900	8,2								
		Y+	A1/29	0,52	0,52	1900	8,1								
		Y-	A1/31	0,52	0,52	1900	8,6								

CARICO LIMITE PIASTRE WINKLER - S.L.U.

IDENTIIFICATIVO						DRENATE		NON DRENATE		RISULTATI					
Piastr N.ro	Nodo3d N.ro		Comb N.ro	Bx' m	By' m	GamEf kg/mc	QLimV (t)	GamEf kg/mc	QLimV (t)	N (t)	Coeff. Sicur.	Minimo CoeSic	N/Ar kg/cmq	QLim/Ar kg/cmq	Status Verifica
85	89		A1/1	0,52	0,52	1900	10,0								
			A1/2	0,52	0,52	1900	10,0								
		X+	A1/8	0,52	0,52	1900	8,2								
		X-	A1/15	0,52	0,52	1900	8,3								
		Y+	A1/22	0,52	0,52	1900	8,6								
		Y-	A1/24	0,52	0,52	1900	8,0								
86	90		A1/1	0,52	0,52	1900	10,0								
			A1/2	0,52	0,52	1900	10,0								
		X+	A1/8	0,52	0,52	1900	8,2								
		X-	A1/15	0,52	0,52	1900	8,3								
		Y+	A1/22	0,52	0,52	1900	8,6								
		Y-	A1/24	0,52	0,52	1900	8,0								
87	91		A1/1	0,52	0,52	1900	10,0								
			A1/2	0,52	0,52	1900	10,0								
		X+	A1/8	0,52	0,52	1900	8,2								
		X-	A1/15	0,52	0,52	1900	8,4								
		Y+	A1/22	0,52	0,52	1900	8,7								
		Y-	A1/24	0,52	0,52	1900	8,0								
88	92		A1/1	0,52	0,52	1900	10,0								
			A1/2	0,52	0,52	1900	10,0								
		X+	A1/8	0,52	0,52	1900	8,2								
		X-	A1/15	0,52	0,52	1900	8,3								
		Y+	A1/22	0,52	0,52	1900	8,7								
		Y-	A1/24	0,52	0,52	1900	8,0								
89	93		A1/1	0,52	0,52	1900	10,0								
			A1/2	0,52	0,52	1900	10,0								
		X+	A1/3	0,52	0,52	1900	8,2								
		X-	A1/12	0,52	0,52	1900	8,3								
		Y+	A1/19	0,52	0,52	1900	8,1								
		Y-	A1/25	0,52	0,52	1900	8,6								
90	94		A1/1	0,52	0,52	1900	10,0								
			A1/2	0,52	0,52	1900	10,0								
		X+	A1/3	0,52	0,52	1900	8,3								
		X-	A1/12	0,52	0,52	1900	8,3								
		Y+	A1/19	0,52	0,52	1900	8,1								
		Y-	A1/25	0,52	0,52	1900	8,6								
91	95		A1/1	0,52	0,52	1900	10,0								
			A1/2	0,52	0,52	1900	10,0								
		X+	A1/3	0,52	0,52	1900	8,2								
		X-	A1/12	0,52	0,52	1900	8,3								
		Y+	A1/19	0,52	0,52	1900	8,0								
		Y-	A1/25	0,52	0,52	1900	8,6								
92	96		A1/1	0,52	0,52	1900	10,0								
			A1/2	0,52	0,52	1900	10,0								
		X+	A1/3	0,52	0,52	1900	8,2								
		X-	A1/12	0,52	0,52	1900	8,3								
		Y+	A1/19	0,52	0,52	1900	8,0								
		Y-	A1/25	0,52	0,52	1900	8,6								
93	97		A1/1	0,52	0,52	1900	10,0								
			A1/2	0,52	0,52	1900	10,0								
		X+	A1/3	0,52	0,52	1900	8,2								
		X-	A1/12	0,52	0,52	1900	8,3								
		Y+	A1/19	0,52	0,52	1900	8,0								
		Y-	A1/25	0,52	0,52	1900	8,7								
94	98		A1/1	0,52	0,52	1900	10,0								
			A1/2	0,52	0,52	1900	10,0								
		X+	A1/3	0,52	0,52	1900	8,2								
		X-	A1/12	0,52	0,52	1900	8,4								
		Y+	A1/19	0,52	0,52	1900	8,0								
		Y-	A1/25	0,52	0,52	1900	8,7								
95	99		A1/1	0,52	0,52	1900	10,0								
			A1/2	0,52	0,52	1900	10,0								
		X+	A1/8	0,52	0,52	1900	8,3								
		X-	A1/15	0,52	0,52	1900	8,3								
		Y+	A1/22	0,52	0,52	1900	8,6								
		Y-	A1/24	0,52	0,52	1900	8,1								
96	100		A1/1	0,52	0,52	1900	10,0								
			A1/2	0,52	0,52	1900	10,0								
		X+	A1/8	0,52	0,52	1900	8,2								
		X-	A1/15	0,52	0,52	1900	8,3								
		Y+	A1/22	0,52	0,52	1900	8,6								
		Y-	A1/24	0,52	0,52	1900	8,1								
97	101		A1/1	0,50	0,50	1900	9,3								
			A1/2	0,50	0,50	1900	9,3								
		X+	A1/9	0,50	0,50	1900	7,8								
		X-	A1/18	0,50	0,50	1900	7,6								
		Y+	A1/28	0,50	0,50	1900	7,9								
		Y-	A1/34	0,50	0,50	1900	7,5								

CARICO LIMITE PIASTRE WINKLER - S.L.U.

IDENTIIFICATIVO						DRENATE		NON DRENATE		RISULTATI					
Piastr N.ro	Nodo3d N.ro		Comb N.ro	Bx' m	By' m	GamEf kg/mc	QLimV (t)	GamEf kg/mc	QLimV (t)	N (t)	Coeff. Sicur.	Minimo CoeSic	N/Ar kg/cmq	QLim/Ar kg/cmq	Status Verifica
98	102		A1/1	0,46	0,46	1900	7,8								
			A1/2	0,46	0,46	1900	7,8								
		X+	A1/9	0,46	0,46	1900	6,7								
		X-	A1/18	0,46	0,46	1900	6,5								
		Y+	A1/28	0,46	0,46	1900	6,6								
		Y-	A1/34	0,46	0,46	1900	6,5								
99	103		A1/1	0,46	0,46	1900	7,8								
			A1/2	0,46	0,46	1900	7,8								
		X+	A1/6	0,46	0,46	1900	6,7								
		X-	A1/13	0,46	0,46	1900	6,5								
		Y+	A1/29	0,46	0,46	1900	6,5								
		Y-	A1/31	0,46	0,46	1900	6,6								
100	104		A1/1	0,50	0,50	1900	9,3								
			A1/2	0,50	0,50	1900	9,3								
		X+	A1/6	0,50	0,50	1900	7,8								
		X-	A1/13	0,50	0,50	1900	7,6								
		Y+	A1/29	0,50	0,50	1900	7,5								
		Y-	A1/31	0,50	0,50	1900	7,9								
101	105		A1/1	0,50	0,50	1900	9,3								
			A1/2	0,50	0,50	1900	9,3								
		X+	A1/8	0,50	0,50	1900	7,6								
		X-	A1/15	0,50	0,50	1900	7,8								
		Y+	A1/22	0,50	0,50	1900	7,9								
		Y-	A1/24	0,50	0,50	1900	7,5								
102	106		A1/1	0,50	0,50	1900	9,3								
			A1/2	0,50	0,50	1900	9,3								
		X+	A1/8	0,50	0,50	1900	7,7								
		X-	A1/15	0,50	0,50	1900	7,9								
		Y+	A1/22	0,50	0,50	1900	7,8								
		Y-	A1/24	0,50	0,50	1900	7,6								
103	107		A1/1	0,50	0,50	1900	9,3								
			A1/2	0,50	0,50	1900	9,3								
		X+	A1/3	0,50	0,50	1900	7,7								
		X-	A1/12	0,50	0,50	1900	7,9								
		Y+	A1/19	0,50	0,50	1900	7,6								
		Y-	A1/25	0,50	0,50	1900	7,8								
104	108		A1/1	0,46	0,46	1900	7,8								
			A1/2	0,46	0,46	1900	7,8								
		X+	A1/3	0,46	0,46	1900	6,5								
		X-	A1/12	0,46	0,46	1900	6,6								
		Y+	A1/19	0,46	0,46	1900	6,4								
		Y-	A1/25	0,46	0,46	1900	6,7								

VERIFICA ALLO SCORRIMENTO - CONDIZIONI DRENATE

IDENTIFICATIVO			RISULTATI									
Combinazione N.ro	Tipo Elem.	Elem N.ro	N (t)	Tg(fi)/ Gfi/Gr	C/Gc/Gr t/mq	Area mq	Vres (t)	Fh (t)	Verifica Locale	S(Vres) (t)	S(Fh) (t)	Verifica Globale
A1 / 33	PIASTRA	1	2,54	0,227	1,36	0,667	1,49	0,55	OK	1,49	0,55	
	PIASTRA	2	2,53	0,227	1,36	0,708	1,54	0,55	OK	3,02	1,10	
	PIASTRA	5	1,39	0,227	1,36	0,792	1,39	0,30	OK	4,42	1,40	
	PIASTRA	6	1,40	0,227	1,36	0,708	1,28	0,30	OK	5,70	1,70	
	PIASTRA	9	0,85	0,227	1,36	0,208	0,48	0,18	OK	6,18	1,89	
	PIASTRA	10	0,79	0,227	1,36	0,208	0,46	0,17	OK	6,64	2,06	
	PIASTRA	11	0,25	0,227	1,36	0,167	0,28	0,05	OK	6,93	2,11	
	PIASTRA	12	0,36	0,227	1,36	0,208	0,37	0,08	OK	7,29	2,19	
	PIASTRA	13	3,41	0,227	1,36	0,917	2,02	0,74	OK	9,32	2,93	
	PIASTRA	14	3,34	0,227	1,36	0,917	2,01	0,72	OK	11,32	3,65	
	PIASTRA	15	3,30	0,227	1,36	0,917	2,00	0,71	OK	13,32	4,36	
	PIASTRA	16	3,27	0,227	1,36	0,917	1,99	0,71	OK	15,31	5,07	
	PIASTRA	17	3,27	0,227	1,36	0,917	1,99	0,71	OK	17,30	5,78	
	PIASTRA	18	1,74	0,227	1,36	0,917	1,64	0,38	OK	18,95	6,16	
	PIASTRA	19	1,84	0,227	1,36	0,917	1,67	0,40	OK	20,61	6,55	
	PIASTRA	20	1,89	0,227	1,36	0,917	1,68	0,41	OK	22,29	6,96	
	PIASTRA	21	1,90	0,227	1,36	0,917	1,68	0,41	OK	23,97	7,37	
	PIASTRA	22	1,87	0,227	1,36	0,917	1,67	0,41	OK	25,65	7,78	
	PIASTRA	23	1,42	0,227	1,36	0,458	0,95	0,31	OK	26,60	8,09	
	PIASTRA	24	1,21	0,227	1,36	0,458	0,90	0,26	OK	27,50	8,35	
	PIASTRA	25	1,10	0,227	1,36	0,500	0,93	0,24	OK	28,43	8,59	
	PIASTRA	26	1,21	0,227	1,36	0,500	0,96	0,26	OK	29,38	8,85	
	PIASTRA	27	1,68	0,227	1,36	0,583	1,18	0,36	OK	30,56	9,21	
	PIASTRA	28	1,53	0,227	1,36	0,458	0,97	0,33	OK	31,53	9,55	
	PIASTRA	29	2,29	0,227	1,36	0,646	1,40	0,50	OK	32,93	10,04	
	PIASTRA	30	2,69	0,227	1,36	0,771	1,66	0,58	OK	34,59	10,62	
	PIASTRA	31	3,00	0,227	1,36	1,000	2,04	0,65	OK	36,64	11,27	
	PIASTRA	32	2,30	0,227	1,36	0,750	1,55	0,50	OK	38,18	11,77	
	PIASTRA	33	2,58	0,227	1,36	1,000	1,95	0,56	OK	40,13	12,33	
	PIASTRA	34	1,97	0,227	1,36	0,750	1,47	0,43	OK	41,60	12,76	
	PIASTRA	35	2,65	0,227	1,36	0,771	1,65	0,57	OK	43,25	13,33	
	PIASTRA	36	2,95	0,227	1,36	1,000	2,03	0,64	OK	45,28	13,97	
	PIASTRA	37	2,91	0,227	1,36	1,000	2,02	0,63	OK	47,30	14,60	
	PIASTRA	38	2,62	0,227	1,36	0,771	1,65	0,57	OK	48,95	15,16	
	PIASTRA	39	2,60	0,227	1,36	0,771	1,64	0,56	OK	50,59	15,73	
	PIASTRA	40	2,88	0,227	1,36	1,000	2,02	0,62	OK	52,61	16,35	
	PIASTRA	41	2,52	0,227	1,36	1,000	1,93	0,54	OK	54,54	16,89	
	PIASTRA	42	2,54	0,227	1,36	1,000	1,94	0,55	OK	56,48	17,44	

VERIFICA ALLO SCORRIMENTO - CONDIZIONI DRENATE												
IDENTIFICATIVO			RISULTATI									
Combinazione N.ro	Tipo Elem.	Elem N.ro	N (t)	Tg(fi)/ Gfi/Gr	C/Gc/Gr t/mq	Area mq	Vres (t)	Fh (t)	Verifica Locale	S(Vres) (t)	S(Fh) (t)	Verifica Globale
	PIASTRA	43	2,58	0,227	1,36	0,771	1,64	0,56	OK	58,11	18,00	
	PIASTRA	44	2,86	0,227	1,36	1,000	2,01	0,62	OK	60,13	18,62	
	PIASTRA	45	2,48	0,227	1,36	1,000	1,93	0,54	OK	62,05	19,16	
	PIASTRA	46	2,50	0,227	1,36	1,000	1,93	0,54	OK	63,98	19,70	
	PIASTRA	47	2,56	0,227	1,36	0,771	1,63	0,55	OK	65,61	20,25	
	PIASTRA	48	2,84	0,227	1,36	1,000	2,01	0,62	OK	67,62	20,87	
	PIASTRA	49	2,46	0,227	1,36	1,000	1,92	0,53	OK	69,54	21,40	
	PIASTRA	50	1,70	0,227	1,36	0,771	1,44	0,37	OK	70,98	21,77	
	PIASTRA	51	1,24	0,227	1,36	0,563	1,05	0,27	OK	72,03	22,04	
	PIASTRA	52	1,70	0,227	1,36	0,771	1,44	0,37	OK	73,46	22,41	
	PIASTRA	53	1,70	0,227	1,36	0,771	1,44	0,37	OK	74,90	22,77	
	PIASTRA	54	1,70	0,227	1,36	0,771	1,44	0,37	OK	76,34	23,14	
	PIASTRA	55	1,69	0,227	1,36	0,771	1,43	0,37	OK	77,77	23,51	
	PIASTRA	56	1,68	0,227	1,36	0,771	1,43	0,36	OK	79,20	23,87	
	PIASTRA	57	2,83	0,227	1,36	1,000	2,01	0,61	OK	81,21	24,48	
	PIASTRA	58	2,55	0,227	1,36	0,771	1,63	0,55	OK	82,84	25,04	
	PIASTRA	59	2,55	0,227	1,36	0,771	1,63	0,55	OK	84,47	25,59	
	PIASTRA	60	2,82	0,227	1,36	1,000	2,00	0,61	OK	86,47	26,20	
	PIASTRA	61	2,45	0,227	1,36	1,000	1,92	0,53	OK	88,39	26,73	
	PIASTRA	62	2,55	0,227	1,36	0,771	1,63	0,55	OK	90,02	27,28	
	PIASTRA	63	2,82	0,227	1,36	1,000	2,00	0,61	OK	92,02	27,89	
	PIASTRA	64	2,42	0,227	1,36	1,000	1,91	0,52	OK	93,93	28,42	
	PIASTRA	65	2,43	0,227	1,36	1,000	1,91	0,53	OK	95,85	28,94	
	PIASTRA	66	2,56	0,227	1,36	0,771	1,63	0,55	OK	97,48	29,49	
	PIASTRA	67	2,84	0,227	1,36	1,000	2,01	0,61	OK	99,48	30,11	
	PIASTRA	68	2,39	0,227	1,36	0,833	1,68	0,52	OK	101,16	30,63	
	PIASTRA	69	1,87	0,227	1,36	0,563	1,19	0,41	OK	102,35	31,03	
	PIASTRA	70	1,81	0,227	1,36	0,750	1,43	0,39	OK	103,79	31,42	
	PIASTRA	71	2,41	0,227	1,36	1,000	1,91	0,52	OK	105,70	31,95	
	PIASTRA	72	1,66	0,227	1,36	0,771	1,43	0,36	OK	107,13	32,31	
	PIASTRA	73	1,63	0,227	1,36	0,771	1,42	0,35	OK	108,55	32,66	
	PIASTRA	74	1,61	0,227	1,36	0,771	1,42	0,35	OK	109,96	33,01	
	PIASTRA	75	1,57	0,227	1,36	0,771	1,41	0,34	OK	111,37	33,35	
	PIASTRA	76	1,12	0,227	1,36	0,563	1,02	0,24	OK	112,39	33,59	
	PIASTRA	77	1,08	0,227	1,36	0,271	0,61	0,23	OK	113,01	33,83	
	PIASTRA	78	1,09	0,227	1,36	0,271	0,62	0,24	OK	113,62	34,06	
	PIASTRA	79	1,06	0,227	1,36	0,271	0,61	0,23	OK	114,23	34,29	
	PIASTRA	80	1,07	0,227	1,36	0,271	0,61	0,23	OK	114,85	34,52	
	PIASTRA	81	1,05	0,227	1,36	0,271	0,61	0,23	OK	115,45	34,75	
	PIASTRA	82	1,05	0,227	1,36	0,271	0,61	0,23	OK	116,06	34,98	
	PIASTRA	83	0,50	0,227	1,36	0,271	0,48	0,11	OK	116,54	35,09	
	PIASTRA	84	0,48	0,227	1,36	0,271	0,48	0,10	OK	117,02	35,19	
	PIASTRA	85	0,51	0,227	1,36	0,271	0,48	0,11	OK	117,51	35,30	
	PIASTRA	86	0,52	0,227	1,36	0,271	0,49	0,11	OK	117,99	35,41	
	PIASTRA	87	0,52	0,227	1,36	0,271	0,49	0,11	OK	118,48	35,53	
	PIASTRA	88	0,52	0,227	1,36	0,271	0,49	0,11	OK	118,97	35,64	
	PIASTRA	89	1,03	0,227	1,36	0,271	0,60	0,22	OK	119,57	35,86	
	PIASTRA	90	1,04	0,227	1,36	0,271	0,60	0,22	OK	120,18	36,09	
	PIASTRA	91	1,03	0,227	1,36	0,271	0,60	0,22	OK	120,78	36,31	
	PIASTRA	92	1,03	0,227	1,36	0,271	0,60	0,22	OK	121,38	36,53	
	PIASTRA	93	0,51	0,227	1,36	0,271	0,48	0,11	OK	121,87	36,64	
	PIASTRA	94	0,52	0,227	1,36	0,271	0,49	0,11	OK	122,35	36,75	
	PIASTRA	95	0,50	0,227	1,36	0,271	0,48	0,11	OK	122,84	36,86	
	PIASTRA	96	0,48	0,227	1,36	0,271	0,48	0,10	OK	123,31	36,96	
	PIASTRA	97	0,46	0,227	1,36	0,271	0,47	0,10	OK	123,79	37,06	
	PIASTRA	98	0,43	0,227	1,36	0,271	0,47	0,09	OK	124,25	37,16	
	PIASTRA	99	1,04	0,227	1,36	0,271	0,61	0,23	OK	124,86	37,38	
	PIASTRA	100	1,04	0,227	1,36	0,271	0,60	0,22	OK	125,46	37,61	
	PIASTRA	101	0,90	0,227	1,36	0,250	0,54	0,19	OK	126,01	37,80	
	PIASTRA	102	0,65	0,227	1,36	0,208	0,43	0,14	OK	126,44	37,94	
	PIASTRA	103	0,55	0,227	1,36	0,208	0,41	0,12	OK	126,85	38,06	
	PIASTRA	104	0,55	0,227	1,36	0,250	0,47	0,12	OK	127,31	38,18	
	PIASTRA	105	0,83	0,227	1,36	0,250	0,53	0,18	OK	127,84	38,36	
	PIASTRA	106	0,72	0,227	1,36	0,250	0,50	0,16	OK	128,35	38,52	
	PIASTRA	107	0,60	0,227	1,36	0,250	0,48	0,13	OK	128,82	38,65	
	PIASTRA	108	0,41	0,227	1,36	0,208	0,38	0,09	OK	129,20	38,74	OK

PORTANZA GLOBALE PIASTRE - MOLTIPLICATORI DI COLLASSO - SLU										
	DRENATE				NON DRENATE				RISULTATI	
Comb N.ro	Risult (t)	Resist (t)	Moltipl. Collasso	%Pl. Moll	Risult (t)	Resist (t)	Moltipl. Collasso	%Pl. Moll	Moltipl. Minimo	STATUS (m)
A1 / 1	255	255	1,000	0					1,000	OK
A1 / 2	256	256	1,000	0						OK
A1 / 3	179	179	1,000	0						OK
A1 / 4	179	179	1,000	0						OK
A1 / 5	179	179	1,000	0						OK
A1 / 6	179	179	1,000	0						OK
A1 / 7	179	179	1,000	0						OK
A1 / 8	179	179	1,000	0						OK
A1 / 9	179	179	1,000	0						OK
A1 / 10	179	179	1,000	0						OK
A1 / 11	179	179	1,000	0						OK
A1 / 12	179	179	1,000	0						OK
A1 / 13	179	179	1,000	0						OK
A1 / 14	179	179	1,000	0						OK
A1 / 15	179	179	1,000	0						OK
A1 / 16	179	179	1,000	0						OK
A1 / 17	179	179	1,000	0						OK
A1 / 18	179	179	1,000	0						OK

PORTANZA GLOBALE PIASTRE - MOLTIPLICATORI DI COLLASSO - SLU

	DRENATE				NON DRENATE				RISULTATI	
Comb N.ro	Risult (t)	Resist (t)	Moltipl. Collasso	%Pl. Moll	Risult (t)	Resist (t)	Moltipl. Collasso	%Pl. Moll	Moltipl. Minimo	STATUS (m)
A1 / 19	179	179	1,000	0						OK
A1 / 20	179	179	1,000	0						OK
A1 / 21	179	179	1,000	0						OK
A1 / 22	179	179	1,000	0						OK
A1 / 23	179	179	1,000	0						OK
A1 / 24	179	179	1,000	0						OK
A1 / 25	179	179	1,000	0						OK
A1 / 26	179	179	1,000	0						OK
A1 / 27	179	179	1,000	0						OK
A1 / 28	179	179	1,000	0						OK
A1 / 29	179	179	1,000	0						OK
A1 / 30	179	179	1,000	0						OK
A1 / 31	179	179	1,000	0						OK
A1 / 32	179	179	1,000	0						OK
A1 / 33	179	179	1,000	0						OK
A1 / 34	179	179	1,000	0						OK

PORTANZA GLOBALE PIASTRE - ABBASSAMENTI COMBINAZ.: A1/1

	DRENATE		NON DRENATE			DRENATE		NON DRENATE			DRENATE		NON DRENATE	
Nodo3d N.ro	SpostZ (cm)	SpostZ/ SpostEl	SpostZ (cm)	SpostZ/ SpostEl	Nodo3d N.ro	SpostZ (cm)	SpostZ/ SpostEl	SpostZ (cm)	SpostZ/ SpostEl	Nodo3d N.ro	SpostZ (cm)	SpostZ/ SpostEl	SpostZ (cm)	SpostZ/ SpostEl
1	-0,393	ELAST.			2	-0,393	ELAST.			5	-0,393	ELAST.		
6	-0,393	ELAST.			9	-0,394	ELAST.			10	-0,394	ELAST.		
11	-0,394	ELAST.			12	-0,394	ELAST.			13	-0,392	ELAST.		
14	-0,392	ELAST.			15	-0,391	ELAST.			16	-0,392	ELAST.		
17	-0,392	ELAST.			18	-0,392	ELAST.			19	-0,392	ELAST.		
20	-0,391	ELAST.			21	-0,392	ELAST.			22	-0,392	ELAST.		
23	-0,393	ELAST.			24	-0,392	ELAST.			25	-0,393	ELAST.		
26	-0,393	ELAST.			27	-0,392	ELAST.			28	-0,393	ELAST.		
29	-0,393	ELAST.			30	-0,392	ELAST.			31	-0,392	ELAST.		
32	-0,392	ELAST.			33	-0,392	ELAST.			34	-0,392	ELAST.		
35	-0,392	ELAST.			36	-0,391	ELAST.			37	-0,390	ELAST.		
38	-0,391	ELAST.			39	-0,391	ELAST.			40	-0,390	ELAST.		
41	-0,390	ELAST.			42	-0,391	ELAST.			43	-0,391	ELAST.		
44	-0,390	ELAST.			45	-0,390	ELAST.			46	-0,390	ELAST.		
47	-0,391	ELAST.			48	-0,390	ELAST.			49	-0,390	ELAST.		
50	-0,392	ELAST.			51	-0,393	ELAST.			52	-0,392	ELAST.		
53	-0,391	ELAST.			54	-0,391	ELAST.			55	-0,391	ELAST.		
56	-0,391	ELAST.			57	-0,390	ELAST.			58	-0,391	ELAST.		
59	-0,391	ELAST.			60	-0,390	ELAST.			61	-0,390	ELAST.		
62	-0,392	ELAST.			63	-0,391	ELAST.			64	-0,391	ELAST.		
65	-0,390	ELAST.			66	-0,392	ELAST.			67	-0,392	ELAST.		
68	-0,392	ELAST.			69	-0,393	ELAST.			70	-0,392	ELAST.		
71	-0,392	ELAST.			72	-0,391	ELAST.			73	-0,391	ELAST.		
74	-0,392	ELAST.			75	-0,392	ELAST.			76	-0,393	ELAST.		
77	-0,393	ELAST.			78	-0,393	ELAST.			79	-0,392	ELAST.		
80	-0,393	ELAST.			81	-0,392	ELAST.			82	-0,392	ELAST.		
83	-0,393	ELAST.			84	-0,393	ELAST.			85	-0,393	ELAST.		
86	-0,392	ELAST.			87	-0,392	ELAST.			88	-0,392	ELAST.		
89	-0,393	ELAST.			90	-0,392	ELAST.			91	-0,393	ELAST.		
92	-0,393	ELAST.			93	-0,392	ELAST.			94	-0,392	ELAST.		
95	-0,392	ELAST.			96	-0,393	ELAST.			97	-0,393	ELAST.		
98	-0,393	ELAST.			99	-0,392	ELAST.			100	-0,392	ELAST.		
101	-0,393	ELAST.			102	-0,393	ELAST.			103	-0,393	ELAST.		
104	-0,393	ELAST.			105	-0,393	ELAST.			106	-0,393	ELAST.		
107	-0,393	ELAST.			108	-0,393	ELAST.							

PORTANZA GLOBALE PIASTRE - MOLTIPLICATORI DI COLLASSO - SLD

	DRENATE				NON DRENATE				RISULTATI	
Comb N.ro	Risult (t)	Resist (t)	Moltipl. Collasso	%Pl. Moll	Risult (t)	Resist (t)	Moltipl. Collasso	%Pl. Moll	Moltipl. Minimo	STATUS (m)
A1 / 1	255	255	1,000	0					1,000	OK
A1 / 2	256	256	1,000	0						OK
A1 / 3	179	179	1,000	0						OK
A1 / 4	179	179	1,000	0						OK
A1 / 5	179	179	1,000	0						OK
A1 / 6	179	179	1,000	0						OK
A1 / 7	179	179	1,000	0						OK
A1 / 8	179	179	1,000	0						OK
A1 / 9	179	179	1,000	0						OK
A1 / 10	179	179	1,000	0						OK
A1 / 11	179	179	1,000	0						OK
A1 / 12	179	179	1,000	0						OK
A1 / 13	179	179	1,000	0						OK
A1 / 14	179	179	1,000	0						OK
A1 / 15	179	179	1,000	0						OK
A1 / 16	179	179	1,000	0						OK

PORTANZA GLOBALE PIASTRE - MOLTIPLICATORI DI COLLASSO - SLD

	DRENATE				NON DRENATE				RISULTATI	
Comb N.ro	Risult (t)	Resist (t)	Moltipl. Collasso	%Pl. Moll	Risult (t)	Resist (t)	Moltipl. Collasso	%Pl. Moll	Moltipl. Minimo	STATUS (m)
A1 / 17	179	179	1,000	0						OK
A1 / 18	179	179	1,000	0						OK
A1 / 19	179	179	1,000	0						OK
A1 / 20	179	179	1,000	0						OK
A1 / 21	179	179	1,000	0						OK
A1 / 22	179	179	1,000	0						OK
A1 / 23	179	179	1,000	0						OK
A1 / 24	179	179	1,000	0						OK
A1 / 25	179	179	1,000	0						OK
A1 / 26	179	179	1,000	0						OK
A1 / 27	179	179	1,000	0						OK
A1 / 28	179	179	1,000	0						OK
A1 / 29	179	179	1,000	0						OK
A1 / 30	179	179	1,000	0						OK
A1 / 31	179	179	1,000	0						OK
A1 / 32	179	179	1,000	0						OK
A1 / 33	179	179	1,000	0						OK
A1 / 34	179	179	1,000	0						OK

PORTANZA GLOBALE PIASTRE - ABBASSAMENTI COMBINAZ.: SLD/1

	DRENATE		NON DRENATE			DRENATE		NON DRENATE			DRENATE		NON DRENATE	
Nodo3d N.ro	SpostZ (cm)	SpostZ/ SpostEl	SpostZ (cm)	SpostZ/ SpostEl	Nodo3d N.ro	SpostZ (cm)	SpostZ/ SpostEl	SpostZ (cm)	SpostZ/ SpostEl	Nodo3d N.ro	SpostZ (cm)	SpostZ/ SpostEl	SpostZ (cm)	SpostZ/ SpostEl
1	-0,393	ELAST.			2	-0,393	ELAST.			5	-0,393	ELAST.		
6	-0,393	ELAST.			9	-0,394	ELAST.			10	-0,394	ELAST.		
11	-0,394	ELAST.			12	-0,394	ELAST.			13	-0,392	ELAST.		
14	-0,392	ELAST.			15	-0,391	ELAST.			16	-0,392	ELAST.		
17	-0,392	ELAST.			18	-0,392	ELAST.			19	-0,392	ELAST.		
20	-0,391	ELAST.			21	-0,392	ELAST.			22	-0,392	ELAST.		
23	-0,393	ELAST.			24	-0,392	ELAST.			25	-0,393	ELAST.		
26	-0,393	ELAST.			27	-0,392	ELAST.			28	-0,393	ELAST.		
29	-0,393	ELAST.			30	-0,392	ELAST.			31	-0,392	ELAST.		
32	-0,392	ELAST.			33	-0,392	ELAST.			34	-0,392	ELAST.		
35	-0,392	ELAST.			36	-0,391	ELAST.			37	-0,390	ELAST.		
38	-0,391	ELAST.			39	-0,391	ELAST.			40	-0,390	ELAST.		
41	-0,390	ELAST.			42	-0,391	ELAST.			43	-0,391	ELAST.		
44	-0,390	ELAST.			45	-0,390	ELAST.			46	-0,390	ELAST.		
47	-0,391	ELAST.			48	-0,390	ELAST.			49	-0,390	ELAST.		
50	-0,392	ELAST.			51	-0,393	ELAST.			52	-0,392	ELAST.		
53	-0,391	ELAST.			54	-0,391	ELAST.			55	-0,391	ELAST.		
56	-0,391	ELAST.			57	-0,390	ELAST.			58	-0,391	ELAST.		
59	-0,391	ELAST.			60	-0,390	ELAST.			61	-0,390	ELAST.		
62	-0,392	ELAST.			63	-0,391	ELAST.			64	-0,391	ELAST.		
65	-0,390	ELAST.			66	-0,392	ELAST.			67	-0,392	ELAST.		
68	-0,392	ELAST.			69	-0,393	ELAST.			70	-0,392	ELAST.		
71	-0,392	ELAST.			72	-0,391	ELAST.			73	-0,391	ELAST.		
74	-0,392	ELAST.			75	-0,392	ELAST.			76	-0,393	ELAST.		
77	-0,393	ELAST.			78	-0,393	ELAST.			79	-0,392	ELAST.		
80	-0,393	ELAST.			81	-0,392	ELAST.			82	-0,392	ELAST.		
83	-0,393	ELAST.			84	-0,393	ELAST.			85	-0,393	ELAST.		
86	-0,392	ELAST.			87	-0,392	ELAST.			88	-0,392	ELAST.		
89	-0,393	ELAST.			90	-0,392	ELAST.			91	-0,393	ELAST.		
92	-0,393	ELAST.			93	-0,392	ELAST.			94	-0,392	ELAST.		
95	-0,392	ELAST.			96	-0,393	ELAST.			97	-0,393	ELAST.		
98	-0,393	ELAST.			99	-0,392	ELAST.			100	-0,392	ELAST.		
101	-0,393	ELAST.			102	-0,393	ELAST.			103	-0,393	ELAST.		
104	-0,393	ELAST.			105	-0,393	ELAST.			106	-0,393	ELAST.		
107	-0,393	ELAST.			108	-0,393	ELAST.							

CEDIMENTI ELASTICI ED EDOMETRICI

Filo N.ro	Combinaz N.ro	Ced.El. cm	Ced.Ed. cm	Filo N.ro	Combinaz N.ro	Ced.El. cm	Ced.Ed. cm	Filo N.ro	Combinaz N.ro	Ced.El. cm	Ced.Ed. cm	Filo N.ro	Combinaz N.ro	Ced.El. cm	Ced.Ed. cm
1	Rare 1	1,13	0,90	2	Rare 1	1,13	0,91	3	Rare 1	1,12	0,90	4	Rare 1	1,13	0,91
	Rare 2	1,13	0,91		Rare 2	1,14	0,91		Rare 2	1,12	0,90		Rare 2	1,14	0,91
	Freq 1	1,10	0,88		Freq 1	1,11	0,89		Freq 1	1,09	0,87		Freq 1	1,11	0,89
	Freq 2	1,09	0,87		Freq 2	1,10	0,88		Freq 2	1,08	0,86		Freq 2	1,10	0,88
	Perm 1	1,08	0,87		Perm 1	1,09	0,87		Perm 1	1,08	0,86		Perm 1	1,09	0,87
	MAX.	1,13	0,91		MAX.	1,14	0,91		MAX.	1,12	0,90		MAX.	1,14	0,91
5	Rare 1	1,62	1,30	6	Rare 1	1,62	1,30	7	Rare 1	1,63	1,31	8	Rare 1	1,62	1,30
	Rare 2	1,63	1,30		Rare 2	1,63	1,30		Rare 2	1,64	1,31		Rare 2	1,63	1,31
	Freq 1	1,58	1,27		Freq 1	1,58	1,26		Freq 1	1,59	1,28		Freq 1	1,58	1,27
	Freq 2	1,57	1,25		Freq 2	1,56	1,25		Freq 2	1,58	1,26		Freq 2	1,57	1,25
	Perm 1	1,56	1,25		Perm 1	1,56	1,24		Perm 1	1,57	1,26		Perm 1	1,56	1,25
	MAX.	1,63	1,30		MAX.	1,63	1,30		MAX.	1,64	1,31		MAX.	1,63	1,31
9	Rare 1	1,95	1,56	10	Rare 1	2,02	1,62	11	Rare 1	2,04	1,64	12	Rare 1	2,02	1,62
	Rare 2	1,96	1,57		Rare 2	2,03	1,63		Rare 2	2,05	1,64		Rare 2	2,03	1,63
	Freq 1	1,91	1,53		Freq 1	1,98	1,58		Freq 1	1,99	1,60		Freq 1	1,98	1,58
	Freq 2	1,89	1,51		Freq 2	1,95	1,56		Freq 2	1,97	1,58		Freq 2	1,95	1,56
	Perm 1	1,88	1,50		Perm 1	1,94	1,56		Perm 1	1,96	1,57		Perm 1	1,94	1,56
	MAX.	1,96	1,57		MAX.	2,03	1,63		MAX.	2,05	1,64		MAX.	2,03	1,63
13	Rare 1	1,95	1,56	14	Rare 1	1,95	1,56	15	Rare 1	2,02	1,62	16	Rare 1	2,04	1,64
	Rare 2	1,96	1,57		Rare 2	1,96	1,57		Rare 2	2,03	1,63		Rare 2	2,05	1,64

CEDIMENTI ELASTICI ED EDOMETRICI

Filo N.ro	Combinaz N.ro	Ced.El. cm	Ced.Ed. cm	Filo N.ro	Combinaz N.ro	Ced.El. cm	Ced.Ed. cm	Filo N.ro	Combinaz N.ro	Ced.El. cm	Ced.Ed. cm	Filo N.ro	Combinaz N.ro	Ced.El. cm	Ced.Ed. cm
	Freq 1	1,91	1,53		Freq 1	1,91	1,53		Freq 1	1,98	1,58		Freq 1	1,99	1,60
	Freq 2	1,89	1,51		Freq 2	1,89	1,51		Freq 2	1,95	1,56		Freq 2	1,97	1,58
	Perm 1	1,88	1,50		Perm 1	1,88	1,50		Perm 1	1,94	1,56		Perm 1	1,96	1,57
	MAX.	1,96	1,57		MAX.	1,96	1,57		MAX.	2,03	1,63		MAX.	2,05	1,64
17	Rare 1	2,02	1,62	18	Rare 1	1,95	1,56	19	Rare 1	1,73	1,38	20	Rare 1	1,76	1,41
	Rare 2	2,03	1,63		Rare 2	1,96	1,57		Rare 2	1,73	1,39		Rare 2	1,77	1,42
	Freq 1	1,98	1,58		Freq 1	1,91	1,53		Freq 1	1,68	1,35		Freq 1	1,72	1,38
	Freq 2	1,95	1,56		Freq 2	1,89	1,51		Freq 2	1,67	1,33		Freq 2	1,70	1,36
	Perm 1	1,94	1,56		Perm 1	1,88	1,50		Perm 1	1,66	1,33		Perm 1	1,69	1,35
	MAX.	2,03	1,63		MAX.	1,96	1,57		MAX.	1,73	1,39		MAX.	1,77	1,42
21	Rare 1	1,73	1,38	22	Rare 1	1,73	1,38	23	Rare 1	1,78	1,42	24	Rare 1	1,72	1,38
	Rare 2	1,73	1,39		Rare 2	1,74	1,39		Rare 2	1,79	1,43		Rare 2	1,73	1,39
	Freq 1	1,69	1,35		Freq 1	1,69	1,35		Freq 1	1,74	1,39		Freq 1	1,68	1,35
	Freq 2	1,67	1,33		Freq 2	1,67	1,34		Freq 2	1,72	1,38		Freq 2	1,67	1,33
	Perm 1	1,66	1,33		Perm 1	1,66	1,33		Perm 1	1,71	1,37		Perm 1	1,66	1,33
	MAX.	1,73	1,39		MAX.	1,74	1,39		MAX.	1,79	1,43		MAX.	1,73	1,39
25	Rare 1	1,79	1,43	26	Rare 1	1,92	1,54	27	Rare 1	1,95	1,56	28	Rare 1	1,89	1,51
	Rare 2	1,80	1,44		Rare 2	1,93	1,55		Rare 2	1,96	1,56		Rare 2	1,90	1,52
	Freq 1	1,75	1,40		Freq 1	1,88	1,50		Freq 1	1,90	1,52		Freq 1	1,85	1,48
	Freq 2	1,73	1,38		Freq 2	1,86	1,49		Freq 2	1,88	1,50		Freq 2	1,83	1,46
	Perm 1	1,72	1,38		Perm 1	1,85	1,48		Perm 1	1,87	1,50		Perm 1	1,82	1,46
	MAX.	1,80	1,44		MAX.	1,93	1,55		MAX.	1,96	1,56		MAX.	1,90	1,52
29	Rare 1	1,94	1,56	30	Rare 1	1,89	1,51	31	Rare 1	1,99	1,59	32	Rare 1	2,01	1,61
	Rare 2	1,95	1,56		Rare 2	1,90	1,52		Rare 2	2,00	1,60		Rare 2	2,02	1,62
	Freq 1	1,90	1,52		Freq 1	1,85	1,48		Freq 1	1,94	1,55		Freq 1	1,96	1,57
	Freq 2	1,88	1,50		Freq 2	1,83	1,46		Freq 2	1,92	1,53		Freq 2	1,94	1,55
	Perm 1	1,87	1,50		Perm 1	1,82	1,46		Perm 1	1,91	1,53		Perm 1	1,93	1,55
	MAX.	1,95	1,56		MAX.	1,90	1,52		MAX.	2,00	1,60		MAX.	2,02	1,62
33	Rare 1	2,04	1,63	34	Rare 1	2,02	1,62	35	Rare 1	2,04	1,63	36	Rare 1	2,06	1,65
	Rare 2	2,05	1,64		Rare 2	2,03	1,62		Rare 2	2,05	1,64		Rare 2	2,07	1,66
	Freq 1	1,99	1,60		Freq 1	1,97	1,58		Freq 1	1,99	1,59		Freq 1	2,01	1,61
	Freq 2	1,97	1,58		Freq 2	1,95	1,56		Freq 2	1,97	1,58		Freq 2	1,99	1,59
	Perm 1	1,96	1,57		Perm 1	1,94	1,55		Perm 1	1,96	1,57		Perm 1	1,98	1,59
	MAX.	2,05	1,64		MAX.	2,03	1,62		MAX.	2,05	1,64		MAX.	2,07	1,66
37	Rare 1	2,04	1,63	38	Rare 1	2,01	1,61	39	Rare 1	2,05	1,64	40	Rare 1	2,07	1,66
	Rare 2	2,05	1,64		Rare 2	2,02	1,62		Rare 2	2,06	1,65		Rare 2	2,08	1,66
	Freq 1	1,99	1,60		Freq 1	1,96	1,57		Freq 1	2,00	1,60		Freq 1	2,02	1,62
	Freq 2	1,97	1,58		Freq 2	1,94	1,55		Freq 2	1,98	1,58		Freq 2	2,00	1,60
	Perm 1	1,96	1,57		Perm 1	1,93	1,55		Perm 1	1,97	1,58		Perm 1	1,99	1,59
	MAX.	2,05	1,64		MAX.	2,02	1,62		MAX.	2,06	1,65		MAX.	2,08	1,66
41	Rare 1	2,07	1,66	42	Rare 1	2,06	1,65	43	Rare 1	2,05	1,64	44	Rare 1	2,07	1,66
	Rare 2	2,08	1,66		Rare 2	2,07	1,66		Rare 2	2,06	1,65		Rare 2	2,08	1,66
	Freq 1	2,02	1,62		Freq 1	2,01	1,61		Freq 1	2,00	1,60		Freq 1	2,02	1,62
	Freq 2	2,00	1,60		Freq 2	1,99	1,59		Freq 2	1,98	1,58		Freq 2	2,00	1,60
	Perm 1	1,99	1,59		Perm 1	1,98	1,59		Perm 1	1,97	1,58		Perm 1	1,99	1,59
	MAX.	2,08	1,66		MAX.	2,07	1,66		MAX.	2,06	1,65		MAX.	2,08	1,66
45	Rare 1	2,07	1,66	46	Rare 1	1,92	1,53	47	Rare 1	1,75	1,40	48	Rare 1	1,99	1,59
	Rare 2	2,08	1,66		Rare 2	1,93	1,54		Rare 2	1,75	1,40		Rare 2	2,00	1,60
	Freq 1	2,02	1,62		Freq 1	1,87	1,50		Freq 1	1,70	1,36		Freq 1	1,94	1,55
	Freq 2	2,00	1,60		Freq 2	1,85	1,48		Freq 2	1,69	1,35		Freq 2	1,92	1,53
	Perm 1	1,99	1,59		Perm 1	1,84	1,47		Perm 1	1,68	1,34		Perm 1	1,91	1,53
	MAX.	2,08	1,66		MAX.	1,93	1,54		MAX.	1,75	1,40		MAX.	2,00	1,60
49	Rare 1	2,02	1,62	50	Rare 1	2,04	1,63	51	Rare 1	2,05	1,64	52	Rare 1	2,05	1,64
	Rare 2	2,03	1,62		Rare 2	2,05	1,64		Rare 2	2,06	1,65		Rare 2	2,06	1,65
	Freq 1	1,97	1,58		Freq 1	1,99	1,59		Freq 1	2,00	1,60		Freq 1	2,00	1,60
	Freq 2	1,95	1,56		Freq 2	1,97	1,58		Freq 2	1,98	1,58		Freq 2	1,98	1,58
	Perm 1	1,94	1,55		Perm 1	1,96	1,57		Perm 1	1,97	1,58		Perm 1	1,97	1,58
	MAX.	2,03	1,62		MAX.	2,05	1,64		MAX.	2,06	1,65		MAX.	2,06	1,65
53	Rare 1	2,06	1,65	54	Rare 1	2,04	1,63	55	Rare 1	2,02	1,62	56	Rare 1	2,04	1,63
	Rare 2	2,07	1,66		Rare 2	2,05	1,64		Rare 2	2,03	1,62		Rare 2	2,05	1,64
	Freq 1	2,01	1,61		Freq 1	1,99	1,59		Freq 1	1,97	1,58		Freq 1	1,99	1,60
	Freq 2	1,99	1,59		Freq 2	1,97	1,58		Freq 2	1,95	1,56		Freq 2	1,97	1,58
	Perm 1	1,98	1,59		Perm 1	1,96	1,57		Perm 1	1,94	1,55		Perm 1	1,96	1,57
	MAX.	2,07	1,66		MAX.	2,05	1,64		MAX.	2,03	1,62		MAX.	2,05	1,64
57	Rare 1	2,06	1,65	58	Rare 1	1,99	1,59	59	Rare 1	2,01	1,61	60	Rare 1	2,01	1,61
	Rare 2	2,07	1,66		Rare 2	2,00	1,60		Rare 2	2,02	1,62		Rare 2	2,02	1,62
	Freq 1	2,01	1,61		Freq 1	1,94	1,55		Freq 1	1,96	1,57		Freq 1	1,96	1,57
	Freq 2	1,99	1,59		Freq 2	1,92	1,53		Freq 2	1,94	1,56		Freq 2	1,94	1,55
	Perm 1	1,98	1,59		Perm 1	1,91	1,53		Perm 1	1,93	1,55		Perm 1	1,93	1,55
	MAX.	2,07	1,66		MAX.	2,00	1,60		MAX.	2,02	1,62		MAX.	2,02	1,62
61	Rare 1	2,04	1,63	62	Rare 1	1,92	1,53	63	Rare 1	1,95	1,56	64	Rare 1	1,91	1,53
	Rare 2	2,05	1,64		Rare 2	1,93	1,54		Rare 2	1,96	1,57		Rare 2	1,92	1,53
	Freq 1	1,99	1,60		Freq 1	1,87	1,50		Freq 1	1,91	1,52		Freq 1	1,86	1,49
	Freq 2	1,97	1,58		Freq 2	1,85	1,48		Freq 2	1,89	1,51		Freq 2	1,84	1,47
	Perm 1	1,96	1,57		Perm 1	1,84	1,47		Perm 1	1,88	1,50		Perm 1	1,83	1,47
	MAX.	2,05	1,64		MAX.	1,93	1,54		MAX.	1,96	1,57		MAX.	1,92	1,53
65	Rare 1	1,75	1,40	66	Rare 1	1,88	1,51	67	Rare 1	1,95	1,56	68	Rare 1	2,04	1,63
	Rare 2	1,75	1,40		Rare 2	1,89	1,51		Rare 2	1,95	1,56		Rare 2	2,05	1,64
	Freq 1	1,70	1,36		Freq 1	1,84	1,47		Freq 1	1,90	1,52		Freq 1	1,99	1,59
	Freq 2	1,69	1,35		Freq 2	1,82	1,45		Freq 2	1,88	1,50		Freq 2	1,97	1,58
	Perm 1	1,68	1,34		Perm 1	1,81	1,45		Perm 1	1,87	1,50		Perm 1	1,96	1,57
	MAX.	1,75	1,40		MAX.	1,89	1,51		MAX.	1,95	1,56		MAX.	2,05	1,64
69	Rare 1	2,02	1,62	70	Rare 1	1,99	1,59	71	Rare 1	1,92	1,53	72	Rare 1	1,76	1,41
	Rare 2	2,03	1,62		Rare 2	2,00	1,60		Rare 2	1,93	1,54		Rare 2	1,77	1,41

CEDIMENTI ELASTICI ED EDOMETRICI

Filo N.ro	Combinaz N.ro	Ced.El. cm	Ced.Ed. cm	Filo N.ro	Combinaz N.ro	Ced.El. cm	Ced.Ed. cm	Filo N.ro	Combinaz N.ro	Ced.El. cm	Ced.Ed. cm	Filo N.ro	Combinaz N.ro	Ced.El. cm	Ced.Ed. cm
	Freq 1	1,97	1,58		Freq 1	1,94	1,55		Freq 1	1,87	1,50		Freq 1	1,72	1,37
	Freq 2	1,95	1,56		Freq 2	1,92	1,53		Freq 2	1,85	1,48		Freq 2	1,70	1,36
	Perm 1	1,94	1,55		Perm 1	1,91	1,53		Perm 1	1,84	1,47		Perm 1	1,69	1,35
	MAX.	2,03	1,62		MAX.	2,00	1,60		MAX.	1,93	1,54		MAX.	1,77	1,41
73	Rare 1	1,48	1,18	74	Rare 1	1,35	1,08	75	Rare 1	1,56	1,25	76	Rare 1	1,53	1,22
	Rare 2	1,49	1,19		Rare 2	1,35	1,08		Rare 2	1,57	1,26		Rare 2	1,54	1,23
	Freq 1	1,45	1,16		Freq 1	1,31	1,05		Freq 1	1,53	1,22		Freq 1	1,49	1,19
	Freq 2	1,43	1,14		Freq 2	1,30	1,04		Freq 2	1,51	1,21		Freq 2	1,48	1,18
	Perm 1	1,42	1,14		Perm 1	1,29	1,04		Perm 1	1,50	1,20		Perm 1	1,47	1,18
	MAX.	1,49	1,19		MAX.	1,35	1,08		MAX.	1,57	1,26		MAX.	1,54	1,23
77	Rare 1	1,59	1,27	78	Rare 1	1,58	1,27	79	Rare 1	1,48	1,18	80	Rare 1	1,35	1,08
	Rare 2	1,60	1,28		Rare 2	1,59	1,27		Rare 2	1,49	1,19		Rare 2	1,35	1,08
	Freq 1	1,55	1,24		Freq 1	1,54	1,24		Freq 1	1,44	1,16		Freq 1	1,32	1,05
	Freq 2	1,54	1,23		Freq 2	1,53	1,22		Freq 2	1,43	1,14		Freq 2	1,30	1,04
	Perm 1	1,53	1,22		Perm 1	1,52	1,22		Perm 1	1,42	1,14		Perm 1	1,29	1,04
	MAX.	1,60	1,28		MAX.	1,59	1,27		MAX.	1,49	1,19		MAX.	1,35	1,08
81	Rare 1	1,53	1,22	82	Rare 1	1,56	1,25	83	Rare 1	1,59	1,27	84	Rare 1	1,58	1,27
	Rare 2	1,54	1,23		Rare 2	1,57	1,26		Rare 2	1,60	1,28		Rare 2	1,59	1,27
	Freq 1	1,49	1,19		Freq 1	1,53	1,22		Freq 1	1,55	1,24		Freq 1	1,54	1,24
	Freq 2	1,48	1,18		Freq 2	1,51	1,21		Freq 2	1,54	1,23		Freq 2	1,53	1,22
	Perm 1	1,47	1,18		Perm 1	1,50	1,20		Perm 1	1,53	1,22		Perm 1	1,52	1,22
	MAX.	1,54	1,23		MAX.	1,57	1,26		MAX.	1,60	1,28		MAX.	1,59	1,27
85	Rare 1	1,53	1,22	86	Rare 1	1,56	1,25	87	Rare 1	1,35	1,08	88	Rare 1	1,48	1,18
	Rare 2	1,54	1,23		Rare 2	1,57	1,26		Rare 2	1,35	1,08		Rare 2	1,49	1,19
	Freq 1	1,49	1,19		Freq 1	1,53	1,22		Freq 1	1,31	1,05		Freq 1	1,44	1,16
	Freq 2	1,48	1,18		Freq 2	1,51	1,21		Freq 2	1,30	1,04		Freq 2	1,43	1,14
	Perm 1	1,47	1,18		Perm 1	1,50	1,20		Perm 1	1,29	1,04		Perm 1	1,42	1,14
	MAX.	1,54	1,23		MAX.	1,57	1,26		MAX.	1,35	1,08		MAX.	1,49	1,19
89	Rare 1	1,58	1,27	90	Rare 1	1,59	1,27	91	Rare 1	1,56	1,25	92	Rare 1	1,53	1,22
	Rare 2	1,59	1,27		Rare 2	1,60	1,28		Rare 2	1,57	1,26		Rare 2	1,54	1,23
	Freq 1	1,54	1,24		Freq 1	1,55	1,24		Freq 1	1,53	1,22		Freq 1	1,49	1,19
	Freq 2	1,53	1,22		Freq 2	1,54	1,23		Freq 2	1,51	1,21		Freq 2	1,48	1,18
	Perm 1	1,52	1,22		Perm 1	1,53	1,22		Perm 1	1,50	1,20		Perm 1	1,47	1,18
	MAX.	1,59	1,27		MAX.	1,60	1,28		MAX.	1,57	1,26		MAX.	1,54	1,23
93	Rare 1	1,48	1,18	94	Rare 1	1,36	1,09	95	Rare 1	1,59	1,27	96	Rare 1	1,58	1,27
	Rare 2	1,49	1,19		Rare 2	1,37	1,09		Rare 2	1,60	1,28		Rare 2	1,59	1,27
	Freq 1	1,45	1,16		Freq 1	1,33	1,06		Freq 1	1,55	1,24		Freq 1	1,54	1,24
	Freq 2	1,43	1,14		Freq 2	1,31	1,05		Freq 2	1,54	1,23		Freq 2	1,53	1,22
	Perm 1	1,42	1,14		Perm 1	1,31	1,04		Perm 1	1,53	1,22		Perm 1	1,52	1,22
	MAX.	1,49	1,19		MAX.	1,37	1,09		MAX.	1,60	1,28		MAX.	1,59	1,27
97	Rare 1	1,35	1,08	98	Rare 1	1,35	1,08	99	Rare 1	1,36	1,09	100	Rare 1	1,35	1,08
	Rare 2	1,35	1,08		Rare 2	1,36	1,09		Rare 2	1,37	1,09		Rare 2	1,36	1,09
	Freq 1	1,31	1,05		Freq 1	1,32	1,06		Freq 1	1,33	1,06		Freq 1	1,32	1,06
	Freq 2	1,30	1,04		Freq 2	1,31	1,04		Freq 2	1,31	1,05		Freq 2	1,31	1,05
	Perm 1	1,29	1,03		Perm 1	1,30	1,04		Perm 1	1,31	1,04		Perm 1	1,30	1,04
	MAX.	1,35	1,08		MAX.	1,36	1,09		MAX.	1,37	1,09		MAX.	1,36	1,09
101	Rare 1	1,35	1,08	102	Rare 1	1,37	1,09	103	Rare 1	1,36	1,09	104	Rare 1	1,34	1,07
	Rare 2	1,36	1,08		Rare 2	1,37	1,10		Rare 2	1,37	1,10		Rare 2	1,35	1,08
	Freq 1	1,32	1,05		Freq 1	1,33	1,07		Freq 1	1,33	1,07		Freq 1	1,31	1,05
	Freq 2	1,30	1,04		Freq 2	1,32	1,06		Freq 2	1,32	1,05		Freq 2	1,29	1,04
	Perm 1	1,30	1,04		Perm 1	1,31	1,05		Perm 1	1,31	1,05		Perm 1	1,29	1,03
	MAX.	1,36	1,08		MAX.	1,37	1,10		MAX.	1,37	1,10		MAX.	1,35	1,08

28 TABULATI DI CALCOLO FONDAZIONE LOCALE MTR CALTAGIRONE

DATI GENERALI

COEFFICIENTI PARZIALI GEOTECNICA		
	TABELLA M1	TABELLA M2
Tangente Resist. Taglio	1,00	
Peso Specifico	1,00	
Coesione Efficace (c'k)	1,00	
Resist. a taglio NON drenata (cuk)	1,00	
Tipo Approccio	Combinazione Unica: (A1+M1+R3)	
Tipo di fondazione	Superficiale	

	COEFFICIENTE R1	COEFFICIENTE R2	COEFFICIENTE R3
Capacita' Portante			2,30
Scorrimento			1,10

CRITERI DI PROGETTO GEOTECNICI - FONDAZIONI SUPERFICIALI

IDEN	CARATTERISTICHE DI SITO					IDEN	CARATTERISTICHE DI SITO					IDEN	CARATTERISTICHE DI SITO				
Crit N.ro	Falda (m)	Affond (m)	Ricopr (m)	Pend.X (grd)	Pend.Y (Grd)	Crit N.ro	Falda (m)	Affond (m)	Ricopr (m)	Pend.X (grd)	Pend.Y (Grd)	Crit N.ro	Falda (m)	Affond (m)	Ricopr (m)	Pend.X (grd)	Pend.Y (Grd)
1	1,00	0,00	0,10	0	0	2	1,00	0,50	0,00	0	0						

COORDINATE NODI3D PLATEA

IDENT.	POSIZIONE NODO			IDENT.	POSIZIONE NODO			IDENT.	POSIZIONE NODO			IDENT.	POSIZIONE NODO		
Nodo3d N.ro	Coord.X (m)	Coord.Y (m)	Coord.Z (m)	Nodo3d N.ro	Coord.X (m)	Coord.Y (m)	Coord.Z (m)	Nodo3d N.ro	Coord.X (m)	Coord.Y (m)	Coord.Z (m)	Nodo3d N.ro	Coord.X (m)	Coord.Y (m)	Coord.Z (m)
1	0,50	0,50	0,00	2	12,50	0,50	0,00	5	12,50	4,50	0,00	6	0,50	4,50	0,00
9	0,00	0,00	0,00	10	14,50	0,00	0,00	11	14,50	5,00	0,00	12	0,00	5,00	0,00
13	2,50	0,50	0,00	14	4,50	0,50	0,00	15	6,50	0,50	0,00	16	8,50	0,50	0,00
17	10,50	0,50	0,00	18	10,50	4,50	0,00	19	8,50	4,50	0,00	20	6,50	4,50	0,00
21	4,50	4,50	0,00	22	2,50	4,50	0,00	23	12,50	1,50	0,00	24	12,50	2,50	0,00
25	12,50	3,50	0,00	26	0,50	3,50	0,00	27	0,50	2,50	0,00	28	0,50	1,50	0,00
29	2,00	1,00	0,00	30	3,00	1,00	0,00	31	3,00	2,00	0,00	32	2,00	2,00	0,00
33	3,00	3,00	0,00	34	2,00	3,00	0,00	35	4,00	1,00	0,00	36	4,00	2,00	0,00
37	1,00	2,00	0,00	38	1,00	1,00	0,00	39	1,00	3,00	0,00	40	5,00	2,00	0,00
41	5,00	1,00	0,00	42	6,00	1,00	0,00	43	6,00	2,00	0,00	44	5,00	3,00	0,00
45	4,00	3,00	0,00	46	7,00	1,00	0,00	47	7,00	2,00	0,00	48	7,00	3,00	0,00
49	6,00	3,00	0,00	50	8,00	1,00	0,00	51	8,00	2,00	0,00	52	2,00	4,00	0,00
53	1,00	4,00	0,00	54	3,00	4,00	0,00	55	4,00	4,00	0,00	56	5,00	4,00	0,00
57	6,00	4,00	0,00	58	7,00	4,00	0,00	59	8,00	3,00	0,00	60	8,00	4,00	0,00
61	9,00	2,00	0,00	62	9,00	1,00	0,00	63	10,00	1,00	0,00	64	10,00	2,00	0,00
65	9,00	3,00	0,00	66	11,00	1,00	0,00	67	11,00	2,00	0,00	68	11,00	3,00	0,00
69	10,00	3,00	0,00	70	12,00	1,00	0,00	71	12,00	2,00	0,00	72	14,00	1,00	0,00
73	14,50	1,00	0,00	74	14,50	2,00	0,00	75	14,00	2,00	0,00	76	14,50	3,00	0,00
77	14,00	3,00	0,00	78	13,00	2,00	0,00	79	13,00	1,00	0,00	80	13,00	3,00	0,00
81	12,00	3,00	0,00	82	9,00	4,00	0,00	83	10,00	4,00	0,00	84	11,00	4,00	0,00
85	12,00	4,00	0,00	86	14,00	4,00	0,00	87	13,00	4,00	0,00	88	14,50	4,00	0,00
89	4,14	0,00	0,00	90	3,11	0,00	0,00	91	1,04	0,00	0,00	92	2,07	0,00	0,00
93	5,18	0,00	0,00	94	6,21	0,00	0,00	95	8,29	0,00	0,00	96	7,25	0,00	0,00
97	2,07	5,00	0,00	98	1,04	5,00	0,00	99	3,11	5,00	0,00	100	4,14	5,00	0,00
101	5,18	5,00	0,00	102	6,21	5,00	0,00	103	9,32	0,00	0,00	104	10,36	0,00	0,00
105	12,43	0,00	0,00	106	11,39	0,00	0,00	107	13,46	0,00	0,00	108	7,25	5,00	0,00
109	8,29	5,00	0,00	110	9,32	5,00	0,00	111	10,36	5,00	0,00	112	11,39	5,00	0,00
113	12,43	5,00	0,00	114	13,46	5,00	0,00	115	0,00	1,00	0,00	116	0,00	2,00	0,00
117	0,00	3,00	0,00	118	0,00	4,00	0,00								

GEOMETRIA PLATEA

Shell N.ro	Nodo 1	Nodo 2	Nodo 3	Nodo 4	Sez Nro	Shell N.ro	Nodo 1	Nodo 2	Nodo 3	Nodo 4	Sez Nro	Shell N.ro	Nodo 1	Nodo 2	Nodo 3	Nodo 4	Sez Nro	Shell N.ro	Nodo 1	Nodo 2	Nodo 3	Nodo 4	Sez Nro
5	29	30	31	32	1	6	32	31	33	34	1	7	35	36	31	30	1	8	29	32	37	38	1
9	37	32	34	39	1	10	36	35	41	40	1	11	40	41	42	43	1	12	36	40	44	45	1
13	42	46	47	43	1	14	43	47	48	49	1	15	50	51	47	46	1	16	40	43	49	44	1
17	31	36	45	33	1	18	39	34	52	53	1	19	52	34	33	54	1	20	54	33	45	55	1
21	55	45	44	56	1	22	49	57	56	44	1	23	58	57	49	48	1	24	59	60	58	48	1
25	51	59	48	47	1	26	51	50	62	61	1	27	61	62	63	64	1	28	51	61	65	59	1
29	63	66	67	64	1	30	64	67	68	69	1	31	70	71	67	66	1	32	61	64	69	65	1
33	72	73	74	75	1	34	75	74	76	77	1	35	72	75	78	79	1	36	78	75	77	80	1
37	67	71	81	68	1	38	65	82	60	59	1	39	68	84	83	69	1	40	82	65	69	83	1
41	81	85	84	68	1	42	80	77	86	87	1	43	88	86	77	76	1	44	1	13	29	38	1
45	14	13	90	89	1	46	91	92	13	1	1	47	93	94	15	14	1	48	16	15	96	95	1
49	14	15	42	41	1	50	13	14	35	30	1	51	22	97	98	6	1	52	22	6	53	52	1
53	21	22	54	55	1	54	99	22	21	100	1	55	101	21	20	102	1	56	20	21	56	57	1
57	103	104	17	16	1	58	16	17	63	62	1	59	2	17	106	105	1	60	107	10	72	79	1
61	17	2	70	66	1	62	19	20	58	60	1	63	18	19	82	83	1	64	108	20	19	109	1
65	110	19	18	111	1	66	5	18	84	85	1	67	112	18	5	113	1	68	86	88	11	114	1
69	50	46	15	16	1	70	107	79	2	105	1	71	5	87	114	113	1	72	1	28	115	9	1
73	38	37	28	1	1	74	37	39	27	28	1	75	28	27	116	115	1	76	117	27	26	118	1
77	39	53	26	27	1	78	118	26	6	12	1	79	79	78	23	2	1	80	78	80	24	23	1
81	23	24	71	70	1	82	81	24	25	85	1	83	25	24	80	87	1	84	1	9	91	91	1
85	30	29	13	13	1	86	13	92	90	90	1	87	35	14	41	41	1	88	93	14	89	89	1
89	46	42	15	15	1	90	15	94	96	96	1	91	27	117	116	116	1	92	53	6	26	26	1
93	12	6	98	98	1	94	54	22	52	52	1	95	22	99	97	97	1	96	55	56	21	21	1
97	101	100	21	21	1	98	57	58	20	20	1	99	108	102	20	20	1	100	50	16	62	62	1
101	103	16	95	95	1	102	66	63	17	17	1	103	17	104	106	106	1	104	2	23	70	70	1
105	73	72	10	10	1	106	60	82	19	19	1	107	109	19	110	110	1	108	111	18	112	112	1
109	83	84	18	18	1	110	87	5	25	25	1	111	85	25	5	5	1	112	86	114	87	87	1
113	71	24	81	81	1																		

STRATIGRAFIA PLATEA

Str.	Q.t.v.	Q.t.d.	Q.falda	Incl	Kw	Num	Sp.str.	Peso Sp	Fi'	C'	Cu	Mod.El.	Poisson	Gr.Sovr	Mod.Ed.

N.ro	(m)	(m)	(m)	Grd	kg/cmc	Str	(m)	kg/mc	(Grd)	kg/cmq	kg/cmq	kg/cmq		(%)	kg/cmq
1	-0,10	0,00	1,40	0	1,00	1		1900	26,00	0,15	0,50	40,00	0,20	1	50,00

COMBINAZIONI CARICHI - S.L.U. - A1

DESCRIZIONI	1	2	3	4	5	6	7	8	9	10	11	12	13	14	15
Peso Strutturale	1,30	1,30	1,00	1,00	1,00	1,00	1,00	1,00	1,00	1,00	1,00	1,00	1,00	1,00	1,00
Perm.Non Strutturale	1,50	1,50	1,00	1,00	1,00	1,00	1,00	1,00	1,00	1,00	1,00	1,00	1,00	1,00	1,00
Var.Neve h>1000	1,05	1,50	0,20	0,20	0,20	0,20	0,20	0,20	0,20	0,20	0,20	0,20	0,20	0,20	0,20
Var.Bibl.Arch.	1,50	1,50	0,80	0,80	0,80	0,80	0,80	0,80	0,80	0,80	0,80	0,80	0,80	0,80	0,80
Corr. Tors. dir. 0	0,00	0,00	1,00	-1,00	1,00	-1,00	1,00	-1,00	1,00	-1,00	-1,00	1,00	-1,00	1,00	-1,00
Corr. Tors. dir. 90	0,00	0,00	0,30	0,30	-0,30	-0,30	-0,30	-0,30	0,30	0,30	0,30	0,30	-0,30	-0,30	-0,30
Sisma direz. grd 0	0,00	0,00	1,00	1,00	1,00	1,00	1,00	1,00	1,00	1,00	-1,00	-1,00	-1,00	-1,00	-1,00
Sisma direz. grd 90	0,00	0,00	0,30	0,30	0,30	0,30	-0,30	-0,30	-0,30	-0,30	0,30	0,30	0,30	0,30	-0,30

COMBINAZIONI CARICHI - S.L.U. - A1

DESCRIZIONI	16	17	18	19	20	21	22	23	24	25	26	27	28	29	30
Peso Strutturale	1,00	1,00	1,00	1,00	1,00	1,00	1,00	1,00	1,00	1,00	1,00	1,00	1,00	1,00	1,00
Perm.Non Strutturale	1,00	1,00	1,00	1,00	1,00	1,00	1,00	1,00	1,00	1,00	1,00	1,00	1,00	1,00	1,00
Var.Neve h>1000	0,20	0,20	0,20	0,20	0,20	0,20	0,20	0,20	0,20	0,20	0,20	0,20	0,20	0,20	0,20
Var.Bibl.Arch.	0,80	0,80	0,80	0,80	0,80	0,80	0,80	0,80	0,80	0,80	0,80	0,80	0,80	0,80	0,80
Corr. Tors. dir. 0	1,00	-1,00	1,00	0,30	-0,30	0,30	-0,30	0,30	-0,30	0,30	-0,30	-0,30	0,30	-0,30	0,30
Corr. Tors. dir. 90	-0,30	0,30	0,30	1,00	1,00	-1,00	-1,00	-1,00	-1,00	1,00	1,00	1,00	1,00	-1,00	-1,00
Sisma direz. grd 0	-1,00	-1,00	-1,00	0,30	0,30	0,30	0,30	0,30	0,30	0,30	0,30	-0,30	-0,30	-0,30	-0,30
Sisma direz. grd 90	-0,30	-0,30	-0,30	1,00	1,00	1,00	1,00	-1,00	-1,00	-1,00	-1,00	1,00	1,00	1,00	1,00

COMBINAZIONI CARICHI - S.L.U. - A1

DESCRIZIONI	31	32	33	34
Peso Strutturale	1,00	1,00	1,00	1,00
Perm.Non Strutturale	1,00	1,00	1,00	1,00
Var.Neve h>1000	0,20	0,20	0,20	0,20
Var.Bibl.Arch.	0,80	0,80	0,80	0,80
Corr. Tors. dir. 0	-0,30	0,30	-0,30	0,30
Corr. Tors. dir. 90	-1,00	-1,00	1,00	1,00
Sisma direz. grd 0	-0,30	-0,30	-0,30	-0,30
Sisma direz. grd 90	-1,00	-1,00	-1,00	-1,00

COMBINAZIONI RARE - S.L.E.

DESCRIZIONI	1	2
Peso Strutturale	1,00	1,00
Perm.Non Strutturale	1,00	1,00
Var.Neve h>1000	0,70	1,00
Var.Bibl.Arch.	1,00	1,00
Corr. Tors. dir. 0	0,00	0,00
Corr. Tors. dir. 90	0,00	0,00
Sisma direz. grd 0	0,00	0,00
Sisma direz. grd 90	0,00	0,00

COMBINAZIONI FREQUENTI - S.L.E.

DESCRIZIONI	1	2
Peso Strutturale	1,00	1,00
Perm.Non Strutturale	1,00	1,00
Var.Neve h>1000	0,20	0,50
Var.Bibl.Arch.	0,90	0,80
Corr. Tors. dir. 0	0,00	0,00
Corr. Tors. dir. 90	0,00	0,00
Sisma direz. grd 0	0,00	0,00
Sisma direz. grd 90	0,00	0,00

COMBINAZIONI PERMANENTI - S.L.E.

DESCRIZIONI	1
Peso Strutturale	1,00
Perm.Non Strutturale	1,00
Var.Neve h>1000	0,20
Var.Bibl.Arch.	0,80
Corr. Tors. dir. 0	0,00
Corr. Tors. dir. 90	0,00
Sisma direz. grd 0	0,00
Sisma direz. grd 90	0,00

RISULTANTI SOLLECITAZIONI NODI PLATEE - SLU

Nod3d N.ro	Combinazione N.ro		Fz (t)	Nod3d N.ro	Combinazione N.ro		Fz (t)	Nod3d N.ro	Combinazione N.ro		Fz (t)	Nod3d N.ro	Combinazione N.ro		Fz (t)
1		A1/1	-3,06	2		A1/1	-2,36	5		A1/1	-2,23	6		A1/1	-2,88
		A1/2	-3,08			A1/2	-2,37			A1/2	-2,24			A1/2	-2,90
	X+	A1/9	-1,92		X+	A1/8	-1,86		X+	A1/3	-1,76		X+	A1/6	-1,81
	X-	A1/18	-2,38		X-	A1/15	-1,50		X-	A1/12	-1,41		X-	A1/13	-2,24
	Y+	A1/28	-2,21		Y+	A1/22	-1,72		Y+	A1/19	-1,64		Y+	A1/29	-2,09
	Y-	A1/34	-2,22		Y-	A1/24	-1,74		Y-	A1/25	-1,63		Y-	A1/31	-2,08
9		A1/1	-0,91	10		A1/1	-0,89	11		A1/1	-0,51	12		A1/1	-0,91
		A1/2	-0,92			A1/2	-0,89			A1/2	-0,51			A1/2	-0,92
	X+	A1/9	-0,57		X+	A1/8	-0,74		X+	A1/3	-0,42		X+	A1/6	-0,57
	X-	A1/18	-0,71		X-	A1/15	-0,55		X-	A1/12	-0,31		X-	A1/13	-0,71
	Y+	A1/28	-0,66		Y+	A1/22	-0,67		Y+	A1/19	-0,39		Y+	A1/29	-0,66
	Y-	A1/34	-0,66		Y-	A1/24	-0,68		Y-	A1/25	-0,38		Y-	A1/31	-0,66
13		A1/1	-3,85	14		A1/1	-3,72	15		A1/1	-3,57	16		A1/1	-3,40
		A1/2	-3,87			A1/2	-3,74			A1/2	-3,59			A1/2	-3,42
	X+	A1/9	-2,50		X+	A1/9	-2,50		X+	A1/8	-2,49		X+	A1/8	-2,46
	X-	A1/18	-2,91		X-	A1/18	-2,73		X-	A1/15	-2,54		X-	A1/15	-2,35
	Y+	A1/28	-2,76		Y+	A1/28	-2,64		Y+	A1/29	-2,51		Y+	A1/22	-2,41
	Y-	A1/34	-2,77		Y-	A1/34	-2,65		Y-	A1/31	-2,53		Y-	A1/24	-2,43
17		A1/1	-3,20	18		A1/1	-3,20	19		A1/1	-3,40	20		A1/1	-3,57
		A1/2	-3,22			A1/2	-3,22			A1/2	-3,42			A1/2	-3,59

RISULTANTI SOLLECITAZIONI NODI PLATEE - SLU

Nod3d N.ro	Combinazione N.ro		Fz (t)	Nod3d N.ro	Combinazione N.ro		Fz (t)	Nod3d N.ro	Combinazione N.ro		Fz (t)	Nod3d N.ro	Combinazione N.ro		Fz (t)
	X+	A1/8	-2,41		X+	A1/3	-2,41		X+	A1/3	-2,46		X+	A1/3	-2,49
	X-	A1/15	-2,12		X-	A1/12	-2,13		X-	A1/12	-2,35		X-	A1/12	-2,54
	Y+	A1/22	-2,30		Y+	A1/19	-2,32		Y+	A1/19	-2,43		Y+	A1/28	-2,53
	Y-	A1/24	-2,32		Y-	A1/25	-2,30		Y-	A1/25	-2,41		Y-	A1/34	-2,51
21		A1/1	-3,72	22		A1/1	-3,85	23		A1/1	-1,45	24		A1/1	-1,84
		A1/2	-3,74			A1/2	-3,87			A1/2	-1,45			A1/2	-1,85
	X+	A1/6	-2,50		X+	A1/6	-2,50		X+	A1/8	-1,14		X+	A1/3	-1,45
	X-	A1/13	-2,73		X-	A1/13	-2,91		X-	A1/15	-0,92		X-	A1/12	-1,16
	Y+	A1/29	-2,65		Y+	A1/29	-2,77		Y+	A1/22	-1,06		Y+	A1/19	-1,35
	Y-	A1/31	-2,64		Y-	A1/31	-2,76		Y-	A1/24	-1,06		Y-	A1/25	-1,35
25		A1/1	-1,31	26		A1/1	-1,96	27		A1/1	-2,49	28		A1/1	-2,14
		A1/2	-1,32			A1/2	-1,97			A1/2	-2,50			A1/2	-2,15
	X+	A1/3	-1,04		X+	A1/6	-1,23		X+	A1/9	-1,56		X+	A1/9	-1,34
	X-	A1/12	-0,84		X-	A1/13	-1,52		X-	A1/18	-1,93		X-	A1/18	-1,66
	Y+	A1/19	-0,97		Y+	A1/29	-1,42		Y+	A1/27	-1,80		Y+	A1/28	-1,54
	Y-	A1/25	-0,96		Y-	A1/31	-1,41		Y-	A1/33	-1,80		Y-	A1/34	-1,55
29		A1/1	-3,19	30		A1/1	-3,12	31		A1/1	-3,93	32		A1/1	-4,05
		A1/2	-3,21			A1/2	-3,14			A1/2	-3,95			A1/2	-4,08
	X+	A1/9	-2,06		X+	A1/9	-2,05		X+	A1/9	-2,58		X+	A1/9	-2,61
	X-	A1/18	-2,42		X-	A1/18	-2,34		X-	A1/18	-2,95		X-	A1/18	-3,08
	Y+	A1/28	-2,29		Y+	A1/28	-2,24		Y+	A1/28	-2,82		Y+	A1/28	-2,91
	Y-	A1/34	-2,30		Y-	A1/34	-2,24		Y-	A1/34	-2,82		Y-	A1/34	-2,92
33		A1/1	-3,93	34		A1/1	-4,05	35		A1/1	-3,06	36		A1/1	-3,84
		A1/2	-3,95			A1/2	-4,08			A1/2	-3,08			A1/2	-3,86
	X+	A1/6	-2,58		X+	A1/6	-2,61		X+	A1/9	-2,04		X+	A1/9	-2,57
	X-	A1/13	-2,95		X-	A1/13	-3,08		X-	A1/18	-2,26		X-	A1/18	-2,84
	Y+	A1/29	-2,82		Y+	A1/29	-2,92		Y+	A1/28	-2,18		Y+	A1/28	-2,74
	Y-	A1/31	-2,82		Y-	A1/31	-2,91		Y-	A1/34	-2,19		Y-	A1/34	-2,74
37		A1/1	-3,15	38		A1/1	-2,38	39		A1/1	-3,15	40		A1/1	-3,75
		A1/2	-3,16			A1/2	-2,40			A1/2	-3,16			A1/2	-3,77
	X+	A1/9	-1,99		X+	A1/9	-1,51		X+	A1/6	-1,99		X+	A1/9	-2,55
	X-	A1/18	-2,42		X-	A1/18	-1,84		X-	A1/13	-2,42		X-	A1/18	-2,73
	Y+	A1/28	-2,27		Y+	A1/28	-1,72		Y+	A1/29	-2,27		Y+	A1/28	-2,67
	Y-	A1/34	-2,27		Y-	A1/34	-1,72		Y-	A1/31	-2,27		Y-	A1/34	-2,67
41		A1/1	-3,00	42		A1/1	-2,94	43		A1/1	-3,67	44		A1/1	-3,75
		A1/2	-3,02			A1/2	-2,95			A1/2	-3,69			A1/2	-3,77
	X+	A1/9	-2,04		X+	A1/9	-2,03		X+	A1/8	-2,54		X+	A1/6	-2,55
	X-	A1/18	-2,18		X-	A1/18	-2,11		X-	A1/15	-2,64		X-	A1/13	-2,73
	Y+	A1/28	-2,13		Y+	A1/28	-2,08		Y+	A1/29	-2,60		Y+	A1/29	-2,67
	Y-	A1/34	-2,14		Y-	A1/34	-2,08		Y-	A1/31	-2,61		Y-	A1/31	-2,67
45		A1/1	-3,84	46		A1/1	-2,87	47		A1/1	-3,60	48		A1/1	-3,60
		A1/2	-3,86			A1/2	-2,89			A1/2	-3,61			A1/2	-3,61
	X+	A1/6	-2,57		X+	A1/8	-2,02		X+	A1/8	-2,53		X+	A1/3	-2,53
	X-	A1/13	-2,84		X-	A1/15	-2,03		X-	A1/15	-2,54		X-	A1/12	-2,54
	Y+	A1/29	-2,74		Y+	A1/29	-2,02		Y+	A1/29	-2,54		Y+	A1/28	-2,54
	Y-	A1/31	-2,74		Y-	A1/31	-2,03		Y-	A1/31	-2,54		Y-	A1/34	-2,54
49		A1/1	-3,67	50		A1/1	-2,81	51		A1/1	-3,52	52		A1/1	-3,19
		A1/2	-3,69			A1/2	-2,82			A1/2	-3,54			A1/2	-3,21
	X+	A1/3	-2,54		X+	A1/8	-2,01		X+	A1/8	-2,52		X+	A1/6	-2,06
	X-	A1/12	-2,64		X-	A1/15	-1,95		X-	A1/15	-2,45		X-	A1/13	-2,42
	Y+	A1/28	-2,61		Y+	A1/22	-1,99		Y+	A1/22	-2,49		Y+	A1/29	-2,30
	Y-	A1/34	-2,60		Y-	A1/24	-2,00		Y-	A1/24	-2,50		Y-	A1/31	-2,29
53		A1/1	-2,74	54		A1/1	-3,13	55		A1/1	-3,06	56		A1/1	-3,00
		A1/2	-2,75			A1/2	-3,14			A1/2	-3,08			A1/2	-3,02
	X+	A1/6	-1,73		X+	A1/6	-2,05		X+	A1/6	-2,04		X+	A1/6	-2,04
	X-	A1/13	-2,11		X-	A1/13	-2,34		X-	A1/13	-2,26		X-	A1/13	-2,18
	Y+	A1/29	-1,98		Y+	A1/29	-2,24		Y+	A1/29	-2,19		Y+	A1/29	-2,14
	Y-	A1/31	-1,97		Y-	A1/31	-2,24		Y-	A1/31	-2,18		Y-	A1/31	-2,13
57		A1/1	-2,94	58		A1/1	-2,87	59		A1/1	-3,52	60		A1/1	-2,81
		A1/2	-2,95			A1/2	-2,89			A1/2	-3,54			A1/2	-2,82
	X+	A1/6	-2,03		X+	A1/3	-2,02		X+	A1/3	-2,52		X+	A1/3	-2,01
	X-	A1/13	-2,11		X-	A1/12	-2,03		X-	A1/12	-2,45		X-	A1/12	-1,95
	Y+	A1/29	-2,09		Y+	A1/28	-2,03		Y+	A1/19	-2,50		Y+	A1/19	-2,00
	Y-	A1/31	-2,08		Y-	A1/34	-2,02		Y-	A1/25	-2,49		Y-	A1/25	-1,99
61		A1/1	-3,44	62		A1/1	-2,74	63		A1/1	-2,67	64		A1/1	-3,37
		A1/2	-3,46			A1/2	-2,75			A1/2	-2,68			A1/2	-3,39
	X+	A1/8	-2,52		X+	A1/8	-2,00		X+	A1/8	-1,99		X+	A1/8	-2,51
	X-	A1/15	-2,36		X-	A1/15	-1,87		X-	A1/15	-1,79		X-	A1/15	-2,26
	Y+	A1/22	-2,46		Y+	A1/22	-1,95		Y+	A1/22	-1,91		Y+	A1/22	-2,42
	Y-	A1/24	-2,46		Y-	A1/24	-1,96		Y-	A1/24	-1,92		Y-	A1/24	-2,43
65		A1/1	-3,44	66		A1/1	-2,59	67		A1/1	-3,30	68		A1/1	-3,30
		A1/2	-3,46			A1/2	-2,60			A1/2	-3,32			A1/2	-3,32
	X+	A1/3	-2,52		X+	A1/8	-1,97		X+	A1/8	-2,52		X+	A1/3	-2,52
	X-	A1/12	-2,36		X-	A1/15	-1,70		X-	A1/15	-2,17		X-	A1/12	-2,17
	Y+	A1/19	-2,46		Y+	A1/22	-1,87		Y+	A1/22	-2,39		Y+	A1/19	-2,40
	Y-	A1/25	-2,46		Y-	A1/24	-1,88		Y-	A1/24	-2,40		Y-	A1/25	-2,39
69		A1/1	-3,37	70		A1/1	-2,09	71		A1/1	-2,28	72		A1/1	-1,97
		A1/2	-3,39			A1/2	-2,11			A1/2	-2,29			A1/2	-1,98

RISULTANTI SOLLECITAZIONI NODI PLATEE - SLU

Nod3d N.ro	Combinazione N.ro		Fz (t)	Nod3d N.ro	Combinazione N.ro		Fz (t)	Nod3d N.ro	Combinazione N.ro		Fz (t)	Nod3d N.ro	Combinazione N.ro		Fz (t)
	X+	A1/3	-2,51		X+	A1/8	-1,63		X+	A1/8	-1,78		X+	A1/8	-1,61
	X-	A1/12	-2,26		X-	A1/15	-1,35		X-	A1/15	-1,46		X-	A1/15	-1,22
	Y+	A1/19	-2,43		Y+	A1/22	-1,53		Y+	A1/22	-1,66		Y+	A1/22	-1,47
	Y-	A1/25	-2,42		Y-	A1/24	-1,54		Y-	A1/24	-1,67		Y-	A1/24	-1,48
73		A1/1	-0,55	74		A1/1	-0,65	75		A1/1	-2,07	76		A1/1	-0,65
		A1/2	-0,55			A1/2	-0,65			A1/2	-2,08			A1/2	-0,66
	X+	A1/8	-0,45		X+	A1/8	-0,54		X+	A1/8	-1,69		X+	A1/3	-0,54
	X-	A1/15	-0,33		X-	A1/15	-0,40		X-	A1/15	-1,28		X-	A1/12	-0,40
	Y+	A1/22	-0,41		Y+	A1/22	-0,49		Y+	A1/22	-1,54		Y+	A1/19	-0,49
	Y-	A1/24	-0,41		Y-	A1/24	-0,49		Y-	A1/24	-1,55		Y-	A1/25	-0,49
77		A1/1	-2,07	78		A1/1	-2,28	79		A1/1	-2,39	80		A1/1	-2,28
		A1/2	-2,08			A1/2	-2,29			A1/2	-2,40			A1/2	-2,29
	X+	A1/3	-1,69		X+	A1/8	-1,81		X+	A1/8	-1,91		X+	A1/3	-1,81
	X-	A1/12	-1,28		X-	A1/15	-1,43		X-	A1/15	-1,51		X-	A1/12	-1,43
	Y+	A1/19	-1,55		Y+	A1/22	-1,68		Y+	A1/22	-1,76		Y+	A1/19	-1,68
	Y-	A1/25	-1,54		Y-	A1/24	-1,68		Y-	A1/24	-1,77		Y-	A1/25	-1,68
81		A1/1	-2,28	82		A1/1	-2,74	83		A1/1	-2,67	84		A1/1	-2,59
		A1/2	-2,29			A1/2	-2,75			A1/2	-2,68			A1/2	-2,60
	X+	A1/3	-1,78		X+	A1/3	-2,00		X+	A1/3	-1,99		X+	A1/3	-1,97
	X-	A1/12	-1,46		X-	A1/12	-1,87		X-	A1/12	-1,79		X-	A1/12	-1,70
	Y+	A1/19	-1,67		Y+	A1/19	-1,96		Y+	A1/19	-1,92		Y+	A1/19	-1,88
	Y-	A1/25	-1,66		Y-	A1/25	-1,95		Y-	A1/25	-1,91		Y-	A1/25	-1,87
85		A1/1	-2,10	86		A1/1	-2,04	87		A1/1	-2,39	88		A1/1	-0,83
		A1/2	-2,11			A1/2	-2,04			A1/2	-2,40			A1/2	-0,84
	X+	A1/3	-1,63		X+	A1/3	-1,66		X+	A1/3	-1,91		X+	A1/3	-0,69
	X-	A1/12	-1,35		X-	A1/12	-1,26		X-	A1/12	-1,50		X-	A1/12	-0,51
	Y+	A1/19	-1,54		Y+	A1/19	-1,53		Y+	A1/19	-1,77		Y+	A1/19	-0,63
	Y-	A1/25	-1,53		Y-	A1/25	-1,52		Y-	A1/25	-1,76		Y-	A1/25	-0,62
89		A1/1	-1,14	90		A1/1	-1,16	91		A1/1	-1,18	92		A1/1	-1,17
		A1/2	-1,15			A1/2	-1,16			A1/2	-1,19			A1/2	-1,18
	X+	A1/9	-0,76		X+	A1/9	-0,76		X+	A1/9	-0,75		X+	A1/9	-0,76
	X-	A1/18	-0,84		X-	A1/18	-0,86		X-	A1/18	-0,91		X-	A1/18	-0,89
	Y+	A1/28	-0,81		Y+	A1/28	-0,83		Y+	A1/28	-0,85		Y+	A1/28	-0,84
	Y-	A1/34	-0,81		Y-	A1/34	-0,83		Y-	A1/34	-0,86		Y-	A1/34	-0,85
93		A1/1	-1,12	94		A1/1	-1,10	95		A1/1	-1,04	96		A1/1	-1,07
		A1/2	-1,13			A1/2	-1,10			A1/2	-1,05			A1/2	-1,08
	X+	A1/9	-0,76		X+	A1/8	-0,76		X+	A1/8	-0,75		X+	A1/8	-0,75
	X-	A1/18	-0,81		X-	A1/15	-0,78		X-	A1/15	-0,72		X-	A1/15	-0,75
	Y+	A1/28	-0,79		Y+	A1/29	-0,77		Y+	A1/22	-0,73		Y+	A1/22	-0,75
	Y-	A1/34	-0,80		Y-	A1/31	-0,78		Y-	A1/24	-0,74		Y-	A1/24	-0,76
97		A1/1	-1,17	98		A1/1	-1,18	99		A1/1	-1,16	100		A1/1	-1,14
		A1/2	-1,18			A1/2	-1,19			A1/2	-1,16			A1/2	-1,15
	X+	A1/6	-0,76		X+	A1/6	-0,75		X+	A1/6	-0,76		X+	A1/6	-0,76
	X-	A1/13	-0,89		X-	A1/13	-0,91		X-	A1/13	-0,86		X-	A1/13	-0,84
	Y+	A1/29	-0,85		Y+	A1/29	-0,86		Y+	A1/29	-0,83		Y+	A1/29	-0,81
	Y-	A1/31	-0,84		Y-	A1/31	-0,85		Y-	A1/31	-0,83		Y-	A1/31	-0,81
101		A1/1	-1,12	102		A1/1	-1,10	103		A1/1	-1,01	104		A1/1	-0,97
		A1/2	-1,13			A1/2	-1,10			A1/2	-1,01			A1/2	-0,98
	X+	A1/6	-0,76		X+	A1/3	-0,76		X+	A1/8	-0,74		X+	A1/8	-0,73
	X-	A1/13	-0,81		X-	A1/12	-0,78		X-	A1/15	-0,69		X-	A1/15	-0,65
	Y+	A1/29	-0,80		Y+	A1/28	-0,78		Y+	A1/22	-0,72		Y+	A1/22	-0,70
	Y-	A1/31	-0,79		Y-	A1/34	-0,77		Y-	A1/24	-0,72		Y-	A1/24	-0,70
105		A1/1	-1,10	106		A1/1	-0,93	107		A1/1	-1,21	108		A1/1	-1,07
		A1/2	-1,11			A1/2	-0,93			A1/2	-1,21			A1/2	-1,08
	X+	A1/8	-0,87		X+	A1/8	-0,71		X+	A1/8	-0,98		X+	A1/3	-0,75
	X-	A1/15	-0,70		X-	A1/15	-0,61		X-	A1/15	-0,75		X-	A1/12	-0,75
	Y+	A1/22	-0,80		Y+	A1/22	-0,67		Y+	A1/22	-0,89		Y+	A1/19	-0,76
	Y-	A1/24	-0,81		Y-	A1/24	-0,68		Y-	A1/24	-0,90		Y-	A1/25	-0,75
109		A1/1	-1,04	110		A1/1	-1,01	111		A1/1	-0,97	112		A1/1	-0,93
		A1/2	-1,05			A1/2	-1,01			A1/2	-0,98			A1/2	-0,93
	X+	A1/3	-0,75		X+	A1/3	-0,74		X+	A1/3	-0,73		X+	A1/3	-0,71
	X-	A1/12	-0,72		X-	A1/12	-0,69		X-	A1/12	-0,65		X-	A1/12	-0,61
	Y+	A1/19	-0,74		Y+	A1/19	-0,72		Y+	A1/19	-0,70		Y+	A1/19	-0,68
	Y-	A1/25	-0,73		Y-	A1/25	-0,72		Y-	A1/25	-0,70		Y-	A1/25	-0,67
113		A1/1	-1,10	114		A1/1	-1,52	115		A1/1	-1,08	116		A1/1	-0,90
		A1/2	-1,11			A1/2	-1,52			A1/2	-1,09			A1/2	-0,90
	X+	A1/3	-0,87		X+	A1/3	-1,23		X+	A1/9	-0,67		X+	A1/9	-0,56
	X-	A1/12	-0,70		X-	A1/12	-0,95		X-	A1/18	-0,84		X-	A1/18	-0,70
	Y+	A1/19	-0,82		Y+	A1/19	-1,14		Y+	A1/28	-0,78		Y+	A1/28	-0,65
	Y-	A1/25	-0,81		Y-	A1/25	-1,12		Y-	A1/34	-0,78		Y-	A1/34	-0,65
117		A1/1	-0,90	118		A1/1	-1,08								
		A1/2	-0,90			A1/2	-1,09								
	X+	A1/6	-0,56		X+	A1/6	-0,67								
	X-	A1/13	-0,70		X-	A1/13	-0,84								
	Y+	A1/29	-0,65		Y+	A1/29	-0,78								
	Y-	A1/31	-0,65		Y-	A1/31	-0,78								

RISULTANTI SOLLECITAZIONI NODI PLATEE - SLD

Nod3d N.ro	Combinazione N.ro		Fz (t)	Nod3d N.ro	Combinazione N.ro		Fz (t)	Nod3d N.ro	Combinazione N.ro		Fz (t)	Nod3d N.ro	Combinazione N.ro		Fz (t)
1		SLD/1	-3,06	2		SLD/1	-2,36	5		SLD/1	-2,23	6		SLD/1	-2,88
		SLD/2	-3,08			SLD/2	-2,37			SLD/2	-2,24			SLD/2	-2,90
	X+	SLD/9	-2,02		X+	SLD/8	-1,78		X+	SLD/3	-1,68		X+	SLD/6	-1,90
	X-	SLD/18	-2,27		X-	SLD/15	-1,58		X-	SLD/12	-1,49		X-	SLD/13	-2,14
	Y+	SLD/28	-2,18		Y+	SLD/22	-1,70		Y+	SLD/19	-1,62		Y+	SLD/29	-2,06
	Y-	SLD/34	-2,19		Y-	SLD/24	-1,71		Y-	SLD/25	-1,61		Y-	SLD/31	-2,06
9		SLD/1	-0,91	10		SLD/1	-0,89	11		SLD/1	-0,51	12		SLD/1	-0,91
		SLD/2	-0,92			SLD/2	-0,89			SLD/2	-0,51			SLD/2	-0,92
	X+	SLD/9	-0,60		X+	SLD/8	-0,70		X+	SLD/3	-0,40		X+	SLD/6	-0,60
	X-	SLD/18	-0,68		X-	SLD/15	-0,59		X-	SLD/12	-0,34		X-	SLD/13	-0,68
	Y+	SLD/28	-0,65		Y+	SLD/22	-0,66		Y+	SLD/19	-0,38		Y+	SLD/29	-0,65
	Y-	SLD/34	-0,65		Y-	SLD/24	-0,66		Y-	SLD/25	-0,37		Y-	SLD/31	-0,65
13		SLD/1	-3,85	14		SLD/1	-3,72	15		SLD/1	-3,57	16		SLD/1	-3,40
		SLD/2	-3,87			SLD/2	-3,74			SLD/2	-3,59			SLD/2	-3,42
	X+	SLD/9	-2,59		X+	SLD/9	-2,55		X+	SLD/8	-2,50		X+	SLD/8	-2,43
	X-	SLD/18	-2,81		X-	SLD/18	-2,68		X-	SLD/15	-2,53		X-	SLD/15	-2,37
	Y+	SLD/28	-2,73		Y+	SLD/28	-2,63		Y+	SLD/29	-2,51		Y+	SLD/22	-2,40
	Y-	SLD/34	-2,74		Y-	SLD/34	-2,64		Y-	SLD/31	-2,52		Y-	SLD/24	-2,41
17		SLD/1	-3,20	18		SLD/1	-3,20	19		SLD/1	-3,40	20		SLD/1	-3,57
		SLD/2	-3,22			SLD/2	-3,22			SLD/2	-3,42			SLD/2	-3,59
	X+	SLD/8	-2,34		X+	SLD/3	-2,34		X+	SLD/3	-2,43		X+	SLD/3	-2,50
	X-	SLD/15	-2,19		X-	SLD/12	-2,19		X-	SLD/12	-2,37		X-	SLD/12	-2,53
	Y+	SLD/22	-2,28		Y+	SLD/19	-2,29		Y+	SLD/19	-2,41		Y+	SLD/28	-2,52
	Y-	SLD/24	-2,29		Y-	SLD/25	-2,28		Y-	SLD/25	-2,40		Y-	SLD/34	-2,51
21		SLD/1	-3,72	22		SLD/1	-3,85	23		SLD/1	-1,45	24		SLD/1	-1,84
		SLD/2	-3,74			SLD/2	-3,87			SLD/2	-1,45			SLD/2	-1,85
	X+	SLD/6	-2,55		X+	SLD/6	-2,59		X+	SLD/8	-1,09		X+	SLD/3	-1,38
	X-	SLD/13	-2,68		X-	SLD/13	-2,82		X-	SLD/15	-0,97		X-	SLD/12	-1,23
	Y+	SLD/29	-2,64		Y+	SLD/29	-2,74		Y+	SLD/22	-1,05		Y+	SLD/19	-1,33
	Y-	SLD/31	-2,63		Y-	SLD/31	-2,73		Y-	SLD/24	-1,05		Y-	SLD/25	-1,33
25		SLD/1	-1,31	26		SLD/1	-1,96	27		SLD/1	-2,49	28		SLD/1	-2,14
		SLD/2	-1,32			SLD/2	-1,97			SLD/2	-2,50			SLD/2	-2,15
	X+	SLD/3	-0,99		X+	SLD/6	-1,29		X+	SLD/9	-1,64		X+	SLD/9	-1,41
	X-	SLD/12	-0,88		X-	SLD/13	-1,45		X-	SLD/18	-1,84		X-	SLD/18	-1,59
	Y+	SLD/19	-0,95		Y+	SLD/29	-1,40		Y+	SLD/27	-1,77		Y+	SLD/28	-1,52
	Y-	SLD/25	-0,95		Y-	SLD/31	-1,40		Y-	SLD/33	-1,77		Y-	SLD/34	-1,52
29		SLD/1	-3,19	30		SLD/1	-3,12	31		SLD/1	-3,93	32		SLD/1	-4,05
		SLD/2	-3,21			SLD/2	-3,14			SLD/2	-3,95			SLD/2	-4,08
	X+	SLD/9	-2,14		X+	SLD/9	-2,11		X+	SLD/9	-2,66		X+	SLD/9	-2,72
	X-	SLD/18	-2,34		X-	SLD/18	-2,28		X-	SLD/18	-2,87		X-	SLD/18	-2,98
	Y+	SLD/28	-2,27		Y+	SLD/28	-2,22		Y+	SLD/28	-2,79		Y+	SLD/28	-2,88
	Y-	SLD/34	-2,27		Y-	SLD/34	-2,22		Y-	SLD/34	-2,80		Y-	SLD/34	-2,89
33		SLD/1	-3,93	34		SLD/1	-4,05	35		SLD/1	-3,06	36		SLD/1	-3,84
		SLD/2	-3,95			SLD/2	-4,08			SLD/2	-3,08			SLD/2	-3,86
	X+	SLD/6	-2,66		X+	SLD/6	-2,72		X+	SLD/9	-2,09		X+	SLD/9	-2,62
	X-	SLD/13	-2,87		X-	SLD/13	-2,98		X-	SLD/18	-2,21		X-	SLD/18	-2,78
	Y+	SLD/29	-2,80		Y+	SLD/29	-2,89		Y+	SLD/28	-2,17		Y+	SLD/28	-2,72
	Y-	SLD/31	-2,79		Y-	SLD/31	-2,88		Y-	SLD/34	-2,17		Y-	SLD/34	-2,72
37		SLD/1	-3,15	38		SLD/1	-2,38	39		SLD/1	-3,15	40		SLD/1	-3,75
		SLD/2	-3,16			SLD/2	-2,40			SLD/2	-3,16			SLD/2	-3,77
	X+	SLD/9	-2,08		X+	SLD/9	-1,58		X+	SLD/6	-2,08		X+	SLD/9	-2,59
	X-	SLD/18	-2,33		X-	SLD/18	-1,76		X-	SLD/13	-2,33		X-	SLD/18	-2,69
	Y+	SLD/28	-2,24		Y+	SLD/28	-1,70		Y+	SLD/29	-2,24		Y+	SLD/28	-2,66
	Y-	SLD/34	-2,24		Y-	SLD/34	-1,70		Y-	SLD/31	-2,24		Y-	SLD/34	-2,66
41		SLD/1	-3,00	42		SLD/1	-2,94	43		SLD/1	-3,67	44		SLD/1	-3,75
		SLD/2	-3,02			SLD/2	-2,95			SLD/2	-3,69			SLD/2	-3,77
	X+	SLD/9	-2,07		X+	SLD/9	-2,05		X+	SLD/8	-2,56		X+	SLD/6	-2,59
	X-	SLD/18	-2,15		X-	SLD/18	-2,09		X-	SLD/15	-2,62		X-	SLD/13	-2,69
	Y+	SLD/28	-2,12		Y+	SLD/28	-2,07		Y+	SLD/29	-2,60		Y+	SLD/29	-2,66
	Y-	SLD/34	-2,12		Y-	SLD/34	-2,08		Y-	SLD/31	-2,60		Y-	SLD/31	-2,66
45		SLD/1	-3,84	46		SLD/1	-2,87	47		SLD/1	-3,60	48		SLD/1	-3,60
		SLD/2	-3,86			SLD/2	-2,89			SLD/2	-3,61			SLD/2	-3,61
	X+	SLD/6	-2,62		X+	SLD/8	-2,02		X+	SLD/8	-2,54		X+	SLD/3	-2,54
	X-	SLD/13	-2,78		X-	SLD/15	-2,03		X-	SLD/15	-2,54		X-	SLD/12	-2,54
	Y+	SLD/29	-2,72		Y+	SLD/29	-2,02		Y+	SLD/29	-2,54		Y+	SLD/28	-2,54
	Y-	SLD/31	-2,72		Y-	SLD/31	-2,03		Y-	SLD/31	-2,54		Y-	SLD/34	-2,54
49		SLD/1	-3,67	50		SLD/1	-2,81	51		SLD/1	-3,52	52		SLD/1	-3,19
		SLD/2	-3,69			SLD/2	-2,82			SLD/2	-3,54			SLD/2	-3,21
	X+	SLD/3	-2,56		X+	SLD/8	-2,00		X+	SLD/8	-2,51		X+	SLD/6	-2,14
	X-	SLD/12	-2,62		X-	SLD/15	-1,97		X-	SLD/15	-2,47		X-	SLD/13	-2,34
	Y+	SLD/28	-2,60		Y+	SLD/22	-1,98		Y+	SLD/22	-2,49		Y+	SLD/29	-2,27
	Y-	SLD/34	-2,60		Y-	SLD/24	-1,99		Y-	SLD/24	-2,49		Y-	SLD/31	-2,27
53		SLD/1	-2,74	54		SLD/1	-3,13	55		SLD/1	-3,06	56		SLD/1	-3,00
		SLD/2	-2,75			SLD/2	-3,14			SLD/2	-3,08			SLD/2	-3,02
	X+	SLD/6	-1,81		X+	SLD/6	-2,11		X+	SLD/6	-2,09		X+	SLD/6	-2,07
	X-	SLD/13	-2,02		X-	SLD/13	-2,28		X-	SLD/13	-2,21		X-	SLD/13	-2,15
	Y+	SLD/29	-1,95		Y+	SLD/29	-2,22		Y+	SLD/29	-2,17		Y+	SLD/29	-2,12
	Y-	SLD/31	-1,95		Y-	SLD/31	-2,22		Y-	SLD/31	-2,17		Y-	SLD/31	-2,12

RISULTANTI SOLLECITAZIONI NODI PLATEE - SLD

Nod3d N.ro	Combinazione N.ro		Fz (t)	Nod3d N.ro	Combinazione N.ro		Fz (t)	Nod3d N.ro	Combinazione N.ro		Fz (t)	Nod3d N.ro	Combinazione N.ro		Fz (t)
57		SLD/1	-2,94	58		SLD/1	-2,87	59		SLD/1	-3,52	60		SLD/1	-2,81
		SLD/2	-2,95			SLD/2	-2,89			SLD/2	-3,54			SLD/2	-2,82
	X+	SLD/6	-2,05		X+	SLD/3	-2,02		X+	SLD/3	-2,51		X+	SLD/3	-2,00
	X-	SLD/13	-2,09		X-	SLD/12	-2,03		X-	SLD/12	-2,47		X-	SLD/12	-1,97
	Y+	SLD/29	-2,08		Y+	SLD/28	-2,03		Y+	SLD/19	-2,49		Y+	SLD/19	-1,99
	Y-	SLD/31	-2,07		Y-	SLD/34	-2,02		Y-	SLD/25	-2,49		Y-	SLD/25	-1,98
61		SLD/1	-3,44	62		SLD/1	-2,74	63		SLD/1	-2,67	64		SLD/1	-3,37
		SLD/2	-3,46			SLD/2	-2,75			SLD/2	-2,68			SLD/2	-3,39
	X+	SLD/8	-2,48		X+	SLD/8	-1,97		X+	SLD/8	-1,94		X+	SLD/8	-2,46
	X-	SLD/15	-2,39		X-	SLD/15	-1,90		X-	SLD/15	-1,83		X-	SLD/15	-2,32
	Y+	SLD/22	-2,45		Y+	SLD/22	-1,94		Y+	SLD/22	-1,90		Y+	SLD/22	-2,41
	Y-	SLD/24	-2,45		Y-	SLD/24	-1,95		Y-	SLD/24	-1,91		Y-	SLD/24	-2,41
65		SLD/1	-3,44	66		SLD/1	-2,59	67		SLD/1	-3,30	68		SLD/1	-3,30
		SLD/2	-3,46			SLD/2	-2,60			SLD/2	-3,32			SLD/2	-3,32
	X+	SLD/3	-2,48		X+	SLD/8	-1,91		X+	SLD/8	-2,44		X+	SLD/3	-2,44
	X-	SLD/12	-2,39		X-	SLD/15	-1,76		X-	SLD/15	-2,25		X-	SLD/12	-2,25
	Y+	SLD/19	-2,45		Y+	SLD/22	-1,85		Y+	SLD/22	-2,37		Y+	SLD/19	-2,37
	Y-	SLD/25	-2,45		Y-	SLD/24	-1,86		Y-	SLD/24	-2,37		Y-	SLD/25	-2,37
69		SLD/1	-3,37	70		SLD/1	-2,09	71		SLD/1	-2,28	72		SLD/1	-1,97
		SLD/2	-3,39			SLD/2	-2,11			SLD/2	-2,29			SLD/2	-1,98
	X+	SLD/3	-2,46		X+	SLD/8	-1,57		X+	SLD/8	-1,71		X+	SLD/8	-1,52
	X-	SLD/12	-2,32		X-	SLD/15	-1,41		X-	SLD/15	-1,53		X-	SLD/15	-1,31
	Y+	SLD/19	-2,41		Y+	SLD/22	-1,51		Y+	SLD/22	-1,64		Y+	SLD/22	-1,44
	Y-	SLD/25	-2,41		Y-	SLD/24	-1,52		Y-	SLD/24	-1,65		Y-	SLD/24	-1,45
73		SLD/1	-0,55	74		SLD/1	-0,65	75		SLD/1	-2,07	76		SLD/1	-0,65
		SLD/2	-0,55			SLD/2	-0,65			SLD/2	-2,08			SLD/2	-0,66
	X+	SLD/8	-0,43		X+	SLD/8	-0,51		X+	SLD/8	-1,60		X+	SLD/3	-0,51
	X-	SLD/15	-0,36		X-	SLD/15	-0,43		X-	SLD/15	-1,37		X-	SLD/12	-0,43
	Y+	SLD/22	-0,40		Y+	SLD/22	-0,48		Y+	SLD/22	-1,52		Y+	SLD/19	-0,48
	Y-	SLD/24	-0,40		Y-	SLD/24	-0,48		Y-	SLD/24	-1,52		Y-	SLD/25	-0,48
77		SLD/1	-2,07	78		SLD/1	-2,28	79		SLD/1	-2,39	80		SLD/1	-2,28
		SLD/2	-2,08			SLD/2	-2,29			SLD/2	-2,40			SLD/2	-2,29
	X+	SLD/3	-1,60		X+	SLD/8	-1,73		X+	SLD/8	-1,82		X+	SLD/3	-1,73
	X-	SLD/12	-1,37		X-	SLD/15	-1,52		X-	SLD/15	-1,59		X-	SLD/12	-1,52
	Y+	SLD/19	-1,52		Y+	SLD/22	-1,65		Y+	SLD/22	-1,74		Y+	SLD/19	-1,66
	Y-	SLD/25	-1,52		Y-	SLD/24	-1,66		Y-	SLD/24	-1,74		Y-	SLD/25	-1,65
81		SLD/1	-2,28	82		SLD/1	-2,74	83		SLD/1	-2,67	84		SLD/1	-2,59
		SLD/2	-2,29			SLD/2	-2,75			SLD/2	-2,68			SLD/2	-2,60
	X+	SLD/3	-1,71		X+	SLD/3	-1,97		X+	SLD/3	-1,94		X+	SLD/3	-1,91
	X-	SLD/12	-1,53		X-	SLD/12	-1,90		X-	SLD/12	-1,83		X-	SLD/12	-1,76
	Y+	SLD/19	-1,65		Y+	SLD/19	-1,95		Y+	SLD/19	-1,91		Y+	SLD/19	-1,86
	Y-	SLD/25	-1,64		Y-	SLD/25	-1,94		Y-	SLD/25	-1,90		Y-	SLD/25	-1,85
85		SLD/1	-2,10	86		SLD/1	-2,04	87		SLD/1	-2,39	88		SLD/1	-0,83
		SLD/2	-2,11			SLD/2	-2,04			SLD/2	-2,40			SLD/2	-0,84
	X+	SLD/3	-1,57		X+	SLD/3	-1,57		X+	SLD/3	-1,81		X+	SLD/3	-0,65
	X-	SLD/12	-1,41		X-	SLD/12	-1,35		X-	SLD/12	-1,59		X-	SLD/12	-0,55
	Y+	SLD/19	-1,52		Y+	SLD/19	-1,50		Y+	SLD/19	-1,74		Y+	SLD/19	-0,62
	Y-	SLD/25	-1,51		Y-	SLD/25	-1,49		Y-	SLD/25	-1,73		Y-	SLD/25	-0,61
89		SLD/1	-1,14	90		SLD/1	-1,16	91		SLD/1	-1,18	92		SLD/1	-1,17
		SLD/2	-1,15			SLD/2	-1,16			SLD/2	-1,19			SLD/2	-1,18
	X+	SLD/9	-0,78		X+	SLD/9	-0,78		X+	SLD/9	-0,78		X+	SLD/9	-0,78
	X-	SLD/18	-0,82		X-	SLD/18	-0,84		X-	SLD/18	-0,87		X-	SLD/18	-0,86
	Y+	SLD/28	-0,81		Y+	SLD/28	-0,82		Y+	SLD/28	-0,84		Y+	SLD/28	-0,83
	Y-	SLD/34	-0,81		Y-	SLD/34	-0,82		Y-	SLD/34	-0,84		Y-	SLD/34	-0,83
93		SLD/1	-1,12	94		SLD/1	-1,10	95		SLD/1	-1,04	96		SLD/1	-1,07
		SLD/2	-1,13			SLD/2	-1,10			SLD/2	-1,05			SLD/2	-1,08
	X+	SLD/9	-0,77		X+	SLD/8	-0,76		X+	SLD/8	-0,74		X+	SLD/8	-0,75
	X-	SLD/18	-0,80		X-	SLD/15	-0,78		X-	SLD/15	-0,73		X-	SLD/15	-0,75
	Y+	SLD/28	-0,79		Y+	SLD/29	-0,77		Y+	SLD/22	-0,73		Y+	SLD/22	-0,75
	Y-	SLD/34	-0,79		Y-	SLD/31	-0,77		Y-	SLD/24	-0,74		Y-	SLD/24	-0,75
97		SLD/1	-1,17	98		SLD/1	-1,18	99		SLD/1	-1,16	100		SLD/1	-1,14
		SLD/2	-1,18			SLD/2	-1,19			SLD/2	-1,16			SLD/2	-1,15
	X+	SLD/6	-0,78		X+	SLD/6	-0,78		X+	SLD/6	-0,78		X+	SLD/6	-0,78
	X-	SLD/13	-0,86		X-	SLD/13	-0,87		X-	SLD/13	-0,84		X-	SLD/13	-0,82
	Y+	SLD/29	-0,83		Y+	SLD/29	-0,84		Y+	SLD/29	-0,82		Y+	SLD/29	-0,81
	Y-	SLD/31	-0,83		Y-	SLD/31	-0,84		Y-	SLD/31	-0,82		Y-	SLD/31	-0,81
101		SLD/1	-1,12	102		SLD/1	-1,10	103		SLD/1	-1,01	104		SLD/1	-0,97
		SLD/2	-1,13			SLD/2	-1,10			SLD/2	-1,01			SLD/2	-0,98
	X+	SLD/6	-0,77		X+	SLD/3	-0,76		X+	SLD/8	-0,73		X+	SLD/8	-0,71
	X-	SLD/13	-0,80		X-	SLD/12	-0,78		X-	SLD/15	-0,70		X-	SLD/15	-0,66
	Y+	SLD/29	-0,79		Y+	SLD/28	-0,77		Y+	SLD/22	-0,71		Y+	SLD/22	-0,69
	Y-	SLD/31	-0,79		Y-	SLD/34	-0,77		Y-	SLD/24	-0,72		Y-	SLD/24	-0,70
105		SLD/1	-1,10	106		SLD/1	-0,93	107		SLD/1	-1,21	108		SLD/1	-1,07
		SLD/2	-1,11			SLD/2	-0,93			SLD/2	-1,21			SLD/2	-1,08
	X+	SLD/8	-0,83		X+	SLD/8	-0,69		X+	SLD/8	-0,93		X+	SLD/3	-0,75
	X-	SLD/15	-0,74		X-	SLD/15	-0,63		X-	SLD/15	-0,80		X-	SLD/12	-0,75
	Y+	SLD/22	-0,79		Y+	SLD/22	-0,67		Y+	SLD/22	-0,88		Y+	SLD/19	-0,75
	Y-	SLD/24	-0,80		Y-	SLD/24	-0,67		Y-	SLD/24	-0,89		Y-	SLD/25	-0,75

RISULTANTI SOLLECITAZIONI NODI PLATEE - SLD

Nod3d N.ro	Combinazione N.ro		Fz (t)	Nod3d N.ro	Combinazione N.ro		Fz (t)	Nod3d N.ro	Combinazione N.ro		Fz (t)	Nod3d N.ro	Combinazione N.ro		Fz (t)
109		SLD/1	-1,04	110		SLD/1	-1,01	111		SLD/1	-0,97	112		SLD/1	-0,93
		SLD/2	-1,05			SLD/2	-1,01			SLD/2	-0,98			SLD/2	-0,93
	X+	SLD/3	-0,74		X+	SLD/3	-0,73		X+	SLD/3	-0,71		X+	SLD/3	-0,69
	X-	SLD/12	-0,73		X-	SLD/12	-0,70		X-	SLD/12	-0,66		X-	SLD/12	-0,63
	Y+	SLD/19	-0,74		Y+	SLD/19	-0,72		Y+	SLD/19	-0,70		Y+	SLD/19	-0,67
	Y-	SLD/25	-0,73		Y-	SLD/25	-0,71		Y-	SLD/25	-0,69		Y-	SLD/25	-0,67
113		SLD/1	-1,10	114		SLD/1	-1,52	115		SLD/1	-1,08	116		SLD/1	-0,90
		SLD/2	-1,11			SLD/2	-1,52			SLD/2	-1,09			SLD/2	-0,90
	X+	SLD/3	-0,83		X+	SLD/3	-1,16		X+	SLD/9	-0,71		X+	SLD/9	-0,59
	X-	SLD/12	-0,74		X-	SLD/12	-1,01		X-	SLD/18	-0,80		X-	SLD/18	-0,67
	Y+	SLD/19	-0,80		Y+	SLD/19	-1,11		Y+	SLD/28	-0,77		Y+	SLD/28	-0,64
	Y-	SLD/25	-0,80		Y-	SLD/25	-1,10		Y-	SLD/34	-0,77		Y-	SLD/34	-0,64
117		SLD/1	-0,90	118		SLD/1	-1,08								
		SLD/2	-0,90			SLD/2	-1,09								
	X+	SLD/6	-0,59		X+	SLD/6	-0,71								
	X-	SLD/13	-0,67		X-	SLD/13	-0,80								
	Y+	SLD/29	-0,64		Y+	SLD/29	-0,77								
	Y-	SLD/31	-0,64		Y-	SLD/31	-0,77								

PARAMETRI GEOTECNICI PIASTRE WINKLER - S.L.U.

IDENTIFICATIVO				CONDIZIONE DRENATA							NON DRENATA	
Piast N.ro	Infiss m	Tipo Tabel	Gamma kg/mc	Fi' Grd	C' kg/cmq	Mod.El kg/cmq	Poiss on	P base kg/cmq	Indice Rigid.	IndRig Crit.	Cu kg/cmq	P base kg/cmq
1	0,40	M1	1900	26,00	0,15	40,00	0,20	0,08	73,68	47,84		
2	0,40	M1	1900	26,00	0,15	40,00	0,20	0,08	73,43	47,84		
3	0,40	M1	1900	26,00	0,15	40,00	0,20	0,08	73,80	47,84		
4	0,40	M1	1900	26,00	0,15	40,00	0,20	0,08	74,06	47,84		
5	0,40	M1	1900	26,00	0,15	40,00	0,20	0,08	79,99	47,84		
6	0,40	M1	1900	26,00	0,15	40,00	0,20	0,08	77,88	47,84		
7	0,40	M1	1900	26,00	0,15	40,00	0,20	0,08	80,37	47,84		
8	0,40	M1	1900	26,00	0,15	40,00	0,20	0,08	79,99	47,84		
9	0,40	M1	1900	26,00	0,15	40,00	0,20	0,08	71,96	47,84		
10	0,40	M1	1900	26,00	0,15	40,00	0,20	0,08	71,96	47,84		
11	0,40	M1	1900	26,00	0,15	40,00	0,20	0,08	71,96	47,84		
12	0,40	M1	1900	26,00	0,15	40,00	0,20	0,08	71,96	47,84		
13	0,40	M1	1900	26,00	0,15	40,00	0,20	0,08	71,96	47,84		
14	0,40	M1	1900	26,00	0,15	40,00	0,20	0,08	71,96	47,84		
15	0,40	M1	1900	26,00	0,15	40,00	0,20	0,08	71,96	47,84		
16	0,40	M1	1900	26,00	0,15	40,00	0,20	0,08	71,96	47,84		
17	0,40	M1	1900	26,00	0,15	40,00	0,20	0,08	71,96	47,84		
18	0,40	M1	1900	26,00	0,15	40,00	0,20	0,08	71,96	47,84		
19	0,40	M1	1900	26,00	0,15	40,00	0,20	0,08	76,30	47,84		
20	0,40	M1	1900	26,00	0,15	40,00	0,20	0,08	74,92	47,84		
21	0,40	M1	1900	26,00	0,15	40,00	0,20	0,08	76,81	47,84		
22	0,40	M1	1900	26,00	0,15	40,00	0,20	0,08	76,30	47,84		
23	0,40	M1	1900	26,00	0,15	40,00	0,20	0,08	74,92	47,84		
24	0,40	M1	1900	26,00	0,15	40,00	0,20	0,08	75,82	47,84		
25	0,40	M1	1900	26,00	0,15	40,00	0,20	0,08	73,18	47,84		

PARAMETRI GEOTECNICI PIASTRE WINKLER - S.L.U.												
IDENTIFICATIVO				CONDIZIONE DRENATA							NON DRENATA	
Piast N.ro	Infiss m	Tipo Tabel	Gamma kg/mc	Fi' Grd	C' kg/cmq	Mod.El kg/cmq	Poiss on	P base kg/cmq	Indice Rigid.	IndRig Crit.	Cu kg/cmq	P base kg/cmq
26	0,40	M1	1900	26,00	0,15	40,00	0,20	0,08	73,18	47,84		
27	0,40	M1	1900	26,00	0,15	40,00	0,20	0,08	71,41	47,84		
28	0,40	M1	1900	26,00	0,15	40,00	0,20	0,08	71,41	47,84		
29	0,40	M1	1900	26,00	0,15	40,00	0,20	0,08	71,41	47,84		
30	0,40	M1	1900	26,00	0,15	40,00	0,20	0,08	71,41	47,84		
31	0,40	M1	1900	26,00	0,15	40,00	0,20	0,08	73,18	47,84		
32	0,40	M1	1900	26,00	0,15	40,00	0,20	0,08	71,41	47,84		
33	0,40	M1	1900	26,00	0,15	40,00	0,20	0,08	73,36	47,84		
34	0,40	M1	1900	26,00	0,15	40,00	0,20	0,08	75,14	47,84		
35	0,40	M1	1900	26,00	0,15	40,00	0,20	0,08	73,36	47,84		
36	0,40	M1	1900	26,00	0,15	40,00	0,20	0,08	71,41	47,84		
37	0,40	M1	1900	26,00	0,15	40,00	0,20	0,08	73,18	47,84		
38	0,40	M1	1900	26,00	0,15	40,00	0,20	0,08	73,18	47,84		
39	0,40	M1	1900	26,00	0,15	40,00	0,20	0,08	71,41	47,84		
40	0,40	M1	1900	26,00	0,15	40,00	0,20	0,08	71,41	47,84		
41	0,40	M1	1900	26,00	0,15	40,00	0,20	0,08	71,41	47,84		
42	0,40	M1	1900	26,00	0,15	40,00	0,20	0,08	73,18	47,84		
43	0,40	M1	1900	26,00	0,15	40,00	0,20	0,08	71,41	47,84		
44	0,40	M1	1900	26,00	0,15	40,00	0,20	0,08	71,41	47,84		
45	0,40	M1	1900	26,00	0,15	40,00	0,20	0,08	71,41	47,84		
46	0,40	M1	1900	26,00	0,15	40,00	0,20	0,08	73,18	47,84		
47	0,40	M1	1900	26,00	0,15	40,00	0,20	0,08	71,41	47,84		
48	0,40	M1	1900	26,00	0,15	40,00	0,20	0,08	73,18	47,84		
49	0,40	M1	1900	26,00	0,15	40,00	0,20	0,08	74,30	47,84		
50	0,40	M1	1900	26,00	0,15	40,00	0,20	0,08	73,18	47,84		
51	0,40	M1	1900	26,00	0,15	40,00	0,20	0,08	73,18	47,84		
52	0,40	M1	1900	26,00	0,15	40,00	0,20	0,08	73,18	47,84		
53	0,40	M1	1900	26,00	0,15	40,00	0,20	0,08	73,18	47,84		
54	0,40	M1	1900	26,00	0,15	40,00	0,20	0,08	73,18	47,84		
55	0,40	M1	1900	26,00	0,15	40,00	0,20	0,08	71,41	47,84		
56	0,40	M1	1900	26,00	0,15	40,00	0,20	0,08	73,18	47,84		
57	0,40	M1	1900	26,00	0,15	40,00	0,20	0,08	71,41	47,84		
58	0,40	M1	1900	26,00	0,15	40,00	0,20	0,08	73,18	47,84		
59	0,40	M1	1900	26,00	0,15	40,00	0,20	0,08	73,18	47,84		

PARAMETRI GEOTECNICI PIASTRE WINKLER - S.L.U.												
IDENTIFICATIVO				CONDIZIONE DRENATA							NON DRENATA	
Piast N.ro	Infiss m	Tipo Tabel	Gamma kg/mc	Fi' Grd	C' kg/cmq	Mod.El kg/cmq	Poiss on	P base kg/cmq	Indice Rigid.	IndRig Crit.	Cu kg/cmq	P base kg/cmq
60	0,40	M1	1900	26,00	0,15	40,00	0,20	0,08	71,41	47,84		
61	0,40	M1	1900	26,00	0,15	40,00	0,20	0,08	71,41	47,84		
62	0,40	M1	1900	26,00	0,15	40,00	0,20	0,08	73,18	47,84		
63	0,40	M1	1900	26,00	0,15	40,00	0,20	0,08	71,41	47,84		
64	0,40	M1	1900	26,00	0,15	40,00	0,20	0,08	71,41	47,84		
65	0,40	M1	1900	26,00	0,15	40,00	0,20	0,08	71,41	47,84		
66	0,40	M1	1900	26,00	0,15	40,00	0,20	0,08	74,30	47,84		
67	0,40	M1	1900	26,00	0,15	40,00	0,20	0,08	73,73	47,84		
68	0,40	M1	1900	26,00	0,15	40,00	0,20	0,08	73,69	47,84		
69	0,40	M1	1900	26,00	0,15	40,00	0,20	0,08	80,04	47,84		
70	0,40	M1	1900	26,00	0,15	40,00	0,20	0,08	79,28	47,84		
71	0,40	M1	1900	26,00	0,15	40,00	0,20	0,08	73,36	47,84		
72	0,40	M1	1900	26,00	0,15	40,00	0,20	0,08	79,28	47,84		
73	0,40	M1	1900	26,00	0,15	40,00	0,20	0,08	73,36	47,84		
74	0,40	M1	1900	26,00	0,15	40,00	0,20	0,08	73,36	47,84		
75	0,40	M1	1900	26,00	0,15	40,00	0,20	0,08	73,05	47,84		
76	0,40	M1	1900	26,00	0,15	40,00	0,20	0,08	73,36	47,84		
77	0,40	M1	1900	26,00	0,15	40,00	0,20	0,08	73,73	47,84		
78	0,40	M1	1900	26,00	0,15	40,00	0,20	0,08	73,18	47,84		
79	0,40	M1	1900	26,00	0,15	40,00	0,20	0,08	73,18	47,84		
80	0,40	M1	1900	26,00	0,15	40,00	0,20	0,08	73,18	47,84		
81	0,40	M1	1900	26,00	0,15	40,00	0,20	0,08	74,30	47,84		
82	0,40	M1	1900	26,00	0,15	40,00	0,20	0,08	73,50	47,84		
83	0,40	M1	1900	26,00	0,15	40,00	0,20	0,08	73,09	47,84		
84	0,40	M1	1900	26,00	0,15	40,00	0,20	0,08	78,19	47,84		
85	0,40	M1	1900	26,00	0,15	40,00	0,20	0,08	78,84	47,84		
86	0,40	M1	1900	26,00	0,15	40,00	0,20	0,08	78,84	47,84		
87	0,40	M1	1900	26,00	0,15	40,00	0,20	0,08	78,84	47,84		
88	0,40	M1	1900	26,00	0,15	40,00	0,20	0,08	78,84	47,84		
89	0,40	M1	1900	26,00	0,15	40,00	0,20	0,08	78,84	47,84		
90	0,40	M1	1900	26,00	0,15	40,00	0,20	0,08	78,84	47,84		
91	0,40	M1	1900	26,00	0,15	40,00	0,20	0,08	78,84	47,84		
92	0,40	M1	1900	26,00	0,15	40,00	0,20	0,08	78,84	47,84		
93	0,40	M1	1900	26,00	0,15	40,00	0,20	0,08	78,84	47,84		

PARAMETRI GEOTECNICI PIASTRE WINKLER - S.L.U.

IDENTIFICATIVO				CONDIZIONE DRENATA							NON DRENATA	
Piast N.ro	Infiss m	Tipo Tabel	Gamma kg/mc	Fi' Grd	C' kg/cmq	Mod.El kg/cmq	Poiss on	P base kg/cmq	Indice Rigid.	IndRig Crit.	Cu kg/cmq	P base kg/cmq
94	0,40	M1	1900	26,00	0,15	40,00	0,20	0,08	78,84	47,84		
95	0,40	M1	1900	26,00	0,15	40,00	0,20	0,08	78,84	47,84		
96	0,40	M1	1900	26,00	0,15	40,00	0,20	0,08	78,84	47,84		
97	0,40	M1	1900	26,00	0,15	40,00	0,20	0,08	78,84	47,84		
98	0,40	M1	1900	26,00	0,15	40,00	0,20	0,08	78,84	47,84		
99	0,40	M1	1900	26,00	0,15	40,00	0,20	0,08	78,84	47,84		
100	0,40	M1	1900	26,00	0,15	40,00	0,20	0,08	78,84	47,84		
101	0,40	M1	1900	26,00	0,15	40,00	0,20	0,08	77,76	47,84		
102	0,40	M1	1900	26,00	0,15	40,00	0,20	0,08	78,84	47,84		
103	0,40	M1	1900	26,00	0,15	40,00	0,20	0,08	76,89	47,84		
104	0,40	M1	1900	26,00	0,15	40,00	0,20	0,08	78,84	47,84		
105	0,40	M1	1900	26,00	0,15	40,00	0,20	0,08	78,84	47,84		
106	0,40	M1	1900	26,00	0,15	40,00	0,20	0,08	78,84	47,84		
107	0,40	M1	1900	26,00	0,15	40,00	0,20	0,08	78,84	47,84		
108	0,40	M1	1900	26,00	0,15	40,00	0,20	0,08	78,84	47,84		
109	0,40	M1	1900	26,00	0,15	40,00	0,20	0,08	77,76	47,84		
110	0,40	M1	1900	26,00	0,15	40,00	0,20	0,08	75,65	47,84		
111	0,40	M1	1900	26,00	0,15	40,00	0,20	0,08	79,28	47,84		
112	0,40	M1	1900	26,00	0,15	40,00	0,20	0,08	80,04	47,84		
113	0,40	M1	1900	26,00	0,15	40,00	0,20	0,08	80,04	47,84		
114	0,40	M1	1900	26,00	0,15	40,00	0,20	0,08	79,28	47,84		

COEFFICIENTI DI PORTANZA PIASTRE WINKLER - CONDIZIONI DRENATE - S.L.U.

Piast	Brinch Hansen			IclTe	Incl.PianoPosa			Comb		Igk	CoeffIncl.Car.			Affondamento			Forma			Punzonamento		
Nro	Nc	Nq	Ng	Gc=Gq	Bc	Bq	Bg		N.ro	Sism	IcV	IqV	IgV	Dc	Dq	Dg	Sc	Sq	Sg	Psic	Psiq	Psig
1	22,25	11,85	12,54	1,00	1,00	1,00	1,00		A1/1	1,00	1,00	1,00	1,00	1,16	1,15	1,00	1,53	1,49	0,60	1,00	1,00	1,00
									A1/2	1,00	1,00	1,00	1,00	1,16	1,15	1,00	1,53	1,49	0,60	1,00	1,00	1,00
								X+	A1/9	1,00	0,85	0,86	0,78	1,16	1,15	1,00	1,53	1,49	0,60	1,00	1,00	1,00
								X-	A1/18	1,00	0,83	0,85	0,76	1,16	1,15	1,00	1,53	1,49	0,60	1,00	1,00	1,00
								Y+	A1/28	1,00	0,84	0,85	0,76	1,16	1,15	1,00	1,53	1,49	0,60	1,00	1,00	1,00
								Y-	A1/34	1,00	0,84	0,85	0,76	1,16	1,15	1,00	1,53	1,49	0,60	1,00	1,00	1,00
2	22,25	11,85	12,54	1,00	1,00	1,00	1,00		A1/1	1,00	1,00	1,00	1,00	1,16	1,14	1,00	1,53	1,49	0,60	1,00	1,00	1,00
									A1/2	1,00	1,00	1,00	1,00	1,16	1,14	1,00	1,53	1,49	0,60	1,00	1,00	1,00
								X+	A1/8	1,00	0,85	0,87	0,79	1,16	1,14	1,00	1,53	1,49	0,60	1,00	1,00	1,00
								X-	A1/15	1,00	0,87	0,88	0,81	1,16	1,14	1,00	1,53	1,49	0,60	1,00	1,00	1,00
								Y+	A1/22	1,00	0,86	0,87	0,79	1,16	1,14	1,00	1,53	1,49	0,60	1,00	1,00	1,00
								Y-	A1/24	1,00	0,86	0,87	0,79	1,16	1,14	1,00	1,53	1,49	0,60	1,00	1,00	1,00
3	22,25	11,85	12,54	1,00	1,00	1,00	1,00		A1/1	1,00	1,00	1,00	1,00	1,16	1,15	1,00	1,53	1,49	0,60	1,00	1,00	1,00
									A1/2	1,00	1,00	1,00	1,00	1,16	1,15	1,00	1,53	1,49	0,60	1,00	1,00	1,00
								X+	A1/3	1,00	0,85	0,87	0,79	1,16	1,15	1,00	1,53	1,49	0,60	1,00	1,00	1,00
								X-	A1/12	1,00	0,87	0,88	0,81	1,16	1,15	1,00	1,53	1,49	0,60	1,00	1,00	1,00
								Y+	A1/19	1,00	0,86	0,87	0,79	1,16	1,15	1,00	1,53	1,49	0,60	1,00	1,00	1,00
								Y-	A1/25	1,00	0,86	0,87	0,79	1,16	1,15	1,00	1,53	1,49	0,60	1,00	1,00	1,00
4	22,25	11,85	12,54	1,00	1,00	1,00	1,00		A1/1	1,00	1,00	1,00	1,00	1,16	1,15	1,00	1,53	1,49	0,60	1,00	1,00	1,00
									A1/2	1,00	1,00	1,00	1,00	1,16	1,15	1,00	1,53	1,49	0,60	1,00	1,00	1,00
								X+	A1/6	1,00	0,85	0,86	0,78	1,16	1,15	1,00	1,53	1,49	0,60	1,00	1,00	1,00
								X-	A1/13	1,00	0,83	0,85	0,76	1,16	1,15	1,00	1,53	1,49	0,60	1,00	1,00	1,00
								Y+	A1/29	1,00	0,84	0,85	0,76	1,16	1,15	1,00	1,53	1,49	0,60	1,00	1,00	1,00
								Y-	A1/31	1,00	0,84	0,85	0,76	1,16	1,15	1,00	1,53	1,49	0,60	1,00	1,00	1,00
5	22,25	11,85	12,54	1,00	1,00	1,00	1,00		A1/1	1,00	1,00	1,00	1,00	1,29	1,27	1,00	1,53	1,49	0,60	1,00	1,00	1,00
									A1/2	1,00	1,00	1,00	1,00	1,29	1,27	1,00	1,53	1,49	0,60	1,00	1,00	1,00
								X+	A1/9	1,00	0,85	0,86	0,78	1,29	1,27	1,00	1,53	1,49	0,60	1,00	1,00	1,00

COEFFICIENTI DI PORTANZA PIASTRE WINKLER - CONDIZIONI DRENATE - S.L.U.

Piast	Brinch Hansen			IclTe	Incl.PianoPosa			Comb		Igk	CoeffIncl.Car.			Affondamento			Forma			Punzonamento		
Nro	Nc	Nq	Ng	Gc=Gq	Bc	Bq	Bg		N.ro	Sism	IcV	IqV	IgV	Dc	Dq	Dg	Sc	Sq	Sg	Psic	Psiq	Psig
								X-	A1/18	1,00	0,83	0,85	0,76	1,29	1,27	1,00	1,53	1,49	0,60	1,00	1,00	1,00
								Y+	A1/28	1,00	0,84	0,85	0,76	1,29	1,27	1,00	1,53	1,49	0,60	1,00	1,00	1,00
								Y-	A1/34	1,00	0,84	0,85	0,76	1,29	1,27	1,00	1,53	1,49	0,60	1,00	1,00	1,00
6	22,25	11,85	12,54	1,00	1,00	1,00	1,00		A1/1	1,00	1,00	1,00	1,00	1,23	1,21	1,00	1,53	1,49	0,60	1,00	1,00	1,00
									A1/2	1,00	1,00	1,00	1,00	1,23	1,21	1,00	1,53	1,49	0,60	1,00	1,00	1,00
								X+	A1/8	1,00	0,87	0,88	0,80	1,23	1,21	1,00	1,53	1,49	0,60	1,00	1,00	1,00
								X-	A1/15	1,00	0,89	0,90	0,83	1,23	1,21	1,00	1,53	1,49	0,60	1,00	1,00	1,00
								Y+	A1/22	1,00	0,87	0,88	0,81	1,23	1,21	1,00	1,53	1,49	0,60	1,00	1,00	1,00
								Y-	A1/24	1,00	0,87	0,88	0,81	1,23	1,21	1,00	1,53	1,49	0,60	1,00	1,00	1,00
7	22,25	11,85	12,54	1,00	1,00	1,00	1,00		A1/1	1,00	1,00	1,00	1,00	1,31	1,28	1,00	1,53	1,49	0,60	1,00	1,00	1,00
									A1/2	1,00	1,00	1,00	1,00	1,31	1,28	1,00	1,53	1,49	0,60	1,00	1,00	1,00
								X+	A1/3	1,00	0,87	0,88	0,80	1,31	1,28	1,00	1,53	1,49	0,60	1,00	1,00	1,00
								X-	A1/12	1,00	0,89	0,90	0,83	1,31	1,28	1,00	1,53	1,49	0,60	1,00	1,00	1,00
								Y+	A1/19	1,00	0,87	0,88	0,81	1,31	1,28	1,00	1,53	1,49	0,60	1,00	1,00	1,00
								Y-	A1/25	1,00	0,87	0,88	0,81	1,31	1,28	1,00	1,53	1,49	0,60	1,00	1,00	1,00
8	22,25	11,85	12,54	1,00	1,00	1,00	1,00		A1/1	1,00	1,00	1,00	1,00	1,29	1,27	1,00	1,53	1,49	0,60	1,00	1,00	1,00
									A1/2	1,00	1,00	1,00	1,00	1,29	1,27	1,00	1,53	1,49	0,60	1,00	1,00	1,00
								X+	A1/6	1,00	0,85	0,86	0,78	1,29	1,27	1,00	1,53	1,49	0,60	1,00	1,00	1,00
								X-	A1/13	1,00	0,83	0,85	0,76	1,29	1,27	1,00	1,53	1,49	0,60	1,00	1,00	1,00
								Y+	A1/29	1,00	0,84	0,85	0,76	1,29	1,27	1,00	1,53	1,49	0,60	1,00	1,00	1,00
								Y-	A1/31	1,00	0,84	0,85	0,76	1,29	1,27	1,00	1,53	1,49	0,60	1,00	1,00	1,00
9	22,25	11,85	12,54	1,00	1,00	1,00	1,00		A1/1	1,00	1,00	1,00	1,00	1,14	1,13	1,00	1,53	1,49	0,60	1,00	1,00	1,00
									A1/2	1,00	1,00	1,00	1,00	1,14	1,13	1,00	1,53	1,49	0,60	1,00	1,00	1,00
								X+	A1/9	1,00	0,85	0,86	0,78	1,14	1,13	1,00	1,53	1,49	0,60	1,00	1,00	1,00
								X-	A1/18	1,00	0,84	0,85	0,76	1,14	1,13	1,00	1,53	1,49	0,60	1,00	1,00	1,00
								Y+	A1/28	1,00	0,84	0,85	0,77	1,14	1,13	1,00	1,53	1,49	0,60	1,00	1,00	1,00
								Y-	A1/34	1,00	0,84	0,85	0,77	1,14	1,13	1,00	1,53	1,49	0,60	1,00	1,00	1,00
10	22,25	11,85	12,54	1,00	1,00	1,00	1,00		A1/1	1,00	1,00	1,00	1,00	1,14	1,13	1,00	1,53	1,49	0,60	1,00	1,00	1,00
									A1/2	1,00	1,00	1,00	1,00	1,14	1,13	1,00	1,53	1,49	0,60	1,00	1,00	1,00
								X+	A1/9	1,00	0,85	0,86	0,78	1,14	1,13	1,00	1,53	1,49	0,60	1,00	1,00	1,00
								X-	A1/18	1,00	0,84	0,86	0,77	1,14	1,13	1,00	1,53	1,49	0,60	1,00	1,00	1,00
								Y+	A1/28	1,00	0,84	0,86	0,77	1,14	1,13	1,00	1,53	1,49	0,60	1,00	1,00	1,00
								Y-	A1/34	1,00	0,84	0,86	0,77	1,14	1,13	1,00	1,53	1,49	0,60	1,00	1,00	1,00
11	22,25	11,85	12,54	1,00	1,00	1,00	1,00		A1/1	1,00	1,00	1,00	1,00	1,14	1,13	1,00	1,53	1,49	0,60	1,00	1,00	1,00
									A1/2	1,00	1,00	1,00	1,00	1,14	1,13	1,00	1,53	1,49	0,60	1,00	1,00	1,00
								X+	A1/8	1,00	0,85	0,86	0,78	1,14	1,13	1,00	1,53	1,49	0,60	1,00	1,00	1,00
								X-	A1/15	1,00	0,85	0,86	0,78	1,14	1,13	1,00	1,53	1,49	0,60	1,00	1,00	1,00
								Y+	A1/29	1,00	0,85	0,86	0,78	1,14	1,13	1,00	1,53	1,49	0,60	1,00	1,00	1,00
								Y-	A1/31	1,00	0,85	0,86	0,78	1,14	1,13	1,00	1,53	1,49	0,60	1,00	1,00	1,00
12	22,25	11,85	12,54	1,00	1,00	1,00	1,00		A1/1	1,00	1,00	1,00	1,00	1,14	1,13	1,00	1,53	1,49	0,60	1,00	1,00	1,00
									A1/2	1,00	1,00	1,00	1,00	1,14	1,13	1,00	1,53	1,49	0,60	1,00	1,00	1,00
								X+	A1/8	1,00	0,85	0,86	0,78	1,14	1,13	1,00	1,53	1,49	0,60	1,00	1,00	1,00
								X-	A1/15	1,00	0,85	0,87	0,79	1,14	1,13	1,00	1,53	1,49	0,60	1,00	1,00	1,00
								Y+	A1/22	1,00	0,85	0,86	0,78	1,14	1,13	1,00	1,53	1,49	0,60	1,00	1,00	1,00
								Y-	A1/24	1,00	0,85	0,86	0,78	1,14	1,13	1,00	1,53	1,49	0,60	1,00	1,00	1,00
13	22,25	11,85	12,54	1,00	1,00	1,00	1,00		A1/1	1,00	1,00	1,00	1,00	1,14	1,13	1,00	1,53	1,49	0,60	1,00	1,00	1,00
									A1/2	1,00	1,00	1,00	1,00	1,14	1,13	1,00	1,53	1,49	0,60	1,00	1,00	1,00
								X+	A1/8	1,00	0,85	0,86	0,78	1,14	1,13	1,00	1,53	1,49	0,60	1,00	1,00	1,00
								X-	A1/15	1,00	0,86	0,87	0,80	1,14	1,13	1,00	1,53	1,49	0,60	1,00	1,00	1,00
								Y+	A1/22	1,00	0,85	0,87	0,79	1,14	1,13	1,00	1,53	1,49	0,60	1,00	1,00	1,00
								Y-	A1/24	1,00	0,85	0,87	0,79	1,14	1,13	1,00	1,53	1,49	0,60	1,00	1,00	1,00
14	22,25	11,85	12,54	1,00	1,00	1,00	1,00		A1/1	1,00	1,00	1,00	1,00	1,14	1,13	1,00	1,53	1,49	0,60	1,00	1,00	1,00
									A1/2	1,00	1,00	1,00	1,00	1,14	1,13	1,00	1,53	1,49	0,60	1,00	1,00	1,00
								X+	A1/3	1,00	0,85	0,86	0,78	1,14	1,13	1,00	1,53	1,49	0,60	1,00	1,00	1,00
								X-	A1/12	1,00	0,86	0,87	0,80	1,14	1,13	1,00	1,53	1,49	0,60	1,00	1,00	1,00
								Y+	A1/19	1,00	0,85	0,87	0,79	1,14	1,13	1,00	1,53	1,49	0,60	1,00	1,00	1,00
								Y-	A1/25	1,00	0,85	0,87	0,79	1,14	1,13	1,00	1,53	1,49	0,60	1,00	1,00	1,00
15	22,25	11,85	12,54	1,00	1,00	1,00	1,00		A1/1	1,00	1,00	1,00	1,00	1,14	1,13	1,00	1,53	1,49	0,60	1,00	1,00	1,00
									A1/2	1,00	1,00	1,00	1,00	1,14	1,13	1,00	1,53	1,49	0,60	1,00	1,00	1,00
								X+	A1/3	1,00	0,85	0,86	0,78	1,14	1,13	1,00	1,53	1,49	0,60	1,00	1,00	1,00
								X-	A1/12	1,00	0,85	0,87	0,79	1,14	1,13	1,00	1,53	1,49	0,60	1,00	1,00	1,00
								Y+	A1/19	1,00	0,85	0,86	0,78	1,14	1,13	1,00	1,53	1,49	0,60	1,00	1,00	1,00
								Y-	A1/25	1,00	0,85	0,86	0,78	1,14	1,13	1,00	1,53	1,49	0,60	1,00	1,00	1,00
16	22,25	11,85	12,54	1,00	1,00	1,00	1,00		A1/1	1,00	1,00	1,00	1,00	1,14	1,13	1,00	1,53	1,49	0,60	1,00	1,00	1,00
									A1/2	1,00	1,00	1,00	1,00	1,14	1,13	1,00	1,53	1,49	0,60	1,00	1,00	1,00
								X+	A1/3	1,00	0,85	0,86	0,78	1,14	1,13	1,00	1,53	1,49	0,60	1,00	1,00	1,00
								X-	A1/12	1,00	0,85	0,86	0,78	1,14	1,13	1,00	1,53	1,49	0,60	1,00	1,00	1,00
								Y+	A1/28	1,00	0,85	0,86	0,78	1,14	1,13	1,00	1,53	1,49	0,60	1,00	1,00	1,00
								Y-	A1/34	1,00	0,85	0,86	0,78	1,14	1,13	1,00	1,53	1,49	0,60	1,00	1,00	1,00
17	22,25	11,85	12,54	1,00	1,00	1,00	1,00		A1/1	1,00	1,00	1,00	1,00	1,14	1,13	1,00	1,53	1,49	0,60	1,00	1,00	1,00
									A1/2	1,00	1,00	1,00	1,00	1,14	1,13	1,00	1,53	1,49	0,60	1,00	1,00	1,00
								X+	A1/6	1,00	0,85	0,86	0,78	1,14	1,13	1,00	1,53	1,49	0,60	1,00	1,00	1,00
								X-	A1/13	1,00	0,84	0,86	0,77	1,14	1,13	1,00	1,53	1,49	0,60	1,00	1,00	1,00
								Y+	A1/29	1,00	0,84	0,86	0,77	1,14	1,13	1,00	1,53	1,49	0,60	1,00	1,00	1,00
								Y-	A1/31	1,00	0,84	0,86	0,77	1,14	1,13	1,00	1,53	1,49	0,60	1,00	1,00	1,00
18	22,25	11,85	12,54	1,00	1,00	1,00	1,00		A1/1	1,00	1,00	1,00	1,00	1,14	1,13	1,00	1,53	1,49	0,60	1,00	1,00	1,00
									A1/2	1,00	1,00	1,00	1,00	1,14	1,13	1,00	1,53	1,49	0,60	1,00	1,00	1,00
								X+	A1/6	1,00	0,85	0,86	0,78	1,14	1,13	1,00	1,53	1,49	0,60	1,00	1,00	1,00
								X-	A1/13	1,00	0,84	0,85	0,76	1,14	1,13	1,00	1,53	1,49	0,60	1,00	1,00	1,00
								Y+	A1/29	1,00	0,84	0,85	0,77	1,14	1,13	1,00	1,53	1,49	0,60	1,00	1,00	1,00
								Y-	A1/31	1,00	0,84	0,85	0,77	1,14	1,13	1,00	1,53	1,49	0,60	1,00	1,00	1,00
19	22,25	11,85	12,54	1,00	1,00	1,00	1,00		A1/1	1,00	1,00	1,00	1,00	1,20	1,18	1,00	1,53	1,49	0,60	1,00	1,00	1,00
									A1/2	1,00	1,00	1,00	1,00	1,20	1,18	1,00	1,53	1,49	0,60	1,00	1,00	1,00
								X+	A1/8	1,00	0,86	0,87	0,79	1,20	1,18	1,00	1,53	1,49	0,60	1,00	1,00	1,00

COEFFICIENTI DI PORTANZA PIASTRE WINKLER - CONDIZIONI DRENATE - S.L.U.

Piast	Brinch Hansen			IclTe	Incl.PianoPosa			Comb		Igk	CoeffIncl.Car.			Affondamento			Forma			Punzonamento		
Nro	Nc	Nq	Ng	Gc=Gq	Bc	Bq	Bg		N.ro	Sism	IcV	IqV	IgV	Dc	Dq	Dg	Sc	Sq	Sg	Psic	Psiq	Psig
								X-	A1/15	1,00	0,87	0,88	0,81	1,20	1,18	1,00	1,53	1,49	0,60	1,00	1,00	1,00
								Y+	A1/22	1,00	0,86	0,87	0,79	1,20	1,18	1,00	1,53	1,49	0,60	1,00	1,00	1,00
								Y-	A1/24	1,00	0,86	0,87	0,79	1,20	1,18	1,00	1,53	1,49	0,60	1,00	1,00	1,00
20	22,25	11,85	12,54	1,00	1,00	1,00	1,00		A1/1	1,00	1,00	1,00	1,00	1,18	1,16	1,00	1,53	1,49	0,60	1,00	1,00	1,00
									A1/2	1,00	1,00	1,00	1,00	1,18	1,16	1,00	1,53	1,49	0,60	1,00	1,00	1,00
								X+	A1/3	1,00	0,86	0,87	0,79	1,18	1,16	1,00	1,53	1,49	0,60	1,00	1,00	1,00
								X-	A1/12	1,00	0,87	0,88	0,81	1,18	1,16	1,00	1,53	1,49	0,60	1,00	1,00	1,00
								Y+	A1/19	1,00	0,86	0,87	0,79	1,18	1,16	1,00	1,53	1,49	0,60	1,00	1,00	1,00
								Y-	A1/25	1,00	0,86	0,87	0,79	1,18	1,16	1,00	1,53	1,49	0,60	1,00	1,00	1,00
21	22,25	11,85	12,54	1,00	1,00	1,00	1,00		A1/1	1,00	1,00	1,00	1,00	1,21	1,19	1,00	1,53	1,49	0,60	1,00	1,00	1,00
									A1/2	1,00	1,00	1,00	1,00	1,21	1,19	1,00	1,53	1,49	0,60	1,00	1,00	1,00
								X+	A1/3	1,00	0,86	0,87	0,79	1,21	1,19	1,00	1,53	1,49	0,60	1,00	1,00	1,00
								X-	A1/12	1,00	0,87	0,88	0,81	1,21	1,19	1,00	1,53	1,49	0,60	1,00	1,00	1,00
								Y+	A1/19	1,00	0,86	0,87	0,79	1,21	1,19	1,00	1,53	1,49	0,60	1,00	1,00	1,00
								Y-	A1/25	1,00	0,86	0,87	0,79	1,21	1,19	1,00	1,53	1,49	0,60	1,00	1,00	1,00
22	22,25	11,85	12,54	1,00	1,00	1,00	1,00		A1/1	1,00	1,00	1,00	1,00	1,20	1,18	1,00	1,53	1,49	0,60	1,00	1,00	1,00
									A1/2	1,00	1,00	1,00	1,00	1,20	1,18	1,00	1,53	1,49	0,60	1,00	1,00	1,00
								X+	A1/6	1,00	0,85	0,86	0,78	1,20	1,18	1,00	1,53	1,49	0,60	1,00	1,00	1,00
								X-	A1/13	1,00	0,83	0,85	0,76	1,20	1,18	1,00	1,53	1,49	0,60	1,00	1,00	1,00
								Y+	A1/29	1,00	0,84	0,85	0,76	1,20	1,18	1,00	1,53	1,49	0,60	1,00	1,00	1,00
								Y-	A1/31	1,00	0,84	0,85	0,76	1,20	1,18	1,00	1,53	1,49	0,60	1,00	1,00	1,00
23	22,25	11,85	12,54	1,00	1,00	1,00	1,00		A1/1	1,00	1,00	1,00	1,00	1,18	1,16	1,00	1,53	1,49	0,60	1,00	1,00	1,00
									A1/2	1,00	1,00	1,00	1,00	1,18	1,16	1,00	1,53	1,49	0,60	1,00	1,00	1,00
								X+	A1/9	1,00	0,85	0,86	0,78	1,18	1,16	1,00	1,53	1,49	0,60	1,00	1,00	1,00
								X-	A1/18	1,00	0,83	0,85	0,76	1,18	1,16	1,00	1,53	1,49	0,60	1,00	1,00	1,00
								Y+	A1/27	1,00	0,84	0,85	0,76	1,18	1,16	1,00	1,53	1,49	0,60	1,00	1,00	1,00
								Y-	A1/33	1,00	0,84	0,85	0,76	1,18	1,16	1,00	1,53	1,49	0,60	1,00	1,00	1,00
24	22,25	11,85	12,54	1,00	1,00	1,00	1,00		A1/1	1,00	1,00	1,00	1,00	1,19	1,17	1,00	1,53	1,49	0,60	1,00	1,00	1,00
									A1/2	1,00	1,00	1,00	1,00	1,19	1,17	1,00	1,53	1,49	0,60	1,00	1,00	1,00
								X+	A1/9	1,00	0,85	0,86	0,78	1,19	1,17	1,00	1,53	1,49	0,60	1,00	1,00	1,00
								X-	A1/18	1,00	0,83	0,85	0,76	1,19	1,17	1,00	1,53	1,49	0,60	1,00	1,00	1,00
								Y+	A1/28	1,00	0,84	0,85	0,76	1,19	1,17	1,00	1,53	1,49	0,60	1,00	1,00	1,00
								Y-	A1/34	1,00	0,84	0,85	0,76	1,19	1,17	1,00	1,53	1,49	0,60	1,00	1,00	1,00
25	22,25	11,85	12,54	1,00	1,00	1,00	1,00		A1/1	1,00	1,00	1,00	1,00	1,15	1,14	1,00	1,53	1,49	0,60	1,00	1,00	1,00
									A1/2	1,00	1,00	1,00	1,00	1,15	1,14	1,00	1,53	1,49	0,60	1,00	1,00	1,00
								X+	A1/9	1,00	0,85	0,86	0,78	1,15	1,14	1,00	1,53	1,49	0,60	1,00	1,00	1,00
								X-	A1/18	1,00	0,84	0,85	0,76	1,15	1,14	1,00	1,53	1,49	0,60	1,00	1,00	1,00
								Y+	A1/28	1,00	0,84	0,85	0,77	1,15	1,14	1,00	1,53	1,49	0,60	1,00	1,00	1,00
								Y-	A1/34	1,00	0,84	0,85	0,77	1,15	1,14	1,00	1,53	1,49	0,60	1,00	1,00	1,00
26	22,25	11,85	12,54	1,00	1,00	1,00	1,00		A1/1	1,00	1,00	1,00	1,00	1,15	1,14	1,00	1,53	1,49	0,60	1,00	1,00	1,00
									A1/2	1,00	1,00	1,00	1,00	1,15	1,14	1,00	1,53	1,49	0,60	1,00	1,00	1,00
								X+	A1/9	1,00	0,85	0,86	0,78	1,15	1,14	1,00	1,53	1,49	0,60	1,00	1,00	1,00
								X-	A1/18	1,00	0,84	0,85	0,77	1,15	1,14	1,00	1,53	1,49	0,60	1,00	1,00	1,00
								Y+	A1/28	1,00	0,84	0,85	0,77	1,15	1,14	1,00	1,53	1,49	0,60	1,00	1,00	1,00
								Y-	A1/34	1,00	0,84	0,85	0,77	1,15	1,14	1,00	1,53	1,49	0,60	1,00	1,00	1,00
27	22,25	11,85	12,54	1,00	1,00	1,00	1,00		A1/1	1,00	1,00	1,00	1,00	1,13	1,12	1,00	1,53	1,49	0,60	1,00	1,00	1,00
									A1/2	1,00	1,00	1,00	1,00	1,13	1,12	1,00	1,53	1,49	0,60	1,00	1,00	1,00
								X+	A1/9	1,00	0,85	0,86	0,79	1,13	1,12	1,00	1,53	1,49	0,60	1,00	1,00	1,00
								X-	A1/18	1,00	0,84	0,86	0,77	1,13	1,12	1,00	1,53	1,49	0,60	1,00	1,00	1,00
								Y+	A1/28	1,00	0,84	0,86	0,77	1,13	1,12	1,00	1,53	1,49	0,60	1,00	1,00	1,00
								Y-	A1/34	1,00	0,84	0,86	0,77	1,13	1,12	1,00	1,53	1,49	0,60	1,00	1,00	1,00
28	22,25	11,85	12,54	1,00	1,00	1,00	1,00		A1/1	1,00	1,00	1,00	1,00	1,13	1,12	1,00	1,53	1,49	0,60	1,00	1,00	1,00
									A1/2	1,00	1,00	1,00	1,00	1,13	1,12	1,00	1,53	1,49	0,60	1,00	1,00	1,00
								X+	A1/9	1,00	0,85	0,86	0,78	1,13	1,12	1,00	1,53	1,49	0,60	1,00	1,00	1,00
								X-	A1/18	1,00	0,84	0,85	0,77	1,13	1,12	1,00	1,53	1,49	0,60	1,00	1,00	1,00
								Y+	A1/28	1,00	0,84	0,85	0,77	1,13	1,12	1,00	1,53	1,49	0,60	1,00	1,00	1,00
								Y-	A1/34	1,00	0,84	0,85	0,77	1,13	1,12	1,00	1,53	1,49	0,60	1,00	1,00	1,00
29	22,25	11,85	12,54	1,00	1,00	1,00	1,00		A1/1	1,00	1,00	1,00	1,00	1,13	1,12	1,00	1,53	1,49	0,60	1,00	1,00	1,00
									A1/2	1,00	1,00	1,00	1,00	1,13	1,12	1,00	1,53	1,49	0,60	1,00	1,00	1,00
								X+	A1/6	1,00	0,85	0,86	0,79	1,13	1,12	1,00	1,53	1,49	0,60	1,00	1,00	1,00
								X-	A1/13	1,00	0,84	0,86	0,77	1,13	1,12	1,00	1,53	1,49	0,60	1,00	1,00	1,00
								Y+	A1/29	1,00	0,84	0,86	0,77	1,13	1,12	1,00	1,53	1,49	0,60	1,00	1,00	1,00
								Y-	A1/31	1,00	0,84	0,86	0,77	1,13	1,12	1,00	1,53	1,49	0,60	1,00	1,00	1,00
30	22,25	11,85	12,54	1,00	1,00	1,00	1,00		A1/1	1,00	1,00	1,00	1,00	1,13	1,12	1,00	1,53	1,49	0,60	1,00	1,00	1,00
									A1/2	1,00	1,00	1,00	1,00	1,13	1,12	1,00	1,53	1,49	0,60	1,00	1,00	1,00
								X+	A1/6	1,00	0,85	0,86	0,78	1,13	1,12	1,00	1,53	1,49	0,60	1,00	1,00	1,00
								X-	A1/13	1,00	0,84	0,85	0,77	1,13	1,12	1,00	1,53	1,49	0,60	1,00	1,00	1,00
								Y+	A1/29	1,00	0,84	0,85	0,77	1,13	1,12	1,00	1,53	1,49	0,60	1,00	1,00	1,00
								Y-	A1/31	1,00	0,84	0,85	0,77	1,13	1,12	1,00	1,53	1,49	0,60	1,00	1,00	1,00
31	22,25	11,85	12,54	1,00	1,00	1,00	1,00		A1/1	1,00	1,00	1,00	1,00	1,15	1,14	1,00	1,53	1,49	0,60	1,00	1,00	1,00
									A1/2	1,00	1,00	1,00	1,00	1,15	1,14	1,00	1,53	1,49	0,60	1,00	1,00	1,00
								X+	A1/9	1,00	0,85	0,86	0,78	1,15	1,14	1,00	1,53	1,49	0,60	1,00	1,00	1,00
								X-	A1/18	1,00	0,84	0,86	0,77	1,15	1,14	1,00	1,53	1,49	0,60	1,00	1,00	1,00
								Y+	A1/28	1,00	0,84	0,86	0,77	1,15	1,14	1,00	1,53	1,49	0,60	1,00	1,00	1,00
								Y-	A1/34	1,00	0,84	0,86	0,77	1,15	1,14	1,00	1,53	1,49	0,60	1,00	1,00	1,00
32	22,25	11,85	12,54	1,00	1,00	1,00	1,00		A1/1	1,00	1,00	1,00	1,00	1,13	1,12	1,00	1,53	1,49	0,60	1,00	1,00	1,00
									A1/2	1,00	1,00	1,00	1,00	1,13	1,12	1,00	1,53	1,49	0,60	1,00	1,00	1,00
								X+	A1/9	1,00	0,85	0,87	0,79	1,13	1,12	1,00	1,53	1,49	0,60	1,00	1,00	1,00
								X-	A1/18	1,00	0,85	0,86	0,78	1,13	1,12	1,00	1,53	1,49	0,60	1,00	1,00	1,00
								Y+	A1/28	1,00	0,85	0,86	0,78	1,13	1,12	1,00	1,53	1,49	0,60	1,00	1,00	1,00
								Y-	A1/34	1,00	0,85	0,86	0,78	1,13	1,12	1,00	1,53	1,49	0,60	1,00	1,00	1,00
33	22,25	11,85	12,54	1,00	1,00	1,00	1,00		A1/1	1,00	1,00	1,00	1,00	1,16	1,14	1,00	1,53	1,49	0,60	1,00	1,00	1,00
									A1/2	1,00	1,00	1,00	1,00	1,16	1,14	1,00	1,53	1,49	0,60	1,00	1,00	1,00
								X+	A1/9	1,00	0,85	0,86	0,78	1,16	1,14	1,00	1,53	1,49	0,60	1,00	1,00	1,00

COEFFICIENTI DI PORTANZA PIASTRE WINKLER - CONDIZIONI DRENATE - S.L.U.

Piast	Brinch Hansen			IclTe	Incl.PianoPosa			Comb		Igk	CoeffIncl.Car.			Affondamento			Forma			Punzonamento		
Nro	Nc	Nq	Ng	Gc=Gq	Bc	Bq	Bg		N.ro	Sism	IcV	IqV	IgV	Dc	Dq	Dg	Sc	Sq	Sg	Psic	Psiq	Psig
								X-	A1/18	1,00	0,84	0,85	0,76	1,16	1,14	1,00	1,53	1,49	0,60	1,00	1,00	1,00
								Y+	A1/28	1,00	0,84	0,85	0,77	1,16	1,14	1,00	1,53	1,49	0,60	1,00	1,00	1,00
								Y-	A1/34	1,00	0,84	0,85	0,77	1,16	1,14	1,00	1,53	1,49	0,60	1,00	1,00	1,00
34	22,25	11,85	12,54	1,00	1,00	1,00	1,00		A1/1	1,00	1,00	1,00	1,00	1,18	1,16	1,00	1,53	1,49	0,60	1,00	1,00	1,00
									A1/2	1,00	1,00	1,00	1,00	1,18	1,16	1,00	1,53	1,49	0,60	1,00	1,00	1,00
								X+	A1/9	1,00	0,85	0,86	0,78	1,18	1,16	1,00	1,53	1,49	0,60	1,00	1,00	1,00
								X-	A1/18	1,00	0,83	0,85	0,76	1,18	1,16	1,00	1,53	1,49	0,60	1,00	1,00	1,00
								Y+	A1/28	1,00	0,84	0,85	0,76	1,18	1,16	1,00	1,53	1,49	0,60	1,00	1,00	1,00
								Y-	A1/34	1,00	0,84	0,85	0,76	1,18	1,16	1,00	1,53	1,49	0,60	1,00	1,00	1,00
35	22,25	11,85	12,54	1,00	1,00	1,00	1,00		A1/1	1,00	1,00	1,00	1,00	1,16	1,14	1,00	1,53	1,49	0,60	1,00	1,00	1,00
									A1/2	1,00	1,00	1,00	1,00	1,16	1,14	1,00	1,53	1,49	0,60	1,00	1,00	1,00
								X+	A1/6	1,00	0,85	0,86	0,78	1,16	1,14	1,00	1,53	1,49	0,60	1,00	1,00	1,00
								X-	A1/13	1,00	0,84	0,85	0,76	1,16	1,14	1,00	1,53	1,49	0,60	1,00	1,00	1,00
								Y+	A1/29	1,00	0,84	0,85	0,77	1,16	1,14	1,00	1,53	1,49	0,60	1,00	1,00	1,00
								Y-	A1/31	1,00	0,84	0,85	0,77	1,16	1,14	1,00	1,53	1,49	0,60	1,00	1,00	1,00
36	22,25	11,85	12,54	1,00	1,00	1,00	1,00		A1/1	1,00	1,00	1,00	1,00	1,13	1,12	1,00	1,53	1,49	0,60	1,00	1,00	1,00
									A1/2	1,00	1,00	1,00	1,00	1,13	1,12	1,00	1,53	1,49	0,60	1,00	1,00	1,00
								X+	A1/9	1,00	0,85	0,87	0,79	1,13	1,12	1,00	1,53	1,49	0,60	1,00	1,00	1,00
								X-	A1/18	1,00	0,85	0,86	0,78	1,13	1,12	1,00	1,53	1,49	0,60	1,00	1,00	1,00
								Y+	A1/28	1,00	0,85	0,86	0,78	1,13	1,12	1,00	1,53	1,49	0,60	1,00	1,00	1,00
								Y-	A1/34	1,00	0,85	0,86	0,78	1,13	1,12	1,00	1,53	1,49	0,60	1,00	1,00	1,00
37	22,25	11,85	12,54	1,00	1,00	1,00	1,00		A1/1	1,00	1,00	1,00	1,00	1,15	1,14	1,00	1,53	1,49	0,60	1,00	1,00	1,00
									A1/2	1,00	1,00	1,00	1,00	1,15	1,14	1,00	1,53	1,49	0,60	1,00	1,00	1,00
								X+	A1/9	1,00	0,85	0,86	0,78	1,15	1,14	1,00	1,53	1,49	0,60	1,00	1,00	1,00
								X-	A1/18	1,00	0,85	0,86	0,78	1,15	1,14	1,00	1,53	1,49	0,60	1,00	1,00	1,00
								Y+	A1/28	1,00	0,85	0,86	0,78	1,15	1,14	1,00	1,53	1,49	0,60	1,00	1,00	1,00
								Y-	A1/34	1,00	0,85	0,86	0,77	1,15	1,14	1,00	1,53	1,49	0,60	1,00	1,00	1,00
38	22,25	11,85	12,54	1,00	1,00	1,00	1,00		A1/1	1,00	1,00	1,00	1,00	1,15	1,14	1,00	1,53	1,49	0,60	1,00	1,00	1,00
									A1/2	1,00	1,00	1,00	1,00	1,15	1,14	1,00	1,53	1,49	0,60	1,00	1,00	1,00
								X+	A1/9	1,00	0,85	0,86	0,78	1,15	1,14	1,00	1,53	1,49	0,60	1,00	1,00	1,00
								X-	A1/18	1,00	0,85	0,86	0,78	1,15	1,14	1,00	1,53	1,49	0,60	1,00	1,00	1,00
								Y+	A1/28	1,00	0,85	0,86	0,78	1,15	1,14	1,00	1,53	1,49	0,60	1,00	1,00	1,00
								Y-	A1/34	1,00	0,85	0,86	0,78	1,15	1,14	1,00	1,53	1,49	0,60	1,00	1,00	1,00
39	22,25	11,85	12,54	1,00	1,00	1,00	1,00		A1/1	1,00	1,00	1,00	1,00	1,13	1,12	1,00	1,53	1,49	0,60	1,00	1,00	1,00
									A1/2	1,00	1,00	1,00	1,00	1,13	1,12	1,00	1,53	1,49	0,60	1,00	1,00	1,00
								X+	A1/8	1,00	0,85	0,87	0,79	1,13	1,12	1,00	1,53	1,49	0,60	1,00	1,00	1,00
								X-	A1/15	1,00	0,85	0,86	0,78	1,13	1,12	1,00	1,53	1,49	0,60	1,00	1,00	1,00
								Y+	A1/29	1,00	0,85	0,86	0,78	1,13	1,12	1,00	1,53	1,49	0,60	1,00	1,00	1,00
								Y-	A1/31	1,00	0,85	0,86	0,78	1,13	1,12	1,00	1,53	1,49	0,60	1,00	1,00	1,00
40	22,25	11,85	12,54	1,00	1,00	1,00	1,00		A1/1	1,00	1,00	1,00	1,00	1,13	1,12	1,00	1,53	1,49	0,60	1,00	1,00	1,00
									A1/2	1,00	1,00	1,00	1,00	1,13	1,12	1,00	1,53	1,49	0,60	1,00	1,00	1,00
								X+	A1/6	1,00	0,85	0,87	0,79	1,13	1,12	1,00	1,53	1,49	0,60	1,00	1,00	1,00
								X-	A1/13	1,00	0,85	0,86	0,78	1,13	1,12	1,00	1,53	1,49	0,60	1,00	1,00	1,00
								Y+	A1/29	1,00	0,85	0,86	0,78	1,13	1,12	1,00	1,53	1,49	0,60	1,00	1,00	1,00
								Y-	A1/31	1,00	0,85	0,86	0,78	1,13	1,12	1,00	1,53	1,49	0,60	1,00	1,00	1,00
41	22,25	11,85	12,54	1,00	1,00	1,00	1,00		A1/1	1,00	1,00	1,00	1,00	1,13	1,12	1,00	1,53	1,49	0,60	1,00	1,00	1,00
									A1/2	1,00	1,00	1,00	1,00	1,13	1,12	1,00	1,53	1,49	0,60	1,00	1,00	1,00
								X+	A1/6	1,00	0,85	0,87	0,79	1,13	1,12	1,00	1,53	1,49	0,60	1,00	1,00	1,00
								X-	A1/13	1,00	0,85	0,86	0,78	1,13	1,12	1,00	1,53	1,49	0,60	1,00	1,00	1,00
								Y+	A1/29	1,00	0,85	0,86	0,78	1,13	1,12	1,00	1,53	1,49	0,60	1,00	1,00	1,00
								Y-	A1/31	1,00	0,85	0,86	0,78	1,13	1,12	1,00	1,53	1,49	0,60	1,00	1,00	1,00
42	22,25	11,85	12,54	1,00	1,00	1,00	1,00		A1/1	1,00	1,00	1,00	1,00	1,15	1,14	1,00	1,53	1,49	0,60	1,00	1,00	1,00
									A1/2	1,00	1,00	1,00	1,00	1,15	1,14	1,00	1,53	1,49	0,60	1,00	1,00	1,00
								X+	A1/8	1,00	0,85	0,86	0,78	1,15	1,14	1,00	1,53	1,49	0,60	1,00	1,00	1,00
								X-	A1/15	1,00	0,85	0,86	0,78	1,15	1,14	1,00	1,53	1,49	0,60	1,00	1,00	1,00
								Y+	A1/29	1,00	0,85	0,86	0,78	1,15	1,14	1,00	1,53	1,49	0,60	1,00	1,00	1,00
								Y-	A1/31	1,00	0,85	0,86	0,78	1,15	1,14	1,00	1,53	1,49	0,60	1,00	1,00	1,00
43	22,25	11,85	12,54	1,00	1,00	1,00	1,00		A1/1	1,00	1,00	1,00	1,00	1,13	1,12	1,00	1,53	1,49	0,60	1,00	1,00	1,00
									A1/2	1,00	1,00	1,00	1,00	1,13	1,12	1,00	1,53	1,49	0,60	1,00	1,00	1,00
								X+	A1/8	1,00	0,85	0,87	0,79	1,13	1,12	1,00	1,53	1,49	0,60	1,00	1,00	1,00
								X-	A1/15	1,00	0,85	0,87	0,79	1,13	1,12	1,00	1,53	1,49	0,60	1,00	1,00	1,00
								Y+	A1/29	1,00	0,85	0,86	0,78	1,13	1,12	1,00	1,53	1,49	0,60	1,00	1,00	1,00
								Y-	A1/31	1,00	0,85	0,86	0,78	1,13	1,12	1,00	1,53	1,49	0,60	1,00	1,00	1,00
44	22,25	11,85	12,54	1,00	1,00	1,00	1,00		A1/1	1,00	1,00	1,00	1,00	1,13	1,12	1,00	1,53	1,49	0,60	1,00	1,00	1,00
									A1/2	1,00	1,00	1,00	1,00	1,13	1,12	1,00	1,53	1,49	0,60	1,00	1,00	1,00
								X+	A1/3	1,00	0,85	0,87	0,79	1,13	1,12	1,00	1,53	1,49	0,60	1,00	1,00	1,00
								X-	A1/12	1,00	0,85	0,87	0,79	1,13	1,12	1,00	1,53	1,49	0,60	1,00	1,00	1,00
								Y+	A1/28	1,00	0,85	0,86	0,78	1,13	1,12	1,00	1,53	1,49	0,60	1,00	1,00	1,00
								Y-	A1/34	1,00	0,85	0,86	0,78	1,13	1,12	1,00	1,53	1,49	0,60	1,00	1,00	1,00
45	22,25	11,85	12,54	1,00	1,00	1,00	1,00		A1/1	1,00	1,00	1,00	1,00	1,13	1,12	1,00	1,53	1,49	0,60	1,00	1,00	1,00
									A1/2	1,00	1,00	1,00	1,00	1,13	1,12	1,00	1,53	1,49	0,60	1,00	1,00	1,00
								X+	A1/3	1,00	0,85	0,87	0,79	1,13	1,12	1,00	1,53	1,49	0,60	1,00	1,00	1,00
								X-	A1/12	1,00	0,85	0,86	0,78	1,13	1,12	1,00	1,53	1,49	0,60	1,00	1,00	1,00
								Y+	A1/28	1,00	0,85	0,86	0,78	1,13	1,12	1,00	1,53	1,49	0,60	1,00	1,00	1,00
								Y-	A1/34	1,00	0,85	0,86	0,78	1,13	1,12	1,00	1,53	1,49	0,60	1,00	1,00	1,00
46	22,25	11,85	12,54	1,00	1,00	1,00	1,00		A1/1	1,00	1,00	1,00	1,00	1,15	1,14	1,00	1,53	1,49	0,60	1,00	1,00	1,00
									A1/2	1,00	1,00	1,00	1,00	1,15	1,14	1,00	1,53	1,49	0,60	1,00	1,00	1,00
								X+	A1/8	1,00	0,85	0,86	0,78	1,15	1,14	1,00	1,53	1,49	0,60	1,00	1,00	1,00
								X-	A1/15	1,00	0,85	0,87	0,79	1,15	1,14	1,00	1,53	1,49	0,60	1,00	1,00	1,00
								Y+	A1/22	1,00	0,85	0,86	0,78	1,15	1,14	1,00	1,53	1,49	0,60	1,00	1,00	1,00
								Y-	A1/24	1,00	0,85	0,86	0,78	1,15	1,14	1,00	1,53	1,49	0,60	1,00	1,00	1,00
47	22,25	11,85	12,54	1,00	1,00	1,00	1,00		A1/1	1,00	1,00	1,00	1,00	1,13	1,12	1,00	1,53	1,49	0,60	1,00	1,00	1,00
									A1/2	1,00	1,00	1,00	1,00	1,13	1,12	1,00	1,53	1,49	0,60	1,00	1,00	1,00
								X+	A1/8	1,00	0,85	0,87	0,79	1,13	1,12	1,00	1,53	1,49	0,60	1,00	1,00	1,00

COEFFICIENTI DI PORTANZA PIASTRE WINKLER - CONDIZIONI DRENATE - S.L.U.

Piast	Brinch Hansen			IclTe	Incl.PianoPosa			Comb		Igk	CoeffIncl.Car.			Affondamento			Forma			Punzonamento		
Nro	Nc	Nq	Ng	Gc=Gq	Bc	Bq	Bg		N.ro	Sism	IcV	IqV	IgV	Dc	Dq	Dg	Sc	Sq	Sg	Psic	Psiq	Psig
								X-	A1/15	1,00	0,86	0,87	0,79	1,13	1,12	1,00	1,53	1,49	0,60	1,00	1,00	1,00
								Y+	A1/22	1,00	0,85	0,87	0,79	1,13	1,12	1,00	1,53	1,49	0,60	1,00	1,00	1,00
								Y-	A1/24	1,00	0,85	0,87	0,79	1,13	1,12	1,00	1,53	1,49	0,60	1,00	1,00	1,00
48	22,25	11,85	12,54	1,00	1,00	1,00	1,00		A1/1	1,00	1,00	1,00	1,00	1,15	1,14	1,00	1,53	1,49	0,60	1,00	1,00	1,00
									A1/2	1,00	1,00	1,00	1,00	1,15	1,14	1,00	1,53	1,49	0,60	1,00	1,00	1,00
								X+	A1/6	1,00	0,85	0,86	0,78	1,15	1,14	1,00	1,53	1,49	0,60	1,00	1,00	1,00
								X-	A1/13	1,00	0,84	0,85	0,76	1,15	1,14	1,00	1,53	1,49	0,60	1,00	1,00	1,00
								Y+	A1/29	1,00	0,84	0,85	0,77	1,15	1,14	1,00	1,53	1,49	0,60	1,00	1,00	1,00
								Y-	A1/31	1,00	0,84	0,85	0,77	1,15	1,14	1,00	1,53	1,49	0,60	1,00	1,00	1,00
49	22,25	11,85	12,54	1,00	1,00	1,00	1,00		A1/1	1,00	1,00	1,00	1,00	1,17	1,15	1,00	1,53	1,49	0,60	1,00	1,00	1,00
									A1/2	1,00	1,00	1,00	1,00	1,17	1,15	1,00	1,53	1,49	0,60	1,00	1,00	1,00
								X+	A1/6	1,00	0,85	0,86	0,78	1,17	1,15	1,00	1,53	1,49	0,60	1,00	1,00	1,00
								X-	A1/13	1,00	0,83	0,85	0,76	1,17	1,15	1,00	1,53	1,49	0,60	1,00	1,00	1,00
								Y+	A1/29	1,00	0,84	0,85	0,76	1,17	1,15	1,00	1,53	1,49	0,60	1,00	1,00	1,00
								Y-	A1/31	1,00	0,84	0,85	0,76	1,17	1,15	1,00	1,53	1,49	0,60	1,00	1,00	1,00
50	22,25	11,85	12,54	1,00	1,00	1,00	1,00		A1/1	1,00	1,00	1,00	1,00	1,15	1,14	1,00	1,53	1,49	0,60	1,00	1,00	1,00
									A1/2	1,00	1,00	1,00	1,00	1,15	1,14	1,00	1,53	1,49	0,60	1,00	1,00	1,00
								X+	A1/6	1,00	0,85	0,86	0,78	1,15	1,14	1,00	1,53	1,49	0,60	1,00	1,00	1,00
								X-	A1/13	1,00	0,84	0,85	0,77	1,15	1,14	1,00	1,53	1,49	0,60	1,00	1,00	1,00
								Y+	A1/29	1,00	0,84	0,85	0,77	1,15	1,14	1,00	1,53	1,49	0,60	1,00	1,00	1,00
								Y-	A1/31	1,00	0,84	0,85	0,77	1,15	1,14	1,00	1,53	1,49	0,60	1,00	1,00	1,00
51	22,25	11,85	12,54	1,00	1,00	1,00	1,00		A1/1	1,00	1,00	1,00	1,00	1,15	1,14	1,00	1,53	1,49	0,60	1,00	1,00	1,00
									A1/2	1,00	1,00	1,00	1,00	1,15	1,14	1,00	1,53	1,49	0,60	1,00	1,00	1,00
								X+	A1/6	1,00	0,85	0,86	0,78	1,15	1,14	1,00	1,53	1,49	0,60	1,00	1,00	1,00
								X-	A1/13	1,00	0,84	0,86	0,77	1,15	1,14	1,00	1,53	1,49	0,60	1,00	1,00	1,00
								Y+	A1/29	1,00	0,84	0,86	0,77	1,15	1,14	1,00	1,53	1,49	0,60	1,00	1,00	1,00
								Y-	A1/31	1,00	0,84	0,86	0,77	1,15	1,14	1,00	1,53	1,49	0,60	1,00	1,00	1,00
52	22,25	11,85	12,54	1,00	1,00	1,00	1,00		A1/1	1,00	1,00	1,00	1,00	1,15	1,14	1,00	1,53	1,49	0,60	1,00	1,00	1,00
									A1/2	1,00	1,00	1,00	1,00	1,15	1,14	1,00	1,53	1,49	0,60	1,00	1,00	1,00
								X+	A1/6	1,00	0,85	0,86	0,78	1,15	1,14	1,00	1,53	1,49	0,60	1,00	1,00	1,00
								X-	A1/13	1,00	0,85	0,86	0,78	1,15	1,14	1,00	1,53	1,49	0,60	1,00	1,00	1,00
								Y+	A1/29	1,00	0,85	0,86	0,77	1,15	1,14	1,00	1,53	1,49	0,60	1,00	1,00	1,00
								Y-	A1/31	1,00	0,85	0,86	0,78	1,15	1,14	1,00	1,53	1,49	0,60	1,00	1,00	1,00
53	22,25	11,85	12,54	1,00	1,00	1,00	1,00		A1/1	1,00	1,00	1,00	1,00	1,15	1,14	1,00	1,53	1,49	0,60	1,00	1,00	1,00
									A1/2	1,00	1,00	1,00	1,00	1,15	1,14	1,00	1,53	1,49	0,60	1,00	1,00	1,00
								X+	A1/6	1,00	0,85	0,86	0,78	1,15	1,14	1,00	1,53	1,49	0,60	1,00	1,00	1,00
								X-	A1/13	1,00	0,85	0,86	0,78	1,15	1,14	1,00	1,53	1,49	0,60	1,00	1,00	1,00
								Y+	A1/29	1,00	0,85	0,86	0,78	1,15	1,14	1,00	1,53	1,49	0,60	1,00	1,00	1,00
								Y-	A1/31	1,00	0,85	0,86	0,78	1,15	1,14	1,00	1,53	1,49	0,60	1,00	1,00	1,00
54	22,25	11,85	12,54	1,00	1,00	1,00	1,00		A1/1	1,00	1,00	1,00	1,00	1,15	1,14	1,00	1,53	1,49	0,60	1,00	1,00	1,00
									A1/2	1,00	1,00	1,00	1,00	1,15	1,14	1,00	1,53	1,49	0,60	1,00	1,00	1,00
								X+	A1/3	1,00	0,85	0,86	0,78	1,15	1,14	1,00	1,53	1,49	0,60	1,00	1,00	1,00
								X-	A1/12	1,00	0,85	0,86	0,78	1,15	1,14	1,00	1,53	1,49	0,60	1,00	1,00	1,00
								Y+	A1/28	1,00	0,85	0,86	0,78	1,15	1,14	1,00	1,53	1,49	0,60	1,00	1,00	1,00
								Y-	A1/34	1,00	0,85	0,86	0,78	1,15	1,14	1,00	1,53	1,49	0,60	1,00	1,00	1,00
55	22,25	11,85	12,54	1,00	1,00	1,00	1,00		A1/1	1,00	1,00	1,00	1,00	1,13	1,12	1,00	1,53	1,49	0,60	1,00	1,00	1,00
									A1/2	1,00	1,00	1,00	1,00	1,13	1,12	1,00	1,53	1,49	0,60	1,00	1,00	1,00
								X+	A1/3	1,00	0,85	0,87	0,79	1,13	1,12	1,00	1,53	1,49	0,60	1,00	1,00	1,00
								X-	A1/12	1,00	0,86	0,87	0,79	1,13	1,12	1,00	1,53	1,49	0,60	1,00	1,00	1,00
								Y+	A1/19	1,00	0,85	0,87	0,79	1,13	1,12	1,00	1,53	1,49	0,60	1,00	1,00	1,00
								Y-	A1/25	1,00	0,85	0,87	0,79	1,13	1,12	1,00	1,53	1,49	0,60	1,00	1,00	1,00
56	22,25	11,85	12,54	1,00	1,00	1,00	1,00		A1/1	1,00	1,00	1,00	1,00	1,15	1,14	1,00	1,53	1,49	0,60	1,00	1,00	1,00
									A1/2	1,00	1,00	1,00	1,00	1,15	1,14	1,00	1,53	1,49	0,60	1,00	1,00	1,00
								X+	A1/3	1,00	0,85	0,86	0,78	1,15	1,14	1,00	1,53	1,49	0,60	1,00	1,00	1,00
								X-	A1/12	1,00	0,85	0,87	0,79	1,15	1,14	1,00	1,53	1,49	0,60	1,00	1,00	1,00
								Y+	A1/19	1,00	0,85	0,86	0,78	1,15	1,14	1,00	1,53	1,49	0,60	1,00	1,00	1,00
								Y-	A1/25	1,00	0,85	0,86	0,78	1,15	1,14	1,00	1,53	1,49	0,60	1,00	1,00	1,00
57	22,25	11,85	12,54	1,00	1,00	1,00	1,00		A1/1	1,00	1,00	1,00	1,00	1,13	1,12	1,00	1,53	1,49	0,60	1,00	1,00	1,00
									A1/2	1,00	1,00	1,00	1,00	1,13	1,12	1,00	1,53	1,49	0,60	1,00	1,00	1,00
								X+	A1/8	1,00	0,85	0,87	0,79	1,13	1,12	1,00	1,53	1,49	0,60	1,00	1,00	1,00
								X-	A1/15	1,00	0,86	0,87	0,80	1,13	1,12	1,00	1,53	1,49	0,60	1,00	1,00	1,00
								Y+	A1/22	1,00	0,85	0,87	0,79	1,13	1,12	1,00	1,53	1,49	0,60	1,00	1,00	1,00
								Y-	A1/24	1,00	0,85	0,87	0,79	1,13	1,12	1,00	1,53	1,49	0,60	1,00	1,00	1,00
58	22,25	11,85	12,54	1,00	1,00	1,00	1,00		A1/1	1,00	1,00	1,00	1,00	1,15	1,14	1,00	1,53	1,49	0,60	1,00	1,00	1,00
									A1/2	1,00	1,00	1,00	1,00	1,15	1,14	1,00	1,53	1,49	0,60	1,00	1,00	1,00
								X+	A1/8	1,00	0,85	0,86	0,78	1,15	1,14	1,00	1,53	1,49	0,60	1,00	1,00	1,00
								X-	A1/15	1,00	0,86	0,87	0,79	1,15	1,14	1,00	1,53	1,49	0,60	1,00	1,00	1,00
								Y+	A1/22	1,00	0,85	0,86	0,79	1,15	1,14	1,00	1,53	1,49	0,60	1,00	1,00	1,00
								Y-	A1/24	1,00	0,85	0,86	0,78	1,15	1,14	1,00	1,53	1,49	0,60	1,00	1,00	1,00
59	22,25	11,85	12,54	1,00	1,00	1,00	1,00		A1/1	1,00	1,00	1,00	1,00	1,15	1,14	1,00	1,53	1,49	0,60	1,00	1,00	1,00
									A1/2	1,00	1,00	1,00	1,00	1,15	1,14	1,00	1,53	1,49	0,60	1,00	1,00	1,00
								X+	A1/8	1,00	0,85	0,87	0,79	1,15	1,14	1,00	1,53	1,49	0,60	1,00	1,00	1,00
								X-	A1/15	1,00	0,86	0,87	0,80	1,15	1,14	1,00	1,53	1,49	0,60	1,00	1,00	1,00
								Y+	A1/22	1,00	0,85	0,87	0,79	1,15	1,14	1,00	1,53	1,49	0,60	1,00	1,00	1,00
								Y-	A1/24	1,00	0,85	0,87	0,79	1,15	1,14	1,00	1,53	1,49	0,60	1,00	1,00	1,00
60	22,25	11,85	12,54	1,00	1,00	1,00	1,00		A1/1	1,00	1,00	1,00	1,00	1,13	1,12	1,00	1,53	1,49	0,60	1,00	1,00	1,00
									A1/2	1,00	1,00	1,00	1,00	1,13	1,12	1,00	1,53	1,49	0,60	1,00	1,00	1,00
								X+	A1/8	1,00	0,85	0,87	0,79	1,13	1,12	1,00	1,53	1,49	0,60	1,00	1,00	1,00
								X-	A1/15	1,00	0,86	0,87	0,80	1,13	1,12	1,00	1,53	1,49	0,60	1,00	1,00	1,00
								Y+	A1/22	1,00	0,86	0,87	0,79	1,13	1,12	1,00	1,53	1,49	0,60	1,00	1,00	1,00
								Y-	A1/24	1,00	0,86	0,87	0,79	1,13	1,12	1,00	1,53	1,49	0,60	1,00	1,00	1,00
61	22,25	11,85	12,54	1,00	1,00	1,00	1,00		A1/1	1,00	1,00	1,00	1,00	1,13	1,12	1,00	1,53	1,49	0,60	1,00	1,00	1,00
									A1/2	1,00	1,00	1,00	1,00	1,13	1,12	1,00	1,53	1,49	0,60	1,00	1,00	1,00
								X+	A1/3	1,00	0,85	0,87	0,79	1,13	1,12	1,00	1,53	1,49	0,60	1,00	1,00	1,00

COEFFICIENTI DI PORTANZA PIASTRE WINKLER - CONDIZIONI DRENATE - S.L.U.

Piast	Brinch Hansen			IclTe	Incl.PianoPosa			Comb		Igk	CoeffIncl.Car.			Affondamento			Forma			Punzonamento		
Nro	Nc	Nq	Ng	Gc=Gq	Bc	Bq	Bg		N.ro	Sism	IcV	IqV	IgV	Dc	Dq	Dg	Sc	Sq	Sg	Psic	Psiq	Psig
								X-	A1/12	1,00	0,86	0,87	0,80	1,13	1,12	1,00	1,53	1,49	0,60	1,00	1,00	1,00
								Y+	A1/19	1,00	0,85	0,87	0,79	1,13	1,12	1,00	1,53	1,49	0,60	1,00	1,00	1,00
								Y-	A1/25	1,00	0,85	0,87	0,79	1,13	1,12	1,00	1,53	1,49	0,60	1,00	1,00	1,00
62	22,25	11,85	12,54	1,00	1,00	1,00	1,00		A1/1	1,00	1,00	1,00	1,00	1,15	1,14	1,00	1,53	1,49	0,60	1,00	1,00	1,00
									A1/2	1,00	1,00	1,00	1,00	1,15	1,14	1,00	1,53	1,49	0,60	1,00	1,00	1,00
								X+	A1/8	1,00	0,85	0,87	0,79	1,15	1,14	1,00	1,53	1,49	0,60	1,00	1,00	1,00
								X-	A1/15	1,00	0,86	0,88	0,80	1,15	1,14	1,00	1,53	1,49	0,60	1,00	1,00	1,00
								Y+	A1/22	1,00	0,86	0,87	0,79	1,15	1,14	1,00	1,53	1,49	0,60	1,00	1,00	1,00
								Y-	A1/24	1,00	0,86	0,87	0,79	1,15	1,14	1,00	1,53	1,49	0,60	1,00	1,00	1,00
63	22,25	11,85	12,54	1,00	1,00	1,00	1,00		A1/1	1,00	1,00	1,00	1,00	1,13	1,12	1,00	1,53	1,49	0,60	1,00	1,00	1,00
									A1/2	1,00	1,00	1,00	1,00	1,13	1,12	1,00	1,53	1,49	0,60	1,00	1,00	1,00
								X+	A1/8	1,00	0,85	0,87	0,79	1,13	1,12	1,00	1,53	1,49	0,60	1,00	1,00	1,00
								X-	A1/15	1,00	0,87	0,88	0,80	1,13	1,12	1,00	1,53	1,49	0,60	1,00	1,00	1,00
								Y+	A1/22	1,00	0,86	0,87	0,79	1,13	1,12	1,00	1,53	1,49	0,60	1,00	1,00	1,00
								Y-	A1/24	1,00	0,86	0,87	0,79	1,13	1,12	1,00	1,53	1,49	0,60	1,00	1,00	1,00
64	22,25	11,85	12,54	1,00	1,00	1,00	1,00		A1/1	1,00	1,00	1,00	1,00	1,13	1,12	1,00	1,53	1,49	0,60	1,00	1,00	1,00
									A1/2	1,00	1,00	1,00	1,00	1,13	1,12	1,00	1,53	1,49	0,60	1,00	1,00	1,00
								X+	A1/3	1,00	0,85	0,87	0,79	1,13	1,12	1,00	1,53	1,49	0,60	1,00	1,00	1,00
								X-	A1/12	1,00	0,87	0,88	0,80	1,13	1,12	1,00	1,53	1,49	0,60	1,00	1,00	1,00
								Y+	A1/19	1,00	0,86	0,87	0,79	1,13	1,12	1,00	1,53	1,49	0,60	1,00	1,00	1,00
								Y-	A1/25	1,00	0,86	0,87	0,79	1,13	1,12	1,00	1,53	1,49	0,60	1,00	1,00	1,00
65	22,25	11,85	12,54	1,00	1,00	1,00	1,00		A1/1	1,00	1,00	1,00	1,00	1,13	1,12	1,00	1,53	1,49	0,60	1,00	1,00	1,00
									A1/2	1,00	1,00	1,00	1,00	1,13	1,12	1,00	1,53	1,49	0,60	1,00	1,00	1,00
								X+	A1/3	1,00	0,85	0,87	0,79	1,13	1,12	1,00	1,53	1,49	0,60	1,00	1,00	1,00
								X-	A1/12	1,00	0,86	0,87	0,80	1,13	1,12	1,00	1,53	1,49	0,60	1,00	1,00	1,00
								Y+	A1/19	1,00	0,86	0,87	0,79	1,13	1,12	1,00	1,53	1,49	0,60	1,00	1,00	1,00
								Y-	A1/25	1,00	0,86	0,87	0,79	1,13	1,12	1,00	1,53	1,49	0,60	1,00	1,00	1,00
66	22,25	11,85	12,54	1,00	1,00	1,00	1,00		A1/1	1,00	1,00	1,00	1,00	1,17	1,15	1,00	1,53	1,49	0,60	1,00	1,00	1,00
									A1/2	1,00	1,00	1,00	1,00	1,17	1,15	1,00	1,53	1,49	0,60	1,00	1,00	1,00
								X+	A1/8	1,00	0,85	0,87	0,79	1,17	1,15	1,00	1,53	1,49	0,60	1,00	1,00	1,00
								X-	A1/15	1,00	0,87	0,88	0,81	1,17	1,15	1,00	1,53	1,49	0,60	1,00	1,00	1,00
								Y+	A1/22	1,00	0,86	0,87	0,79	1,17	1,15	1,00	1,53	1,49	0,60	1,00	1,00	1,00
								Y-	A1/24	1,00	0,86	0,87	0,79	1,17	1,15	1,00	1,53	1,49	0,60	1,00	1,00	1,00
67	22,25	11,85	12,54	1,00	1,00	1,00	1,00		A1/1	1,00	1,00	1,00	1,00	1,16	1,15	1,00	1,53	1,49	0,60	1,00	1,00	1,00
									A1/2	1,00	1,00	1,00	1,00	1,16	1,15	1,00	1,53	1,49	0,60	1,00	1,00	1,00
								X+	A1/8	1,00	0,85	0,87	0,79	1,16	1,15	1,00	1,53	1,49	0,60	1,00	1,00	1,00
								X-	A1/15	1,00	0,87	0,88	0,81	1,16	1,15	1,00	1,53	1,49	0,60	1,00	1,00	1,00
								Y+	A1/22	1,00	0,86	0,87	0,79	1,16	1,15	1,00	1,53	1,49	0,60	1,00	1,00	1,00
								Y-	A1/24	1,00	0,86	0,87	0,79	1,16	1,15	1,00	1,53	1,49	0,60	1,00	1,00	1,00
68	22,25	11,85	12,54	1,00	1,00	1,00	1,00		A1/1	1,00	1,00	1,00	1,00	1,16	1,15	1,00	1,53	1,49	0,60	1,00	1,00	1,00
									A1/2	1,00	1,00	1,00	1,00	1,16	1,15	1,00	1,53	1,49	0,60	1,00	1,00	1,00
								X+	A1/8	1,00	0,86	0,87	0,80	1,16	1,15	1,00	1,53	1,49	0,60	1,00	1,00	1,00
								X-	A1/15	1,00	0,88	0,89	0,83	1,16	1,15	1,00	1,53	1,49	0,60	1,00	1,00	1,00
								Y+	A1/22	1,00	0,87	0,88	0,81	1,16	1,15	1,00	1,53	1,49	0,60	1,00	1,00	1,00
								Y-	A1/24	1,00	0,87	0,88	0,81	1,16	1,15	1,00	1,53	1,49	0,60	1,00	1,00	1,00
69	22,25	11,85	12,54	1,00	1,00	1,00	1,00		A1/1	1,00	1,00	1,00	1,00	1,29	1,27	1,00	1,53	1,49	0,60	1,00	1,00	1,00
									A1/2	1,00	1,00	1,00	1,00	1,29	1,27	1,00	1,53	1,49	0,60	1,00	1,00	1,00
								X+	A1/8	1,00	0,87	0,88	0,80	1,29	1,27	1,00	1,53	1,49	0,60	1,00	1,00	1,00
								X-	A1/15	1,00	0,89	0,90	0,84	1,29	1,27	1,00	1,53	1,49	0,60	1,00	1,00	1,00
								Y+	A1/22	1,00	0,87	0,88	0,81	1,29	1,27	1,00	1,53	1,49	0,60	1,00	1,00	1,00
								Y-	A1/24	1,00	0,87	0,88	0,81	1,29	1,27	1,00	1,53	1,49	0,60	1,00	1,00	1,00
70	22,25	11,85	12,54	1,00	1,00	1,00	1,00		A1/1	1,00	1,00	1,00	1,00	1,27	1,25	1,00	1,53	1,49	0,60	1,00	1,00	1,00
									A1/2	1,00	1,00	1,00	1,00	1,27	1,25	1,00	1,53	1,49	0,60	1,00	1,00	1,00
								X+	A1/8	1,00	0,87	0,88	0,80	1,27	1,25	1,00	1,53	1,49	0,60	1,00	1,00	1,00
								X-	A1/15	1,00	0,89	0,90	0,84	1,27	1,25	1,00	1,53	1,49	0,60	1,00	1,00	1,00
								Y+	A1/22	1,00	0,87	0,88	0,81	1,27	1,25	1,00	1,53	1,49	0,60	1,00	1,00	1,00
								Y-	A1/24	1,00	0,87	0,88	0,81	1,27	1,25	1,00	1,53	1,49	0,60	1,00	1,00	1,00
71	22,25	11,85	12,54	1,00	1,00	1,00	1,00		A1/1	1,00	1,00	1,00	1,00	1,16	1,14	1,00	1,53	1,49	0,60	1,00	1,00	1,00
									A1/2	1,00	1,00	1,00	1,00	1,16	1,14	1,00	1,53	1,49	0,60	1,00	1,00	1,00
								X+	A1/8	1,00	0,86	0,87	0,80	1,16	1,14	1,00	1,53	1,49	0,60	1,00	1,00	1,00
								X-	A1/15	1,00	0,88	0,89	0,83	1,16	1,14	1,00	1,53	1,49	0,60	1,00	1,00	1,00
								Y+	A1/22	1,00	0,87	0,88	0,81	1,16	1,14	1,00	1,53	1,49	0,60	1,00	1,00	1,00
								Y-	A1/24	1,00	0,87	0,88	0,81	1,16	1,14	1,00	1,53	1,49	0,60	1,00	1,00	1,00
72	22,25	11,85	12,54	1,00	1,00	1,00	1,00		A1/1	1,00	1,00	1,00	1,00	1,27	1,25	1,00	1,53	1,49	0,60	1,00	1,00	1,00
									A1/2	1,00	1,00	1,00	1,00	1,27	1,25	1,00	1,53	1,49	0,60	1,00	1,00	1,00
								X+	A1/3	1,00	0,87	0,88	0,80	1,27	1,25	1,00	1,53	1,49	0,60	1,00	1,00	1,00
								X-	A1/12	1,00	0,89	0,90	0,84	1,27	1,25	1,00	1,53	1,49	0,60	1,00	1,00	1,00
								Y+	A1/19	1,00	0,87	0,88	0,81	1,27	1,25	1,00	1,53	1,49	0,60	1,00	1,00	1,00
								Y-	A1/25	1,00	0,87	0,88	0,81	1,27	1,25	1,00	1,53	1,49	0,60	1,00	1,00	1,00
73	22,25	11,85	12,54	1,00	1,00	1,00	1,00		A1/1	1,00	1,00	1,00	1,00	1,16	1,14	1,00	1,53	1,49	0,60	1,00	1,00	1,00
									A1/2	1,00	1,00	1,00	1,00	1,16	1,14	1,00	1,53	1,49	0,60	1,00	1,00	1,00
								X+	A1/3	1,00	0,86	0,87	0,80	1,16	1,14	1,00	1,53	1,49	0,60	1,00	1,00	1,00
								X-	A1/12	1,00	0,88	0,89	0,83	1,16	1,14	1,00	1,53	1,49	0,60	1,00	1,00	1,00
								Y+	A1/19	1,00	0,87	0,88	0,81	1,16	1,14	1,00	1,53	1,49	0,60	1,00	1,00	1,00
								Y-	A1/25	1,00	0,87	0,88	0,81	1,16	1,14	1,00	1,53	1,49	0,60	1,00	1,00	1,00
74	22,25	11,85	12,54	1,00	1,00	1,00	1,00		A1/1	1,00	1,00	1,00	1,00	1,16	1,14	1,00	1,53	1,49	0,60	1,00	1,00	1,00
									A1/2	1,00	1,00	1,00	1,00	1,16	1,14	1,00	1,53	1,49	0,60	1,00	1,00	1,00
								X+	A1/8	1,00	0,86	0,87	0,79	1,16	1,14	1,00	1,53	1,49	0,60	1,00	1,00	1,00
								X-	A1/15	1,00	0,88	0,89	0,82	1,16	1,14	1,00	1,53	1,49	0,60	1,00	1,00	1,00
								Y+	A1/22	1,00	0,86	0,87	0,80	1,16	1,14	1,00	1,53	1,49	0,60	1,00	1,00	1,00
								Y-	A1/24	1,00	0,86	0,87	0,80	1,16	1,14	1,00	1,53	1,49	0,60	1,00	1,00	1,00
75	22,25	11,85	12,54	1,00	1,00	1,00	1,00		A1/1	1,00	1,00	1,00	1,00	1,15	1,14	1,00	1,53	1,49	0,60	1,00	1,00	1,00
									A1/2	1,00	1,00	1,00	1,00	1,15	1,14	1,00	1,53	1,49	0,60	1,00	1,00	1,00
								X+	A1/8	1,00	0,86	0,87	0,79	1,15	1,14	1,00	1,53	1,49	0,60	1,00	1,00	1,00

COEFFICIENTI DI PORTANZA PIASTRE WINKLER - CONDIZIONI DRENATE - S.L.U.

Piast	Brinch Hansen			IclTe	Incl.PianoPosa			Comb		Igk	CoeffIncl.Car.			Affondamento			Forma			Punzonamento		
Nro	Nc	Nq	Ng	Gc=Gq	Bc	Bq	Bg		N.ro	Sism	IcV	IqV	IgV	Dc	Dq	Dg	Sc	Sq	Sg	Psic	Psiq	Psig
								X-	A1/15	1,00	0,88	0,89	0,82	1,15	1,14	1,00	1,53	1,49	0,60	1,00	1,00	1,00
								Y+	A1/22	1,00	0,86	0,87	0,80	1,15	1,14	1,00	1,53	1,49	0,60	1,00	1,00	1,00
								Y-	A1/24	1,00	0,86	0,87	0,80	1,15	1,14	1,00	1,53	1,49	0,60	1,00	1,00	1,00
76	22,25	11,85	12,54	1,00	1,00	1,00	1,00		A1/1	1,00	1,00	1,00	1,00	1,16	1,14	1,00	1,53	1,49	0,60	1,00	1,00	1,00
									A1/2	1,00	1,00	1,00	1,00	1,16	1,14	1,00	1,53	1,49	0,60	1,00	1,00	1,00
								X+	A1/3	1,00	0,86	0,87	0,79	1,16	1,14	1,00	1,53	1,49	0,60	1,00	1,00	1,00
								X-	A1/12	1,00	0,88	0,89	0,82	1,16	1,14	1,00	1,53	1,49	0,60	1,00	1,00	1,00
								Y+	A1/19	1,00	0,86	0,87	0,80	1,16	1,14	1,00	1,53	1,49	0,60	1,00	1,00	1,00
								Y-	A1/25	1,00	0,86	0,87	0,80	1,16	1,14	1,00	1,53	1,49	0,60	1,00	1,00	1,00
77	22,25	11,85	12,54	1,00	1,00	1,00	1,00		A1/1	1,00	1,00	1,00	1,00	1,16	1,15	1,00	1,53	1,49	0,60	1,00	1,00	1,00
									A1/2	1,00	1,00	1,00	1,00	1,16	1,15	1,00	1,53	1,49	0,60	1,00	1,00	1,00
								X+	A1/3	1,00	0,85	0,87	0,79	1,16	1,15	1,00	1,53	1,49	0,60	1,00	1,00	1,00
								X-	A1/12	1,00	0,87	0,88	0,81	1,16	1,15	1,00	1,53	1,49	0,60	1,00	1,00	1,00
								Y+	A1/19	1,00	0,86	0,87	0,79	1,16	1,15	1,00	1,53	1,49	0,60	1,00	1,00	1,00
								Y-	A1/25	1,00	0,86	0,87	0,79	1,16	1,15	1,00	1,53	1,49	0,60	1,00	1,00	1,00
78	22,25	11,85	12,54	1,00	1,00	1,00	1,00		A1/1	1,00	1,00	1,00	1,00	1,15	1,14	1,00	1,53	1,49	0,60	1,00	1,00	1,00
									A1/2	1,00	1,00	1,00	1,00	1,15	1,14	1,00	1,53	1,49	0,60	1,00	1,00	1,00
								X+	A1/3	1,00	0,85	0,86	0,78	1,15	1,14	1,00	1,53	1,49	0,60	1,00	1,00	1,00
								X-	A1/12	1,00	0,86	0,87	0,79	1,15	1,14	1,00	1,53	1,49	0,60	1,00	1,00	1,00
								Y+	A1/19	1,00	0,85	0,86	0,78	1,15	1,14	1,00	1,53	1,49	0,60	1,00	1,00	1,00
								Y-	A1/25	1,00	0,85	0,86	0,79	1,15	1,14	1,00	1,53	1,49	0,60	1,00	1,00	1,00
79	22,25	11,85	12,54	1,00	1,00	1,00	1,00		A1/1	1,00	1,00	1,00	1,00	1,15	1,14	1,00	1,53	1,49	0,60	1,00	1,00	1,00
									A1/2	1,00	1,00	1,00	1,00	1,15	1,14	1,00	1,53	1,49	0,60	1,00	1,00	1,00
								X+	A1/3	1,00	0,85	0,87	0,79	1,15	1,14	1,00	1,53	1,49	0,60	1,00	1,00	1,00
								X-	A1/12	1,00	0,86	0,87	0,80	1,15	1,14	1,00	1,53	1,49	0,60	1,00	1,00	1,00
								Y+	A1/19	1,00	0,85	0,87	0,79	1,15	1,14	1,00	1,53	1,49	0,60	1,00	1,00	1,00
								Y-	A1/25	1,00	0,85	0,87	0,79	1,15	1,14	1,00	1,53	1,49	0,60	1,00	1,00	1,00
80	22,25	11,85	12,54	1,00	1,00	1,00	1,00		A1/1	1,00	1,00	1,00	1,00	1,15	1,14	1,00	1,53	1,49	0,60	1,00	1,00	1,00
									A1/2	1,00	1,00	1,00	1,00	1,15	1,14	1,00	1,53	1,49	0,60	1,00	1,00	1,00
								X+	A1/3	1,00	0,85	0,87	0,79	1,15	1,14	1,00	1,53	1,49	0,60	1,00	1,00	1,00
								X-	A1/12	1,00	0,86	0,88	0,80	1,15	1,14	1,00	1,53	1,49	0,60	1,00	1,00	1,00
								Y+	A1/19	1,00	0,86	0,87	0,79	1,15	1,14	1,00	1,53	1,49	0,60	1,00	1,00	1,00
								Y-	A1/25	1,00	0,86	0,87	0,79	1,15	1,14	1,00	1,53	1,49	0,60	1,00	1,00	1,00
81	22,25	11,85	12,54	1,00	1,00	1,00	1,00		A1/1	1,00	1,00	1,00	1,00	1,17	1,15	1,00	1,53	1,49	0,60	1,00	1,00	1,00
									A1/2	1,00	1,00	1,00	1,00	1,17	1,15	1,00	1,53	1,49	0,60	1,00	1,00	1,00
								X+	A1/3	1,00	0,85	0,87	0,79	1,17	1,15	1,00	1,53	1,49	0,60	1,00	1,00	1,00
								X-	A1/12	1,00	0,87	0,88	0,81	1,17	1,15	1,00	1,53	1,49	0,60	1,00	1,00	1,00
								Y+	A1/19	1,00	0,86	0,87	0,79	1,17	1,15	1,00	1,53	1,49	0,60	1,00	1,00	1,00
								Y-	A1/25	1,00	0,86	0,87	0,79	1,17	1,15	1,00	1,53	1,49	0,60	1,00	1,00	1,00
82	22,25	11,85	12,54	1,00	1,00	1,00	1,00		A1/1	1,00	1,00	1,00	1,00	1,16	1,14	1,00	1,53	1,49	0,60	1,00	1,00	1,00
									A1/2	1,00	1,00	1,00	1,00	1,16	1,14	1,00	1,53	1,49	0,60	1,00	1,00	1,00
								X+	A1/3	1,00	0,86	0,87	0,80	1,16	1,14	1,00	1,53	1,49	0,60	1,00	1,00	1,00
								X-	A1/12	1,00	0,88	0,89	0,83	1,16	1,14	1,00	1,53	1,49	0,60	1,00	1,00	1,00
								Y+	A1/19	1,00	0,87	0,88	0,81	1,16	1,14	1,00	1,53	1,49	0,60	1,00	1,00	1,00
								Y-	A1/25	1,00	0,87	0,88	0,81	1,16	1,14	1,00	1,53	1,49	0,60	1,00	1,00	1,00
83	22,25	11,85	12,54	1,00	1,00	1,00	1,00		A1/1	1,00	1,00	1,00	1,00	1,15	1,14	1,00	1,53	1,49	0,60	1,00	1,00	1,00
									A1/2	1,00	1,00	1,00	1,00	1,15	1,14	1,00	1,53	1,49	0,60	1,00	1,00	1,00
								X+	A1/3	1,00	0,86	0,87	0,79	1,15	1,14	1,00	1,53	1,49	0,60	1,00	1,00	1,00
								X-	A1/12	1,00	0,88	0,89	0,82	1,15	1,14	1,00	1,53	1,49	0,60	1,00	1,00	1,00
								Y+	A1/19	1,00	0,86	0,87	0,80	1,15	1,14	1,00	1,53	1,49	0,60	1,00	1,00	1,00
								Y-	A1/25	1,00	0,86	0,87	0,80	1,15	1,14	1,00	1,53	1,49	0,60	1,00	1,00	1,00
84	22,25	11,85	12,54	1,00	1,00	1,00	1,00		A1/1	1,00	1,00	1,00	1,00	1,24	1,22	1,00	1,53	1,49	0,60	1,00	1,00	1,00
									A1/2	1,00	1,00	1,00	1,00	1,24	1,22	1,00	1,53	1,49	0,60	1,00	1,00	1,00
								X+	A1/3	1,00	0,87	0,88	0,80	1,24	1,22	1,00	1,53	1,49	0,60	1,00	1,00	1,00
								X-	A1/12	1,00	0,89	0,90	0,84	1,24	1,22	1,00	1,53	1,49	0,60	1,00	1,00	1,00
								Y+	A1/19	1,00	0,87	0,88	0,81	1,24	1,22	1,00	1,53	1,49	0,60	1,00	1,00	1,00
								Y-	A1/25	1,00	0,87	0,88	0,81	1,24	1,22	1,00	1,53	1,49	0,60	1,00	1,00	1,00
85	22,25	11,85	12,54	1,00	1,00	1,00	1,00		A1/1	1,00	1,00	1,00	1,00	1,26	1,23	1,00	1,53	1,49	0,60	1,00	1,00	1,00
									A1/2	1,00	1,00	1,00	1,00	1,26	1,23	1,00	1,53	1,49	0,60	1,00	1,00	1,00
								X+	A1/9	1,00	0,85	0,86	0,78	1,26	1,23	1,00	1,53	1,49	0,60	1,00	1,00	1,00
								X-	A1/18	1,00	0,84	0,85	0,77	1,26	1,23	1,00	1,53	1,49	0,60	1,00	1,00	1,00
								Y+	A1/28	1,00	0,84	0,85	0,77	1,26	1,23	1,00	1,53	1,49	0,60	1,00	1,00	1,00
								Y-	A1/34	1,00	0,84	0,85	0,77	1,26	1,23	1,00	1,53	1,49	0,60	1,00	1,00	1,00
86	22,25	11,85	12,54	1,00	1,00	1,00	1,00		A1/1	1,00	1,00	1,00	1,00	1,26	1,23	1,00	1,53	1,49	0,60	1,00	1,00	1,00
									A1/2	1,00	1,00	1,00	1,00	1,26	1,23	1,00	1,53	1,49	0,60	1,00	1,00	1,00
								X+	A1/9	1,00	0,85	0,86	0,78	1,26	1,23	1,00	1,53	1,49	0,60	1,00	1,00	1,00
								X-	A1/18	1,00	0,84	0,85	0,76	1,26	1,23	1,00	1,53	1,49	0,60	1,00	1,00	1,00
								Y+	A1/28	1,00	0,84	0,85	0,77	1,26	1,23	1,00	1,53	1,49	0,60	1,00	1,00	1,00
								Y-	A1/34	1,00	0,84	0,85	0,77	1,26	1,23	1,00	1,53	1,49	0,60	1,00	1,00	1,00
87	22,25	11,85	12,54	1,00	1,00	1,00	1,00		A1/1	1,00	1,00	1,00	1,00	1,26	1,23	1,00	1,53	1,49	0,60	1,00	1,00	1,00
									A1/2	1,00	1,00	1,00	1,00	1,26	1,23	1,00	1,53	1,49	0,60	1,00	1,00	1,00
								X+	A1/9	1,00	0,85	0,86	0,78	1,26	1,23	1,00	1,53	1,49	0,60	1,00	1,00	1,00
								X-	A1/18	1,00	0,83	0,85	0,76	1,26	1,23	1,00	1,53	1,49	0,60	1,00	1,00	1,00
								Y+	A1/28	1,00	0,84	0,85	0,76	1,26	1,23	1,00	1,53	1,49	0,60	1,00	1,00	1,00
								Y-	A1/34	1,00	0,84	0,85	0,76	1,26	1,23	1,00	1,53	1,49	0,60	1,00	1,00	1,00
88	22,25	11,85	12,54	1,00	1,00	1,00	1,00		A1/1	1,00	1,00	1,00	1,00	1,26	1,23	1,00	1,53	1,49	0,60	1,00	1,00	1,00
									A1/2	1,00	1,00	1,00	1,00	1,26	1,23	1,00	1,53	1,49	0,60	1,00	1,00	1,00
								X+	A1/9	1,00	0,85	0,86	0,78	1,26	1,23	1,00	1,53	1,49	0,60	1,00	1,00	1,00
								X-	A1/18	1,00	0,84	0,85	0,76	1,26	1,23	1,00	1,53	1,49	0,60	1,00	1,00	1,00
								Y+	A1/28	1,00	0,84	0,85	0,76	1,26	1,23	1,00	1,53	1,49	0,60	1,00	1,00	1,00
								Y-	A1/34	1,00	0,84	0,85	0,76	1,26	1,23	1,00	1,53	1,49	0,60	1,00	1,00	1,00
89	22,25	11,85	12,54	1,00	1,00	1,00	1,00		A1/1	1,00	1,00	1,00	1,00	1,26	1,23	1,00	1,53	1,49	0,60	1,00	1,00	1,00
									A1/2	1,00	1,00	1,00	1,00	1,26	1,23	1,00	1,53	1,49	0,60	1,00	1,00	1,00
								X+	A1/9	1,00	0,85	0,86	0,78	1,26	1,23	1,00	1,53	1,49	0,60	1,00	1,00	1,00

COEFFICIENTI DI PORTANZA PIASTRE WINKLER - CONDIZIONI DRENATE - S.L.U.

Piast	Brinch Hansen			IclTe	Incl.PianoPosa			Comb		Igk	CoeffIncl.Car.			Affondamento			Forma			Punzonamento		
Nro	Nc	Nq	Ng	Gc=Gq	Bc	Bq	Bg		N.ro	Sism	IcV	IqV	IgV	Dc	Dq	Dg	Sc	Sq	Sg	Psic	Psiq	Psig
								X-	A1/18	1,00	0,84	0,86	0,77	1,26	1,23	1,00	1,53	1,49	0,60	1,00	1,00	1,00
								Y+	A1/28	1,00	0,84	0,86	0,77	1,26	1,23	1,00	1,53	1,49	0,60	1,00	1,00	1,00
								Y-	A1/34	1,00	0,84	0,86	0,77	1,26	1,23	1,00	1,53	1,49	0,60	1,00	1,00	1,00
90	22,25	11,85	12,54	1,00	1,00	1,00	1,00		A1/1	1,00	1,00	1,00	1,00	1,26	1,23	1,00	1,53	1,49	0,60	1,00	1,00	1,00
									A1/2	1,00	1,00	1,00	1,00	1,26	1,23	1,00	1,53	1,49	0,60	1,00	1,00	1,00
								X+	A1/8	1,00	0,85	0,86	0,78	1,26	1,23	1,00	1,53	1,49	0,60	1,00	1,00	1,00
								X-	A1/15	1,00	0,85	0,86	0,78	1,26	1,23	1,00	1,53	1,49	0,60	1,00	1,00	1,00
								Y+	A1/29	1,00	0,84	0,86	0,77	1,26	1,23	1,00	1,53	1,49	0,60	1,00	1,00	1,00
								Y-	A1/31	1,00	0,84	0,86	0,77	1,26	1,23	1,00	1,53	1,49	0,60	1,00	1,00	1,00
91	22,25	11,85	12,54	1,00	1,00	1,00	1,00		A1/1	1,00	1,00	1,00	1,00	1,26	1,23	1,00	1,53	1,49	0,60	1,00	1,00	1,00
									A1/2	1,00	1,00	1,00	1,00	1,26	1,23	1,00	1,53	1,49	0,60	1,00	1,00	1,00
								X+	A1/8	1,00	0,85	0,86	0,78	1,26	1,23	1,00	1,53	1,49	0,60	1,00	1,00	1,00
								X-	A1/15	1,00	0,85	0,86	0,78	1,26	1,23	1,00	1,53	1,49	0,60	1,00	1,00	1,00
								Y+	A1/22	1,00	0,85	0,86	0,78	1,26	1,23	1,00	1,53	1,49	0,60	1,00	1,00	1,00
								Y-	A1/24	1,00	0,85	0,86	0,78	1,26	1,23	1,00	1,53	1,49	0,60	1,00	1,00	1,00
92	22,25	11,85	12,54	1,00	1,00	1,00	1,00		A1/1	1,00	1,00	1,00	1,00	1,26	1,23	1,00	1,53	1,49	0,60	1,00	1,00	1,00
									A1/2	1,00	1,00	1,00	1,00	1,26	1,23	1,00	1,53	1,49	0,60	1,00	1,00	1,00
								X+	A1/8	1,00	0,85	0,86	0,78	1,26	1,23	1,00	1,53	1,49	0,60	1,00	1,00	1,00
								X-	A1/15	1,00	0,85	0,86	0,78	1,26	1,23	1,00	1,53	1,49	0,60	1,00	1,00	1,00
								Y+	A1/22	1,00	0,85	0,86	0,78	1,26	1,23	1,00	1,53	1,49	0,60	1,00	1,00	1,00
								Y-	A1/24	1,00	0,85	0,86	0,78	1,26	1,23	1,00	1,53	1,49	0,60	1,00	1,00	1,00
93	22,25	11,85	12,54	1,00	1,00	1,00	1,00		A1/1	1,00	1,00	1,00	1,00	1,26	1,23	1,00	1,53	1,49	0,60	1,00	1,00	1,00
									A1/2	1,00	1,00	1,00	1,00	1,26	1,23	1,00	1,53	1,49	0,60	1,00	1,00	1,00
								X+	A1/6	1,00	0,85	0,86	0,78	1,26	1,23	1,00	1,53	1,49	0,60	1,00	1,00	1,00
								X-	A1/13	1,00	0,84	0,85	0,76	1,26	1,23	1,00	1,53	1,49	0,60	1,00	1,00	1,00
								Y+	A1/29	1,00	0,84	0,85	0,76	1,26	1,23	1,00	1,53	1,49	0,60	1,00	1,00	1,00
								Y-	A1/31	1,00	0,84	0,85	0,76	1,26	1,23	1,00	1,53	1,49	0,60	1,00	1,00	1,00
94	22,25	11,85	12,54	1,00	1,00	1,00	1,00		A1/1	1,00	1,00	1,00	1,00	1,26	1,23	1,00	1,53	1,49	0,60	1,00	1,00	1,00
									A1/2	1,00	1,00	1,00	1,00	1,26	1,23	1,00	1,53	1,49	0,60	1,00	1,00	1,00
								X+	A1/6	1,00	0,85	0,86	0,78	1,26	1,23	1,00	1,53	1,49	0,60	1,00	1,00	1,00
								X-	A1/13	1,00	0,83	0,85	0,76	1,26	1,23	1,00	1,53	1,49	0,60	1,00	1,00	1,00
								Y+	A1/29	1,00	0,84	0,85	0,76	1,26	1,23	1,00	1,53	1,49	0,60	1,00	1,00	1,00
								Y-	A1/31	1,00	0,84	0,85	0,76	1,26	1,23	1,00	1,53	1,49	0,60	1,00	1,00	1,00
95	22,25	11,85	12,54	1,00	1,00	1,00	1,00		A1/1	1,00	1,00	1,00	1,00	1,26	1,23	1,00	1,53	1,49	0,60	1,00	1,00	1,00
									A1/2	1,00	1,00	1,00	1,00	1,26	1,23	1,00	1,53	1,49	0,60	1,00	1,00	1,00
								X+	A1/6	1,00	0,85	0,86	0,78	1,26	1,23	1,00	1,53	1,49	0,60	1,00	1,00	1,00
								X-	A1/13	1,00	0,84	0,85	0,76	1,26	1,23	1,00	1,53	1,49	0,60	1,00	1,00	1,00
								Y+	A1/29	1,00	0,84	0,85	0,77	1,26	1,23	1,00	1,53	1,49	0,60	1,00	1,00	1,00
								Y-	A1/31	1,00	0,84	0,85	0,77	1,26	1,23	1,00	1,53	1,49	0,60	1,00	1,00	1,00
96	22,25	11,85	12,54	1,00	1,00	1,00	1,00		A1/1	1,00	1,00	1,00	1,00	1,26	1,23	1,00	1,53	1,49	0,60	1,00	1,00	1,00
									A1/2	1,00	1,00	1,00	1,00	1,26	1,23	1,00	1,53	1,49	0,60	1,00	1,00	1,00
								X+	A1/6	1,00	0,85	0,86	0,78	1,26	1,23	1,00	1,53	1,49	0,60	1,00	1,00	1,00
								X-	A1/13	1,00	0,84	0,85	0,77	1,26	1,23	1,00	1,53	1,49	0,60	1,00	1,00	1,00
								Y+	A1/29	1,00	0,84	0,85	0,77	1,26	1,23	1,00	1,53	1,49	0,60	1,00	1,00	1,00
								Y-	A1/31	1,00	0,84	0,85	0,77	1,26	1,23	1,00	1,53	1,49	0,60	1,00	1,00	1,00
97	22,25	11,85	12,54	1,00	1,00	1,00	1,00		A1/1	1,00	1,00	1,00	1,00	1,26	1,23	1,00	1,53	1,49	0,60	1,00	1,00	1,00
									A1/2	1,00	1,00	1,00	1,00	1,26	1,23	1,00	1,53	1,49	0,60	1,00	1,00	1,00
								X+	A1/6	1,00	0,85	0,86	0,78	1,26	1,23	1,00	1,53	1,49	0,60	1,00	1,00	1,00
								X-	A1/13	1,00	0,84	0,86	0,77	1,26	1,23	1,00	1,53	1,49	0,60	1,00	1,00	1,00
								Y+	A1/29	1,00	0,84	0,86	0,77	1,26	1,23	1,00	1,53	1,49	0,60	1,00	1,00	1,00
								Y-	A1/31	1,00	0,84	0,86	0,77	1,26	1,23	1,00	1,53	1,49	0,60	1,00	1,00	1,00
98	22,25	11,85	12,54	1,00	1,00	1,00	1,00		A1/1	1,00	1,00	1,00	1,00	1,26	1,23	1,00	1,53	1,49	0,60	1,00	1,00	1,00
									A1/2	1,00	1,00	1,00	1,00	1,26	1,23	1,00	1,53	1,49	0,60	1,00	1,00	1,00
								X+	A1/3	1,00	0,85	0,86	0,78	1,26	1,23	1,00	1,53	1,49	0,60	1,00	1,00	1,00
								X-	A1/12	1,00	0,85	0,86	0,78	1,26	1,23	1,00	1,53	1,49	0,60	1,00	1,00	1,00
								Y+	A1/28	1,00	0,84	0,86	0,77	1,26	1,23	1,00	1,53	1,49	0,60	1,00	1,00	1,00
								Y-	A1/34	1,00	0,84	0,86	0,77	1,26	1,23	1,00	1,53	1,49	0,60	1,00	1,00	1,00
99	22,25	11,85	12,54	1,00	1,00	1,00	1,00		A1/1	1,00	1,00	1,00	1,00	1,26	1,23	1,00	1,53	1,49	0,60	1,00	1,00	1,00
									A1/2	1,00	1,00	1,00	1,00	1,26	1,23	1,00	1,53	1,49	0,60	1,00	1,00	1,00
								X+	A1/8	1,00	0,85	0,86	0,78	1,26	1,23	1,00	1,53	1,49	0,60	1,00	1,00	1,00
								X-	A1/15	1,00	0,86	0,87	0,79	1,26	1,23	1,00	1,53	1,49	0,60	1,00	1,00	1,00
								Y+	A1/22	1,00	0,85	0,86	0,78	1,26	1,23	1,00	1,53	1,49	0,60	1,00	1,00	1,00
								Y-	A1/24	1,00	0,85	0,86	0,78	1,26	1,23	1,00	1,53	1,49	0,60	1,00	1,00	1,00
100	22,25	11,85	12,54	1,00	1,00	1,00	1,00		A1/1	1,00	1,00	1,00	1,00	1,26	1,23	1,00	1,53	1,49	0,60	1,00	1,00	1,00
									A1/2	1,00	1,00	1,00	1,00	1,26	1,23	1,00	1,53	1,49	0,60	1,00	1,00	1,00
								X+	A1/8	1,00	0,85	0,86	0,78	1,26	1,23	1,00	1,53	1,49	0,60	1,00	1,00	1,00
								X-	A1/15	1,00	0,86	0,87	0,80	1,26	1,23	1,00	1,53	1,49	0,60	1,00	1,00	1,00
								Y+	A1/22	1,00	0,85	0,87	0,79	1,26	1,23	1,00	1,53	1,49	0,60	1,00	1,00	1,00
								Y-	A1/24	1,00	0,85	0,86	0,78	1,26	1,23	1,00	1,53	1,49	0,60	1,00	1,00	1,00
101	22,25	11,85	12,54	1,00	1,00	1,00	1,00		A1/1	1,00	1,00	1,00	1,00	1,23	1,21	1,00	1,53	1,49	0,60	1,00	1,00	1,00
									A1/2	1,00	1,00	1,00	1,00	1,23	1,21	1,00	1,53	1,49	0,60	1,00	1,00	1,00
								X+	A1/8	1,00	0,85	0,87	0,79	1,23	1,21	1,00	1,53	1,49	0,60	1,00	1,00	1,00
								X-	A1/15	1,00	0,87	0,88	0,81	1,23	1,21	1,00	1,53	1,49	0,60	1,00	1,00	1,00
								Y+	A1/22	1,00	0,86	0,87	0,79	1,23	1,21	1,00	1,53	1,49	0,60	1,00	1,00	1,00
								Y-	A1/24	1,00	0,86	0,87	0,79	1,23	1,21	1,00	1,53	1,49	0,60	1,00	1,00	1,00
102	22,25	11,85	12,54	1,00	1,00	1,00	1,00		A1/1	1,00	1,00	1,00	1,00	1,26	1,23	1,00	1,53	1,49	0,60	1,00	1,00	1,00
									A1/2	1,00	1,00	1,00	1,00	1,26	1,23	1,00	1,53	1,49	0,60	1,00	1,00	1,00
								X+	A1/8	1,00	0,85	0,86	0,78	1,26	1,23	1,00	1,53	1,49	0,60	1,00	1,00	1,00
								X-	A1/15	1,00	0,87	0,88	0,80	1,26	1,23	1,00	1,53	1,49	0,60	1,00	1,00	1,00
								Y+	A1/22	1,00	0,86	0,87	0,79	1,26	1,23	1,00	1,53	1,49	0,60	1,00	1,00	1,00
								Y-	A1/24	1,00	0,85	0,87	0,79	1,26	1,23	1,00	1,53	1,49	0,60	1,00	1,00	1,00
103	22,25	11,85	12,54	1,00	1,00	1,00	1,00		A1/1	1,00	1,00	1,00	1,00	1,21	1,19	1,00	1,53	1,49	0,60	1,00	1,00	1,00
									A1/2	1,00	1,00	1,00	1,00	1,21	1,19	1,00	1,53	1,49	0,60	1,00	1,00	1,00
								X+	A1/8	1,00	0,86	0,87	0,79	1,21	1,19	1,00	1,53	1,49	0,60	1,00	1,00	1,00

COEFFICIENTI DI PORTANZA PIASTRE WINKLER - CONDIZIONI DRENATE - S.L.U.

Piast	Brinch Hansen			IclTe	Incl.PianoPosa			Comb		Igk	CoeffIncl.Car.			Affondamento			Forma			Punzonamento		
Nro	Nc	Nq	Ng	Gc=Gq	Bc	Bq	Bg		N.ro	Sism	IcV	IqV	IgV	Dc	Dq	Dg	Sc	Sq	Sg	Psic	Psiq	Psig
								X-	A1/15	1,00	0,88	0,89	0,82	1,21	1,19	1,00	1,53	1,49	0,60	1,00	1,00	1,00
								Y+	A1/22	1,00	0,86	0,88	0,80	1,21	1,19	1,00	1,53	1,49	0,60	1,00	1,00	1,00
								Y-	A1/24	1,00	0,86	0,87	0,80	1,21	1,19	1,00	1,53	1,49	0,60	1,00	1,00	1,00
104	22,25	11,85	12,54	1,00	1,00	1,00	1,00		A1/1	1,00	1,00	1,00	1,00	1,26	1,23	1,00	1,53	1,49	0,60	1,00	1,00	1,00
									A1/2	1,00	1,00	1,00	1,00	1,26	1,23	1,00	1,53	1,49	0,60	1,00	1,00	1,00
								X+	A1/3	1,00	0,85	0,86	0,78	1,26	1,23	1,00	1,53	1,49	0,60	1,00	1,00	1,00
								X-	A1/12	1,00	0,85	0,86	0,78	1,26	1,23	1,00	1,53	1,49	0,60	1,00	1,00	1,00
								Y+	A1/19	1,00	0,85	0,86	0,78	1,26	1,23	1,00	1,53	1,49	0,60	1,00	1,00	1,00
								Y-	A1/25	1,00	0,85	0,86	0,78	1,26	1,23	1,00	1,53	1,49	0,60	1,00	1,00	1,00
105	22,25	11,85	12,54	1,00	1,00	1,00	1,00		A1/1	1,00	1,00	1,00	1,00	1,26	1,23	1,00	1,53	1,49	0,60	1,00	1,00	1,00
									A1/2	1,00	1,00	1,00	1,00	1,26	1,23	1,00	1,53	1,49	0,60	1,00	1,00	1,00
								X+	A1/3	1,00	0,85	0,86	0,78	1,26	1,23	1,00	1,53	1,49	0,60	1,00	1,00	1,00
								X-	A1/12	1,00	0,85	0,86	0,78	1,26	1,23	1,00	1,53	1,49	0,60	1,00	1,00	1,00
								Y+	A1/19	1,00	0,85	0,86	0,78	1,26	1,23	1,00	1,53	1,49	0,60	1,00	1,00	1,00
								Y-	A1/25	1,00	0,85	0,86	0,78	1,26	1,23	1,00	1,53	1,49	0,60	1,00	1,00	1,00
106	22,25	11,85	12,54	1,00	1,00	1,00	1,00		A1/1	1,00	1,00	1,00	1,00	1,26	1,23	1,00	1,53	1,49	0,60	1,00	1,00	1,00
									A1/2	1,00	1,00	1,00	1,00	1,26	1,23	1,00	1,53	1,49	0,60	1,00	1,00	1,00
								X+	A1/3	1,00	0,85	0,86	0,78	1,26	1,23	1,00	1,53	1,49	0,60	1,00	1,00	1,00
								X-	A1/12	1,00	0,86	0,87	0,79	1,26	1,23	1,00	1,53	1,49	0,60	1,00	1,00	1,00
								Y+	A1/19	1,00	0,85	0,86	0,78	1,26	1,23	1,00	1,53	1,49	0,60	1,00	1,00	1,00
								Y-	A1/25	1,00	0,85	0,86	0,78	1,26	1,23	1,00	1,53	1,49	0,60	1,00	1,00	1,00
107	22,25	11,85	12,54	1,00	1,00	1,00	1,00		A1/1	1,00	1,00	1,00	1,00	1,26	1,23	1,00	1,53	1,49	0,60	1,00	1,00	1,00
									A1/2	1,00	1,00	1,00	1,00	1,26	1,23	1,00	1,53	1,49	0,60	1,00	1,00	1,00
								X+	A1/3	1,00	0,85	0,86	0,78	1,26	1,23	1,00	1,53	1,49	0,60	1,00	1,00	1,00
								X-	A1/12	1,00	0,86	0,87	0,80	1,26	1,23	1,00	1,53	1,49	0,60	1,00	1,00	1,00
								Y+	A1/19	1,00	0,85	0,86	0,78	1,26	1,23	1,00	1,53	1,49	0,60	1,00	1,00	1,00
								Y-	A1/25	1,00	0,85	0,87	0,79	1,26	1,23	1,00	1,53	1,49	0,60	1,00	1,00	1,00
108	22,25	11,85	12,54	1,00	1,00	1,00	1,00		A1/1	1,00	1,00	1,00	1,00	1,26	1,23	1,00	1,53	1,49	0,60	1,00	1,00	1,00
									A1/2	1,00	1,00	1,00	1,00	1,26	1,23	1,00	1,53	1,49	0,60	1,00	1,00	1,00
								X+	A1/3	1,00	0,85	0,86	0,78	1,26	1,23	1,00	1,53	1,49	0,60	1,00	1,00	1,00
								X-	A1/12	1,00	0,87	0,88	0,80	1,26	1,23	1,00	1,53	1,49	0,60	1,00	1,00	1,00
								Y+	A1/19	1,00	0,85	0,87	0,79	1,26	1,23	1,00	1,53	1,49	0,60	1,00	1,00	1,00
								Y-	A1/25	1,00	0,86	0,87	0,79	1,26	1,23	1,00	1,53	1,49	0,60	1,00	1,00	1,00
109	22,25	11,85	12,54	1,00	1,00	1,00	1,00		A1/1	1,00	1,00	1,00	1,00	1,23	1,21	1,00	1,53	1,49	0,60	1,00	1,00	1,00
									A1/2	1,00	1,00	1,00	1,00	1,23	1,21	1,00	1,53	1,49	0,60	1,00	1,00	1,00
								X+	A1/3	1,00	0,85	0,87	0,79	1,23	1,21	1,00	1,53	1,49	0,60	1,00	1,00	1,00
								X-	A1/12	1,00	0,87	0,88	0,81	1,23	1,21	1,00	1,53	1,49	0,60	1,00	1,00	1,00
								Y+	A1/19	1,00	0,86	0,87	0,79	1,23	1,21	1,00	1,53	1,49	0,60	1,00	1,00	1,00
								Y-	A1/25	1,00	0,86	0,87	0,79	1,23	1,21	1,00	1,53	1,49	0,60	1,00	1,00	1,00
110	22,25	11,85	12,54	1,00	1,00	1,00	1,00		A1/1	1,00	1,00	1,00	1,00	1,19	1,17	1,00	1,53	1,49	0,60	1,00	1,00	1,00
									A1/2	1,00	1,00	1,00	1,00	1,19	1,17	1,00	1,53	1,49	0,60	1,00	1,00	1,00
								X+	A1/3	1,00	0,86	0,87	0,79	1,19	1,17	1,00	1,53	1,49	0,60	1,00	1,00	1,00
								X-	A1/12	1,00	0,88	0,89	0,82	1,19	1,17	1,00	1,53	1,49	0,60	1,00	1,00	1,00
								Y+	A1/19	1,00	0,86	0,87	0,80	1,19	1,17	1,00	1,53	1,49	0,60	1,00	1,00	1,00
								Y-	A1/25	1,00	0,86	0,88	0,80	1,19	1,17	1,00	1,53	1,49	0,60	1,00	1,00	1,00
111	22,25	11,85	12,54	1,00	1,00	1,00	1,00		A1/1	1,00	1,00	1,00	1,00	1,27	1,25	1,00	1,53	1,49	0,60	1,00	1,00	1,00
									A1/2	1,00	1,00	1,00	1,00	1,27	1,25	1,00	1,53	1,49	0,60	1,00	1,00	1,00
								X+	A1/9	1,00	0,85	0,86	0,78	1,27	1,25	1,00	1,53	1,49	0,60	1,00	1,00	1,00
								X-	A1/18	1,00	0,83	0,85	0,76	1,27	1,25	1,00	1,53	1,49	0,60	1,00	1,00	1,00
								Y+	A1/28	1,00	0,84	0,85	0,76	1,27	1,25	1,00	1,53	1,49	0,60	1,00	1,00	1,00
								Y-	A1/34	1,00	0,84	0,85	0,76	1,27	1,25	1,00	1,53	1,49	0,60	1,00	1,00	1,00
112	22,25	11,85	12,54	1,00	1,00	1,00	1,00		A1/1	1,00	1,00	1,00	1,00	1,29	1,27	1,00	1,53	1,49	0,60	1,00	1,00	1,00
									A1/2	1,00	1,00	1,00	1,00	1,29	1,27	1,00	1,53	1,49	0,60	1,00	1,00	1,00
								X+	A1/9	1,00	0,85	0,86	0,78	1,29	1,27	1,00	1,53	1,49	0,60	1,00	1,00	1,00
								X-	A1/18	1,00	0,83	0,85	0,76	1,29	1,27	1,00	1,53	1,49	0,60	1,00	1,00	1,00
								Y+	A1/28	1,00	0,84	0,85	0,76	1,29	1,27	1,00	1,53	1,49	0,60	1,00	1,00	1,00
								Y-	A1/34	1,00	0,84	0,85	0,76	1,29	1,27	1,00	1,53	1,49	0,60	1,00	1,00	1,00
113	22,25	11,85	12,54	1,00	1,00	1,00	1,00		A1/1	1,00	1,00	1,00	1,00	1,29	1,27	1,00	1,53	1,49	0,60	1,00	1,00	1,00
									A1/2	1,00	1,00	1,00	1,00	1,29	1,27	1,00	1,53	1,49	0,60	1,00	1,00	1,00
								X+	A1/6	1,00	0,85	0,86	0,78	1,29	1,27	1,00	1,53	1,49	0,60	1,00	1,00	1,00
								X-	A1/13	1,00	0,83	0,85	0,76	1,29	1,27	1,00	1,53	1,49	0,60	1,00	1,00	1,00
								Y+	A1/29	1,00	0,84	0,85	0,76	1,29	1,27	1,00	1,53	1,49	0,60	1,00	1,00	1,00
								Y-	A1/31	1,00	0,84	0,85	0,76	1,29	1,27	1,00	1,53	1,49	0,60	1,00	1,00	1,00
114	22,25	11,85	12,54	1,00	1,00	1,00	1,00		A1/1	1,00	1,00	1,00	1,00	1,27	1,25	1,00	1,53	1,49	0,60	1,00	1,00	1,00
									A1/2	1,00	1,00	1,00	1,00	1,27	1,25	1,00	1,53	1,49	0,60	1,00	1,00	1,00
								X+	A1/6	1,00	0,85	0,86	0,78	1,27	1,25	1,00	1,53	1,49	0,60	1,00	1,00	1,00
								X-	A1/13	1,00	0,83	0,85	0,76	1,27	1,25	1,00	1,53	1,49	0,60	1,00	1,00	1,00
								Y+	A1/29	1,00	0,84	0,85	0,76	1,27	1,25	1,00	1,53	1,49	0,60	1,00	1,00	1,00
								Y-	A1/31	1,00	0,84	0,85	0,76	1,27	1,25	1,00	1,53	1,49	0,60	1,00	1,00	1,00

CARICO LIMITE PIASTRE WINKLER - S.L.U.

IDENTIIFICATIVO					DRENATE		NON DRENATE		RISULTATI					
Piastr N.ro	Nodo3d N.ro	Comb N.ro	Bx' m	By' m	GamEf kg/mc	QLimV (t)	GamEf kg/mc	QLimV (t)	N (t)	Coeff. Sicur.	Minimo CoeSic	N/Ar kg/cmq	QLim/Ar kg/cmq	Status Verifica
1	1		A1/1	0,84	0,84	1900	25,0							
			A1/2	0,84	0,84	1900	25,0							
		X+	A1/9	0,84	0,84	1900	21,2							
		X-	A1/18	0,84	0,84	1900	20,8							
		Y+	A1/28	0,84	0,84	1900	20,9							
		Y-	A1/34	0,84	0,84	1900	20,9							
2	2		A1/1	0,86	0,86	1900	26,0							
			A1/2	0,86	0,86	1900	26,0							
		X+	A1/8	0,86	0,86	1900	22,2							

CARICO LIMITE PIASTRE WINKLER - S.L.U.

IDENTIIFICATIVO						DRENATE		NON DRENATE		RISULTATI					
Piastr N.ro	Nodo3d N.ro	Comb N.ro		Bx' m	By' m	GamEf kg/mc	QLimV (t)	GamEf kg/mc	QLimV (t)	N (t)	Coeff. Sicur.	Minimo CoeSic	N/Ar kg/cmq	QLim/Ar kg/cmq	Status Verifica
		X-	A1/15	0,86	0,86	1900	22,6								
		Y+	A1/22	0,86	0,86	1900	22,3								
		Y-	A1/24	0,86	0,86	1900	22,2								
3	5		A1/1	0,84	0,84	1900	24,6								
			A1/2	0,84	0,84	1900	24,6								
		X+	A1/3	0,84	0,84	1900	20,9								
		X-	A1/12	0,84	0,84	1900	21,4								
		Y+	A1/19	0,84	0,84	1900	21,0								
		Y-	A1/25	0,84	0,84	1900	21,1								
4	6		A1/1	0,82	0,82	1900	23,6								
			A1/2	0,82	0,82	1900	23,6								
		X+	A1/6	0,82	0,82	1900	20,0								
		X-	A1/13	0,82	0,82	1900	19,6								
		Y+	A1/29	0,82	0,82	1900	19,7								
		Y-	A1/31	0,82	0,82	1900	19,7								
5	9		A1/1	0,46	0,46	1900	7,9								
			A1/2	0,46	0,46	1900	7,9								
		X+	A1/9	0,46	0,46	1900	6,7								
		X-	A1/18	0,46	0,46	1900	6,6								
		Y+	A1/28	0,46	0,46	1900	6,6								
		Y-	A1/34	0,46	0,46	1900	6,6								
6	10		A1/1	0,58	0,58	1900	12,2								
			A1/2	0,58	0,58	1900	12,2								
		X+	A1/8	0,58	0,58	1900	10,6								
		X-	A1/15	0,58	0,58	1900	10,9								
		Y+	A1/22	0,58	0,58	1900	10,7								
		Y-	A1/24	0,58	0,58	1900	10,7								
7	11		A1/1	0,44	0,44	1900	7,3								
			A1/2	0,44	0,44	1900	7,3								
		X+	A1/3	0,44	0,44	1900	6,3								
		X-	A1/12	0,44	0,44	1900	6,5								
		Y+	A1/19	0,44	0,44	1900	6,3								
		Y-	A1/25	0,44	0,44	1900	6,3								
8	12		A1/1	0,46	0,46	1900	7,9								
			A1/2	0,46	0,46	1900	7,9								
		X+	A1/6	0,46	0,46	1900	6,7								
		X-	A1/13	0,46	0,46	1900	6,6								
		Y+	A1/29	0,46	0,46	1900	6,6								
		Y-	A1/31	0,46	0,46	1900	6,6								
9	13		A1/1	0,96	0,96	1900	32,3								
			A1/2	0,96	0,96	1900	32,3								
		X+	A1/9	0,96	0,96	1900	27,3								
		X-	A1/18	0,96	0,96	1900	26,9								
		Y+	A1/28	0,96	0,96	1900	27,0								
		Y-	A1/34	0,96	0,96	1900	26,9								
10	14		A1/1	0,96	0,96	1900	32,3								
			A1/2	0,96	0,96	1900	32,3								
		X+	A1/9	0,96	0,96	1900	27,3								
		X-	A1/18	0,96	0,96	1900	27,1								
		Y+	A1/28	0,96	0,96	1900	27,1								
		Y-	A1/34	0,96	0,96	1900	27,1								
11	15		A1/1	0,96	0,96	1900	32,3								
			A1/2	0,96	0,96	1900	32,3								
		X+	A1/8	0,96	0,96	1900	27,3								
		X-	A1/15	0,96	0,96	1900	27,2								
		Y+	A1/29	0,96	0,96	1900	27,2								
		Y-	A1/31	0,96	0,96	1900	27,2								
12	16		A1/1	0,96	0,96	1900	32,3								
			A1/2	0,96	0,96	1900	32,3								
		X+	A1/8	0,96	0,96	1900	27,3								
		X-	A1/15	0,96	0,96	1900	27,4								
		Y+	A1/22	0,96	0,96	1900	27,3								
		Y-	A1/24	0,96	0,96	1900	27,3								
13	17		A1/1	0,96	0,96	1900	32,3								
			A1/2	0,96	0,96	1900	32,3								
		X+	A1/8	0,96	0,96	1900	27,4								
		X-	A1/15	0,96	0,96	1900	27,7								
		Y+	A1/22	0,96	0,96	1900	27,4								
		Y-	A1/24	0,96	0,96	1900	27,4								
14	18		A1/1	0,96	0,96	1900	32,3								
			A1/2	0,96	0,96	1900	32,3								
		X+	A1/3	0,96	0,96	1900	27,4								
		X-	A1/12	0,96	0,96	1900	27,7								
		Y+	A1/19	0,96	0,96	1900	27,4								
		Y-	A1/25	0,96	0,96	1900	27,4								
15	19		A1/1	0,96	0,96	1900	32,3								

CARICO LIMITE PIASTRE WINKLER - S.L.U.

IDENTIIFICATIVO						DRENATE		NON DRENATE		RISULTATI					
Piastr N.ro	Nodo3d N.ro	Comb N.ro		Bx' m	By' m	GamEf kg/mc	QLimV (t)	GamEf kg/mc	QLimV (t)	N (t)	Coeff. Sicur.	Minimo CoeSic	N/Ar kg/cmq	QLim/Ar kg/cmq	Status Verifica
			A1/2	0,96	0,96	1900	32,3								
		X+	A1/3	0,96	0,96	1900	27,3								
		X-	A1/12	0,96	0,96	1900	27,4								
		Y+	A1/19	0,96	0,96	1900	27,3								
		Y-	A1/25	0,96	0,96	1900	27,3								
16	20		A1/1	0,96	0,96	1900	32,3								
			A1/2	0,96	0,96	1900	32,3								
		X+	A1/3	0,96	0,96	1900	27,3								
		X-	A1/12	0,96	0,96	1900	27,2								
		Y+	A1/28	0,96	0,96	1900	27,2								
		Y-	A1/34	0,96	0,96	1900	27,2								
17	21		A1/1	0,96	0,96	1900	32,3								
			A1/2	0,96	0,96	1900	32,3								
		X+	A1/6	0,96	0,96	1900	27,3								
		X-	A1/13	0,96	0,96	1900	27,1								
		Y+	A1/29	0,96	0,96	1900	27,1								
		Y-	A1/31	0,96	0,96	1900	27,1								
18	22		A1/1	0,96	0,96	1900	32,3								
			A1/2	0,96	0,96	1900	32,3								
		X+	A1/6	0,96	0,96	1900	27,3								
		X-	A1/13	0,96	0,96	1900	26,9								
		Y+	A1/29	0,96	0,96	1900	27,0								
		Y-	A1/31	0,96	0,96	1900	27,0								
19	23		A1/1	0,68	0,68	1900	16,3								
			A1/2	0,68	0,68	1900	16,3								
		X+	A1/8	0,68	0,68	1900	14,0								
		X-	A1/15	0,68	0,68	1900	14,2								
		Y+	A1/22	0,68	0,68	1900	14,0								
		Y-	A1/24	0,68	0,68	1900	14,0								
20	24		A1/1	0,76	0,76	1900	20,6								
			A1/2	0,76	0,76	1900	20,6								
		X+	A1/3	0,76	0,76	1900	17,6								
		X-	A1/12	0,76	0,76	1900	17,9								
		Y+	A1/19	0,76	0,76	1900	17,7								
		Y-	A1/25	0,76	0,76	1900	17,7								
21	25		A1/1	0,65	0,65	1900	14,9								
			A1/2	0,65	0,65	1900	14,9								
		X+	A1/3	0,65	0,65	1900	12,7								
		X-	A1/12	0,65	0,65	1900	13,0								
		Y+	A1/19	0,65	0,65	1900	12,8								
		Y-	A1/25	0,65	0,65	1900	12,8								
22	26		A1/1	0,68	0,68	1900	16,3								
			A1/2	0,68	0,68	1900	16,3								
		X+	A1/6	0,68	0,68	1900	13,9								
		X-	A1/13	0,68	0,68	1900	13,6								
		Y+	A1/29	0,68	0,68	1900	13,6								
		Y-	A1/31	0,68	0,68	1900	13,6								
23	27		A1/1	0,76	0,76	1900	20,6								
			A1/2	0,76	0,76	1900	20,6								
		X+	A1/9	0,76	0,76	1900	17,5								
		X-	A1/18	0,76	0,76	1900	17,1								
		Y+	A1/27	0,76	0,76	1900	17,2								
		Y-	A1/33	0,76	0,76	1900	17,2								
24	28		A1/1	0,71	0,71	1900	17,8								
			A1/2	0,71	0,71	1900	17,8								
		X+	A1/9	0,71	0,71	1900	15,1								
		X-	A1/18	0,71	0,71	1900	14,8								
		Y+	A1/28	0,71	0,71	1900	14,8								
		Y-	A1/34	0,71	0,71	1900	14,8								
25	29		A1/1	0,88	0,88	1900	27,0								
			A1/2	0,88	0,88	1900	27,0								
		X+	A1/9	0,88	0,88	1900	22,9								
		X-	A1/18	0,88	0,88	1900	22,5								
		Y+	A1/28	0,88	0,88	1900	22,6								
		Y-	A1/34	0,88	0,88	1900	22,6								
26	30		A1/1	0,88	0,88	1900	27,0								
			A1/2	0,88	0,88	1900	27,0								
		X+	A1/9	0,88	0,88	1900	22,9								
		X-	A1/18	0,88	0,88	1900	22,6								
		Y+	A1/28	0,88	0,88	1900	22,6								
		Y-	A1/34	0,88	0,88	1900	22,6								
27	31		A1/1	1,00	1,00	1900	34,9								
			A1/2	1,00	1,00	1900	34,9								
		X+	A1/9	1,00	1,00	1900	29,6								
		X-	A1/18	1,00	1,00	1900	29,2								
		Y+	A1/28	1,00	1,00	1900	29,3								
		Y-	A1/34	1,00	1,00	1900	29,3								

CARICO LIMITE PIASTRE WINKLER - S.L.U.

IDENTIIFICATIVO						DRENATE		NON DRENATE		RISULTATI					
Piastr N.ro	Nodo3d N.ro		Comb N.ro	Bx' m	By' m	GamEf kg/mc	QLimV (t)	GamEf kg/mc	QLimV (t)	N (t)	Coeff. Sicur.	Minimo CoeSic	N/Ar kg/cmq	QLim/Ar kg/cmq	Status Verifica
28	32		A1/1	1,00	1,00	1900	34,9								
			A1/2	1,00	1,00	1900	34,9								
		X+	A1/9	1,00	1,00	1900	29,6								
		X-	A1/18	1,00	1,00	1900	29,1								
		Y+	A1/28	1,00	1,00	1900	29,2								
		Y-	A1/34	1,00	1,00	1900	29,2								
29	33		A1/1	1,00	1,00	1900	34,9								
			A1/2	1,00	1,00	1900	34,9								
		X+	A1/6	1,00	1,00	1900	29,6								
		X-	A1/13	1,00	1,00	1900	29,2								
		Y+	A1/29	1,00	1,00	1900	29,3								
		Y-	A1/31	1,00	1,00	1900	29,3								
30	34		A1/1	1,00	1,00	1900	34,9								
			A1/2	1,00	1,00	1900	34,9								
		X+	A1/6	1,00	1,00	1900	29,6								
		X-	A1/13	1,00	1,00	1900	29,1								
		Y+	A1/29	1,00	1,00	1900	29,2								
		Y-	A1/31	1,00	1,00	1900	29,2								
31	35		A1/1	0,88	0,88	1900	27,0								
			A1/2	0,88	0,88	1900	27,0								
		X+	A1/9	0,88	0,88	1900	22,9								
		X-	A1/18	0,88	0,88	1900	22,7								
		Y+	A1/28	0,88	0,88	1900	22,7								
		Y-	A1/34	0,88	0,88	1900	22,7								
32	36		A1/1	1,00	1,00	1900	34,9								
			A1/2	1,00	1,00	1900	34,9								
		X+	A1/9	1,00	1,00	1900	29,6								
		X-	A1/18	1,00	1,00	1900	29,4								
		Y+	A1/28	1,00	1,00	1900	29,4								
		Y-	A1/34	1,00	1,00	1900	29,4								
33	37		A1/1	0,87	0,87	1900	26,3								
			A1/2	0,87	0,87	1900	26,3								
		X+	A1/9	0,87	0,87	1900	22,3								
		X-	A1/18	0,87	0,87	1900	21,9								
		Y+	A1/28	0,87	0,87	1900	22,0								
		Y-	A1/34	0,87	0,87	1900	21,9								
34	38		A1/1	0,75	0,75	1900	19,9								
			A1/2	0,75	0,75	1900	19,9								
		X+	A1/9	0,75	0,75	1900	16,9								
		X-	A1/18	0,75	0,75	1900	16,5								
		Y+	A1/28	0,75	0,75	1900	16,6								
		Y-	A1/34	0,75	0,75	1900	16,6								
35	39		A1/1	0,87	0,87	1900	26,3								
			A1/2	0,87	0,87	1900	26,3								
		X+	A1/6	0,87	0,87	1900	22,3								
		X-	A1/13	0,87	0,87	1900	21,9								
		Y+	A1/29	0,87	0,87	1900	21,9								
		Y-	A1/31	0,87	0,87	1900	21,9								
36	40		A1/1	1,00	1,00	1900	34,9								
			A1/2	1,00	1,00	1900	34,9								
		X+	A1/9	1,00	1,00	1900	29,6								
		X-	A1/18	1,00	1,00	1900	29,5								
		Y+	A1/28	1,00	1,00	1900	29,5								
		Y-	A1/34	1,00	1,00	1900	29,5								
37	41		A1/1	0,88	0,88	1900	27,0								
			A1/2	0,88	0,88	1900	27,0								
		X+	A1/9	0,88	0,88	1900	22,9								
		X-	A1/18	0,88	0,88	1900	22,7								
		Y+	A1/28	0,88	0,88	1900	22,7								
		Y-	A1/34	0,88	0,88	1900	22,7								
38	42		A1/1	0,88	0,88	1900	27,0								
			A1/2	0,88	0,88	1900	27,0								
		X+	A1/9	0,88	0,88	1900	22,9								
		X-	A1/18	0,88	0,88	1900	22,8								
		Y+	A1/28	0,88	0,88	1900	22,8								
		Y-	A1/34	0,88	0,88	1900	22,8								
39	43		A1/1	1,00	1,00	1900	34,9								
			A1/2	1,00	1,00	1900	34,9								
		X+	A1/8	1,00	1,00	1900	29,7								
		X-	A1/15	1,00	1,00	1900	29,6								
		Y+	A1/29	1,00	1,00	1900	29,5								
		Y-	A1/31	1,00	1,00	1900	29,5								
40	44		A1/1	1,00	1,00	1900	34,9								
			A1/2	1,00	1,00	1900	34,9								
		X+	A1/6	1,00	1,00	1900	29,6								
		X-	A1/13	1,00	1,00	1900	29,5								

CARICO LIMITE PIASTRE WINKLER - S.L.U.

IDENTIIFICATIVO						DRENATE		NON DRENATE		RISULTATI					
Piastr N.ro	Nodo3d N.ro	Comb N.ro		Bx' m	By' m	GamEf kg/mc	QLimV (t)	GamEf kg/mc	QLimV (t)	N (t)	Coeff. Sicur.	Minimo CoeSic	N/Ar kg/cmq	QLim/Ar kg/cmq	Status Verifica
		Y+	A1/29	1,00	1,00	1900	29,5								
		Y-	A1/31	1,00	1,00	1900	29,5								
41	45		A1/1	1,00	1,00	1900	34,9								
			A1/2	1,00	1,00	1900	34,9								
		X+	A1/6	1,00	1,00	1900	29,6								
		X-	A1/13	1,00	1,00	1900	29,4								
		Y+	A1/29	1,00	1,00	1900	29,4								
		Y-	A1/31	1,00	1,00	1900	29,4								
42	46		A1/1	0,88	0,88	1900	27,0								
			A1/2	0,88	0,88	1900	27,0								
		X+	A1/8	0,88	0,88	1900	22,9								
		X-	A1/15	0,88	0,88	1900	22,9								
		Y+	A1/29	0,88	0,88	1900	22,9								
		Y-	A1/31	0,88	0,88	1900	22,8								
43	47		A1/1	1,00	1,00	1900	34,9								
			A1/2	1,00	1,00	1900	34,9								
		X+	A1/8	1,00	1,00	1900	29,7								
		X-	A1/15	1,00	1,00	1900	29,7								
		Y+	A1/29	1,00	1,00	1900	29,6								
		Y-	A1/31	1,00	1,00	1900	29,6								
44	48		A1/1	1,00	1,00	1900	34,9								
			A1/2	1,00	1,00	1900	34,9								
		X+	A1/3	1,00	1,00	1900	29,7								
		X-	A1/12	1,00	1,00	1900	29,7								
		Y+	A1/28	1,00	1,00	1900	29,6								
		Y-	A1/34	1,00	1,00	1900	29,6								
45	49		A1/1	1,00	1,00	1900	34,9								
			A1/2	1,00	1,00	1900	34,9								
		X+	A1/3	1,00	1,00	1900	29,7								
		X-	A1/12	1,00	1,00	1900	29,6								
		Y+	A1/28	1,00	1,00	1900	29,5								
		Y-	A1/34	1,00	1,00	1900	29,5								
46	50		A1/1	0,88	0,88	1900	27,0								
			A1/2	0,88	0,88	1900	27,0								
		X+	A1/8	0,88	0,88	1900	22,9								
		X-	A1/15	0,88	0,88	1900	23,0								
		Y+	A1/22	0,88	0,88	1900	22,9								
		Y-	A1/24	0,88	0,88	1900	22,9								
47	51		A1/1	1,00	1,00	1900	34,9								
			A1/2	1,00	1,00	1900	34,9								
		X+	A1/8	1,00	1,00	1900	29,7								
		X-	A1/15	1,00	1,00	1900	29,8								
		Y+	A1/22	1,00	1,00	1900	29,6								
		Y-	A1/24	1,00	1,00	1900	29,6								
48	52		A1/1	0,88	0,88	1900	27,0								
			A1/2	0,88	0,88	1900	27,0								
		X+	A1/6	0,88	0,88	1900	22,9								
		X-	A1/13	0,88	0,88	1900	22,5								
		Y+	A1/29	0,88	0,88	1900	22,6								
		Y-	A1/31	0,88	0,88	1900	22,6								
49	53		A1/1	0,80	0,80	1900	22,7								
			A1/2	0,80	0,80	1900	22,7								
		X+	A1/6	0,80	0,80	1900	19,3								
		X-	A1/13	0,80	0,80	1900	18,9								
		Y+	A1/29	0,80	0,80	1900	19,0								
		Y-	A1/31	0,80	0,80	1900	19,0								
50	54		A1/1	0,88	0,88	1900	27,0								
			A1/2	0,88	0,88	1900	27,0								
		X+	A1/6	0,88	0,88	1900	22,9								
		X-	A1/13	0,88	0,88	1900	22,6								
		Y+	A1/29	0,88	0,88	1900	22,6								
		Y-	A1/31	0,88	0,88	1900	22,6								
51	55		A1/1	0,88	0,88	1900	27,0								
			A1/2	0,88	0,88	1900	27,0								
		X+	A1/6	0,88	0,88	1900	22,9								
		X-	A1/13	0,88	0,88	1900	22,7								
		Y+	A1/29	0,88	0,88	1900	22,7								
		Y-	A1/31	0,88	0,88	1900	22,7								
52	56		A1/1	0,88	0,88	1900	27,0								
			A1/2	0,88	0,88	1900	27,0								
		X+	A1/6	0,88	0,88	1900	22,9								
		X-	A1/13	0,88	0,88	1900	22,7								
		Y+	A1/29	0,88	0,88	1900	22,7								
		Y-	A1/31	0,88	0,88	1900	22,7								
53	57		A1/1	0,88	0,88	1900	27,0								
			A1/2	0,88	0,88	1900	27,0								

CARICO LIMITE PIASTRE WINKLER - S.L.U.

IDENTIIFICATIVO						DRENATE		NON DRENATE		RISULTATI					
Piastr N.ro	Nodo3d N.ro	Comb N.ro		Bx' m	By' m	GamEf kg/mc	QLimV (t)	GamEf kg/mc	QLimV (t)	N (t)	Coeff. Sicur.	Minimo CoeSic	N/Ar kg/cmq	QLim/Ar kg/cmq	Status Verifica
		X+	A1/6	0,88	0,88	1900	22,9								
		X-	A1/13	0,88	0,88	1900	22,8								
		Y+	A1/29	0,88	0,88	1900	22,8								
		Y-	A1/31	0,88	0,88	1900	22,8								
54	58		A1/1	0,88	0,88	1900	27,0								
			A1/2	0,88	0,88	1900	27,0								
		X+	A1/3	0,88	0,88	1900	22,9								
		X-	A1/12	0,88	0,88	1900	22,9								
		Y+	A1/28	0,88	0,88	1900	22,8								
		Y-	A1/34	0,88	0,88	1900	22,9								
55	59		A1/1	1,00	1,00	1900	34,9								
			A1/2	1,00	1,00	1900	34,9								
		X+	A1/3	1,00	1,00	1900	29,7								
		X-	A1/12	1,00	1,00	1900	29,8								
		Y+	A1/19	1,00	1,00	1900	29,6								
		Y-	A1/25	1,00	1,00	1900	29,6								
56	60		A1/1	0,88	0,88	1900	27,0								
			A1/2	0,88	0,88	1900	27,0								
		X+	A1/3	0,88	0,88	1900	22,9								
		X-	A1/12	0,88	0,88	1900	23,0								
		Y+	A1/19	0,88	0,88	1900	22,9								
		Y-	A1/25	0,88	0,88	1900	22,9								
57	61		A1/1	1,00	1,00	1900	34,9								
			A1/2	1,00	1,00	1900	34,9								
		X+	A1/8	1,00	1,00	1900	29,7								
		X-	A1/15	1,00	1,00	1900	29,9								
		Y+	A1/22	1,00	1,00	1900	29,7								
		Y-	A1/24	1,00	1,00	1900	29,7								
58	62		A1/1	0,88	0,88	1900	27,0								
			A1/2	0,88	0,88	1900	27,0								
		X+	A1/8	0,88	0,88	1900	22,9								
		X-	A1/15	0,88	0,88	1900	23,1								
		Y+	A1/22	0,88	0,88	1900	22,9								
		Y-	A1/24	0,88	0,88	1900	22,9								
59	63		A1/1	0,88	0,88	1900	27,0								
			A1/2	0,88	0,88	1900	27,0								
		X+	A1/8	0,88	0,88	1900	22,9								
		X-	A1/15	0,88	0,88	1900	23,2								
		Y+	A1/22	0,88	0,88	1900	23,0								
		Y-	A1/24	0,88	0,88	1900	23,0								
60	64		A1/1	1,00	1,00	1900	34,9								
			A1/2	1,00	1,00	1900	34,9								
		X+	A1/8	1,00	1,00	1900	29,7								
		X-	A1/15	1,00	1,00	1900	30,0								
		Y+	A1/22	1,00	1,00	1900	29,7								
		Y-	A1/24	1,00	1,00	1900	29,7								
61	65		A1/1	1,00	1,00	1900	34,9								
			A1/2	1,00	1,00	1900	34,9								
		X+	A1/3	1,00	1,00	1900	29,7								
		X-	A1/12	1,00	1,00	1900	29,9								
		Y+	A1/19	1,00	1,00	1900	29,7								
		Y-	A1/25	1,00	1,00	1900	29,7								
62	66		A1/1	0,88	0,88	1900	27,0								
			A1/2	0,88	0,88	1900	27,0								
		X+	A1/8	0,88	0,88	1900	23,0								
		X-	A1/15	0,88	0,88	1900	23,3								
		Y+	A1/22	0,88	0,88	1900	23,0								
		Y-	A1/24	0,88	0,88	1900	23,0								
63	67		A1/1	1,00	1,00	1900	34,9								
			A1/2	1,00	1,00	1900	34,9								
		X+	A1/8	1,00	1,00	1900	29,7								
		X-	A1/15	1,00	1,00	1900	30,1								
		Y+	A1/22	1,00	1,00	1900	29,8								
		Y-	A1/24	1,00	1,00	1900	29,8								
64	68		A1/1	1,00	1,00	1900	34,9								
			A1/2	1,00	1,00	1900	34,9								
		X+	A1/3	1,00	1,00	1900	29,7								
		X-	A1/12	1,00	1,00	1900	30,1								
		Y+	A1/19	1,00	1,00	1900	29,8								
		Y-	A1/25	1,00	1,00	1900	29,8								
65	69		A1/1	1,00	1,00	1900	34,9								
			A1/2	1,00	1,00	1900	34,9								
		X+	A1/3	1,00	1,00	1900	29,7								
		X-	A1/12	1,00	1,00	1900	30,0								
		Y+	A1/19	1,00	1,00	1900	29,7								
		Y-	A1/25	1,00	1,00	1900	29,7								

CARICO LIMITE PIASTRE WINKLER - S.L.U.

IDENTIIFICATIVO							DRENATE		NON DRENATE		RISULTATI					
Piastr N.ro	Nodo3d N.ro		Comb N.ro	Bx' m	By' m		GamEf kg/mc	QLimV (t)	GamEf kg/mc	QLimV (t)	N (t)	Coeff. Sicur.	Minimo CoeSic	N/Ar kg/cmq	QLim/Ar kg/cmq	Status Verifica
66	70		A1/1	0,80	0,80		1900	22,7								
			A1/2	0,80	0,80		1900	22,7								
		X+	A1/8	0,80	0,80		1900	19,4								
		X-	A1/15	0,80	0,80		1900	19,7								
		Y+	A1/22	0,80	0,80		1900	19,4								
		Y-	A1/24	0,80	0,80		1900	19,4								
67	71		A1/1	0,84	0,84		1900	24,9								
			A1/2	0,84	0,84		1900	24,9								
		X+	A1/8	0,84	0,84		1900	21,2								
		X-	A1/15	0,84	0,84		1900	21,6								
		Y+	A1/22	0,84	0,84		1900	21,3								
		Y-	A1/24	0,84	0,84		1900	21,3								
68	72		A1/1	0,84	0,84		1900	25,0								
			A1/2	0,84	0,84		1900	25,0								
		X+	A1/8	0,84	0,84		1900	21,5								
		X-	A1/15	0,84	0,84		1900	22,0								
		Y+	A1/22	0,84	0,84		1900	21,7								
		Y-	A1/24	0,84	0,84		1900	21,6								
69	73		A1/1	0,46	0,46		1900	7,8								
			A1/2	0,46	0,46		1900	7,8								
		X+	A1/8	0,46	0,46		1900	6,8								
		X-	A1/15	0,46	0,46		1900	7,0								
		Y+	A1/22	0,46	0,46		1900	6,8								
		Y-	A1/24	0,46	0,46		1900	6,8								
70	74		A1/1	0,50	0,50		1900	9,3								
			A1/2	0,50	0,50		1900	9,3								
		X+	A1/8	0,50	0,50		1900	8,0								
		X-	A1/15	0,50	0,50		1900	8,2								
		Y+	A1/22	0,50	0,50		1900	8,1								
		Y-	A1/24	0,50	0,50		1900	8,1								
71	75		A1/1	0,87	0,87		1900	26,3								
			A1/2	0,87	0,87		1900	26,3								
		X+	A1/8	0,87	0,87		1900	22,6								
		X-	A1/15	0,87	0,87		1900	23,2								
		Y+	A1/22	0,87	0,87		1900	22,8								
		Y-	A1/24	0,87	0,87		1900	22,8								
72	76		A1/1	0,50	0,50		1900	9,3								
			A1/2	0,50	0,50		1900	9,3								
		X+	A1/3	0,50	0,50		1900	8,0								
		X-	A1/12	0,50	0,50		1900	8,2								
		Y+	A1/19	0,50	0,50		1900	8,1								
		Y-	A1/25	0,50	0,50		1900	8,1								
73	77		A1/1	0,87	0,87		1900	26,3								
			A1/2	0,87	0,87		1900	26,3								
		X+	A1/3	0,87	0,87		1900	22,6								
		X-	A1/12	0,87	0,87		1900	23,2								
		Y+	A1/19	0,87	0,87		1900	22,8								
		Y-	A1/25	0,87	0,87		1900	22,8								
74	78		A1/1	0,87	0,87		1900	26,3								
			A1/2	0,87	0,87		1900	26,3								
		X+	A1/8	0,87	0,87		1900	22,5								
		X-	A1/15	0,87	0,87		1900	23,0								
		Y+	A1/22	0,87	0,87		1900	22,6								
		Y-	A1/24	0,87	0,87		1900	22,6								
75	79		A1/1	0,89	0,89		1900	27,5								
			A1/2	0,89	0,89		1900	27,5								
		X+	A1/8	0,89	0,89		1900	23,5								
		X-	A1/15	0,89	0,89		1900	24,0								
		Y+	A1/22	0,89	0,89		1900	23,6								
		Y-	A1/24	0,89	0,89		1900	23,6								
76	80		A1/1	0,87	0,87		1900	26,3								
			A1/2	0,87	0,87		1900	26,3								
		X+	A1/3	0,87	0,87		1900	22,5								
		X-	A1/12	0,87	0,87		1900	23,0								
		Y+	A1/19	0,87	0,87		1900	22,6								
		Y-	A1/25	0,87	0,87		1900	22,6								
77	81		A1/1	0,84	0,84		1900	24,9								
			A1/2	0,84	0,84		1900	24,9								
		X+	A1/3	0,84	0,84		1900	21,2								
		X-	A1/12	0,84	0,84		1900	21,6								
		Y+	A1/19	0,84	0,84		1900	21,3								
		Y-	A1/25	0,84	0,84		1900	21,3								
78	82		A1/1	0,88	0,88		1900	27,0								
			A1/2	0,88	0,88		1900	27,0								
		X+	A1/3	0,88	0,88		1900	22,9								
		X-	A1/12	0,88	0,88		1900	23,1								
		Y+	A1/19	0,88	0,88		1900	22,9								
		Y-	A1/25	0,88	0,88		1900	22,9								

CARICO LIMITE PIASTRE WINKLER - S.L.U.

IDENTIIFICATIVO						DRENATE		NON DRENATE		RISULTATI					
Piastr N.ro	Nodo3d N.ro		Comb N.ro	Bx' m	By' m	GamEf kg/mc	QLimV (t)	GamEf kg/mc	QLimV (t)	N (t)	Coeff. Sicur.	Minimo CoeSic	N/Ar kg/cmq	QLim/Ar kg/cmq	Status Verifica
79	83		A1/1	0,88	0,88	1900	27,0								
			A1/2	0,88	0,88	1900	27,0								
		X+	A1/3	0,88	0,88	1900	22,9								
		X-	A1/12	0,88	0,88	1900	23,2								
		Y+	A1/19	0,88	0,88	1900	23,0								
		Y-	A1/25	0,88	0,88	1900	23,0								
80	84		A1/1	0,88	0,88	1900	27,0								
			A1/2	0,88	0,88	1900	27,0								
		X+	A1/3	0,88	0,88	1900	23,0								
		X-	A1/12	0,88	0,88	1900	23,3								
		Y+	A1/19	0,88	0,88	1900	23,0								
		Y-	A1/25	0,88	0,88	1900	23,0								
81	85		A1/1	0,80	0,80	1900	22,7								
			A1/2	0,80	0,80	1900	22,7								
		X+	A1/3	0,80	0,80	1900	19,4								
		X-	A1/12	0,80	0,80	1900	19,7								
		Y+	A1/19	0,80	0,80	1900	19,4								
		Y-	A1/25	0,80	0,80	1900	19,4								
82	86		A1/1	0,86	0,86	1900	25,7								
			A1/2	0,86	0,86	1900	25,7								
		X+	A1/3	0,86	0,86	1900	22,1								
		X-	A1/12	0,86	0,86	1900	22,7								
		Y+	A1/19	0,86	0,86	1900	22,3								
		Y-	A1/25	0,86	0,86	1900	22,3								
83	87		A1/1	0,88	0,88	1900	27,4								
			A1/2	0,88	0,88	1900	27,4								
		X+	A1/3	0,88	0,88	1900	23,4								
		X-	A1/12	0,88	0,88	1900	23,9								
		Y+	A1/19	0,88	0,88	1900	23,5								
		Y-	A1/25	0,88	0,88	1900	23,5								
84	88		A1/1	0,56	0,56	1900	11,5								
			A1/2	0,56	0,56	1900	11,5								
		X+	A1/3	0,56	0,56	1900	10,0								
		X-	A1/12	0,56	0,56	1900	10,2								
		Y+	A1/19	0,56	0,56	1900	10,0								
		Y-	A1/25	0,56	0,56	1900	10,1								
85	89		A1/1	0,53	0,53	1900	10,1								
			A1/2	0,53	0,53	1900	10,1								
		X+	A1/9	0,53	0,53	1900	8,6								
		X-	A1/18	0,53	0,53	1900	8,5								
		Y+	A1/28	0,53	0,53	1900	8,5								
		Y-	A1/34	0,53	0,53	1900	8,5								
86	90		A1/1	0,53	0,53	1900	10,1								
			A1/2	0,53	0,53	1900	10,1								
		X+	A1/9	0,53	0,53	1900	8,6								
		X-	A1/18	0,53	0,53	1900	8,5								
		Y+	A1/28	0,53	0,53	1900	8,5								
		Y-	A1/34	0,53	0,53	1900	8,5								
87	91		A1/1	0,53	0,53	1900	10,1								
			A1/2	0,53	0,53	1900	10,1								
		X+	A1/9	0,53	0,53	1900	8,6								
		X-	A1/18	0,53	0,53	1900	8,5								
		Y+	A1/28	0,53	0,53	1900	8,5								
		Y-	A1/34	0,53	0,53	1900	8,5								
88	92		A1/1	0,53	0,53	1900	10,1								
			A1/2	0,53	0,53	1900	10,1								
		X+	A1/9	0,53	0,53	1900	8,6								
		X-	A1/18	0,53	0,53	1900	8,5								
		Y+	A1/28	0,53	0,53	1900	8,5								
		Y-	A1/34	0,53	0,53	1900	8,5								
89	93		A1/1	0,53	0,53	1900	10,1								
			A1/2	0,53	0,53	1900	10,1								
		X+	A1/9	0,53	0,53	1900	8,6								
		X-	A1/18	0,53	0,53	1900	8,5								
		Y+	A1/28	0,53	0,53	1900	8,5								
		Y-	A1/34	0,53	0,53	1900	8,5								
90	94		A1/1	0,53	0,53	1900	10,1								
			A1/2	0,53	0,53	1900	10,1								
		X+	A1/8	0,53	0,53	1900	8,6								
		X-	A1/15	0,53	0,53	1900	8,6								
		Y+	A1/29	0,53	0,53	1900	8,6								
		Y-	A1/31	0,53	0,53	1900	8,6								
91	95		A1/1	0,53	0,53	1900	10,1								
			A1/2	0,53	0,53	1900	10,1								
		X+	A1/8	0,53	0,53	1900	8,6								
		X-	A1/15	0,53	0,53	1900	8,6								

CARICO LIMITE PIASTRE WINKLER - S.L.U.

IDENTIIFICATIVO						DRENATE		NON DRENATE		RISULTATI					
Piastr N.ro	Nodo3d N.ro	Comb N.ro		Bx' m	By' m	GamEf kg/mc	QLimV (t)	GamEf kg/mc	QLimV (t)	N (t)	Coeff. Sicur.	Minimo CoeSic	N/Ar kg/cmq	QLim/Ar kg/cmq	Status Verifica
		Y+	A1/22	0,53	0,53	1900	8,6								
		Y-	A1/24	0,53	0,53	1900	8,6								
92	96		A1/1	0,53	0,53	1900	10,1								
			A1/2	0,53	0,53	1900	10,1								
		X+	A1/8	0,53	0,53	1900	8,6								
		X-	A1/15	0,53	0,53	1900	8,6								
		Y+	A1/22	0,53	0,53	1900	8,6								
		Y-	A1/24	0,53	0,53	1900	8,6								
93	97		A1/1	0,53	0,53	1900	10,1								
			A1/2	0,53	0,53	1900	10,1								
		X+	A1/6	0,53	0,53	1900	8,6								
		X-	A1/13	0,53	0,53	1900	8,5								
		Y+	A1/29	0,53	0,53	1900	8,5								
		Y-	A1/31	0,53	0,53	1900	8,5								
94	98		A1/1	0,53	0,53	1900	10,1								
			A1/2	0,53	0,53	1900	10,1								
		X+	A1/6	0,53	0,53	1900	8,6								
		X-	A1/13	0,53	0,53	1900	8,5								
		Y+	A1/29	0,53	0,53	1900	8,5								
		Y-	A1/31	0,53	0,53	1900	8,5								
95	99		A1/1	0,53	0,53	1900	10,1								
			A1/2	0,53	0,53	1900	10,1								
		X+	A1/6	0,53	0,53	1900	8,6								
		X-	A1/13	0,53	0,53	1900	8,5								
		Y+	A1/29	0,53	0,53	1900	8,5								
		Y-	A1/31	0,53	0,53	1900	8,5								
96	100		A1/1	0,53	0,53	1900	10,1								
			A1/2	0,53	0,53	1900	10,1								
		X+	A1/6	0,53	0,53	1900	8,6								
		X-	A1/13	0,53	0,53	1900	8,5								
		Y+	A1/29	0,53	0,53	1900	8,5								
		Y-	A1/31	0,53	0,53	1900	8,5								
97	101		A1/1	0,53	0,53	1900	10,1								
			A1/2	0,53	0,53	1900	10,1								
		X+	A1/6	0,53	0,53	1900	8,6								
		X-	A1/13	0,53	0,53	1900	8,5								
		Y+	A1/29	0,53	0,53	1900	8,5								
		Y-	A1/31	0,53	0,53	1900	8,5								
98	102		A1/1	0,53	0,53	1900	10,1								
			A1/2	0,53	0,53	1900	10,1								
		X+	A1/3	0,53	0,53	1900	8,6								
		X-	A1/12	0,53	0,53	1900	8,6								
		Y+	A1/28	0,53	0,53	1900	8,6								
		Y-	A1/34	0,53	0,53	1900	8,6								
99	103		A1/1	0,53	0,53	1900	10,1								
			A1/2	0,53	0,53	1900	10,1								
		X+	A1/8	0,53	0,53	1900	8,6								
		X-	A1/15	0,53	0,53	1900	8,7								
		Y+	A1/22	0,53	0,53	1900	8,6								
		Y-	A1/24	0,53	0,53	1900	8,6								
100	104		A1/1	0,53	0,53	1900	10,1								
			A1/2	0,53	0,53	1900	10,1								
		X+	A1/8	0,53	0,53	1900	8,6								
		X-	A1/15	0,53	0,53	1900	8,7								
		Y+	A1/22	0,53	0,53	1900	8,6								
		Y-	A1/24	0,53	0,53	1900	8,6								
101	105		A1/1	0,59	0,59	1900	12,5								
			A1/2	0,59	0,59	1900	12,5								
		X+	A1/8	0,59	0,59	1900	10,7								
		X-	A1/15	0,59	0,59	1900	10,9								
		Y+	A1/22	0,59	0,59	1900	10,7								
		Y-	A1/24	0,59	0,59	1900	10,7								
102	106		A1/1	0,53	0,53	1900	10,1								
			A1/2	0,53	0,53	1900	10,1								
		X+	A1/8	0,53	0,53	1900	8,6								
		X-	A1/15	0,53	0,53	1900	8,8								
		Y+	A1/22	0,53	0,53	1900	8,7								
		Y-	A1/24	0,53	0,53	1900	8,7								
103	107		A1/1	0,64	0,64	1900	14,7								
			A1/2	0,64	0,64	1900	14,7								
		X+	A1/8	0,64	0,64	1900	12,6								
		X-	A1/15	0,64	0,64	1900	12,9								
		Y+	A1/22	0,64	0,64	1900	12,7								
		Y-	A1/24	0,64	0,64	1900	12,7								
104	108		A1/1	0,53	0,53	1900	10,1								
			A1/2	0,53	0,53	1900	10,1								

CARICO LIMITE PIASTRE WINKLER - S.L.U.

IDENTIIFICATIVO						DRENATE		NON DRENATE		RISULTATI					
Piastr N.ro	Nodo3d N.ro	Comb N.ro		Bx' m	By' m	GamEf kg/mc	QLimV (t)	GamEf kg/mc	QLimV (t)	N (t)	Coeff. Sicur.	Minimo CoeSic	N/Ar kg/cmq	QLim/Ar kg/cmq	Status Verifica
		X+	A1/3	0,53	0,53	1900	8,6								
		X-	A1/12	0,53	0,53	1900	8,6								
		Y+	A1/19	0,53	0,53	1900	8,6								
		Y-	A1/25	0,53	0,53	1900	8,6								
105	109		A1/1	0,53	0,53	1900	10,1								
			A1/2	0,53	0,53	1900	10,1								
		X+	A1/3	0,53	0,53	1900	8,6								
		X-	A1/12	0,53	0,53	1900	8,6								
		Y+	A1/19	0,53	0,53	1900	8,6								
		Y-	A1/25	0,53	0,53	1900	8,6								
106	110		A1/1	0,53	0,53	1900	10,1								
			A1/2	0,53	0,53	1900	10,1								
		X+	A1/3	0,53	0,53	1900	8,6								
		X-	A1/12	0,53	0,53	1900	8,7								
		Y+	A1/19	0,53	0,53	1900	8,6								
		Y-	A1/25	0,53	0,53	1900	8,6								
107	111		A1/1	0,53	0,53	1900	10,1								
			A1/2	0,53	0,53	1900	10,1								
		X+	A1/3	0,53	0,53	1900	8,6								
		X-	A1/12	0,53	0,53	1900	8,7								
		Y+	A1/19	0,53	0,53	1900	8,6								
		Y-	A1/25	0,53	0,53	1900	8,6								
108	112		A1/1	0,53	0,53	1900	10,1								
			A1/2	0,53	0,53	1900	10,1								
		X+	A1/3	0,53	0,53	1900	8,6								
		X-	A1/12	0,53	0,53	1900	8,8								
		Y+	A1/19	0,53	0,53	1900	8,7								
		Y-	A1/25	0,53	0,53	1900	8,7								
109	113		A1/1	0,59	0,59	1900	12,5								
			A1/2	0,59	0,59	1900	12,5								
		X+	A1/3	0,59	0,59	1900	10,7								
		X-	A1/12	0,59	0,59	1900	10,9								
		Y+	A1/19	0,59	0,59	1900	10,7								
		Y-	A1/25	0,59	0,59	1900	10,7								
110	114		A1/1	0,72	0,72	1900	18,3								
			A1/2	0,72	0,72	1900	18,3								
		X+	A1/3	0,72	0,72	1900	15,7								
		X-	A1/12	0,72	0,72	1900	16,0								
		Y+	A1/19	0,72	0,72	1900	15,7								
		Y-	A1/25	0,72	0,72	1900	15,8								
111	115		A1/1	0,50	0,50	1900	9,3								
			A1/2	0,50	0,50	1900	9,3								
		X+	A1/9	0,50	0,50	1900	7,9								
		X-	A1/18	0,50	0,50	1900	7,7								
		Y+	A1/28	0,50	0,50	1900	7,7								
		Y-	A1/34	0,50	0,50	1900	7,7								
112	116		A1/1	0,46	0,46	1900	7,8								
			A1/2	0,46	0,46	1900	7,8								
		X+	A1/9	0,46	0,46	1900	6,7								
		X-	A1/18	0,46	0,46	1900	6,5								
		Y+	A1/28	0,46	0,46	1900	6,5								
		Y-	A1/34	0,46	0,46	1900	6,5								
113	117		A1/1	0,46	0,46	1900	7,8								
			A1/2	0,46	0,46	1900	7,8								
		X+	A1/6	0,46	0,46	1900	6,7								
		X-	A1/13	0,46	0,46	1900	6,5								
		Y+	A1/29	0,46	0,46	1900	6,5								
		Y-	A1/31	0,46	0,46	1900	6,5								
114	118		A1/1	0,50	0,50	1900	9,3								
			A1/2	0,50	0,50	1900	9,3								
		X+	A1/6	0,50	0,50	1900	7,9								
		X-	A1/13	0,50	0,50	1900	7,7								
		Y+	A1/29	0,50	0,50	1900	7,7								
		Y-	A1/31	0,50	0,50	1900	7,7								

VERIFICA ALLO SCORRIMENTO - CONDIZIONI DRENATE

IDENTIFICATIVO			RISULTATI									
Combinazione N.ro	Tipo Elem.	Elem N.ro	N (t)	Tg(fi)/ Gfi/Gr	C/Gc/Gr t/mq	Area mq	Vres (t)	Fh (t)	Verifica Locale	S(Vres) (t)	S(Fh) (t)	Verifica Globale
A1 / 22	PIASTRA	1	2,07	0,227	1,36	0,714	1,44	0,42	OK	1,44	0,42	
	PIASTRA	2	1,72	0,227	1,36	0,742	1,40	0,35	OK	2,84	0,78	
	PIASTRA	5	1,64	0,227	1,36	0,700	1,33	0,34	OK	4,17	1,11	
	PIASTRA	6	1,96	0,227	1,36	0,672	1,36	0,40	OK	5,53	1,51	
	PIASTRA	9	0,61	0,227	1,36	0,211	0,43	0,13	OK	5,96	1,64	
	PIASTRA	10	0,67	0,227	1,36	0,338	0,61	0,14	OK	6,57	1,77	
	PIASTRA	11	0,38	0,227	1,36	0,192	0,35	0,08	OK	6,92	1,85	
	PIASTRA	12	0,62	0,227	1,36	0,211	0,43	0,13	OK	7,35	1,98	
	PIASTRA	13	2,63	0,227	1,36	0,924	1,86	0,54	OK	9,20	2,52	
	PIASTRA	14	2,57	0,227	1,36	0,924	1,84	0,53	OK	11,05	3,04	

VERIFICA ALLO SCORRIMENTO - CONDIZIONI DRENATE												
IDENTIFICATIVO			RISULTATI									
Combinazione N.ro	Tipo Elem.	Elem N.ro	N (t)	Tg(fi)/ Gfi/Gr	C/Gc/Gr t/mq	Area mq	Vres (t)	Fh (t)	Verifica Locale	S(Vres) (t)	S(Fh) (t)	Verifica Globale
	PIASTRA	15	2,50	0,227	1,36	0,924	1,83	0,51	OK	12,87	3,55	
	PIASTRA	16	2,41	0,227	1,36	0,924	1,81	0,49	OK	14,68	4,05	
	PIASTRA	17	2,30	0,227	1,36	0,924	1,78	0,47	OK	16,46	4,52	
	PIASTRA	18	2,31	0,227	1,36	0,924	1,78	0,47	OK	18,24	4,99	
	PIASTRA	19	2,42	0,227	1,36	0,924	1,81	0,50	OK	20,05	5,48	
	PIASTRA	20	2,51	0,227	1,36	0,924	1,83	0,51	OK	21,88	6,00	
	PIASTRA	21	2,59	0,227	1,36	0,924	1,85	0,53	OK	23,73	6,53	
	PIASTRA	22	2,65	0,227	1,36	0,924	1,86	0,54	OK	25,59	7,07	
	PIASTRA	23	1,06	0,227	1,36	0,458	0,87	0,22	OK	26,46	7,29	
	PIASTRA	24	1,35	0,227	1,36	0,583	1,10	0,28	OK	27,56	7,56	
	PIASTRA	25	0,97	0,227	1,36	0,417	0,79	0,20	OK	28,34	7,76	
	PIASTRA	26	1,33	0,227	1,36	0,458	0,93	0,27	OK	29,27	8,03	
	PIASTRA	27	1,69	0,227	1,36	0,583	1,18	0,34	OK	30,45	8,38	
	PIASTRA	28	1,44	0,227	1,36	0,500	1,01	0,30	OK	31,46	8,67	
	PIASTRA	29	2,18	0,227	1,36	0,771	1,54	0,44	OK	33,00	9,12	
	PIASTRA	30	2,14	0,227	1,36	0,771	1,54	0,44	OK	34,54	9,55	
	PIASTRA	31	2,71	0,227	1,36	1,000	1,98	0,55	OK	36,52	10,11	
	PIASTRA	32	2,77	0,227	1,36	1,000	1,99	0,57	OK	38,51	10,67	
	PIASTRA	33	2,71	0,227	1,36	1,000	1,98	0,55	OK	40,49	11,23	
	PIASTRA	34	2,78	0,227	1,36	1,000	1,99	0,57	OK	42,48	11,80	
	PIASTRA	35	2,11	0,227	1,36	0,771	1,53	0,43	OK	44,01	12,23	
	PIASTRA	36	2,66	0,227	1,36	1,000	1,97	0,54	OK	45,98	12,77	
	PIASTRA	37	2,14	0,227	1,36	0,750	1,51	0,44	OK	47,48	13,21	
	PIASTRA	38	1,61	0,227	1,36	0,563	1,13	0,33	OK	48,62	13,54	
	PIASTRA	39	2,14	0,227	1,36	0,750	1,51	0,44	OK	50,12	13,98	
	PIASTRA	40	2,61	0,227	1,36	1,000	1,96	0,53	OK	52,08	14,51	
	PIASTRA	41	2,08	0,227	1,36	0,771	1,52	0,43	OK	53,60	14,94	
	PIASTRA	42	2,05	0,227	1,36	0,771	1,52	0,42	OK	55,12	15,36	
	PIASTRA	43	2,57	0,227	1,36	1,000	1,95	0,53	OK	57,07	15,88	
	PIASTRA	44	2,62	0,227	1,36	1,000	1,96	0,54	OK	59,02	16,42	
	PIASTRA	45	2,66	0,227	1,36	1,000	1,97	0,54	OK	60,99	16,96	
	PIASTRA	46	2,02	0,227	1,36	0,771	1,51	0,41	OK	62,50	17,38	
	PIASTRA	47	2,53	0,227	1,36	1,000	1,94	0,52	OK	64,44	17,89	
	PIASTRA	48	2,54	0,227	1,36	1,000	1,94	0,52	OK	66,38	18,41	
	PIASTRA	49	2,58	0,227	1,36	1,000	1,95	0,53	OK	68,32	18,94	
	PIASTRA	50	1,99	0,227	1,36	0,771	1,50	0,41	OK	69,82	19,35	
	PIASTRA	51	2,49	0,227	1,36	1,000	1,93	0,51	OK	71,75	19,86	
	PIASTRA	52	2,19	0,227	1,36	0,771	1,55	0,45	OK	73,30	20,30	
	PIASTRA	53	1,87	0,227	1,36	0,646	1,30	0,38	OK	74,60	20,69	
	PIASTRA	54	2,16	0,227	1,36	0,771	1,54	0,44	OK	76,14	21,13	
	PIASTRA	55	2,12	0,227	1,36	0,771	1,53	0,43	OK	77,68	21,56	
	PIASTRA	56	2,09	0,227	1,36	0,771	1,53	0,43	OK	79,20	21,99	
	PIASTRA	57	2,06	0,227	1,36	0,771	1,52	0,42	OK	80,72	22,41	
	PIASTRA	58	2,03	0,227	1,36	0,771	1,51	0,41	OK	82,23	22,83	
	PIASTRA	59	2,50	0,227	1,36	1,000	1,93	0,51	OK	84,16	23,34	
	PIASTRA	60	1,99	0,227	1,36	0,771	1,50	0,41	OK	85,66	23,74	
	PIASTRA	61	2,46	0,227	1,36	1,000	1,92	0,50	OK	87,59	24,25	
	PIASTRA	62	1,95	0,227	1,36	0,771	1,49	0,40	OK	89,08	24,65	
	PIASTRA	63	1,91	0,227	1,36	0,771	1,48	0,39	OK	90,56	25,04	
	PIASTRA	64	2,42	0,227	1,36	1,000	1,91	0,50	OK	92,48	25,53	
	PIASTRA	65	2,46	0,227	1,36	1,000	1,92	0,50	OK	94,40	26,03	
	PIASTRA	66	1,87	0,227	1,36	0,771	1,47	0,38	OK	95,87	26,42	
	PIASTRA	67	2,39	0,227	1,36	1,000	1,91	0,49	OK	97,78	26,91	
	PIASTRA	68	2,40	0,227	1,36	1,000	1,91	0,49	OK	99,68	27,40	
	PIASTRA	69	2,43	0,227	1,36	1,000	1,91	0,50	OK	101,60	27,89	
	PIASTRA	70	1,53	0,227	1,36	0,646	1,23	0,31	OK	102,82	28,20	
	PIASTRA	71	1,66	0,227	1,36	0,708	1,34	0,34	OK	104,17	28,54	
	PIASTRA	72	1,47	0,227	1,36	0,713	1,30	0,30	OK	105,47	28,84	
	PIASTRA	73	0,41	0,227	1,36	0,208	0,38	0,08	OK	105,85	28,93	
	PIASTRA	74	0,49	0,227	1,36	0,250	0,45	0,10	OK	106,30	29,03	
	PIASTRA	75	1,54	0,227	1,36	0,750	1,37	0,32	OK	107,67	29,34	
	PIASTRA	76	0,49	0,227	1,36	0,250	0,45	0,10	OK	108,12	29,44	
	PIASTRA	77	1,55	0,227	1,36	0,750	1,37	0,32	OK	109,50	29,76	
	PIASTRA	78	1,68	0,227	1,36	0,750	1,40	0,34	OK	110,90	30,10	
	PIASTRA	79	1,76	0,227	1,36	0,786	1,47	0,36	OK	112,37	30,46	
	PIASTRA	80	1,68	0,227	1,36	0,750	1,40	0,34	OK	113,78	30,81	
	PIASTRA	81	1,67	0,227	1,36	0,708	1,34	0,34	OK	115,12	31,15	
	PIASTRA	82	1,96	0,227	1,36	0,771	1,49	0,40	OK	116,61	31,55	
	PIASTRA	83	1,92	0,227	1,36	0,771	1,49	0,39	OK	118,10	31,94	
	PIASTRA	84	1,88	0,227	1,36	0,771	1,48	0,38	OK	119,58	32,32	
	PIASTRA	85	1,53	0,227	1,36	0,646	1,23	0,31	OK	120,81	32,64	
	PIASTRA	86	1,52	0,227	1,36	0,734	1,35	0,31	OK	122,15	32,95	
	PIASTRA	87	1,77	0,227	1,36	0,781	1,47	0,36	OK	123,62	33,31	
	PIASTRA	88	0,63	0,227	1,36	0,317	0,57	0,13	OK	124,19	33,44	
	PIASTRA	89	0,78	0,227	1,36	0,276	0,55	0,16	OK	124,75	33,60	
	PIASTRA	90	0,79	0,227	1,36	0,276	0,56	0,16	OK	125,30	33,76	
	PIASTRA	91	0,80	0,227	1,36	0,276	0,56	0,16	OK	125,86	33,93	
	PIASTRA	92	0,80	0,227	1,36	0,276	0,56	0,16	OK	126,42	34,09	
	PIASTRA	93	0,77	0,227	1,36	0,276	0,55	0,16	OK	126,97	34,25	
	PIASTRA	94	0,76	0,227	1,36	0,276	0,55	0,16	OK	127,52	34,40	
	PIASTRA	95	0,73	0,227	1,36	0,276	0,54	0,15	OK	128,06	34,55	
	PIASTRA	96	0,75	0,227	1,36	0,276	0,55	0,15	OK	128,61	34,71	
	PIASTRA	97	0,81	0,227	1,36	0,276	0,56	0,16	OK	129,17	34,87	
	PIASTRA	98	0,81	0,227	1,36	0,276	0,56	0,16	OK	129,72	35,04	
	PIASTRA	99	0,80	0,227	1,36	0,276	0,56	0,16	OK	130,28	35,20	
	PIASTRA	100	0,79	0,227	1,36	0,276	0,56	0,16	OK	130,84	35,36	
	PIASTRA	101	0,78	0,227	1,36	0,276	0,55	0,16	OK	131,39	35,52	
	PIASTRA	102	0,77	0,227	1,36	0,276	0,55	0,16	OK	131,94	35,68	
	PIASTRA	103	0,72	0,227	1,36	0,276	0,54	0,15	OK	132,48	35,82	
	PIASTRA	104	0,70	0,227	1,36	0,276	0,53	0,14	OK	133,01	35,97	
	PIASTRA	105	0,80	0,227	1,36	0,346	0,65	0,16	OK	133,67	36,13	
	PIASTRA	106	0,67	0,227	1,36	0,276	0,53	0,14	OK	134,20	36,27	
	PIASTRA	107	0,89	0,227	1,36	0,411	0,76	0,18	OK	134,96	36,45	
	PIASTRA	108	0,76	0,227	1,36	0,276	0,55	0,15	OK	135,51	36,61	
	PIASTRA	109	0,74	0,227	1,36	0,276	0,54	0,15	OK	136,05	36,76	
	PIASTRA	110	0,72	0,227	1,36	0,276	0,54	0,15	OK	136,59	36,90	
	PIASTRA	111	0,70	0,227	1,36	0,276	0,54	0,14	OK	137,13	37,05	
	PIASTRA	112	0,68	0,227	1,36	0,276	0,53	0,14	OK	137,66	37,19	
	PIASTRA	113	0,81	0,227	1,36	0,346	0,66	0,17	OK	138,31	37,35	
	PIASTRA	114	1,13	0,227	1,36	0,515	0,96	0,23	OK	139,27	37,58	

VERIFICA ALLO SCORRIMENTO - CONDIZIONI DRENATE												
IDENTIFICATIVO			RISULTATI									
Combinazione N.ro	Tipo Elem.	Elem N.ro	N (t)	Tg(fi)/ Gfi/Gr	C/Gc/Gr t/mq	Area mq	Vres (t)	Fh (t)	Verifica Locale	S(Vres) (t)	S(Fh) (t)	Verifica Globale
	PIASTRA	115	0,73	0,227	1,36	0,250	0,51	0,15	OK	139,78	37,73	
	PIASTRA	116	0,61	0,227	1,36	0,208	0,42	0,12	OK	140,20	37,86	
	PIASTRA	117	0,61	0,227	1,36	0,208	0,42	0,12	OK	140,62	37,98	
	PIASTRA	118	0,73	0,227	1,36	0,250	0,51	0,15	OK	141,13	38,13	OK

PORTANZA GLOBALE PIASTRE - MOLTIPLICATORI DI COLLASSO - SLU

	DRENATE				NON DRENATE				RISULTATI	
Comb N.ro	Risult (t)	Resist (t)	Moltipl. Collasso	%Pl. Moll	Risult (t)	Resist (t)	Moltipl. Collasso	%Pl. Moll	Moltipl. Minimo	STATUS (m)
A1 / 1	264	264	1,000	0					1,000	OK
A1 / 2	266	266	1,000	0						OK
A1 / 3	186	186	1,000	0						OK
A1 / 4	186	186	1,000	0						OK
A1 / 5	186	186	1,000	0						OK
A1 / 6	186	186	1,000	0						OK
A1 / 7	186	186	1,000	0						OK
A1 / 8	186	186	1,000	0						OK
A1 / 9	186	186	1,000	0						OK
A1 / 10	186	186	1,000	0						OK
A1 / 11	186	186	1,000	0						OK
A1 / 12	186	186	1,000	0						OK
A1 / 13	186	186	1,000	0						OK
A1 / 14	186	186	1,000	0						OK
A1 / 15	186	186	1,000	0						OK
A1 / 16	186	186	1,000	0						OK
A1 / 17	186	186	1,000	0						OK
A1 / 18	186	186	1,000	0						OK
A1 / 19	186	186	1,000	0						OK
A1 / 20	186	186	1,000	0						OK
A1 / 21	186	186	1,000	0						OK
A1 / 22	186	186	1,000	0						OK
A1 / 23	186	186	1,000	0						OK
A1 / 24	186	186	1,000	0						OK
A1 / 25	186	186	1,000	0						OK
A1 / 26	186	186	1,000	0						OK
A1 / 27	186	186	1,000	0						OK
A1 / 28	186	186	1,000	0						OK
A1 / 29	186	186	1,000	0						OK
A1 / 30	186	186	1,000	0						OK
A1 / 31	186	186	1,000	0						OK
A1 / 32	186	186	1,000	0						OK
A1 / 33	186	186	1,000	0						OK
A1 / 34	186	186	1,000	0						OK

PORTANZA GLOBALE PIASTRE - ABBASSAMENTI COMBINAZ.: A1/1

	DRENATE		NON DRENATE			DRENATE		NON DRENATE			DRENATE		NON DRENATE	
Nodo3d N.ro	SpostZ (cm)	SpostZ/ SpostEl	SpostZ (cm)	SpostZ/ SpostEl	Nodo3d N.ro	SpostZ (cm)	SpostZ/ SpostEl	SpostZ (cm)	SpostZ/ SpostEl	Nodo3d N.ro	SpostZ (cm)	SpostZ/ SpostEl	SpostZ (cm)	SpostZ/ SpostEl
1	-0,426	ELAST.			2	-0,310	ELAST.			5	-0,311	ELAST.		
6	-0,426	ELAST.			9	-0,431	ELAST.			10	-0,279	ELAST.		
11	-0,280	ELAST.			12	-0,431	ELAST.			13	-0,410	ELAST.		
14	-0,393	ELAST.			15	-0,377	ELAST.			16	-0,359	ELAST.		
17	-0,337	ELAST.			18	-0,337	ELAST.			19	-0,359	ELAST.		
20	-0,377	ELAST.			21	-0,393	ELAST.			22	-0,410	ELAST.		
23	-0,310	ELAST.			24	-0,309	ELAST.			25	-0,310	ELAST.		
26	-0,426	ELAST.			27	-0,426	ELAST.			28	-0,426	ELAST.		
29	-0,413	ELAST.			30	-0,405	ELAST.			31	-0,404	ELAST.		
32	-0,413	ELAST.			33	-0,404	ELAST.			34	-0,413	ELAST.		
35	-0,397	ELAST.			36	-0,396	ELAST.			37	-0,421	ELAST.		
38	-0,422	ELAST.			39	-0,421	ELAST.			40	-0,388	ELAST.		
41	-0,389	ELAST.			42	-0,380	ELAST.			43	-0,379	ELAST.		
44	-0,388	ELAST.			45	-0,396	ELAST.			46	-0,372	ELAST.		
47	-0,371	ELAST.			48	-0,371	ELAST.			49	-0,379	ELAST.		
50	-0,363	ELAST.			51	-0,362	ELAST.			52	-0,414	ELAST.		
53	-0,422	ELAST.			54	-0,405	ELAST.			55	-0,397	ELAST.		
56	-0,389	ELAST.			57	-0,380	ELAST.			58	-0,372	ELAST.		
59	-0,362	ELAST.			60	-0,363	ELAST.			61	-0,352	ELAST.		
62	-0,353	ELAST.			63	-0,342	ELAST.			64	-0,342	ELAST.		
65	-0,352	ELAST.			66	-0,330	ELAST.			67	-0,330	ELAST.		
68	-0,330	ELAST.			69	-0,342	ELAST.			70	-0,317	ELAST.		
71	-0,317	ELAST.			72	-0,286	ELAST.			73	-0,278	ELAST.		
74	-0,278	ELAST.			75	-0,286	ELAST.			76	-0,278	ELAST.		
77	-0,286	ELAST.			78	-0,302	ELAST.			79	-0,302	ELAST.		
80	-0,302	ELAST.			81	-0,317	ELAST.			82	-0,353	ELAST.		
83	-0,343	ELAST.			84	-0,331	ELAST.			85	-0,317	ELAST.		
86	-0,287	ELAST.			87	-0,303	ELAST.			88	-0,279	ELAST.		
89	-0,397	ELAST.			90	-0,405	ELAST.			91	-0,422	ELAST.		
92	-0,414	ELAST.			93	-0,389	ELAST.			94	-0,380	ELAST.		
95	-0,362	ELAST.			96	-0,371	ELAST.			97	-0,414	ELAST.		

PORTANZA GLOBALE PIASTRE - ABBASSAMENTI COMBINAZ.: A1/1														
	DRENATE		NON DRENATE			DRENATE		NON DRENATE			DRENATE		NON DRENATE	
Nodo3d N.ro	SpostZ (cm)	SpostZ/ SpostEl	SpostZ (cm)	SpostZ/ SpostEl	Nodo3d N.ro	SpostZ (cm)	SpostZ/ SpostEl	SpostZ (cm)	SpostZ/ SpostEl	Nodo3d N.ro	SpostZ (cm)	SpostZ/ SpostEl	SpostZ (cm)	SpostZ/ SpostEl
98	-0,422	ELAST.			99	-0,405	ELAST.			100	-0,397	ELAST.		
101	-0,389	ELAST.			102	-0,380	ELAST.			103	-0,351	ELAST.		
104	-0,340	ELAST.			105	-0,312	ELAST.			106	-0,327	ELAST.		
107	-0,296	ELAST.			108	-0,371	ELAST.			109	-0,362	ELAST.		
110	-0,352	ELAST.			111	-0,340	ELAST.			112	-0,327	ELAST.		
113	-0,312	ELAST.			114	-0,296	ELAST.			115	-0,430	ELAST.		
116	-0,430	ELAST.			117	-0,430	ELAST.			118	-0,430	ELAST.		

PORTANZA GLOBALE PIASTRE - MOLTIPLICATORI DI COLLASSO - SLD										
	DRENATE				NON DRENATE				RISULTATI	
Comb N.ro	Risult (t)	Resist (t)	Moltipl. Collasso	%Pl. Moll	Risult (t)	Resist (t)	Moltipl. Collasso	%Pl. Moll	Moltipl. Minimo	STATUS (m)
A1 / 1	264	264	1,000	0					1,000	OK
A1 / 2	266	266	1,000	0						OK
A1 / 3	186	186	1,000	0						OK
A1 / 4	186	186	1,000	0						OK
A1 / 5	186	186	1,000	0						OK
A1 / 6	186	186	1,000	0						OK
A1 / 7	186	186	1,000	0						OK
A1 / 8	186	186	1,000	0						OK
A1 / 9	186	186	1,000	0						OK
A1 / 10	186	186	1,000	0						OK
A1 / 11	186	186	1,000	0						OK
A1 / 12	186	186	1,000	0						OK
A1 / 13	186	186	1,000	0						OK
A1 / 14	186	186	1,000	0						OK
A1 / 15	186	186	1,000	0						OK
A1 / 16	186	186	1,000	0						OK
A1 / 17	186	186	1,000	0						OK
A1 / 18	186	186	1,000	0						OK
A1 / 19	186	186	1,000	0						OK
A1 / 20	186	186	1,000	0						OK
A1 / 21	186	186	1,000	0						OK
A1 / 22	186	186	1,000	0						OK
A1 / 23	186	186	1,000	0						OK
A1 / 24	186	186	1,000	0						OK
A1 / 25	186	186	1,000	0						OK
A1 / 26	186	186	1,000	0						OK
A1 / 27	186	186	1,000	0						OK
A1 / 28	186	186	1,000	0						OK
A1 / 29	186	186	1,000	0						OK
A1 / 30	186	186	1,000	0						OK
A1 / 31	186	186	1,000	0						OK
A1 / 32	186	186	1,000	0						OK
A1 / 33	186	186	1,000	0						OK
A1 / 34	186	186	1,000	0						OK

PORTANZA GLOBALE PIASTRE - ABBASSAMENTI COMBINAZ.: SLD/1														
	DRENATE		NON DRENATE			DRENATE		NON DRENATE			DRENATE		NON DRENATE	
Nodo3d N.ro	SpostZ (cm)	SpostZ/ SpostEl	SpostZ (cm)	SpostZ/ SpostEl	Nodo3d N.ro	SpostZ (cm)	SpostZ/ SpostEl	SpostZ (cm)	SpostZ/ SpostEl	Nodo3d N.ro	SpostZ (cm)	SpostZ/ SpostEl	SpostZ (cm)	SpostZ/ SpostEl
1	-0,426	ELAST.			2	-0,310	ELAST.			5	-0,311	ELAST.		
6	-0,426	ELAST.			9	-0,431	ELAST.			10	-0,279	ELAST.		
11	-0,280	ELAST.			12	-0,431	ELAST.			13	-0,410	ELAST.		
14	-0,393	ELAST.			15	-0,377	ELAST.			16	-0,359	ELAST.		
17	-0,337	ELAST.			18	-0,337	ELAST.			19	-0,359	ELAST.		
20	-0,377	ELAST.			21	-0,393	ELAST.			22	-0,410	ELAST.		
23	-0,310	ELAST.			24	-0,309	ELAST.			25	-0,310	ELAST.		
26	-0,426	ELAST.			27	-0,426	ELAST.			28	-0,426	ELAST.		
29	-0,413	ELAST.			30	-0,405	ELAST.			31	-0,404	ELAST.		
32	-0,413	ELAST.			33	-0,404	ELAST.			34	-0,413	ELAST.		
35	-0,397	ELAST.			36	-0,396	ELAST.			37	-0,421	ELAST.		
38	-0,422	ELAST.			39	-0,421	ELAST.			40	-0,388	ELAST.		
41	-0,389	ELAST.			42	-0,380	ELAST.			43	-0,379	ELAST.		
44	-0,388	ELAST.			45	-0,396	ELAST.			46	-0,372	ELAST.		
47	-0,371	ELAST.			48	-0,371	ELAST.			49	-0,379	ELAST.		
50	-0,363	ELAST.			51	-0,362	ELAST.			52	-0,414	ELAST.		
53	-0,422	ELAST.			54	-0,405	ELAST.			55	-0,397	ELAST.		
56	-0,389	ELAST.			57	-0,380	ELAST.			58	-0,372	ELAST.		
59	-0,362	ELAST.			60	-0,363	ELAST.			61	-0,352	ELAST.		
62	-0,353	ELAST.			63	-0,342	ELAST.			64	-0,342	ELAST.		
65	-0,352	ELAST.			66	-0,330	ELAST.			67	-0,330	ELAST.		
68	-0,330	ELAST.			69	-0,342	ELAST.			70	-0,317	ELAST.		
71	-0,317	ELAST.			72	-0,286	ELAST.			73	-0,278	ELAST.		
74	-0,278	ELAST.			75	-0,286	ELAST.			76	-0,278	ELAST.		
77	-0,286	ELAST.			78	-0,302	ELAST.			79	-0,302	ELAST.		
80	-0,302	ELAST.			81	-0,317	ELAST.			82	-0,353	ELAST.		
83	-0,343	ELAST.			84	-0,331	ELAST.			85	-0,317	ELAST.		

PORTANZA GLOBALE PIASTRE - ABBASSAMENTI COMBINAZ.: SLD/1

	DRENATE		NON DRENATE			DRENATE		NON DRENATE			DRENATE		NON DRENATE	
Nodo3d N.ro	SpostZ (cm)	SpostZ/ SpostEl	SpostZ (cm)	SpostZ/ SpostEl	Nodo3d N.ro	SpostZ (cm)	SpostZ/ SpostEl	SpostZ (cm)	SpostZ/ SpostEl	Nodo3d N.ro	SpostZ (cm)	SpostZ/ SpostEl	SpostZ (cm)	SpostZ/ SpostEl
86	-0,287	ELAST.			87	-0,303	ELAST.			88	-0,279	ELAST.		
89	-0,397	ELAST.			90	-0,405	ELAST.			91	-0,422	ELAST.		
92	-0,414	ELAST.			93	-0,389	ELAST.			94	-0,380	ELAST.		
95	-0,362	ELAST.			96	-0,371	ELAST.			97	-0,414	ELAST.		
98	-0,422	ELAST.			99	-0,405	ELAST.			100	-0,397	ELAST.		
101	-0,389	ELAST.			102	-0,380	ELAST.			103	-0,351	ELAST.		
104	-0,340	ELAST.			105	-0,312	ELAST.			106	-0,327	ELAST.		
107	-0,296	ELAST.			108	-0,371	ELAST.			109	-0,362	ELAST.		
110	-0,352	ELAST.			111	-0,340	ELAST.			112	-0,327	ELAST.		
113	-0,312	ELAST.			114	-0,296	ELAST.			115	-0,430	ELAST.		
116	-0,430	ELAST.			117	-0,430	ELAST.			118	-0,430	ELAST.		

CEDIMENTI ELASTICI ED EDOMETRICI

Filo N.ro	Combinaz N.ro	Ced.El. cm	Ced.Ed. cm	Filo N.ro	Combinaz N.ro	Ced.El. cm	Ced.Ed. cm	Filo N.ro	Combinaz N.ro	Ced.El. cm	Ced.Ed. cm	Filo N.ro	Combinaz N.ro	Ced.El. cm	Ced.Ed. cm
1	Rare 1	1,21	0,97	2	Rare 1	0,90	0,72	3	Rare 1	0,84	0,67	4	Rare 1	1,20	0,96
	Rare 2	1,21	0,97		Rare 2	0,91	0,73		Rare 2	0,84	0,67		Rare 2	1,21	0,96
	Freq 1	1,18	0,94		Freq 1	0,89	0,71		Freq 1	0,82	0,66		Freq 1	1,17	0,94
	Freq 2	1,17	0,93		Freq 2	0,88	0,70		Freq 2	0,81	0,65		Freq 2	1,16	0,93
	Perm 1	1,16	0,93		Perm 1	0,87	0,70		Perm 1	0,81	0,65		Perm 1	1,15	0,92
	MAX.	1,21	0,97		MAX.	0,91	0,73		MAX.	0,84	0,67		MAX.	1,21	0,96
5	Rare 1	1,73	1,38	6	Rare 1	1,62	1,29	7	Rare 1	1,61	1,29	8	Rare 1	1,73	1,38
	Rare 2	1,74	1,39		Rare 2	1,62	1,30		Rare 2	1,61	1,29		Rare 2	1,74	1,39
	Freq 1	1,69	1,35		Freq 1	1,58	1,26		Freq 1	1,57	1,26		Freq 1	1,69	1,35
	Freq 2	1,67	1,33		Freq 2	1,57	1,25		Freq 2	1,56	1,25		Freq 2	1,67	1,33
	Perm 1	1,66	1,33		Perm 1	1,56	1,25		Perm 1	1,55	1,24		Perm 1	1,66	1,33
	MAX.	1,74	1,39		MAX.	1,62	1,30		MAX.	1,61	1,29		MAX.	1,74	1,39
9	Rare 1	2,02	1,62	10	Rare 1	2,04	1,63	11	Rare 1	2,00	1,60	12	Rare 1	1,92	1,54
	Rare 2	2,04	1,63		Rare 2	2,05	1,64		Rare 2	2,01	1,61		Rare 2	1,93	1,54
	Freq 1	1,98	1,58		Freq 1	1,99	1,59		Freq 1	1,95	1,56		Freq 1	1,88	1,50
	Freq 2	1,95	1,56		Freq 2	1,97	1,57		Freq 2	1,93	1,54		Freq 2	1,86	1,49
	Perm 1	1,94	1,56		Perm 1	1,96	1,57		Perm 1	1,92	1,54		Perm 1	1,85	1,48
	MAX.	2,04	1,63		MAX.	2,05	1,64		MAX.	2,01	1,61		MAX.	1,93	1,54
13	Rare 1	1,81	1,45	14	Rare 1	1,81	1,44	15	Rare 1	1,92	1,54	16	Rare 1	2,00	1,60
	Rare 2	1,81	1,45		Rare 2	1,81	1,45		Rare 2	1,93	1,54		Rare 2	2,01	1,61
	Freq 1	1,77	1,41		Freq 1	1,77	1,41		Freq 1	1,88	1,50		Freq 1	1,95	1,56
	Freq 2	1,75	1,40		Freq 2	1,75	1,40		Freq 2	1,86	1,49		Freq 2	1,93	1,54
	Perm 1	1,74	1,39		Perm 1	1,74	1,39		Perm 1	1,85	1,48		Perm 1	1,92	1,54
	MAX.	1,81	1,45		MAX.	1,81	1,45		MAX.	1,93	1,54		MAX.	2,01	1,61
17	Rare 1	2,04	1,63	18	Rare 1	2,03	1,62	19	Rare 1	1,73	1,38	20	Rare 1	1,77	1,41
	Rare 2	2,05	1,64		Rare 2	2,04	1,63		Rare 2	1,74	1,39		Rare 2	1,78	1,42
	Freq 1	1,99	1,59		Freq 1	1,98	1,58		Freq 1	1,69	1,35		Freq 1	1,73	1,38
	Freq 2	1,97	1,57		Freq 2	1,96	1,56		Freq 2	1,68	1,34		Freq 2	1,71	1,37
	Perm 1	1,96	1,57		Perm 1	1,94	1,56		Perm 1	1,67	1,34		Perm 1	1,71	1,36
	MAX.	2,05	1,64		MAX.	2,04	1,63		MAX.	1,74	1,39		MAX.	1,78	1,42
21	Rare 1	1,70	1,36	22	Rare 1	1,84	1,47	23	Rare 1	1,89	1,52	24	Rare 1	1,84	1,47
	Rare 2	1,71	1,37		Rare 2	1,85	1,48		Rare 2	1,90	1,52		Rare 2	1,85	1,48
	Freq 1	1,66	1,33		Freq 1	1,79	1,43		Freq 1	1,85	1,48		Freq 1	1,80	1,44
	Freq 2	1,65	1,32		Freq 2	1,77	1,42		Freq 2	1,83	1,46		Freq 2	1,78	1,42
	Perm 1	1,64	1,31		Perm 1	1,76	1,41		Perm 1	1,82	1,45		Perm 1	1,77	1,41
	MAX.	1,71	1,37		MAX.	1,85	1,48		MAX.	1,90	1,52		MAX.	1,85	1,48
25	Rare 1	2,00	1,60	26	Rare 1	2,04	1,63	27	Rare 1	2,07	1,65	28	Rare 1	2,03	1,62
	Rare 2	2,01	1,61		Rare 2	2,05	1,64		Rare 2	2,08	1,66		Rare 2	2,04	1,63
	Freq 1	1,95	1,56		Freq 1	1,99	1,60		Freq 1	2,02	1,61		Freq 1	1,98	1,58
	Freq 2	1,93	1,54		Freq 2	1,97	1,58		Freq 2	2,00	1,60		Freq 2	1,96	1,57
	Perm 1	1,92	1,53		Perm 1	1,96	1,57		Perm 1	1,99	1,59		Perm 1	1,95	1,56
	MAX.	2,01	1,61		MAX.	2,05	1,64		MAX.	2,08	1,66		MAX.	2,04	1,63
29	Rare 1	2,07	1,65	30	Rare 1	2,03	1,62	31	Rare 1	2,04	1,63	32	Rare 1	2,07	1,65
	Rare 2	2,08	1,66		Rare 2	2,04	1,63		Rare 2	2,05	1,64		Rare 2	2,08	1,66
	Freq 1	2,02	1,61		Freq 1	1,98	1,58		Freq 1	1,99	1,60		Freq 1	2,02	1,62
	Freq 2	2,00	1,60		Freq 2	1,96	1,57		Freq 2	1,97	1,58		Freq 2	2,00	1,60
	Perm 1	1,99	1,59		Perm 1	1,95	1,56		Perm 1	1,96	1,57		Perm 1	1,99	1,59
	MAX.	2,08	1,66		MAX.	2,04	1,63		MAX.	2,05	1,64		MAX.	2,08	1,66
33	Rare 1	2,00	1,60	34	Rare 1	1,85	1,48	35	Rare 1	2,00	1,60	36	Rare 1	2,06	1,65
	Rare 2	2,01	1,61		Rare 2	1,86	1,49		Rare 2	2,01	1,61		Rare 2	2,07	1,65
	Freq 1	1,96	1,56		Freq 1	1,80	1,44		Freq 1	1,96	1,56		Freq 1	2,01	1,61
	Freq 2	1,93	1,55		Freq 2	1,78	1,43		Freq 2	1,93	1,55		Freq 2	1,99	1,59
	Perm 1	1,92	1,54		Perm 1	1,78	1,42		Perm 1	1,92	1,54		Perm 1	1,98	1,58
	MAX.	2,01	1,61		MAX.	1,86	1,49		MAX.	2,01	1,61		MAX.	2,07	1,65
37	Rare 1	2,04	1,63	38	Rare 1	2,02	1,61	39	Rare 1	2,04	1,63	40	Rare 1	2,06	1,65
	Rare 2	2,05	1,64		Rare 2	2,03	1,62		Rare 2	2,05	1,64		Rare 2	2,07	1,65
	Freq 1	1,99	1,59		Freq 1	1,97	1,57		Freq 1	1,99	1,59		Freq 1	2,01	1,61
	Freq 2	1,97	1,57		Freq 2	1,95	1,56		Freq 2	1,97	1,57		Freq 2	1,99	1,59
	Perm 1	1,96	1,57		Perm 1	1,94	1,55		Perm 1	1,96	1,57		Perm 1	1,98	1,58
	MAX.	2,05	1,64		MAX.	2,03	1,62		MAX.	2,05	1,64		MAX.	2,07	1,65
41	Rare 1	2,07	1,65	42	Rare 1	1,99	1,59	43	Rare 1	2,01	1,60	44	Rare 1	2,01	1,60
	Rare 2	2,08	1,66		Rare 2	2,00	1,60		Rare 2	2,02	1,61		Rare 2	2,02	1,61
	Freq 1	2,02	1,62		Freq 1	1,94	1,55		Freq 1	1,96	1,57		Freq 1	1,96	1,57
	Freq 2	2,00	1,60		Freq 2	1,92	1,54		Freq 2	1,94	1,55		Freq 2	1,94	1,55
	Perm 1	1,99	1,59		Perm 1	1,91	1,53		Perm 1	1,93	1,54		Perm 1	1,93	1,54
	MAX.	2,08	1,66		MAX.	2,00	1,60		MAX.	2,02	1,61		MAX.	2,02	1,61
45	Rare 1	2,04	1,63	46	Rare 1	1,95	1,56	47	Rare 1	1,97	1,57	48	Rare 1	2,01	1,60
	Rare 2	2,05	1,64		Rare 2	1,96	1,57		Rare 2	1,98	1,58		Rare 2	2,02	1,61
	Freq 1	1,99	1,59		Freq 1	1,90	1,52		Freq 1	1,92	1,54		Freq 1	1,96	1,57

CEDIMENTI ELASTICI ED EDOMETRICI

Filo N.ro	Combinaz N.ro	Ced.El. cm	Ced.Ed. cm	Filo N.ro	Combinaz N.ro	Ced.El. cm	Ced.Ed. cm	Filo N.ro	Combinaz N.ro	Ced.El. cm	Ced.Ed. cm	Filo N.ro	Combinaz N.ro	Ced.El. cm	Ced.Ed. cm
	Freq 2	1,97	1,57		Freq 2	1,88	1,51		Freq 2	1,90	1,52		Freq 2	1,94	1,55
	Perm 1	1,96	1,57		Perm 1	1,87	1,50		Perm 1	1,89	1,52		Perm 1	1,93	1,54
	MAX.	2,05	1,64		MAX.	1,96	1,57		MAX.	1,98	1,58		MAX.	2,02	1,61
49	Rare 1	1,90	1,52	50	Rare 1	2,04	1,63	51	Rare 1	2,04	1,63	52	Rare 1	2,04	1,63
	Rare 2	1,91	1,52		Rare 2	2,05	1,64		Rare 2	2,05	1,64		Rare 2	2,05	1,64
	Freq 1	1,85	1,48		Freq 1	1,99	1,60		Freq 1	2,00	1,60		Freq 1	1,99	1,59
	Freq 2	1,83	1,46		Freq 2	1,97	1,58		Freq 2	1,97	1,58		Freq 2	1,97	1,58
	Perm 1	1,82	1,46		Perm 1	1,96	1,57		Perm 1	1,96	1,57		Perm 1	1,96	1,57
	MAX.	1,91	1,52		MAX.	2,05	1,64		MAX.	2,05	1,64		MAX.	2,05	1,64
53	Rare 1	2,02	1,61	54	Rare 1	1,99	1,59	55	Rare 1	1,97	1,57	56	Rare 1	1,95	1,56
	Rare 2	2,03	1,62		Rare 2	2,00	1,60		Rare 2	1,98	1,58		Rare 2	1,96	1,57
	Freq 1	1,97	1,57		Freq 1	1,94	1,55		Freq 1	1,92	1,54		Freq 1	1,90	1,52
	Freq 2	1,95	1,56		Freq 2	1,92	1,54		Freq 2	1,90	1,52		Freq 2	1,88	1,51
	Perm 1	1,94	1,55		Perm 1	1,91	1,53		Perm 1	1,89	1,52		Perm 1	1,87	1,50
	MAX.	2,03	1,62		MAX.	2,00	1,60		MAX.	1,98	1,58		MAX.	1,96	1,57
57	Rare 1	1,92	1,54	58	Rare 1	1,91	1,52	59	Rare 1	1,84	1,48	60	Rare 1	1,87	1,50
	Rare 2	1,93	1,55		Rare 2	1,91	1,53		Rare 2	1,85	1,48		Rare 2	1,88	1,50
	Freq 1	1,88	1,50		Freq 1	1,86	1,49		Freq 1	1,80	1,44		Freq 1	1,83	1,46
	Freq 2	1,86	1,49		Freq 2	1,84	1,47		Freq 2	1,79	1,43		Freq 2	1,81	1,45
	Perm 1	1,85	1,48		Perm 1	1,83	1,47		Perm 1	1,78	1,42		Perm 1	1,80	1,44
	MAX.	1,93	1,55		MAX.	1,91	1,53		MAX.	1,85	1,48		MAX.	1,88	1,50
61	Rare 1	1,92	1,54	62	Rare 1	1,77	1,42	63	Rare 1	1,79	1,43	64	Rare 1	1,79	1,43
	Rare 2	1,93	1,55		Rare 2	1,78	1,42		Rare 2	1,80	1,44		Rare 2	1,80	1,44
	Freq 1	1,88	1,50		Freq 1	1,73	1,39		Freq 1	1,75	1,40		Freq 1	1,75	1,40
	Freq 2	1,86	1,49		Freq 2	1,72	1,37		Freq 2	1,73	1,39		Freq 2	1,73	1,39
	Perm 1	1,85	1,48		Perm 1	1,71	1,37		Perm 1	1,73	1,38		Perm 1	1,73	1,38
	MAX.	1,93	1,55		MAX.	1,78	1,42		MAX.	1,80	1,44		MAX.	1,80	1,44
65	Rare 1	1,87	1,50	66	Rare 1	1,68	1,35	67	Rare 1	1,75	1,40	68	Rare 1	1,28	1,02
	Rare 2	1,88	1,50		Rare 2	1,69	1,35		Rare 2	1,76	1,41		Rare 2	1,28	1,02
	Freq 1	1,83	1,46		Freq 1	1,65	1,32		Freq 1	1,72	1,37		Freq 1	1,25	1,00
	Freq 2	1,81	1,45		Freq 2	1,63	1,31		Freq 2	1,70	1,36		Freq 2	1,24	0,99
	Perm 1	1,80	1,44		Perm 1	1,62	1,30		Perm 1	1,69	1,35		Perm 1	1,23	0,99
	MAX.	1,88	1,50		MAX.	1,69	1,35		MAX.	1,76	1,41		MAX.	1,28	1,02
69	Rare 1	1,04	0,83	70	Rare 1	1,11	0,89	71	Rare 1	1,34	1,07	72	Rare 1	1,12	0,90
	Rare 2	1,04	0,84		Rare 2	1,12	0,89		Rare 2	1,35	1,08		Rare 2	1,13	0,90
	Freq 1	1,02	0,82		Freq 1	1,09	0,87		Freq 1	1,32	1,05		Freq 1	1,10	0,88
	Freq 2	1,01	0,81		Freq 2	1,08	0,87		Freq 2	1,30	1,04		Freq 2	1,09	0,87
	Perm 1	1,01	0,80		Perm 1	1,08	0,86		Perm 1	1,30	1,04		Perm 1	1,08	0,87
	MAX.	1,04	0,84		MAX.	1,12	0,89		MAX.	1,35	1,08		MAX.	1,13	0,90
73	Rare 1	1,35	1,08	74	Rare 1	1,63	1,31	75	Rare 1	1,59	1,28	76	Rare 1	1,63	1,30
	Rare 2	1,36	1,08		Rare 2	1,64	1,31		Rare 2	1,60	1,28		Rare 2	1,64	1,31
	Freq 1	1,32	1,06		Freq 1	1,60	1,28		Freq 1	1,56	1,25		Freq 1	1,59	1,28
	Freq 2	1,31	1,05		Freq 2	1,58	1,27		Freq 2	1,55	1,24		Freq 2	1,58	1,26
	Perm 1	1,31	1,04		Perm 1	1,58	1,26		Perm 1	1,54	1,23		Perm 1	1,57	1,26
	MAX.	1,36	1,08		MAX.	1,64	1,31		MAX.	1,60	1,28		MAX.	1,64	1,31
77	Rare 1	1,75	1,40	78	Rare 1	1,91	1,52	79	Rare 1	1,84	1,48	80	Rare 1	1,77	1,42
	Rare 2	1,76	1,40		Rare 2	1,91	1,53		Rare 2	1,85	1,48		Rare 2	1,78	1,42
	Freq 1	1,71	1,37		Freq 1	1,86	1,49		Freq 1	1,80	1,44		Freq 1	1,73	1,39
	Freq 2	1,69	1,36		Freq 2	1,84	1,47		Freq 2	1,79	1,43		Freq 2	1,72	1,37
	Perm 1	1,69	1,35		Perm 1	1,83	1,47		Perm 1	1,78	1,42		Perm 1	1,71	1,37
	MAX.	1,76	1,40		MAX.	1,91	1,53		MAX.	1,85	1,48		MAX.	1,78	1,42
81	Rare 1	1,67	1,34	82	Rare 1	1,30	1,04	83	Rare 1	1,59	1,27	84	Rare 1	1,11	0,88
	Rare 2	1,68	1,34		Rare 2	1,31	1,05		Rare 2	1,60	1,28		Rare 2	1,11	0,89
	Freq 1	1,64	1,31		Freq 1	1,28	1,02		Freq 1	1,56	1,25		Freq 1	1,08	0,87
	Freq 2	1,62	1,30		Freq 2	1,27	1,01		Freq 2	1,54	1,23		Freq 2	1,07	0,86
	Perm 1	1,61	1,29		Perm 1	1,26	1,01		Perm 1	1,53	1,23		Perm 1	1,07	0,86
	MAX.	1,68	1,34		MAX.	1,31	1,05		MAX.	1,60	1,28		MAX.	1,11	0,89
85	Rare 1	1,63	1,31	86	Rare 1	1,54	1,23	87	Rare 1	1,42	1,14	88	Rare 1	1,57	1,25
	Rare 2	1,64	1,31		Rare 2	1,55	1,24		Rare 2	1,43	1,14		Rare 2	1,57	1,26
	Freq 1	1,59	1,28		Freq 1	1,51	1,21		Freq 1	1,39	1,11		Freq 1	1,53	1,22
	Freq 2	1,58	1,26		Freq 2	1,49	1,19		Freq 2	1,37	1,10		Freq 2	1,51	1,21
	Perm 1	1,57	1,25		Perm 1	1,48	1,19		Perm 1	1,36	1,09		Perm 1	1,50	1,20
	MAX.	1,64	1,31		MAX.	1,55	1,24		MAX.	1,43	1,14		MAX.	1,57	1,26
89	Rare 1	1,54	1,23	90	Rare 1	1,64	1,31	91	Rare 1	1,60	1,28	92	Rare 1	1,50	1,20
	Rare 2	1,54	1,23		Rare 2	1,65	1,32		Rare 2	1,61	1,29		Rare 2	1,50	1,20
	Freq 1	1,50	1,20		Freq 1	1,60	1,28		Freq 1	1,56	1,25		Freq 1	1,46	1,17
	Freq 2	1,48	1,19		Freq 2	1,58	1,27		Freq 2	1,55	1,24		Freq 2	1,45	1,16
	Perm 1	1,48	1,18		Perm 1	1,58	1,26		Perm 1	1,54	1,23		Perm 1	1,44	1,15
	MAX.	1,54	1,23		MAX.	1,65	1,32		MAX.	1,61	1,29		MAX.	1,50	1,20
93	Rare 1	1,57	1,25	94	Rare 1	1,42	1,14	95	Rare 1	1,54	1,24	96	Rare 1	1,63	1,31
	Rare 2	1,57	1,26		Rare 2	1,43	1,14		Rare 2	1,55	1,24		Rare 2	1,64	1,31
	Freq 1	1,53	1,22		Freq 1	1,39	1,11		Freq 1	1,51	1,21		Freq 1	1,59	1,28
	Freq 2	1,51	1,21		Freq 2	1,37	1,10		Freq 2	1,49	1,19		Freq 2	1,58	1,26
	Perm 1	1,50	1,20		Perm 1	1,36	1,09		Perm 1	1,48	1,19		Perm 1	1,57	1,25
	MAX.	1,57	1,26		MAX.	1,43	1,14		MAX.	1,55	1,24		MAX.	1,64	1,31
97	Rare 1	1,54	1,23	98	Rare 1	1,64	1,31	99	Rare 1	1,42	1,14	100	Rare 1	1,52	1,21
	Rare 2	1,54	1,23		Rare 2	1,65	1,32		Rare 2	1,43	1,14		Rare 2	1,53	1,22
	Freq 1	1,50	1,20		Freq 1	1,60	1,28		Freq 1	1,39	1,11		Freq 1	1,48	1,19
	Freq 2	1,48	1,19		Freq 2	1,58	1,27		Freq 2	1,38	1,10		Freq 2	1,47	1,18
	Perm 1	1,48	1,18		Perm 1	1,58	1,26		Perm 1	1,37	1,10		Perm 1	1,46	1,17
	MAX.	1,54	1,23		MAX.	1,65	1,32		MAX.	1,43	1,14		MAX.	1,53	1,22
101	Rare 1	1,35	1,08	102	Rare 1	1,30	1,04	103	Rare 1	1,13	0,90	104	Rare 1	1,50	1,20
	Rare 2	1,35	1,08		Rare 2	1,31	1,04		Rare 2	1,13	0,90		Rare 2	1,50	1,20
	Freq 1	1,32	1,06		Freq 1	1,27	1,02		Freq 1	1,10	0,88		Freq 1	1,46	1,17

CEDIMENTI ELASTICI ED EDOMETRICI

Filo N.ro	Combinaz N.ro	Ced.El. cm	Ced.Ed. cm	Filo N.ro	Combinaz N.ro	Ced.El. cm	Ced.Ed. cm	Filo N.ro	Combinaz N.ro	Ced.El. cm	Ced.Ed. cm	Filo N.ro	Combinaz N.ro	Ced.El. cm	Ced.Ed. cm
	Freq 2	1,31	1,05		Freq 2	1,26	1,01		Freq 2	1,09	0,87		Freq 2	1,45	1,16
	Perm 1	1,30	1,04		Perm 1	1,25	1,00		Perm 1	1,09	0,87		Perm 1	1,44	1,15
	MAX.	1,35	1,08		MAX.	1,31	1,04		MAX.	1,13	0,90		MAX.	1,50	1,20
105	Rare 1	1,60	1,28	106	Rare 1	1,42	1,14	107	Rare 1	1,52	1,21	108	Rare 1	1,30	1,04
	Rare 2	1,61	1,29		Rare 2	1,43	1,14		Rare 2	1,53	1,22		Rare 2	1,30	1,04
	Freq 1	1,56	1,25		Freq 1	1,39	1,11		Freq 1	1,48	1,19		Freq 1	1,27	1,02
	Freq 2	1,55	1,24		Freq 2	1,38	1,10		Freq 2	1,47	1,18		Freq 2	1,26	1,01
	Perm 1	1,54	1,23		Perm 1	1,37	1,10		Perm 1	1,46	1,17		Perm 1	1,25	1,00
	MAX.	1,61	1,29		MAX.	1,43	1,14		MAX.	1,53	1,22		MAX.	1,30	1,04
109	Rare 1	1,34	1,08	110	Rare 1	1,16	0,93	111	Rare 1	1,45	1,16	112	Rare 1	1,45	1,16
	Rare 2	1,35	1,08		Rare 2	1,17	0,94		Rare 2	1,45	1,16		Rare 2	1,46	1,16
	Freq 1	1,32	1,05		Freq 1	1,14	0,91		Freq 1	1,41	1,13		Freq 1	1,41	1,13
	Freq 2	1,30	1,04		Freq 2	1,13	0,90		Freq 2	1,39	1,12		Freq 2	1,40	1,12
	Perm 1	1,30	1,04		Perm 1	1,12	0,90		Perm 1	1,39	1,11		Perm 1	1,39	1,11
	MAX.	1,35	1,08		MAX.	1,17	0,94		MAX.	1,45	1,16		MAX.	1,46	1,16
113	Rare 1	1,44	1,15	114	Rare 1	1,44	1,15								
	Rare 2	1,45	1,16		Rare 2	1,44	1,16								
	Freq 1	1,41	1,12		Freq 1	1,40	1,12								
	Freq 2	1,39	1,11		Freq 2	1,39	1,11								
	Perm 1	1,38	1,11		Perm 1	1,38	1,10								
	MAX.	1,45	1,16		MAX.	1,44	1,16								